

**ЎЗБЕКИСТОН РЕСПУБЛИКАСИ ОЛИЙ
ВА ЎРТА МАХСУС ТАЪЛИМ ВАЗИРЛИГИ**

ТОШКЕНТ ДАВЛЯТ АВИАЦИЯ ИНСТИТУТИ

А. Н. НАБИЕВ, С. М. ҲАСАНОВ

МАТЕРИАЛЛАР ҚАРШИЛИГИ

Ўзбекистон Республикаси Олий ва ўрта маҳсус таълим вазирлиги томонидан ўқув қўйлганма сифатида тавсия этилган

ТОШКЕНТ — «FAN VA TEKNOLOGIYA» — 2005

30.121973 Материаллар қаршилиги
— ўкув қўлланма

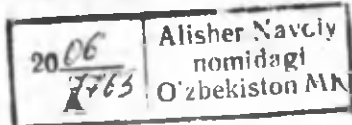
А. Н. Набиев, С. М. Ҳасанов. Материаллар қаршилиги.
Тошкент, «Fan va texnologiya» нашриёти 2005. 420 б.

«Материаллар қаршилиги» ўкув қўлланмаси Ўзбекистон Республикаси Олий ва ўрга маҳсус таълим вазирлиги олий таълим муассасаларининг саноат, транспорт ва қурилиш соҳалари учун тасдиқланган амалдаги ўкув дастурларига мувофиқ ёзилган.

Китобда материалларнинг асосий механик хоссаларини ҳамда чўзилиш-сиқилиш, силжиш, буралиш, эгилиш ва мурракаб қаршиликка дуч келувчи конструкция қисмларида пайдо бўлувчи ички куч, кучланиш, кўчиш ва деформацияларни аниқлашга оид материаллар келтирилган. Бундан ташқари, сиқилган стерженларнинг устуворлиги, зарбали ва ўнгарувчан юкларда мустаҳкамлик, юнқа деворли идишлар ва қалин деворли қувурлар ҳисоби сингари материаллар ҳам баён этилган.

Қўлланма олий техника таълим муассасаларининг талабалари учун мўлжалланган. Ундан аспирантлар, мұхандис-техник ходимлар ва ўрга маҳсус, касб-хунар таълими тизимининг «Техник механика» фани ўқитувчилари ҳам фойдаланишлари мумкин.

Тақризчилар: физика-математика фанлари доктори, профессор М. Эргашов,
физика-математика фанлари номзоди, доцент К. Абилов



10-32/33/2

© «Fan va texnologiya» нашриёти, 2005 й.

СЎЗ БОШИ

Кадрлар тайёрлаш миллий дастурининг иккинчи-сифат босқичини талаб даражасида амалга оширишда барча таълим муассасаларини ўқув адабиётларининг янги авлоди билан таъминлаш мұхим аҳамият касб этади. Шу боис фан-техника на технология ривожланишининг ҳозирги замон талабларига, Давлат таълим стандартлари асосида ишлаб чиқилған ўқув дастурларига мос келдиган дарслер ҳамда ўқув құлланмаларни ўзбек тилида ёзиш өхтиёжи кун сайнин ортмоқда.

Материаллар қаршилиги фанининг амалдаги ўқув дастурларига мослаб ёзилған ушбу китобга муаллифларнинг түрли олий техника таълим муассасалари талабаларига мүлжалылаб ёзған ва күп йилдар мобайнида ўқув жарлёнлариде фойдаланилған құлланмалари, маъруза матнлари ҳамда амалий-тажриба машғулосттар бўйича услубий ишланмалари асос қилинган.

Муаллифлар ўқув құлланмани нашрга тайёрлаш жараёнида, энг аввало, тегишли ўқув дастурлари асосида қисқартирилған ҳолларда, талабаларга машғулотлар ўтиш зарурияти пайдо бўлгандан таълим мазмунни ва сифатига зарар етказмасдан бир неча параграфларни, ҳатто баъзи бобларни ҳам четлаб ўтиш имконини яратишга ҳаракат қилған. Бундан ташқари ўқув дастурлариде кўзда тутилған материалларни китобхонга қисқа, содда, равон ва тушунарли ҳолда етказишига ҳаракат қилинган.

Ўқув құлланма олий техника таълим муассасаларида саноатнинг машинасозлик, самолётсозлик, автомобилсозлик, металлургия соҳалари ҳамда транспорт ва қурилиш соҳалари бўйича ўқиётган талабаларга мүлжалланган. Ундан мазкур таълим муассасаларининг аспирантлари ва касб-хунар коллежларининг техник механика фани ўқитувчилари ҳам фойдаланишлари мумкин.

Мазкур ўқув құлланманинг асосий қисмими техника фанлари номзоди, доцент А. Н. Набиев, тегишли бобларнинг охирида кел-

тирилган масалалар ва уларнинг ечилишига оид материалларни эса техника фанлари номзоди, доцент С. М. Ҳасанов ёзган.

Кўлёзмани синчилаб ўқиб, қўлланманинг мазмуни ва сифатини ошириш Зорасида берган фойдали маслаҳатлари учун техника фанлари номзоди, доцент П. Ю. Жуманиёзов ва техника фанлари номзоди, доцент Ж. Ж. Жалоловларга муаллифлар самимий миннатдорчилик билдирадилар.

Кўлёзмани нашрга тайёрлаш жараённида жонкуярлик кўрсатиш техника фанлари номзоди А. Майдиновга муаллифлар ташаккур билдирадилар.

Кўлланманинг мазмуни ва сифатини бойитишга қаратилган барча танқидий фикр-мулоҳазалари учун китобхонларга олдиндан миннатдорчилик билдирган ҳолда, уларни қўйидаги манзилга юборишларини илтимос қиласиз:

«Fan va texnologiya» нашриёти, 700003, Тошкент шаҳри, Олмазор кўчаси, 171-уй.

Муаллифлар.

I БОБ. УМУМИЙ ТУШУНЧАЛАР

1.1-§. Материалар қаршилиги фанининг моҳияти ва мавзуи

Деформацияланувчи қаттиқ жисмлардан^{*} тайёрланган барча муҳандислик конструкциялари^{**} ва уларнинг қисмлари ўзларига кўйилган юклар таъсирига чидамли бўлиб, ишлатилиш даврининг бошидан охиригача хавф-хатарли ҳолатларни мутлоқа содир этмасликлари учун, албатта мустаҳкамлик, бикрлик ҳамда устуворлик каби муҳим конструктив талабларни қаноатлантириши лозим.

Муайян миқдордаги ташқи юклар таъсиридаги конструкция ёки конструкция қисмларининг:

- бузилмасдан (бўлакларга ажralиб кетмасдан) қаршилик кўрсатиб, бардош бера олиши **мустаҳкамлик**;
- геометрик ўлчами ва шакли ўзгарса-да, аммо «ҳаддан ташқари катта» деформациялар ҳосил қиласлиги ёки бошқача айтганда, деформацияларга қаршилик кўрсата олиши **бикрлик**^{***} (1.1-шакл);
- дастлабки (юк кўйилмаган пайтдаги) эластик мувозанат ҳолатни сақлай олиши эса **устуворлик** дейилади.

Лойиҳалаш пайтида конструкция ёки конструкция қисмларининг кўндаланг кесим юзаси катталаштирилса, бир вақтнинг ўзида уларнинг мустаҳкамлиги, бикрлиги ва устуворлиги ошиши табиий. Аммо бундай йўл билан кўйилган муаммони ҳал этиш иқтисодий жиҳатдан самарасиз: материал ва меҳнат жуда кўп сарфланади. Шу боис муҳандислар лойиҳалашнинг бошқа усусларини излашлари ҳамда улар орасидан иқтисодий томондан арzon, тежамли, технологик жиҳатдан тайёрланиши қулай ва энг муҳими юқорида

* деформацияланувчи қаттиқ жисмлар дейилганда пўлат, чўян, мис, ёғоч, тош, гильт, шиша, пластмасса ва турли қотишмалар сингари амалда кўпланиладиган материаллар тушинилади;

** муҳандислик конструкциялари дейилганда машина, меҳназм, иншоот ва шу кабилар кўзда тутилади;

*** қанот унидаги кўчиш δ рухсат этилганидан ошиб кетганда унинг аэродинамик параметрлари бузилиб, самолёт нормал ҳолатда ишлай олмайди.

кўйилган учта талабларни иложи борича бир вақтда қаноатлантира оладиган лойиҳалардан бирини танлашлари, аникроғи, материаллар қаршилиги фанига мурожаат қилишлари лозим.

Материаллар қаршилиги фанида фақат конструкция қисмларининг мустаҳкамлиги, бикрлиги ва устуворлигига оид ҳисоблаш усуллари ўрганилади. Бу фанда барча масала ва муаммолар назарий жиҳатдан математика, назарий механика ҳамда амалий (экспериментал) жиҳатдан эса физика, материалишунослик каби фанларга таяниб ечилади.



I.1-шакл.

Шуни алоҳида таъкидлаш ўринлики, масаланинг қўйилиши нуқтаи назаридан қараганимизда материаллар қаршилигининг назарий механикага кўп жиҳатдан ўхшашлиқ томонлари мавжуд ўқанлигига дуч келамиз. Дарҳақиқат, икки фан ҳам конструкция қисмларига кучларнинг кўрсатган таъсири ва мувозанатини ўрганади.

Аммо бу фанларда ўрганилаётган жисм – конструкция қисмларига турлича ёндашилади.

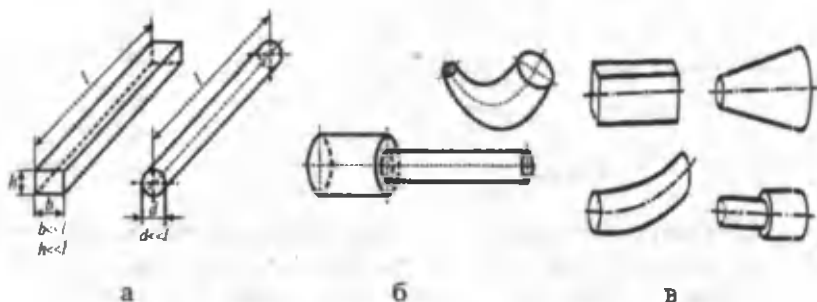
Мувозанат ва ҳаракатни ўрганадиган назарий механикада жисмлар мутлақ (абсолют) қаттиқ деб қаралади. Бошқача айтганда, бу фанда мутлақ қаттиқ жисмга ташқи қучлар таъсир этганда унинг заррачалари орасидаги масофа ўзгармайди, деб ҳисобланади; бу эса муглақ қаттиқ жисмнинг шакл ва ўлчамлари умуман ўзгармайди, деган маънони англатади.

Материаллар қаршилигига эса ташқи таъсир туфайли барча ҳақиқий жисмларнинг геометрик шакли ва ўлчамлари ўзгариб, улар деформацияланади, деб қаралади. Шу боис жисмларга деформацияланувчи қаттиқ жисм тарзида ёндашилади.

Шуни ҳам таъкидлаш муҳимки, илмий-техника тараққиёти материаллар қаршилиги фанининг мазмунини бойитишга,

унинг мавқеини янада кучайтиришга, электрон-ҳисоблаш машиналарининг самарали қўлланилиши эса тегишли ҳисоблаш ишларини енгиллаштиришга хизмат қиласди.

Геометрик ўлчами ва шаклига кўра, барча деформацияланувчи қаттиқ жисмлар: брус, юпқа деворли стержен, плита ёки пластина ҳамда вазмин жисмлар деб аталувчи гуруҳларга ажратилади.

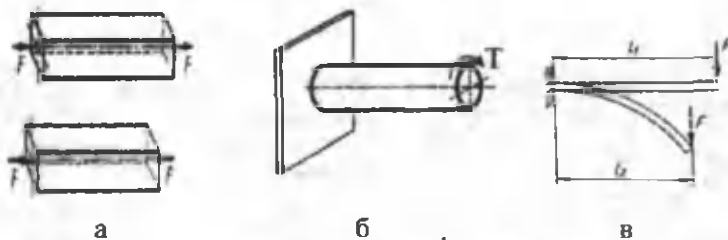


I.2-шакл.

Кўндаланг кесим юза ўлчамлари узунлик ўлчамига нисбатан жуда кичик бўлган жисмлар **брус** дейилади (I.2-шакл).

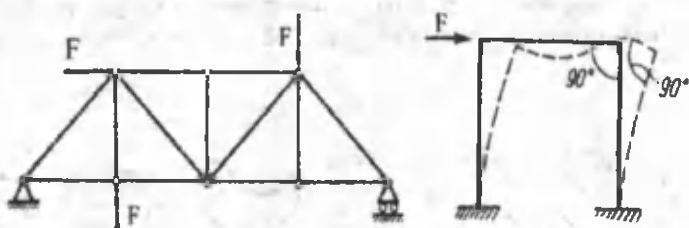
Бруслар ўқларининг ҳолатига кўра тўғри ёки ээри, кўндаланг кесим юзасига кўра эса ўзгармас ёки ўзгарувчан кесим юзали бўлиши мумкин.

Агар брус чўзилиш ёки сиқилишга қаршилик кўрсатса **стержен** (I.3-шакл, а), буралишга қаршилик кўрсатса **вал** (I.3-шакл, б) ва эгилишга қаршилик кўрсатса **тўсин** (I.3-шакл, в) деб аталади.



I.3-шакл.

Бир қанча стерженларнинг шарнирлар воситасида туташтирилишидан ҳосил бўлган геометрик ўзгармас тузилмага ферма дейилади (I.4-шакл).



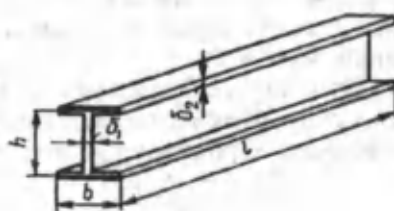
I.4-шакл.

I.5-шакл.

Бир қанча брусларнинг ўзаро бикр қилиб туташтирилиши натижасида ҳосил бўлган тузилмага рама дейилади (I.5-шакл).

Раманинг вертикал стерженлари устун, горизонтал стерженлари эса ригел дейилади.

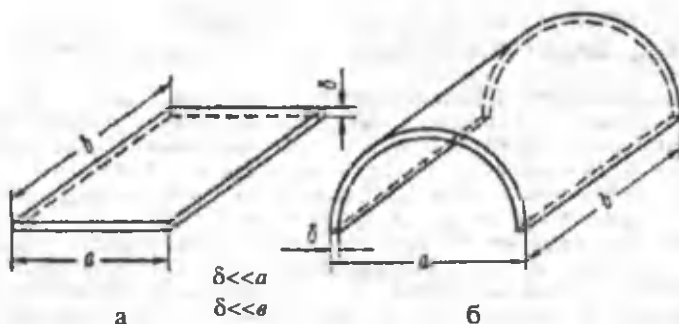
Учала ўлчамлари мос равишда бир-бирларидан тахминан $8 \div 10$ мартағача фарқ қилувчи жисмларга юпқа деворли стержен дейилади (I.6-шакл).



I.6-шакл.

Юпқа деворли стерженлар гарчи нисбатан енгил бўлса-да, етарлича мустаҳкамлик ва бикрликка эга; шу сабабли улар машинасозлик, самолётсозлик, кемасозлик ва қурилиш конструкцияларида кенг кўламда ишлатилади.

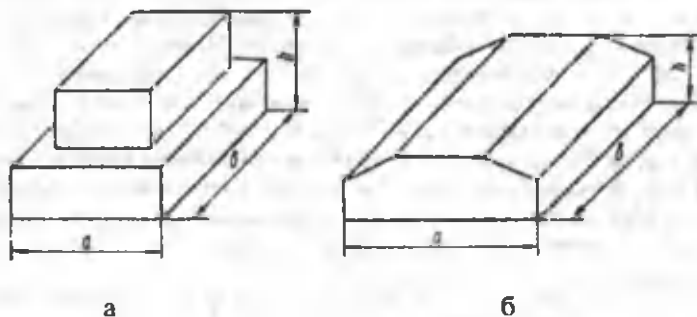
Қалинлигига нисбатан қолган иккита ўлчамлари катта бўлган ва текис параллел сиртлар билан чегараланган жисмга плита ёки пластини деб аталади (I.7-шакл, а); агар бу жисмлар эгри сиртлар билан чегараланса, уларга қобиқ дейилади (I.7-шакл, б).



I.7-шакл.

Иморат қаватлари орасини ёпувчи темир-бетон плиталар ҳамда қобиқларга мисол бўлувчи турли мъйорчилик гумбазла-ри курилишида жуда кўп учрайди.

Учала ўлчамлари ҳам бир хил тартибда бўлған жисмга ваз-мин жисм дейилади (I.8-шакл).



I.8-шакл.

Бинонинг асоси, девор дамба, кўприк таянчи ва шу каби-лар вазмин жисмларга мисол бўлади.

Брус ва юпқа деворли стерженлар грухи материаллар қаршилиги фанида ўрганиладиган объект (жисм)лар сифатида хизмат қиласди.

Бу фаннинг ўрганиш ва тадқиқот мавзуи асосан, *текшири-лаётган объексларнинг кесимларида ташқи кучлар таъсири натижасида пайдо бўлувчи ички кучлар, кучланишларни ҳамда уларнинг деформациялари, кўчишларини аниқлашдан иборат*.

Материаллар қаршилигига фойдаланиладиган асосий катталиклар ҳақида бізни мәттумоттар иловада көлтирилган.

Материаллар қаршилиги фаны үзининг бой тарихига зга.

Материаллар қаршилиги ҳақидаға дастлабки назарий тадқиқотларни XVII асрнинг биринчи ярміда машхұр итальян олимі Галілео Галилей (1564-1642) үтказған. У бириңчи бўлиб ташқи күчлар таъсирига брусларнинг қаршилик кўрсатса олишини баъзловш мақсадида аналитик ҳисоблашларни бажариш зарурлиги тўғрисидаги ғояни таклиф этган ва ўзи кўндаланған кесими тўғри тўфтбурчакти брусларни эгилишга қаршилиги кесим юзасининг баландлиги квадратига тўғри мутаносиб боғланишда эканлигини тўғри ҳисоблаган, лекин материалнинг физик хоссаларини ёътиборга олмаганлиги боис, мутаносиблик коэффициентининг қийматини нотўғри аниқлаган. Шунинг учун адабиётларда 1638 йилдан материаллар қаршилиги алоҳида фан сифатида пайдо бўлганлиги қайд этилган.

Материаллар қаршилиги фаннининг техника соҳасидаги кўпгина фанлар, айниқса, назарий механика фаны билан узийи боғланишда эканлигини инобатга олиб, унинг фан сифатида шаклланышта Шарқ алломатарининг кўшган хиссалари ҳам жуда мұхимлигини алоҳида таъкидлаш ғоят ўринилдири.

Хозирги замонда Ўрта аср Шарқ олимларининг биргина статикага оид элликтан ортиқ асағлари сақланаётганлиги тўғрисида мәттумотлар мавжуд. Ўрта аср Шарқ олимлари механиканы «Илм ал-хийал» («Усталлик билан ясалган мосламалар тўғрисидаги таълимот») деб юритишиб, унда ўша даврга мос техник механика масалалари кўрилган. Мазмуннiga мос бўлган энг қадимий асар — Абу Абдаллоҳ ал-Хоразмийнинг IX асрда яратилган «Фанлар калити» номли китоби бўлиб, унинг асосий қисми механикага бағишланган.

Шарқ олимларидан Абу Райхон Беруний (973-1048), Абу Али ибн Сино (980-1037), Улугбек Мұхаммад Тарагай (1394-1449)лар ҳам механика фаннининг ривожланишига жетта ҳисса қўштегилар. Беруний ва ибн Синоларнинг асарларыда умуман ҳаракат (шу жумладан, механик ҳиракат), планеталарнинг ҳаракатига оид физик-мулоқазалар баён этилган. Улугбек планеталар ҳаракатини, шунингдек, Кўёш ва Ойнинг ҳаракатини катта айтилғанда ҳисоблаш олган.

1676 йили инглиз олимі Роберт Гук (1635-1703) стержен чўзилганда (сикилгандা) куч билан узайиш (қисқариш) орасидаги мутаносиб боғланиш мавжудлигини аниқлдатган. Бу боғланиш Гук қонуни номи билан машхұр бўлиб, материаллар қаршилигига жуда мұхим аҳамиятга эга.

Материаллар қаршилиги масалаларини аналитик усуллар билан текширишни ривожлантиришда Д.Бернулли (1700-1782) ва Л.Эйлер (1707-1783) катта ҳисса кўшганлар. Л.Эйлернинг айрим тадқиқотлари XIII бобда көлтирилган.

Навье (1785-1836), Г.Ламе (1795-1870), Сен-Венан (1797-1886), Д.И.Журавский (1821-1891), А.В.Гадолин (1828-1892), Х.С.Головин (1844-1904), Ф.Ясинский (1856-1899), И.Г.Бубнов (1872-1919), С.П.Тимошонко (1878-1972), Л.С.Лейбенсон (1879-1951), В.З.Власов (1906-1958), Х.А.Рахматулин (1909-1988), А.А.Ильюшин (1911 йилда туғилган) сингари жаҳонта машхұр олимларнинг илмий тадқиқотлари натижасида конструкция на унинг қисмларини лойиҳалаш-ҳисоблаш ишлари такомиллашиб, «Деформацияланувчи қаттиқ қисмлар меканикасаси», «Материаллар қаршилиги», «Эластиклиқ ва пластиклік назариялары», «Иншоотлар назарияси», «Курилиш меканикасаси» каби фанларнинг бир бутун мажмусаси юзага келди.

Таниқли узбек олимларидан Х.А.Раҳматулин (1909-1938)нинг иншоотлар заминини лойихалаш ва ҳисоблашда, кема зирхи мустаҳзамлигини аниқлашда кенг қўлланиладиган «Раҳматулин тўлқинлари» назарияси, М.Т.Ўроэбоев (1906-1971)нинг ип механикаси ва иншоотларнинг зилзилабардошлиги назариясига оид илмий изланишлари, В.Қ.Қобулов (1921 йилда туғилган)нинг туаш мухитлар механикаси масалаларини алгоритмлаш, автоматик бошқариш тизимларини яратишга оид илмий мақолалари механика фанининг амалий аҳамиятта эга бўлган кўп тармоқли фан эканлигини тасдиqlайди.

Механиканинг турли соҳалари ривожига Т.Ширинкулов, Т.Рашидов, Е.Соатов, Ҳ.Усмонюхъяев, Б.Мардонов, Г.Хожиметов, Ш.Маматкулов каби таниқли олимларимиз муносиб ҳисса кўшган ва кўшмоқдалар.

1.2-§. Ташқи кучлар ва деформациялар

Ташқи куч (юк)лар жисмларга қўйилишига қараб ҳажмий ва сиртқи кучларга ажратилади.

Ҳажмий кучлар жисмларнинг ҳар бир ички таркибий ҳисм (элемент)лари ҳажмига таъсир қилиб, ҳажм бирлигига тўғри келувчи кучнинг миқдори билан тавсифланади ва халқаро бирликлар тизими (**СИ**)да kN/m^3 , H/m^3 каби бирликларда ўлчанади.

Оғирлик кучлари ва инерция кучлари ҳажмий кучларга мисол бўлади.

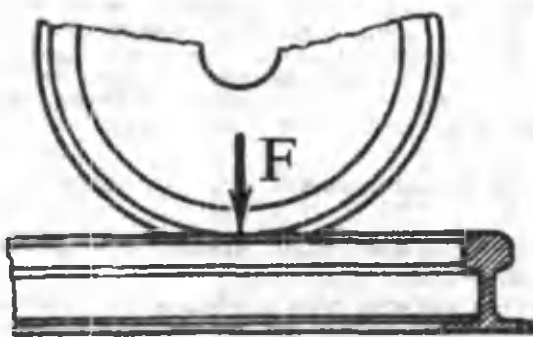
Сиртқи кучлар текширилаётган жисмга қўшни иккинчи жисмдан ўтадиган кучлар натижаси бўлиб, тўпланган ва ёйилган (таралган ёки тақсимланган) кучларга ажратилади:

- жисмнинг ўлчамларига нисбатан жуда кичик сиртга таъсир кўрсатувчи кучлар тўпланган кучлар деб аталиб, халқаро бирликлар тизимида kN ёки H лар билан ўлчанади; гидрик тўғинининг рельсга босими тўпланган кучга мисол бўлади (I.9-шакл);

- жисм сиртидаги бирорта юза ёки унданаги чизиқнинг бирор қисмига таъсир кўрсатувчи кучлар ёйилган кучлар деб атади (I.10-шакл, а); одатда, юза бўйлаб таралган кучлар kN/m^2 , H/m^2 лар, узунлик бўйича таралганлари эса kN/m , H/m лар билан ўлчанади (I.10-шакл, б, в). Сувнинг тўғонга, сочилувчан жисмларнинг идиш туби ва деворларига, қорнинг бино томларини ёпувчи материалларга босими ва шу кабилар ёйилган кучларга мисол бўлади.

Амалда тўпланган ёки бруслар узунлиги бўйича тақсимланган жуфт куч (момент)лар ҳам учрайди.

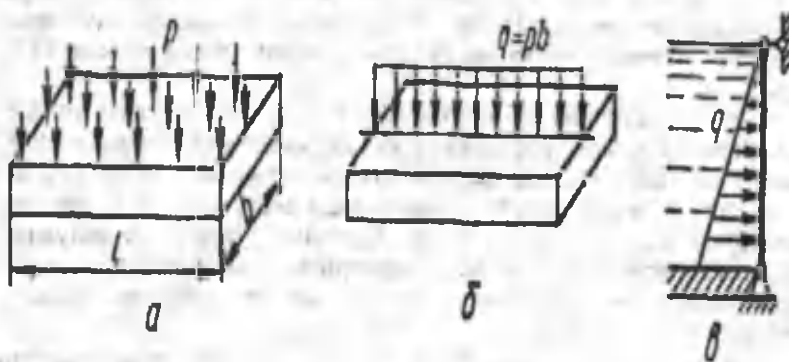
Ташқи күчлар таъсир этиш мүддатига құра доимий (хусусий оғирилік күчлари) ва вактингчалик (поезднинг темир йўлга таъсири) күчларга бўлинади.



I.9- шакл.

Бундан ташқари, ташқи күчлар жисмларга таъсир этиш турiga құра статик ва динамик күчларга ҳам бўлинади.

Нолдан бошлаб ўзининг охирги қийматигача секин, бир текисда ошиб борувчи, кейин эса ўзгармасдан қолувчи күчларга статик күчлар дейилади.



I.10-шакл.

Статик күчлар таъсир этганда конструкция ва унинг қисмларида ҳосил бўлувчи кичик тезланишларни амалий ҳисоблашларда эътиборга олмаслик мумкин, бироқ инерция кучларининг қийматини эътиборга олиш зарур ва муҳимdir.

Жуда қисқа вағт мобайнида ўз миқдори ва қўйилиш нуқталарини сезиларли даражада катта тезликлар билан ўзгартирувчи күчлар динамик (зарбли) күчлар деб аталади.

Динамик күчлар таъсири натижасида конструкция ёки унинг қисмларида катта тезланишлар, шунингдек, улар туфайли эса инерция күчлари пайдо бўлади.

Ташқи күчлар ёки ҳароратнинг ўзгариши натижасида барча мавжуд жисмлар деформацияланади, аникроғи, жисмларни ташкил этган заррачаларнинг ўзаро жойлашун вазияти ўзгарниб, уларнинг геометрик шакли, ўлчами ва ҳажми ўзгарамади. Бироқ жисмларнинг таркибидағи модда (заррача)ларнинг умумий миқдори ўзгармаганлиги туфайли, уларнинг массаси ҳам ўзгармасдан қолади.

Жисмларнинг деформациялари асосан икки хил кўринишда намоён бўлади:

- бўйлама ёки чизиқли деформация;
- бурчакли ёки силжиш деформация.

Бундан ташқари, барча деформациялар эластик ва пластик (қолдик) деформацияларга ҳам ажратилади.

Агар ташқи күчлар таъсири туфайли деформацияланган жисмдан маънур күчлар олинганда, деформациялар ҳам бутунлай йўқолиб, жисм ўзининг дастлабки геометрик шаклини эгалласа, у ҳолда бундай деформациялар эластик деформациялар дейилади. Аксинча, деформацияланган жисмдан ташқи күчлар олингандан кейин ҳам у ўзининг дастлабки геометрик шаклини эгаллай олмаса, бундай деформациялар пластик (қолдик) деформациялар дейилади.

Материаллар қаршилиги фанида деформациялар оддий (чўзилиш ёки сиқилиш, силжиш, буралиш, эгилиш) ва муроккаб (бир қанча оддий деформацияларнинг биргаликда пайдо бўлиши) деформацияларга ажратилиб, конструкция қисмларининг бикрлигига оид муаммолар ҳам этилади.

Умуман олганда, муҳандислик амалиётида конструкция қисмларининг деформацияланиш жараёнларини пухта ўрганиш муҳим аҳамият касб этади. Шу боис, кейинги бобларда ҳар бир деформация ҳолати бўйича мумкин қадар алоҳида таҳлил ўқазилиб, материаллар бирмунча кентроқ баён этилган.

1.3-§. Ҳисоблаш чизмаси

Деярли барча мұхандислик қонструкциялари ёки уларнинг қисмлари шундай үзига хос ҳусусиятларга зәқи, биригчидан улар жуда мұраккаб күринишларға зәғаки, иккінчидан эса ищатаптилиш дәврида түрліча ташқи омилларға дүч келади. Шу сабабти бир вақтнинг үзида барча конструктив ҳусусиятларни ва ташқи омилларни тұлғыз зәтиборға олган ҳолда уларни лойихалаш-ҳисоблаш жараёнлари нюхоят даражада қийиндейдір. Ҳатто үта замонавий фан-техника ва технология жүтуқларидан фойдаланған тақдирда ҳам мұраккаб шароитларда құлланылаёттан айрим конструкциялар ёки уларнинг қисмлари учун юқоридаги муаммоларни ҳал этиб бўлмайди.

Шу боис, ҳақиқий конструкциялар ва уларнинг қисмлари унча мұхим бўлмаган иккинчи даражали конструктив ҳусусиятлар ва ташқи омиллардан ҳолос этилиб, улар шартли равишда соддилаштирилган күринишлард ғасирланади. Одатда, бундай қулайлаштирилган ихчам ғасир ҳисоблаш чизмаси дейилади.

1.1- жадвалда айрим конструкция ёки унинг қисмларининг ҳақиқий күриниши ҳамда ишлаш жараёнинг мос келувчи ҳисоблаш чизмаси көлтирилган.

Ҳисоблаш чизмасини тузәётгандан аввало шунта зәтибор бериш мұхимки, статиканың мутлақ қаттық жисмлар учун чиқарылған баъзи теорема ёки аксиома (богланишлардаги реакцияларни топишида мувозанат тенгламаларидан фойдаланиш бундан мұстасилюларини күпинча материаллар қаршилигига куллаб бўлмайди. Ҳусусан, статиканинг

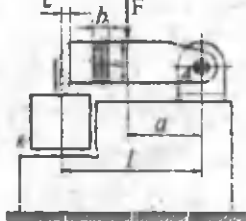
«кучларни үзининг таъсир чизиги бўйлаб бир нуқтадан бошқа нуқтага көлтириш;

«параллел кучлар түрухини төнг таъсир этувчиси билан алмаштириш;

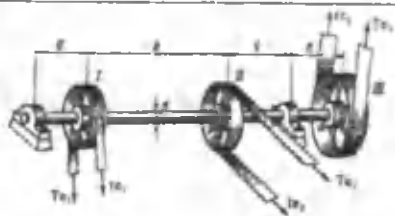
«жуфт кучни үз текислигінде бир жойдан бошқа жойга күчириш мүмкінлеги ҳақидағы теоремалари деформацияланувчи қаттық жисмларга тадбиқ этилганда масаланинг асл мөхияти мутлақо бузилади.

Масалан, бруснинг A нуқтасига қўйилған F кучни үз таъсир чизиги бўйлаб унинг B нуқтасига күчириш мүмкін эмас (1.11-шакл). Гарчи бунда таянч нуқталардаги реакция кучлари үзгармасада, бруснинг қаршилиқ кўрсатиши кескин үзгаради: биринчи ҳолатда унинг таянчдан юқори қисми сиқилиб, пастки қисми деформацияланмайди ва аксинча, иккінчи ҳолатда эса юқори қисми деформацияланмасдан, пастки қисми ҷўзилади.

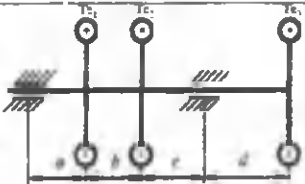
1.1-ЖАЛЫУАЛ

№	Характер объект	Испытание жараёны	Хисоблаш чизмасы
1		<p>Дастроҳда ишлов бериладиган К деталь мосламага АВ қисқыч ёрдамида маъкамланган.</p> <p>Кескич этилишига ишлайди</p>	
2		<p>Мостимага ўрнатылған кескич ёрдамида деталь йўнилмоқда.</p> <p>Кескич этилишига ишлайди.</p>	
3		<p>Домкрат куйидаги төркий қисмдардан иборат чүйндан ясалган корпус 1, винт 2, гайка 3, товон 4, даста 5.</p> <p>Даста ёрдамида винт айлантирилгандан Q оғирлікдаги юқ вертикаль йуналишица сурилади; шу боис винтни куйи қисмини қистириб маъкамланган устун кўринишида хисоблаш мумкин</p>	

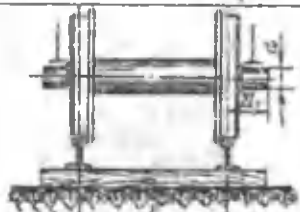
4



Подшипникларга урнатылған валдаги шкия II двигателдинг айланма ҳаракатини тасмали узатма орқали қабул қылади. Натижада айланма ҳаракат I ва III шкиналар орқали дастгоҳларга узатылади.
Вал эгилади.



5

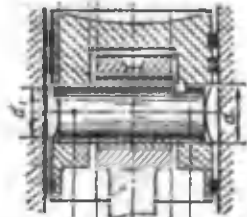


Темир йүл вагони рельседа тинч турибди. Вагон ва ундағы юкларнинг оғирлигі Q күч тарзда ўқса таъсир күрсатади.

Вагоннинг ўқи эгилади.

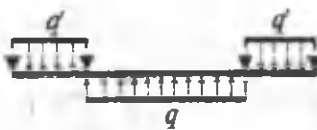


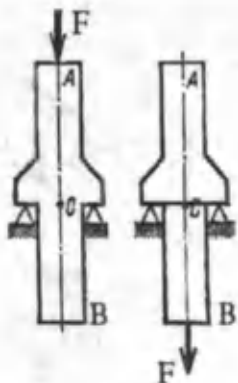
6



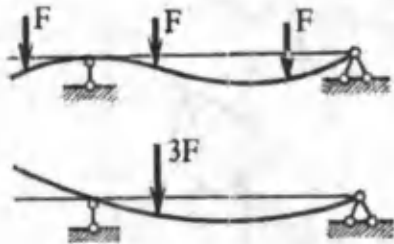
Ички ёнув двигателдинг поршени I «бармоқ» 2 орқали шатун билан боғланган.

Ёниш камерасидаги қ босым натижасида «бармоқ» эгилади.





I.11-шакл.



I.12-шакл.

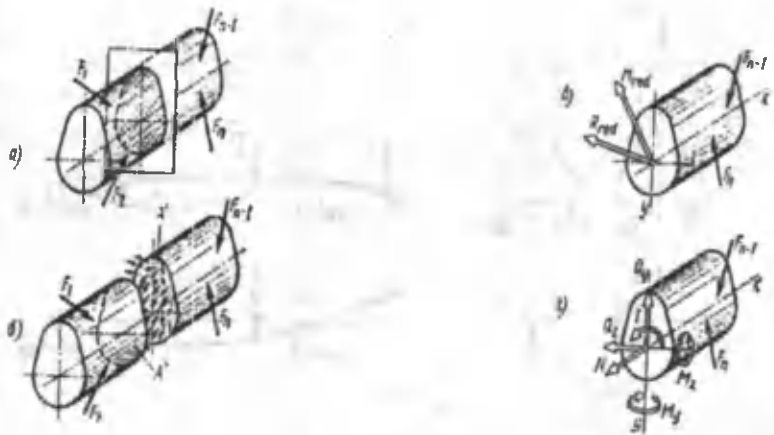
I.12-шаклда көлтирилган брусларнинг иккала ҳолатларидаги деформацияланниш жараёнларини қиёслаб, тегишлича параллел кучлар гурӯхини тенг таъсир этувчиси билан алмаштириш ва жуфт кучни ўз текислигига бир жойдан бошқа жойга кўчириш мумкинлиги ҳақидаги теоремалардан фойдаланиб бўлмаслигига ишонч ҳосил қилиш мумкин.

Юқоридаги мисолларнинг таҳлили шуни кўрсатадики, ҳисоблаш чизмасини қурай, масаланинг асл моҳиятига зид келмайдиган ҳолда танлаш ҳисоблаш-лойиҳалаш жараённида биринчи ва ниҳоятда маъсулиятли босқич экан.

1.4-§. Ички кучлар

Табиатдаги барча деформацияланувчи қаттиқ жисмларни ўзаро таъсирлашиб турувчи заррачалар йигиндисидан иборат деб қараш мумкин. Заррачаларнинг ўзаро таъсир кучлари жисмларни бир бутун ҳолда тутиб туриб, уларнинг деформацияланшиига қаршилик кўрсатиши учун хизмат қиласи.

Умуман олганда, юкланган ва юкланмаган жисмларнинг исталган иккита заррачаси орасидаги ўзаро таъсир кучлари турлича бўлади. Материаллар қаршилигига фақат юкланган, яъни деформацияланган жисмларнинг заррачалари орасидаги ўзаро таъсир кучлари эътиборга олинади.



1.13-шакл.

Жисмлар деформацияланган сари уларнинг кесимларидаги заррачалар бир-биридан узоқлашиш («қочиш»)га ёки ўзаро яқинлашишга интилади; деформацияланган жисм таркибидаги заррачаларнинг дастлабки мувозанатини сақлаш ёки тиклашга интилган кучлар ички кучлар ёки зўриқишил кучлари, қисқача зўриқишилар дейилади.

Демак, деформация ва зўриқишилар узвий боғланишда экан.

Деформацияланувчи қаттиқ жисмларнинг кесимларида ҳосил бўлувчи ички кучларнинг тенг таъсир этувчисини топиш мақсадида кесиш усули қўлланилади.

Кесиш усулининг асл моҳиятини тушунтириш мақсадида ихтиёрий таянчларда (таянчлар шаклда кўрсатилмаган) ётувчи бирорта бруснинг мувозанатини таҳлил қиласиз (1.13-шакл, а).

Бруста қўйилган ташқи кучлар тизими таянчларда реакция кучларини ҳосил қиласи; натижада брус мувозанат ҳолатида бўлади.

Бруснинг бирор кесимидағи ички кучларни аниқлаш учун куйидаги ишларни навбат билан бажарамиз:

а) бруслик ихтиёрий текислик билан фикран кесиб, уни иккি қисм (томон)га ажратамиз;

б) ихтиёрий томонни, масалан чап томонни ташлаб юбориб. Ўнг томонни алоҳида ажратиб оламиз; албатта, бу ҳолатда жисмдан ажратилган қисмнинг мувозанати бузилиши табиий;

в) ажратилган қисмнинг дастлабки мувозанатини тиклаш мақсадида ташлаб юборилган томоннинг таъсирини кесим юзи бўйича ихтиёрий равишда тақсимланувчи ва кесимнинг ҳар бир нуқтасига қўйилган кучлар билан алмаштирамиз (I.13-шакл, б);

г) қўйилаги статика тенгламалари ёрдамида ажратилган қисмнинг мувозанатини текширамиз:

$$\left. \begin{array}{l} \sum_{i=1}^n X_i = \sum_{i=1}^n F_{ix} = 0, \quad \sum_{i=1}^n M_{xi} = \sum_{i=1}^n M_x(F_i) = 0 \\ \sum_{i=1}^n Y_i = \sum_{i=1}^n F_{iy} = 0, \quad \sum_{i=1}^n M_{yi} = \sum_{i=1}^n M_y(F_i) = 0 \\ \sum_{i=1}^n Z_i = \sum_{i=1}^n F_{iz} = 0, \quad \sum_{i=1}^n M_{zi} = \sum_{i=1}^n M_z(F_i) = 0 \end{array} \right\} \quad (I.1)$$

Агар бруслан ажратилган қисм битта текисликда ётүвчи кучлар таъсирида бўлса, у ҳолда юқоридаги мувозанат шарти қўйидагича ёзилади:

$$\left. \begin{array}{l} \sum_{i=1}^n X_i = \sum_{i=1}^n F_{ix} = 0 \\ \sum_{i=1}^n Y_i = \sum_{i=1}^n F_{iy} = 0 \\ \sum_{i=1}^n M_{xi} = \sum_{i=1}^n M_x(F_i) = 0 \end{array} \right\} \quad (I.2)$$

Аммо, кесимларда ҳосил бўлувчи ички кучларнинг сони чексиз кўп бўлғанлиги туфайли уларни аниқлаш масаласини фақатгина (I.1) ёки (I.2) тенгламалар тизими ёрдамида ҳал қила олмаймиз. Одатда, бундай масалалар статик аниқмас масалалар дейилиб, уларни ечиш режаси 1.7-§ да баён этилади.

Энди кесимлардаги барча ички кучларни битта бош вектор R ва бош момент M билан алмаштириб, кесим оғирлик марказига келтирамиз (I.13-шакл, в).

Бош вектор ва бош моментларни x , y , z ўқларига проекциялаб, қуидати олтига ички куч омилларига эга бўламиз (1.13-шакл, г):

$$\left. \begin{array}{l} Q_x = \sum_{i=1}^n X_i, \quad M_x = \sum_{i=1}^n M_x(F_i) = 0 \\ Q_y = \sum_{i=1}^n Y_i, \quad M_y = \sum_{i=1}^n M_y(F_i) = 0 \\ N_z = \sum_{i=1}^n Z_i, \quad M_z = \sum_{i=1}^n M_z(F_i) = 0 \end{array} \right\} \quad (1.13)$$

Бу ерда, $N = N_z$ - бўйлама куч;

Q_x, Q_y - кўндаланг (кесувчи ёки қирқувчи) кучлар;

M_x, M_y - эгувчи моментлар;

$T = M_z$ - буровчи момент.

Ички кучларни қуидагича таърифлаймиз:

- ажратилган қисмга қўйилган ташқи куч ва реакция кучларидан кўндаланг кесим нормалига мос келувчи ўқса нисбатан олинган проекцияларнинг алгебраик йигиндиси бўйлама куч дейилади;
- ажратилган қисмга қўйилган ташқи куч ва реакция кучларидан марказий бош инерция^{*} ўқлари ox ва oy ларга нисбатан олинган проекцияларнинг алгебраик йигиндиси марказий бош инерция ўқларига нисбатан эгувчи момент ёки қисқача, эгувчи момент дейилади;
- ажратилган қисмга қўйилган ташқи куч ва реакция кучларидан кўндаланг кесим оғирлик марказига нисбатан олинган моментларнинг алгебраик йигиндиси марказий бош инерция ўқларига нисбатан эгувчи момент дейилади;
- ажратилган қисмга қўйилган ташқи куч ва реакция кучларидан кўндаланг кесим нормалига мос келувчи ўқса нисбатан олинган моментларнинг алгебраик йигиндиси буровчи момент дейилади.

Кесимларда ҳосил бўлувчи ички куч омиллари мазкур жисмнинг деформацияланиш ва кучланиш ҳолатлари билан узий боғлиқдир.

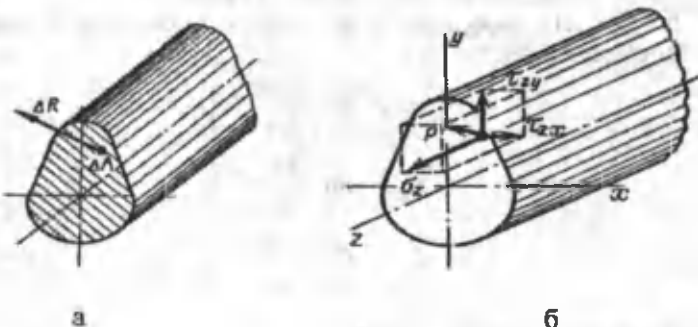
* Марказий бош инерция ўқлари тушунчаси VI бобда баён этилади.

1.5-§. Күчланишлар

Текширилаётган жисмларнинг исталган кесимида ётувчи нуқтадаги ички күчлар интенсивлігінинг үлчовини билиш мақсадыда күчланиш тушунчаси кириtilган.

Бирлик юзага таъсир этувчи ички күчга механик күчланиш ёки қисқача күчланиш дейилади.

Фараз құлайлық, текширилаёттан кесимнинг бирор нуқтаси атрофидан олинган ΔA элементтар юзачага ички күчларнинг тенг таъсир этувчиси ΔR күйилған бўлсин (I.14-шакл, а).



I.14-шакл.

Ички күчлар тенг таъсир этувчисининг элементтар юзача юзасига нисбати ўртача күчланиш дейилиб, куйидагича ифодаланади:

$$P_{\text{урт}} = \frac{\Delta R}{\Delta A} \quad (\text{I.4})$$

Демак, күчланиш кесим юза бирлигига түгри келувчи ички күч бўлиб, йўналиши $\Delta A \rightarrow 0$ даги ΔR нинг чекли йўналишига мос келувчи вектор катталиқ экан.

Тұла күчланиш қуйидагича аниқланади:

$$p = \lim_{\Delta A \rightarrow 0} \frac{\Delta R}{\Delta A} \quad (\text{I.5})$$

Күчланишлар P_a , M_Pa лар билан үлчанади.

Кесимда ётувчи ҳар бир нуқтадан фазода турлича йўналған юзачалар ўтказиш мумкин; бундай юзачаларнинг күчланишлари турличи бўлиши табиий. Лекин биз кейинчалик фақат

йўналишлари маълум юзачалардаги кучланишларни аниқлаш билан шуғулланамиз, холос.

Тўла кучланиш векторини координата ўқларига параллел бўлган учта тузувчига ажратамиз (I.14-шакл, б); бу тузувчиларнинг биринчисини σ нормал ва қолган иккитасини τ урунма кучланишлар деб атаймиз. Одатда, тўла кучланишнинг ташкил этувчилари бир индексли σ (бу ерда, индекс юзага ўтказилган нормалнинг йўналишини кўрсатади) ва қўш индексли τ (бу ерда, биринчи индекс юзага ўтказилган нормалнинг йўналишини, иккинчиси эса урунма кучланиш ташкил этувчисининг йўналишини кўрсатади) билан белгиланади.

Юқоридаги ифодадан фойдаланиб, нормал ва урунма кучланишларни аниқлаймиз:

$$\left. \begin{aligned} \sigma_z &= \lim_{\Delta A \rightarrow 0} \frac{\Delta N}{\Delta A} \\ \tau_{xz} &= \lim_{\Delta A \rightarrow 0} \frac{\Delta Q_x}{\Delta A} \\ \tau_{yz} &= \lim_{\Delta A \rightarrow 0} \frac{\Delta Q_y}{\Delta A} \end{aligned} \right\} \quad (I.6)$$

Нормал кучланишлар бўйлама (чизиқли) деформацияларни, урунма кучланишлар эса силжиш (бурчакли) деформацияларни юзага келтириди.

Тўла кучланиш ва унинг ташкил этувчилари орасида қўйидаги муносабат мавжуд:

$$p = \sqrt{\sigma_z^2 + \tau_{xz}^2 + \tau_{yz}^2} \quad (I.7)$$

1.6-§. Асосий чекланишлар

Юқорида таъкидланганидек, амалий лойиҳалаш-ҳисоблаш жараёнларида ўрганилаётган ҳақиқий (реал) объексларнинг барча хусусиятларини бир вақтда эътиборга олиш жуда қийин. Шу сабабли материаллар қаршилиги фанини ўрганиш жараёнида ҳамда унинг барча ечим ва хуносаларини олишда қандайдир деформацияланувчи қаттиқ жисмлар моделига таянамиз. Бундай моделлар сифатида қўйидаги асосий чекланиш (гипотеза) ларни ўзида мужассамлаштирувчи идеал эластик жисмлар хизмат қиласи:

- жисм материалы яхлит (говаксиз) деб фараз қилинади (жисм деформациягача ва деформациядан кейин ҳам ўзи эгаллаган фазода «бутунлай тұлатилған» деб қаралиб, унинг атом тузилиши зәтиборга олинмайды);
- жисм материалы бир жинсли деб фараз қилинади (унинг барча нүкталари атрофида ташқи юклар таъсиридан бир хил деформация содир бўлади);
- жисм материалы изотроп, яъни у ҳар бир нүктада ҳар томонга қараб бир хил эластик ҳусусиятга эга деб фараз қилинади;
- жисм тўла эластик деб фараз қилинади (жисм юклар таъсири олингандан кейин ўзининг дастлабки «табиий» ҳолатини тиклайди деб қаралади);
- ташқи кучлар таъсиридан идеал эластик жисмда ҳосил бўладиган кучланиш ва деформациялар ўзаро чизиqli боғланишда деб фараз қилинади;
- кучлар таъсирининг бир-бирларига ҳалал бермаслик (мустақиллик) тамойили. Бу тамойилнинг моҳиятига кўра, жисм нүкталарида ҳосил бўладиган кучланиш ва деформациялар ташқи куч (юк) ларнинг кетма-кет ёки тартибсиз қўйилишига боғлиқ бўлмайди, балки иккала ҳолда ҳам кучланиш ва деформациялар бир хил бўлади, деб қаралади;
- Сен-Венан тамойили - жисмнинг бирорта кичик бўлагига қўйилған мувозанатлашувчи кучларнинг таъсиридан юзага келадиган кучланишлар «маҳаллий» ҳусусиятга эга бўлиб, улар кучлар қўйилған қисмдан узоқлашган сари жуда тез сўна бошлайди.

1.7-§. Материаллар қаршилиги фанидаги масалалар ва уларни ечиш тартиблари

Материаллар қаршилиги фанида ечиладиган масалаларнинг асосий мазмуни қўйидагилардан иборат:

- а) конструкция қисмларининг ўзига хос, айниқса хавфли кесимларида пайдо бўлувчи ички куч, кучланиш, деформация ва кўчишларни аниқлаш;
- б) конструкция қисмларининг мустаҳкамлик, бикрлик, устуворлик каби талабларни қаноатлантирувчи зарурий, ишончли ва фойдаланишга қулайроқ ўлчамларини аниқлаш;
- в) берилган ўлчамлар бўйича конструкция элементларининг хавф-хатарсиз ишлашини таъминловчи энг катта куч (юк)ларни топиш.

Материаллар қаршилиги фанида статик аниқ ва статик аниқмас масалалар ўрганилади.

Текширилаётган объектларнинг таянчларида ҳосил бўлувчи реакция кучларини ва уларнинг ихтиёрий кесимларида ички кучларни факат статиканинг мувозанат тенгламалари ёрдамида аниқлаш мумкин бўлган масалалар **статик аниқ масалалар** дейилади.

Аксинча, реакция кучлари ва ички кучларни статиканинг мувозанат тенгламалари ёрдамида аниқлаш мумкин бўлмаган масалалар **статик аниқмас масалалар** дейилади.

Барча статик аниқмас конструкциялар «ортиқча» боғланишларга, яъни номаълум зўриқиши ёки таянч реакцияларига эга бўлади. Гарчи бу боғланишлар конструкцияларнинг геометрик ўзгармаслиги ва мувозанатини таъминлаш учун зарур бўлмасада, уларнинг мустаҳкамлиги, бикрлиги ва устуворлигини ошириш учун хизмат қиласди. Ортиқча боғланишларни аниқлашда статика тенгламаларидан ташқари қўшимча тенгламалар ҳам тузиш зарур.

Масаланинг статик аниқмаслик даражаси ундаги ортиқча номаълумларнинг сони билан белгиланади.

Масалан, ортиқча номаълумлар сони иккита бўлганда масала икки марта статик аниқмас деб ҳисобланади. Бундай масалани ечиш учун статиканинг мувозанат тенгламаларига қўшимча равишда яна иккита қўшимча тенглама тузиш кифоя.

Статик аниқмас масалаларни ечишнинг умумий режаси қўйидаги тартибда олиб борилади:

I. *Масалани статик томондан таҳлил қилиш.*

Бундай таҳлил қўйидаги кетма-кетликда бажарилади:

- а) кесиш усулидан фойдаланиб жисмни иккиси қисмга ажратиш;
- б) ихтиёрий қисмни алоҳида ажратиб олиш;

в) ташлаб юборилган қисмнинг ажратиб олинган қисмга кўрсатган таъсирини ички кучлар, боғланишларни эса реакция кучлари билан алмаштириш;

г) ажратилган қисм учун мувозанат тенгламаларини тузиш.

II. *Масалага геометрик нуқтаси назардан ёндашиш.*

Бунинг учун конструкция қисмларининг деформациялари орасида боғланишлар ўрнатилиб, деформациянинг узлуксизлик тенгламалари тузилади.

III. *Масаланинг физик томонини ўрганиш.*

Бу ҳолда Гук қонунини қўллаб, конструкция қисмларининг деформациялари билан уларни вужудга келтирувчи ички кучлар орасидаги боғланиш тенгламаларини тузиш лозим.

IV. Синтез.

Масалани статик, геометрик ва физик нұқтаи назардан үрганиш натижасыда ҳосил қилинган барча тенгламаларни ички зерткеши күчларига нисбатан ечиш.

Кейин эса масаланинг қолган қисмими осонгина ҳал қилиш мүмкін.

Шундай қилем, статиканинг мувозанат тенгламаларини тузиш учун берилған масалага статик, құшимчы тенгламаларни тузиш учун эса унга геометрик ва физик нұқтаи назарлардан ёндашиш зарур экан. Бундан чиқди, агар берилған статик аниқмас масалани геометрик ва физик томонларини таҳлил қилиш натижасыда келиб чиққан холосаларни оддийроқ күреништеги битта тенгламада мужассамлаштырыш мүмкін бўлса, у ҳолда масалани ечиш анча осонлашади. Шу жиҳатдан қараганды құшимчы тенгламалар тузишининг қўйидаги усуларини үрганиш мақсадга мувофиқдир:

- деформацияларни солиштириш усули;
- куч усули;
- энергетик усул.

Деформацияларни солиштириш ва куч усулдары ёрдамида құшимчы тенгламалар тузатганда берилған тизимга кўра асосий ва тенг кучли (эквивалент) тизимлар таңлаш зарур.

Статик аниқмас тизимдан ортиқча боғланишлар олиб ташланганда ҳосил бўладиган статик аниқ ва геометрик ўзгартмас (ташқи кучлар тасирида деформацияланувчи, аммо қўзғулмайдиган) тизим асосий тизим дейилади.

Асосий тизимга берилған ташқи кучлар ва ортиқча номаълум кучлар қўйилганда ҳосил бўлувчи тизим эса тенг кучли тизим дейилади.

Шуни унутмаслик керакки, битта статик аниқмас масала учун бир қанча асосий ва тенг кучли тизимлар таңлаш мүмкін.

Агар статик аниқмас масалалар деформацияларни солиштириш усулида ечиладиган бўлса, юқорида баён қилинган II ва III бандлар қўйидагича ўзгартириллади:

- асосий тизим танданиб, ундан тенг кучли тизим ҳосил қилинади;
- тенг кучли тизимнинг ортиқча номаълум куч қўйилган кесимидағи кўчишини аниқловчи ифода тузилиб, нолга тенглаштириллади (баъзан бу ифода масаланинг моҳиятига қараб нолдан фарқли миқдорга ҳам тенглаштириллади); ҳосил бўлган ифода құшимчы деформация тенгламаси дейилади.

Куч усули құлшанилаёттанды эса II ва III банддар қуйидагида үзгартырылады:

- асосий, сүнгра тенг күчли тизим ҳосил қилинади;
- тенг күчли тизим учун куч усулининг каноник (ихчам) тенгламаси ёки тенгламалар тизими тузилади; булар мөс ра-вишда құшимча деформация тенгламаси ёки тенгламалар ти-зими деб аталади.

Энергетик усул минимал иш ҳақидағи теоремага асосланған бўлиб, статик аниқмас масалаларни ечишда жуда қуладир. Бу усулдан фойдаланиш учун юқоридағи режанинг II ва III банд-ларини қуйидагида үзгартыриш кифоя:

- оптика боғланишларни ўз ичига олган деформациянинг потенциал энергияси ифодасини тузиш;
- деформациянинг потенциал энергияси учун минималлик шартини ёзиб, құшимча тенглама тузиш.

Текшириш учун савол ва топшириқлар

1. Мұхәндислик амалиётида конструкция ва унинг элементлари деганда нимани тушунасиз?
2. Машина, иншоот ва уларнинг қисмларига қандай конструктив талаблар қўйилади? Уларни алоҳида изоҳланг.
3. Деформацияланувчи қаттиқ жисмлар деганда нималарни тушунасиз?
4. Материаллар қаршилиги ва назарий механика фанларининг ўхшашлиги на фарқи нималардан иборат?
5. Материаллар қаршилиги фанида деформацияланувчи қаттиқ жисм қандай гурӯхларга ажратиб ўрганилади?
6. Ташқи күчлар қандай гурӯхларга ажратилади?
7. Деформацияларнинг турларини изоҳланг.
8. Ички күчлар деганда қандай күчларни тушунасиз? Ке-сиш усулининг мөхияти нимадан иборат?
9. Күчланиш түшүнчеси нима мақсадда киритилған? Унинг ўлчамлиги қандай?
10. Материаллар қаршилиги фанида қабул қилингандың асосий чекланишларнинг мазмунини изоҳланг.
11. Материаллар қаршилиги фанида ҳал этиладиган масалаларнинг мөхияти нималардан иборат?
12. Материаллар қаршилиги фанни ривожига ҳисса қўшган таниқли олимлардан кимларни биласиз?

II БОБ. ИЧКИ КУЧЛАРНИНГ ЭПЮРАЛАРИ

2.1-§. Эпюра қуриш тартиби

Брус (стержен, вал, түсін)ларни мустақамлик ва бикрликка ҳисоблашда уларнинг қайси кесимларида ички кучлар экстремал (энг катта ёки энг кичик) қийматларға эришишини, аникроғи, ички кучларнинг брус узунлиги бўйича ўзгариш қонуниятини билиш мұхимдир. Одатда, бу қонуниятни аналитик боғланишлар ва улар ёрдамида қурилдиган эпюралар орқали ифодалаш мумкин.

Ички кучларнинг брус узунлиги бўйича ўзгариш қонуниятини кўрсатувчи график ёки диаграмма мазкур ички кучларнинг эпюралари ёки қисқача, эпюра дейилади.

Демак, эпюраларни тўғри қуриш мұхим аҳамиятга эга экан, чунки улар ёрдамида брусларнинг хавфли кесими танланади ҳамда ички кучларнинг ҳисобий қийматлари аниқланади.

Ҳар бир ички кучнинг ўзига айнан битта тенглама мос келади.

Эпюраларни қуришда қуйидаги умумий тартиблардан фойдаланиш тавсия этилади:

1) статиканинг мувозанат тенгламалари ёрдамида таянч реакция кучлари^{*} аниқланади;

2) бруслар тегишли «оралиқ» ларга ажратиб, маълум тартибда улар I, II, III... рақамлар билан белгиланади; оралиқнинг чегаралари қуйидагилардан иборат бўлиши мумкин (II.1-шакл):

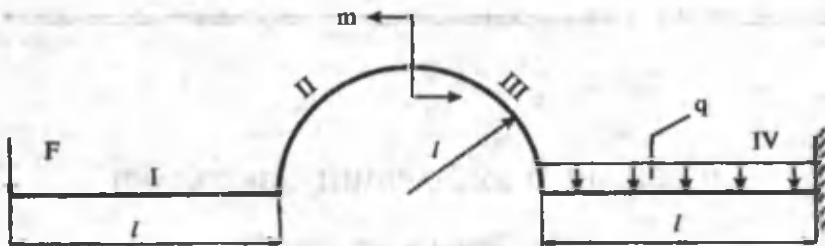
а) тўпланган кучлар ва жуғф кучлар қўйилган кесимлар;

б) битта қонуният бўйича ўзгарувчи тақсимланган кучларнинг бошланиш ва охирги кесимлари;

в) брусларнинг синиқ жойлари.

3) кесиш усулидан фойдаланиб, ҳар бир оралиқ учун ички кучларнинг аналитик ифодалари ёзилади; бунда ички кучларнинг ишораларига алоҳида эътибор бериш зарур.

* Фақат бир учи билан қистириб маҳкамланган бруслар учун бу тавсияни бажармаса ҳам бўлади, чунки масала брусларнинг эркин учидан бошлаб ҳам ечилиши мумкин.



II.1-шакл.

4) аналитик ифодалар таркибидаги ўзгарувчига тегишли қийматлар берib, ҳар бир оралиқнинг ўзига хос кесимларидағи ички күчларнинг миқдорлари - ординаталари ҳисобланади;

5) ординаталар аниқ масштаб билан брус ўқига параллел қилиб ўтказилған нол чизигін тик қилиб жойлаштирилади ва эпюра чизилади; одатда, эпюрада мусbat қийматлар нол чизигининг іюқори, манфий қийматлар эса пастки қысмiga жойлаштирилади.

6) эпюра нол чизигін тик бўлган чизиклар билан штрихланади.

2.2-§. Бўйлама куч билан тараған куч интенсивлиги орасидаги дифференциал ва интеграл муносабатлар

Айтайлик, стерженнинг ℓ узунынкка эга бўлган i -чи оралиғи $q=q(z)$ қонуният бўйича ўзгарувчи ёйилган нормал куч таъсири остида бўлсин (II.2-шакл, а).

Чексиз кичик узунликдаги dz элементни ажратиб олиб, унинг чап кесимига $N(z)$ бўйлама кучни қўямиз (II.2-шакл, б). Элементнинг ўнг кесимидағи бўйлама куч $dN(z)$ ортирма олади.

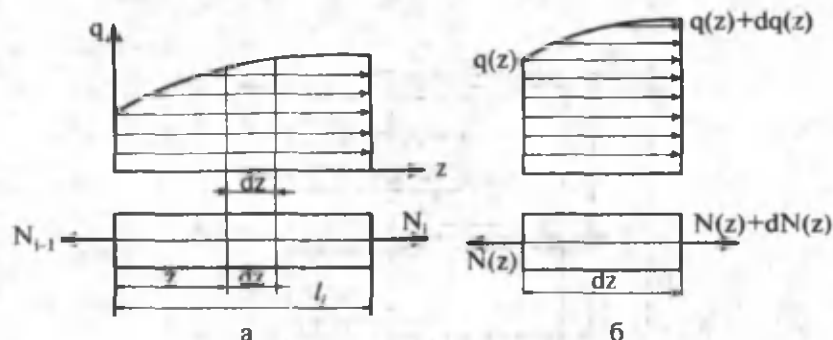
Элементнинг мувозанатини текширамиз:

$$\sum Z_i = 0; \quad N(z) + dN(z) - N(z) + q(z)dz + \frac{dq(z)dz}{2} = 0 \quad (\text{II.1})$$

Иккинчи тартиби чексиз кичик миқдорни эътиборга олмасдан

$$\frac{dN(z)}{dz} = -q \quad (\text{II.2})$$

Кўринишдаги дифференциал муносабатни ҳосил қиласиз: бўйлама кучдан z абсисса бўйича олинган биринчи тартибли ҳосила текширилаётган оралиққа таъсир эттаётган ёйилган куч интенсивитигининг тескари ишорасига тенг.



II.2-шакл.

(II.2) ифодадан қўйидаги интеграл муносабатни ҳосил қиласиз:

$$N(z) = - \int_0^z q(z) dz + N_{i-1} \quad (II.3)$$

Бу ерда N_{i-1} -текширилаётган оралиқнинг чап кесимидағи бўйлама куч.

2.3-§. Бўйлама құчларнинг эпюралари

1-масала. Ўзгармас кесимли брус $F_1 = F$, $F_2 = 2F$ ва $F_3 = 4F$ кучлар билан юклантган (II.3-шакл, а). Бруснинг оралиқлари тегишлича: $\ell, 3\ell, \ell$ га тенг.

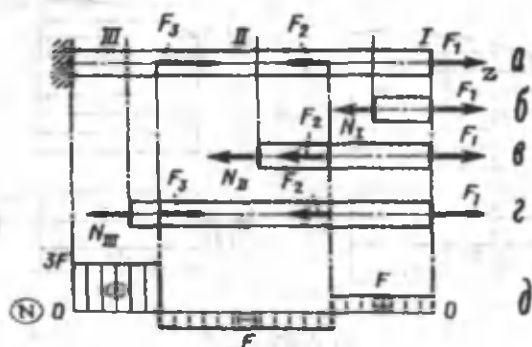
Бўйлама куч эпюрасини куриш талаб этилади.

Ечиш

Масала 2.1-§ да келтирилган эпюра қуриш тартиби асосида ечилади.

Стержен чап томондаги учи билан қыстириб маҳкамланганлиги сабабли масалани ўнг томондан бошлаб ечамиз; з ўқини стержен ўки бўйлаб йўналтирамиз. Стержен учта оралиқдан иборат.

Кесиш усулидан фойдаланамиз: ҳар бир оралиқни мөс ра-вищда текисликлар билан фикран қирқиб, қирқилган кесимларга нисбатан бўйлама кучларнинг тенгламаларини ёзиб оламиз (II.3-шакл, б, в, г).



II.3-шакл.

Маълумки, бўйлама кучлар қирқим текислигининг чап ёки ўнг томонларига таъсир этаётган барча кучлардан з ўқига олинган проекциялар йигиндисидан иборат эди:

$$N(z) = \pm \sum_{i=1}^n Z_i \quad (\text{II.4})$$

Одатда, бўйлама кучларнинг ишоралари қўйидагича танла-нади: агар бўйлама кучлар қирқилган кесимдан бир томонда ёт-ган стерженинг бўлакчасини чўса, улар мусбат ишорали ва ак-сингча, уни сиқса манфий ишорали бўлади.

Энди ҳар бир қирқилган кесимга нисбатан (II.4)ни тузамиз:

I оралиқ $(0 \leq z_1 \leq \ell)$

ўнг томон учун: $N(z_1) = F_1 = F = \text{const}$

II оралиқ $(0 \leq z_2 \leq 3\ell)$

ўнг томон учун: $N(z_2) = F_1 - F_2 = -F = \text{const}$

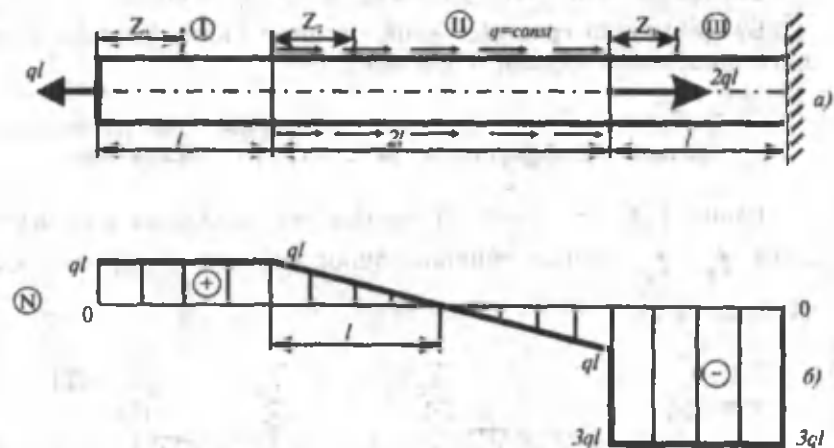
III оралиқ $(0 \leq z_3 \leq \ell)$

ўнг томон учун:

$$N(z_2) = F_1 - F_2 + F_3 = F - 2F + 4F = 3F = \text{const.}$$

Бу қийматлар ёрдамида аниқ масштаб билан бўйлама кучнинг эпюрасини курамиз (II.3-шакл, д).

2-масалा. Тўтиланган ва ёйилган кучлар билан юкланган стержен учун бўйлама кучнинг эпюраси курилсин (II.4 -шакл, а).



II.4-шакл.

Ечиш

Стержен ўнг томондаги учи билан қистириб маҳкамланганлиги сабабли масалани чап томондан бошлаб ечамиш; з үқини стерженнинг геометрик ўқи бўйлаб йўналтирамиз. Стержен учта оралиқдан иборат.

Кесиш усулидан фойдаланамиш: ҳар бир оралиқни фикран қирқиб, қирқилган кесимларга нисбатан бўйлама кучларнинг тенгламаларини тузамиш.

Охирги ифодани қирқилган кесимларга нисбатан ёзамиш:

$$\text{I оралиқ } (0 \leq z_1 \leq \ell)$$

$$\text{чап томон учун: } N(z_1) = q\ell = \text{const}$$

$$\text{II оралиқ } (0 \leq z_2 \leq 2\ell)$$

$$\text{чап томон учун: } N(z_2) = q\ell - qz_2$$

$$\begin{aligned} z_2=0 & \quad N(0)=ql \\ z_2=2l & \quad N(2l)=-ql \end{aligned}$$

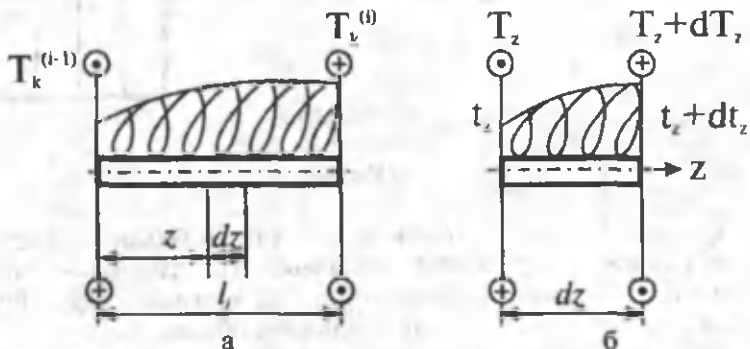
III оралиқ ($0 \leq z_3 \leq \ell$)

чап томон учун: $N(z_3)=q\ell - q \cdot 2\ell = -3q\ell = const$

Бу қийматлар ёрдамида аниқ масштаб билан бүйлама күчнинг эпюрасини құрамыз (II.4-шакл, б).

2.4-§. Буровчи момент билан тәралған момент интенсивилігі орасындағы дифференциал ва интеграл мұносабаттар

Валнинг ℓ узунликка әга бўлган i -чи оралиғига интенсивиліги $t_e = t_{ez}$ бўлган ёйилған ташқи момент таъсир этмоқда (II.5-шакл, а).



II.5-шакл.

Текширилаётган оралиқнинг чап кесимидаги буровчи момент $t_e^{(i-1)}$, ўнг кесимидаги эса t_e^i билан чизмада тасвирланған. Ундан чексиз кичик узунликдаги dz бўлакчани ажратиб олиб (II.5-шакл, б), куйидаги мувозанат тенгламасини тузамиз:

$$\sum M_{zi} = 0; \quad T_z + dT_z - T_z - t_{ez} \cdot dz - \frac{dt_e^i \cdot dz}{2} \approx 0$$

Бу тенгламани тузища ажратилган бўлакчанинг узунилиги dz чексиз кичик бўлганлигидан ёйилган юк чизиқли қонуният бўйича тақсимланган деб қаралган.

Иккинчи тартибли чексиз кичик миқдор $\frac{dt_e \cdot dz}{2}$ ни эътиборга олмасдан, қўйидаги дифференциал муносабатни ҳосил қиласиз:

$$\frac{dT_z}{dz} = t_e(z) \quad (\text{II.5})$$

Демак, буровчи моментдан z абсцисса бўйича олинган биринчи тартибли ҳосила валнинг текширилаёттан оралигига таъсир кўрсатаётган ёйилган момент интенсивлигига тенг экан.

(II.5) дан қўйидаги интеграл муносабат келиб чиқади:

$$T_z = \int_0^{z_1} t_e(z) dz + T_z^{-1} \quad (\text{II.6})$$

2.5-§. Буровчи моментларнинг эпюралари

Буровчи моментларнинг эпюраларини қуриш мақсадида тасмали (трансмиссия) вални оламиз (II.6-шакл).

Валга 3 та шкив ўрнатилган. Подшипниклардаги ишқаланиш кучларини эътиборга олмаймиз.

Айтайлик, валга ўрнатилган II шкив двигателнинг айланма ҳаракатини тасмали узатмалар орқали қабул қилсин. Натижада айланма ҳаракатлар I ва III шкивлар орқали дасттоҳларга узатилади. Шу боис, II шкив етакловчи, қолганлари эса етакланувчи шкивлар дейилади.

Назарий механикадан маълумки, шкивларга таъсир этувчи ташки буровчи момент мазкур шкивга боғланган электродвигател ёки дасттоҳнинг куввати $N_{o.k.}$ ва валнинг I дақиқадаги айланишлар сони n орқали қўйидагича ифодаланади:

$$T_e = 7162 \frac{N_{o.k.}}{n} (\text{Н м}) \quad (\text{II.7})$$

Бу ерда, $N_{o.k.}$ - узатилаётган қувватнинг от кучи (қисқача о.к.) ҳисобидаги қиймати.

Бир от кучи 0,736 кВт эканлигини назарда тутиб, ташки буровчи моментни аниқлаймиз:

$$T_e = \frac{7162K}{0,736 n} = 9736 \frac{K}{n} \quad (II.8)$$

Бу ерда, K -қувватнинг киловатт қиймати.

Одатда, K ва n ларнинг қийматлари двигател ва дастгоҳларнинг паспортларида кўрсатилган бўлади.

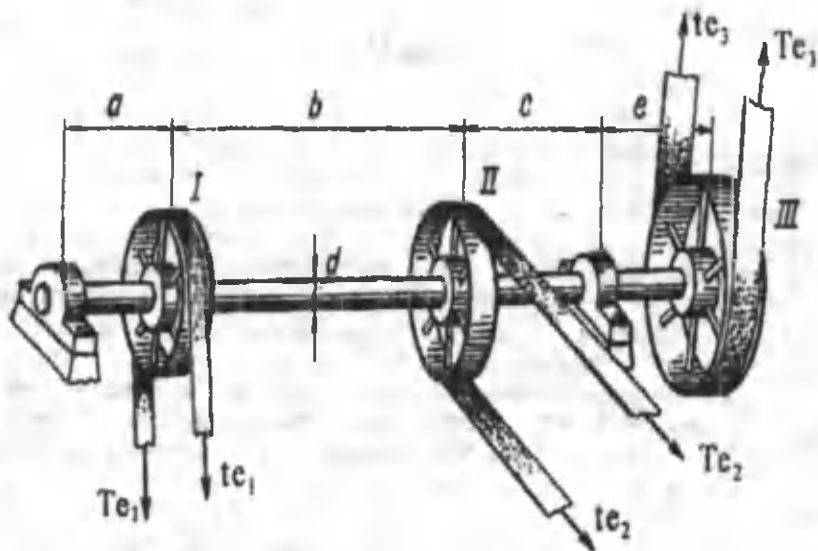
Баъзан ташқи буровчи моментни қўйидаги формула ёрдамида ҳам аниқлаш мумкин:

$$T_e = (T - t)D \quad (II.9)$$

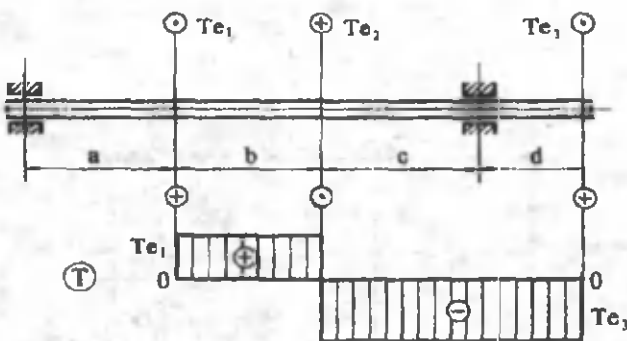
Бу ерда, T -тасманинг етакловчи қисмидаги тортишиш кучи;

t -тасманинг етакланувчи қисмидаги тортишиш кучи;

D -шкивнинг диаметри.



II.6-шакл.



II.7-шакл.

Фараз қилайлик, валнинг учала шкивларига қўйилган ташқи моментларнинг қийматлари маълум бўлиб, улар мос равишда T_{e_1} , T_{e_2} , T_{e_3} ларга тенг бўлсин.

Фазовий (аксонометрик) кўринишдаги чизмани текислиқда тасвирлаймиз (II.7-шакл, а).

Ташқи ва ички моментларни чизмада тасвирлаш учун тегинчили кесимдан олинган вертикал кесманинг учларига иккита айланаларнинг бирига (+) нуқта, иккинчи сига (+) мусбат белгиси қўйилади.

Кесиш усулидан фойдаланиб, буровчи моментнинг эпюрасини қурамиз (II.7-шакл, б).

З-масала. II.8-шакл, а да тасвирланган вал учун буровчи моментнинг эпюраси қурилсин. Текис тақсимланган моментни

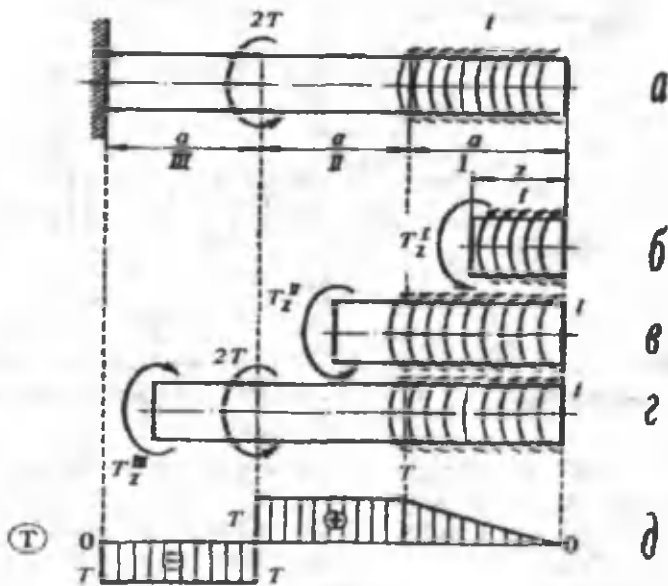
$$t = \frac{T}{a} \text{ га} \text{ тенг} \text{ деб} \text{ олинсин.}$$

Ечиш

Валнинг ўқи бўйлаб τ ўқини йўналтириб, масалани ечишни ўнг томондан бошлаймиз. Вал учта оралиқдан иборат.

Кесиш усулини кўллаб, валнинг учала оралиқларини ҳам фикран қирқамиз. Кейин эса

$$T(z) = \pm \sum_{i=1}^n T(z_i) \quad (\text{II.10})$$



II.8-шакл.

Формуладан фойдаланиб, қирқилган кесимлардан бир томонда ётган барча ташқи буровчи моментларни з үқига нисбатан проекциялаймиз.

Буровчи моментнинг тенгламасини тузишда қуйидаги ишоралар қоидасига риоя қилиш зарур: агар кесим томондан қараганда ташқи буровчи момент вални соат мили ҳаракати йўналишига қарши айлантирса унинг ишораси мусбат, аксинча, соат миллининг ҳаракати йўналиши бўйича айлантирса манфий ишорали қилиб танланади.

(II.10) формула ёрдамида қуйидагича ифодаларни тузамиз (II.8-шакл, *b*, *c*, *d*):

$$\begin{aligned} \text{I оралиқ } & (0 \leq z_1 \leq \ell) \\ \text{ўнг томон учун } & T(z_1) = t z_1 = \text{const} \end{aligned}$$

II оралиқ $(0 \leq z_2 \leq \ell)$

чап томон учун $T(z_2) = t a = T = const;$

III оралиқ $(\ell \leq z_3 \leq 2\ell)$

чап томон учун $T(z_3) = t a - 2T = -T = const.$

II.8-шакл, ∂ да топилған қийматтар асосида аниқ масштаб билан қурилған буровчи моментнинг эпюраси тасвиранған.

4-масала. Валға интенсивлігі $T(z) = 2T\left(\frac{z}{\ell}\right)^2$ бүлған ёйилған момент ва T түпленған момент таъсир этмоқда (II.9-шакл, а).

Буровчи моментнинг эпюрасини қуриш талаб этилади.

Ечиш

Дастралб чизмадан фойдаланиб қуйидаги мұносабатни тузамыз:

$$\frac{4T}{2\ell^2} = \frac{t(z_2)}{z_2}$$

Бундан

$$t(z_2) = \frac{2T}{\ell^2} z_2$$

әканлығы келиб чиқады

Қуйидагича ифодаларни ёзиб оламыз:

I оралиқ $(0 \leq z_1 \leq \ell)$

үнг томон учун $T(z_1) = -T = const$

II оралиқ $(\ell \leq z_2 \leq 2\ell)$

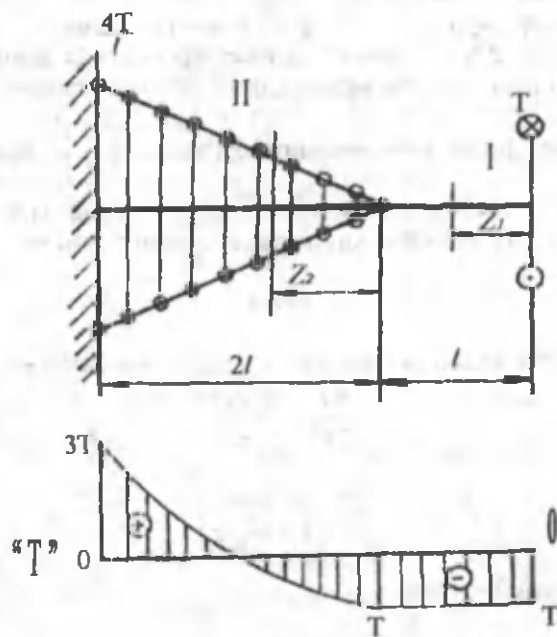
үнг томон учун

$$T(z_2) = -T + \int_0^{z_2} t(z_2) dz_2 = -T + \int_0^{z_2} \frac{2T}{\ell^2} z_2 dz_2 = -T + \frac{T}{\ell^2} z_2^2;$$

$z_2 = 0$ бўлса $T(0) = -T$ бўлади;

$z_2 = 2\ell$ бўлса $T(2\ell) = 3T$ бўлади.

II.9-шакл, б да бу қийматлар асосида аниқ масштаб билан курилган буровчи моментнинг эпюраси тасвирланган.



II.9-шакл.

2.6-§. Түсінлар ва уларнинг таянчлари

Материаллар қаршилиги фанида “түсін” сүзи жуда кенг маънони англатади. Масалан, турли хил вал, ўқ, болт ва тишли фиддиракларнинг тишлари кабилар ҳам мустаҳкамлик, бикрлик ва устуворликка оид лойиҳалаш-хисоблаш жараёнларида түсін деб қаралади.

Одатда, түсінлар конструктив шакллари турлича бўлган таянчларга ўрнатилади. Шунки таъкидлаш зарурки, түсін фақат ўзига кўйилган ташқи кучлар таъсиридангина эмас, балки таянч реакцияларидан ҳам эгилади.

Эгилган түсінларнинг барча кесимларида кўндаланг куч Q ва эгувчи момент M пайдо бўлади. Шу сабабли, түсіннинг ре-

акцияларини аниқлаш ҳамда турли хил түсиналар учун Q ва M ларнинг эпюраларини қуриш тартибларини мукаммалроқ билиш зарур.

Дастлаб згилишдаги ички кучлар учун қуйидаги қоидаларни баён қиласыз:

- түсин ўқига тик бўлган йўналишга нисбатан түсинданд ажратиб олинган бўлакчага таъсир этаётган барча кучлар (ташқи кучлар ва таянч реакциялари) дан олинган проекциялар йигиндиси кўндаланг куч дейилади ҳамда

$$Q_y(z) = \pm \sum_{i=1}^n Y_i \quad (II.11)$$

кўринишда аниқланади.

- қирқилиан кесим марказига нисбатан түсинданд ажратиб олинган бўлакчага таъсир этаётган барча кучлар (ташқи юклар ва таянч реакциялари)дан олинган моментларнинг алгебраик йигиндиси эгувчи момент дейилади ҳамда

$$M_x(z) = \pm \sum_{i=1}^n M_{oi} \quad (II.12)$$

кўринишдаги формула ёрдамида аниқланади.

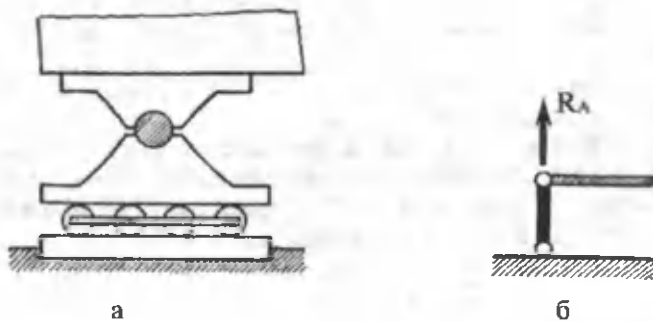
Q ва M лар учун ишоралар қоидаси қуйидагича:

- агар кучлар (ташқи юклар ва таянч реакциялари) вектори түсинданд ажратиб олинган бўлакчани қирқилган кесим марказига нисбатан соат мили ҳаракати йўналишида айлантиrsa, у ҳолда кўндаланг куч мусбат ва аксинча, соат мили ҳаракати йўналишига тескари томонга айлантиrsa манфий ишорали қилиб олинади;
- агар кучлар (ташқи юклар ва таянч реакциялари) векторидан қирқилган кесим марказига нисбатан олинган моментлар түсинданд ажратиб олинган бўлакчанинг юқори толаларини сиқса, у ҳолда эгувчи момент мусбат ва аксинча, юқори толаларини чўзса манфий ишорали қилиб ташланади.

2.7-§. Түсин таянчларининг асосий жиллари

Түсинларнинг таянчлари уч хил бўлади.

1. Шарнирли-кўзгалувчан таянч (II.10-шакл, а). Бу жилдаги таянч түсин учининг горизонтал кўчишигига ва кўндаланг кесимиининг айланшигига қаршилик кўрсатмайди.

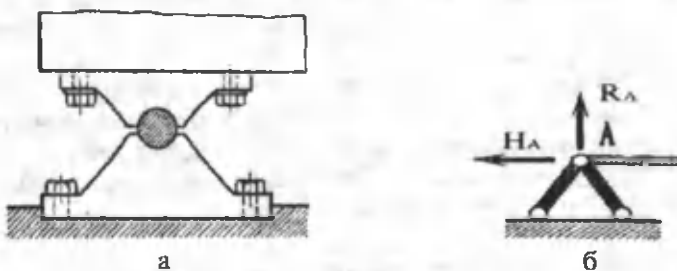


II.10-шакл.

Шарнирли-құзгалувчан таянчнинг схематик тасвири II.10-шакл, б да күрсатилған. Бундай таянчнинг реакцияси R таянч боғланиши бүйлаб ёки ғиддиракларнинг таянч текислигига тик йұналған бўлади.

2. Шарнирли құзгалмас таянч (II.11-шакл, а). Бу таянч А нүктега тегишли кесимнинг эркін айланишига имкон берсада, лекин түсін учининг ҳеч қандай чизиқті күчишига йўл қўймайди.

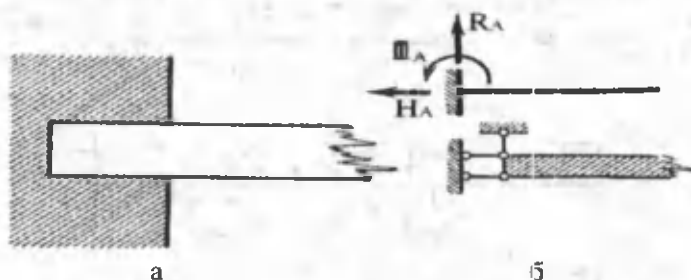
II.11-шакл, б да тасвириланганидек, бу таянчнинг схематик тарздаги кўриниши түсін билан шарнир воситасида тугаштирилған иккита стержендан иборат.



II.11-шакл.

Құзгалмас-шарнирли таянчларда H горизонтал ва R вертикаль ташкил этувчиларға ажralувчи таянч реакциялари ҳосил бўлади.

3. Қистириб мақкамланган таянч (II.12-шакл, а). Бу хилдаги таянч унга туташтирилган түсін кесимининг түғри чизиқли ва бурчакли күчишларига йүл қўймайди. Бу таянчнинг схематик тасвири II.12-шакл, б да кўрсатилган.



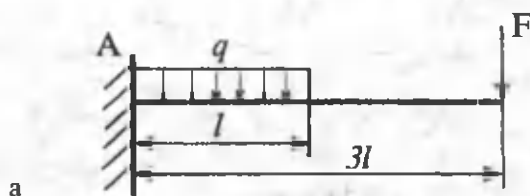
II.12-шакл

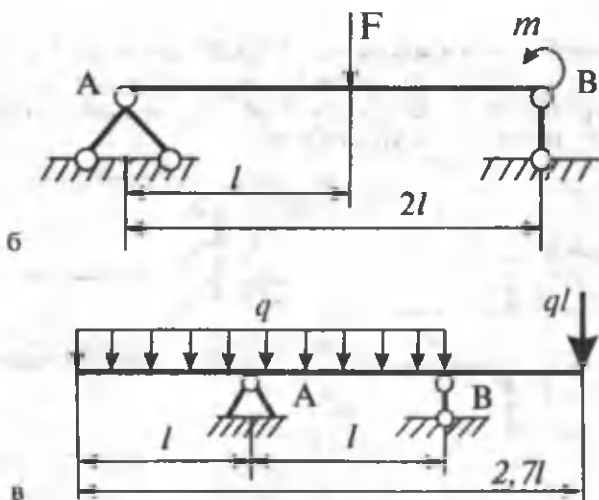
Қистириб мақкамланган таянчнинг таянч реакциялари горизонтал H ва вертикаль R кучлардан ҳамда реактив момент M дан иборат бўлади.

Одатда, таянч реакциялари статиканинг мувозанат тенгламалари ёрдамида аниқланадиган түсінлар статик аниқ түсінлар дейилади.

Статик аниқ түсінларга қўйидагилар мисол бўлади:

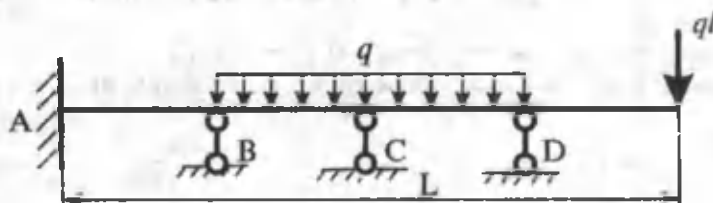
- консол-бир учи билан қистириб мақкамланган түсін (II.13-шакл, а);
- икки таянчли оддий түсін (II.13-шакл, б).
- икки таянчли консол учли түсін (II.13-шакл, в).





II.13-шакл.

Таянч реакциялари статиканинг мувозанат тенгламалари ёрламида аниқланмайдиган түсінлар статик аниқмас түсінлар^{*} дейилади. Бунга мисол қилиб II.14-шаклдаги туташ түсінні көлтириш мүмкін, чунки у 6 та (A таянчда 3 та ва B , C , D таянчларда биттадан) номаълум таянч реакцияларига згадир.



II.14-шакл.

* Статик аниқмас түсінларни ҳисоблаш IX бобда баён этилади.

2.8-§. Таянч реакцияларини аниқлаш

Умумий ҳолда текислиқдаги статик аниқ тизим (түсін, рама, арка, эгри брус) ларнинг таянч реакциялари статиканың күйидеги учта мувозанат тенгламаларидан топилади:

$$\left. \begin{array}{l} \sum_{i=1}^n Z_i = 0 \\ \sum_{i=1}^n Y_i = 0 \\ \sum_{i=1}^n M_{Ai} = 0 \end{array} \right\} \text{еки} \quad \left. \begin{array}{l} \sum_{i=1}^n Z_i = 0 \\ \sum_{j=1}^n M_{Bj} = 0 \\ \sum_{i=1}^n M_{Ai} = 0 \end{array} \right\} \quad (\text{II.13})$$

Бу ерда *A* ва *B* ҳарфлари таянчларга тегишли нұктани ифодалайди.

Биз фақат түсіннинг геометрик үқиға тик йұналған таşқи күчлар таъсири остидеги эгилишни үрганиш билан чегаралғанымиз, холос. Шу сабабли, бундай түсінларнинг таянч реакцияларини аниқлаш учун $\sum_{i=1}^n Z_i = 0$ тенгламани тузишнинг зарурияти қолмайды, яғни таянчнинг горизонтал түзувчиси $H=0$ бўлади.

Консолнинг таянч реакцияларини аниқлаш учун эса күйидеги иккита тенгламаларни тузиш тавсия этилади:

$$\left. \begin{array}{l} \sum_{i=1}^n Y_i = 0 \\ \sum_{i=1}^n M_{Ai} = 0 \end{array} \right\} \quad (\text{II.14})$$

Параллел күчлар тизими таъсири остидеги икки таянчли оддий ва консол учли түсінларнинг таянч реакцияларини аниқлаш учун эса *A* ва *B* таянчларта нисбатан ҳамма күчлардан олинган моментлар тенгламасидан фойдаланиш зарур:

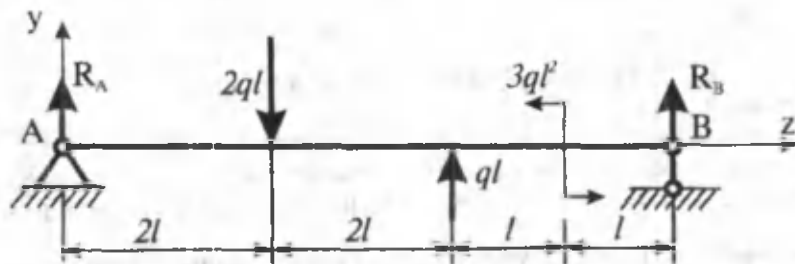
$$\left. \begin{array}{l} \sum_{i=1}^n M_{Ai} = 0 \\ \sum_{i=1}^n M_{Bi} = 0 \end{array} \right\} \quad (\text{II.15})$$

кейин эса таянч реакцияларнинг қийматлари

$$\sum_{i=1}^n Y_i = 0 \quad (\text{II.16})$$

тenglama ёрдамида текшириб күрилади.

5-масала. Икки учи билан шарнирли күзгатмас ва күзгалувчи таянчларга тирадын оддий түсинге II.15-шаклда күрсатилғандек, түпланған ва жуфт күчлар таъсир этмоқда. Мазкур түсингининг таянч реакцияларини анықлаш талаб этилади.



II.15-шакл.

Ечиш

Түсингининг чап таянчини R_A ва ўнг таянчини эса R_B реакциялар билан алмаштирамиз. Барча күчлардан А ва В таянчларга нисбатан моментлар олиб, берилған масала учун (II.15) ифодани тузамиз:

$$\left. \begin{array}{l} \sum_{i=1}^n M_{Ai} = 0, \quad 2ql \cdot 2l - ql(2l + 2l) - 3ql^2 - R_B 6l = 0 \\ \sum_{i=1}^n M_{Bi} = 0, \quad R_A 6l - 2l \cdot 4l + ql \cdot 2l - 3ql^2 = 0 \end{array} \right\}$$

Охириги tenglamalardan номаълум реакцияларни анықтаймиз:

$$R_A = \frac{3}{2} q\ell; \quad R_B = -\frac{q\ell}{2}.$$

Демак, R_B таянч реакциясининг ҳақиқий йўналиши у ўқига тескари йўналган экан.

(II.16) тенгламани тузиб, R_A ва R_B ларнинг қийматлари тўғри топилганлигига ишонч ҳосил қиласиз:

$$\sum_{i=1}^n Y_i = 0, \quad R_A - 2 \cdot q\ell + q\ell + R_B = 0$$

ёки

$$\frac{3}{2} q\ell - 2q\ell + q\ell - \frac{q\ell}{2} = 0, \quad 0 = 0.$$

6-масала. II.16-шаклда тасвирланган консол учли оддий тўсин жуфт куч ва текис таралган ёйилган куч таъсирида бўлсин. Тўсиннинг таянч реакцияларини аниқлаймиз. Куйидагилар маълум: $m=2 \cdot 10^4 \text{ H}\cdot\text{m}$, $q=3 \cdot 10^4 \text{ H/m}$, $l=1,5 \text{ m}$.

Ечиш

Тўсиннинг таянчларини R_A ва R_B реакциялар билан алмаштирамиз.

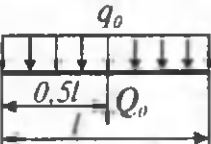
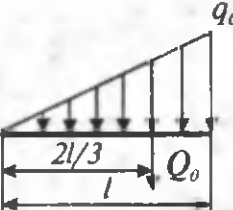
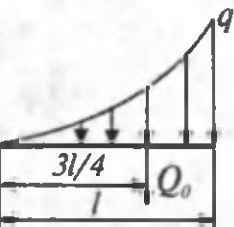
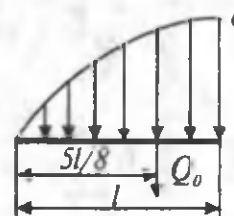
Шуни эслатиб ўтиш лозимки, ёйилган кучлардан бирор нуқтага момент олиш учун дастлаб уларнинг тент таъсир этувчи аниқланади (2.1- жадвалга қаранг).

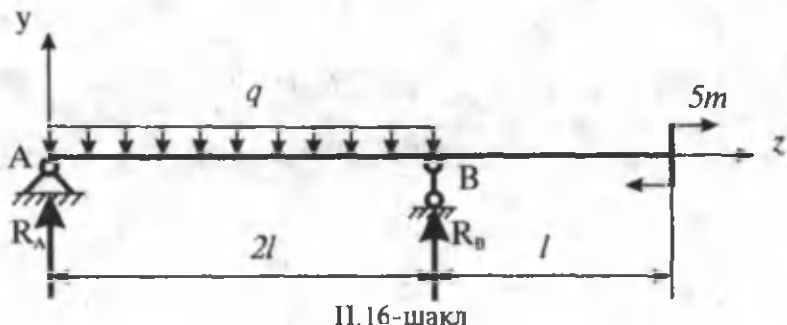
Статиканинг мувозанат тенгламаларини тузамиз:

$$\left. \begin{aligned} \sum_{i=1}^n M_{Ai} &= 0, & q \cdot 2\ell \cdot \frac{2\ell}{2} - R_B \cdot 2\ell + 5m + 2q\ell^2 &= 0 \\ \sum_{i=1}^n M_{Bi} &= 0, & R_A \cdot 2\ell - q \cdot 2\ell \cdot \frac{2\ell}{2} + 5m &= 0 \end{aligned} \right\}$$

Бундан $R_A = -\frac{3q\ell}{2}$, $R_B = \frac{7q\ell}{2}$.

2-1 жадвал

Ейлган күчларнинг таъсир этиш қонуниятлари	1	2	3	4
	$q(z) = q_0 = \text{const}$ $0 \leq z \leq l$	$q(z) = \frac{q_0}{l} \cdot z$ $0 \leq z \leq l$	$q(z) = \frac{q_0}{l^2} \cdot z^2$ $0 \leq z \leq l$	$q(z) = 2\frac{q_0}{l}z - \frac{q_0}{l^2} \cdot z^2$ $0 \leq z \leq l$
Чизмада тасвирланиши				
Тент таъсир этувчиси	$Q_0 = q_0 l$	$Q_0 = \frac{q_0 l}{2}$	$Q_0 = \frac{1}{3} q_0 l$	$Q_0 = \frac{2}{3} q_0 l$



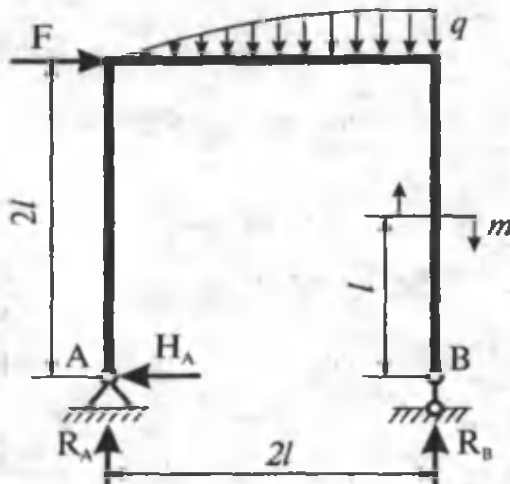
Таянч реакцияларининг түғри ёки нотүгри топилғанligини текширамиз:

$$\sum_{i=1}^n Y_i = 0, \quad R_A - 2 \cdot q\ell + R_B = -\frac{(-5q\ell)}{2} - 2 \cdot q\ell + \frac{7q\ell}{2} = 0.$$

Охирги теңглама таянч реакцияларининг түғри аниқланғанligини тасдиқлайды.

7-масала. II.17-шаклда тасвирланған раманинг таянч реакциялари топилсін.

Күйидегилар мәденим: $F = 5 \cdot 10^4 \text{ H}$, $q = 2 \cdot 10^4 \text{ H/m}$, $l = 1,2 \text{ m}$, $m = q\ell$.



II.17-шакл.

Ечиш

Раманинг шарнирли-құзғалмас таянчини H_A ва R_A , шарнир-құзғалувчи таянчини эса R_B реакциялар билан алмаштирамиз.

Музозанат тенгламаларини тузамиз:

$$\sum_{i=1}^n Z_i = 0, \quad F - H_A = 0$$

$$\sum_{i=1}^n M_{Ai} = 0, \quad F \cdot 2\ell + \frac{2q \cdot 2\ell}{3} \cdot \frac{5 \cdot 2\ell}{8} + M - R_B \cdot 2\ell = 0$$

$$\sum_{i=1}^n M_{Bi} = 0, \quad R_A \cdot 2\ell + F \cdot 2\ell - \frac{2q \cdot 2\ell}{3} \cdot \frac{3 \cdot 2\ell}{8} + M = 0$$

Бундан

$$H_A = 5 \cdot 10^4 \text{ Н}, \quad R_A = -5 \cdot 10^4 \text{ Нм}, \quad R_B = 8,2 \cdot 10^4 \text{ Нм}$$

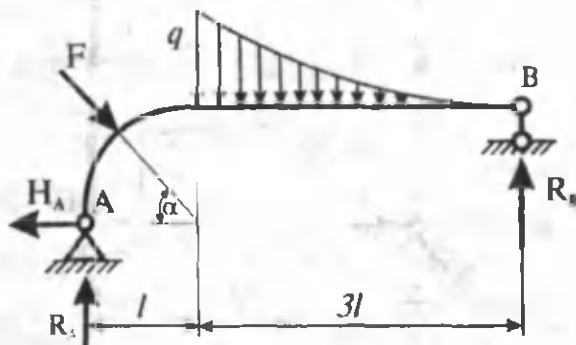
еканлиги келиб чиқади.

Текшириш:

$$\sum_{i=1}^n Y_i = 0, \quad R_A + R_B = -\frac{2q \cdot 2\ell}{3} = 0.$$

$$-5 \cdot 10^4 + 8,2 \cdot 10^4 - 3,2 \cdot 10^4 = 0$$

Демек, таянч реакциялари түғри топилған.



II.18-шакл.

8-масала. Эгри брусга түпланган куч ва ёйилган куч таъсир этмоқда (II.18-шакл); А ва В таянчлардаги реакциялар аниқлансан. Қуйидагилар мәттум: $F = 2 \cdot 10^4 H$, $q = 1 \cdot 10^4 H/m$, $l = 1m$; $\alpha = 45^\circ$.

Ечим

Таянчларни тегишли таянч реакциялари билан алмаштириб, мувозанат тенгламаларини тузамиз:

$$\left. \begin{aligned} \sum_{i=1}^n Z_i &= 0, & P \cdot \cos \alpha - H_A &= 0 \\ \sum_{i=1}^n M_{Ai} &= 0, & F \cdot \sin \alpha (\ell - l \cos \alpha) + \frac{q \cdot 3\ell}{3} \cdot \left(\frac{3\ell}{4} + \ell\right) - \\ && - R_B \cdot 4\ell + F \cos \alpha \cdot l \sin \alpha &= 0 \\ \sum_{i=1}^n M_{Bi} &= 0, & R_A \cdot 4\ell + H_A \ell - F \cdot \cos \alpha (\ell - l \sin \alpha) - \\ && - F \cos \alpha (3\ell + l \cos \alpha) - \frac{q \cdot 3\ell}{3} \cdot \frac{3 \cdot 3\ell}{4} &= 0. \end{aligned} \right\}$$

Бу ифодалардан

$H_A = 1,414 \cdot 10^4 H$, $R_A = 1,6205 \cdot 10^4 H$ ва $R_B = 0,79 \cdot 10^4 H$ га төнг эканлиги келиб чиқади; бу қийматларнинг түғрилигини текшириш учун қуйидаги тенгламани тузиш кифоя:

$$\sum_{i=1}^n Y_i = 0, \quad R_A - F \sin \alpha - \frac{q \cdot 3\ell}{3} + R_B = 0$$

ёки $2,41 \cdot 10^4 - 2,41 \cdot 10^4 = 0$

Демак, реакция кучлари түғри топилган.

2.9-§. Эгувчи момент, кесувчи куч ва ёйилган куч интенсивлиги орасидаги дифференциал ва интеграл муносабатлар

Тўсиннинг узунлиги ℓ , бўлган i -чи оралиғига интенсивлиги $q = q(z)$ қонуният билан ўзгарувчи ёйилган юқ қўйилган (II.19-шакл, а). Чексиз кичик узунликдаги dz бўлакчани алоҳида аж-

ратиб олиб, унга ташлаб юборилган қисмларнинг таъсирини мусбат ишораи ички зўриқишилар билан алмаштирамиз (II.19-шакл, б).

Ажратилган бўлакчаларнинг мувозанатини текширамиз:

а) бўлакча барча кўндаланг кучлар таъсирида мувозанатда туради:

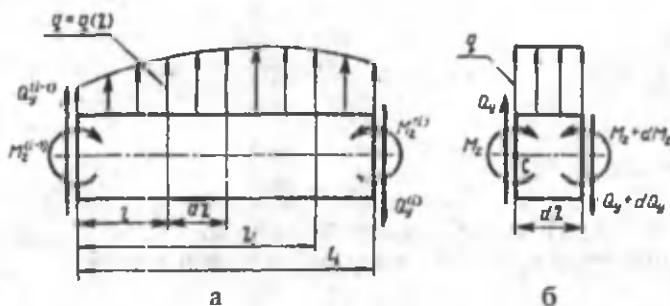
$$\sum_{i=1}^n Y_i = 0, \quad Q_y - (Q_y + dQ_y) - q \, dz = 0$$

бундан

$$\frac{dQ_y}{dz} = -q(z) \quad (\text{II.17})$$

кўринишидаги дифференциал боғланишга эга бўламиз.

Демак, кўндалант кучдан абсцисса z бўйича олинган биринчи тартибли ҳосила ёйилган юк интенсивитетининг тескари ишора билан олинган қийматига tengdir.



II.19-шакл.

б) бўлакчанинг ўнг кесими оғирлик маркази ҳисобланган C нуқтага нисбатан барча кучлардан олинган моментлар йиғиндиси нолга тенг:

$$\sum_{i=1}^n M_{ci} = 0, \quad M_z - (M_z + dM_z) + (Q_y + dQ_y) \cdot dz + q \cdot \frac{(dz)^2}{2} = 0.$$

Бу ифода таркибидағи иккинчи даражали чексиз миқдорларни зътиборсиз қолдириб, қуйидаги дифференциал боғланишни ҳосил қиласиз:

$$\frac{dM_z}{dz} = Q_y \quad (\text{II.18})$$

Демак, эгувчи моментдан z абсцисса бўйича олинган ҳосила текширилаётган кесимдаги кўндаланг кучга тенгдир.

У ҳолда учинчи дифференциал тенглама келиб чиқади:

$$\frac{d^2 M_z}{dz^2} = \frac{dQ_y(z)}{dz} = -q \quad (\text{II.19})$$

яъни эгувчи моментдан z абсцисса бўйича олинган иккинчи ҳосила ёйилган юк интенсивлигининг тескари ишора билан олинган қийматига тенгдир.

Бу дифференциал боғланишлардан қўйидаги интеграл мунносабатлар келиб чиқади:

$$Q_y(z) = \int_{(z)} q(z) \cdot dz + Q_y^{i-1} \quad (\text{II.20})$$

$$M(z) = \int_{(z)} Q_y(z) \cdot dz + M_z^{i-1} \quad (\text{II.21})$$

Бунда Q_y^{i-1} ва M_z^{i-1} - текширилаётган оралиқнинг чап кесимидаги кўндалант куч ва эгувчи моментлар.

Юқорида келтирилган дифференциал боғланишлардан биринчидан, кўндаланг куч Q ва эгувчи момент M ларнинг эпюраларини қуришга, иккинчидан эса қурилган эпюраларнинг тўғри ёки нотўғрилигини текширишга имкон берувчи қўйидаги мұхим хulosалар келиб чиқади:

1. Ёйилган юк интенсивлиги бўлмаган оралиқларда Q нинг эпюраси тўсин ўқига параллел йўналган тўғри чизик, M нинг эпюраси эса тўсин ўқига оғма тўғри чизик билан чегараланган бўлади.

2. Ёйилган юк интенсивлиги таъсир этаётган оралиқларда эса Q нинг эпюраси тўсин ўқига оғма тўғри чизик, M нинг эпюраси эса квадратик парабола ёйи билан чегараланган бўлади.

3. Кесувчи куч нолга тенг бўлган кесимда эгувчи момент экстремал қийматга эришади.

4. $Q > 0$ бўлган оралиқларда, чапдан ўнгга томон M нинг ординатаси орта бошлайди, яъни эгувчи моментнинг мусбат қиймати ошади, манфий қиймати эса камаяди.

Аксинча, $Q < 0$ бўлган оралиқларда эса M нинг ординатаси камая бошлайди.

5. Тўпланган куч қўйилган кесимларда Q нинг эпюраси шу куч миқдори қадар сакрайди, M нинг эпюрасини чегараловчи чизиқ эса ўз йўналишини ўзгартиради.

6. Жуфт куч қўйилган кесимларда Q нинг эпюрасида ҳеч қандай ўзгариш содир бўлмайди, M нинг эпюрасида эса шу жуфт куч миқдори қадар сакраш содир бўлади.

7. Четки шарнирли таянчларда кесувчи куч таянч реакцияларига, эгувчи момент эса нолга тенг бўлади (агар шу кесимларга жуфт куч қўйилмаган бўлса).

8. Тўсин (консол) нинг эркин учига жуфт куч қўйилмаган бўлса, эгувчи момент шу кесимда нолга тенг бўлади; агар консол учига тўпланган куч ҳам қўйилмаган бўлса, шу кесимда кесувчи куч ҳам нолга тенг бўлади.

9. Қистириб маҳкамланган таянчда кесувчи куч шу таянчнинг реакция кучига, эгувчи момент эса реактив моментига тенг бўлади.

Ташки кучлар билан юклатилган турли хил тўсинлар учун кўндаланг куч ва эгувчи моментларнинг эпюраларини куришни кўриб чиқамиз.

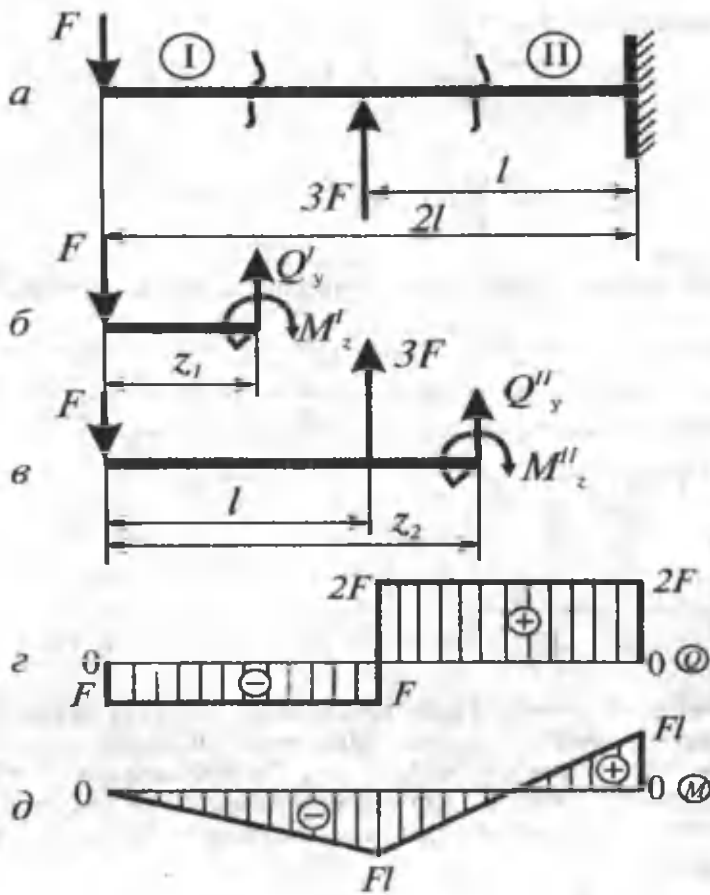
9-масала. Икки оралиқдан иборат консол учун кўндаланг куч ва эгувчи момент эпюраларини куринг (II.20-шакл, а).

Ечиш

Кесиш усулига мувофиқ ҳар бир оралиқни з масофада фикран қирқиб, консолдан ажратилган бўлакчани алоҳида чизиб оламиз (II.20-шакл, б, в).

Кесим оғирлик марказига навбат билан $Q_y'(z_1)$, $Q_y''(z_2)$ кўндаланг кучларни ва $M_x'(z_1)$, $M_x''(z_2)$ эгувчи моментларни кўямиз.

Консолдан ажратиб олинган бўлакчага (II.11) ва (II.12) ифодаларни тадбиқ этиб ички кучларнинг аналитик ифодаларини тузамиз:



II.20-шакл.

I оралиқ: $0 \leq z_1 \leq l$

$$Q_y^I(z_1) = \pm \sum_{i=1}^3 Y_i = -F = \text{const}$$

$$M'_z(z_1) = \pm \sum_{i=1}^3 M_{0i} = -F z_1$$

II оралиқ: $\ell \leq z_2 \leq 2\ell$

$$Q''(z_2) = \pm \sum_{i=1}^3 Y_i = -F + 3F = 2F = const$$

$$M_x''(z_2) = \pm \sum_{i=1}^3 M_{O_i} = -F \cdot z_2 + 3 \cdot F(z_2 - \ell)$$

Хосил бұлған ифодалардан күриниб турибдики, иккала оралиқда ҳам:

күндаланг күчлар $Q'_1(z_1) = const$, $Q''_2(z_2) = const$ ва әгувчи момент $M'_1(z_1)$, $M''_2(z_2)$ лар чизиқли қонуният билан ўзгарар экан.

Хар бир оралиқ учун қойыдаги жадвални тузамиз.

I оралиқ			II оралиқ		
Z_1	Q	M	Z_2	Q	M
0	$-F$	0	0	$2F$	$-F \cdot \ell$
ℓ	$-F$	$-F \cdot \ell$	2ℓ	$2F$	$F \cdot \ell$

Жадвалдаги қийматлардан фойдаланиб, ички күчларнинг миқдорлари — ординаталарини анық масштаб билан консол ўқига параллел ўтказилған нол чизигига перпендикуляр қилиб жойлаштирамиз. Натижада ҳар бир оралиқ учун күндаланг күч $Q(z)$ ва әгувчи момент $M(z)$ ларнинг эпюралари пайдо бўлади (II.20- шакл, г, д).

10-масала. Оддий тўсинга F ва $2F$ күчлар таъсир кўрсатмоқда (II.21-шакл, а).

Ички зўриқишиларнинг эпюраларини қуриш талаб этилади.

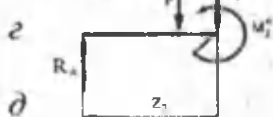
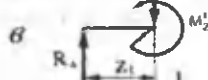
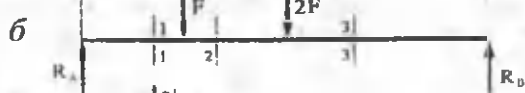
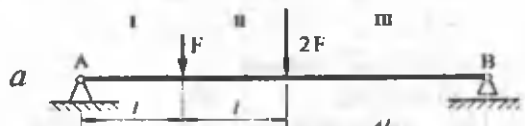
Ечиш

Дастлаб А (кўзғалмас шарнирли) ва В (кўзғалувчан шарнирли) таянчларда пайдо бўлувчи реакцияларни аниқлаш зарур (II.21-шакл, б). А таянчдаги горизонтал ташкил этувчи $H_A = 0$ га teng.

(II.15) формулани тадбиқ этиб, тўсиннинг мувозанатини текширамиз:

$$\sum_{i=1}^n M_A(F_i) = 0, \quad F \cdot \ell + 2F \cdot 2\ell - R_B \cdot 4\ell = 0$$

$$\sum_{i=1}^n M_B(F_i) = 0, \quad -2F \cdot 2\ell - F \cdot 3\ell + R_A \cdot 4\ell = 0$$



II.21-шакл.

мұвозанат тенгламаларини таянч реакцияларига нисбатан ечсак, $R_A = \frac{7}{4}F$ ва $R_B = \frac{5}{4}F$ лар келиб чиқади. Бу қийматтарниң түғрилигига ишонч ҳосил қилиш учун $\sum_{i=1}^n Y_i = 0$ тенгламани тузамиз:

$$R_A - F - 2F + R_B = 0 \\ \text{ёки } \frac{7}{4}F - F - 2F + \frac{5}{4}F = 0$$

Охирги ифоданинг чап томони ҳам нолга тенг. Демек, таянч реакциялари түғри топылган.

Кесиш усулидан фойдаланиб, учала оралиқ учун ҳам түсіндін «бұлакча» ажратиб оламиз ва кесим оғирлик марказига күндаланг күч ва әгувчи моментларни жойлаштирамиз (II.21-шакл, в, г, д).

Хар бир бұлакчага 2.6-§ даги (II.11) ва (II.12) формулаларни табдік этиб, қуйидаги аналитик ифодаларни тузамиз:

I оралиқ: $0 \leq Z_1 \leq \ell$

$$Q'_r(Z_1) = \pm \sum_{i=1}^1 Y_i = R_A = \frac{7}{4}F = const,$$

$$M'_x(Z_1) = \pm \sum_{i=1}^1 M_{0i} = R_A \cdot Z_1 = \frac{7}{4}F \cdot Z_1$$

II оралиқ: $\ell \leq z_2 \leq 2\ell$

$$Q''_r(Z_2) = \pm \sum_{i=1}^2 Y_i = R_A - F = \frac{3}{4}F = const,$$

$$M''_x(Z_2) = \pm \sum_{i=1}^2 M_{0i} = R_A z_2 - F \cdot (z_2 - \ell)$$

III оралиқ: (үнг томон) $0 \leq Z_3 \leq 2\ell$

$$Q'''_r(Z_3) = \pm \sum_{i=1}^3 Y_i = -R_B = -\frac{5}{4}F = const,$$

$$M'''_x(Z_3) = \pm \sum_{i=1}^3 M_{0i} = R_B \cdot Z_3 = \frac{5}{4}F \cdot Z_3$$

Куйидаги жадвални тузамиз.

I оралиқ			II оралиқ			III оралиқ		
Z ₁	Q	M	Z ₂	Q	M	Z ₃	Q	M
0	$\frac{7F}{4}$	0	0	$\frac{3F}{4}$	$\frac{7F\ell}{4}$	0	$\frac{-5F}{4}$	0
ℓ	$\frac{7F}{4}$	$\frac{7F}{4}$	2ℓ	$\frac{3F}{4}$	$\frac{7F\ell}{4}$	ℓ	$\frac{-5F}{4}$	$\frac{10F\ell}{4}$

Жадвалдаги қийматлар асосида қатый масштаб билан күндалант күч ва эгувчи момент эпюраларини курамиз (II.21-шакл, е, ж).

11-масала. Консол учли түсинга F ва $m=3Fl$ ташқи күч таъсир этмоқда (II.22-шакл, а). Ушбу түсин учун Q ва M эпюраларини куриңг.

Ечинш

II.22-шакл, б дан фойдаланиб, A ва B таянчлардаги реакцияларни аниқлаймиз.

$$\left. \begin{array}{l} \sum_{i=1}^n M_A(F_i) = 0, \quad F \cdot \ell + M - R_B \cdot 3\ell = 0 \\ \sum_{i=1}^n M_B(F_i) = 0, \quad -4F \cdot \ell + M + R_A \cdot 3\ell = 0 \end{array} \right\}$$

мувозанат тенгламаларини таянч реакцияларига нисбатан ечсак,

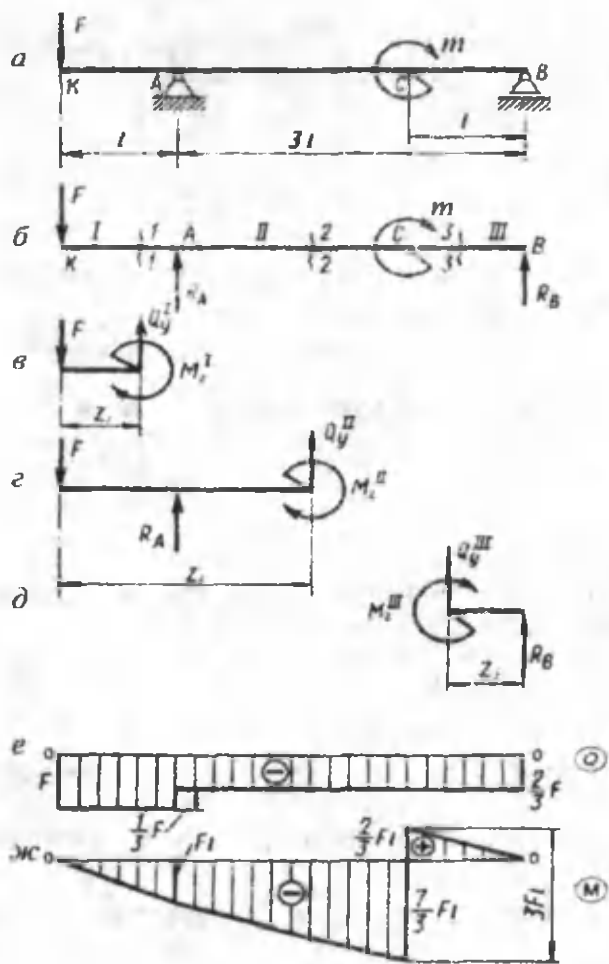
$$R_A = \frac{1}{3}F, \quad R_B = \frac{2}{3}F$$

лар келиб чиқади.

Энди R_A ва R_B ларнинг қийматларини текшириб кўрамиз.

$$\sum_{i=1}^n Y_i = 0; \quad R_A - F + R_B = 0$$

ёки $\frac{1}{3}F - F + \frac{2}{3}F = 0$



II.22-шакл.

Охирги тенгламанинг чап томони нолга тенглиги реакция күчларининг түғри аниқланганлыгини тасдиқлады.

Олдинги масалалардаги сингари ҳар бир оралиқни навбат билан текисликлар ёрдамида фикран қирқамиз (II.22-шакл, в, г, д) ҳамда зўриқишиларнинг аналитик ифодаларини тузамиз:

$$\text{I оралиқ: } 0 \leq z_1 \leq l$$

$$Q_y^I(z_1) = \pm \sum_{i=1}^n Y_i = -F = const,$$

$$M_x^I(z_1) = \pm \sum_{i=1}^n M_{oi} = -F z_1$$

II оралиқ: $\ell \leq z_2 \leq 4\ell$

$$Q_y^{II}(z_2) = \pm \sum_{i=1}^3 Y_i = R_A - F = \frac{1}{3}F - F = -\frac{2}{3}F = const,$$

$$M_x^{II}(z_2) = \pm \sum_{i=1}^3 M_{oi} = R_A(z_2 - \ell) - F z_2 = \frac{1}{3}F(z_2 - \ell) - F z_2$$

III оралиқ: (үнд томон) $0 \leq z_3 \leq \ell$

$$Q_y^{III}(z_3) = \pm \sum_{i=1}^1 Y_i = -R_B = -\frac{2}{3}F = const,$$

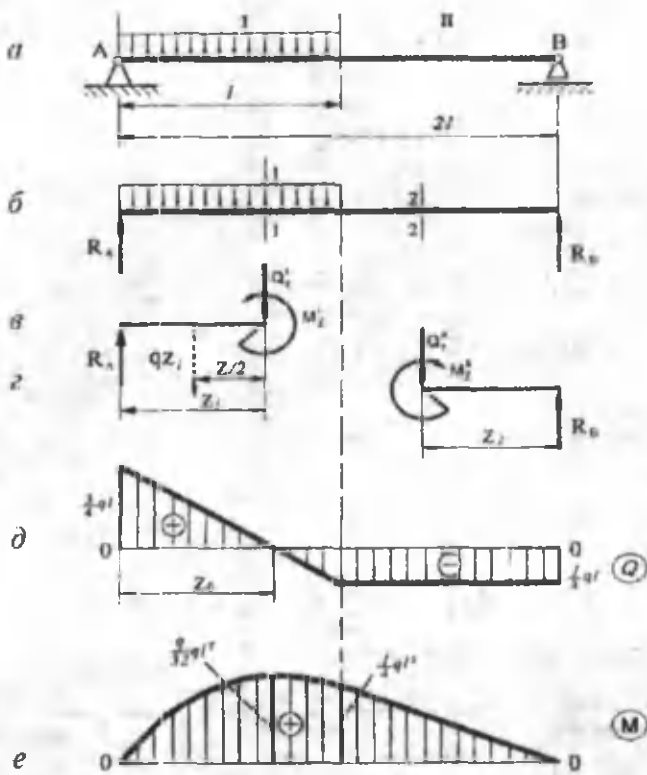
$$M_x^{III}(z_3) = \pm \sum_{i=1}^1 M_{oi} = R_B z_3 = \frac{2}{3}F z_3$$

Күйидаги жадвални тузамиз.

I оралиқ			II оралиқ			III оралиқ		
z_1	Q	M	z_2	Q	M	z_3	Q	M
0	$-\frac{1}{3}F$	0	0	$-\frac{2}{3}F$	$-F\ell$	0	$-\frac{2}{3}F$	0
ℓ	$-\frac{1}{3}F$	$-F\ell$	4ℓ	$-\frac{2}{3}F$	$-\frac{7}{3}F\ell$	ℓ	$-\frac{2}{3}F$	$\frac{2}{3}F\ell$

II.22-шакл, е, ж ларда жадваллардаги қийматлар асосида қурилған күндаланғ күч Q ва згувчи момент M ларнинг эпюралари тасвиrlанған.

12-масала. Құзғалмас ва құзғалувчан таянчларда ётувчи оддий түсинге $q=const$ ёйилған күч интенсивлігі таъсир күрсатмоқда (II.23-шакл, а). Q ва M эпюралари қурилсин.



II.23-шакл.

Ечиш

Хар галгидек, масалани ечишни таянч реакцияларни аниқлашадан бошлаймиз (II.23-шакл, б). Бунинг учун статика-нинг мувозанат тенгламаларини тузиш кифоя:

$$\left. \begin{array}{l} \sum_{i=1}^n M_A(F_i) = 0, \\ \sum_{i=1}^n M_B(F_i) = 0, \end{array} \right. \quad \left. \begin{array}{l} q\ell \cdot \frac{1}{2}\ell - R_B \cdot 2\ell = 0 \\ -q\ell \cdot \left(\frac{1}{2}\ell + \ell\right) + R_A \cdot 2\ell = 0 \end{array} \right\}$$

Булардан $R_A = \frac{3}{4}ql$ ва $R_B = \frac{1}{4}ql$ эканлиги маълум.

Таянч реакцияларнинг қийматларини текшириб кўриш мақсадида

$$\sum_{i=1}^n Y_i = 0; \text{ ёки } R_A - ql + R_B = 0$$

тентгламани тузамиз.

Демак, $\frac{3}{4}ql - ql + \frac{1}{4}ql = 0$ ёки $0 = 0$.

Кесиш усулини қўллаб, II.23-шакл, в, г чизмаларни ҳосил қиласиз. Натижада Q ва M ларнинг аналитик ифодалари қуидаги кўринишда ёзилади:

I оралиқ: $0 \leq z_1 \leq l$

$$Q_y'(z_1) = \pm \sum_{i=1}^2 Y_i = R_A - qz_1 = \frac{3}{4}ql - qz_1,$$

$$M_x'(z_1) = \pm \sum_{i=1}^2 M_{0_i} = R_A \cdot z_1 - qz_1 \cdot \frac{z_1}{2} = \frac{3}{4}ql \cdot z_1 - 0.5qz_1^2$$

(бу ерда, $\frac{z_1}{2}$ - куч елкаси, яъни тенг таъсир этувчи qz_1 қўйилган нуқтадан I-I кесимнинг оғирлик марказигача бўлган масофа).

II оралиқ: (ўнг томон) $0 \leq Z_2 \leq l$

$$Q_y''(Z_2) = \pm \sum_{i=1}^1 Y_i = -R_B = -\frac{1}{4}q\ell = Const,$$

$$M_x''(Z_2) = \pm \sum_{i=1}^1 M_{0_2} = R_B \cdot Z_2 = \frac{1}{4}q\ell \cdot Z_2$$

I оралиқ учун тузилган ифодаларнинг биринчиси ёрдамида кўндаланг куч эпюраси курилади:

$$z_1 = 0 \text{ да } Q_y''(0) = \frac{3}{4} - ql,$$

$$z_2 = l \text{ да эса } Q_y''(0) = -\frac{1}{4}ql \text{ бўлади.}$$

Бундан чиқди, I оралиқнинг бошланишида кўндаланг куч мусбат, охирида эса манфий қийматга эга бўлар экан. Бошқача айтганда $0 \leq z_1 \leq l$ оралиқда кўндаланг куч нолга teng бўлган кесим мавжуд. Буни аниқлаш учун шу оралиқда кўндаланг куч тенгламасини нолга тенглаб, $z_1 = z_0$ ни аниқлаймиз:

$$Q_y(z_1) = 0 \text{ ёки } \frac{3}{4}ql - qz_0 = 0$$

Бундан $z_0 = \frac{3}{4}\ell$ эканлиги келиб чиқади.

$M'(z_1)$ эгувчи моментнинг тенгламаси иккинчи тартибли эгри чизиқ тенгламасидан иборат; шу сабабли эпюра қуриш учун энг камида яна битта нуқтадаги эгувчи момент қийматини билиш шарт.

$z_0 = \frac{3}{4}\ell$ бўлган «ўзига хос» кесимда эгувчи моментнинг қийматини топамиз:

$$M_0 = \frac{3}{4}q\ell \cdot z_0 - 0.5qz_0^2 = \frac{3}{4}q\ell \cdot \frac{3}{4}\ell - 0.5q(\frac{3}{4}\ell)^2 = \frac{9}{32}q\ell^2$$

Демак, кўндаланг куч нолга teng бўлган кесимда эгувчи момент экстремал (max ёки min) қийматга эришар экан. Шу боис, биз текшираётган ҳол учун:

$$z_0 = \frac{3}{4}\ell \text{ да } M_0 = \frac{9}{32}q\ell^2 \text{ бўлади.}$$

Одатдагидек, ҳар бир оралиқ учун жадвал тузамиз.

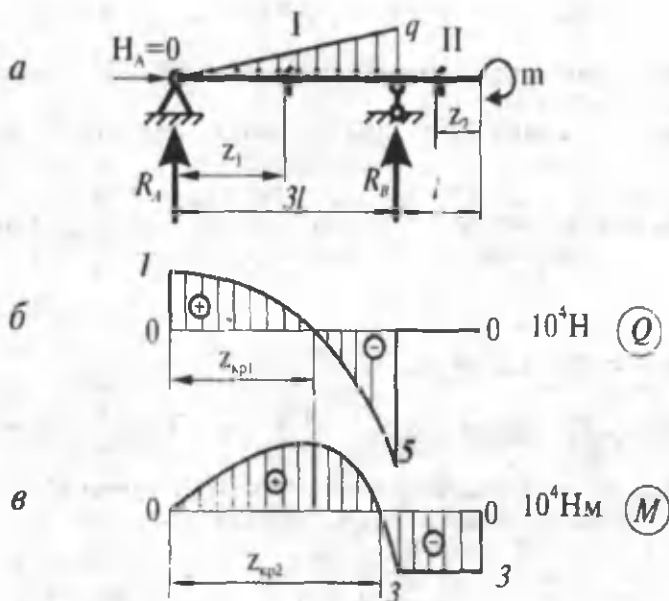
I оралиқ			II оралиқ		
z_1	Q	M	z_1	Q	M
0	$\frac{3}{4}q\ell$	0	0	$-\frac{1}{4}q\ell$	0
$\frac{3}{4}\ell$	0	$\frac{9}{32}q\ell^2$			
ℓ	$-\frac{1}{4}q\ell$	$\frac{1}{4}q\ell^2$	ℓ	$-\frac{1}{4}q\ell$	$\frac{1}{4}q\ell^2$

Жадвалдаги қийматлар ёрдамида маълум масштабда кўндаланг куч Q ва эгувчи момент M ларнинг эпюраларини курамиз (II.23-шакл, д, е).

13-масала. Консол учли түсинг жуфт күч ва ёйилган күч таъсири кўрсатмоқда (II.24-шакл, а).

Шу түсин учун кўндалант күч ва эгувчи моментнинг эпюраси қурилсин.

Кўйидагилар маълум: $q=4 \cdot 10^4 \text{ H/m}$, $m=3 \cdot 10^4 \text{ Hm}$, $\ell=1\text{m}$



II.24-шакл.

Ечиш

Түсиннинг таянчларини таянч реакциялари билан алмаштирамиз: R_A ва R_B ларни аниқлаш учун эса статиканинг мувозанат тенгламаларини тузамиз:

$$\left. \begin{aligned} \sum_{i=1}^n M_A(F_i) &= 0, & q \cdot \frac{3\ell}{2} \cdot \frac{2 \cdot 3\ell}{3} + m - R_B \cdot 3\ell &= 0 \\ \sum_{i=1}^n M_B(F_i) &= 0, & -q \cdot \frac{3\ell}{2} \cdot \frac{3\ell}{3} + m + R_A \cdot 3\ell &= 0 \end{aligned} \right\}$$

Бундан $R_A = 1 \cdot 10^4 \text{ H}$, $R_B = 5 \cdot 10^4 \text{ H}$ та тенг эканлиги келиб чиқади.

Текшириш:

$$\sum Y_I = 0, \quad R_A - q \cdot 3l \cdot \frac{1}{2} + R_B = 0$$

$$\text{ёки, } 1 \cdot 10^4 - 1,5 \cdot 4 \cdot 10^4 \cdot 1 + 5 \cdot 10^4 = 0.$$

Охириги тенглама таянч реакцияларининг түғри топилганлитини тасдиқлады.

Тұсын үкі бүйінша z ни йұналтириб, оралықтарни мос равища I ва II рақамлари билан белгилаймиз. Яна кесиш усулига мурожаат этиб, ҳар бир оралықни фикран қирқамиз.

Қирқимнинг ихтиёрий томонидан бүлакчалар ажратиб олиб, Q ва M ларнинг тенгламаларини тузаңыз:

I оралық ($0 \leq z_1 \leq 3l$)

$$\text{чат томон учун: } Q(z_1) = R_A - \frac{q(z_1) \cdot z_1}{2}$$

$$\text{чат томон учун: } M(z_1) = R_A \cdot z_1 - \frac{q(z_1) \cdot z_1}{2} \cdot \frac{z_1}{3}$$

бу ерда $q(z_1)$ – ихтиёрий z_1 үзүнлікка түғри келувчи ёйилған күч интенсивлігі бўлиб, қўйидаги муносабатдан топилади:

$$\frac{q(z_1)}{q} = \frac{z_1}{3l} \quad \text{ёки} \quad q(z_1) = \frac{q}{3l} \cdot z_1$$

Шундай қилиб, I оралықда зўриқишлар қўйидаги тенгламалар ёрдамида ифодаланади:

$$Q_y(z_1) = R_A - \frac{q}{6l} \cdot z_1^2 \quad (\text{чизикли бўлмаган боғланиш});$$

$$M(z_1) = R_A \cdot z_1 - \frac{q}{18l} \cdot z_1^3 \quad (\text{чизикли бўлмаган боғланиш})$$

$z_1=0$ бўлганда $Q_y(0)=1 \cdot 10^4 \text{ H}$, $M(0)=0$,
 $z_1=3m$ бўлганда $Q_y(3)=-5 \cdot 10^4 \text{ H}$, $M(3)=-3 \cdot 10^4 \text{ H.m}$

эканлиги келиб чиқади.

Бу оралиқда зерткішлар тұсын үқи бүйічча чизикли бўлмаган қонуният билан ўзгарғанлиги сабабли, уларнинг эпюрасини қуриш мақсадида кесувчи куч тенгламасидан биринчи тартибли ҳосила оламиз:

$$Q'(z_1) = 0, \quad -\frac{q}{3l} \cdot z_1 = 0$$

Бундан $z = z_{kp,0} = 0$ эканлиги келиб чиқади.

Демак, I оралиқнинг бошида Q нинг эпюрасига урунма ўтказиш лозим.

Зерткіш кучи	$0 \leq z_1 \leq 3l$
$Q'(z_1)$	-
$Q(z)$	(камаяди)

Иккинчи тартибли ҳосила $Q''(z_1) = -\frac{q}{3l} < 0$ бўлганлиги учун Q эпюраси $[0, 3l]$ оралиқда қавариқ бўлади; бу эпюранинг абсцисса үқи билан кесишув нуқтаси $M'(z_1) = 0$ тенгламадан топилади:

$$z_{kp,1} = \sqrt{\frac{|6R_A \cdot l|}{q}} \approx 1,225 \text{ м}$$

Этувчи момент	$0 < z_1 < z_{kp,1}$	$z_{kp,1}$	$z_{kp,1} < z_1 < 3l$
$M'(z)$	+	0	-
$M(z)$		$M_{\text{экспрт.}}$	

Текширилаётган оралиқда иккинчи тартибли ҳосила

$$M''(z) = -\frac{q}{3l} z_1 < 0$$

бўлганлиги учун M эпюраси қавариқ бўлади.

Эгувчи момент эпюраси 1 оралиқда з үқини икки жойда: координата бошида ва $M(z_1) = 0$ тенгламадан аниқланадиган

$$z_{kp.2} = \sqrt{\frac{18R_A I}{q}} \approx 2,12 \text{ м}$$

масофада кесиб үтади.

II оралиқ $0 \leq z_2 \leq l$

ұнг томон учун: $Q(z_2) = 0$

ұнг томон учун: $M(z_2) = -m = \text{const.}$

II.24-шакл, б, в ларда Q ва M эпюралари тасвирланған.

Назорат учун савол ва топшириқтар

1. Ички күчларнинг эпюраси деганда нимани тушунасиз?
2. Ички күчларнинг эпюрасини қуриш тәртибини изоҳлант.
3. Бўйлама куч билан таралган куч интенсивлиги орасидаги дифференциал ва интеграл муносабатларни ёзинг.
4. Бўйлама кучнинг эпюрасини қуришни мисоллар ёрдамида тушунтириңг.
5. Буровчи момент билан таралга: момент интенсивлиги орасидаги дифференциал ва интеграл муносабатларни ёзинг.
6. Буровчи момент қандай формула ёрдамида аниқланади?
7. Буровчи моментнинг эпюрасини қуришни мисоллар ёрдамида тушунтириңг.
8. Тўсинлар қандай таянчларга эга? Таянчларда ҳосил бўлувчи реакцияларни тушунтириңг.
9. Статиканинг мувозанат тенгламалари ёрдамида таянч реакция күчларини аниқлашни мисоллар ёрдамида тушунтириңг.
10. Эгувчи момент, кесувчи куч ва ёйилган куч интенсивлиги орасидаги дифференциал ва интеграл муносабатларни ёзинг.
11. Кесувчи куч ва эгувчи моментларнинг эпюрасини қуришни мисоллар ёрдамида тушунтириңг.
12. Кесувчи куч ва эгувчи момент эпюраларининг тўғри қурилганлигини қандай текшириш мумкин?

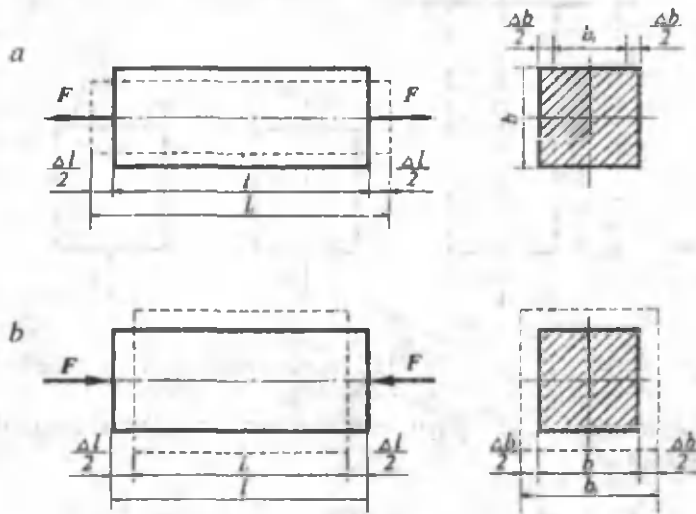
III БОБ. МАРКАЗИЙ ЧҮЗИЛИШ ЕКИ СИҚИЛИШ

3.1-§. Асосий муроҳазалар

Текширилаётган стерженларнинг кўндаланг кесимларида олтита ички куч омилларидан фақатгина битта бўйлама куч N_z таъсир кўрсатиб, қолганлари эса нолга тенг бўлганда чўзилиш еки сиқилиши деформацияси содир бўлади.

Биз бу бобда фақат марказий чўзилиш ва сиқилиш деформациясини ўрганиш билан чегараланамиз.

III.1-шакл, а да тасвирланган стерженнинг барча кесимларида $N_z=F$ бўйлама куч таъсир кўрсатади; натижада чўзилиш деформацияси содир бўлади: стерженнинг узунлиги ошиб, кўндаланг кесим юза ўлчамлари камаяди.



III.1-шакл

Агар III.1-шакл, б да кўрсатилгандек, стерженга F куч таъсир этса, у ҳолда сиқилиш деформацияси содир бўлади.

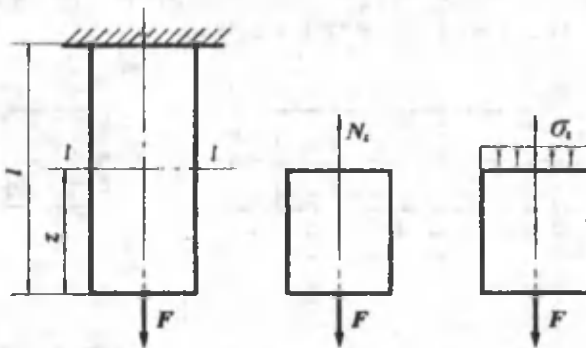
Стерженлар сиқилганда уларнинг узунлиги камайиб, кўндаланг кесим юзаси ўлчамлари ортади.

Мисоллар: вагонларни ўзаро боғловчи мослама, юк кўтариш кранларидаги пўлат арқон, узатмалардаги тасма ва шу кабилар чўзишишга, гиштлар ёки тошлардан терилган девор, темир-бетон устун ва шу кабилар эса сиқилишга қаршилик кўрсатади.

Чўзиши ёки сиқилиш деформацияларини I боб, 7-§ да кўрсатилган тартибда таҳлил қилиб чиқамиз.

I. Масаланинг статик томони

Текширилаётган стерженни ихтиёрий I-I текислик билан фикран кесиб, уни иккита қисмларга ажратамиз (III.2-шакл). Бу қисмлардан бирини, масалан юқоридагисини ташлаб юбориб, унинг қолдирилган қисмга кўрсатган таъсирини N_z ички куч билан алмаштирамиз.



III.2-шакл

Ажратилган қисм учун статиканинг мувозанат тенгламасини тузамиз:

$$\sum_{i=1}^n Z_i = 0, \quad \text{ёки} \quad -N_z + F = 0 \quad (a)$$

Агар нормал кучланишни кўндаланг кесим юза бўйича текис тақсимланган деб фараз қилсак, у ҳолда

$$N_z = \sigma A \quad (b)$$

кўринишга келади.

Бундан,

$$\sigma = \frac{F}{A} \quad (\text{III.1})$$

эканлиги келиб чиқади.

Мувозанатнинг бошқа тенгламалари эса айниятта айланади.

II. Масаланинг геометрик томони

Марказий чўзилиш ёки сиқилишга доир масалаларга геометрик нуқтаи назардан ёндашиш учун стержен деформацияларининг геометрик хоссаларини текшириш зарур.

Агар узунлиги ℓ ва кўндаланг кесим юзаси A бўлган стерженга F кучлар таъсир этса, у ҳолда стержен узайиб (III.1-шакл, а) ёки аксинча, қисқариб ℓ_1 узунликка эришади (III.1-шакл, б). Одатда, стержен узунлигининг бундай ўзгаришга бўйлама деформация дейилади.

Стержен дастлабки узунлити ℓ нинг

$$\ell_1 - \ell = \Delta\ell \quad \text{ёки} \quad \ell - \ell_1 = \Delta\ell \quad (\text{III.2})$$

миқдорга ўзгариши мутлақ (абсолют) узайиши ёки қисқариш дейилади.

Масаланинг геометрик томони тажриба натижаларига асосланган Я.Бернулли гипотезасига таянади: стерженинг деформациягача бўлган текис ва стержен ўқига тик бўлган кесимлари деформациядан кейин ҳам текис ва стержен ўқига тиклигича қолади.

Бу таърифдан эса стержен абсолют узайишининг дастлабки узунлигига нисбати ўзгармас миқдор эканлиги келиб чиқади:

$$\varepsilon = \frac{\Delta\ell}{\ell} = \text{const} \quad (\text{III.3})$$

Бу ерда, ε -ўлчамсиз миқдор бўлиб, нисбий бўйлама деформация дейилади.

Стержен узунлигининг ўзгариши натижасида унинг кўндаланг кесим ўлчамлари ҳам ўзгаради: чўзилишда кўндалсанг кесим ўлчамлари камаяди, сиқилишда эса опади. Буларга кўндаланг деформациялар дейилади.

Агар чўзилиш (сиқилиш) пайтида кўндаланг кесимнинг ўлчами $\Delta b = b - b_0$ ёки $\Delta b = b_0 - b$ қийматга ўзгарса, у ҳолда нисбий кўндаланг деформация қўйидагича бўлади:

$$\varepsilon' = \frac{\Delta b}{b} \quad (\text{III.4})$$

Эластиклик чегарасида стерженларнинг нисбий кўндаланг деформацияси нисбий бўйлама деформацияга тўғри мутаносиб боғланишда, лекин ишоралари эса қарама-қарши эканлиги тажрибаларда тасдиқланган:

$$\varepsilon' = -\mu \varepsilon \quad (\text{III.5})$$

Бу ерда, μ - кўндаланг деформация коэффициенти ёки Пуассон коэффициенти деб аталиб, материалларнинг эластиклик хоссаларини тавсифлайди.

Барча материаллар учун Пуассон коэффициентининг ўзгариш чегараси $\mu = 0 + 0,5$ эканлиги исботланган.

Баъзи материаллар учун μ нинг қийматлари 3.1-жадвалда келтирилган.

3. 1-жадвал

Материаллар	μ	E ($\times 10^5$ МПа)
Пўлат	0,26-0,33	(1,9 - 2,15)
Кулранг чўян (СЧ 12-28, СЧ 15-32)	0,23-0,27	(0,8 - 1,5)
Мис	0,31-0,33	(1,1 - 1,3)
Алюминий қотишмалар	0,33-0,36	(0,69 - 0,71)
Қарағай	-	(0,1 - 0,12)
Текстолит	-	(0,07 - 0,13)
Бетон	0,16-0,18	(0,15 - 0,23)
Резина	0,5	0,00008
Пўкак (тиқин)	0	-

III. Масаланинг физик томони

Кўйилган масалага физик томондан ёндашиш мақсадида тажрибалардан олинган қўйидаги асосий натижалардан фойдаланамиз:

а) стерженнинг кўндаланг кесимидағи нормал кучланиш мазкур стержен материалининг эластиклик чегарасидаги кучланишига етмагунча, у эластик деформацияланади;

б) эластиклик чегарасида стержен күндаланг кесимидағи нормал күчланишнинг нисбий бўйлама деформацияга нисбати ўзгармас бўлиб, турли хил материаллар учун турличадир:

$$\frac{\sigma}{E} = \varepsilon \quad \text{ёки} \quad \sigma = E \varepsilon \quad (\text{III.6})$$

Демак, чўзилган (сиқилган) стерженларда нормал күчланиш нисбий бўйлама деформацияга тўри мутаносиб боғланишида экан; бу таъриф Гук қонунини ифодалайди.

Бу ерда, E -биринчи тур эластиклик модули ёки **Юнг модули** деб аталиб, күчланиш ўлчов бирлигига ифодаланади ва материалларнинг эластиклик хоссасини тавсифлайди. Аниқроғи унинг қиймати қанча катта бўлса, материал шунча эластик деб ҳисобланади.

3.1-жадвалда бъзи материаллар учун E нинг қиймати келтирилган.

Агар эластиклик модулининг қиймати ҳамма йўналишларда бир хил бўлса, у ҳолда материал **изотроп** дейилади; изотроп материалларга пўлат, чўян, қўйма металлар ва шу кабилар мисол бўлади.

Аксинча, эластиклик модулининг қиймати ҳамма йўналишларда турлича бўлса, у ҳолда материал **анизотроп** дейилади; ёғочлар анизотроп материал ҳисобланади.

(III.5) ни назарда туғиб, охирги формулани қўйидагича ёзмиз:

$$\sigma = -\frac{1}{\mu} E \varepsilon'. \quad (\text{III.7})$$

Холосалар

Энди марказий чўзилиш (сиқилиш) га оид масалаларни статик, геометрик ва физик нуқтаи назардан таҳлил қилиш натижасида келиб чиқадиган холосалар билан танишамиз.

Юқоридаги (III.1), (III.3), (III.6) формулаларни стержен-нинг мутлақ деформацияси $\Delta\ell$ га нисбатан сиб, қўйидагига эга бўламиз:

$$\Delta\ell = \frac{F\ell}{EA} \quad (\text{III.8})$$

бу ерда, EA -стерженнинг чўзилиш ёки сиқилишдаги бикрлигини тавсифлайди.

(III.8) формуладан қўйидаги хуносаларга келиш мумкин:

1) бир хил ўлчамли стерженларнинг мутлақ деформациялари таъсир этувчи кучга тўғри мутаносиб боғланишда бўлади (III.3-шакл, а):

$$\Delta\ell_1 : \Delta\ell_2 = F_1 : F_2 \quad (\text{в})$$

2) кесим юзалари ўзаро тенг бўлган стерженларнинг бир хил кучдан ҳосил бўлган мутлақ деформациялари уларнинг узунликларига тўғри мутаносибdir (III.3-шакл, б):

$$\Delta\ell_1 : \Delta\ell_2 = \ell_1 : \ell_2 \quad (\text{г})$$

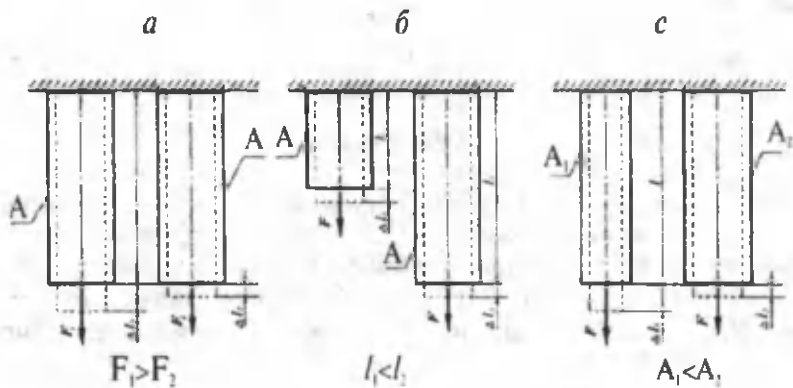
3) узунликлари ўзаро тенг бўлган стерженларнинг бир хил кучдан ҳосил бўлган мутлақ деформациялари уларнинг кўндаланг кесим юзасига тескари мутаносибdir (III.3-шакл, с):

$$\Delta\ell_1 : \Delta\ell_2 = A_2 : A_1 \quad (\text{д})$$

Бир нечта поғона (бўлак)лардан ташкил топган стерженларнинг тўла узайиши ёки қисқариши ҳар бир поғона деформациясининг алгебраик йигинидисидан иборат бўлади:

$$\Delta\ell = \sum_{i=1}^n \Delta\ell_i = \sum_{i=1}^n \frac{N_i \ell_i}{E_i A_i} \quad (\text{III.9})$$

Бу ерда, A ва E лар ўзгармас миқдорлар ҳисобланади.



III.3-шакл

3.2-жадвалда марказий чўзилган (сиқилган) стерженларнинг таҳлили натижасида ҳосил бўлган формулалар берилган.

3.2-жадвал

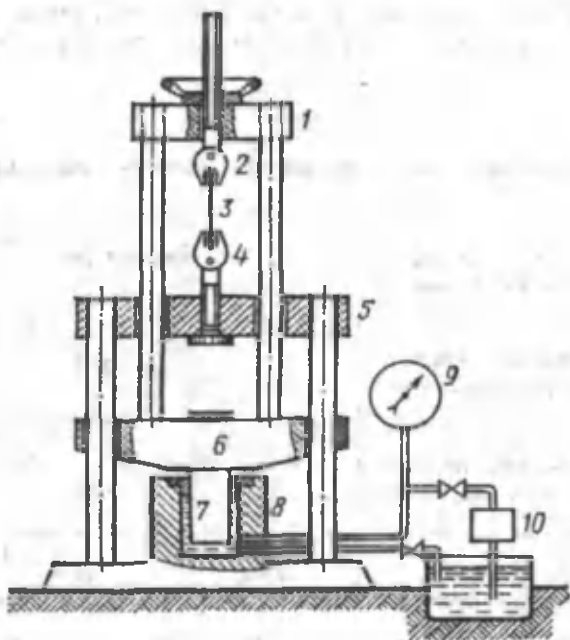
Стерженларнинг марказий чўзилиши ёки сиқилини		
	масалани таҳлилий ўрганиш кетма-кетлиги	формулалар
1	статик нуқтаи назардан ёндашиш	$N = \sigma A$
2	геометрик нуқтаи назардан ёндашиш	$\varepsilon = \frac{\Delta \ell}{\ell}; \quad \varepsilon' = \frac{\Delta b}{b}; \quad \varepsilon' = -\mu \varepsilon$
3	физик нуқтаи назардан ёндашиш	$\sigma = E \varepsilon; \quad \sigma = -\frac{1}{\mu} E \varepsilon$
4	хулоса	$\Delta \ell = \frac{N \ell}{EA}, \quad \Delta l \approx \sum_{i=1}^n \frac{N_i \ell_i}{E_i A_i}, \quad \varepsilon = \frac{N}{EA}$

3.2-§. Материалларнинг асосий механик хоссаларини тажрибалар ёрдамида аниқлаш

Конструкциялар ёки улар таркибий қисмларининг мустаҳкамлиги, бикрлиги ва устуворлигига оид турли хил масалаларни ечаётганда уларни ясашда ишлатиладиган материалларнинг асосий механик хоссаларини билиш жуда муҳимdir.

Материалларнинг **асосий механик хоссалари** дейилганда уларнинг эластиклик (E , μ), мустаҳкамлик ($\sigma_{\text{лом}}$, σ_3 , $\sigma_{0.4}$, σ_u), пластиклик (δ_p , ψ) ва энергетик (u , a) тавсифномалари тушунилади.

Материалларнинг асосий механик хоссалари тажрибалар ўткизиш усули билан аниқланади. Бунинг учун материаллардан маҳсус намуналар тайёрланиб, уларнинг турли деформацияларга қаршилик кўрсатиши маҳсус синов машиналарида синалади.



III.4-шакл.

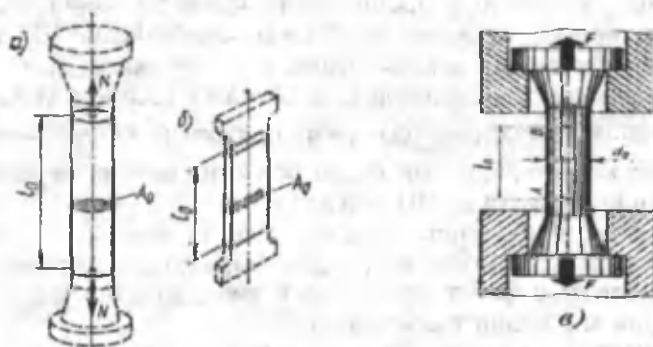
Гидравлик усулда ишлайдиган синов машинаси күйидагилардан түзилганд (III.4-шакл): құзғалувчан траверсалар 1 ва 6, қисқичлар 2 ва 4, құзғалувчан траверса 5, поршен 7, цилиндр 8, манометр 9, насос 10.

Суюқлик цилиндрға маълум босим остида ҳайдалғач, поршенні юқорига күтариб, намуна 3 ни чўзади. Чўзуви кучнинг қиймати манометр ёрдамида ўлчанадиган босим орқали аниқланади.

Кўпгина замонавий синов машиналарида намунага таъсир этувчи куч F ва шу куч туфайли вужудга келган мутлақ деформация $\Delta\ell$ орасидаги боғланиш графикини тажриба давомида қизиб борувчи автоматик ёзув курилмаси ўрнатилган.

Одатда, $F = f(\Delta\ell)$ боғланишдаги графикка намуналарнинг чўзилиш ёки сиқилиш диаграммалари дейилиб, у материалларнинг асосий механик хоссаларини батағсил аниқлашга имкон беради.

Материалларни чузилишга синаш. Материалларни чузилишга синаш учун улардан цилиндрик ва текис шаклдаги махсус намуналар тайёрланади (III.5-шакл, а, б).



III.5-шакл.

Одатда, ўрта қисмининг узунлиги ва диаметри орасидаги муносабатларга қараб цилиндрик намуналар узун ($l_0 = 10d$) ёки қисқа ($l_0 = 5d$) қилиб ясалади.

Текис намуналарнинг узунлигини танлаш учун, аввал шу намунанинг күндаланг кесим юзасига тенг юзли доиравий намунанинг диаметрини аниклаш зарур:

$$d = \sqrt{4A_0/\pi} \approx 1,13\sqrt{A_0} \quad (a)$$

Кейин эса қуйидаги муносабатлардан фойдаланиб, текис намуналарнинг узунлигини ҳам аниклаш мумкин:

а) узун текис намуналар учун

$$l_0 = 10d \approx 11,3\sqrt{A_0}$$

б) қисқа текис намуналар учун

$$l_0 = 5d \approx 5,54\sqrt{A_0}$$

Синов машинасининг пастки ва юқори қисқичларига намуна маңқам ўрнатилиб, кейин чўзилади (III.5-шакл, в).

III.6-шаклда кем углеродли Ст 3 навли пўлат материалидан тайёрланган намунанинг чўзувчи куч остида “узини қандай тутиши”ни кўрсатувчи бирламчи чўзилиш диаграммаси келтирилган.

Маълумки, материаллар қаршилигида кўпчилик конструкция элементлари нормал кучланишлар бўйича ҳисобланади. Шунинг учун бирламчи чўзилиш диаграммасини ёс координата текислигига ифодалаш зарур: чўзилиш диаграммасидаги абсцисса ўқидаги ҳамма қийматларни мос равища ℓ_0 марта, ордината қийматларини эса A_0 марта камайтириш йўли билан осонгина шартли кучланиш диаграммасига ўтиш мумкин (III.7-шакл).

Шуни қайд этиб ўтиш керакки, шартли кучланиш диаграммаси гарчи кўриниши жиҳатидан бирламчи диаграммага ўхшаса-да, лекин у фақат намунанинг эмас, балки материалнинг механик хоссасини тавсифлайди.

Энди диаграммалардаги ўзига хос нуқта ва қисмларни қайд этиб, намунанинг деформацияланиш жараёнини таҳлил қиласиз.

Чўзилиш диаграммасини тахминан тўртта қисмга ажратиш мумкин.

Диаграмманинг **OB** қисми эластиклик қисми дейилади; бу қисмда куч (кучланиш) билан мутглақ (нисбий) деформация орасида тўғри мутаносиб боғланиш бўлиб, материал Гук қонунига тўла бўйсунади. Кучланиш диаграммасидаги нуқтанинг ҳолати мутаносиблик чегараси дейилади ва қуйидагича аниқланади:

$$\sigma_{\text{эм}} = \frac{F_{\text{эм}}}{A_0} \quad (6)$$

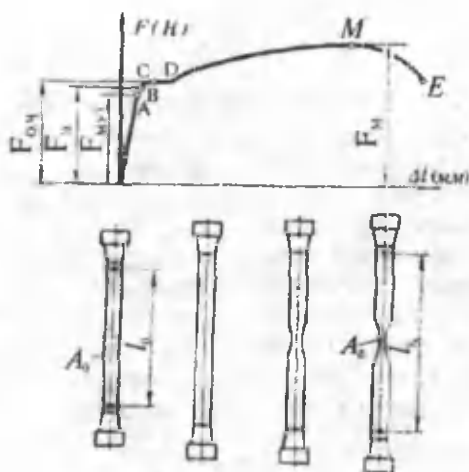
Бу ерда, $F_{\text{эм}}$ - мутаносиблик чегарасига мос келган куч.

Мутаносиблик чегараси деб, шундай энг катта кучланишга айтиладики, унгача материал Гук қонунига тўла бўйсунади.

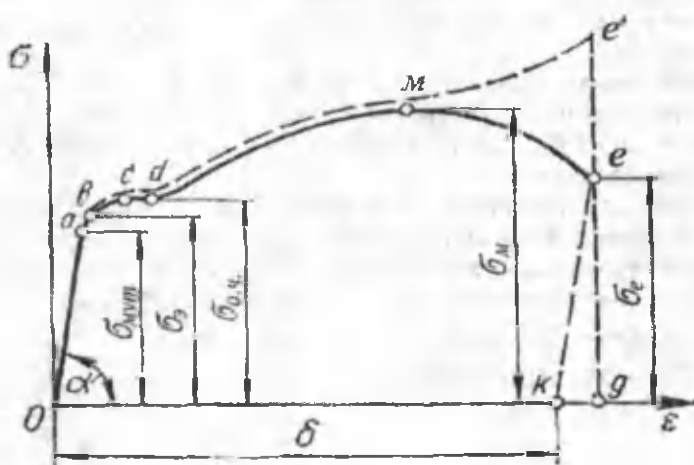
OA тўғри участканинг абсцисса ўқига оғиш бурчагининг тантенси эластиклик модулига тенг бўлади:

$$\operatorname{tg}\alpha = \frac{\sigma_{\text{мут.}}}{\varepsilon} = E \quad (7)$$

A нуқтадан бошлаб диаграмма эгридана бошлаганлиги сабабли, Гук қонуни бузилади. Диаграммадаги эгри чизиқли оралиқда ётувчи **B** нуқтанинг ҳолати эластиклик чегараси σ_3 га мос келади.



III.6-шакл.



III.7-шакл.

Эластиклик чегараси деб, намуна юксизлантирилганда қолдиқ деформация ҳосил қилмасдан унинг материалы чидаш берадиган энг катта күчланишга айтилади ва қуийдагича аниқланади:

$$\sigma_3 = \frac{F_3}{A_0} \quad (\text{г})$$

Бу ерда, F_3 -эластикик чегарасига мос келувчи максимал күч.

Агар күчланишларнинг қиймати σ_3 дан ошиб кетмаса, у ҳолда намунада фақат эластик деформация содир бўлади; аksинча, ошиб кетса намунада ҳам эластик, ҳам қолдиқ (пластик) деформациялар пайдо бўлади.

Диаграмманинг **СД** қисми оқувчанлик қисми деб аталади. С нуқтадан бошлаб, диаграммалар йўналишини ўзгартиради, яъни деярли ўзгармас кучда ҳам сезиларли даражада деформациянинг ошиши содир бўлади – материал гўёки «оқади». Бу ҳолатга тўғри келган күчланиш **оқувчанлик** чегараси деб аталади ва унинг қиймати қуйидагича топилади:

$$\sigma_{0.4} = \frac{F_{0.4}}{A_0} \quad (\text{д})$$

Бу ерда, $F_{0.4}$ – оқувчанлик чегарасидаги күч.

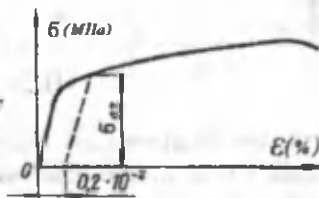
Диаграмманинг горизонтал қисми оқувчанлик майдончаси деб аталади.

Оқувчанлик майдончасида намунанинг ялтироқ сирти хирадашиб, унинг ўқи билан 45° бурчак ташкил этувчи дарз чизиклари ҳосил бўлади (III.8-шакл); бу чизиклар Людерс-Чернов чизиклари дейилади.

Шуни ҳам таъкидлаб ўтиш жоизки, баъзи маҳсус пўлатлар, мис ва бронза каби материалларнинг чўзилиш диаграммасида оқиш чегараси аниқ кўринмайди. Шу боис, бундай материаллар учун оқиш чегараси шартли равишда күчланишнинг 0,2 фоиз қолдиқ деформация берадиган миқдори $\sigma_{0.2}$ га teng қилиб олинади (III.9-шакл).



III.8-шакл



III.9-шакл

Диаграммаларнинг навбатдаги ҳолати намунага таъсир этувчи куч (кучланиш) ва мутлақ (нисбий) деформацияларнинг ўсиши билан тавсифланади. Чўзилиш диаграммасининг ΔM қисми мустаҳкамланиш қисми деб аталади; M нуқтанинг ҳолати материалнинг мустаҳкамлик чегараси ёки вақғли қаршилигига мос келади.

Намуна чидаш бера олмайдиган энг катта кучнинг унинг дастлабки кесим юзасига бўлган нисбати мустаҳкамлик чегара-си деб аталади ва қўйидагича аниқланади:

$$\sigma_m = \frac{F_m}{A_0} \quad (e)$$

Бу ерда, F_m -мустаҳкамлик чегарасига мос келувчи максимал куч.

Кучланиш σ_m га етганда намунанинг кўндалант кесим юза-си қисқариб, «бўйин» ҳосил бўлади. «Бўйин» бошланиши би-ланоқ диаграммада кўрсатилгандек, куч ва кучланиш тобора камая бошлайди. Намуна E нуқтага тегишли

$$\sigma_e = \frac{F_e}{A_0} \quad (k)$$

кучланишда узилади.

Бу ерда, F_e -намунанинг емирилиш пайтидаги куч.

Диаграмманинг ME қисмига “маҳаллий” оқувчанлик қисми дейилади.

Юқорида баён қилинган чўзилиш диаграммасининг ўзига хос нуқталарига тегишли $\sigma_{\text{нут}}$, $\sigma_{\text{о.ч}}$ ва σ_m кучланишлар матери-алнинг мустаҳкамлик тавсифлари дейилади.

Материалнинг пластиклик тавсифлари эса қўйидагилардан иборат:

а) нисбий қолдиқ узайиш

$$\delta_k = \frac{l_k - l_0}{l_0} \cdot 100\% \quad (\text{III.10})$$

Бу ерда, l_0 -намунанинг тажрибадан олдинги узунлиги;

l_k -намунанинг узилгандан кейинги узунлиги;

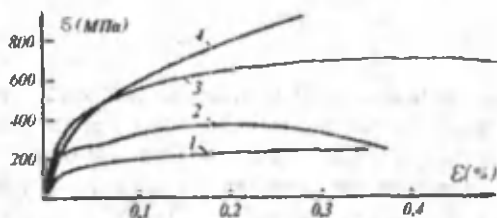
б) кесим юзанинг нисбий қолдиқ ингичкаланиши:

$$\psi = \frac{A_0 - A_b}{A_0} \cdot 100\% \quad (\text{III.11})$$

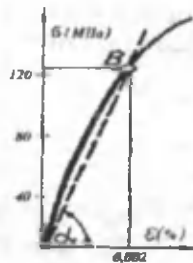
Бу ерда, A_0 -намунанинг тажрибадан олдинги кўндаланг кесим юзаси;

A_0 -намуна узилганда ҳосил бўлган “бўйин”нинг кўндаланг кесим юзаси.

III.10-шаклда баъзи материалларнинг кучланиш диаграммаси келтирилган; чўян материалининг чўзилиш диаграммаси эса III.11-шаклда тасвирланган.



III.10-шакл.



III.11-шакл.

1-бронза,

2-углеродли тўлат,

3-таржибида никел миқдори оширилган тўлат,

4-таржибида марганец миқдори оширилган тўлат.

Материалларни сиқилишга синаш. Турли хил материаллар сиқилиш деформациясига турлича қаршилик кўрсатади.

Металл материалларни сиқилишга синашдан аввал улардан узунлиги диаметри билан $l = (1-3)d_0$ муносабатда бўлган цилиндрик намуналар тайёрланади; мўрт ва анизотроп материалларни синаш учун эса куб ёки цилиндрик шаклида тайёрланган маҳсус намуналар ишлатилади.

Ташки таъсир кучи натижасида материалларнинг бузилмасдан қолдиқ деформация олиш лаёқатига **пластиклик** дейилади. Материалларни штамплаш, чўзиш, эгиш ва шу каби бир қанча технологик жараёнларни бажаришда уларнинг пластиклик хоссаларидан фойдаланилади. Одатда, материалларнинг пластиклиги фоизларда ифодаланувчи нисбий узайиш δ_k ва кесим юзаларининг нисбий ингичкаланиши ψ билан ўлчанади. Алюминий, латун, кам углеродли пўлат каби материаллар юқори пластиклик хоссаларини ўзида намоён қиласади.

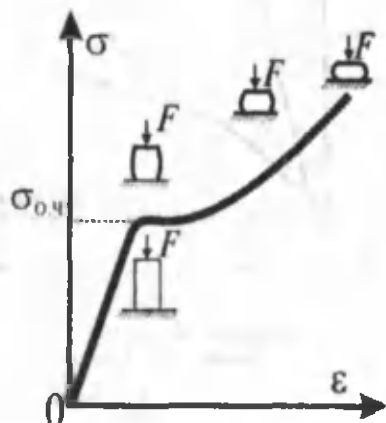
Юкланишнинг дастлабки даврида пластик материалларнинг сиқилиш диаграммаси (III.12-шакл) чўзилиш диаграммаси каби Гук қонунига бўйсунувчи тўғри чизиқдан иборат бўлади; намуна эса яссилана бориб «бочка»симон шаклини эгалай бошлайди.

Сиқувчи куч оқиши чегараси $F_{o.y}$ га етганда диаграмма эгриланиб кескин юқорига кўтарилади. Оқувчанлик чегарасига мос келувчи кучланиш

$$\sigma_{o.y} = \frac{F_{o.y}}{A_0} \quad (\text{III.12})$$

кўринишда ёзилади.

Сиқилишда “оқиши майдончаси” чўзилишдаги каби аниқ билинмайди; сиқилишдаги оқувчанлик чегараси чўзилишдаги оқувчанлик чегарасига мос келиши тажрибадан тасдиқланган.



III.12-шакл.



III.13-шакл.

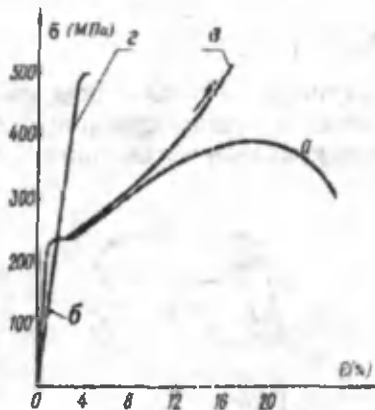
Намуна сиқилганда бузилиш белгилари содир бўлмасдан, у гўёки «кулча»лана бошлайди, яъни унинг кўндаланг кесим ўлчамлари катталашиб, мустаҳкамлиги орта боради. Шунинг учун ҳам пластик материалларнинг мустаҳкамлик чегарасини аниқлаб бўлмайди.

Сиқилишдаги мустаҳкамлик чегараси шартли равишда чўзилишдаги мустаҳкамлик чегарасига тёнг деб олинади.

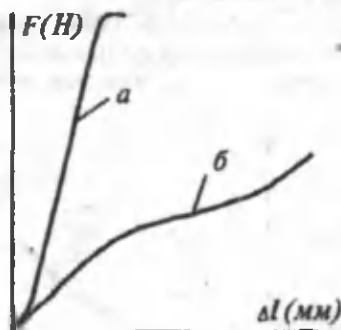
Ташки таъсир кути натижасида материалларнинг сезиларли даражада қолдиқ деформация ҳосил қилмасдан бузилиши

мұрттың дейилади. Чүян, юқори углеродлы асбобсозлик пұлатлары, гишт, бетон ва шу кабилар мұрт материаллар ҳисобланиб, уларда δ_k ва ψ ларнинг миқдорлари етарли дара жада кичик бұлади.

Мұрт материаллар чүзилишдан күра сиқилишта яхшироқ ишлайди. Улар сиқилиш жараёнида асос текислигига таҳминан 45° қияликда емирила бошлайди (III.13-шакл).



III.14-шакл.



III.15-шакл.

a-кам углеродлы пұлаттинг чүзилиши;
b-кулранг чүяннинг чүзилиши; *c*-кам углеродлы пұлаттанаң сиқилиши; *d*-кулранг чүяннинг сиқилиши.

a-толалары бүйлаб;
b-толаларига тик йұналишда.

III.14-шаклдан фойдаланыб чүян ва кам углеродлы пұлат материалларидан тайёрланған намуналарнинг чүзилиш ва сиқилиш диаграммаларини осонгина таққослаш мүмкін.

Мұрт материаллар учун мустақаммлік чегараси

$$\sigma_m = \frac{F_m}{A_0} \quad (\text{III.13})$$

күринишда бұлади.

Бу ерда, F_m -мустақаммлік чегарасынан тұғри келген емирувчи (чегаравий) күч;

A_0 -намуна күндаланған кесимининг деформацияғача бұлган юзаси.

Кўпгина материаллар, хусусан ёғочлар сиқилганда анизоротроп хоссаларни ўзларида намоён қиласи. Бошқача айтганда, улар толалари бўйлаб ва толаларига тик йўналган сиқувчи кучларга турлича бардош беради. III.15-шаклда ёғоч (қайн) намунанинг сиқилиш диаграммаси келтирилган.

Ёғочларнинг мустаҳкамлик чегараси қуидаги муносабатлардан топилади:

а) сиқувчи куч толалар бўйлаб йўналганда:

$$\sigma'_M = \frac{F'}{A_0}$$

б) сиқувчи куч толаларга тик йўналганда:

$$\sigma''_M = \frac{F''}{A_0}$$

Бу ерда, F' ва F'' -намунанинг сиқувчи (емирувчи) кучлар;

A_0 -намунанинг деформациягача бўлган юзаси.

3.3-жадвалда баъзи машинасозлик материалларнинг асосий механик тавсифлари келтирилган.

3.3-жадвал

Материаллар	$\sigma_{\text{мут.}}$ МПа (чўлишшам)	$\sigma_{\text{мут с}}$ МПа (сиқилишшам)	$\sigma_{0,1}$ МПа	$\delta_{\%}$	$\Psi_{\%}$
Пўлатлар:					
Ст 3	388..470	—	220..240	27..15	—
Ст 5	500..620	—	259..280	21..19	—
30	500	—	300	21	50
45	600	—	359	16	40
40Х	1000	—	800	10	45
Чўянлар:					
СЧ 12-28	120	500	—	—	—
СЧ 21-40	210	450	—	—	—
ВЧ 50-1.5	500	1590	380	1,5	—
КЧ 37-12	370	—	—	12	—
Дюралюмин	450..540	—	290..440	14..8	—
Текстолит	59..110	130..150	—	—	—

3.3-§. Жоиз кучланишлар

Тажрибалар ёрдамида материалларнинг асосий механик тавсифлари аниқлангандан кейин, шундай кучланишларни топиш мүмкінки, бу кучланишлар таъсирида мазкур материаллардан тайёрланган конструкцияларнинг таркибий қисмлари белгиланган муддат давомида ўзининг мустаҳкамлигини йўқотмасдан хавф-хатарсиз ишлайди. Одатда, бундай кучланишларга мос рашишда материалларнинг жоиз (*ruhsat этилаган*) нормал (σ_{adm})^{*} ва урунма (τ_{adm}) кучланишлари деб аталади. Баъзи адабиётларда σ_{adm} ни оддий чўзилиш (сиқилиш), τ_{adm} ни эса силжиш (кеслиш)да жоиз кучланишлар деб ҳам юритилади.

Матъумки, конструкция қисмлари ишлаш жараёнида қолдиқ деформациялар ҳосил қилмаслиги мақсадга мувофиқидир. Шу боис, жоиз кучланишнинг қиймати мутаносиблик ёки эластиклик чегараларидан ошиб кетмаслиги шарт. Бошқача айтганда, жоиз нормал кучланиш хавфли кучланиш σ_x нинг маълум қисмини ташкил қилиши лозим:

$$\sigma_{adm} = \frac{\sigma_x}{n_{adm}} \quad (\text{III.14})$$

Бу ерда, n_{adm} – қиймати бирдан кичик бўлган миқдор бўлиб, мустаҳкамликнинг эҳтиёт коэффициенти деб юритилади.

Мустаҳкамликнинг эҳтиёт коэффициенти конструкция ёки унинг қисмларини тайёрлашда фойдаланиладиган материалларнинг пластичиги, мўртлиги ва кучлар қўйилишининг ўзига ҳослиги каби бир қанча омилларга боғлиқдир.

Бундан ташқари, мустаҳкамликнинг эҳтиёт коэффициенти фан-техника ривожланиш даражасига ҳам боғлиқ эканлигини алоҳида таъкидлаб ўтиш мухимдир. Чунки, фан-техника ривожланган сари янги, сифатли материалларни тайёрлаш, деталларга ишлов бериш технологиясини такомиллаштириш, ҳисоблаш жараёнларида эса барча ҳақиқий шароитларни эътиборга олишга эришилади; бу эса ўз наъбатида мустаҳкамликнинг эҳтиёт коэффициентини камайтиришга ёки

* Индексдаги adm инглизча *admissible* сўзидан қисқартирилган бўлиб, «жоиз» деган маънони англатади.

жоиз күчланишни оширишга имкон беради. Шунинг учун ҳам жоиз күчланишлар олдиндан юқори ташкилотлар томонидан қатый белгиланади, унга амал қилиш эса барча мұхандистехник ходимлар учун мажбурий ҳисобланади.

Амалий ҳисоблашларда статик күчлар таъсиридаги пластик материаллар учун хавфли күчланишнинг қыймати оқувчанлик чегараси $\sigma_s = \sigma_{o.v.}$ га тең қилиб олинади:

$$\sigma_{adm} = \frac{\sigma_{o.v.}}{n_{o.v.}} \quad (III.15)$$

бу ерда, $n_{o.v.}$ -оқувчанлик чегарасидаги мустақамликнинг әхтиёт коэффициенти бўлиб, қыймати $1,4+1,6$ га теңг.

Статик күчлар таъсиридаги мўрт материаллар учун хавфли күчланиш ўрнига мустақамлик чегараси σ_u олинади:

$$\sigma_{adm} = \frac{\sigma_u}{n_M} \quad (III.16)$$

бу ерда, n_M -мустақамлик чегарасидаги мустақамликнинг әхтиёт коэффициенти бўлиб, қыймати $2,5+3,0$ га теңг.

Ёғоч материаллари учун эса мустақамликнинг әхтиёт коэффициенти 3 дан 8 гача оралиқда танланади.

3.4-жадвал

Материалларнинг номи	σ_{adm} (МПа ҳисобида)	
	чўзилшида	сиқилишида
Кул ранг чўяйлар:		
СЧ 12-28	20+30	70+110
СЧ 15-32	25+40	90+150
Пўлатлар:		
Ст 3	159	159
Углеродли конструкцион пўлат	59+250	59+250
Легирланган конструкцион пўлат	140+400 ва юқори	100+400 ва юқори
Латун	70+140	70+140
Қарағай (тола бўйлаб)	7+10	10+12
Қарағай (толага тик)		1,5+2
Фишт	0,2 гача	0,6+2,5
Бетон	0,1+0,7	1+9

Күп ишлатыладиган материаллар учук жоиз нормал күчланишнинг қыйматлари 3.4-жадвалда көлтирилгандар.

3.4-§. Чүзилган ёки сиқилган стерженларнинг мустаҳкамлик шарти

Агар стерженнинг күндаланг кесимларида ҳосил бўлган максимал нормал күчланишнинг қыймати унинг материалига тегишили жоиз нормал күчланишдан ошиб кетмаса, у ҳолда стержен мустаҳкам деб ҳисобланади.

Чўзилиш ёки сиқилишида стерженларнинг мустаҳкамлик шарти:

$$\sigma_{max} = \frac{N_{max}}{A} \leq \sigma_{adm} \quad (III.17)$$

кўринишда ёзилади.

Бу формула асосида қўйидаги уч хил масала ҳал қилинади:

1) мустаҳкамликка текшириш.

Бу қўйидаги формула ёрдамида бажарилади:

$$\sigma_{max} \leq \sigma_{adm} \quad (a)$$

Агар стерженга таъсир этувчи чўзувчи (сикувчи) күчлар ва унинг күндаланг кесим ўлчамлари маълум бўлса, у ҳолда күндаланг кесимдаги максимал нормал күчланишни аниқлаб, уни жоиз күчланиш билан таққослаб кўриш мумкин; амалий ҳисоблашларда улар орасидаги фарқ 5 фоиздан ошмаслиги керак.

2) мустаҳкам кесим юза танлаш.

Агар стерженга таъсир этувчи күчлар ва унинг материали маълум бўлса, у ҳолда стержен күндаланг кесимининг хавфсиз ўлчамлари

$$A \geq = \frac{N_{max}}{\sigma_{adm}} \quad (6)$$

ифодадан танланади.

3) энг катта кучни аниқлаш.

Агар стерженнинг кесим юзаси ўлчамлари ва унинг материали маълум бўлса, у ҳолда стержен кўтара оладиган максимал куч қўйидагича аниқланади:

$$N_{max} \leq \sigma_{adm} \cdot A \quad (b)$$

3.5-§. Чўзилиш ёки сиқилишда деформациянинг потенциал энергияси

Энди тажрибалардан олинган чўзилиш ёки сиқилиш диаграммаларидан фойдаланиб, материалларнинг энергетик тавсифларини аниқлашга ўтамиз.

Чўзилиш диаграммасининг фақат Гук қонуни ўринилди бўлган OA чегарасидан фойдаланиб, стерженни чўзиш учун сарфланган элементар ишни аниқлаймиз (III.6-шаклга қаранг):

$$W = F \frac{\Delta\ell}{2} \quad (\text{III.18})$$

Демак, статик равишда кўйилган кучнинг бажарган ишини аниқлаш учун мазкур кучнинг охирги қийматини мутлақ деформациянинг охирги қиймати ярминга кўпайтириш лозим.

Агар стержен кесимларидаги кучланишлар эластиклик чегарасидан ошиб кетмаса, кучнинг таъсири олингандан кейин у ўзининг дастлабки геометрик шаклига тўлиқ қайтади; бу жараён албатта, стержен материалда тўпланган деформациянинг потенциал энергияси ҳособига амалга ошади.

Умумий ҳолда, F кучнинг бажарган иши энергиянинг сақланиш қонунига кўра, заррачаларнинг кинетик ва деформациянинг потенциал энергиясига айланади:

$$W = K + U \quad (\text{III.19})$$

Куч статик равишда таъсир этганлиги сабабли стержен заррачаларининг тезлиги тахминан нолга тенг деб олинади, яъни $K=0$ бўлади. Шу сабабли, ташки кучнинг бажарган иши миқдор жиҳатидан деформациянинг потенциал энергиясига тенг бўлади:

$$W = U \quad (\text{III.20})$$

(III.8) формуласи эътиборга олсак, (III.18) формула қўйидаги кўринишда ёзилади:

$$U = \frac{F^2 \ell}{2EA} \quad (\text{III.21})$$

Охирги формула таркибидаги F кучнинг қийматини

$$F = \sigma A$$

ёки

$$F = \frac{\delta E A}{\ell}$$

ифодалар ёрдамида йўқотиб, деформациянинг потенциал энергиясини кўйидаги кўринишларда ёзамиз:

$$U = \frac{\sigma^2 A \ell}{2E} \quad (\text{III.22})$$

$$U = \frac{\delta^2 A \ell}{2E} \quad (\text{III.23})$$

(III.21), (III.22) ва (III.23) формулалар таркибидағи куч, кучланиш ва мутлақ деформацияларнинг квадратлари деформациянинг потенциал энергияси ҳамма вақт мусбат эканлигини кўрсатади.

Баъзи масалаларни ечишда солиширма потенциал энергия формуласидан ҳам фойдаланишга тўғри келади.

Стерженнинг ҳажм бирлигига тўғри келган потенциал энергия солиширма потенциал энергия деб аталиб, у

$$a = \frac{U}{V} = \frac{\sigma^2}{2E}$$

ёки

$$a = \frac{\delta \cdot E}{2} \quad (\text{III.24})$$

кўринишларда ифодаланади.

Солиширма потенциал энергия $\frac{H \cdot m}{m^3}$, $\frac{kH \cdot m}{m^3}$ ларда ўлчанади.

Погонали стерженлар учун деформациянинг потенциал энергияси кўйидагича ёзилади:

$$U = \sum_{i=1}^n \frac{N_i^2 \ell_i}{2E A_i} \quad (\text{III.25})$$

Бу ерда, N_i - i -нчи оралиқнинг кўндаланг кесимидағи бўйлама куч;

A_i ва ℓ_i - i -нчи оралиқнинг кўндаланг кесим юзаси ва унинг узунлиги.

3.6-§. Деформация потенциал энергиясининг минималлiği ҳақидағы теорема

Статик аниқмас масалалардаги "ортиқча" $X_1, X_2, X_3, \dots, X_n$ ички зўриқиши күчларини топишда кенг қўлланиладиган бу теореманинг асосий маҳияти қўйидагидан иборат: *статик аниқмас эластик тизимларнинг мувозанат долатида деформациянинг потенциал энергияси минимал қийматга эришади.*

Бунинг математик ифодаси қўйидагича ёзилади:

$$U(X_1, X_2, X_3, \dots, X_n, F) = \min \quad (\text{III.26})$$

ёки

$$\frac{\partial U}{\partial X_1} = 0; \quad \frac{\partial U}{\partial X_2} = 0, \dots, \frac{\partial U}{\partial X_n} = 0 \quad (\text{III.27})$$

бунда *и*-эластик тизимнинг статик аниқмаслик даражаси.

Умумий ҳолда, (III.27) тенгламалар системаси $X_1, X_2, X_3, \dots, X_n$ ларнинг исталган қийматларида потенциал энергия U нинг экстремал (максимал ёки минимал) қийматга эришиш шартини ифодалайди. Аммо, бу шартлар доимо U нинг фақат минимал (энг кичик) бўлиш шарти эканлигини исботлаш қийин эмас.

Олдинги параграфда кўриб ўтганимиздек, потенциал энергия доимо мусбат бўлиб, ички зўриқиши күчларининг иккинчи даражали бир жинсли функцияси ҳисобланади:

$$U = C_1 \cdot X_1^2 + C_2 \cdot X_2^2 + \dots + C_{12} \cdot X_1 \cdot X_2 + \dots \quad (\text{III.28})$$

Бу ерда, $C_1, C_2, C_3, \dots, C_{12}, \dots$ коэффициентлар мусбат сонлардир, акс ҳолда $U > 0$ шарт бажарилмайди. Демак, U нинг номаълум зўриқиши күчлари бўйича олинган иккинчи тартибли ҳосиласи ҳам мусбат бўлар экан:

$$\frac{\partial^2 U}{\partial X_1^2} = 2C_1 > 0; \quad \frac{\partial^2 U}{\partial X_2^2} = 2C_2 > 0, \dots, \frac{\partial^2 U}{\partial X_1 \cdot \partial X_2} = C_{12} > 0, \dots \quad (\text{III.29})$$

Бу шартлар потенциал энергиянинг минималлик шартидир.

3.7-§. Кўчишлар

Кўчишларни икки гурӯҳга ажратиш мумкин:

- жисмларнинг бир бутун ҳолда кўчиши: бу пайтда уларнинг шакли ва заррачаларининг бир-бирларига нисбатан жойлашиш ҳолатлари ўзгармайди;

• жисмлар маълум бўлагининг кўчиши: бу пайтда эса деформация содир бўлади.

Биринчи хил кўчишлар мутлақ қаттиқ жисмларнинг кўчиши сифатида назарий механика фанида ўрганилади.

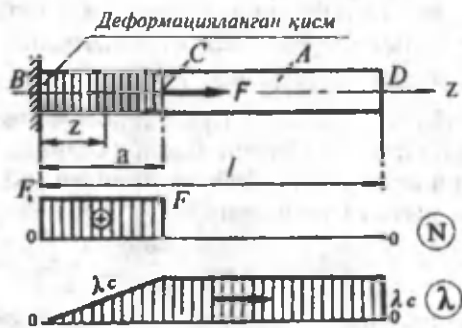
Материаллар қаршилиги фанида эса жисмларнинг деформациятари билан боғлиқ бўлган иккинчи хил кўчишлар ўрганилади. Бу ҳилдаги кўчишларни ҳосил қилиш учун аввало жисмларни бир бутун ҳолда кўчмайдиган қилиб маҳкамлаш зарур.

Стерженлар деформацияланган пайтда уларнинг кўндаланг кесимлари шу стержен ўқи бўйлаб кўчади. Кўчишлар гарчи деформация натижасида вужудга келса-да, лекин умумий ҳолда улар бир-бирларидан кескин фарқ қиласди.

Дастлаб фикримизнинг тасдигини III.16-шаклда келтирилган стерженнинг деформациясини текширишдан бошлаймиз.

Стерженнинг фақат чап қисмигина деформацияланади; шу сабабли маҳкамланган кесимдан ихтиёрий з масофада ётган бирор кесимнинг кўчиши узунлиги z тенг бўлган қисмнинг деформациясига тенг:

$$\delta_z = \Delta l_z = \frac{F \cdot z}{EA} \quad (a)$$



III.16-шакл

Стерженнинг ўнг қисми эса деформацияланмасдан, балки мутлақ қаттиқ жисм каби кўчади. Натижада CD қисмдаги барча кесимларнинг кўчиши бир хил бўлиб, уларнинг миқдори С қисмнинг кўчишига ёки BC қисмнинг деформациясига тенг бўлади:

$$\delta_c = \delta_B = \Delta l_{FB} = \frac{F \cdot a}{EA} \quad (б)$$

III.16-шакл, б да күчиш эпюраси көлтирилган.

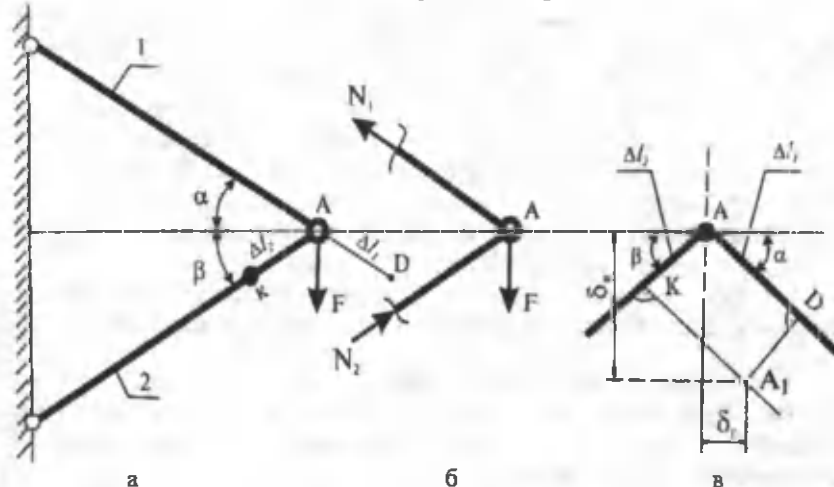
Энди А шарнирли тугуннинг күчишини аниқлаш билан шуғулланамиз (III.17-шакл, а).

Статикадан маълумки, ташқи куч тугунга қўйилганилиги учун биринчи стерженда N_1 чўзувчи; иккинчи стерженда эса N_2 сикувчи зўриқиши кучлари вужудга келади (III.17-шакл, б).

Эластик деформациялар жуда кичик миқдорда бўлганлиги сабабли А шарнирли тугуннинг деформациядан кейинги вазиятини аниқлаш учун ҳар бир стерженниң ўз йўналиши бўйлаб ҳосил қилган деформацияси Δl_1 ва Δl_2 ларни Гук қонунидан топиб, уларни тегишлича маълум масштабда чизиб, АД ва АК кесмаларни ҳосил қиласиз (III.17-шакл, в).

Кейин К ва Д нуқталардан стерженларнинг йўналишига тик чизиқлар ўтказиб уларнинг кесишган нуқтаси А₁ ни топамиз: А₁ нуқта шарнирли тугуннинг деформациядан кейинги ҳолати, АА₁ кесма эса унинг тўла кўчиши деб аталади.

Шарнирли тугуннинг деформациядан кейинги вазиятлари топиладиган III.17-шакл, в га кўчиш диаграммаси дейилади.



III.17-шакл

Тұла күчишнинг $\delta_{\text{гор}}$ горизонтал ва $\delta_{\text{вер}}$ вертикал ташкил этувчиларини деформация йұналишлари бұлған АК ва АД йұналишларга проекциялаб, уларни Δl_1 ва Δl_2 деформациялар орқали күйидагича ифодалаймиз:

$$\Delta l_1 = \delta_{\text{гор}} \cdot \cos \alpha + \delta_{\text{вер}} \cdot \sin \alpha$$

$$\Delta l_2 = \delta_{\text{гор}} \cdot \cos \beta + \delta_{\text{вер}} \cdot \sin \beta$$

бундан,

$$\delta_{\text{гор}} = \frac{\Delta l_1 \cdot \sin \beta - \Delta l_2 \cdot \sin \alpha}{\sin(\alpha + \beta)}$$

III.30)

$$\delta_{\text{вер}} = \frac{\Delta l_1 \cos \beta - \Delta l_2 \cos \alpha}{\sin(\alpha + \beta)}$$

Әнді А шарнирли түгүннинг тұла күчишини аналитик усулда топиш қыйын эмас.

3.8-§. Чүзилған ёки сиқылған стерженларнинг хусусий оғирликларини зерттеборға олиш

Күпинча брусларнинг хусусий оғирлик күчлари ташқи күчларға нисбетан жуда киңік бұлғанліги сабабли амалий ҳисоблашларда уларнинг таъсирини зерттеборға олмаса ҳам бўлади.

Лекин, вертикал жойлашган жуда узун стержен (занжир, оғир пүлат арқон, бургулаш штангаси ва бошқалар, вазмин брус (иморат ёки күприкларнинг устунлари ва бошқалар ўз оғирликларидан ҳам сезиларлы даражада чўзилади ёки сиқилади. Албатта, бундай ҳолларда хусусий оғирлик күчларининг таъсирини зерттеборға олиш зарурдир.

Одатда, хусусий оғирлик күчлари вертикал ўқ бўйлаб тақсимланган "ташқи" бўйлама күчлар сифатида қаралади.

1. Ўзгармас кесимли стерженлар.

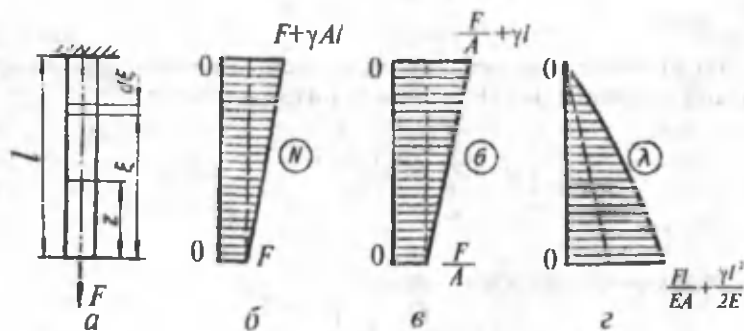
Бир учи билан маҳкамланган, ташқи ва хусусий оғирлик күчлари таъсиридаги ўзгармас кесимли узун стерженларни текширамиз (III.18-шакл).

Стреженнинг эркін учидан ζ масофада турған кесимдаги нормал күчланишни аниқлаш учун пастки қисмнинг мувозанатини текширамиз:

$$\sum_{i=1}^n Z_i = 0, \quad N_z - G_z - F = 0 \quad (a)$$

Бу ерда $G_z = \gamma \cdot A \cdot z$ -пастки қисмнинг ҳусусий оғирлик кучи;
 γ -стержен материалининг солиштирма

оғирлиги (пўлат учун $\gamma = 78 \cdot 10^3 \frac{H}{m^3}$).



III.18-шакл

Демак, кесимлардаги бўйлама куч N ва нормал кучланиш σ лар стержен узунлиги билан чизиқли боғланишда экан:

$$N_x = F + \gamma \cdot A \cdot z \quad (6)$$

$$\sigma_z = \frac{F}{A} + \gamma \cdot z \quad (\text{III.31})$$

III.18-шакл в, г ларда бўйлама куч ва нормал кучланиш эпюралари келтирилган.

Стерженнинг маҳкамланган кесими энг хавфли кесим эканлиги эпюралардан кўриниб турибди; шу боис, мустаҳкамлик шарти

$$\sigma_{\max} = \frac{F}{A} + \gamma \cdot e \leq \sigma_{adm} \quad (\text{III.32})$$

кўринишида ёзилади.

Охирги ифодадан мустаҳкамликни таъминловчи юзани то-пиш мумкин:

$$A \geq \frac{F}{\sigma_{adm} - \gamma \cdot e} \quad (\text{III.33})$$

Энди стерженнинг деформациясини аниқлаймиз. Дастреб, Гук қонунига асосан, dz узунликдаги жуда кичик бўлакчанинг мутлақ деформациясини топамиз:

$$\Delta(dz) \approx \frac{(F + \gamma A \cdot z)dz}{EA} \quad (\text{в})$$

Стерженнинг абсолют деформациясини топиш учун охирги ифодани стержен узунлиги бўйича интегралаймиз:

$$\Delta l = \int_0^l \frac{(F + \gamma \cdot Az)dz}{EA} = \frac{F \cdot l}{EA} + \frac{\gamma Al^2}{2EA} \quad (\text{г})$$

Стерженнинг хусусий оғирлиги

$$G = \gamma Al \quad (\text{д})$$

эквалигини эътиборга олиб, охирги ифодани

$$\Delta l = \frac{(F + 0,5G)l}{EA} \quad (\text{III.34})$$

кўринишида ёзамиш.

Хусусий ҳол. Фараз қилайлик, текширилаётган стержен фақэт хусусий оғирлик кучи таъсирида бўлсин. Бундай ҳолда хусусий оғирлик кучидан кесимда ҳосил бўлувчи кучланиш қўйидагича аниқланади:

$$\sigma_z = \gamma \cdot z$$

Демак, ўзгармас кесими стерженнинг нормал кучланиши кесим юзага боғлиқ эмас экан.

Мустаҳкамлик шарти эса

$$\gamma l \leq \sigma_{adm}$$

кўринишида ёзилади.

Охирги ифодадан стерженнинг чегаравий узунлигини

$$l_z = \frac{\sigma_{adm}}{\gamma}$$

ва унинг критик узунлигини эса

$$l_{kp} = \frac{\sigma_e}{\gamma} \quad (e)$$

кўринишида аниқлаш мумкин.

Бу ерда σ_e -стерженнинг ўз оғирлигидан узилиш вақтига тўғри келган кучланиши.

$F = 0$ бўлган ҳол учун (III.34) формула

$$\Delta l_G = \frac{G \cdot l}{2EA} \quad (III.35)$$

кўринишига келади.

Демак, стерженнинг хусусий оғирлик кучидан ҳосил бўлган мутлақ деформацияси стержен оғирлигига тенг, аммо унинг учига кўйилган кучдан ҳосил бўладиган мутлақ деформацияга нисбатан икки баровар кам бўлар экан.

Энди (III.31) формула ёрдамида қурилган нормал кучланиш эпюрасини таҳлил қиласиз.

Бу эпюрадан кўриниб турибдики, ўзгармас кесимли стерженинг ясаш учун ортиқча материал сарфланар экан. Чунки, бундай ҳолларда факат стерженинг хавфли кесимлигина жоиз нормал кучланишига, қолган барча кесимлари эса ундан кам бўлган кучланишларга қаршилик кўрсатади. Бундай камчиликларни йўқотиш мақсадида стерженинг кесим юзаси шаклини маълум қонуният асосида ўзгартириш зарурдир.

II. Тенг қаршиликли стерженилар.

Кўндаланг кесимлари узунлик бўйлаб маълум қонуният бўйича ўзгарувчи ва барча кўндаланг кесимларидаги нормал кучланишлари жоиз нормал кучланишига тенг бўлган стерженинг тенг қаршиликли стерженилар дейилади (III.19-шакл, а).

Тенг қаршиликли стержениларни тайёрлаш учун кам материал сарфланганлиги сабабли уларнинг оғирликлари ҳам кичик бўлади.

Тенг қаршиликли стерженинг кўндаланг кесим юзасининг ўзгариш қонунияти A_z ни аниқлаш учун унинг эркин учидан z масофада жойлашган чексиз кичик dz узунлиқдаги бўлакчани ажратиб оламиз (III.19-шакл, б) ва унинг мувозанатини текширамиз:

$$\sum_{i=1}^n Z_i = 0, \quad \sigma_{adm}(A_z + dA_z) - \gamma A_z dz - \sigma_{adm} A_z = 0$$

бундан

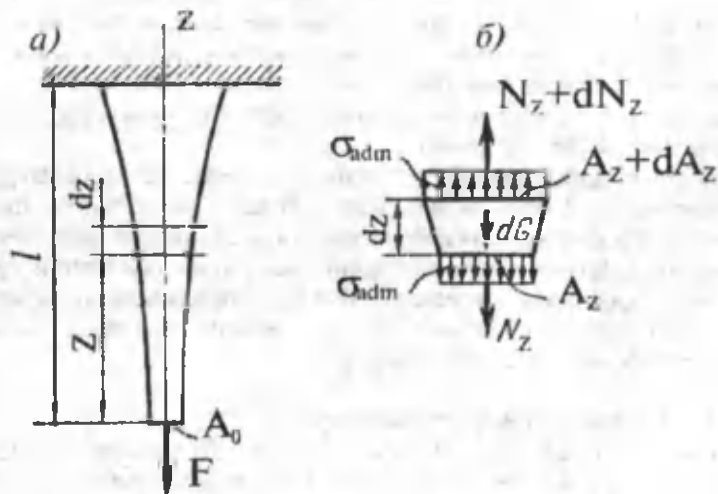
$$\frac{dA_z}{A_z} = \frac{\gamma}{\sigma_{adm}} \cdot dz$$

келиб чиқади.

Охириги ифоданы интеграллаб

$$\ln|A_z + C_0| = \frac{\gamma z}{\sigma_{adm}}$$

ни ҳосил қиласиз.



III.19-шакл

Интеграл доимийсі C_0 күйидаги чегаравий шартдан аникланади:

$z = 0$ да $A_z = A_0$ ёки $C_0 = \ln A$ га тенг бўлади.

Бу қийматни назарда тутиб, тент қаршиликли стерженларнинг кўндаланг кесим юзаси логарифмик эгри чизиқли қонуният бўйича ўзгаришига ишонч ҳосил қиласиз:

$$A_2 = A_0 \cdot e^{\frac{\gamma \cdot z}{\sigma_{adm}}} \quad (\text{III.36})$$

бу ерда $A_0 = \frac{F}{\sigma_{adm}}$ бўлиб, стержен учидаги кесимнинг юзасидир.

Гук қонунига асосланиб, ажратилган бўлакчанинг узайишини

$$\Delta(dz) = \frac{N_z \cdot dz}{EA} = \frac{\sigma_{adm} \cdot dz}{E}$$

кўринишда ёзиб оламиз.

Охирги ифодани интеграллаб, тенг қаршиликли стерженларнинг тўла узайишини топамиз:

$$\Delta l = \int_0^l \Delta(dz) = \frac{\sigma_{adm}}{E} \cdot l \quad (\text{III.37})$$

Юқоридаги (III.36) ва (III.37) формулалардан тент қаршиликли стерженлар сиқилганда ҳам фойдаланиш мумкин.

Кесим юзаси (III.36) қонуният бўйича ўзгарувчи тенг қаршиликли стерженларни ясаш ноқулай бўлганлиги сабабли кўпинча муҳандислик амалиётида уларнинг ўрнига погонали стерженлар ишлатилиши.

3.9-§. Погонали стерженлар

Погонали стерженлар кўндаланг кесим юзалари турлича бўлган бир қанча призматик стерженларнинг ўзаро устма-уст қўйилишидан ҳосил бўлади (III.20-шакл).

Погонали стерженларнинг кўндаланг кесим юзалари қуйидаги тартибда аниқланади. Дастрлаб, пастдан биринчи погонанинг кесим юзаси (III.33) формула ёрдамида топилади:

$$A_1 = \frac{F}{\sigma_{adm} - \gamma \cdot l_1} \quad (\text{III.38})$$

Иккинчи погона учун мустаҳкамлик шартини

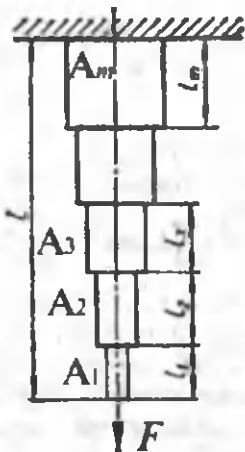
$$\frac{F + G_1 + G_2}{A_2} = \frac{F + \gamma \cdot A_1 \cdot l_1 + \gamma \cdot A_2 \cdot l_2}{A_2} \leq \sigma_{adm}$$

кўринишда ёзиш мумкин.

(III.38) формулани назарда тутиб, охирги ифодадан иккинчи погонанинг кесим юзасини

$$A_2 = \frac{\sigma_{adm} \cdot F}{(\sigma_{adm} - \gamma \cdot l_1) \cdot (\sigma_{adm} - \gamma \cdot l_2)}$$

тарзида ёзамиш.



III.20-жакл.

Шунга ўхшаш муллоҳазалор юритиб, n -чи погонанинг юқоридаги учига тегишли кесим юзаси учун қуидаги умумий формулани ҳосил қиласиз:

$$A_n = \frac{\sigma_{adm}^{n-1} \cdot F}{(\sigma_{adm} - \gamma \cdot l_1)(\sigma_{adm} - \gamma \cdot l_2) \dots (\sigma_{adm} - \gamma \cdot l_n)} \quad (III.39)$$

Хусусий ҳол: агар $l_1 = l_2 = \dots = l_n = \dots = l_m = l/m$ бўлса, у ҳолда охирги формула қуидаги кўринишга келади:

$$A_n = \frac{F}{\sigma_{adm}} \cdot \frac{1}{(1 - \frac{\gamma}{\sigma_{adm}} \cdot \frac{l}{m})^m} \quad (III.40)$$

бу ерда m -стержендаги погоналар сони;

l -погонали стерженнинг умумий узуонлиги.

14-масала. Погонали брусга $F_1 = F$ ва $F_2 = 2,5F$ күчлар таъсири этмоқда (III.21-шакл, а). Унинг кесим юзаси $A = 10^3 \text{ mm}^2$, чўзилишдаги ва сиқилишдаги жоиз кучланишлари тегишлича $\sigma_{adm}^- = 40 \text{ Н}/\text{мм}^2$ ва $\sigma_{adm}^+ = 120 \text{ Н}/\text{мм}^2$ га тенг.

F кучнинг жоиз қийматини топинг.

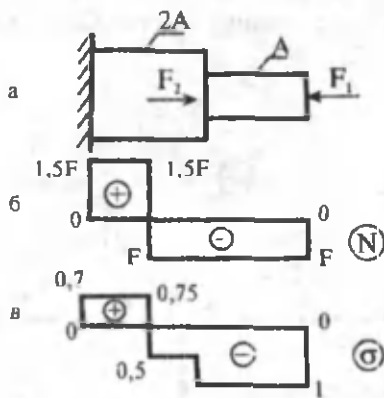
Ечиш

Кесиш усулидан фойдаланиб, ҳар бир оралиқ учун бўйлама куч N ва нормал кучланиш σ ларнинг эпюратарини қурамиз (III.21-шакл, б, в).

Нормал кучланиш эпюрасидан кўриниб турибдик, бруснинг I оралиғида эса энг катта сиқувчи нормал кучланиш

$$\sigma_{max}^- = \frac{F}{A}, \quad III \text{ оралиқда эса } \sigma_{max}^- = 0,75 \frac{F}{A}$$

пайдо бўлади.



III.21-шакл

Чўзилиш (сиқилиш)да мустаҳкамлик шартини ёзамиш:

$$I \text{ оралиқ учун} \quad \sigma_{max}^- = \frac{N_1}{A} = \frac{F}{A} \leq \sigma_{adm}^-$$

$$III \text{ оралиқ учун} \quad \sigma_{max}^+ = \frac{N_3}{2A} = 0,75 \frac{F}{A} \leq \sigma_{adm}^+$$

$$\text{Булардан } F' = A \cdot \sigma_{adm}^* = 10^3 \cdot 120 = 120 \text{ кН}$$

$$F''' = \frac{1}{0,75} \cdot A \cdot \sigma_{adm}^* = \frac{1}{0,75} \cdot 10^3 \cdot 120 = 53,4 \text{ кН}$$

$F''' \leq F'$ бўлганлиги учун жоиз куч сифатида

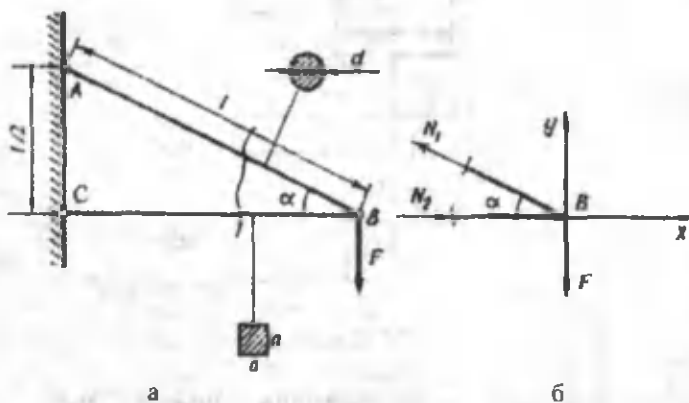
$$F_{adm} = F''' = 53,4 \text{ кН}$$

олинади.

15-масала. Кронигтейннинг горизонтал ўрнатилган СВ стержни ёғочдан, АВ тортқиси эса пўлатдан тайёрланган (III.22-шакл, а). Тортқининг узунлиги $l = 5 \text{ м}$ бўлиб, $\alpha = 30^\circ$ остида В тугунга шарнир воситасида бириктирилган; тугунга $F = 2,5 \cdot 10^4 \text{ Н}$ юк осилган. Стерженнинг кесими квадрат, тортқиники эса доиравий бўлиб, жоиз кучланишлари

$$\sigma_{adm}^e = 100 \cdot 10^5 \frac{\text{Н}}{\text{м}^2}, \quad \sigma_{adm}^n = 1600 \cdot 10^5 \frac{\text{Н}}{\text{м}^2} \text{ га тенг.}$$

Стержен ва тортқининг кўндаланг кесим ўлчамлари аниқлансин.



III.22-шакл

Ечиш

Кесиш усулидан фойдаланиб, В тугуннинг мувозанатини текширамиз (III.22-шакл, б):

$$\sum_{i=1}^n X_i = 0; \quad -N_1 \cos\alpha + N_2 = 0$$

$$\sum_{i=1}^n Y_i = 0; \quad N_1 \sin\alpha - F = 0$$

Бу ерда, N_1 - тортқида пайдо бўлувчи ички зўриқишиш
(бўйлама чўзувчи куч);

N_2 - стерженда пайдо бўлувчи ички зўриқишиш
(бўйлама сиқувчи куч).

Бундан

$$N_1 = \frac{1}{\sin\alpha} \cdot F = \frac{2,5 \cdot 10^4}{0,5} = 5 \cdot 10^4 \text{ H}$$

$$N_2 = F \operatorname{ctg}\alpha = 2,5 \cdot 10^4 \sqrt{3} \approx 4,25 \cdot 10^4 \text{ H}$$

3.4-§ даги б формулани тадбиқ этиб, кўндаланг кесимнинг
хавфсиз ўлчамларини аниқлаймиз:

$$A_1 \geq \frac{N_1}{\sigma_{\text{адм}}^e} \geq \frac{5 \cdot 10^4}{1600 \cdot 10^5} = 0,312 \cdot 10^{-3} \text{ M}^2;$$

$$A_2 \geq \frac{N_2}{\sigma_{\text{адм}}^n} \geq \frac{4,25 \cdot 10^4}{100 \cdot 10^5} = 4,25 \cdot 10^{-3} \text{ M}^2;$$

Иккинчи томондан тортқи ва стержен юзалари қўйидагича
аниқланади:

$$A_1 = \frac{\pi d^2}{4}; \quad A_2 = a^2$$

Демак,

$$\frac{\pi d^2}{4} = \frac{5}{16} \cdot 10^{-3}, \quad a^2 = 4,25 \cdot 10^{-3}$$

Булардан

$$d = \sqrt{\frac{5 \cdot 10^{-3}}{4\pi}} = 0,819 \text{ m}, \quad a = \sqrt{4,25 \cdot 10^{-3}} = 0,065 \text{ m}.$$

16-масала. Чўян материалидан тайёрланган логонали бруслага F ва
 $1,5F$ кучлар таъсир этмоқда (III.23-шакл, а).

Бруснинг узунлиги 3ℓ бўлиб, кесим юзалари тегишлича A ва $1,5A$ га тенг.

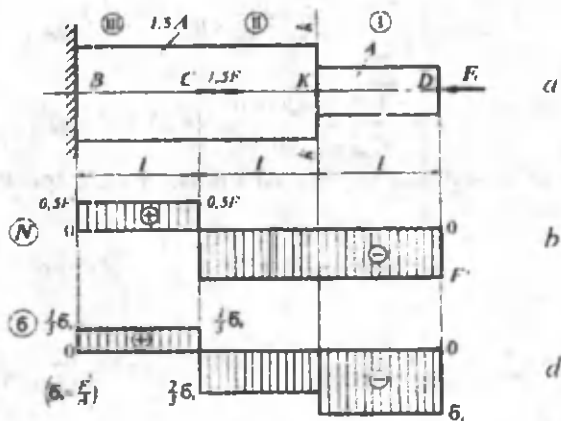
Күйидагиларни аниқлаш талаб этилади:

- бўйлама куч ва нормал кучланиш эпюраларини қуриш;
 - ихтиёрий $k-k$ кесимнинг кўчишини топиш;
 - брус узунлигининг ўзариши, яъни Д кесимнинг кўчишини аниqlаш.

Ergo

Кесиш усулини құллаб, ҳар бир оралиқ учун бўйлама куч эпюрасини қурамиз (III.23-шакл, б). Кесимда пайдо бўлувчи нормал кучланишларни $\sigma = \frac{N}{A}$ формуладан аниқлаймиз ҳамда унинг эпюрасини қурамиз (III.23-шакл, в).

Эпюралардан күриниб турибдики, бруснинг I ва II оралиқларида сиқувчи, III оралиғида эса чўзувчи ички зўриқишилар пайдо бўлар экан. Шу боис, бруснинг ихтиёрий кесимининг оғирлик маркази таянч кесимига нисбатан кўчади.



III.23-шакл.

Таянч кесимидаги күчиш $\lambda_B = 0$ га тенг.
1,5 F күч күйилган кесим

$$\delta_c = \Delta L_{BC} = \frac{N_m \cdot \ell}{E_u \cdot 1,5A} = \frac{0,5F \cdot \ell}{E_u 1,5A} = \frac{1}{3} \frac{Fl}{E_u A}$$

га күчади (брұс чүзилади).

Ихтиёрий $k-k$ кесим эса

$$\delta_{k-k} = \Delta L_{BK} = \Delta L_{BC} + \Delta L_{CK} = \delta_c + \Delta L_{CK} = \frac{1}{3} \frac{Fl}{E_u A} + \frac{N_h \cdot l}{E_u \cdot 1,5A} = -\frac{1}{3} \frac{Fl}{E_u A}$$

га күчади (брұс сиқылади).

Брус учи

$$\delta_d = \delta_{k-k} + \Delta L_{KD} = -\frac{1}{3} \frac{Fl}{E_u A} + \frac{N_i \cdot \ell}{E_u \cdot A} = -\frac{4}{3} \frac{Fl}{E_u A}$$

га күчади (брұс сиқылади).

17-масала. Чап учи билан шарнир ва ВС тортқи ёрдамыда деворға маңқамланған мұтлақ қаттық жисм АД га $F = 40$ кН күч қўйилған (III.24-шакл, а). Тортқи материалы Ст 3 навли пўлатдан ясалған бўлиб, кесими иккита тенг ёнли бурчаклик (ГОСТ 8509-72 бўйича ўлчамлари $40 \times 40 \times 4$ мм, $A_0 = 3,08 \text{ см}^2$) дан иборат. Бундан ташқари $a = 2m$, $\ell = 2,5m$, $\alpha = 30^\circ$ ва $\sigma_{adm} = 160 MPA$ экантиги маълум.

Тортқи мустаҳкамликка текшириб кўрилсин.

Ечиш

Кесиш усулинин қўллаб, қўйидаги мувозанат тенгламасини тузамиз (III.24-шакл, б):

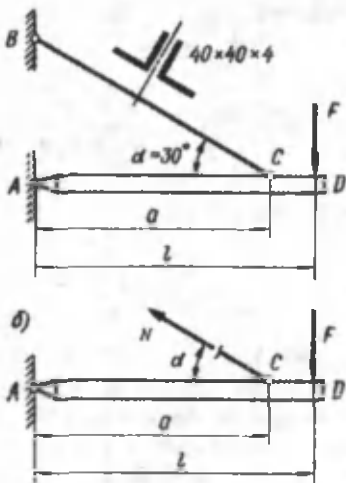
$$\sum_{i=1}^n M_{Ai} = 0; \quad F \cdot l - N \sin \alpha = 0$$

бундан

$$N = \frac{l}{a \cdot \sin \alpha} \cdot F = \frac{2,5}{2 \cdot 0,5} \cdot 40 = 100 \text{ kH}$$

Тортқининг кўндаланғ кесимидә пайдо бўлувчи нормал кучланишни аниқлаймиз:

$$\sigma_x = \frac{N}{A} = \frac{100 \cdot 10^3}{2 \cdot 3,08 \cdot 10^{-4}} = 162 \cdot 10^6 \text{ Pa} = 162 \text{ MPa}$$



III.24-шакл.

Кучланишлар фарқи

$$\delta = \frac{|\sigma_x - \sigma_{adm}|}{\sigma_{adm}} \cdot 100\% = \frac{162 - 160}{160} \cdot 100\% = 1,25\%$$

18-масала. Кронштейннинг стерженлари тегишлича EA ва E2A бикрликларга эга (III.25-шакл, а).

F куч натижасида юзага келувчи С шарнирнинг вертикал күчишини аниқланг.

Горизонтал стерженнинг узунлиги l ва $\alpha = 30^\circ$ бурчак маълум деб ҳисоблансин.

Ечиш

Бу масалани энергиянинг сақланиш қонунидан фойдаланиб ечамиз.

Дастлаб деформациянинг потенциал энергиесини аниқлаймиз. Бунинг учун кесиши усулидан фойдаланиб, стерженларда пайдо бўлувчи ички зўриқишишларни аниқлаймиз:

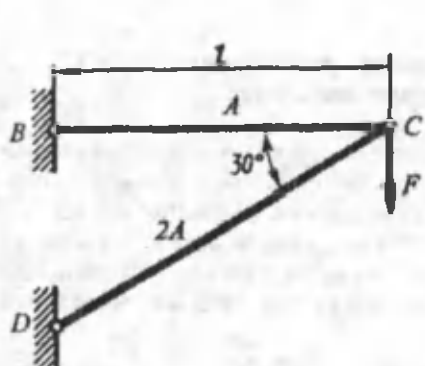
$$\sum_{i=1}^n U_i = 0; \quad -N_1 + N_2 \cos 30^\circ = 0$$

$$\sum_{i=1}^n V_i = 0; \quad -F + N_2 \sin 30^\circ = 0$$

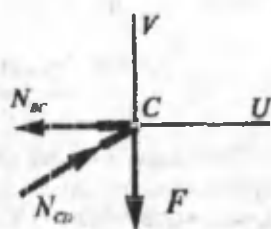
Бундан

$$N_2 = \frac{F}{\sin 30^\circ} = 2F; \quad N_1 = N_2 \cos 30^\circ = 1,73F$$

еканлиги келиб чиқади.



a



b

III.25-шакл

Деформациянинг потенциал энергиясини ҳисоблаймиз:

$$U = \frac{N_1^2 l_1}{2EA_1} + \frac{N_2^2 l_2}{2EA_2}$$

бу ерда

$$l_1 = l, \quad l_2 = \frac{l}{\cos 30^\circ} = 1,16l, \quad A_1 = A, \quad A_2 = 2A$$

У ҳолда

$$U = \frac{(1,73F)^2 l}{2EA} + \frac{(2F)^2 1,16l_2}{2E \cdot 2A} = 2,66 \frac{F^2 l}{EA}$$

Энди (III.18) формуласа асосан, F кучнинг вертикал кўчишда бажарган ишини ҳисоблаймиз:

$$W = \frac{1}{2} F \vartheta_C$$

бу ерда ϑ_C - С шарнирнинг вертикал кўчиши.

(III.20) формулага мувофиқ, қуйидагиларни ёзib оламиз:

$$\frac{1}{2} F \vartheta_C = 2.66 \frac{F^2 l}{EA}$$

Бундан

$$\vartheta_C = 5.32 \frac{Fl}{EA}$$

эканлиги келиб чиқади.

3.10-§. Чўзилиш ва сиқилиш деформациясига оид статик аниқмас масалалар

Чўзилиш ёки сиқилиш деформациясига оид масалаларни ечаётганда, борди-ю, стержен (стерженлар тизими)нинг таянчларида ҳосил бўлувчи реакция кучлари ёки уларнинг кўндаланг кесимларидаги зўриқиши кучларини статиканинг мувозанат тенгламалари ёрдамида аниқлаш мумкин бўлмаса, бундай масалаларга чўзилиш ёки сиқилишдаги статик аниқмас масалалар дейилади.

Статик аниқмас масалалардан тўрттасини 1.7-§ да баён этилган режа асосида ечамиз.

1. Кўндаланг кесим юзаси A га тенг бўлган устуннинг юқори учи шилга, пастки учи эса полга қистириб маҳкамланган бўлиб, юқоридаги учидан a масофадаги кесимиға F ташқи куч қўйилган (III.26-шакл, a).

Устуннинг кўндаланг кесимида ҳосил бўлувчи зўриқиши кучларини топиш талаб этилади. Бирклик $EA=const$, $\nu=2a$ деб ҳисоблансин.

Ечиш

1. Масалани статик томондан текширамиз. Юқори ва пастки таянчларни R_A ва R_B реакция кучлари билан алмаштирамиз (III.26-шакл, b).

Устун F куч ва шил билан полнинг реакциялари таъсирида мувозанат ҳолатида туради; шу сабабли, статиканинг мувозанат тенгламаси қуйидагича кўрининиша ёзилади:

$$\sum X_i = 0 \quad \text{ёки} \quad R_C + R_B - F = 0 \quad (a)$$

Охирги тенгламада иккита номаълум бор, яъни масала бир марта статик аниқмасдир. Қўшимча тенглама тузиш учун деформацияларни солишириш усулидан фойдаланамиз.

II. Устунни пастки таянчдан озод қилиб асосий тизим танлаймиз; берилган тизимга тенг кучли тизим ҳосил қилиш учун асосий тизимга F ва R_B кучларни таъсир эттирамиз (III.26-шакл, d , e).

III. Гук қонунидан фойдаланиб, B кесимнинг қўчишини топамиз ва уни нолга тенглаштирамиз:

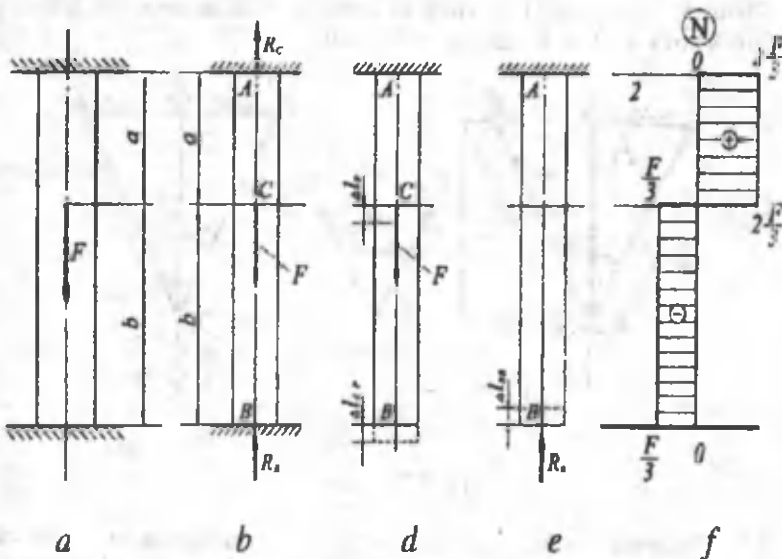
$$\delta_B = \frac{F \cdot a}{E \cdot A} - \frac{R_B \cdot b}{E \cdot A} - \frac{R_B \cdot a}{EA} = 0 \quad (6)$$

IV. Синтез. Ҳосил қилинган (a) ва (b) тенгламалар номаълум реакция кучларига нисбатан ечилади:

$$R_B = \frac{a}{a+b} \cdot F \quad R_A = \frac{b}{a+b} \cdot F \quad (b)$$

ёки $R_B = F/3$, $R_A = 2F/3$

Кесиш усулидан фойдаланиб, устуннинг барча кўндаланг кесим юзаларида ҳосил бўлувчи бўйлама куч эпюрасини қуриш мумкин (III.26-шакл, f).



III.26-шакл

2. Стерженлар тизимининг шарнирли С тугунига Q юк осиб қўйилган (III.27-шакл, а); стерженларнинг материали, кўндаланг кесим юзаси ва узунликларини маълум деб, уларда ташки юқдан ҳосил бўлган зўриқишиларни аниқлаймиз.

Ечиш

I. Масаланинг статик томонини таҳлил қиласиз. Кесиш усулидан фойдаланиб, С шарнирли тугуннинг мувозанатини текширамиз (III.27'-шакл, б):

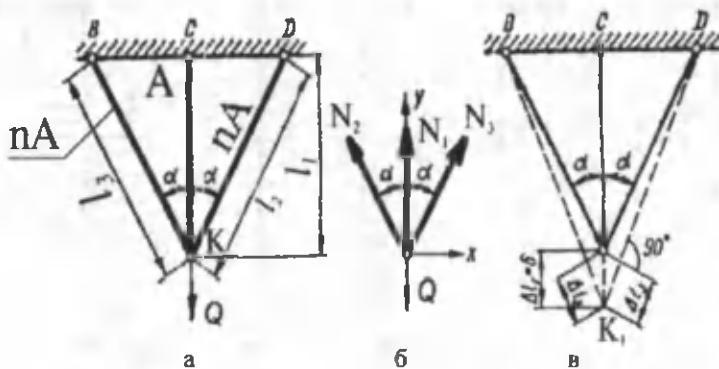
$$\begin{aligned}\sum X_i &= 0, & N_2 \sin\alpha - N_3 \sin\alpha &= 0 \\ \sum Y_i &= 0 & N_1 + N_2 \cos\alpha + N_3 \cos\alpha - Q &= 0\end{aligned}$$

Бу тенгламаларнинг биринчисидан $N_2 = N_3$ эканлиги маълум; буни эътиборга олиб,

$$N_1 + 2N_2 \cos\alpha = Q \quad (\text{r})$$

ифодани ҳосил қиласиз.

Охирги тенгламада иккита номаълум бўлганлиги учун масала бир марта статик аниқмас дейилади.



III.27-шакл

II. Масаланинг геометрик томонини текширамиз ; III.27-шакл, в дан фойдаланиб, стерженларнинг деформациялари орасидаги муносабатни кўйидагича ёзамиш:

$$\Delta l_2 = \Delta l_3 = \Delta l_1 \cdot \cos\alpha \quad (\text{д})$$

III. Масаланинг физик томонини қараб чиқамиз. Гук қонунига асосан стерженларнинг деформациясини аниқлаймиз:

$$\Delta l_1 = \frac{N_1 l_1}{EA}; \quad \Delta l_2 = \frac{N_2 l_2}{E \cdot n \cdot A \cdot \cos\alpha} \quad (\text{е})$$

IV. Синтез, яъни юқорида олинган тенгламалардан ички зўриқиши кучларини топамиз:

$$N_1 = \frac{Q}{1 + 2n\cos^3\alpha}; \quad N_2 = N_3 = \frac{Q}{1 + 2n\cos^3\alpha} \cdot n\cos^2\alpha \quad (\text{III.41})$$

3. Энди бир оз мураккаброқ статик аниқмас масалаларни ечиш билан шуғулланамиз.

Маълумки, кўпгина ҳолларда конструкция қисмларини тайёрлаш жараёнида технологик хатоликларга йўл қўйилиши оқибатида, уларнинг айримлари керагидан узууроқ ёки қисқароқ қилиб ясалиши мумкин.

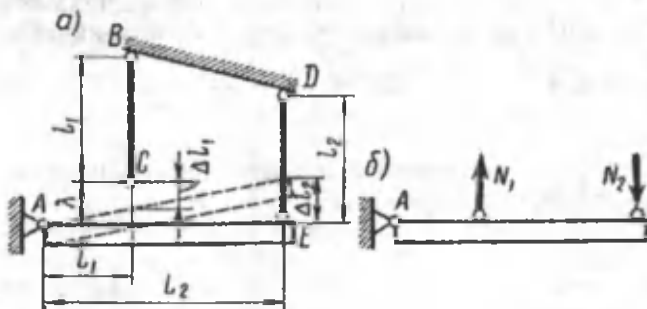
Агар конструкция статик аниқ бўлса, йигилган (монтаж)дан кейин унинг стерженларида қўшимча зўриқиши кучлари пайдо бўлмайди. Аммо, статик аниқмас конструкцияларнинг стерженларидан бирортаси лойиҳадаги ўлчамлари бўйича тайёрланмаса, монтаждан сўнг мазкур стержендагина эмас, балки у билан боғланган бошқа қисмларда ҳам қўшимча зўриқишилар ҳосил бўлади. Масалан, айтайлик, III.28-шакл, а да тасвирланган статик аниқмас конструкциянинг биринчи стержени лойиҳадагидан ҳаракетларга қисқа қилиб тайёрланган бўлсин. Албатта, бундай конструкцияни йигиш (монтаж қилиш) учун эса ВС стерженни чўзиш, ДЕ стерженни эса сиқиш керак. Шу конструкциянинг стерженлардаги зўриқиши кучлари топилсин.

Ечиш

I. Масаланинг статик томони; 67-шакл, б дан фойдаланиб, статиканинг мувозанат тенгламасини

$$\sum M_{AII} = 0 \quad \text{ёки} \quad N_1 L_1 - N_2 L_2 = 0$$

күринишида ёзиб, берилган тизимнинг бир марта статик аниқмас эканлигига ишонч ҳосил қиласиз.



III.28-шакл.

II. Масаланинг геометрик томони; конструкциянинг деформациядан кейинги ҳолати (ингичка чизик билан кўрсатилган)

$$\frac{\Delta l_2}{L_2} = \frac{\lambda - \Delta l_1}{L_1}$$

мунисабатни ёзишга имкон беради.

III. Масаланинг физик томони; Р. Гук қонунидан фойдаланиб, стерженларнинг деформацияларини аниқлаймиз:

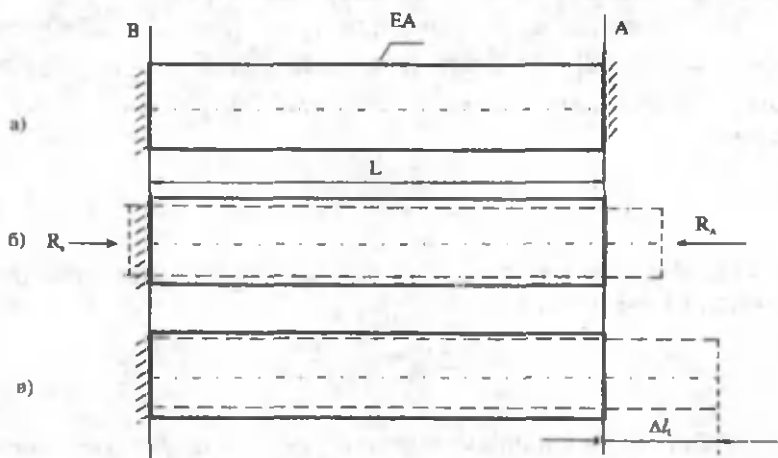
$$\Delta l_1 = \frac{N_1 l_1}{E A_1} \quad \Delta l_2 = \frac{N_2 l_2}{E A_2}$$

IV. Синтез; юқоридаги барча тенгламаларни биргаликда ечиб, стерженлардаги зўриқишлиарни аниқлаймиз:

$$N_1 = \lambda \frac{L_2^2 A_1 A_2 E}{l_2 A_1 l_1^2 + l_1 A_2 l_2^2}, \quad N_2 = \lambda \frac{L_1 L_2 A_1 A_2 E}{l_2 A_1 l_1^2 + l_1 A_2 l_2^2} \quad (\text{III.42})$$

4. III.29-шакл, а да икки учи билан қистириб маҳкамланган, узунлиги l ва бикрлиги EA га тенг бўлган приз-

матик стержень тасвирланган. Ҳарорат Δt миқдорға ўзгарғанда стерженда ҳосил бұладиган күчланишни топиш талаб этилади.



III.29-шакл

Ечиш

I. Масаланинг статик томони; ҳарорат ошиши натижасыда стержен چүзилишга интилиб, А ва В таянчларда реакция күчларини ҳосил қиласы (III.29-шакл, б). Статика тенглемаси гарчи, R_A , R_B ларнинг ўзаро тенг ва қарама-қарши йұналишда эканлигини ифодаласа-да, уларнинг қыйматини анықтай олмайды. Шу сабабли масала бир марта статик аниқмас ҳисобланади.

Кесиши үсүли сиқувчи күчларнинг реакция күчларига тенг эканлигини күрсатади.

II. Масаланинг геометрик томони; агар стерженнинг бирор учи эркин бўлганда, албатта у ҳарорат таъсиридан

$$\Delta l_i = \alpha l \Delta t \quad (\text{III.43})$$

миқдорга чўзилар эди (III.29-шакл, в).

Бунда α - стержен материалининг чизиқли көнтайиш коэффициенти.

Тажрибалардан пўлат учун $\alpha_n = 1,25 \cdot 10^{-5} {}^{\circ}\text{C}^{-1}$ ва мис учун $\alpha_m = 1,65 \cdot 10^{-5} {}^{\circ}\text{C}^{-1}$ га тенглиги аниқланган.

Аммо реакция кучи стерженни чўзилишига йўл қўймасдан, аксинча уни Δl_{R_A} миқдорга сиқади. Бундан ҳарорат ўзгарганда ҳам стерженнинг узунлиги ўзгармай қолиш шарти келиб чиқади:

$$\Delta l_{R_A} = \Delta l,$$

III. Масаланинг физик томонини таҳдил қилиб қўйидаги ифодани ёзиб оламиш:

$$\Delta l_{R_A} = \frac{R_A \cdot l}{EA}$$

IV. Синтез; юкоридаги тенгламалардан ҳарорат таъсиридан ҳосил бўлган нормал кучланиш топилади:

$$\sigma_r = \frac{R_A}{A} = \alpha E \Delta t \quad (\text{III.44})$$

Баъзи ҳолларда σ_r жуда катта қийматга эришиши ҳам мумкин; шу сабабли уни камайтириш мақсадида конструкцияда маҳсус бўшлиқлар қолдирилади.

Назорат учун саволлар ва топшириқлар

1. Стерженларнинг марказий чўзилиш ва сиқилиш деформациясининг моҳиятини тушунтиринг.
2. Чўзилиш ёки сиқилишда мутлақ ва нисбий деформациялар қандай аниқланади?
3. Материалларнинг турига қараб Пуассон коэффициенти μ нинг ўзгариш чегарасини изоҳланг.
4. Гук қонунини таърифланг ва математик ифодасини ёзинг.
5. Эластиклик модулининг моҳияти нимадан иборат?

6. Қандай катталиклар материалларнинг асосий механик тавсифларини ифодалайди?

7. Кам углеродли пўлатнинг чўзилиш диаграммаси қандай ўзига хос нуқталарга эга? Намунада «бўйин» қачон ҳосил бўлади?

8. Мутаносиблиқ, эластиклиқ, оқувчанлик ва мустаҳкамлик чегараларининг моҳиятини тушунтиринг.

9. Пластик, мўрт ва анизотроп материалларнинг сиқилиш диаграммаларини изоҳланг.

10. Пластик ва мўрт материаллар учун жоиз кучланиш қандай аниқланади?

11. Чўзилиш ёки сиқилишда мустаҳкамлик шарти қандай кўринишга эга? Ушбу мустаҳкамлик шарти ёрдамида қандай масалаларни ҳал этиш мумкин?

12. Чўзилиш ёки сиқилишда деформациянинг потенциал энергияси қандай топилади?

13. Деформация ва кўчишларнинг ўзаро фарқини аниқ мисоллар ёрдамида тушунтиринг.

14. Чўзилиш ёки сиқилишда статик аниқмас масалаларга мисоллар келтиринг.

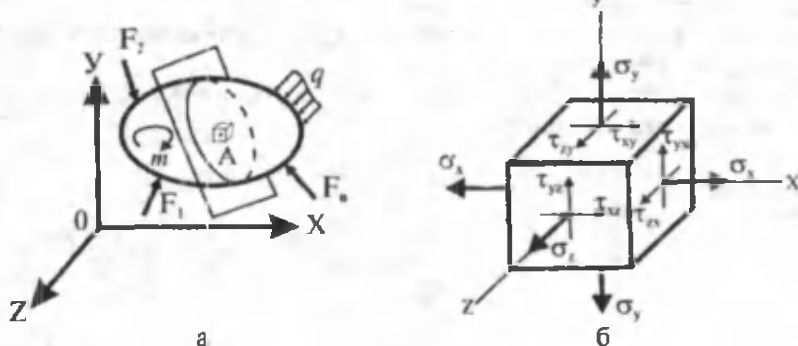
15. Чўзилиш ёки сиқилишда статик аниқмас масалалар қандай тартибда ечилади?

IV БОБ. КУЧЛАНИШЛАРНИНГ ТАХЛИЛИ

4.1-§. Нүктадаги кучланишлар. Бош юзалар ва бош кучланишлар

Айтайлик, деформацияланувчи қаттық жисм ташқи куч (түпланған куч, ёйилған юқ ва жуфт куч)лар тизими таъсирида мувозанатда бұлсın (IV.1-шакл, а).

Умумий ҳолда жисмнинг исталған A нүктаси атрофидан ажратыб олинған элементар параллелопипеддега нормал ва урунма кучланишларниң ташкил этувчилари таъсир күрсатади (IV.1-шакл, б).



IV.1-шакл.

Табиийки, элементар параллелопипед томонларининг жойлашиш ҳолатлари ўзгартырылған тақдирда томонларга таъсир этувчи кучланишларниң миқдорлари ва йүналишлари ҳам ўзгаради. Ҳатто, элементар параллелопипедни шундай жойлаштириш мүмкін эканки, бундай ҳолатда унинг томонларига урунма кучланишлар таъсир күрсатмас экан.

Одатда, урунма кучланишлар таъсир күрсатмайдиган юзаларга бош юзалар дейилади; мазкур юзадаги нормал кучланишларға эса бош кучланишлар дейилади.

Бош кучланишлар σ_1 , σ_2 , σ_3 лар орқали белгиланыб

$$\sigma_1 \geq \sigma_2 \geq \sigma_3$$

(а)

күренишдаги муносабатда бўлади.

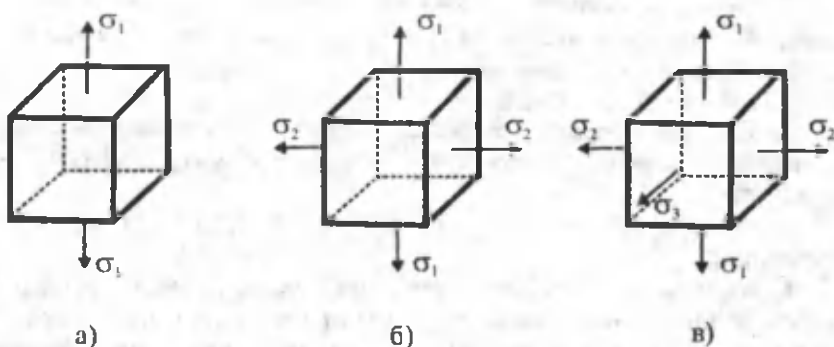
4.2-§. Кучланиш ҳолатининг турлари

Нуқтадаги кучланиш ҳолати деб, мазкур нуқта орқали ўтказиладиган барча юзачаларда пайдо бўладиган нормал ва урунма кучланишларнинг тўпламига айтилади.

Кучланиш ҳолатлари уч хил бўлади:

- **нисиқли ёки бир ўқли кучланиш ҳолати;** бундай кучланиш ҳолатида жисмнинг ҳар қандай нуқтаси атрофидан фақатгина битта бош юза ўтказиш мумкин (IV.2-шакл, а);
- **текис ёки икки ўқли кучланиш ҳолати;** бу хил кучланиш ҳолатида эса жисмнинг ҳар қандай нуқтаси атрофидан ўзаро тик йўналган иккита бош юза ўтказиш мумкин (IV.2-шакл, б);
- **фазовий ёки уч ўқли кучланиш ҳолати;** бундай кучланиш ҳолатида эса жисмнинг ҳар қандай нуқтаси атрофидан ўзаро тик йўналган учта бош юза ўтказиш мумкин (IV.2-шакл, в).

Биз фақат чизиқли ва текис кучланиши ҳолатларини ўрганиш билан чегараланамиз, холос.



IV.2-шакл.

4.3-§. Қия кесимлардаги күчланишлар

Шу вақтгача фақат стерженларнинг ўқига тик бўлган кўндаланг кесимлардаги нормал күчланишларни аниқлаш билан шуғулландик. Энди эса исталган қия кесимлардаги күчланишларни аниқлашга ўтамиз. Бунинг учун ҳар бир күчланиш ҳолатини фақат статик томондан текшириш кифоя.

Масалани бундай мукаммалроқ таҳлил қилиш, биринчидан, материалларнинг мустаҳкамлиги ҳақида тўла мулоҳаза юритишга, иккинчидан эса ҳатто оддий чўзишиш (сиқилиш)да ҳам стерженларнинг қия кесимларида нормал ва урунма күчланишларнинг пайдо бўлишини, аникроғи, чўзишиш (сиқилиш) ва силжиш деформацияларининг ўзаро боғлиқ эканлигини кўрсатишга имкон беради.

A. Чизиқли күчланиш ҳолати

Чўзувчи күчланиш таъсиридаги призматик стерженнинг исталган бурчакка қияланган кесимидағи күчланишларни аниқлаймиз (IV.3-шакл, а). Бунинг учун куйидаги ишларни кетма-кет бажариш тавсия этилади:

1) стерженни учта: күчланиш йўналишига тик, унга паралел вс кўндаланг кесимга нисбатан α бурчакка қияланган текисликлер билан фикран кесамиз;

2) авса_{1, b, c} элементар бўлакчани ажратиб оламиз (IV.3-шакл, б). Агар оғма юзани dA га тенг деб қабул қилсак, у ҳолда стержен ўқига тик бўлган юза

$$dA_y = dA \cdot \cos\alpha \text{ бўлади;}$$

3) ташлаб юборилган қисмининг ажратиб олинган бўлакчага кўрсатувчи таъсирини ички кучлар билан алмаштирамиз (IV.3-шакл, в):

- горизонтал dA_z юзачага $\sigma_1 dA \cos\alpha$ нормал куч таъсири кўрсатади;

- вертикал $dA_x = dA \sin\alpha$ юзачага эса кучлар таъсири кўрсатмайди, чунки стерженнинг четки кесимларидаги σ_1 күчланишлар текис тақсимланганлиги сабабли стержен ўқи бўйлаб йўналган толалар бир-бирларига босим кўрсатмайди, балки уларнинг ҳар бири худди стержендек чўзишишга ёки сиқилишга қаршилик кўрсатади;

• оғма dA юзачага эса $\sigma_0 dA$ нормал ва $\tau_\alpha dA$ урунма күчлар таъсир күрсатади.

4) статиканың мувозанат тенгламаларини тузамиз:

$$\Sigma N_i = 0 \quad \text{ёки} \quad \sigma_0 dA - \sigma_1 dA \cos \alpha \cdot \cos \alpha = 0 \quad (6)$$

$$\Sigma T_i = 0 \quad \text{ёки} \quad \tau_\alpha dA - \sigma_1 dA \cos \alpha \cdot \sin \alpha = 0$$

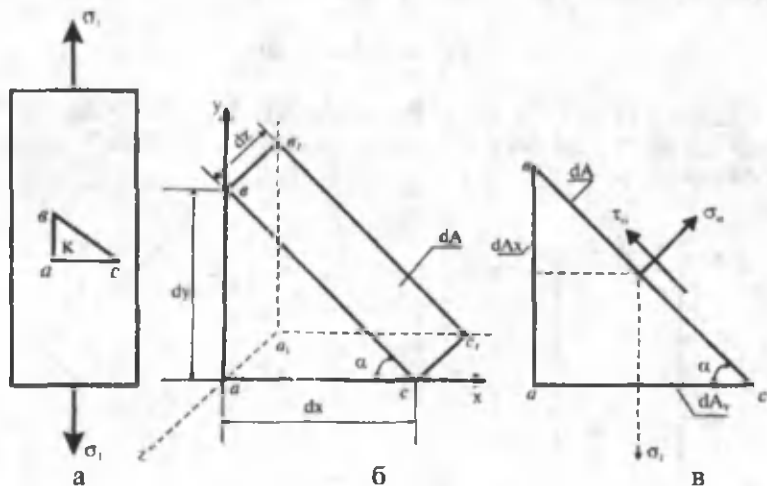
Охириги ифодалардан

$$\sigma_\alpha = \sigma_1 \cos^2 \alpha \quad (\text{IV.1})$$

$$\tau_\alpha = \frac{\sigma_1}{2} \sin 2\alpha \quad (\text{IV.2})$$

эканлиги келиб чиқади.

(IV.1) ва (IV.2) формулалар ёрдамида чизиқли күчланиш ҳолати учун қия кесимлардаги нормал ва урунма күчланишлар аниқланади.



IV.3-шакы.

Бу формулалардан күриниб турибдикі, σ_α ва τ_α күчланишлар қия кесим йұналишининг ўзгаришиға бөглиқ экан.

Күйидеги хусусий ҳолларни қараб чиқамиз:

$$a) \quad \alpha = 0 \text{ да} \quad \sigma_\alpha = \sigma = \sigma_{max}, \quad \tau_\alpha = 0 \text{ бўлади,}$$

яъни күндаланг кесимда нормал кучланиш максимал қийматга тенг бўлар экан;

$$\text{б)} \quad \alpha = \frac{\pi}{2} \quad \text{да} \quad \sigma_a = 0 = \sigma_{min}, \quad \tau_a = 0 \quad \text{бўлади,}$$

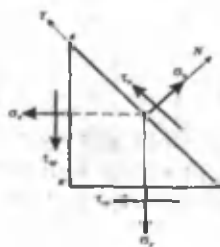
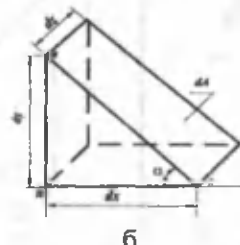
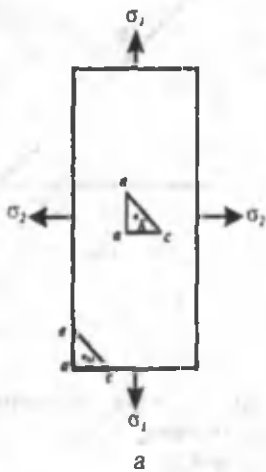
яъни нормал кучланиш минимал қийматга эришиб, стержен-нинг бўйлама толалари бир-бирларига хеч қандай босим бер-мас экан;

$$\text{в)} \quad \alpha = \frac{\pi}{4} \quad \text{да} \quad \sigma_a = \frac{\sigma_1}{2}, \quad \tau_a = \frac{\sigma_1}{2} = \tau_{max} \quad \text{бўлади,}$$

яъни урунма кучланиш стержен ўқиға 45° қияланган текисликда максимал қийматта эришиб, миқдор жиҳатидан асосий чўзувчи (сикувчи) нормал кучланишининг ярмига тенг экан.

Б. Текис кучланиш ҳолати

Ўзаро тик бўлган икки йўналишдаги чўзувчи σ_1 ва σ_2 бош кучланишлар таъсиридаги призматик жисмни кўриб чиқамиз (IV.4-шакл, а).



IV.4-шакл.

в

1-хол. Дастрлаб, К нүкта атрофидан ажратиб олингандын бирорта элементтинг қия кесимларидаги күчланишларни аниқтаймиз; бунинг учун күйидеги ишларни наебат билан бажарамиз:

- 1) жисемни учта текислик билан фикран кесамиз;
- 2) авса, σ_x , τ_{xy} элементтар бүлакчани ажратиб оламиз (IV.4-шакл, б); оғма юзани dA га тенг деб қабул қилиб, қолган юзаларни эса

$$\begin{aligned} dA_x &= dA \cdot \sin\alpha \\ dA_y &= dA \cdot \cos\alpha \end{aligned}$$

шаклида ёзиб оламиз;

3) ташланган қисмнинг ажратылган бүлакчага күрсатуучи таъсирини ички күчлар билан алмаштирамиз (IV.4-шакл, в); у ҳолда элементтинг юзаларига қуйидеги күчлар таъсир қилади:

$$\begin{aligned} dA &\text{ юза бүйича: } \begin{aligned} \sigma_x dA &\quad (\text{нормал күч}) \\ \tau_x dA &\quad (\text{урұнма күч}) \end{aligned} \end{aligned}$$

$$dA_x \text{ юза бүйича: } \begin{aligned} \sigma_x dA \cdot \sin\alpha &\quad (\text{нормал күч}) \\ \tau_{yx} dA \cdot \sin\alpha &\quad (\text{урұнма күч}) \end{aligned}$$

$$dA_y \text{ юза бүйича: } \begin{aligned} \sigma_y dA \cos\alpha &\quad (\text{нормал күч}) \\ \tau_{xy} dA \cos\alpha &\quad (\text{урұнма күч}) \end{aligned}$$

- 4) статиканың мувозанат тәнгламаларини түзәмиз:

$$\begin{aligned} \sum M_{oi} = 0, \quad \tau_{xy} dA \cos\alpha \frac{dy}{2} + \tau_{yx} dA \sin\alpha \cdot \frac{dx}{2} &= 0 \\ \sum_{i=1}^n T_i = 0, \quad \tau_x dA + \sigma_x dA \sin\alpha \cos\alpha - \sigma_y dA \cos\alpha \sin\alpha - & \\ - \tau_{xy} dA \cos\alpha \cos\alpha - \tau_{yx} dA \sin\alpha \sin\alpha &= 0 \end{aligned} \quad (8)$$

$$\begin{aligned} \sum_{i=1}^n N_i = 0, \quad \sigma_x dA - \sigma_x dA \sin\alpha \sin\alpha - \sigma_x dA \cos\alpha \cos\alpha + & \\ + \tau_{xy} dA \cos\alpha \sin\alpha - \tau_{yx} dA \sin\alpha \cos\alpha &= 0 \end{aligned}$$

$$\text{Чизмадан } dx \cdot dz = dA_y \quad dy \cdot dz = dA_x$$

$$\text{ёки бундан } dy = \frac{dA \cdot \sin \alpha}{dz}$$

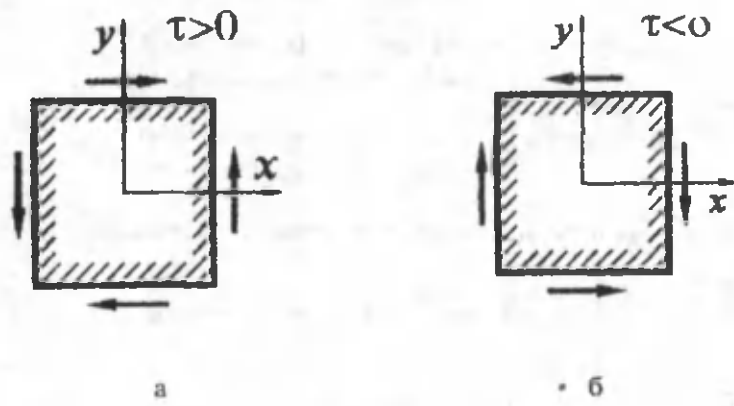
еканлигини эътиборга олиб, (а) ифодани

$$\tau_{xy} = -\tau_{yx} \quad (\text{IV.3})$$

кўринишида ёзамиз.

(IV.3) формула урунма кучланишларнинг жуфтлик қонунини ифодалайди ва қўйидагича таърифланади: исталган иккита ўзаро перпендикуляр юзалардаги урунма кучланишлар миқдор жиҳатдан бир-бирига тенг, лекин йўналишлари эса қарама-қарши бўлади.

Демак, умумий қиррага эга бўлган ўзаро перпендикуляр юзалардаги урунма кучланишлар бир вақтнинг ўзида иккаласи ҳам ёки шу қирра томонга йўналган (IV.5-шакл, а) ёки ундан узоқлашган бўлар экан (IV.5-шакл, б).



IV.5-шакл.

Урунма кучланишларнинг жуфтлик қонунини назарда тутиб, (в) ифоданинг дастлабки иккитасини соддароқ ҳолга келтирамиз:

$$\sigma_a = \sigma_x \sin^2 \alpha + \sigma_y \cdot \cos^2 \alpha - \tau_{xy} \cdot \sin 2\alpha \quad (\text{IV.4})$$

$$\tau_a = \frac{(\sigma_y - \sigma_x)}{2} \cdot \sin 2\alpha + \tau_{xy} \cdot \cos 2\alpha \quad (\text{IV.5})$$

(IV.4) ва (IV.5) формулалар ёрдамида текис кучланиш ҳолати учун қия кесимлардаги нормал ва урунма кучланишлар аниқланади.

2-ҳол. Бош юзаларга чексиз яқин бўлган М нуқта атрофидан олинган элементнинг қия кесимларидаги кучланишларни аниқлаймиз (IV.4-шакл, а). Бунинг учун эса яна юқорида баҗарилган ишларни кетма-кет тақрорлаб, қўйидаги ифодаларга эга бўламиз (исботи ўқувчиларга ҳавола қилинади):

$$\sigma_a = \sigma_1 \sin^2 \alpha + \sigma_2 \cos^2 \alpha \quad (\text{IV.6})$$

$$\tau_a = \frac{\sigma_2 - \sigma_1}{2} \cdot \sin 2\alpha \quad (\text{IV.7})$$

4.4-§ Бош юзаларнинг ҳолати ва бош кучланишларни аниқлаш

Олдинги параграфда келтириб чиқарилган формулалардан кўриниб турибдики, қия кесимдаги нормал ва урунма кучланишлар мазкур кесимнинг абсцисса ўқи билан ташкил этган бурчаги α нинг функцияси экан:

$$\sigma_a = f_1(\alpha), \quad \tau_a = f_2(\alpha) \quad (\text{a})$$

Умуман олганда, α бурчакнинг қайси қийматларида нормал ва урунма кучланишлар экстремал (максимал ёки минимал) қийматларга эришади, деган савол туғилиши табиий. Чунки муҳандислик амалиётида текширилаётган нуқта атрофидан олинган барча юзаларнинг ҳолати ва улардаги кучланишларни аниқлашнинг зарурияти туғилмайди.

Амалиётда экстремал қийматларга эга бўлган кучланишлар ва улар таъсир этувчи юзаларнинг ҳолатини аниқлаш кифоя.

Материаллар қаршилиги фанининг тўла курсида текис кучланиш ҳолатида нормал кучланишларнинг экстремал қийматлари

$$\sigma_{\max} = \frac{\sigma_x + \sigma_y}{2} \pm \frac{1}{2} \sqrt{(\sigma_x - \sigma_y)^2 + 4\tau_{xy}^2} \quad (\text{IV.8})$$

ва иккита ўзаро тик бош юзаларнинг ҳолати

$$\operatorname{tg} 2\alpha_0 = \frac{2\tau_{xy}}{\sigma_x - \sigma_y} \quad (\text{IV.9})$$

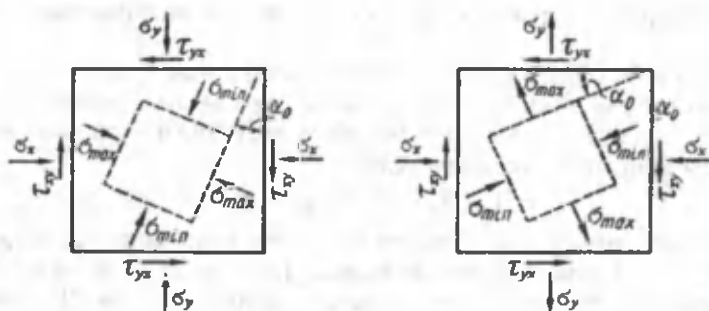
кўринишда аниқланиши исботланган.

(IV.8) формуладаги мусбат ишора максимал бош кучланиш

$\sigma_1 = \sigma_{\max}$ ни, манғий ишора эса минимал бөш күчланиш $\sigma_2 = \sigma_{\min}$ билдиради.

Шуни таъкидлаб ўтиш лозимки, (IV.9) формула бөш юзаларнинг ҳолатини аниқлашга ёрдам берса-да, лекин қайси юзага σ_{\max} таъсир этишини кўрсата олмайди. Шу боис, қўйидаги қоидага мурожаат қиласиз: бөш күчланиш σ_{\max} нинг йўналиши ҳамма вақт τ_{xy} ва τ_{yx} урунма күчланишларнинг йўналишлари учрашадиган координата ўқларининг иккита чораги орқали ўтади.

IV.6-шакл, *a*, *b* ларда тасвирланган текис күчланиш ҳолати учун бу қоидадан фойдаланиб, умумий ҳолда күчланишларнинг йўналишини, шунингдек, бөш юзаларни ҳам осонгина аниқлаш мумкин.



IV.6-шакл.

4.5-§. Силжиш юзаларининг ҳолати ва экстремал урунма күчланишларни аниқлаш

Урунма күчланишлари экстремал қийматга эга бўлган юзалар **силжиш юзалари** деб аталади.

Силжиш юзасининг ҳолатини аниқлаш учун (IV.7) ифодани α аргумент бўйича дифференциаллаб, уни нолга тенглаштирамиз:

$$\frac{d\tau_a}{d\alpha} = 2 \frac{(\sigma_y - \sigma_x)}{2} \cos 2\alpha - 2\tau_{xy} \sin 2\alpha = 0 \quad (a)$$

Агар силжиш юзасининг ҳолати α_1 бурчак билан аниқланса, у ҳолда қўйидагига эга бўламиз:

$$\frac{d\tau_{xy}}{d\alpha} \Big|_{\alpha=\alpha_1} = (\sigma_y - \sigma_x) \cdot \cos 2\alpha_1 - 2\tau_{xy} \sin 2\alpha_1 = 0$$

бундан $\tan 2\alpha_1 = \frac{\sigma_z - \sigma_y}{2\tau_{xy}}$ (IV.10)

(IV.10) ифодадан силжиш юзасининг ҳолати аниқланади.

(IV.9) ва (IV.10) формулаларни ўзаро таққослаб, кийидагини ҳосил қиласиз:

$$\tan 2\alpha_1 = -\frac{1}{\tan 2\alpha_0} \quad \text{ёки} \quad \cot(\frac{\pi}{2} - 2\alpha_1) = \cot(-2\alpha_0) \quad (6)$$

бундан $\alpha_1 = \alpha_0 + \frac{\pi}{4}$ эканлиги келиб чиқади.

Демак, силжиш юзаси билан бош юзаси орасидаги бурчак миқдор жихатидан 45° га тенг экан (IV.7-шакл).



IV.7-шакл.

Бу холосага асосан $\alpha = \pm 45^\circ$ ни (IV.6) ва (IV.7) формулаларга күйиб

$$\sigma_e = \frac{\sigma_1 + \sigma_2}{2} \quad (IV.11)$$

$$\tau_\alpha = \tau_{\frac{\max}{\min}} = \pm \frac{\sigma_1 - \sigma_2}{2} \quad (IV.12)$$

ифодаларга эга бўламиз.

(IV.8) формулани эътиборга олиб, (IV.12) ифодадан экстремал урунма кучланишларни аниқлаймиз:

$$\tau_{\max} = \pm \sqrt{(\sigma_x - \sigma_y)^2 + 4\tau_{xy}^2} \quad (IV.13)$$

Демак, максимал ва минимал урунма кучланишлар миқдор жиҳатдан ўзаро тенг бўлиб, ишоралари тескари экан.

Хусусий ҳол.

Жисм $\sigma_1 = -\sigma_2 = \sigma$ бош кучланишлар таъсирида бўлганда (IV.11) ва (IV.12) формулаларга асосан $\sigma_2 = 0$, $\tau_{\max} = \pm \sigma$ бўлади. Кучланиш ҳолатининг бу гурига соғф силжиш, фақатгина урунма кучланишлар пайдо бўладиган юзалар эса соғф силжиш юзалари дейилади.

Соғф силжиш ҳолати V бобда кенгроқ ёритилган.

4.6-§. Фазовий кучланиш ҳолати

1. Дастрраб фазовий кучланиш ҳолатида бўлган жисмнинг ихтиёрий нуқтаси атрофидан ажратиб олинган бўлакчанинг оғма юзалиридаги нормал ва урунма кучланишларни аниқлаймиз. Бунинг учун эса қуйидаги режа асосида мулоҳаза юритамиз:

1) нуқта атрофидан фикран тўртта (учта ўзаро тик бўлган ва битта қия) текисликлар ўтказиб, OABC элементар тетраэдрни ажратиб оламиз (IV.8-шакл, а);

2) ABC қия текисликининг юзасини dA га тенг деб, тетраэдр қолган ёқуарнинг юзаларини қуйидагича ёзиб оламиз:

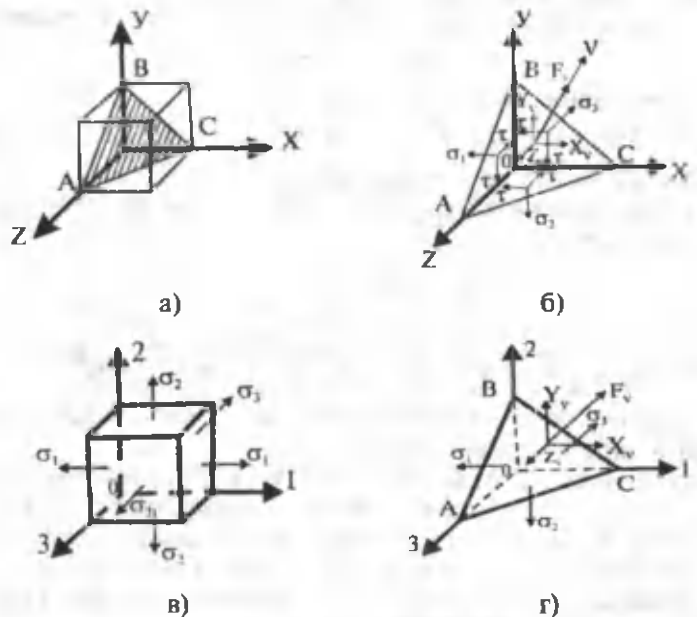
$$\begin{aligned} dA_x &= dA \cdot l \\ dA_y &= dA \cdot m \\ dA_z &= dA \cdot n \end{aligned} \quad (a)$$

бунда $l = \cos(x, v)$, $m = \cos(y, v)$, $n = \cos(z, v)$ -ташқи нормали v бўлган ABC қия текислигининг фазодаги ҳолатини аниқловчи йўналтирувчи косинуслар;

3) ташлаб юборилган қисмнинг элементар тетраэдрга кўрсатган таъсири қуйидагилардан иборат бўлади (IV.8-шакл, б):

а) координата текисликтарда күчланишларнинг б та ташкил этувчилари: $\sigma_x, \sigma_y, \sigma_z, \tau_{xy}, \tau_{yz}, \tau_{zx}$.

б) АВС қия текисликтаги тўла күчланиш F_v нинг З та ташкил этувчилари X_v, Y_v, Z_v ;



IV.8-шакл.

4) элементар тетраэдрнинг мувозанат шартларини ёзамиш:

$$\Sigma X_i = 0 \quad X_v dA - \sigma_x dAl - \tau_{xy} dAm - \tau_{zx} dAn = 0$$

$$\Sigma Y_i = 0 \quad Y_v dA - \tau_{xy} dAl - \sigma_y dAm - \tau_{yz} dAn = 0$$

$$\Sigma Z_i = 0 \quad Z_v dA - \tau_{zx} dAl - \tau_{yz} dAm - \sigma_z dAn = 0 \quad (6)$$

Урунма күчланишларнинг жуфтлик қонунини назарда тутиб, қийидаги муҳим боғланишларни ҳосил қиласиз:

$$X_v = \sigma_x \cdot l + \tau_{xy} \cdot m + \tau_{zx} \cdot n$$

$$Y_v = -\tau_{xy} \cdot l + \sigma_y \cdot m + \tau_{yz} \cdot n \quad (b)$$

$$Z_v = -\tau_{zx} \cdot l - \tau_{yz} \cdot m + \sigma_z \cdot n$$

Кия текислиқдаги тұла күчланиш тузувчи күчланиш X_v , Y_v , Z_v лар асосида ясалған параллелопипеднің диагоналиға тенг бўлади:

$$F_v = \sqrt{X_v^2 + Y_v^2 + Z_v^2} \quad (\text{r})$$

Оғма юзадаги нормал күчланиш σ_v ни аниқлаш учун X_v , Y_v ва Z_v күчланиш тузувчиларини v нормал бўйича проекциялаб

$$\sigma_v = X_v \cdot l + Y_v \cdot m + Z_v \cdot n$$

ёки (a) ифодаларни эътиборга олиб

$$\sigma_v = \sigma_x \cdot l^2 + \sigma_y \cdot m^2 + \sigma_z \cdot n^2 + 2\tau_{xy} \cdot l \cdot m + 2\tau_{yz} \cdot m \cdot n + 2\tau_{zx} \cdot n \cdot l \quad (\text{d})$$

куринишидаги формулага эта бўламиз.

Оғма юзага таъсир кўрсатувчи урунма күчланиш ушбу ифодадан аниқланади:

$$\tau_v = \sqrt{F_v^2 - \sigma_v^2}$$

ёки

$$\tau_v = \sqrt{X_v^2 + Y_v^2 + Z_v^2 - (X_v \cdot l + Y_v \cdot m + Z_v \cdot n)^2} \quad (\text{e})$$

II. Энди бош күчланишлар ва бош юзаларнинг йўналишларини аниқлашга ўтамиз.

Фараз қиласылар, ABC оғма юза учта бош юзадан бири бўлсин, яъни бу юзага урунма күчланишлар таъсир кўрсатмасин. У ҳолда тұла күчланиш бош күчланишлардан бири ҳисобланиб, унинг қиймати $F_v = \sigma_v = \sigma$ га, йўналиши эса v нормал йўналиши билан мос келади. Изланаётган бош күчланиш σ ни координата проекциялаб

$$X_v = \sigma \cdot l$$

$$Y_v = \sigma \cdot m$$

$$Z_v = \sigma \cdot n$$

ифодаларни ҳосил қиласиз.

(и) ва (в) муносабатларни ўзаро таққослаб, номаълум йўналтирувчи косинус l , m , n ларга нисбатан бир жинсли тенгламалар тизимини ҳосил қиласиз:

$$\begin{aligned} (\sigma_x - \sigma) \cdot l + \tau_{xy} \cdot m + \tau_{xz} \cdot n &= 0 \\ \tau_{xy} \cdot l + (\sigma_y - \sigma) \cdot m + \tau_{yz} \cdot n &= 0 \\ \tau_{xz} \cdot l + \tau_{yz} \cdot m + (\sigma_z - \sigma) \cdot n &= 0 \end{aligned} \quad (\text{k})$$

Аналитик геометриядан маълумки, йўналтирувчи косинуслар квадратларининг йигиндиси бирга тенг:

$$\rho^2 + m^2 + n^2 = 1 \quad (\text{л})$$

Охирги тўртта тенгламалар таркибига тўртта номатлум миқдорлар кирган: бош кучланиш ва унинг учта йўналтирувчи косинуслари.

(к) тенгламалар тизими тривиал ечимга эга эмас, чунки бир вақтда I , m , n лар нолга тенг бўлмайди. Акс ҳолда (л) муносабат маънога эга бўлмай қолади.

Бу тенгламалар тизимининг бошқа ечимлари маъжуд бўлиши учун эса унинг аниқловчиси нолга тенг бўлиши керак:

$$\begin{vmatrix} (\sigma_x - \sigma) & \tau_{yx} & \tau_{zx} \\ \tau_{xy} & (\sigma_y - \sigma) & \tau_{zy} \\ \tau_{xz} & \tau_{yz} & (\sigma_z - \sigma) \end{vmatrix} = 0 \quad (\text{м})$$

Детерминатни очиб изланадиган бош кучланишга нисбатан учинчи даражали тенглама ҳосил қиласиз:

$$\sigma^3 - I_1 \cdot \sigma^2 + I_2 \cdot \sigma - I_3 = 0 \quad (\text{IV.14})$$

Бунда

$$\left\{ \begin{array}{l} I_1 = \sigma_x + \sigma_y + \sigma_z, \\ I_2 = \sigma_x \sigma_y + \sigma_x \sigma_z + \sigma_y \sigma_z - \tau_{yx}^2 - \tau_{zx}^2 - \tau_{zy}^2; \\ I_3 = \sigma_x \sigma_y \sigma_z - \sigma_x \tau_{yz}^2 - \sigma_y \tau_{zx}^2 - \sigma_z \tau_{xy}^2 + 2\tau_{yx} \cdot \tau_{zx} \cdot \tau_{zy}; \end{array} \right. \quad (\text{IV.15})$$

(IV.14) тенглама учта ҳақиқий илдизга эга бўлиб, улар учта бош кучланиш σ_1 , σ_2 ва σ_3 лардан иборат бўлади (IV.8-шакл, в).

Шуни таъкидлаб ўтиш керакки, σ_1 , σ_2 ва σ_3 лар координата ўқларининг танланишига боғлиқ эмас. Шу сабабли координата ўқларининг ҳолати ўзгарганда ҳам кубик тенгламанинг коэффициентларидан тузилган I_1 , I_2 ва I_3 ларнинг қийматлари ўзгармасдан қолади, яъни улар инвариант ҳисобланади.

Одатда, I_1 , I_2 ва I_3 лар кучланиш ҳолатининг тегишлича биринчи, иккинчи ва учинчи инвариантлари деб аталади.

Агар $I_3=0$ бўлса, текис кучланиш ҳолати ва $I_2=I_3=0$ бўлса, чизиқли кучланишиш ҳолатлари ҳосил бўлади.

Бош юзаларнинг йўналишларини аниқлаш учун (к) тенгламалар тизимидағи σ нинг ўрнига бош кучланишларни қўйиб, (л) ни ҳар бир бош кучланиш йўналиши учун алоҳида-алоҳида ёзиб, учта бош юзаларнинг йўналтирувчи косинуслари билан $I_1, m_1, n_1; I_2, m_2, n_2; I_3, m_3, n_3$ ларни аниқлаймиз.

III. Бош юзаларга чексиз яқин бўлган нуқта атрофидан ажратиб олинган элементар тетраэдрнинг фазовий кучланиш ҳолатини текширамиз (IV.8-шакл, г).

Юқорида бажарилган барча ишларни навбат билан такрорлаб, оғма юзага таъсир кўрсатувчи нормал ва урунма кучланишлар учун қўйидаги ифодаларга эга бўламиз (исботи ўқувчиларга ҳавола қилинади):

$$\left. \begin{aligned} \sigma_a &= \sigma_1 \cdot l^2 + \sigma_2 \cdot m^2 + \sigma_3 \cdot n^2 \\ \tau_a &= \sqrt{\sigma_1^2 \cdot l^2 + \sigma_2^2 \cdot m^2 + \sigma_3^2 \cdot n^2 - (\sigma_1 \cdot l^2 + \sigma_2 \cdot m^2 + \sigma_3 \cdot n^2)^2} \end{aligned} \right\} \quad (IV.16)$$

Текширилаётган тетраэдр учун кучланиш ҳолатининг инвариантлари бош кучланишлар орқали қўйидагича ифодаланади:

$$\left. \begin{aligned} I_1 &= \sigma_1 + \sigma_2 + \sigma_3 \\ I_2 &= \sigma_1 \cdot \sigma_2 + \sigma_2 \cdot \sigma_3 + \sigma_3 \cdot \sigma_1 \end{aligned} \right\} \quad (IV.17)$$

4.7-§. Умумлашган Гук қонуни

Айтайлик, фазовий кучланиш ҳолатидаги изотроп жисмнинг ихтиёрий нуқтаси атрофидан ажратиб олинган элементар параллелолипед σ_1, σ_2 ва σ_3 бош кучланишлар таъсирида бўлсин (IV.9-шакл).

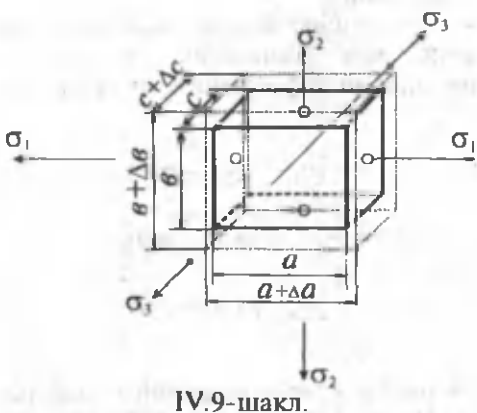
Параллелолипеднинг чизиқли ўлчамлари a, b, c га тенг.

A. Масаланинг геометрик томонини текширамиз.

Параллелолипед қирраларининг мутлақ деформациялари тегишлича $\Delta(a), \Delta(b), \Delta(c)$ бўлганлиги сабабли, бош кучланишлар йўналишидаги нисбий деформациялар

$$\varepsilon_1 = \frac{\Delta a}{a}, \quad \varepsilon_2 = \frac{\Delta b}{b}, \quad \varepsilon_3 = \frac{\Delta c}{c}. \quad (\text{a})$$

күринишда бўлади.



IV.9-шакл.

Кучлар таъсириининг мустақиллик тамойилига кўра, ҳар бир нисбий деформацияни қўйидагича ёзиш мумкин (масалан ε_1 учун):

$$\varepsilon_1 = \varepsilon'_1 + \varepsilon''_1 + \varepsilon'''_1 \quad (6)$$

бу ерда, ε'_1 -узунлиги а бўлган қирранинг σ_1 бош кучланиш таъсиридан олган бўйлама нисбий деформацияси; ε''_1 -узунлиги బ бўлган қирранинг σ_2 бош кучланиш таъсиридан олган кўндаланг нисбий деформацияси; ε'''_1 -узунлиги с бўлган қирранинг σ_3 бош кучланиш таъсиридан олган кўндаланг нисбий деформацияси.

Б. Масаланинг физик томони. Юқорида келтирилган нисбий бўйлама ва нисбий кўндаланг деформациялар қўйидагича аниқланади:

$$\varepsilon'_1 = \frac{\sigma_1}{E}, \quad \varepsilon''_1 = -\mu \cdot \frac{\sigma_2}{E}, \quad \varepsilon'''_1 = -\mu \cdot \frac{\sigma_3}{E}. \quad (\text{b})$$

Охириги муносабатларни эътиборга олиб, σ_1 бош кучланишга параллел қирранинг тўла нисбий деформациясини

$$\varepsilon_1 = \frac{\sigma_1}{E} - \mu \frac{\sigma_2}{E} - \mu \frac{\sigma_3}{E} = \frac{1}{E} [\sigma_1 - \mu(\sigma_2 + \sigma_3)] \quad (\text{IV.18})$$

кўринишида ифодалаймиз.

Агар худди шу тартибда қолган икки йўналишдаги нисбий деформацияларни ҳам аниқласак, у ҳолда барча бош йўналишлардаги нисбий деформациялар қўйидагича бўлади:

$$\left. \begin{aligned} \varepsilon_1 &= \frac{1}{E} [\sigma_1 - \mu(\sigma_2 + \sigma_3)] \\ \varepsilon_2 &= \frac{1}{E} [\sigma_2 - \mu(\sigma_1 + \sigma_3)] \\ \varepsilon_3 &= \frac{1}{E} [\sigma_3 - \mu(\sigma_1 + \sigma_2)] \end{aligned} \right\} \quad (\text{IV.19})$$

Деформация билан кучланишларнинг умумий муносабатини ифодаловчи (IV.19) формула фазовий қучланиш ҳолатидаги жисмлар учун умумлашган Гук қонунини ифодалайди.

Хусусий ҳол. Текис қучланиш ҳолатида $\sigma_3 = 0$ бўлганлиги учун умумлашган Гук қонуни қўйидаги куринишни эгаллайди:

$$\left. \begin{aligned} \varepsilon_1 &= \frac{1}{E} (\sigma_1 - \mu \sigma_2) \\ \varepsilon_2 &= \frac{1}{E} (\sigma_2 - \mu \sigma_1) \\ \varepsilon_3 &= -\frac{1}{E} (\sigma_1 + \sigma_2) \end{aligned} \right\} \quad (\text{IV.20})$$

Демак, текис қучланиш ҳолатида ҳам учинчи бош кучланиш σ_3 йўналиши бўйича деформация содир бўлар экан.

4.8-§. Ҳажмий деформация

Олдинги параграфда текширилган параллелопипеднинг деформациягача бўлган ҳажми

$$dV = a \cdot b \cdot c$$

га тенг. Деформация натижасида ҳар бир қирра узайғанлыги сабабли, унинг ҳажми ҳам $\Delta(dV)$ миқдорға ортади:

$$dV + \Delta(dV) = dl_1(1 + \varepsilon_1)dl_2(1 + \varepsilon_2)dl_3(1 + \varepsilon_3) = \\ = dl_1 \cdot dl_2 \cdot dl_3 (1 + \varepsilon_1 + \varepsilon_2 + \varepsilon_3 + \varepsilon_1\varepsilon_2 + \varepsilon_2\varepsilon_3 + \varepsilon_3\varepsilon_1 + \varepsilon_1\varepsilon_2\varepsilon_3)$$

Нисбий деформацияның иккінчи ва учинчи тартибли ҳадларини эътиборга олмасдан охирги ифодани қуидаги күринишда ёзамиш:

$$\frac{\Delta(dV)}{dV} = \varepsilon_1 + \varepsilon_2 + \varepsilon_3 \quad (a)$$

Ҳажмнинг нисбий ўзгаришини белгилайдиган $\frac{\Delta(dV)}{dV}$

нисбатта ҳажмий деформация дейилади ва θ ҳарфи билан белгиланади:

$$\theta = \varepsilon_1 + \varepsilon_2 + \varepsilon_3 \quad (IV.21)$$

Умумлашган Гук қонунини эътиборга олиб, ҳажмий деформацияни

$$\theta = \frac{1-2\mu}{E} (\sigma_1 + \sigma_2 + \sigma_3) \quad (IV.22)$$

күринишда ёзиш мүмкін.

Охирги формуладан күриниб турибиди, Пуассон көзфициенти $\mu=0,5$ бўлган материал (масалан, резина)нинг деформация давомида ҳажми ўзгармас экан.

4.9-§. Деформациянинг солиштирма потенциал энергияси

Бизга маълумки, чизиқли кучланиш ҳолати (оддий чўзилиш ёки сиқилиш)да деформациянинг солиштирма потенциал энергияси

$$a = \frac{\sigma \cdot \varepsilon}{2} \quad (IV.23)$$

формуладан аниқланар эди (III боб, 21-§ га қаранг).

Бу формулани умумлаштириб, фазовий кучланиш ҳолати учун деформациянинг солиштирма потенциал энергиясини

$$a = \frac{1}{2}(\sigma_1 \cdot \epsilon_1 + \sigma_2 \cdot \epsilon_2 + \sigma_3 \cdot \epsilon_3) \quad (\text{IV.24})$$

күринишида ёзиш мумкин.

Умумлашган Гук қонунини эътиборга олиб, охирги формулани қўйидагича ёзамиш:

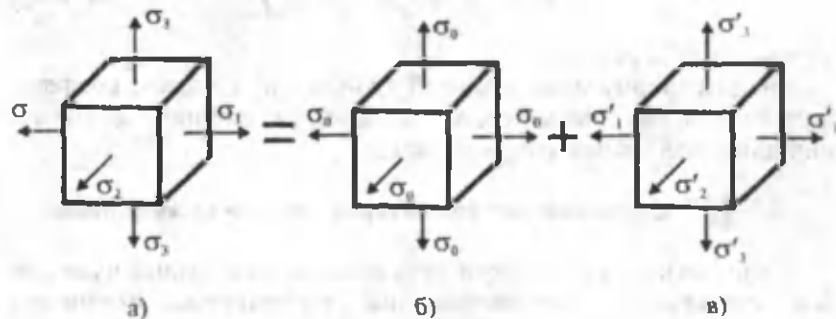
$$a = \frac{1}{2E} [\sigma_1^2 + \sigma_2^2 + \sigma_3^2 - 2\mu(\sigma_1 \cdot \sigma_2 + \sigma_2 \cdot \sigma_3 + \sigma_3 \cdot \sigma_1)] \quad (\text{IV.25})$$

Энди текширилаётган параллелопипеднинг кучланиш ҳолатини иккита кучланиш ҳолатига ажратиб (IV.10-шакл), қўйидагича мулоҳаза юритамиш:

а) фараз қилайлик, биринчи ҳолатда параллелопипед учта бош кучланишларнинг ўрта арифметик қийматига тенг бўлган

$$\sigma_0 = \frac{1}{3}(\sigma_1 + \sigma_2 + \sigma_3) \quad (\text{a})$$

кучланиш таъсирида бўлсин. Бу ҳолда элементнинг шакли ўзгармасдан, балки унинг ҳажми ўзгаради.



IV.10-шакл.

Ҳажмнинг ўзаришидан ҳосил бўлган солиштирма потенциал энергия a_v ни аниқлаш учун (IV.25) формуладаги σ_1 , σ_2 ва σ_3 ларнинг ўрнига σ_0 нинг қийматини қўйиш кифоя:

$$a_v = \frac{1}{2E} [\sigma_0^2 + \sigma_0^2 + \sigma_0^2 - 2\mu(\sigma_0\sigma_0 + \sigma_0\sigma_0 + \sigma_0\sigma_0)] = \frac{1-2\mu}{2E} 3\sigma_0^2 \quad (5)$$

ёки

$$a_v = \frac{1-2\mu}{6E} \cdot (\sigma_1 + \sigma_2 + \sigma_3)^2 \quad (IV.26)$$

б) иккинчи ҳолатда параллелопипед $\sigma_1 = \sigma_0$, $\sigma_2 = \sigma_0$, ва $\sigma_3 = \sigma_0$ кучланишлар таъсирида бўлсин, деб фараз қиласлилик. Бу ҳолда эса унинг ҳажми ўзгармасдан, фақат шакли ўзгаради.

Шаклнинг ўзгаришидан ҳосил бўлган солиштирма потенциал энергия ҳам юқоридаги тартибда аниқланади:

$$a_w = \frac{1}{2E} \left[(\sigma_1 - \sigma_0)^2 + (\sigma_2 - \sigma_0)^2 + (\sigma_3 - \sigma_0)^2 - 2\mu \left[(\sigma_1 - \sigma_0)(\sigma_2 - \sigma_0) + (\sigma_1 - \sigma_0)(\sigma_3 - \sigma_0) + (\sigma_2 - \sigma_0)(\sigma_3 - \sigma_0) \right] \right] \quad (IV.27)$$

(а) ифодани назарда тутиб тегишли ихчамлашдан кейин қўйидаги формулага эга бўламиш:

$$a_w = \frac{1+\mu}{6E} [(\sigma_1 - \sigma_2)^2 + (\sigma_2 - \sigma_3)^2 + (\sigma_3 - \sigma_1)^2] \quad (IV.28)$$

Шундай қилиб, параллелопипеднинг солиштирма потенциал энергияси икки қисмдан: ҳажм ва шаклнинг ўзгаришига сарф бўладиган энергияларнинг йигиндисидан иборат экан:

$$a = a_v + a_w \quad (IV.29)$$

4.10-§. Мустаҳкамлик назариялари

Конструкция ва улар тузилмаларининг мустаҳкамлигини кучланиш ҳолатлари (бош кучланишлар) бўйича таҳдил қилаётганда қўйидаги муҳим савол туғилиши табиий: текширилаётган материалларнинг хавфли ҳолати (чегаравий кучланиши ҳолати) нима ва унинг пайдо бўлишига қандай омиллар сабаб бўлади?

Пластик материаллар учун хавфли ҳолат сифатида шундай кучланиш ҳолати қабул қилинадики, бунда сезиларли қолдиқ (пластик) деформациялар пайдо бўлиши жадаллаша бошлайди.

Мұрт материаллар учун хавфли ҳолат деганда шундай күчланиш ҳолати тушунилады, бунда материал емирила бошлайды, яғни дарз кетиш жараёни тезлашады.

Бирор күчланиш ҳолати қанчалик даражада хавфли ёки хавфсиз эканлығи тұғрисида ҳукм юритиш учун, аввало тажриба усулида хавфли күчланиш ҳолатига тегишли бош күчланишларни аниқлашы лозим.

Бу масала оддий (чизиқлы) күчланиш ҳолатидаги жисмлар учун осонтина ҳал қилинады: лаборатория шароитида намуналарнинг чўзилиши ёки сиқилишига оид тажрибаларни ўтказиб, бош күчланишнинг бирдан-бир чегаравий қийматини етарли даражада аниқ топиш мүмкін. Бу қиймат пластик материаллар учун оқувчанлик чегараси $\sigma_{o.c}$ га, мұрт материаллар учун эса мустаҳкамлик чегараси σ_u га тенг қилиб олинади. Натижада күчланишнинг ҳисобий қиймати σ_x ни билган ҳолда бош күчланишнинг чегаравий қийматига тегишли әхтиёт көзфииентлари аниқланады:

$$n_{o.c.} = \frac{\sigma_{o.c.}}{\sigma_x}; \quad n_u = \frac{\sigma_u}{\sigma_x} \quad (a)$$

Иншоот қисмлари, машина ва механизм деталлари текис ёки ҳажмий күчланиш ҳолатларыда ишилағанда, тажрибавий усулда бош күчланишларнинг чегаравий қийматларини топиш масаласи ҳозирча мүкаммал ҳал этилмаган. Қолаверса, юқорида қайд этилган саволларға ҳам аниқ жавоб берилганича йўқ, чунки материалларнинг ички тузилишини гарчи «аниқ» тасаввур қылсақда, у ерда содир бўлаётган жараёнлар (масалан, пластик деформацияларнинг пайдо бўлиш сабаблари, материаллар емирилишининг ҳақиқий сабаблари ва шу кабилар) тұғрисида тұла-тұқис назарий-амалий маълумотларга эга эмасмиз.

Шу боис, материалларнинг мустаҳкамлигига оид масалаларни счишда мустаҳкамлик назариялари деб аталувчи бир қанча тарихий назарияларга таяниб иш кўрамиз.

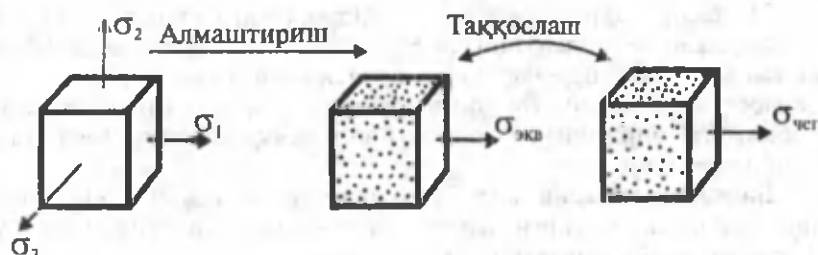
Мустаҳкамлик назариялари деб, материалларда хавфли ҳолатнинг бошланиш сабабларини тажрибаларга асосланган чекланиш (такмин)лар ёрдамида түрли омилларга боғлаб текширувчи назарияларға айтиласы.

Мустаҳкамлик назарияларининг барчаси асосан қуйидаги шартта асосланған: *иккита күчланиш ҳолатига тегишли бош күчланишлар мутаносиб равишда бир хил миқдорга оширилганды,*

иккаласи ҳам бир вақтда чегаравий ҳолатга ўтса, бундай күчланишлар ҳолати тенг күчланишили ва тенг хавфли деб ҳисобланади.

Бунда иккала күчланиш ҳолати учун мустаҳкамликнинг эҳтиёт коэффициенти бир хил бўлади.

Тенг хавфли күчланиш ҳолатларидан бири сифатида хавфли ҳолати аниқланиши зарур бўлган текис ($\sigma_1 \geq \sigma_2$) ёки ҳажмий ($\sigma_1 \geq \sigma_2 \geq \sigma_3$) күчланиш ҳолати, иккинчиси учун эса тажрибавий усулда мукаммал ўрганилган чизиқли ($\sigma_1 = \sigma_{\text{экв}}$) күчланиш ҳолати олинади (IV.11-шакл). Кейин эса мураккаб күчланиш ҳолатидаги жисм (детал) мустаҳкамлигининг ўлчови деб қабул қилинган катталик оддий күчланиш ҳолатидаги намунанинг хавфли ҳолатига тегишили катталиги билан юқорида қайд этилган шарт асосида ўзаро таққосланади.



IV.11-шакл.

Энди муҳандислик амалиётида кенг кўламда фойдаланиладиган учта классик ва битта энергетик назариялар билан қисқача танишиб чиқамиз.

I. Мустаҳкамликнинг биринчи назарияси (энг катта нормал күчланиш назарияси)

Бу назарияни дастлаб XVII асрда Галилей тақлиф этган.

Мустаҳкамликнинг биринчи назарияси материалда чегаравий күчланиш ҳолати пайдо бўлишига энг катта нормал күчланиш сабаб бўлади деган таҳмин (гипотеза) га асосланган; бу назарияга кўра қуйидаги шарт бажарилиши керак:

$$\sigma^1_{\text{экв}} = \sigma_1 < \sigma_{\text{adm}} \quad (\text{IV.30})$$

Бу ерда, σ_1 -текширилаётган мураккаб кучланиш ҳолатидаги жисм (детал) нинг энг хавфли нуқтасидаги бош кучланишларнинг энг каттаси;

σ_{adm} -материал учун жоиз нормал кучланиш бўлиб, унинг қиймати мазкур материалдан ясалган намунани оддий чўзилиш (сиқилиш)га синаш йўли билан аниқланади (III боб, 3-ға қаранг).

Бу назариянинг асосий камчилиги шундан иборатки, (IV.30) ифода таркибида σ_2 ва σ_3 бош кучланишлар иштирок этмайди. Бошқача айтганда, мураккаб ва оддий кучланиш ҳолатидаги жисмлар «гўёки» бир хилда қаршилик кўрсатади, деган маънони билдиради. Ваҳоланки, амалда бундай эмас – материалларнинг мустаҳкамлигига σ_2 , σ_3 лар ҳам катта таъсир кўрсатади.

Масалан, ҳар томонлама (гидростатик) босим остида сиқилаётган бетондан тайёрланган кубик мустаҳкамлик чегарасидан бир неча баробар катта кучланишга ҳам емирилмасдан бардош бера олади. Бу ҳолда кубикнинг қаршилик кўрсатиш қобилияти биринчи назария бўйича аниқланганига нисбатан анча юқоридир.

Биринчи назария мўрт материалларни чўзишига синашда тасдиқланган. Ҳозирги вақтда бу назария ишлатилмайди, у фақат тарихий аҳамияттагина эга, холос.

II. Иккинчи мустаҳкамлик назарияси (энг катта чўзилиш назарияси)

Бу назарияни биринчи марта 1682 йилда Марриот тақлиф қилган.

Мустаҳкамликнинг иккинчи назарияси материалда чегаравий кучланиш ҳолати пайдо бўлишига энг катта чўзилиш сабаб бўлади, деган таҳминга асосланган; бу назарияга мувофиқ

$$\varepsilon_{max} = \varepsilon_1 < \varepsilon_{adm} \quad (IV.31)$$

шарт бажарилиши лозим.

Бу ерда, ε_1 -текширилаётган мураккаб кучланиш ҳолатидаги жисмнинг энг хавфли нуқтасидаги бош нисбий деформацияларнинг энг каттаси ($\varepsilon_1 > \varepsilon_2 > \varepsilon_3$);

ε_{adm} -материалнинг оддий чўзилиш (сиқилиш)даги

жоиз нормал күчланиши σ_{adm} га тегишли нисбий деформацияси.

Гук қонунига асосан:

$$E_1 = \frac{1}{E} [\sigma_1 - \mu(\sigma_2 + \sigma_3)]$$

$$\varepsilon_{adm} = \frac{1}{E} \sigma_{adm}$$

Охирги ифодаларни эътиборга олиб, иккинчи назария бўйича мустаҳкамлик шартини

$$\sigma_{\text{экв}}^{\text{II}} = \sigma_1 - \mu (\sigma_2 + \sigma_3) < \sigma_{adm} \quad (\text{IV.32})$$

кўринишда ёзамиш.

Бу назариянинг биринчи назариядан ағзаллиги шундаки, (IV.32) шартда барча бош күчланишлар таъсири эътиборга олинган. Аммо бу назариянинг ҳали баъзи натижалари тажрибада тўлиқ тасдиқланмаган. Масалан, бу назарияга мувофиқ, ўзаро тик икки йўналишида сиқилаётган кубикнинг мустаҳкамлиги бир томонга қараб сиқилаётган кубикнинг мустаҳкамлигидан юқори бўлиши керак. Лекин, бу хуоса тажрибада тасдиқланмайди.

Иккинчи назариянинг натижалари фақаттана мўрт материаллар учун тажрибада тасдиқланган.

III. Мустаҳкамликнинг учинчи назарияси (энг катта урунма күчланишлар назарияси)

Бу назарияни биринчи бўлиб 1773 йилда Кулон яратган.

Мустаҳкамликнинг учинчи назарияси материалда чегаравий күчланиш ҳолати пайдо бўлишига энг катта урунма күчланишлар сабаб бўлади, деган тахминга асосланган бўлиб, унинг умумий шарти қўйидагича ёзилади:

$$\tau_{max} < \tau_{adm} \quad (\text{IV.33})$$

Бу ерда, τ_{max} - текширилаётган мураккаб күчланиш ҳолатидаги жисмнинг энг хавфли нуқтасидаги энг катта урунма күчланиш;

τ_{adm} - материал учун жоиз урунма күчланиш бўлиб, унинг қиймати намунани оддий күчланиш ҳолатида синаш йўли билан топилади.

Олдинги параграфлардан маълумки:

а) мураккаб кучланиш ҳолатида

$$\tau_{\max} = \frac{\sigma_1 - \sigma_3}{2}$$

б) оддий кучланиш ҳолатида

$$\tau_{adm} = \frac{\sigma_{adm}}{2}$$

Буларни эътиборга олиб, учинчи назария бўйича мустаҳкамлик шартини қўйидагида ёзамиш:

$$\sigma^{III}_{ekv} = \sigma_1 - \sigma_3 < \sigma_{adm} \quad (IV.34)$$

Чўзилиш ва сиқилишга бир хилда қаршилик кўрсатувчи пластик материалар учун учинчи назария тажрибада тасдиқланувчи натижаларни беради.

Бу назариянинг асосий камчилиги шундаки, (IV.34) ифода таркибига σ_2 бош кучланиш кирмайди, яъни текис ва фазовий кучланиш ҳолатлари орасида «гўёки» ҳеч қандай фарқ йўқдек.

Шунинг учун бу назария текис кучланиш ҳолатидаги иншост, машина ва механизм қисмларининг мустаҳкамлигини текширишда кенг қўлланилади.

IV. Мустаҳкамликнинг тўртинчи назарияси (шакл ўзгаришидан ҳосил бўлган солиштирма потенциал энергия назарияси)

Баъзан бу назария Губер-Мизес чекланиши деб ҳам юритилади.

Мустаҳкамликнинг тўртинчи (энергетик) назарияси материалирда чегаравий кучланиш ҳолати пайдо булишига шакл ўзгаришидан ҳосил бўлган солиштирма потенциал энергия сабаб бўлади деган чекланишга асосланган; бу назарияга мувофиқ қўйидаги шарт бажарилиши лозим:

$$a_{\max}^w < a_{adm}^w \quad (IV.35)$$

Бунда a_{\max}^w -мураккаб кучланиш ҳолатидаги жисмнинг хавфли ҳолатига оид шаклнинг ўзгаришидан ҳосил бўлган солиштирма потенциал энергияси;

a_{adm}^{**} -жоиз кучланишга тегишли шакл ўзгаришидан

хосил бўлган потенциал энергия.

Ўтган параграфлардан қўйидагилар маълум:

а) мураккаб кучланиш ҳолатида

$$a_{max}^{**} = \frac{1+\mu}{6E} [(\sigma_1 - \sigma_2)^2 + (\sigma_2 - \sigma_3)^2 + (\sigma_3 - \sigma_1)^2]$$

б) оддий кучланиш ҳолатида

$$a_{adm}^{**} = \frac{1+\mu}{3E} G_{adm}$$

Шундай қилиб, тўртинчи назария бўйича мустаҳкамлик шарти қўйидаги кўринишда ёзилади:

$$\sigma^{IV}_{\text{ЭКВ}} = \frac{1}{\sqrt{2}} \sqrt{(\sigma_1 - \sigma_2)^2 + (\sigma_2 - \sigma_3)^2 + (\sigma_3 - \sigma_1)^2} < \sigma_{adm} \quad (IV.36)$$

Бу назария чўзилиш ва сиқилишга бир хил қаршилик кўрсатувчи пластик материаллар учун анча тўғри натижалар берди.

Юқорида баён этилган тўртала назарияда ҳам битта муҳим камчилик бор: мустаҳкамлик шартларини ифодаловчи (IV.30), (IV.32), (IV.34), (IV.36) формуласларни келтириб чиқаришда Гук қонунига асосландик, ҳолбуки мустаҳкамлик чегараси эластигик чегарасидан анча кейинда туради. Лекин, бу формулалар таркибида материалларнинг эластигик хусусиятларини тавсифловчи катталиклар иштирок этмайди. Шу жиҳатдан олганда, мустаҳкамлик шарти формулаларидан пластик деформация шароитида ишловчи иншоот ва машина-механизм қисмларини ҳисоблашда фойдаланиш мумкин.

Шуни таъкидлаб ўтиш муҳимки, айни пайтда мавжуд мустаҳкамлик назарияларини такомиллаштириш ҳамда янги назариялар яратиш борасида муайян ишлар қилинмоқда. Шу ўринда Н. Н. Давиденков, Б. Я. Фридман, И. И. Тарасенко, Г. С. Писаренко, А. А. Лебедев каби олимларнинг илмий изланишлари эътиборга моликдир.

19-масала. Ўзаро тик жойлашган ва оғма юзачалардаги нормал күчланишларни $\sigma_a = \frac{1}{3}\sigma_\beta = 30 \text{ MPa}$ га тенг деб, күндаланг кесими квадрат ($a = 16 \cdot 10^{-2} \text{ м}$) намунани чўзуви кучнинг қиймати топилсин (IV.12-шакл).

Намунанинг бўйлами ўқи билан оғма юза нормали орасидаги бурчаклар аниқлансин.

Ечиш

Күндаланг кесимдаги нормал күчланиш σ_0 ни оғма юзачалардаги күчланишлар орқали ифодалаймиз:

$$\sigma_a = \sigma_0 \cos^2 \alpha$$

$$\sigma_\beta = \sigma_0 \cos^2 \beta = \sigma_0 \sin^2 \alpha$$

бу ерда, $\beta = -(90^\circ - \alpha)$.

Ҳадлаб кўшамиш:

$$\sigma_a + \sigma_\beta = \sigma_0$$

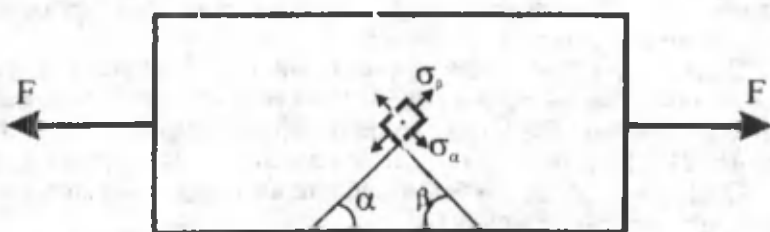
Бундан $\sigma_0 = 120 \text{ MPa}$ эканлиги келиб чиқади.

Намунани чўзуви куч:

$$F = \sigma_0 \cdot 2a^2 = 2 \cdot 120 \cdot 10^3 (16 \cdot 10^{-2})^2 = 384 \text{ kN}.$$

Юқоридаги ифодалардан:

$$\operatorname{tg}^2 \alpha = \frac{\sigma_\beta}{\sigma_a} = 3, \quad \alpha = 60^\circ \quad \beta = -(90^\circ - \alpha) = -30^\circ.$$



IV.12-шакл.

20-масала. IV.13-шакл, а да тасвирланган текис күчланиш ҳолати учун нормал ва урунма күчланишларнинг экстремал қийматларини ҳамда улар таъсир этувчи юзачаларнинг ҳолатларини аниқлаш талаб этилади. Күчланишлар МПа ларда берилган.

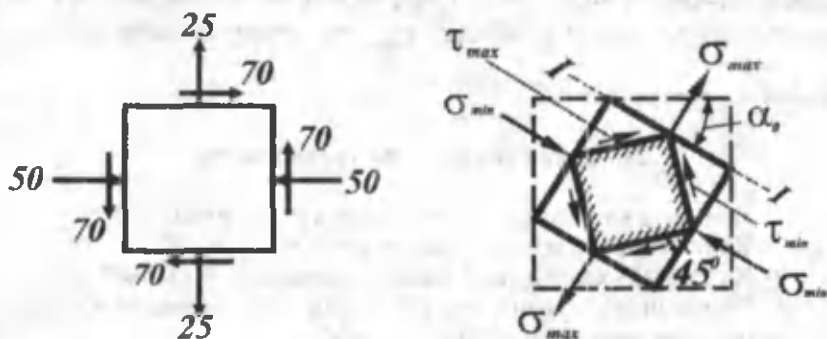
Ечиши

(IV.8) формула бўйича экстремал нормал күчланишлар аниқланади:

$$\sigma_{\max} = 0,5 \left[(-50 + 25) \pm \sqrt{(-50 + 25)^2 + 4(70)^2} \right] = -12,5 \pm 79,4$$

Шундай қилиб,

$$\sigma_{\max} = 66,9 \text{ MPa}; \quad \sigma_{\min} = -91,9 \text{ MPa}.$$



IV.13-шакл.

(IV.13) формула ёрдамида экстремал урунма күчланишлар топилади:

$$\tau_{\max} = \pm 0,5 \sqrt{(-50 + 25)^2 + 4 \cdot (70)^2} = \pm 79,4$$

$$\text{Демак, } \tau_{\max} = 79,4 \text{ MPa}, \quad \tau_{\min} = -79,4 \text{ MPa}.$$

Бош юзачаларнинг ҳолатини аниқлашда (IV.9) формуладан фойдаланамиз:

$$tg 2\alpha_0 = \frac{2 \cdot 70}{-50 - 25} = -1,866$$

$$2\alpha_0 = arctg(-1,866) \approx 62^\circ$$

$$\alpha_0 = -31^\circ.$$

σ_{\max} бош күчланиш таъсир этадиган бош юзанинг ҳолатини чизмада тасвирлаш учун горизонтал юзани (чунки бу юзадаги нормал күчланишнинг алгебраик қиймати вертикаль юзадаги нормал күчланишдан катта) α_0 бурчакка бурамиз: α_0 нинг йўналишини танлашда шунга эътибор бериш керакки, буралаётган юзачадаги (бизнинг мисолимида горизонтал юзача) урунма күчланиш элементни юзачанинг марказига нисбатан айлантириша интилсин. Шу қойдага амал қилиб, σ_{\max} нинг йўналиши доимо τ_{xy} ва τ_{yx} ларнинг йўналишлари учрашадиган координата ўқларининг иккита чораги орқали ўтишига ишонч ҳосил қилиш мумкин (IV.6-шакл). Бу шаклда $\tau_{\max \min}$ лар таъсир этадиган силжиш юзалари ҳам кўрсатилган.

Назорат саволлари ва топшириқлар

1. Бош юза ва бош күчланишларни тушунтиринг.
2. Күчланиш ҳолати деганда нимани тушунасиз?
3. Күчланиш ҳолатининг қандай турларини биласиз?
4. Чизиқли күчланиш ҳолатида қия кесимлардаги нормал ва урунма күчланишлар қандай топилади?
5. Урунма күчланишларнинг жуфтлик қонуни қандай кўринишда ифодаланади? Унинг маъносини тушунтиринг.
6. Текис күчланиш ҳолати учун:
 - нормал күчланишларнинг экстремал қийматлари;
 - бош юзанинг ҳолати;
 - урунма күчланишларнинг экстремал қийматлари;
 - силжиш юзасининг ҳолати
7. Қандай аниқланади?
8. Умумлашган Гук қонуни қандай кўринишга эга?
9. Ҳажмий деформация қандай аниқланади?
10. Мустаҳкамлик назарияларидан бирининг моҳиятини тушунтиринг.

V БОБ. СИЛЖИШ

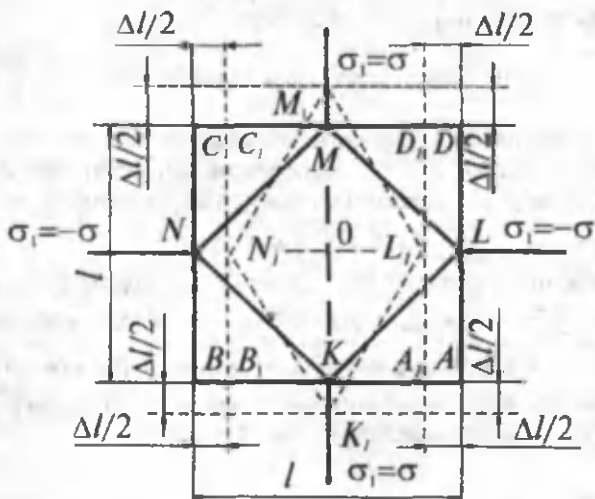
5.1-§. Соф силжиш

Агар эластик стержендан маълум қияликдаги текисликлар ёрдамида ажратиб олинган элементар кубнинг томонларига фақат урунма кучланишлар таъсир қиласа, у ҳолда кубнинг бундай текис кучланиш ҳолатига соф силжиш дейилади.

Фақат урунма кучланишлар пайдо бўладиган юзалар соф силжиш юзалари дейилади.

I. Масаланинг статик томони

Фараз қиласийлик, текис кучланиш ҳолатидаги стерженнинг бирор нуқтаси атрофидан ажратилган элементар куб $\sigma_1 = -\sigma_3 = \sigma$ бош кучланишлар таъсирида бўлсин (V.1-шакл).



V.1-шакл.

Текис кучланиш ҳолати учун қия кесимлардаги кучланишлар

Текис күчланиш ҳолати учун қия кесимлардаги күчланишлар

$$\left. \begin{array}{l} \sigma_a = \sigma_1 \cos^2 \alpha + \sigma_3 \sin^2 \alpha \\ \tau_\alpha = \frac{\sigma_1 - \sigma_3}{2} \sin 2\alpha \end{array} \right\} \quad (a)$$

формулалар ёрдамында аниқланиши бизга олдиндан маълум (IV бобга қаранг). Бундан ташқари, IV боб 5-§ да силжиш юзаси билан бош юза орасидаги бурчак миқдор жиҳатидан 45° га тенг эканлиги айтиб ўтилган эди. Шу сабабли соф силжиш юзасидаги күчланишлар қўйидагича бўлади:

$$\left. \begin{array}{l} \sigma_{\alpha=45^\circ} = \sigma_1 \cos^2 45^\circ + (-\sigma_3) \sin^2 45^\circ \\ \tau_{\alpha=45^\circ} = \frac{\sigma_1 - (-\sigma_3)}{2} \sin 2 \cdot 45^\circ \end{array} \right\} \quad (6)$$

Демак, урунма күчланишнинг максимал қиймати стерженини ўзаро тик йўналган ўқлар бўйича чўзувлси ва сиқувчи бош күчланишларга тенг экан.

Урунма күчланиш таъсиридаги MNKL элемент соф силжиш ҳолатида фақат силжиш деформациясига учраб, унинг томонлари чўзилмас (сиқилмас) экан.

II. Масаланинг геометрик томони

Бош күчланишлар таъсирида элементар кубнинг AD , BC қирралари чўзилиб, AB , CD қирралари эса сиқилади; уларнинг мутлақ чўзилиш ва сиқилишлари миқдор жиҳатидан тенг:

$$\Delta l = \varepsilon_1 l = |\varepsilon_2| l = \varepsilon l \quad (b)$$

Квадрат шаклдаги $KLMN$ элемент эса силжиш натижасида $K_1L_1M_1N_1$ ромб шаклини эгаллайди. Натижада деформацияга-ча бўлган KLM тўғри бурчак $K_1L_1M_1$ ўтмас бурчакка айланади.

Одатда, бу бурчакларнинг айирмаси нисбий соф силжиш бурчаги ёки қисқача, нисбий силжиш дейилади:

$$\gamma = \angle K_1L_1M_1 - \angle KLM = \angle K_1L_1M_1 - \frac{\pi}{2}$$

бундан

$$\frac{\angle K_1 L_1 M_1}{2} = \angle K_1 L_1 O = \frac{\pi}{4} + \frac{\gamma}{2}$$

чизмадан бу бурчакнинг тангенсини аниқлаймиз:

$$\operatorname{tg}\left(\frac{\pi}{4} + \frac{\gamma}{2}\right) = \frac{OL}{OL_1} = \frac{\frac{l}{2} + \frac{\Delta l}{2}}{\frac{l}{2} - \frac{\Delta l}{2}} = \frac{1+\varepsilon}{1-\varepsilon} \quad (\text{r})$$

Иккинчи томондан γ нинг кичиклигидан $\operatorname{tg}\gamma \approx \gamma$ эканлигини назарда тутиб, икки бурчак йигиндисининг тангенсини қўйидагича ёзамиш:

$$\operatorname{tg}\left(\frac{\pi}{4} + \frac{\gamma}{2}\right) = \frac{\operatorname{tg}\frac{\pi}{4} + \operatorname{tg}\frac{\gamma}{2}}{1 - \operatorname{tg}\frac{\pi}{4} \cdot \operatorname{tg}\frac{\gamma}{2}} \equiv \frac{1 + \frac{\gamma}{2}}{1 - \frac{\gamma}{2}}. \quad (\text{d})$$

Охирги иккита ифодаларни тенглаб, нисбий чўзилиш миқдор жиҳатидан нисбий силжишнинг ярмига тенг эканлигига ишонч ҳосил қиласиз:

$$\varepsilon = \frac{\gamma}{2} \quad (\text{V.1})$$

III. Масаланинг физик томони

Умумлашган Гук қонунини эътиборга олиб, нисбий деформацияни

$$\varepsilon_1 = \frac{1}{E} (\sigma_1 - \mu \sigma_3) = \frac{1+\mu}{E} \sigma$$

ёки

$$\frac{\gamma}{2} = \frac{1+\mu}{E} \sigma$$

кўринишларда ёзамиш.

Соф силжишдаги элемент фақат урунма кучланиш таъсирида бўлгани учун охирги ифодани қўйидагича ўзгартириш мумкин:

$$\tau = G \gamma \quad (\text{V.2})$$

бу ерда,

$$G = \frac{E}{2(1+\mu)} \quad (\text{V.3})$$

бұлиб, сиљишиңдеги эластик модули ёки иккинчи түр эластик-лик модули дейилади (тажрибалардан пўлат материалы учун $G_n \approx 8 \cdot 10^4 \text{ MPa}$ эканлиги аниқланған).

(V.2) формула соф сиљишиңдеги Гук қонунини ифодалайды.

Үмуман олганды, (V.1) ва (V.3) муносабатлар чўзишлиш (сиқилиш) ва сиљиши деформациялари орасида боғланиш мавжуд деган хуносани тасдиқлайды.

Соф сиљишиңдеги элементар кубнинг нисбий ҳажмий деформацияси ва солишишима потенциал энергияларини аниқлаймиз (IV бобга қаранг).

MLKN элемент соф сиљишида бўлганлиги учун унинг томонларига нормал кучланишлар таъсир кўрсатмайди; шу боис,

$$\theta = \frac{1-2\mu}{E} (\sigma_1 + \sigma_2 + \sigma_3) = 0 \quad (\text{e})$$

га тенг бўлади.

Шундай қилиб, соф сиљиши деформацияси натижасида ҳажмнинг нисбий ўзгариши нолга тенг экан.

MLKN элементнинг томонларига фақат $\tau_{\max} = \sigma_1 = -\sigma_3 = \sigma$ урунма кучланишлар таъсир кўрсатади (бу ерда, $\sigma_2 = 0$, чунки элемент текис кучланиш ҳолатида). Шунинг учун солишишима потенциал энергиялар қўйидагига тенг бўлади:

$$\left. \begin{aligned} a &= \frac{1}{E} [\sigma^2 + (-\sigma)^2 - 2\mu(-\sigma)\sigma] = \frac{1+\mu}{E} \tau_{\max}^2 \\ a_r &= \frac{1-2\mu}{6E} [\sigma + (-\sigma)] = 0 \\ a_w &= \frac{1+\mu}{6E} [\sigma^2 + \sigma^2 + (-\sigma-\sigma)^2] = \frac{1+\mu}{E} \tau_{\max}^2 \end{aligned} \right\} \quad (\text{V.4})$$

Демак, соф сиљишида ҳажмнинг ўзгаришидан ҳосил бўладиган солишишима потенциал энергия нолга тенг бўлиб, тўла солишишима потенциал энергия шаклнинг ўзгаришига сарф бўладиган солишишима потенциал энергиядан иборат бўлар экан.

5.1-жадвалда соф силжиш деформациясини ўрганиш натижасида келтириб чиқарылган баъзи формулалар берилган.

5.1-жадвал

Соф силжиш деформацияси	
масалани таҳлилий ўрганиш кетма-кетлиги	формулалар
1 <i>статик нуқтаси назардан ёндашиш</i>	$\sigma_{\alpha=45^\circ} = \sigma_1 \cos^2 45^\circ - \sigma_1 \sin^2 45^\circ = 0,$ $\tau_{\alpha=45^\circ} = \frac{\sigma_1 - (-\sigma_1)}{2} \sin 2 \cdot 45^\circ = \sigma$
2 <i>геометрик нуқтаси назардан ёндашиш</i>	$\gamma = 2\varepsilon$
3 <i>физик нуқтаси назардан ёндашиш</i>	$\tau = G\gamma$
4 <i>хулоса</i>	$\sigma = \frac{E}{2(1+\mu)},$ $a = a_w = \frac{(1+\mu)}{E} \tau_{\max}^2$

5.2-§. Силжишга ишловчи конструкция элементларининг ҳисоби

Силжиш деформациясининг ўзига хос хусусияти шундаки, текширилаётган кесимда ички куч омилларидан фақат кесувчи куч мавжуд бўлиб, қолганлари эса нолга тенг бўлади.

Кесувчи кучлар кесимда урунма кучланишларни ҳосил қилиши бизга олдиндан маълум (I боб, 5-§ га қаранг):

$$Q = \int_A \tau dA \quad (V.5)$$

Шуни таъкидлаб ўтиш лозимки, мұхандислик амалиётіда сиљиш деформациясига дуч келган элементлар фақат соф сиљишга эмас, балки чўзишиш (сиқилиш) ва ғилиш каби деформацияларга ҳам қаршилик кўрсатиши мумкин. Амалда сиљиш деформацияси кесилиш ёки ёрилиш каби деформациялар тарзидан намоён бўлиб, у кўпинча болтли, парчин михли ва пайванд бирикмали конструкция элементларида учрайди.

Болтли, парчин михли ва пайванд бирикмаларни ҳисоблаш услуби машина деталлари, метал конструкциялар каби маҳсус курсларда мукаммал ўрганилади. Шу сабабли, бу ерда фақат парчин михли бирикмаларни ҳисоблаш услуби қисқача баён этилган, холос.

Сиљиш деформациясига оид амалий ҳисоблашларни осонлаштириш мақсадида қўйидаги чекланишлар киритилган:

- сиљиш содир бўлган кесимдаги урунма кучланишлар бир текисда тақсимланган деб фараз қилинади; бундан $Q = \tau A$ эканлиги келиб чиқади;
- конструкция элементларини ўзаро бир-бирларига бириктиришда ишлатиладиган барча бириктирувчи детал (болт, парчин мих ва шу каби)лар баравар юқланган деб фараз қилинади.

Калинлиги δ бўлган иккита лист (металл тунука) учма-уч жойлаштирилиб, уларнинг устидан ва остидан δ_1 қалинликдаги устқўйма (пўлат тахтакач)лар қўйилиб, парчин михлар ёрдамида бириктирилган (V.2-шакл). Бундай бирикмаларда ишловчи парчин михлар икки кесилишли парчин михлар дейилади.

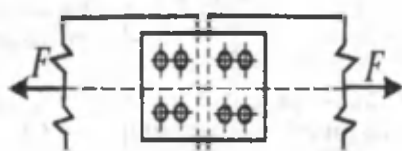
Битта парчин мих учун мувозанат тенгламасини ёзамиш (V.2-шакл, а):

$$\sum X_i = 0,$$

$-\tau_{kes} A - \tau_{kes} A + F = 0$
бундан листларни чўзувчи кучни

$$F = 2 \tau_{kes} A$$

кўринишида ёзиб оламиш.



V.2-шакл.

Охирги ифодани умумлаштириб, кесилишдаги мустақамлик шартини қўйидагича ёзамиш:

$$\tau_{kec} = \frac{F}{n2A} \leq \tau_{max} \quad (V.6)$$

бунда $A = \frac{\pi d^2}{4}$ – парчин михнинг кўндаланг кесим юзаси;

d – парчин мих стерженининг диаметри;

n – парчин михлар сони;

τ_{adm} – парчин мих материали учун силжишдаги жоиз урунма кучланиш.

Силжишдаги жоиз урунма кучланиш τ_{adm} билан оддий чўзилиш (сиқилиш)даги жоиз нормал кучланиш σ_{adm} орасида қўйидаги муносабат мавжуд:

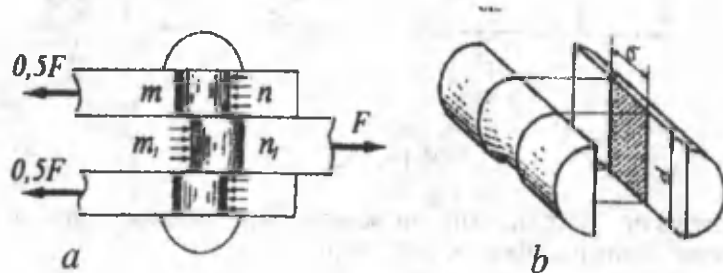
$$\tau_{adm} = k \sigma_{adm} \quad (V.7)$$

Бунда k ўзгармас сон бўлиб қўйидагича танланади:

- мўрт материаллар учун $k = 0,7 \div 1,0$
- пластик материаллар учун $k = 0,5 \div 0,6$
- анизотроп материаллар (масалан, ўртача сифатли қарағай) учун $k = 0,1$.

Листларни чўзувчи куч F маълум қийматга етганда лист парчин михни ёки аксинча, парчин мих листни эзиши мумкин. Конструктив талабларга асосан ҳамма вақт $\delta > \delta_1$ бўлгандигидан устқўймаларни эзилишга ҳисоблашнинг заруритияти йўқ.

V.3-шакл а, б ларда тасвирланган икки кесилишли парчин мих эзилган сиртининг шартли юзаси $A_{33} = \delta d$ га teng.



V.3-шакл.

Икки кесилиши парчин михларнинг эзилишдаги мустаҳкамлик шарти қўйидагича ёзилади:

$$\sigma_{zz} = \frac{F}{n \delta d} < \sigma'_{con} \quad (\text{V.8})$$

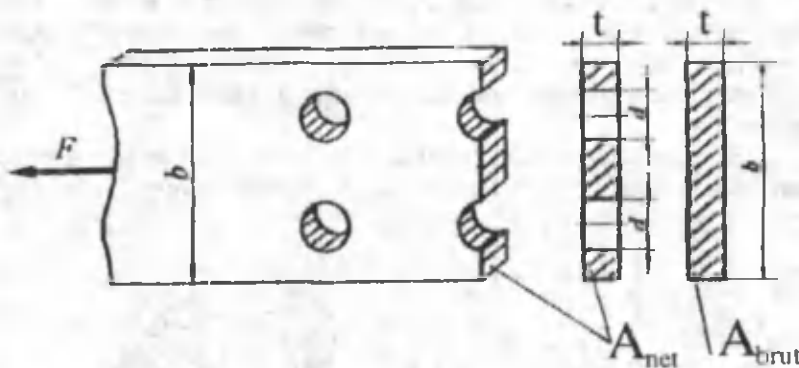
Бунда σ'_{con} -эзилиш учун жоиз кучланиш.

Одатда, σ'_{con} оддий чўзилиш (сиқилиш)даги жоиз нормал кучланишга нисбатан қўйидагича олинади:

$$\sigma'_{con} = (2 + 2,5) \sigma_{adm} \quad (\text{V.9})$$

Энди уланувчи листларнинг чўзилиш ёки сиқилишдаги пухталигини текширишга ўтамиз.

Уланувчи листнинг кўндаланг кесим юзасини A_{brutto} ва парчин михлар ўтадиган тешиклар чиқариб ташлангандан кейин қолган юзани эса A_{netto} билан белгилаймиз (V.4-шакл).



V.4-шакл.

Уланувчи листларнинг чўзилиш ёки сиқилишдаги мустаҳкамлик шарти қўйидагича ёзилади:

$$\sigma = \frac{F}{A_{netto}} < \sigma_{adm} \quad (\text{V.10})$$

Бу формуладан A_{netto} аниқланғаң, қуйидаги тақрибий формулалар ёрдамида A_{brutto} топилады:

а) чўзилган листлар учун

$$A_{brutto} \approx A_{netto} + 0,15 A_{netto}$$

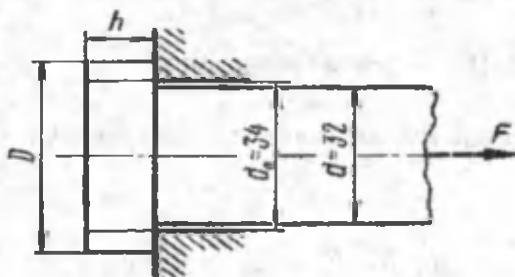
б) сиқилган листлар учун

$$A_{brutto} \approx A_{netto} + 0,3 A_{netto}$$

Сиқилишга қаршилик кўрсатувчи листлар эгилишга ҳам қаршилик кўрсатади; шу боис, уларнинг кўндаланг кесим юзаси чўзилган листларга нисбатан яна 15 фоизга оширилади.

21-масала. Чўзувчи F куч билан юкланган болт қалпогининг диаметри D ва баландлиги h ни аниқланг (V.5-шакл); қуйидаги жоиз күчланишлар маълум: $\sigma_{adm} = 140 \text{ MPa}$ (чўзилишдаги), $\tau_{adm} = 100 \text{ MPa}$ (кесилишдаги), $\sigma'_{com} = 250 \text{ MPa}$ (эзилишдаги), $d_0 = 3,4 \cdot 10^{-2} \text{ м}$, $d = 3,2 \cdot 10^{-2} \text{ м}$.

Материал чўзилиш, кесилиш ва эзилиш деформацияларига бир хил қаршилик кўрсатади, деб ҳисоблаш олиб борилсин.



V.5-шакл.

Ечиш

Чизмадан кўриниб турибдики, болтнинг стержен қисми чўзилишга, бош қисми кесилишга, деворга тегиб турган таянч юзаси эса эзилишга қаршилик кўрсатади.

а) стерженнинг чўзилишдаги мустаҳкамлик шартидан жоиз кучни аниқлаймиз:

$$F_{adm} = \sigma_{adm} \frac{\pi d^2}{4} = 140 \cdot 10^3 \frac{3,14(3,2 \cdot 10^{-2})^2}{4} = 112,6 \text{ kN}$$

б) эзилишдаги мустаҳкамлик шартидан таянч юзанинг диаметрини топамиз:

$$\frac{F}{A_{33}} \leq \sigma'_{con}$$

бу ерда,

$$A_{33} = \frac{\pi(D^2 - d^2)}{4},$$

$F = F_{adm}$ (масаланинг шартига кўра)

Бундан

$$D \geq \sqrt{\frac{4F_{adm}}{\pi\sigma'_{con}} + d_0^2} = \sqrt{\frac{4 \cdot 112,6}{3,14 \cdot 250 \cdot 10^3} + (3,14 \cdot 10^{-2})^2} = 4,17 \cdot 10^{-2} \text{ m}$$

$D_0 = 4,2 \cdot 10^{-2} \text{ m}$ деб қабул қиласиз.

в) кесилишга мустаҳкамлик шартини ёзамиз:

$$\frac{F}{A_{kes}} \leq \tau_{adm}$$

бу ерда, $A_{kes} = \pi d_0 \cdot h$, $F = F_{adm}$ (масаланинг шартига асосан)

Демак,

$$h \geq \frac{F_{adm}}{\pi d_0 \tau_{adm}} = \frac{112,6}{3,14 \cdot 3,4 \cdot 10^{-2} \cdot 100 \cdot 10^3} = 1,055 \cdot 10^{-2} \text{ m}$$

$h_0 = 1,1 \cdot 10^{-2} \text{ m}$ деб қабул қилинади.

22-масала. Иккита $90 \times 56 \times 8$ ли бурчаклиқдан иборат ферманинг тортқисини $\delta = 1,2 \cdot 10^{-2} \text{ m}$ қалинликдаги косинкага

Бириктириш учун диаметри $d = 2,3 \cdot 10^{-2} \text{ м}$ ли парчин михдан нечта зарур (V.6-шакл).

Тортқидаги чүзувчи күч $F=300 \text{ кН}$ бўлиб, унинг материали учун $\tau_{adm} = 100 \text{ МПа}$, $\sigma'_{con} = 280 \text{ МПа}$ га тенг.

Ечиш

Бирикмада икки кесилиши парчин мих ишлатилганлиги сабабли, унинг кесилмаслик шарти

$$\tau_{uv} = \frac{F}{2n \cdot \frac{\pi d^2}{4}} \leq \tau_{adm}$$

кўринишда ёзилади.

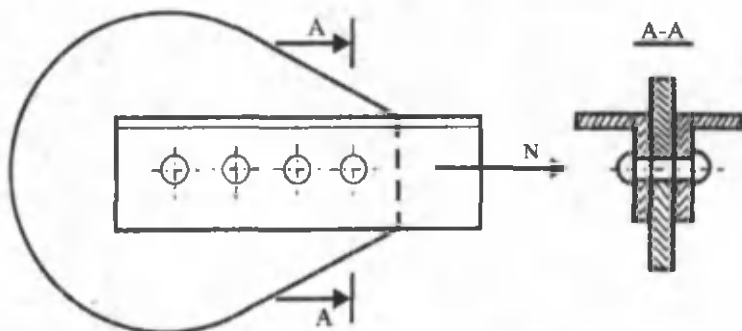
$$\text{Бундан } n \geq \frac{N}{2 \cdot \frac{\pi d^2}{4} \cdot \tau_{adm}} = \frac{300 \cdot 10^{-3}}{2 \cdot \frac{3,14 (2,3 \cdot 10^{-2})^2}{4} \cdot 100} = 3,6$$

Эзилмаслик шарти эса қўйидагича:

$$\sigma_{eq} = \frac{F}{n \cdot \delta d} \leq \sigma'_{con}$$

$$\text{Бундан } n \geq \frac{F}{\delta d \sigma'_{con}} = \frac{300 \cdot 10^{-3}}{1,2 \cdot 2,3 \cdot 10^{-4} \cdot 280} = 3,9$$

Демак, бирикмага $n = 4$ та парчин мих етарли экан.



V.6-шакл

Назорат саволлари ва топшириқлар

1. Қандай кучланиш ҳолати соф силжиш дейилади?
2. Силжишдаги Гук қонуни қандай ифодаланади?
3. Биринчи ва иккинчи тур эластиклик модуллари орасидаги математик боғланишни ёзинг ва тушунтириңг.
4. Соф силжишда ҳажмнинг ўзгаришидан солиштирма потенциал энергия ҳосил бўлмаслигини тушунтириңг.
5. Силжишдаги потенциал энергия қандай аниқланади?
6. Силжиш деформациясига оид ҳисоблашлар қандай чекланишларга асосланган?
7. Силжишдаги жоиз урунма кучланиш билан оддий чўзилиш ёки сиқилишдаги жоиз нормал кучланиш орасидаги боғланишни тушунтириңг.
8. Эзилиш деформацияси қандай шароитда пайдо бўлади?

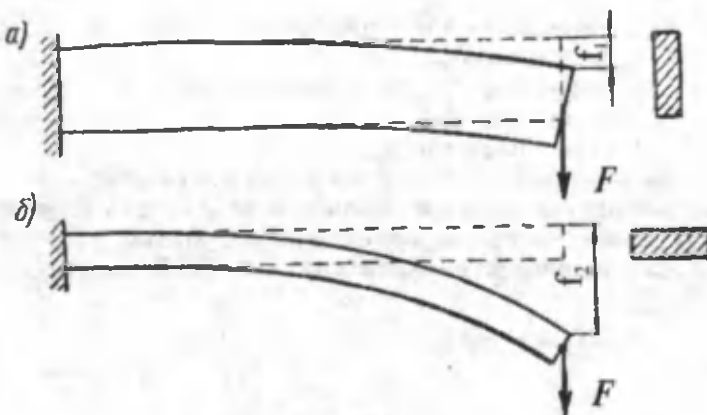
VI БОБ. ТЕКИС ШАКЛЛАРНИНГ ГЕОМЕТРИК ТАВСИФЛАРИ

6.1-§. Текис шаклларнинг геометрик тавсифлари

Олдинги бобларда марказий чўзилиш ёки сиқилиш ва силжиш деформацияларини ўрганиб, бўгуснинг кўндаланг кесим юзи мустаҳкамлик ва бикрликни тавсифловчи миқдор эканлигига ишонч ҳосил қилган эдик. Бошқача айтганда, бундай деформациялар содир бўлганда кўндаланг кесим юза текис шаклларни геометрик нуқтаи назардан тавсифлай олар экан.

Аммо буралиш, эгилиш, мураккаб деформация, бўйлама этилиш (сиқилган стерженларнинг устуворлиги) ва динамик юкларнинг таъсиirlарини ўрганиш жараёнида кўндаланг кесим юза текис шаклларни геометрик томондан тавсифлай олмайди.

VI.1-шаклда тасвирланган консолининг иккى хил ҳолатда эгилишини (1-ҳолатда кўндаланг кесимнинг энг кичик томони, 2-ҳолатда эса энг катта томони горизонтал ҳолатга келтирилган) таҳлил қилиб, юқоридаги фикрларнинг тўғрилигига тўлиқ ишонч ҳосил қиласиз.



VI.1-шакл.

Хақиқатан ҳам, кесим юза бир хил бўлтани ҳолда F куч таъсиридан пайдо бўлган кўчишлар ўзаро бир-бирларидан кескин фарқ қиласди: $f_1 < f_2$. Бундан эса бруснинг кўндаланг кесим юзаси эгилишдаги қаршиликни геометрик жиҳатдан тўла тавсифлай олмайди, деган холоса келиб чиқади.

Шу боис буралиш, эгилиш, мураккаб деформация, сиқилган стерженларнинг устуворлиги ва динамик юкларнинг таъсиrlарини ўрганишда текис шаклларнинг куйидаги геометрик тавсифларини ҳам билиш мухимdir:

- текис шаклларнинг ўққа нисбатан статик моментлари;
- текис шаклларнинг инерция моментлари;
- текис шаклларнинг қаршилик моментлари.

Мазкур боб текис шаклларнинг ана шу геометрик тавсифлари назариясини ўрганишга бағишиланган.

6.2-§. Текис шаклларнинг ўққа нисбатан статик моментлари

Назарий меҳмонканинг статика бўлимида текис шаклларнинг оғирлик мэрказ координаталарини аниқлашда куйидаги формулалардан фойдаланган эдик:

$$x_c = \frac{\int x dA}{A} ; \quad y_c = \frac{\int y dA}{A} \quad (\text{VI.1})$$

бунда x -элементар A юзачадан ордината ўқигача бўлган масофа;

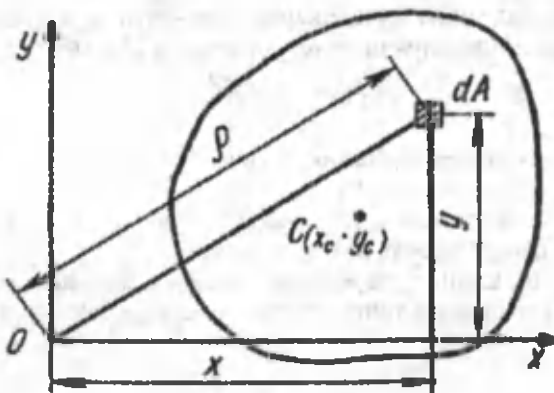
y -элементар A юзадан абсцисса ўқигача бўлган масофа;

A -текис шаклнинг юзаси.

Бу формулаларнинг ўнг томонларидаги касрларнинг суртидаги йигинди (интеграл)га текис шаклнинг x ва y координата ўқларига нисбатан **статик моментлари** деб аталиб, улар тегишлича S_x ва S_y ҳарфлари билан белгиланади (VI.2-шакл):

$$S_x = \int_A y dA, \quad S_y = \int_A x dA \quad (\text{VI.2})$$

Статик моментлар узунлик ўлчовининг учинчи даражаси m^3 да ўлчаниб, мусбат, манфий ва нол қийматларига эга бўлади.



VI.2-шакл.

(VI.2) ни зътиборга олиб, текис шаклларнинг оғирлик марказ координаталарини

$$x_c = \frac{S_y}{A}; \quad y_c = \frac{S_x}{A} \quad (VI.3)$$

кўринишларда аниқлаймиз.

Координата ўқларидан бири ёки иккаласи ҳам текис шаклнинг оғирлик марказидан ўтса, бундай ўқлар марказий ўқлар дейилади. Охирги формуладан марказий ўқларга нисбатан статик моментлар нолга teng эканлиги яққол кўриниб турибди.

6.3-§. Текис шаклларнинг инерция моментлари

Ихтиёрий текис шаклнинг ўқли ёки экваториал инерция моменти деб миқдор жиҳатдан қуидаги интегралга teng бўлган геометрик тавсифга айтилади:

a) x ўқига нисбатан

$$J_x = \int_A y^2 dA \quad (VI.4)$$

б) y ўқига нисбатан

$$J_y = \int_{(A)} x^2 dA \quad (VI.5)$$

Текис шаклнинг кутб инерция моменти деб қуйидаги интеграл билан аниқланувчи геометрик тавсифга айтилади:

$$J_\rho = \int_{(A)} \rho^2 dA \quad (VI.6)$$

Бунда ρ -элементар dA юзачадан кутб нуқтаси О гача бўлган масофа.

Текис шаклларнинг ўқли (экваториал) ва кутб инерция моментлари фақат мусбат катталиклардир.

Текис шаклнинг марказдан қочирма инерция моменти деб қуйидаги интегралга тенг бўлган геометрик тавсифга айтилади:

$$D_{xy} = \int_{(A)} x y dA \quad (VI.7)$$

Биттаси ёки иккаласи ҳам текис шаклнинг симметрия ўқдари ҳисобланувчи ўқларга нисбатан марказдан қочирма инерция моментлари нолга тенг бўлади. Бундан ташқари, хукупайтма мусбат ёки манфий қийматларга ҳам эга бўлиши мумкин.

Текис шаклларнинг инерция моментлари узунлик бирлигининг тўртингчи даражаси (m^4) да ўлчанади.

Энди ўқли ва кутб инерция моментлари орасидаги боғланишни кўриб чиқамиз.

VII.2-шаклдан кўриниб турибдики,

$$\rho^2 = x^2 + y^2$$

га тенг; у ҳолда (VI.6) формула

$$J_\rho = \int_{(A)} \rho^2 dA = \int_{(A)} (x^2 + y^2) dA = \int_{(A)} x^2 dA + \int_{(A)} y^2 dA$$

ёки

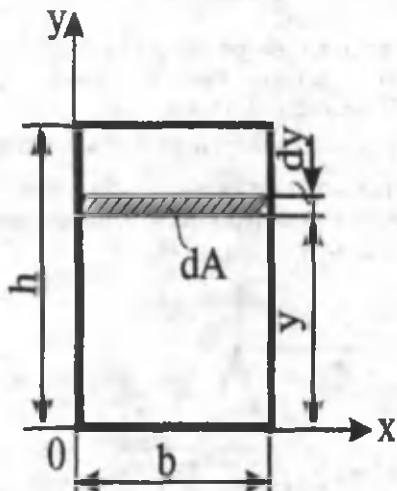
$$J_\rho = J_x + J_y \quad (VI.8)$$

кўринишга келади.

Демак, текис шаклнинг кутб инерция моменти ўзаро перпендикуляр бўлган ва кутб нуқтасидан ўтувчи ўқларга нисбатан олинган ўқли моментларнинг йигинидисига тенг экан.

6.4-§. Энг оддий текис шаклларнинг инерция моментларини ҳисоблаш

1. Түғри түртбұрчак. Асоси b ва баландлығи h бўлган түғри түртбұрчакнинг асосидан ўтувчи x ўққа нисбатан инерция моментини ҳисоблаймиз (VI.3-шакл). Бунинг учун x ўқидан иктиёрий у масофада юзаси $dA = b \, dy$ га тенг бўлган чексиз юпқа қатлам ажратиб оламиз.



VI.3-шакл.

Инерция моментининг таърифига асосан:

$$J_x = \int_{(A)} y^2 dA = \int_{(A)} y^2 b \, dy \quad (a)$$

Охирини ифодани интеграллашда унинг чегараси θ дән h гача ўзгаришини эътиборга оламиз:

$$J_x = \int_0^h y^2 b \, dy = \frac{bh^3}{3} \quad (VI.9)$$

Худди шу тартибда вертикаль у ўққа нисбатан инерция моментини аниқлаб, унинг

$$J_y = \frac{hb^3}{3} \quad (\text{VI.10})$$

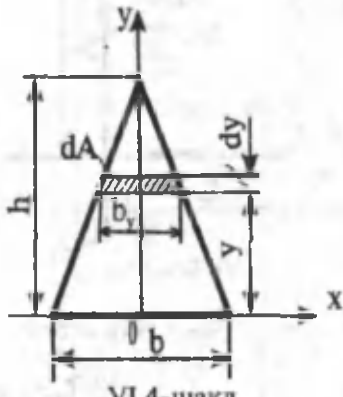
эканлигига ишонч ҳосил қилиш мүмкін.

2. Квадрат. (VI.4) ва (VI.5) формулаларга асосан, томонлари $b=h=a$ бўлган квадрат учун ўқли инерция моментларини осонгина аниқлаймиз:

$$J_x = J_y = \frac{a^4}{3} \quad (\text{VI.11})$$

3. Учбурчак. Асоси b ва баландлиги h га тенг бўлган ихтиёрий учбурчакнинг асосидан ўтувчи x ўққа нисбатан инерция моментини ҳисоблаймиз (VI.4-шакл).

Учбурчакнинг асосидан ихтиёрий у масофада қалинлиги b_y , бўлган чексиз юпқа трапеция ажратиб оламиз. Агар трапециянинг юзасини тўғри тўртбурчакнинг юзасига тахминан тенг деб олсак, у ҳолда $dA \approx b_y dy$ бўлади.



VI.4-шакл.

Учбурчакларнинг ўхшашлигидан

$$\frac{b_y}{b} = \frac{h-y}{h} \quad \text{ёки} \quad b_y = \frac{b}{h}(h-y) \quad (\text{B})$$

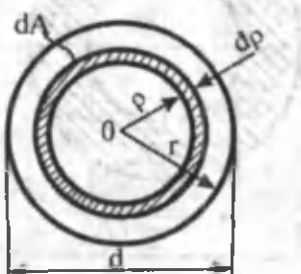
муносабатни ёзиб олиб, қуйидаги формулани ҳосил қиласиз:

$$J_x = \int_{(A)} y^2 dA = \int_0^h y^2 \cdot \frac{b}{h} (h-y) dy = \frac{bh^3}{12} \quad (\text{VI.12})$$

4. Доира. Дастралб доиранинг қутб инерция моментини аниқлаймиз: бунинг учун унинг марказидан иктиёрий масофа да юзаси $dA = 2\pi\rho d\rho$ бўлган чексиз юпқа доира ажратиб оламиз (VI.5-шакл). У ҳолда (VI.6) формулага кўра

$$J_{\rho} = 2\pi \int_0^R \rho^3 d\rho = \frac{\pi R^4}{2} = \frac{\pi D^4}{32} \quad (\text{VI.13})$$

бўлади.



VI.5-шакл.

(VI.8) формуладан фойдаланиб, доиранинг экваториал инерция моментларини аниқлаймиз. Доира ox ва oy ўқларга нисбатан симметрик шакл бўлганлиги учун унинг экваториал инерция моментлари ўзаро тенг бўлади:

$$J_x = J_y = 0,5J_{\rho} = \frac{\pi D^4}{64} \quad (\text{VI.14})$$

5. Халқа. VI.6-шаклда тасвиirlанган халқа учун инерция моменти ташқи ва ички доиралар қутб инерция моментларининг айрмасига тенг бўлади:

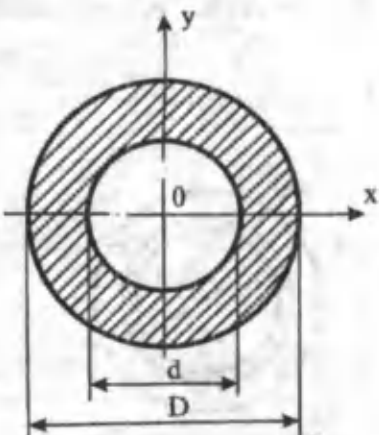
$$J_{\rho} = \frac{\pi D^4}{32} - \frac{\pi d^4}{32} = \frac{\pi D^4}{32} (1 - c^4) \quad (\text{VI.15})$$

Бу ерда, $c = \frac{d}{D}$ -ички ва ташқи диаметларнинг нисбати

бўлиб, ўлчамсиз миқдордир.

Халқанинг экваториал инерция моментлари қўйидагича то- пилади:

$$J_x = J_y = \frac{\pi D^4}{64} (1 - c^4) \quad (VI.16)$$



VI.6-шакл.

6.5-§. Мураккаб текис шаклларнинг инерция моментларини ҳисоблаш

Мураккаб текис шаклларнинг инерция моментларини ҳисоблаш аниқ интегралнинг қўйидаги хоссасига асосланган (VI.7-шакл):

$$\int_A y^2 dA = \sum_{i=1}^n \left(\int_{A_i} y^2 dA = \int_{A_1} y^2 dA + \int_{A_2} y^2 dA + \dots + \int_{A_n} y^2 dA \right) \quad (VI.17)$$

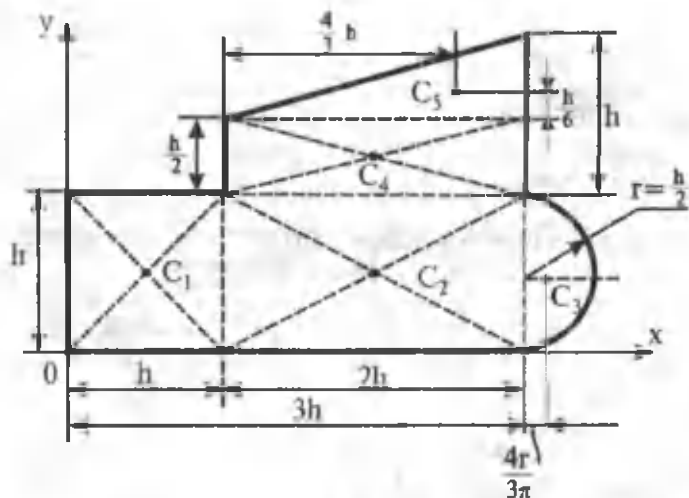
бунда $A = A_1 + A_2 + A_3 + \dots + A_n$.

Бу интегралларнинг ҳар биро тегишли қисмнинг бирорта x ўқига нисбатан инерция моментини ифодалайди:

$$J_x = J'_x + J''_x + \dots + J''_x \quad (VI.18)$$

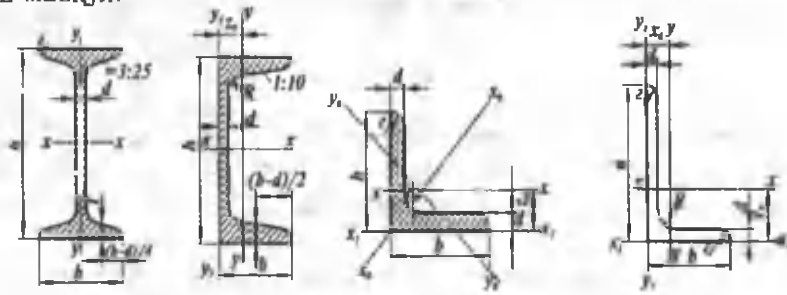
Охирги ифода мураккаб текис шаклнинг инерция моменти уни ташкил этувчи алоҳида қисмлар инерция моментларининг йигиндинсига тенг дейишга асос бўлади.

Бу қоида ёрдамида мураккаб текис шаклларнинг марказдан қочирма инерция моментларини ҳам аниқлаш мумкин.



VI.7-шакл.

Мураккаб күринищдаги текис шаклларнинг инерция моментларини осонроқ аниқлаш мақсадида, албагта, уни инерция моментлари олдиндан маълум бўлган бир неча оддий: тўғри тўртбурчак, учбурчак, доира ва шу каби текис шаклларга ажратиш маъқул.



а)

б)

в)

г)

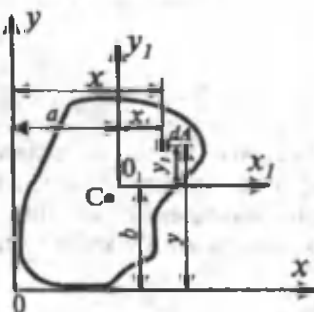
VI.8-шакл

Металл конструкция элементларининг қўштавр (VI.8-шакл, а), швеллер (VI.8-шакл, б) ҳамда тенг ёнли (VI.8-шакл, в) ёки тенг ёнли бўлмаган (VI.8-шакл, г) бурчакликлар кўринишидаги қўндаланг кесимлари стандарт ўлчамли бўлиб, улар маҳсус

жадвалларда берилади. Одатда, бундай жадваллар «сортамент»лар деб аталиб, улар кўпгина техник адабиётларда келтирилган. Сортаментларда кўндаланг кесим ўлчамларидан ташқари уларнинг юзалари, оғирлик марказининг координаталари, марказий ўқларга нисбатан инерция моментлари каби мұқим маълумотлар берилади.

6.6-§. Координата ўқлари параллел кўчганда инерция моментларининг ўзгариши

Текис шаклнинг ихтиёрий x ва y ўқларга нисбатан олинган J_x , J_y ўқли ва D_{xy} марказдан қочирма инерция моментлари маълум бўлсин (VI.9-шакл).



VI.9-шакл

Масаланинг қўйилиши қўйидагича: *текис шаклнинг x ва y ўқларга параллел ҳамда улардан a ва b масофаларда жойлашган x_1 ва y_1 ўқларга нисбатан инерция моментларини топиш талаб этилади.*

Дастлаб текис шаклдан ажратилган dA элементар юзача оғирлик марказининг янги x_1 ва y_1 ўқларга нисбатан вазиятни

$$\left. \begin{array}{l} x_1 = x - a \\ y_1 = y - b \end{array} \right\} \quad (a)$$

кўринишида ёзиб оламиз.

Инерция моментларининг таърифидан фойдаланиб, янги ўқларга нисбатан уларнинг ифодасини тузамиз:

$$\left. \begin{aligned} J_{x_1} &= \int_A y_1^2 dA = \int_A (y-b)^2 dA = \int_A y^2 dA - 2b \int_A y dA + b^2 \int_A dA \\ J_{y_1} &= \int_A x_1^2 dA = \int_A (x-a)^2 dA = \int_A x^2 dA - 2a \int_A x dA + a^2 \int_A dA \\ D_{x_1 y_1} &= \int_A x_1 y_1 dA = \int_A (x-a)(y-b) dA = \int_A xy dA - a \int_A y dA - \\ &\quad - b \int_A x dA + ab \int_A dA \end{aligned} \right\} \quad (\text{VI.19})$$

Ҳосил бўлган бу ифодаларнинг ўнг қисмидаги биринчи интеграллар текис шаклнинг эски ўқларга нисбатан олинган инерция моментларидан иборат:

$$J_x = \int_A y^2 dA, \quad J_y = \int_A x^2 dA, \quad D_{xy} = \int_A xy dA \quad (6)$$

(VI.2) формулаага асосан $S_x = \int_A y dA$ ва $S_y = \int_A x dA$ бўлиб,

улар текис шаклнинг эски ўқларга нисбатан олинган статик моментлари ҳисобланади.

Интеграл $\int_A dA = A$ бўлиб, у текис шаклнинг тўла юзасидир.

Шундай қилиб, инерция моментлари учун қуйидаги умумий муносабагларга эга бўламиз:

$$\left. \begin{aligned} J_{x_1} &= J_x - 2aS_x + b^2 A \\ J_{y_1} &= J_y - 2bS_y + a^2 A \\ D_{x_1 y_1} &= D_{xy} - aS_x - bS_y + abA \end{aligned} \right\} \quad (\text{VI.20})$$

Энди қуйидаги иккита хусусий ҳолларни таҳлил қилиб, амалда жуда кўп ишлатиладиган муҳим формулаларни ҳосил қиласиз:

а) айтайлик, O ва C нуқталар устма-уст тушсин, яъни инерция моментлари маълум бўлган ўқлар шаклнинг оғирлик марказидан ўтсин. У ҳолда $S_x = S_y = 0$ бўлиб, ўқлар ўз-ўзига параллел қилиб кўчирилганда инерция моментларининг ўзгарган қийматларини ҳисоблаш формулалари қуйидагича соддлашади:

$$\left. \begin{array}{l} J_{x_1} = J_{x_c} + a_0^2 A \\ J_{y_1} = J_{y_c} + b_0^2 A \\ D_{x_1 y_1} = D_{x_c y_c} + a_0 b_0 A \end{array} \right\} \quad (\text{VI.21})$$

бу ерда, a_0 , b_0 -марказий ўқлар билан янги ўқлар орасидаги масофалар.

(VI.21) формуланинг дастлабки иккитаси қўйидагича таърифланади: текис шаклнинг марказий ўқларга параллел йўналган ихтиёрий ўқларга нисбатан ўқли инерция моментлари шу текис шаклдан марказий ўқларга нисбатан олинган ўқли инерция моментлари билан ўқлар орасидаги масофа квадратининг бутун шакл юзасига кўпайтмаси йигинидисига тенг.

(VI.21) формуланинг охиргисини қўйидагича таърифлаймиз: текис шаклнинг марказий ўқларга параллел йўналган ихтиёрий ўқларга нисбатан марказдан қочирма инерция моменти шу текис шаклдан марказий ўқларга нисбатан олинган марказдан қочирма инерция моменти билан ўқлар орасидаги масофалар кўпайтмасининг бутун шакл юзасига кўпайтмаси йигинидисига тент.

б) текис шакл марказий ўқларнинг биттаси ёки иккаласига нисбатан симметрик бўлсин. У ҳолда $D_{x_c y_c} = 0$ бўлиб, охирги формуланинг учинчиси яна соддалашади:

$$D_{x_1 y_1} = a_0 b_0 A$$

Энди (VI.21) формулалардан фойдаланиб, тўғри тўртбурчак ва учбурчакнинг марказий ўқларга нисбатан инерция моментларини аниқлаймиз:

- тўғри тўртбурчак учун

$$J_{x_c y_c} = J_{x_1} - a_0^2 A = \frac{bh^3}{3} - \left(\frac{h}{2}\right)^2 bh = \frac{bh^3}{12} \quad (\text{VI.22})$$

$$J_{y_c} = J_{y_1} - b_0^2 A = \frac{hb^3}{12} \quad (\text{VI.23})$$

бу ерда,

$$a_0 = \frac{h}{2}; \quad b_0 = \frac{b}{2}$$

- учбурчак учун

$$J_{x_1} = J_{x_1} - a_0^2 A = \frac{bh^3}{12} - \left(\frac{h}{3}\right)^2 \frac{bh}{2} = \frac{bh^3}{36} \quad (\text{VI.24})$$

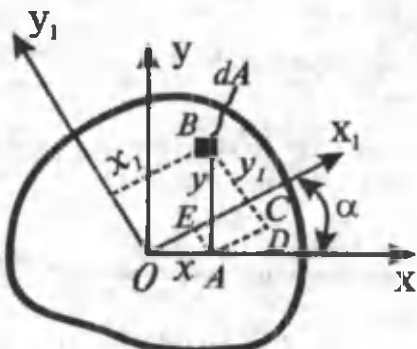
$$J_{y_1} = J_{y_1} - b_0^2 A = \frac{hb^3}{36} \quad (\text{VI.25})$$

бунда

$$a_0 = \frac{h}{3}; \quad b_0 = \frac{b}{3}$$

6.7-§. Ўқлар бурилганда инерция моментларининг ўзгариши

Айтайлик, текис шаклнинг ихтиёрий x ва y ўқларга нисбатан олинган J_x , J_y ўқли ва D_{xy} марказдан қочирма инерция моментлари маълум бўлсин (VI.10-шакл).



VI.10-шакл

Масаланинг қўйилиши қўйидагича: шу шаклнинг x ва y ўқларга нисбатан бирор α бурчакка бурилган x_1 ва y_1 ўқларга нисбатан инерция моментларини аниқлаш талаб этилади.

Аввало, текис шаклдан ажратилган dA элементар юзача оғирлик марказининг янги ўқларга нисбатан ҳолатини қўйидагича ифодалаймиз:

$$\left. \begin{array}{l} x_1 = 04 + 35 \\ y_1 = 13 - 23 \end{array} \right\} \quad \text{ёки} \quad \left. \begin{array}{l} x_1 = x \cos \alpha + y \sin \alpha \\ y_1 = y \cos \alpha - x \sin \alpha \end{array} \right\} \quad (a)$$

Бу тенгликларни назарда тутиб, берилган текис шаклнинг инерция моментларини

$$J_{x_1} = \int_A y_1^2 dA = \int_A (y \cos \alpha - x \sin \alpha)^2 dA = \cos^2 \alpha \int_A y^2 dA + \sin^2 \alpha \int_A x^2 dA - 2 \sin \alpha \cos \alpha \int_A xy dA,$$

$$J_{y_1} = \int_A x_1^2 dA = \int_A (x \cos \alpha + y \sin \alpha)^2 dA = \cos^2 \alpha \int_A x^2 dA + \sin^2 \alpha \int_A y^2 dA + 2 \sin \alpha \cos \alpha \int_A xy dA,$$

$$D_{x_1 y_1} = \int_A x_1 y_1 dA = \int_A (x \cos \alpha + y \sin \alpha)(y \cos \alpha - x \sin \alpha) dA = \cos^2 \alpha \int_A xy dA + \sin \alpha \cos \alpha \int_A y^2 dA - \sin \alpha \cos \alpha \int_A x^2 dA - \sin^2 \alpha \int_A xy dA$$

кўринишларда ёзиг оламиз.

Инерция моментларининг таърифига кўра,

$$J_x = \int y^2 dA, \quad J_y = \int x^2 dA, \quad D_{xy} = \int xy dA \quad (6)$$

эквалитини эътиборга олиб, охирги формулаларни қўйидагича ёзамиш:

$$\left. \begin{array}{l} J_{x_1} = J_x \cos^2 \alpha + J_y \sin^2 \alpha - D_{xy} \sin 2\alpha \\ J_{y_1} = J_y \cos^2 \alpha + J_x \sin^2 \alpha + D_{xy} \sin 2\alpha \\ D_{x_1 y_1} = D_{xy} \cos 2\alpha + \frac{1}{2} (J_x - J_y) \sin 2\alpha \end{array} \right\} \quad (VI.26)$$

Бу формулалар ёрдамида координата ўқлари маълум бурчакка бурилганда инерция моментларининг ўзгарган қийматлари ҳисобланади.

(VI.26) ифоданинг дастлабки иккитасини ҳадлаб қўшиб, ўзаро тик ўқларга нисбатан олинган инерция моментларининг йигиндиси ўзгармас миқдор эканлигига ва ўқларнинг бурилиш бурчагига боғлиқ эмаслигига ишонч ҳосил қиласиз:

$$J_{x_1} + J_{y_1} = J_x + J_y = \text{const} \quad (\text{VI.27})$$

6.8-§. Бош инерция ўқлари ва бош инерция моментлари

Бош инерция ўқлари деб, текис шаклнинг ихтиёрий нуқтасидан ўтувчи шундай иккита ўзаро перпендикуляр ўқларга айтилади, бу ўқларга нисбатан олинган ўқли инерция моментлари экстремал (максимал ёки минимал) қийматларга, марказдан қочирма инерция моментлари эса нолга тенг бўлади.

Одатда, бош инерция ўқларига нисбатан олинган инерция моментлари **бош инерция моментлари** дейилади ҳамда J_{max} ва J_{min} лар билан белгиланади.

Бош инерция ўқларининг яна шундай ўзига хос хусусияти мавжудки, максимал ўқ доимо ўқли инерция моменти катта бўлган ўқ билан кичик бурчак ташкил қиласиз.

Шуни таъқидлаб ўтиш мухимки, қўпгина масалаларни счаётганда текис шаклларнинг оғирлик марказидан ўтувчи бош ўқларга нисбатан инерция моментларини аниқлашга тўри келади.

Текис шаклнинг оғирлик марказидан ўтувчи бош инерция ўқлари **марказий бош инерция ўқлари** деб аталади: бу ўқларга нисбатан олинган бош инерция моментлари эса **марказий бош инерция моментлари** дейилади.

Энди бош инерция ўқларининг ҳолатини аниқлашга ўтамиз; бунинг учун (VI.26) формуланинг биринчисидан $\alpha=\alpha_0$ аргумент бўйича биринчи тартибли ҳосила оламиз:

$$\begin{aligned} \left(\frac{dJ}{d\alpha} \right)_{\alpha=\alpha_0} &= 2 J_x \cos \alpha (-\sin \alpha) + 2 J_y \sin \alpha \cos \alpha - 2 D_{xy} \cos 2\alpha = \\ &= -2 \left[\frac{(J_x - J_y)}{2} \sin 2\alpha_0 + D_{xy} \cos 2\alpha_0 \right] = -2 D_{xy} |\alpha_0| \end{aligned} \quad (\text{a})$$

Бош инерция ўқларининг таърифига асосланаб, охирги ифоданинг ўнг томонини нолга тенглаймиз ва қавс ичидаги ифодани α₀ бурчакка нисбатан ечамиз:

$$\operatorname{tg} 2\alpha_0 = - \frac{2D_{xy}}{J_x - J_y} \quad (\text{VI.28})$$

Бу ифодани α₀ нинг 90° фарқ қиласидиган иккита қиймати қаноатлантиради. Шу сабабли, (VI.28) формула ёрдамида бош инерция ўқларининг ҳолати аниқланади.

Бош инерция ўқларининг ҳолати аниқлангандан кейин тригонометриядан маълум бўлган қуйидаги формулаларни

$$\left. \begin{aligned} \cos 2\alpha_0 &= \frac{1}{\pm \sqrt{1 + \operatorname{tg}^2 2\alpha_0}} = \pm \frac{J_x - J_y}{\sqrt{(J_x - J_y)^2 + 4D_{xy}^2}} \\ \sin 2\alpha_0 &= \operatorname{tg} 2\alpha_0 \cdot \cos 2\alpha_0 = \pm \frac{2D_{xy}}{\sqrt{(J_x - J_y)^2 + 4D_{xy}^2}} \\ \cos^2 \alpha_0 &= \frac{1}{2}(1 + \cos 2\alpha_0) = \frac{1}{2} \left(1 \pm \frac{J_x - J_y}{\sqrt{(J_x - J_y)^2 + 4D_{xy}^2}} \right) \\ \sin^2 \alpha_0 &= \frac{1}{2}(1 - \cos 2\alpha_0) = \frac{1}{2} \left(1 \pm \frac{J_x - J_y}{\sqrt{(J_x - J_y)^2 + 4D_{xy}^2}} \right) \end{aligned} \right\} \quad (6)$$

кўринишларда осонгина ёзиб олиш мумкин.

Охирги ифодаларни эътиборга олиб, тегишли соддалаштиришлардан кейин (VI.26) формуланинг биринчисини қўйидагича ёзамиш:

$$\left. \begin{aligned} J_{\max} &= \frac{J_x + J_y}{2} + \frac{1}{2} \sqrt{(J_x - J_y)^2 + 4D_{xy}^2} \\ J_{\min} &= \frac{J_x + J_y}{2} - \frac{1}{2} \sqrt{(J_x - J_y)^2 + 4D_{xy}^2} \end{aligned} \right\} \quad (\text{VI.29})$$

Бу формулалар ёрдамида бош инерция моментларининг максимал ва минимал қийматлари аниқланади.

Баъзан бош инерция ўқларининг ҳолатини J_{max} ва J_{min} лар орқали ҳам топиш мумкин. Қуйида ох билан J_{max} ва J_{min} лар орасидати α_{1x} ва α_{2x} бурчакларни топиш имконини берадиган формулаларни исботсиз келтирамиз:

$$\left. \begin{aligned} \operatorname{tg} \alpha_{1x} &= \frac{D_{xy}}{J_y - J_{max}} \\ \operatorname{tg} \alpha_{2x} &= \frac{D_{xy}}{J_y - J_{min}} \end{aligned} \right\} \quad (\text{VI.30})$$

6.9-§. Текис шаклларнинг қаршилик моментлари

Текис шаклнинг ўқли қаршилик моменти деб, бирор ўққа нисбатан олинган инерция моментининг шу ўқдан мазкур шаклда жойлашган энг узоқдаги нуқтагача бўлган масофага нисбати билан ўлчанадиган катталикка айтилади (VI.11-шакл):

х ўқига нисбатан

$$W_x = \frac{J_x}{y_{max}} \quad (\text{VI.31})$$

у ўқига нисбатан

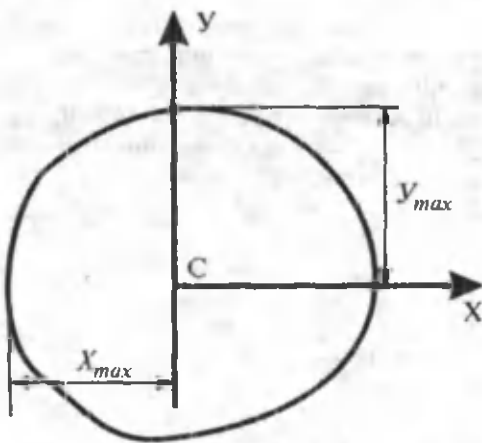
$$W_y = \frac{J_y}{x_{max}} \quad (\text{VI.32})$$

Текис шаклнинг кутб қаршилик моменти деб, кутб инерция моментининг кутб нуқтасидан мазкур шаклда жойлашган энг узоқдаги нуқтагача бўлган масофага нисбати билан ўлчанадиган катталикка айтилади:

$$W_p = \frac{J_p}{\rho_{max}} \quad (\text{VI.33})$$

Текис шаклларнинг қаршилик моментлари узунлик ўлчовининг учинчи даражаси (m^3) да ўлчанади.

Энди баъзи оддий текис шаклларнинг марказий ўқларга нисбатан қаршилик моментларини ҳисоблаймиз.



VI.11-шакл

1. **Түғри түртбұрчак.** Түғри түртбұрчакли шакл учун $y_{max} = \frac{h}{2}$ әмбden $x_{max} = \frac{b}{2}$ бұлғанлыги учун (VI.31) әмбden (VI.32) формулаларга асосан

$$W_{xc} = \frac{bh^2}{6} \quad (VI.34)$$

$$W_{yc} = \frac{hb^2}{6} \quad (VI.35)$$

әканлыги келиб чиқади.

2. **Доира.** Доиралык шакллар учун

$$y_{max} = x_{max} = \rho_{max} = \frac{d}{2}$$

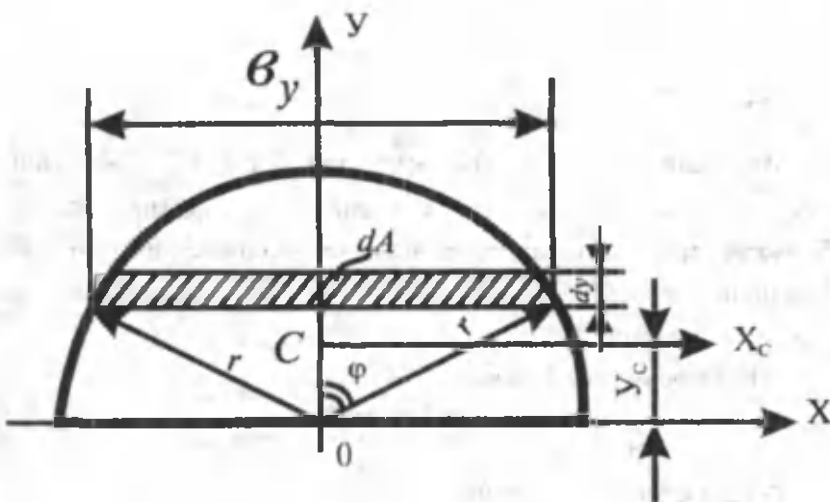
бұлғанлыгини эңтиборга олиб, юқоридағы формулаларга асосан үқли әмбden қутб қаршиликтік моментларини ҳысаблаймиз:

$$W_{xc} = W_{yc} = \frac{\pi d^3}{32} \quad (VI.36)$$

$$W_{\rho} = \frac{\pi d^3}{16} \quad (VI.37)$$

23-масала. VI.12-шаклда тасвирланган ярим доира учун қуийдагиларни анықлаш талаб этилади:

- оғирлик марказ координаталари;
- бөш марказий инерция ўқларининг ҳолати;
- бөш марказий инерция моментларининг қиймати.



VI.12-шакл.

Ечиш

а) берилған текис шакл вертикаль ўққа нисбатан симметрик жойлашғанлиғи учун, унинг оғирлик марказы шу ўқ устида ётиши табиий. Шунинг учун оғирлик марказ координатаси ҳисобланған у масофани анықлаш кифоя.

Штрихланған қатламнинг юзачаси

$$dA \approx b_y dy = 2r \sin \varphi \cdot dy$$

га теңг.

Чизмадан $y = r \cdot \cos \varphi$ эканлығы маълум.

Янги ўзгарувчини киритамиз: $dy = -r \sin \varphi \cdot d\varphi$

(VI.2) формуладан фойдаланамиз:

$$S_x = \int_{(A)} y dA = \int_{y=0}^{y=r} \int_{\varphi=0}^{\pi/2} r \sin \varphi \cdot r \cos \varphi \cdot r \sin \varphi (-r \sin \varphi) d\varphi = \\ = -2r^3 \int_{x_2}^0 \sin^3 \varphi \cdot \cos \varphi d\varphi = -2r^3 \left(\frac{\sin^3 \varphi}{3} \right) \Big|_{x_2}^0 = \frac{2}{3} r^3$$

Демак, $y_c = \frac{S_x}{A} = \frac{4r}{3\pi}$.

Марказий бош инерция ўқларидан бири y_c симметрия ўқи, иккинчиси эса унга тик жойлашган x_c горизантал ўқдир. Бошқача қилиб айтганда, текис шакл бигта симметрия ўқига эга бўлганилиги учун $D_{x_c y_c} = 0$ га тенг; бундан чиқди, $\operatorname{tg} \alpha_0 = 0$ ёки $\alpha_0 = 0$ га тенг.

(VI.14) формулага биноан:

$$J_x = J_{y_c} = 0,5 \frac{\pi d^4}{64} = \frac{\pi r^4}{8} \approx 0,393 \cdot r^4$$

(VI.21) формуладан фойдаланамиз:

$$J_{x_c} = J_x - y_c^2 A = \frac{\pi r^4}{8} - \left(\frac{4r}{3\pi} \right)^2 \cdot \frac{1}{2} \pi r^2 \approx 0,111 r^4.$$

24-масала. VI.13-шаклда тасвирланган кесим юзанинг x , y ўқларига нисбатан ўқли ва марказдан қочирма инерция моментлари топилсин.

Ечиш

Чизмадан $dA \approx b_j dy = \sqrt{r^2 - y^2} dy$ эканлиги маълум.

Энди $y = r \sin \varphi$ янги ўзгарувчи киритамиз ва уни дифференциаллаймиз: $dy = r \cos \varphi d\varphi$.

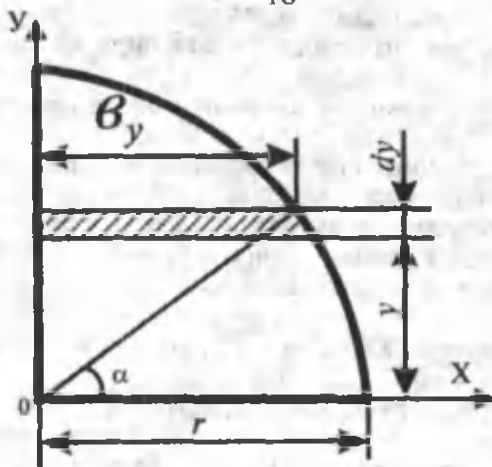
Интеграл чегарасини 0 дан $\frac{\pi}{2}$ гача олиб, $J_x = \int_{(A)} y^2 dA$

ни ҳисоблаймиз:

$$J_x = \int_0^{\frac{\pi}{2}} r^2 \sin^2 \varphi / [r^2 - r^2 \sin^2 \varphi] \cdot r \cos \varphi d\varphi = \frac{\pi \cdot r^4}{16}$$

Худди шунга үхшаш:

$$J_y = \frac{\pi \cdot r^4}{16}$$



VI.13-шакл.

Штрихланган қатлам учун dD_{xy} ни топишда қыйидаги формуладан фойдаланамиз:

$$dD_{xy} = \frac{b}{2} y dA = \frac{r^4}{2} \cos^3 \varphi \cdot \sin \varphi d\varphi$$

$$\text{Бундан } D_{xy} = \frac{r^4}{2} \int_0^{\frac{\pi}{2}} \cos^3 \varphi \sin \varphi d\varphi = \frac{r^4}{8} = \frac{d^4}{128}$$

Эканлиги келиб чиқади.

Назорат саволлари ва топшириқлар

1. Текис шаклнинг статик моменти унинг юзаси ва оғирлик маркази координаталари орқали қандай ифодаланади?
2. Текис шаклнинг оғирлик марказидан ўтувчи ўққа нисбатан статик моменти нимага teng?
3. Текис шаклнинг оғирлик маркази координаталари қандай формулалардан топилади?
4. Ўқли, кутб ва марказдан қочирма инерция моментлари формулаларини ёзинг ҳамда тушунтириңг.
5. Инерция моментларининг қайси бири ҳамма вақт мусбат қийматта эга?
6. Марказдан қочирма инерция моментлари қачон нолга teng бўлади?
7. Текис шаклнинг статик моменти ва инерция моментларининг ўлчам бирликларини ёзинг.
8. Ўқлар параллел кўчирилганда ёки маълум бурчакка бурилганда инерция моментларининг қийматлари ўзгаришини ифодаловчи формулаларни ёзинг ва уларнинг моҳиятини тушунтириңг.
9. Бош инерция ўқлари ва бош инерция моментлари деганда нимани тушунсаниз?
10. Тўғри тўргубурчак, квадрат, тўғри бурчакли учбурчак ва доиравий текис шаклларнинг марказий ўқларга нисбатан ўқли инерция моментлари қандай формулалар ёрдамида ҳисобланади?
11. Мураккаб текис шаклларнинг инерция моментлари қандай аниқланади?

VII БОБ. БУРАЛИШ

Агар кучланиш ҳолатидаги бруснинг кундаланг кесимларида ички кучлардан фақат бровчи момент мавжуд бўлиб, қолганлари эса нолга тенг бўлса, у ҳолда **буралиш деформацияси** содир бўлади.

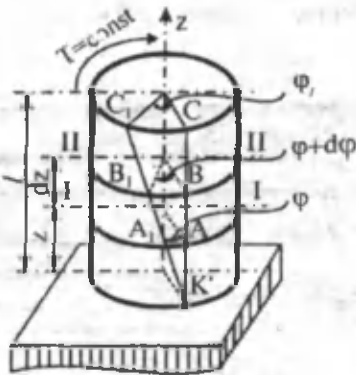
Буралишга қаршилик кўрсатувчи доиравий кесимли брусга вал дейилади.

Амалда буралиш деформациясини жуда кўп учратиш мумкин. Масалан, тирсакли, трансмиссион ва ўзу сингари валлар, фазозий конструкция элементлари, пружиналарниң ўрамлари, болт ва ўзу қабилар асосан буралиш деформациясига қаршилик кўрсатади.

Материаллар қаршилиги фанида фақат доиравий кесим юзали яхлит ва ғовак валларнинг буралиши ўрганилади.

7.1-§. Валнинг буралиши

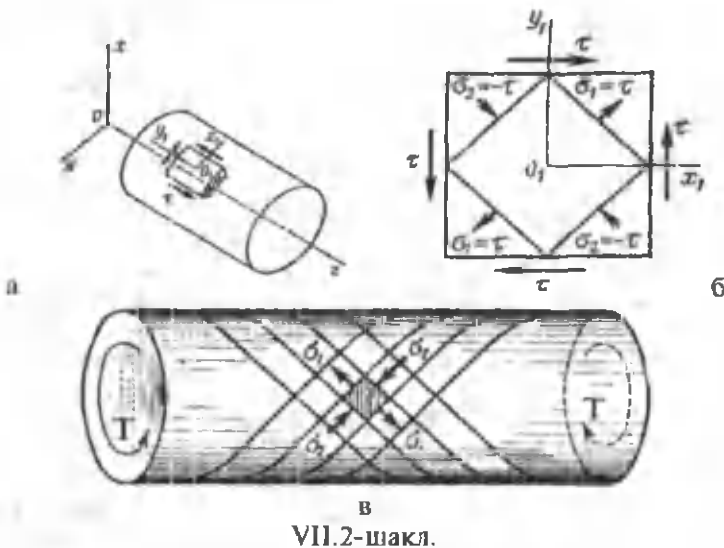
Айтайлик, бир учи билан маҳкамланган, иккинчи учига эса $T = T_e = \text{const}$ (индексдаги «e» инглизча *external* - ташқи деган маънони англатади) бровчи момент қўйилган доиравий кесимли яхлит вал буралишга қаршилик кўрсатаётган бўлсин (VII.1-шакл).



VII.1-шакл.

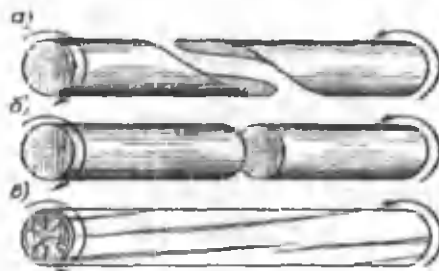
Валнинг кўндалант кесимларида ҳосил бўлувчи кучланиш ва деформацияларни аниқлаш билан шугууланамиз.

Буровчи момент таъсиридан валнинг барча кесимларида урунма кучланишлар пайдо бўлиши бизга олдиндан мътум. Шу боис томонлари валнинг кўндалант ва бўйлама кесимларига параллел бўлган элемент соғ силжиш ҳолатида бўлади (VII.2-шакл, а, б).



VII.2-шакл.

Вал ўқига 45° қиятиқдаги юзалар бош юзалар бўлиб, улардаги чўзувчи ва сиқувчи бош кучланишлар τ урунма кучланишга тенг бўлади (VII.2-шакл, в).



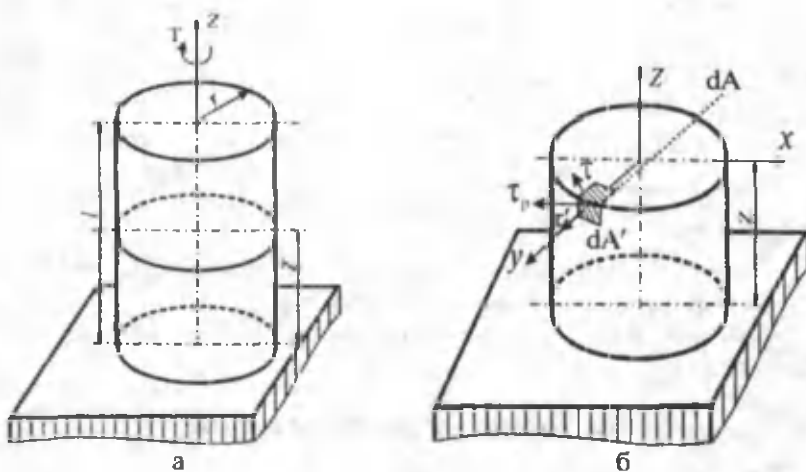
VII.3-шакл.

Тажриба натижалари турли хил мүрт, пластик, анизотроп материаллардан ясалған вал шаклидаги намуналарнинг буралиш оқибатида пайдо бўлувчи емирилиш жараёни турлича эканлигини тасдиқлайди (VII.3-шакл, а, б, в).

I. Масаланинг статик томони

Одатдагидек, қуйидаги ишларни кетма-кет бажарамиз:

- 1) вални таянчдан ихтиёрий з баландликдан ўтувчи ва симметрия ўқига перпендикуляр бўлган текислик билан фикран кесамиз (VII.4-шакл, а);
- 2) валнинг бир қисмини ташлаб юбориб, қолган қисмини эса алоҳида ажратиб кўрсатамиз (VII.4-шакл, б);
- 3) ташланган қисмнинг ажратиб олинган қисмга кўрсатган таъсирини буровчи момент билан алмаштирамиз.



VII.4-шакл.

Буровчи момент таъсиридан валнинг ихтиёрий кесимларида ҳосил бўладиган урунма кучланишнинг йўналишини аниқлаймиз.

Фараз қилайлик, кўндаланг кесимдан ажратилган элементар dA юзача оу ўқи билан ихтиёрий α бурчак ҳосил қилувчи τ_p урунма кучланиш таъсирида бўлсин. Бу кучланишнинг радиал

ва тангенциал йўналишлардаги ташкил этувчиларини мос ра-вишда τ' ва τ лар билан белгилаб,

$$\tau' = \tau_p \cos \alpha, \quad \tau = \tau_p \cdot \sin \alpha \quad (a)$$

ифодаларга эга бўламиз.

Урунма кучланишларнинг жуфтлик қонунидан маълумки, τ' радиал урунма кучланиш элементар dA юзачага перпендикуляр ва вал сиртида жойлашган элементар dA' юзачадаги урунма кучланишга тенг бўлиши керак. Чизмадан кўриниб турибдики, валнинг сиртига ҳеч қандай куч таъсир кўрсатмаяпти, аникрофи, dA' юзачадаги урунма кучланишнинг қиймати нолга тенг. Шунинг учун ҳам элементар dA юзачадаги урунма кучланиш $\tau_p = \tau$ бўлиб, у кесим радиусига тик йўналади.

4) статиканинг мувозанат тенгламаларини тузамиш:

$$\left. \begin{array}{lll} \sum X_i = 0 & \text{ёки} & \int \tau dA \sin \alpha = 0 \\ \sum Y_i = 0 & \text{ёки} & \int \tau dA \cos \alpha = 0 \\ \sum M_{zi} = 0 & \text{ёки} & \int \tau dA \rho - T = 0 \end{array} \right\} \quad (b)$$

бу ерда,

τ - ихтиёрий dA элементар юзачадаги урунма кучланиш;

ρ - элементар юзачанинг радиус-вектор;

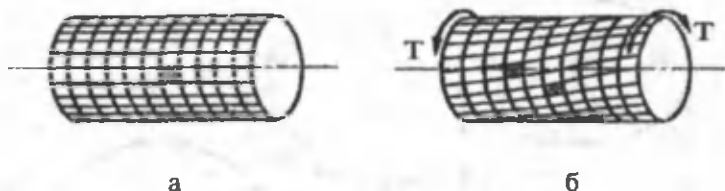
α - радиус-векторнинг абсцисса ўки билан ташкил этган бурчаги.

II. Масаланинг геометрик томони

Масалани геометрик нуқтаи назардан таҳлил қилишдан олдин, валларнинг буралишига оид ўтказилган тажрибалардан келиб чиқсан қўйидаги муҳим холосалар билан танишиб чиқамиз:

- деформациягача текис ва валнинг буралиш (бўйлама симметрия) ўқига тик бўлган барча кўндаланг кесимлар деформациядан кейин яна текислигича ҳамда мазкур ўққа нисбатан тикилигича қолади. Фақатгина улар буралиш ўки атрофига бир-бирларига нисбатан бурилади, холос;

- буралиш натижасида барча күндаланг кесимларнинг радиуслари ўзларининг деформациягача бўлган узунилкларини ўзгартирмайди, яъни кесим гардиши айланалигича қолади;
- валнинг сиртидаги тўр ҳосил қилган квадратлар буралиш натижасида деярли бир хил ромбларга айланади (VII.5-шакл, а,б). Бундан валнинг күндаланг ва бўйлама кесимларида (урунма кучланишларнинг жуфтлик қонунига асосан) урунма кучланишлар пайдо бўлади, деган холоса келиб чиқади;
- буралиш натижасида барча ихтиёрий қўшни күндаланг кесимлар орасидаги масофалар ўзгармайди. Бу эса валнинг күндаланг ва бўйлама кесимларида нормал кучланишлар мавжуд бўлмаслигини тасдиқлайди.



VII.5-шакл.

Шуни ҳам таъкидлаб ўтиш ўринлики, юқоридаги холосалар валлар буралганда ҳосил бўладиган кучланиш ва деформацияларнинг кесим юза бўйича ўзариш қонуниятини аниқлашга имкон беради.

Энди валдан ўзаро параллел ҳамда γ ўқига тик бўлган I-I ва II-II текисликлари ёрдамида фикран ажратиб олинган чексиз кичик dz қалинликдаги дискни текширамиз (VII.6-шакл).

Агар дискни пластки қисми билан маҳкамланган деб қарасак, у ҳолда деформация туфайли унинг юқори қисми бирорта бурчакка айланиши табиий. Аниқроғи, oa радиус $d\phi$ бурчакка айланиб, oa' ҳолатни ва ac кесмаси эса γ бурчакка силжиб $a'c$ ҳолатни эгаллайди.

Энди γ ва $d\phi$ бурчаклари орасидаги боғланишни келтириб чиқарамиз. Бунинг учун aa' ёйни, биринчидан $\Delta aa'c$ учбурчакдан

$$aa' = ac \cdot \operatorname{tg} \gamma \equiv dz \quad (b)$$

ва иккинчидан эса изланаёттган ёйнинг $d\phi$ марказий бурчакка тиравалганилигидан фойдаланиб

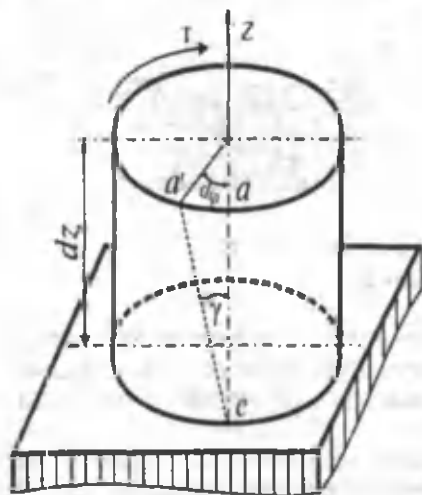
$$aa' = oa \cdot d\phi = r \cdot d\phi \quad (\text{г})$$

күринишларда аниқлаймиз.

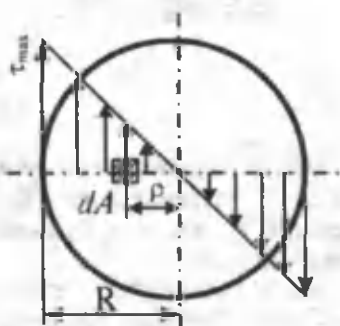
(в) ва (г) ифодаларни ўзаро тенглаб, вал сиртидаги нисбий силжишини

$$\gamma = r \cdot \frac{d\phi}{dz} \quad (\text{д})$$

шаклида ёзib оламиз.



VII.6-шакл



VII.7-шакл

(д) ифодадаги $\frac{d\phi}{dz}$ миқдорининг ўлчами m^{-1} бўлиб, нисбий буралиш бурчаги дейилади ва θ_z билан белгиланади:

$$\theta_z = \frac{d\phi}{dz} \quad (\text{VII.1})$$

Демак, нисбий силжиш ва нисбий буралиш бурчаклари орасида қўйидаги муносабат мавжуд экан:

$$\gamma = r \cdot \theta_z \quad (\text{VII.2})$$

Кесим марказидан ихтиёрий ρ масофада жойлашган нүқталар учун охирги ифодани табиқ этсак

$$\gamma_\rho = \rho \cdot \theta \quad (\text{VII.3})$$

күринишдаги формулага эга бўламиз.

III. Масаланинг физик томони

Биз масалани геометрик нүқтаи назардан текширганимизда валдан ажратилган элементар дискнинг соғ силжиш деформациясига қаршилик кўрсатишига ишонч ҳосил қилдик. Шу сабабли, буралиш пайтида валларнинг кўндаланг кесимларидағи урунма кучланишлар қўйидагича аниқланади:

$$\tau = G\gamma = Gr\theta \quad \text{ёки} \quad \tau_\rho = G\rho\theta \quad (\text{VII.4})$$

Демак, урунма кучланиш кесимнинг радиус-векторига тўғри мутаносиб боғланишда бўлиб, қутб бурчагига боғлиқ эмас экан.

IV. Синтез

(VII.4) ифолани эътиборга олиб, мувозанат тенгламаларининг дастлабки иккитасини қўйидагича ёзамиш:

$$\left. \begin{aligned} \int_{(A)} \tau_\rho dA \sin \alpha &= \int_{(A)} G\rho\theta dA \sin \alpha = G\theta \int_{(A)} y dA = 0 \\ \int_{(A)} \tau_\rho dA \cos \alpha &= \int_{(A)} G\rho\theta dA \cos \alpha = G\theta \int_{(A)} x dA = 0 \end{aligned} \right\}$$

Охирги тенгламалардаги $G\theta \neq 0$, лекин $S_x = \int_{(A)} y dA$ ва

$S_y = \int_{(A)} x dA$ статик моментлар эса нолга тенг бўлади, чунки x

ва у ўқлар доиравий кесим юзанинг марказий ўқлари эканлиги чизмадан яққол кўриниб турибди.

Демак, валнинг кўндаланг кесимидан ўтувчи буровчи моментни урунма кучланишлар мувозанатлар экан:

$$T = \int_{(A)} \tau_\rho \rho dA$$

(VII.4) ифодадаги τ_ρ нинг қийматини охирги формулага

келириб күйиб, қуйидагига эга бўламиш:

$$T = \int_A G\theta \rho^2 dA = G\theta J_\rho$$

Бунда $\int_A \rho^2 dA = J_\rho$ доира юзининг қутб инерция моменти

эканлиги бизга аввалдан маълум.

Охирги ифодадан

$$\theta = \frac{T}{GJ_\rho} \quad (\text{VII.5})$$

эканлигини эътиборга олиб, кўндаланг кесимнинг исталган нуқтасидаги урунма кучланишини аниқловчи формулани ҳосил қиласиз:

$$\tau_\rho = \frac{T}{J_\rho} \cdot \rho \quad (\text{VII.6})$$

VII.7-шаклда урунма кучланишнинг кўндаланг кесимда чизиқли қонуният бўйича ўзгариши тасвирланган; бу кучланиш кесим марказида нолга teng бўлиб, кесимнинг гардишидаги $\rho_{max} = R$ бўлган нуқтада эса энг катта қийматга эришади:

$$\tau_{max} = \frac{T}{J_\rho} \cdot R$$

ёки

$$\tau_{max} = \frac{T}{W_\rho} \quad (\text{VII.7})$$

бу ёрда, $W_\rho = \frac{J_\rho}{\rho}$ - буралишдаги қаршилик моменти.

Энди валларнинг буралишдаги деформацияси-буралиш бурчагини аниқлашга ўтамиш.

(VII.1) ифодани эътиборга олиб, (VII.5) формулани қуйидагича ёзамиш (кейинчалик $T=T_e=const$ деб ўқилади):

$$\frac{d\varphi}{dz} = \frac{T_e}{GJ_\rho}$$

ёки

$$d\varphi = \frac{T_e}{GJ_\rho} dz \quad (\text{VII.8})$$

Буровчи момент ва валнинг бикрлиги GJ_ρ ни ўзгармас деб, охириги тенгламани з бўйича интеграллаймиз:

$$\varphi_z = \frac{T_e}{GJ_\rho} \cdot z + C \quad (\text{VII.9})$$

Валнинг маҳкамланган кесими бурилмаслигини ифодаловчи шартдан фойдаланиб, интеграл доимийси C ни аниқлаймиз:

$z=0$ бўлганда A кесим бурилмайди, яъни $\varphi_z = \varphi_A = 0$ бўлади. Шунинг учун интеграл доимийси $C=0$ бўлиб,

$$\varphi_z = \frac{T_e}{GJ_\rho} \cdot z \quad (\text{VII.10})$$

эканлиги келиб чиқади.

Демак, валнинг маҳкамланган кесимига нисбатан з масофада жойлашган кесимнинг буралиш бурчаги мазкур масофага тўғри мутаносиб равишда ўзгарар экан.

Энг катта буралиш бурчаги валнинг эркин учидаги ҳосил бўлиб, унинг қиймати

$$\varphi = \frac{T_e}{GJ_\rho} \cdot l \quad (\text{рад}) \quad (\text{VII.11})$$

$$\text{ёки } \varphi^0 = \frac{180^\circ}{\pi} \cdot \frac{T_e \cdot l}{GJ_\rho} \quad (\text{град}) \quad (\text{VII.12})$$

формулалардан топилади.

Охириги ифодалар шаклан ва мазмунан чўзилиш (сиқилиш)даги мутлақ деформацияни аниқлайдиган (III.8) формулагага ўхшайди. Шу сабабли, кўпинча уларни буралишдаги Гук қонуни деб ҳам қараш мумкин.

Охириги формулалардан валнинг бирлик узунлигига тўғри келувчи нисбий буралиш бурчагини аниқлаймиз:

$$\theta = \frac{\varphi}{l} = \frac{T_e}{GJ_p} \quad (\text{рад}) \quad (\text{VII.13})$$

ёки

$$\theta^0 = \frac{180^0}{\pi} \cdot \frac{T_e}{GJ_p} \quad (\text{град}) \quad (\text{VII.14})$$

Энди юқорида олинган барча формулаларни 7.1-жадвалга ёзамиз.

7. 1-жадвал

Доираний кесимли валларнинг буралиши	
масалани таҳтилай урганиш кетма-кетлиги	формулалар
1 <i>статик нуқтаи назардан ёндашиш</i>	$T = \int r \rho dA$ (A)
2 <i>геометрик нуқтаи назардан ёндашиш</i>	$\gamma = r \frac{d\varphi}{dz}$ ёки $\gamma = r \cdot \theta$, $\gamma_\rho = \rho \cdot \theta$
3 <i>физик нуқтаи назардан ёндашиш</i>	$\tau = G r \theta$ ёки $\tau_\rho = G \rho \theta$
4 <i>хуласа</i>	$\theta = \frac{T}{GJ_p}$ ёки $\theta^0 = \frac{180^0}{\pi} \cdot \frac{T}{GJ_p}$ $\varphi = \frac{T}{GJ_p} \cdot l$ ёки $\varphi^0 = \frac{180^0}{\pi} \cdot \frac{T}{GJ_p} \cdot l$

7.2-§. Валнинг буралишдаги мустаҳкамлик шарти

Валнинг буралишдаги мустаҳкамлик шарти қўйидаги кўринишда ёзилади:

$$\tau_{max} = \frac{T}{W_p} \leq \tau_{adm} \quad (\text{VII.15})$$

бу ерда, τ_{adm} -урунма кучланишнинг жоиз қиймати бўлиб, у кўпинча оддий чўзиши ёки сиқилишдаги жоиз нормал кучланишнинг $0,5 \div 0,6$ қисмига тенг қилиб олинади.

(VII.15) ҳисоб тенгламаси ёрдамида доиравий кесимли яхлит ва ғовак валлар учун қўйидаги учта масалаларни ечиш мумкин:

а) валнинг кесимидаги кучланиши текшириш масаласи; бу масаланинг моҳияти шундаки, агар валнинг кесим юза ўлчамлари ва унга қўйилган T маълум бўлса, у ҳолда (VII.7) формула бўйича ўзига хос кесимдаги максимал урунма кучланиш аниқланиб, τ_{adm} билан солиштирилади:

$$\tau_{max} \leq \tau_{adm} \quad (a)$$

б) вал узата оладиган максимал буровчи моментни аниқлаш масаласи; агар валнинг кесим юза ўлчамлари ва унинг материали учун жоиз урунма кучланиш маълум бўлса, у ҳолда бу масала

$$T_{max} \leq \tau_{adm} \cdot W_p \quad (b)$$

формула ёрдамида ечилади.

в) янги валларни лойиҳалаш масаласи; бу масалани ечиш учун вал материалынинг жоиз урунма кучланиши ва ўзига хос кесимдаги энг катта буровчи момент маълум бўлиши керак. Масалан, (б) формулага қаршилик моментининг ифодасини қўйиб, яхлит вал учун қўйидаги муносабатга эга бўламиш:

$$\frac{16T}{\pi D^3} \leq \tau_{adm} \quad (b)$$

бундан

$$D \geq \sqrt[3]{\frac{16 \cdot T}{\pi \tau_{adm}}} = 1,72 \sqrt[3]{\frac{T}{\tau_{adm}}} \quad (VII.16)$$

Худди шу тарзда ичи ғовак валлар учун қўйидаги муносабатни ёзамиш:

$$D \geq 1,72 \sqrt[3]{\frac{T}{(1-\alpha^4) \cdot \tau_{adm}}} \quad (VII.17)$$

бу ерда, $\alpha = \frac{d}{D}$ ички диаметрнинг ташқи диаметрга нисбати.

Механикадан маълумки, буровчи момент вал узатадиган қувват K ва унинг айланишлари сони n орқали

$$T_e = 9549 \frac{K}{n}; \quad T_e = 9549 \frac{P_{\text{квт}}}{n} \quad \text{Н.м} \quad (\text{VII.18})$$

кўринишида ифодаланар эди.

Бунда K -қувватнинг киловатт қиймати; агар қувват от кучи (қисқача о.к.) ҳисобида берилса, охирги формула

$$T_e = 7028,8 \cdot \frac{N_{\text{ок}}}{n} \quad (\text{VII.19})$$

кўринишини эгаллайди.

Охирги муносабатларни эътиборга олиб, яхлит валнинг диаметрини аниқлаш учун мос равишда қуйидаги формулаларни ҳосил қиласиз:

$$D \geq \sqrt{\frac{16 \cdot 9549 K}{\pi \tau_{\text{adm}} \cdot n}} - 36,5 \sqrt{\frac{K}{\tau_{\text{adm}} n}} \quad (\text{VII.20})$$

$$D \geq \sqrt{\frac{16 \cdot 7028,8 N_{\text{ок}}}{\pi \tau_{\text{adm}} n}} - 32,96 \sqrt{\frac{N_{\text{ок}}}{\tau_{\text{adm}} n}} \quad (\text{VII.21})$$

Худди шу йўл билан ичи ғовак валларнинг диаметрини ҳам аниқлаймиз:

$$D \geq 36,5 \sqrt{\frac{K}{(1 - \alpha^4) \tau_{\text{adm}} n}} \quad (\text{VII.22})$$

$$D \geq 32,96 \sqrt{\frac{N_{\text{ок}}}{(1 - \alpha^4) \tau_{\text{adm}} n}} \quad (\text{VII.23})$$

бу ерда $\alpha = \frac{D}{d}$ -ички диаметрнинг ташқи диаметрга нисбати бўлиб, у $0 \leq \alpha \leq 1$ оралиқда ўзгаради.

Юқоридаги формулалар айни қувватда ишлаётган яхлит ёки ички ғовак валларнинг ишланишилар сонини ошириш йўли билан уларнинг диаметрини кичрайтириб, материални тежаш мумкинлигини тасдиқлайди.

Амалда валга мустаҳкамлик шартидан ташқари бикрлик шарти ҳам қўйилади.

Бикрлик шарти

$$\theta_{\max}^0 = \left| \frac{180^\circ}{\pi} \cdot \frac{T_e}{GJ_p} \right| \leq \theta_{adm}^0 \quad (\text{VII.24})$$

кўринишга эга бўлиб, валнинг ўта даражада деформациялан- маслигини таъминлайди.

Бу ерда θ_{adm}^0 -валнинг бир метр узунлигига тўғри келувчи жоиз нисбий буралиш бурчаги бўлиб, у тажрибалардан аниқланади (7.2- жадвал).

7.2- жадвал

Т.р.	Валларнинг ишлаш шароитлари	θ_{adm}^0	[рад м]
1	Статик юклар таъсирида	2	
2	Ўзгарувчан юклар таъсирида	0,25	
3	Зарбали юклар таъсирида	0,15	

Яхлит вал учун $J_p = \frac{\pi D^4}{32}$ эканлигини эътиборга олиб, бикрлик шартини қаноатлантирувчи валнинг диаметрини (VII.24) формуладан аниқлаймиз:

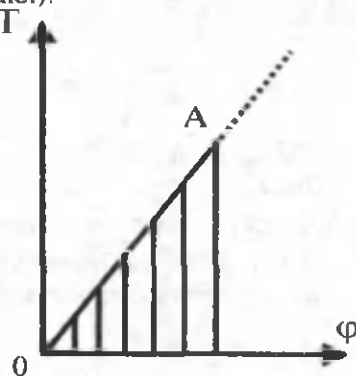
$$D \geq \sqrt[4]{\frac{32 \cdot 180^\circ T_e}{\pi^2 G \theta_{adm}^0}} = 4,92 \sqrt[4]{\frac{T_e}{G \theta_{adm}^0}} \quad (\text{VII.25})$$

Худди шу тарзда ичи ғовак валнинг ташқи диаметрини ҳам аниқлаймиз:

$$D \geq \sqrt[4]{\frac{32 \cdot 180^\circ}{\pi^2} \cdot \frac{T_e}{(1-\alpha^4) G \theta_{adm}^0}} = 4,92 \sqrt[4]{\frac{T_e}{(1-\alpha^4) G \theta_{adm}^0}} \quad (\text{VII.26})$$

7.3-§. Буралишда деформациянинг потенциал энергияси

Эластик деформациялар чегарасида буровчи момент T_e билан буралиш бурчаги ϕ орасида тўғри чизикли боғланиш мавжудлиги буралиш деформациясига оид тажрибалардан тасдиқланган (VII.8-шакл).



VII.8-шакл

Вални эластиклик чегарасида бураш учун сарф бўлган буровчи моментнинг бажарган иши OAB учбурчакнинг юзаси орқали ифодаланади:

$$A_T = \frac{1}{2} T_e \phi \quad (a)$$

Буровчи момент валга статик равишда қўйилганлиги сабабли бу иш деформациянинг потенциал энергиясига тўлиқ айланади:

$$A_T = U = \frac{1}{2} \cdot T_e \phi \quad (b)$$

(VII.11) ифодани эътиборга олиб, буралишда деформациянинг потенциал энергиясини қўйидагича ёзамиш:

$$U = \frac{T_e^2 \cdot l}{2GJ} \quad (VII.27)$$

Погонали вал учун охирги формулани қўйидагича ўзгартириш мумкин:

$$U = \sum_{i=1}^n \frac{T_{ei}^i l_i}{2G J_{i\rho}} \quad (\text{VII.28})$$

Бунда i -погоналар сони.

25-масала. Күндаланг кесими доирадан иборат бўлган пўлат материалидан ясалган вал ташқи буровчи моментлар таъсирида бўлсин (VII.9-шакл, а). Валнинг диаметри аниқлансан ҳамда ички буровчи момент, энг катта урунма кучланиши ва кесимнинг буралиш бурчаги эпюралари қурилсин.

Куйидагилар маълум деб ҳисоблансан: $T_{e_1} = 29 \text{ kH} \cdot \text{m}$; $T_{e_2} = 12 \text{ kH} \cdot \text{m}$; $T_{e_3} = 18 \text{ kH} \cdot \text{m}$; $l_1 = 1,2 \text{ m}$; $l_2 = 1,6 \text{ m}$; $l_3 = 0,7 \text{ m}$; $\tau_{adm} = 130 \text{ MPa}$; $G = 0,8 \cdot 10^5 \text{ MPa}$;

Ечиш

Кесиш усулидан фойдаланиб оралиқлардаги ички буровчи момент қийматларини аниқлаймиз:

I оралиқда $0 \leq z_1 \leq l_3$ $T_e^I = -T_{e_3} = -18 \text{ kH} \cdot \text{m}$

II оралиқда $l_3 \leq z_2 \leq (l_3 + l_1)$ $T_e^{II} = -T_{e_3} + T_{e_2} = -6 \text{ kH} \cdot \text{m}$

III оралиқда

$(l_3 + l_2) \leq z_3 \leq (l_3 + l_2 + l_3)$ $T_e^{III} = -T_{e_3} + T_{e_2} - T_{e_1} = -35 \text{ kH} \cdot \text{m}$

Топилган қийматлар бўйича буровчи момент эпюрасини курамиз (VII.9-шакл, б).

Валнинг диаметрини аниқлаймиз:

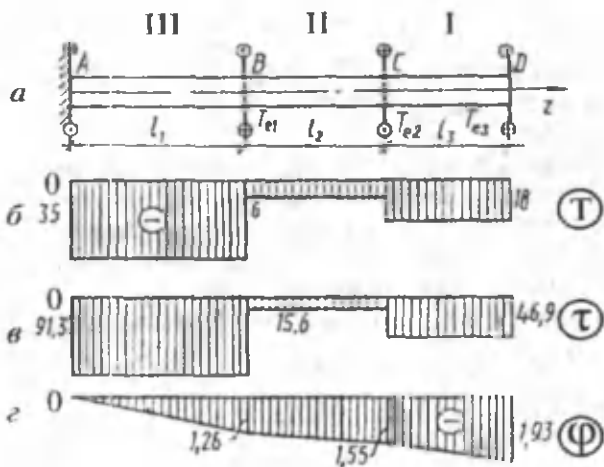
а) мустаҳкамлик шарти бўйича:

$$d = 3 \sqrt{\frac{16T_{max}}{\pi \tau_{adm}}} = 3 \sqrt{\frac{16 \cdot 35 \cdot 10^3}{3,14 \cdot 130 \cdot 10^6}} = 0,111 \text{ m.}$$

б) бикрлик шарти бўйича:

$$d = 4 \sqrt{\frac{180 \cdot 32 \cdot T_{max}}{\pi^2 \cdot G \cdot \theta_{adm}}} = 4 \sqrt{\frac{180 \cdot 35 \cdot 10^3}{(3,14)^2 \cdot 0,8 \cdot 10^{11} \cdot 2}} = 0,106 \text{ m.}$$

Топилган қийматларни ва валлар диаметрлари бўйича қабул қилинган стандартларни эътиборга олган ҳолда валнинг диаметрини $d = 125 \text{ mm}$ деб қабул қиласиз.



VII.9-шакл.

Ү ҳолда

$$W_p = \frac{\pi d^3}{16} = \frac{3,14 \cdot (12,5)^3}{16} = 383,3 \text{ см}^3 = 383,3 \cdot 10^{-6} \text{ м}^3$$

$$J_p = \frac{\pi d^4}{32} = \frac{3,14 \cdot (12,5)^4}{32} = 2395,63 \text{ см}^4 = 2395,63 \cdot 10^{-6} \text{ м}^4$$

Урунма күчланишларни аниқтаймиз:

$$\tau_I = \frac{T_e^I}{W_p} = \frac{-18 \cdot 10^3}{383,3 \cdot 10^{-6}} = -46,96 \text{ МПа}$$

$$\tau_{II} = \frac{T_e^{II}}{W_p} = \frac{-6 \cdot 10^3}{383,3 \cdot 10^{-6}} = -15,65 \text{ МПа}$$

$$\tau_{III} = \frac{T_e^{III}}{W_p} = \frac{-35 \cdot 10^3}{383,3 \cdot 10^{-6}} = -91,31 \text{ МПа}$$

Топилган қыйматлар асосида урунма күчланишнинг эпюрасини қурамиз (VII.9-шакл, в).

Энди кесимләрнинг буралиш бурчагини аниқлашга ўтамиз. Бунинг учун эса аввало, валнинг бикрлигини аниқлаш зарур:

$$GJ_p = 0,8 \cdot 10^3 \cdot 10^6 \cdot 2395,63 \cdot 10^{-8} = 1916504 \text{ м}^2$$

В кесимнинг А кесимга нисбатан буралиш бурчаги куйидатига тенг:

$$\varphi_{BA} = \frac{T_e''' \cdot l_1}{GJ_p} = \frac{-35 \cdot 10^3 \cdot 1,2}{1916504} = -0,0219 \text{ rad} = -1,26^\circ$$

Худди шу тартибда бошқа кесимларнинг ҳам буралиш бурчакларини аниқдаймиз:

$$\varphi_{CB} = \frac{T_e'' \cdot l_2}{GJ_p} = \frac{-6 \cdot 10^3 \cdot 1,6}{1916504} = -0,005 \text{ rad} = -0,29^\circ$$

$$\varphi_{CA} = \varphi_{BA} + \varphi_{CB} = -1,55^\circ$$

$$\varphi_{DC} = \frac{T_e' \cdot l_3}{GJ_p} = \frac{18 \cdot 10^3 \cdot 0,7}{1916504} = -0,00657 \text{ rad} = -0,38^\circ$$

У ҳолда

$$\varphi_{DA} = \varphi_{CA} + \varphi_{DC} = -1,55^\circ - 0,38^\circ = -1,93^\circ$$

га тенг бўлади.

Буралиш бурчаги эпюраси VII.9-шакл, г да кўрсатилган.

7.4-§. Буралишдаги статик аниқмас масалалар

Буралиш деформациясига оид масалаларни ечиш деганда, валларнинг маҳкамланган учларида ҳосил бўладиган реактив моментларни, исталган кўндаланг кесимлардаги буровчи момент ва кучланишларни, кесимларнинг буралиш бурчагини аниқлаш тушунилади.

Агар бундай масалалар биргина статиканинг мувозанат тенгламалари ёрдамида ечилмаса, уларга буралишдаги статик аниқмас масалалар деб аталади.

26-масала. Иккала уни билан маҳкамланган ва бикрликлари мос равишда GJ_{p_1} ва GJ_{p_2} бўлган логонали стержен буралишдаги статик аниқмас масалага мисол бўлади (VII.10-шакл, а).

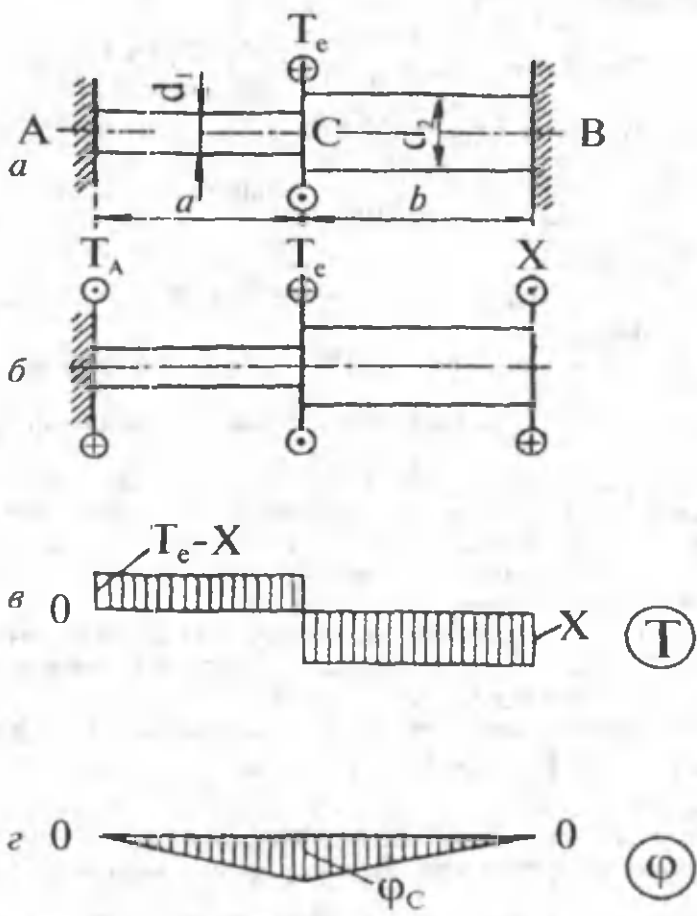
Стерженнинг маҳкамланган учларида ҳосил бўладиган реактив моментлар топилсин. Ўлчамлар шаклда кўрсатилган.

Ечиш. Дастрлаб валнинг таянчларини T_A ва T_B реактив моментлар билан алмаштириб, тенг кучли тизим ҳосил қиласиз.

Валнинг мувозанатини текширамиз:

$$\sum_{i=1}^s M_{z_i} = 0 \quad \text{ёки} \quad T_A + T_B - T_e = 0 \quad (a)$$

Демак, бу масала бир марта статик аниқмас экан, чунки статиканынг биттә тенгләмасида иккита T_A ва T_B номаътумлар бор.



VII.10-шакл

Кўшимча тенглама тузиш учун валнинг чап учини боғланишдан озод қилиб, унинг таъсирини реактив момент $X=T_B$ билан алмастирамиз (VII.10-шакл, б).

В кесимнинг буралиш бурчагини аниқлаймиз:

$$\varphi_B = \frac{X \cdot a}{GJ_{\rho}^I} + \frac{X \cdot b}{GJ_{\rho}^{II}} - \frac{T_e \cdot a}{GJ_{\rho}^I} \quad (6)$$

$$\text{бунда } J_{\rho}^I \approx 0,1d_1^4, \quad J_{\rho}^{II} \approx 0,1d_2^4$$

Статик аниқмас тизимда A кесим маҳкамланганлигидан ундаги буралиш бурчаги нолга тенг бўлади:

$$\varphi_B = 0 \quad \text{еки} \quad \frac{X \cdot a}{0,1Gd_1^4} + \frac{X \cdot b}{0,1Gd_2^4} - \frac{T_e \cdot a}{0,1Gd_1^4} = 0 \quad (8)$$

Охирги ифодадан $X=T_B$ ни, мувозанат тенгламасидан эса T_A ни осонгина аниқлаш мумкин.

Стерженнинг ҳар бир оралиғи учун кессиши усулини тадбиқ этиб, буровчи моментнинг эпюрасини чизамиз (VII.10-шакл, в).

Таянч нуқталарда буралиш бурчаги нолга, С кесимда эса

$$\varphi_c = \frac{X \cdot b}{0,1Gd_1^4} = const$$

эканлигини назарда тутиб, буралиш бурчагининг эпюрасини қурамиз (VII.10-шакл, г).

Назорат саволлари ва топшириқлар

1. Нисбий буралиш бурчаги қандай аниқланади?
2. Нисбий силжиш ва нисбий буралиш бурчаклари орасида қандай муносабат мавжуд?
3. Буралишда қаршилик моменти қандай аниқланади?
Унинг ўлчам бирлигини ёзинг.
4. Қандай катталик буралишдаги бикрлик дейилади? Унинг ўлчам бирлигини ёзинг.

5. Буралишда Гук қонуни қандай ифодаланади?
6. Кесими доиравий валлар буралганда кесимининг қайси нуқталарида энг катта урунма кучланишлар пайдо бўлади?
7. Кесими доиравий валлар буралганда мустаҳкамлик шарти қандай кўринишда ёзилади?
8. Буралишда деформациянинг потенциал энергиясини аниқлаш формуласини ёзинг ва уни тушунтиринг.
9. Буралишда статик аниқмас масалалар қандай тартибда ечилади?

VIII БОБ. ТЕКИС ЭГИЛИШ. ЭГИЛИШДАГИ КУЧЛАНИШЛАРНИ АНИҚЛАШ

8.1-§. Асосий түшүнчалар

Стреженларнинг марказий чўзилиши ёки сиқилиши ва валларнинг буралишини олдинги бобларда таҳлил қилиб, уларнинг деформациягача бўлган бўйлама тўғри ўқи деформациядан кейин ҳам тўғрилигича қолишига ишонч ҳосил қилдик.

Аммо тўсин ёки рамалар эгилишининг ўзига хос хусусиятлари шундаки, ўзаро паралел кўндаланг кесимларнинг бир-бирларига нисбатан оғиши ва бўйлама ўқ устида ётувчи барча нуқталарнинг вертикал кўчиши натижасида тўғри чизиқли геометрик ўқ эгри чизиқса айланади.

Тўсинлар эгилганда барча кесимларда ички кучлардан фақат кўндаланг куч Q ва згувчи момент M лар ҳосил бўлади; рамалар эгилганда эса Q ва M лардан ташқари бўйлама куч N ҳам пайдо бўлади.

Ташқи юкларнинг қўйилиши ва тўсин (рама)ларнинг таянчларга маҳкамланиш усулларига кўра, эгилишлар турли хил бўлади.

Агар барча ташқи юклар (таянч реакциялари ҳам) тўсиннинг бўйлама ўқидан ўтувчи битта текисликда ётса ва бу текислик симметрия текисликлари билан устма-уст тушса, у ҳолда эгилиш ҳам мазкур симметрия текислигига содир бўлади, одатда, бундай эгилиш текис эгилиш деб юритилади.

Агар барча ташқи юклар (таянч реакциялари ҳам) тўсиннинг бўйлама ўқидан ўтувчи битта текисликда ётса, лекин бу текислик бош инерция текисликлари билан устма-уст тушмаса, у ҳолда бундай эгилиш қийшиқ эгилиш дейилади.

Бу бобда фақат текис эгилиш ўрганилади.

Ташқи юкларнинг қўйилиши ва тўсинларнинг таянчларга маҳкамланиш усулларига қараб текис эгилиш соф ва кўндаланг эгилишларга ажратилади.

Соф эгилишда тўсиннинг кўндаланг кесим юзаларида кесувчи куч нолга teng бўлиб, згувчи момент ўзгармас миқдорга

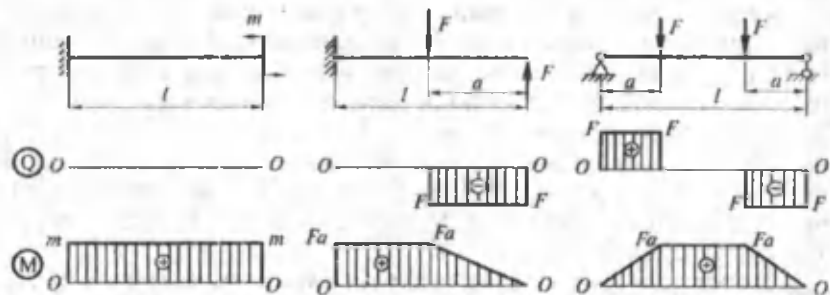
тeng бўлади; кўндаланг эгилишда эса кесим юзаларда эгувчи моментдан ташқари кесувчи куч ҳам пайдо бўлади.

VIII.1-шаклда тасвирланган тўсинларнинг кесувчи куч ва эгувчи момент эпюраларини таҳлил қилиб, куйидаги холосаларга келиш мумкин (бу ерда тўсинларнинг хусусий оғирлик кучлари эътиборга олинмаган):

VIII.1-шакл, а да тасвирланган тўсин фақат соф эгилишга қаршилик кўрсатади;

VIII.1-шакл, б да тасвирланган тўсиннинг чап қисми соф эгилишга, ўнг қисми эса кўндаланг эгилишга қаршилик кўрсатади;

VIII.1-шакл, в да тасвирланган тўсиннинг фақат ўрта қисми соф эгилишга, чап ва ўнг қисмлари эса кўндаланг эгилишга қаршилик кўрсатади.



VIII.1-шакл

Тўсиннинг кўндаланг кесимларидаги ички зўриқишиларни мазкур кесимларда пайдо бўлувчи кучланишлар мувозанатлайди. Аниқроғи, эгувчи моментни нормал кучланиш, кесувчи кучни эса урунма кучланиш мувозанатлайди.

Демак, нормал кучланиш фақат эгувчи моментга, урунма кучланиш эса кесувчи кучга боғлиқ экан:

$$\sigma = \sigma(M)$$

$$\tau = \tau(Q)$$

Бу холоса нормал ва урунма кучланишларни алоҳида аниқлашга, яъни соф ва кўндаланг эгилишларни бир-биридан мустақил равишда ўрганишга имкон беради.

8.2-§. Соф эгилиш. Нормал кучланишларни аниқлаш

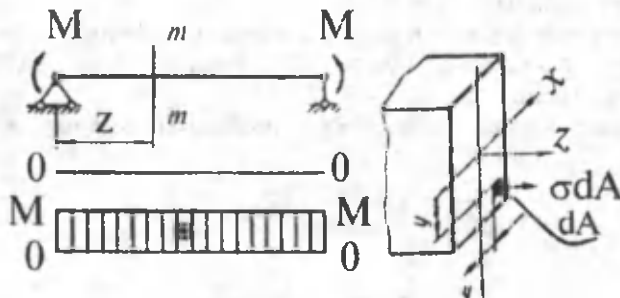
Соф эгилишга қаршилик күрсатувчи түснинни текширамиз (VIII.2-шакл, а).

Түснининг ихтиёрий кесимларида пайдо бўлувчи эгувчи моментларни мувозанатловчи нормал кучланишни аниқлаш мақсадида масалага статик, геометрик ва физик нуқтаи назардан ёндашиш зарур.

I. Масаланинг статик томони

Куйидаги ишларни кетма-кет бажарамиз:

1) түснин чап таянчдан ихтиёрий z абсцисса бўйича $m-m$ текислик билан фикран қирқамиз.



VIII.2 - шакл

2) $m-m$ кесимнинг ўнг томонини ташлаб юбориб, түснининг қолган қисмини алоҳида ажратамиз (VIII.2-шакл, б). Кесимдан координаталари x , y ва юзаси dA бўлган элемент ажратиб оламиз; бу элементга фақат $dN = \int \sigma dA$ ички зўриқиши

(A)

таъсир кўрсатади;

3) ажратилган қисмнинг мувозанатини текширамиз. Умумий ҳолда олтита мувозанат тенгламасини тузиш мумкин:

$$\left. \begin{array}{l} \sum X_i = 0, \quad \sum M_{xi} = 0, \\ \sum Y_i = 0, \quad \sum M_{yi} = 0, \\ \sum Z_i = 0, \quad \sum M_{zi} = 0 \end{array} \right\} \quad (a)$$

Биз текшираётган ҳолат учун юқоридаги тенгламаларнинг дастлабки иккитаси айният равишда нолга айланади; чунки dN_z ички зўриқиши кучи ox ва oy ўқларига нисбатан тик йўналган.

Мувозанат тенгламаларининг учинчиси қўйидагича ёзилади:

$$\int \limits_{(A)} \sigma dA = 0, \quad (6)$$

тўртинчиси

$$M - \int \limits_{(A)} \sigma dA y = 0 \quad (7)$$

ва бешинчиси эса

$$\int \limits_{(A)} \sigma dA x = 0 \quad (8)$$

кўринишда ифодаланади.

Ниҳоят, мувозанат тенгламаларининг охиргиси айният равишда нолга айланади, чунки dN_z зўриқиши кучи oz ўқига параллел йўналган.

Шундай қилиб, чексиз кўп номаълум миқдор σ га эга бўлган

$$\left. \begin{array}{l} \int \limits_{(A)} \sigma dA = 0 \\ \int \limits_{(A)} \sigma y dA - M = 0 \\ \int \limits_{(A)} \sigma x dA = 0 \end{array} \right\} \quad (d)$$

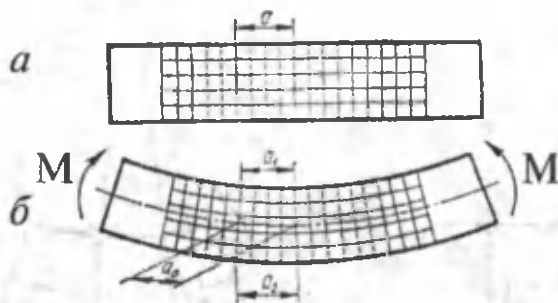
кўринишдаги учта тенгламалар тизимига эга бўлдик. Шу жиҳатдан қараганда соф эгилишда нормал кучланишини аниқлаш масаласи статик аниқмас экан.

II. Масалалинг геометрик томони

Соф эгилишга қаршилик кўрсатувчи тўсин (масалан, резинадан ясалган)нинг сиртига тур чизиб (VII.3-шакл, а), деформациядан сўнг қўйидаги ҳодисалар намоён бўлишини кузатиш мумкин:

- түсіннинг сиртидаги бүйлама чизиқлар деформациядан кейин оралиқ масофаны ўзгартырмасдан әгриланади; күндаланг чизиқлар эса түғрилигіча қолади. Бу ҳол, бириңчидан у үқи йұналишида чизиқлар деформация ($\varepsilon_y = 0$) мавжуд зымаслигини, иккінчидан эса Бернулли гипотезасининг түғри эканligini тасдиқлади.

- түсіннинг қавариқ томонидаги толалари чўзилиб ($a_2 > a$), ботиқ томонидаги толалари эса сиқилади ($a_1 < a$); улар орасыда ётұвчи қандайдыр толалар уз үзүнликтерини ўзгартырмайды: $a_0 = a = \text{const}$ бўлади (VIII.3-шакл, б). Демак, түсіннинг чўзилган ва сиқилган толалар қатлами орасыда шундай қатлам мавжуд эканки, унда ётұвчи толалар түсин әгилганда ҳам уз үзүнликтерини ўзгартырмас экан.



VIII.3-шакл.

Түсіннинг чўзилмаган ва сиқилмаган толалари ёттан қатлами нейтрал қатлам дейилади. Нейтрал қатлам текислиги билан түсіннинг күндаланг кесим текислиги кесишган чизиқ мазкур кесимнинг нейтрал үқи деб аталади. Түсин әгилганда ҳар бир күндаланг кесим ўзининг нейтрал үқи атрофида айланади.

Бруслан ажратиб олинган dz үзүнликдаги элементни кўриб чиқамиз (VIII.4-шакл, а); нейтрал қатламдан юқоридаги барча толалар чўзилиб, пастки толалар эса сиқилади. Масалан, нейтрал қатламдан у масофадаги бирор ab тола чўзилиб, $a'b'$ үзүнликка эга бўлади (VIII.4-шакл, б).

Чизмадан толанинг дастлабки үзүнлигини $a'_0 b'_0 = dz = \rho d\theta$ кўринишда ёзиш мумкин.

Бу ерда ρ -нейтрал қатламнинг ҳозирча номаълум бўлган эгрилик радиуси.

Қаралаётган толанинг чўзилишдаги мутлақ деформацияси

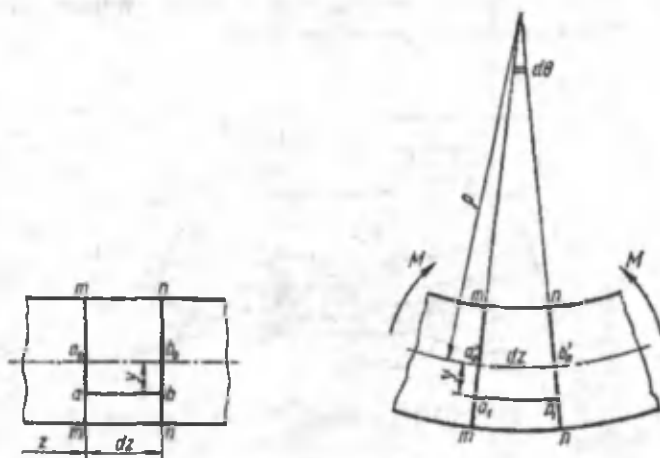
$$\Delta(dz) = a'b' - ab = (\rho + y) d\theta - \rho d\theta = y d\theta$$

ва нисбий чўзилиши эса

$$\varepsilon_z = \frac{\Delta(dz)}{dz} = \frac{y d\theta}{\rho d\theta} = \frac{y}{\rho} \quad (VIII.1)$$

га тенг бўлади.

Демак, текширилаётган толанинг нисбий чўзилиши нейтрал ўққача бўлган масофага тўғри мутаносиб экан.



VIII.4-шакл

III. Масаланинг физик томони

Масалани физик нуқтаи назардан таҳдил қилиш учун текширилаётган ab толанинг кучланиш ҳолатини билиш муҳимdir. Юқорида кўриб ўтганимиздек, биринчидан толанинг dA кўндаланг кесимида урунма кучланиш таъсир кўрсатмайди; у ҳолда урунма кучланишларнинг жуфтлик қонунига асосан, тўсин ўқига параллел кесимларда ҳам урунма кучланишлар пайдо бўлмайди. Иккинчидан қўшни толаларнинг у ўқи йўналишидаги ўзаро таъсирини ифодаловчи нор-

мал күчланиш ҳам нолга тенг, чунки мазкур йүналишда чизиқли деформация ($\varepsilon_y = 0$) мавжуд эмас.

Бундан чиқди, тўсиннинг барча бўйлами толалари бир-бирларига босим кўрсатмасдан, балки улар чизиқли күчланиш ҳолатида бўлиб, мустақил равища фақат чўзилар ёки сиқилар экан; бу холоса нейтрал ўқдан у масофада турган толалардаги нормал күчланишларни аниқлаш учун оддий чўзилиш ёки сиқилишдаги Гук қонунини қўллашга имкон беради:

$$\sigma = E \varepsilon_z \quad (\text{VIII.2})$$

IV. Синтез

(VIII.1) муносабатни назарда тутиб, нормал күчланиш учун қуйидаги ифодани ёзамиш:

$$\sigma = E \frac{y}{\rho} \quad (\text{VIII.3})$$

Бу ерда E ва ρ параметрлар кесим юзаси dA га тенг бўлган элементнинг ҳолатига боғлиқ бўлмаган миқдорлардир.

Демак, соғ эгилишда тўсиннинг кўндаланг кесимида ётган барча нуқталарнинг нормал күчланиши, мазкур нуқтадан нейтрал ўққача бўлгага масофага тўғри мутаносиб равища ўзгарар экан.

Охирги формула гарчи нормал күчланишнинг кесим юза баландлиги бўйича чизиқли қонуният билан ўзаришини ифодаласа-да, аммо унинг ёрдамида күчланишни ҳисоблаб бўлмайди, чунки нейтрал ўқнинг ҳолати ва нейтрал қатламнинг эгрилик радиуси ҳозирча бизга маълум эмас. Шу боис, (VIII.3) ифодани эътиборга олган ҳолда (д) тенгламалар тизимини қуйидагича ёзамиш:

$$\left. \begin{aligned} \int_{(A)} E \frac{y}{\rho} dA &= \frac{E}{\rho} \int_{(A)} y dA = 0 \\ \int_{(A)} E \frac{y}{\rho} y dA - M &= \frac{E}{\rho} \int_{(A)} y^2 dA - M = 0 \\ \int_{(A)} E \frac{y}{\rho} x dA &= \frac{E}{\rho} \int_{(A)} y x dA = 0 \end{aligned} \right\} \quad (\text{e})$$

Бизга маълумки, (e) ифода таркибидаги интеграл муносабатлар, тегишлича кўндаланг кесим юзанинг нейтрал ўқса нисбатан статик моментини, ўқли инерция моментини ҳамда x ва y ўқларига нисбатан марказдан қочирма инерция моментини ифодалайди (VI-бобга қарант):

$$S_x = \int_A y dA, \quad J_x = \int_A y^2 dA, \quad D_{xy} = \int_A xy dA \quad (e)$$

Шуни ҳам қайд қилиш муҳимки, $\frac{E}{\rho} = \text{const}$ ва нолга тенг бўлмаган миқдордир.

Демак, охирги ифоданинг биринчи ва учинчисидан $S_x = 0$ ва $D_{xy} = 0$ эканлиги келиб чиқади. S_x нинг нолга тенг бўлиши x ўқининг кесим юза оғирлик марказидан ўтишини, D_{xy} нинг нолга тенг бўлиши эса ox ва oy ўқларнинг бош ўқлар эканлигини далолат беради.

(e) ифоданинг иккинчисидан нейтрал қатламнинг эгрилигини топамиз:

$$\frac{1}{\rho} = \frac{M}{EJ_x} \quad (\text{VIII.4})$$

Ниҳоят, охирги ифодани (VIII.3) га қўйиб, қуидаги муносабатга эга бўламиш:

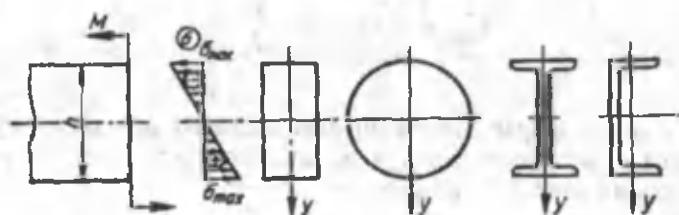
$$\sigma = \frac{M}{J_x} y \quad (\text{VIII.5})$$

Бу ерда $M=M_x$ -кучланиш топиладиган кесимдаги згувчи момент.

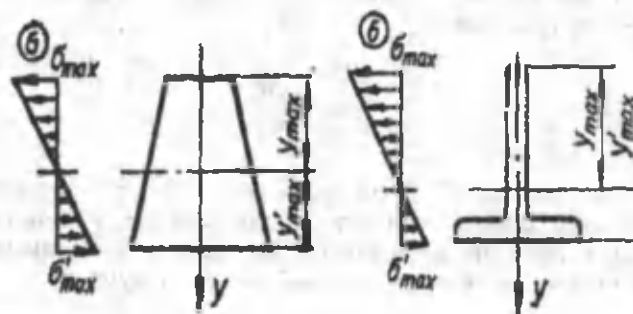
Олинган ифода соф эгилишга қаршилик кўрсатувчи тўсиннинг кўндаланг кесимида ётувчи исталган нуктадаги нормал кучланишни аниқлаш формуласи ёки Навье формуласи дейилади.

(VIII.5) формуладан кўриниб турибдики, нормал кучланиш у масофага чизиқли боғлиқдир; VIII.5-шаклда нейтрал ўқса нисбатан симметрик, VIII.6-шаклда эса носимметрик бўлган баъзи кесим юзалар учун нормал кучланишнинг кесим юза баланшилиги бўйича тақсимланишини кўрсатувчи нормал кучла-

ниш эпюраси келтирилган. Ушбу эпюрадаги мусбат ишора голаларнинг чўзилишини, манфий ишора эса уларнинг сиқилишини кўрсатади.



VIII.5- шакл



VIII.6-шакл.

Нормал кучланиш эпюрасидан кўриниб турибдики, биринчидан симметрик кесим юзаларнинг нейтрал ўқдан баравар узоқликда жойлашган барча толаларининг нормал кучланишлари тенгдир. Иккинчидан эса энг катта чўзувчи ва сикувчи нормал кучланишлар кўндаланг кесимнинг нейтрал ўқдан энг узоқда жойлашган нуқталарида ҳосил бўлади; уларнинг қиймати эса (VIII.5) формулага $y = y_{\max}$ ёки $y = y'_{\max}$ ларни кўйиш йўли билан топилади:

$$\left. \begin{aligned} \sigma_{\max}^u &= \frac{M}{J_x} y_{\max} = \frac{M}{\frac{y_{\max}}{\frac{r}{x}}} \\ \sigma_{\max}^c &= \frac{M}{J_x} y'_{\max} = \frac{M}{\frac{y'_{\max}}{\frac{r}{x}}} \end{aligned} \right\} \quad (\text{VIII.6})$$

Охирги формулаларнинг маҳражидаги ифодалар кўндаланг кесим юзанинг нейтрал ўқса нисбатан қаршилик моментини ифодалайди (6.9-§ га қаранг):

$$W_x = \frac{J_x}{y_{\max}}, \quad W'_x = \frac{J_x}{y'_{\max}}.$$

Шундай қилиб, чўзилган толалардаги нормал кучланиш қўйидагига тенг экан:

$$\sigma_{\max} = \frac{M}{W_x} \quad (\text{VIII.7})$$

Шуни таъкидлаб ўтиш муҳимки, (VIII.5) формула гарчи соҳф эгилиш ҳолати учун чиқарилган бўлсада, ундан кўндаланг эгилган тўсингнинг кесимидағи ҳар қандай нуқтанинг нормал кучланишини аниқлашда ҳам фойдаланиш мумкин.

8.3-§. Кўндаланг эгилишда урунма кучланишларни аниқлаш

Айтайлик, кўндаланг эгилишга қаршилик кўрсатувчи тўсингнинг ихтиёрий кесимларида ҳосил бўлувчи урунма кучланишларнинг миқдори ва кесим юза бўйича тақсимланиш конуниятларини аниқлаш талаб этилсин.

I. Масаланинг статик томони

Ҳар галгидек, қўйидаги ишларни кетма-кет бажарамиз:

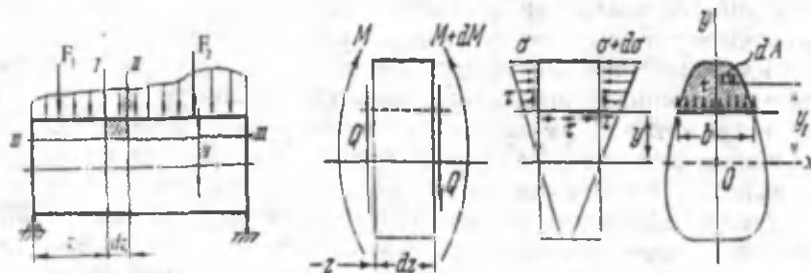
1) кесиш усулига асосланиб, тўсингнинг таянчидан з масофада жойлашган dz узунлиқдаги чексиз кичик элемент бўлакчани ажратиб оламиз (VIII.7-шакл, а).

2) ажратилган бўлакчанинг мувозанат ҳолатини сақлаш учун унга ташлаб юборилган қисмларнинг кўрсатган таъсирини ички куч (M ва Q)лар билан алмаштирамиз (VIII.7-шакл, б).

Кесимларда пайдо бўлувчи нормал кучланишнинг фақат эгувчи моментта ва урунма кучланишнинг эса кўндаланг кучга боғлиқ эканлигини 8.1-§ да кўриб ўтган эдик. Ана шу холосага ва кучлар таъсирининг бир-бирига халал бермаслик тамойилига асосланиб, элементта фақат Q нинг кўрсатган таъсирини ўрганамиз.

Куйидаги чекланишларга таяномиз:

- кўндалант кесимда ҳосил бўлувчи урунма кучланишлар кесувчи кучта параллел йўналган;
- нейтрал ўқдан баравар мисофада турган барча нуқталардаги урунма кучланишлар teng.



VIII.7-шакл.

Кесим юза бўйича таъсир қилаётган урунма куч (куchlаниш) лар йигиндиси фақат кўндаланг куч билан мувозанатлашади:

$$Q = \int_{(A)} \tau_y \, dA$$

Демак, урунма кучланишлар миқдор жиҳатидан кўндаланг кучта teng, йўналиши эса унинг йўналишига тескари экан.

Энди урунма кучланишларнинг кесим юза бўйича қандай тақсимланганигини кўриб чиқамиз. Бунинг учун эса аввало кўндаланг кесимнинг ўзига хос нуқталари атрофидан олинган ихтиёрий dA юзачалардаги кучланишларни аниқлаш зарур. Масалан, тўсиннинг сиртида ётувчи нуқталардан ўтувчи dA юзача-

га урунма күчлар таъсир этмайди, чунки тўсиннинг сиртида урунма күчлар йўқ. Шу сабабли урунма кучланишларнинг жуфтлик қонунига таяниб, кўндаланг кесимнинг сирти (контур)га чексиз яқин жойлашган юзачалардаги урунма кучланишларнинг нолга tengлигига ишонч ҳосил қилиш мумкин.

Кўндаланг кесимлардаги бошқа барча нуқталардан ўтувчи юзалардаги урунма кучланишнинг қиймати нолдан фарқли.

Юқоридаги мулоҳазалардан кўндаланг кесимдаги урунма кучланишлар умумий ҳолда $\tau_y = \tau(y)$ эгри чизиқли қонуният бўйича узлуксиз ўзгаради, деган холосага келиш мумкин.

II. Масаланинг геометрик томони

Кесимларда ҳосил бўлувчи урунма кучланишлар натижасида силжиш деформацияси содир бўлиши табиий. Шу сабабли силжиш деформацияси ҳам кесим юза баландлиги бўйича $\gamma = \gamma(y)$ эгри чизиқли қонуният асосида узлуксиз ўзгариши шарт.

Кўндаланг кесими урунма кучланишлар таъсири остидаги резина материалидан ясалган призматик бруснинг эгилишини кузатиш натижасида нейтрал қатламдаги толаларнинг нисбий силжиши энг катта ва кесим сиртидаги толаларнинг нисбий силжиши эса нолга яқинлиги тажрибада тасдиқланган.

Энди деформацияларнинг узлуксизлигини эътиборга олиб, тажриба натижаларини иккинчи тартибли эгри чизиқ кўринишида ифодалаймиз. Бу эгри чизиқни парabolанинг tenglamаси кўринишида қуйидагича ёзиш мумкин:

$$\gamma_y = \gamma_{\max} \left(1 - \frac{4y^2}{h^2} \right) \quad (\text{VIII.7})$$

Бунда γ_{\max} -энг катта силжиш бурчаги бўлиб, tenglamанинг параметри ҳисобланади.

III. Масаланинг физик томони

(VIII.7) формулани назарда тутиб, силжишдаги Гук қонунини қуйидагича ёзамиш:

$$\tau_y = G \gamma_{\max} \left(1 - \frac{4y^2}{h^2} \right) \quad (\text{VIII.8})$$

Демак, урунма күчланиш у коэффициенти ва γ_{\max} параметрлар билан функционал боғланишида экан

IV. Синтез

Энди γ_{\max} параметрни аниқлашга ўтамиз.

(VIII.8) формулани эътиборга олиб, статиканинг мувозанат тенгламасини тубандагича ёзамиш:

$$Q = \int_A G \gamma_{\max} \left(1 - \frac{4y^2}{h^2} \right) dA = G \gamma_{\max} \left[\int_A dA - \frac{4}{h^2} \int_A y^2 dA \right] \quad (6)$$

Қавс ичидағи биринчи интеграл кесим юза A га, иккінчиси эса нейтрал ўққа нисбатан олинган инерция моменти J_x га тенг; шу боис, энг катта силжиш бурчагини қўйидагича ифодалаш мумкин:

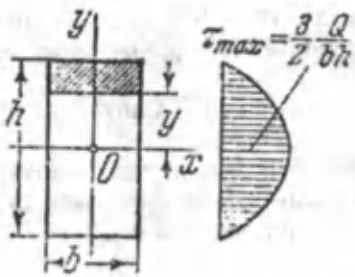
$$\gamma_{\max} = \frac{Q}{G(A - 4 \frac{J_x}{h^2})} \quad (VIII.9)$$

Охирги ифодани эътиборга олиб, (VII.8) формулани қўйидагича ёзамиш:

$$\tau_y = \frac{\left(1 - 4 \frac{y^2}{h^2} \right)}{A - 4 \frac{J_x}{h^2}} Q = \frac{Q \left(\frac{h^2}{4} - y^2 \right)}{\frac{h^2}{4} A - J_x} \quad (VIII.10)$$

(VIII.10) формула билан кўндаланг кесимнинг ихтиёрий нуқтасидаги урунма күчланишни аниқлаш мумкин. Аммо бу формула деярли барча адабиётларда бирмунча бошқачароқ кўринишда келтирилган. Шу сабабли, қўйидаги хусусий ҳолни таҳлил қилиш мақсадга мувофиқдир.

Айтайлик, тўсиннинг кесими гўфритўргурчак шаклида бўлсин (VIII.8-шакл, а).



a б
VIII.8-шакл.

Тұғри түртбұрчаклы кесим юзаси учун $A = bh$, $J_x = \frac{bh^3}{12}$ эканлигини назарда тутсак, тегишли соддалаштиришдан сұнг

$$\tau_y = \frac{(1 - 4 \frac{y^2}{h^2})}{\frac{2}{3}bh} Q$$

еки

$$\tau_y = \frac{\frac{b}{2} \frac{h^2}{4} \left(1 - 4 \frac{y^2}{h^2}\right)}{\frac{b}{2} \frac{h^2}{4} \frac{2}{3}bh} Q = \frac{\frac{b}{2} \left(\frac{h^2}{4} - y^2\right)}{bJ_z} Q \quad (\text{VIII.11})$$

ифодани ҳосил қиласыз.

Охирги ифодага $S_x^{\text{акр}} = \frac{b}{2} \left(\frac{h^2}{4} - y^2\right)$ белгилашни киритиб,

куйидагига эга бўламиз:

$$\tau_y = \frac{QS_x^{\text{акр}}}{bJ_z} \quad (\text{VIII.12})$$

Бу ерда, $S_x^{\text{акр}}$ -күндаланг кесимдан урунма кучланиши топилиши керак бўлган қатламнинг юқорисидан ажратиб олинган юзачанинг нейтрал ўққа нисбатан статик моменти;

$b=b_y$ -урұнма күчланиши топиладиган қатlamдаги күндаланг кесимнинг эни;

J_x -күндаланг кесимнинг нейтрапал ўққа нисбатан инерция моменті;

$Q = Q_x$ -текширилаёттан күндаланг кесимдеги кесувчи күч.

(VIII.12) формуланы дастлаб рус мұхандиси Д.И.Журавский келтириб чиқарған; шунинг учун бу формула **Журавский** формуласы ёки күндаланг кесимнинг ихтиёрий нүктасидаги урунма күчланиши аниқлаш формуласы деб аталади.

(VIII.12) формула ёрдамыда урунма күчланишларнинг жуфтлик қонунига асосланиб түсіннинг бўйлама кесимларидағи урунма күчланишларни ҳам аниқлаш мумкин.

Журавский формуласидан кўриниб турибдики, умумий ҳолда урунма күчланишларнинг кесим юзаси баландлиги

бўйича тақсимланиши $\frac{S_x^{axpr.}}{b_y}$ ўзгарадиган қонуниятта мос ке-

лади. Аммо $b_y=b=\text{const}$ бўлган кесимларда, хусусан тўғри тўртбурчакли кесимларда эса урунма күчланишлар кесим баландлиги бўйича $S_x^{axpr.}$ ни ифодаловчи қонуниятта биноан ўзгари.

Мисол тариқасида тўғри тўртбурчакли кесимнинг баландлиги бўйича урунма күчланишнинг тақсимланиш қонуниятини таҳлил қиласиз.

Дастлаб, урунма күчланиши топилиши талаб этилаётган нүктадан юқорида жойлашган юзанинг нейтрал ўққа нисбатан статик моментини аниқлаймиз:

$$S_x^{axpr.} = A_{axpr.} y_c = \frac{b}{2} \left(\frac{h^2}{4} - y^2 \right) \quad (\text{VIII.13})$$

чунки

$$A_{axpr.} = b \left(\frac{h}{2} y \right), \quad y_c = y + \frac{\left(\frac{h}{2} - y \right)}{2} = \frac{1}{2} \left(\frac{h}{2} + y \right)$$

Бундан ташқари, $J_x = \frac{bh^3}{12}$, $b=\text{const}$ эканлыклари маълум.

Натижада қуйидаги ифода ҳосил бўлади:

$$\tau_y = \frac{Q \frac{b}{2} \left(\frac{h^2}{4} - y^2 \right)}{b \frac{bh^3}{12}} = \frac{6Q}{bh^3} \left(\frac{h^2}{4} - y^2 \right) \quad (\text{VIII.14})$$

Демак, урунма күчләниш кесим юза баландлиги бүйича прабола қонуниятига мөс равища ўзгарар экан.

Урунма күчланишнинг эпюрасини қурамиз:

$y = 0,5 h$ бўлганда $\tau = 0$ бўлади;

$y = 0$ бүлгандада $\tau = \frac{3Q}{2A}$ бўлади.

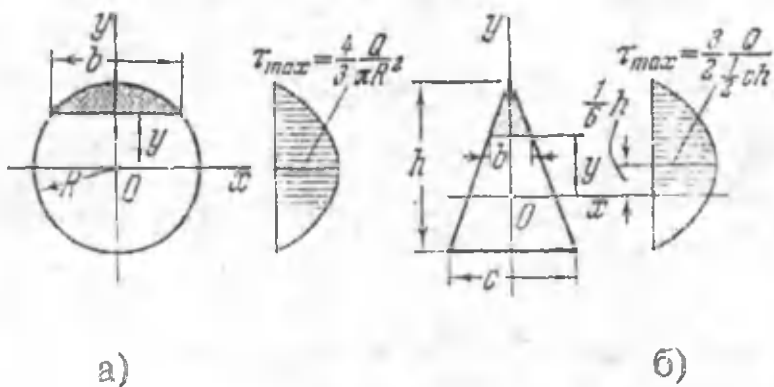
Урунма күчланиш түнг эпюраси VIII 8-шакл, б да күрсатылған.

Энг катта урунма күчланиш нейтргал ўқ устидаги нүкталарда бўлиб, унинг қиймати қўйидагига тенгdir:

$$\tau_{\max} = \frac{3}{2} \frac{Q_{\max}}{A} \quad (\text{VIII.15})$$

Демак, күндағанг эгилишдаги энг катта урунма күчланиш соғи силжиш ҳолатидаги ўртача урунма күчланиш $t_{\text{урт}} = \frac{Q_{\max}}{A}$ дан 1,5 марта катта экан.

VIII.9-шакл. а ва б ларда кесими тегищлича доиравий ва учбурчакли түсингилар учун урунма кучланишнинг эпюраси келтирилган (ўқувчиларга мустақил бажариш тавсия этилади).



VIII.9-шакл

Бу эпюралардан қыйидаги хulosаларга келиш мүмкін:

а) доиравий кесимларда энг катта урунма күчланиш нейтрал ўқ үстидаги нүкталарда бўлиб, унинг қиймати

$$\tau_{\max} = \frac{4}{3} \frac{Q_{\max}}{\pi R^2} \quad (B)$$

га тенг;

8.1-жадвал

Масаланы таҳлилий ўрганиш кетма-кетлиги	Соф зғилиш	Күндаланг зғилиш	
		формулалар	
1 <i>статик нүктаи назардан ёндашиши</i>		$\int_A \sigma dA = 0$ $\int_A \sigma y dA - M = 0$ $\int_A \sigma x dA = 0$	$\int_A \tau_y dA - Q = 0$
2 <i>геометрик нүктаи назардан ёндашиши</i>	$\varepsilon_y = 0$ $\varepsilon_z = \frac{y}{\rho}$		$\gamma = \gamma(y)$
3 <i>физик нүктаи назардан ёндашиши</i>	$\sigma_z = E \varepsilon_z$		$\sigma_z = E \varepsilon_z$, $\tau_y = G \gamma_y$
4 <i>хулоса</i>	$S_x = 0, \quad J_{xy} = 0,$ $\frac{1}{\rho} = \frac{M}{EJ_x},$ $\sigma = E \frac{y}{\rho}, \quad \sigma = \frac{M}{J_x} y,$ $\sigma = \frac{M}{W_x}$	$\sigma = \frac{M}{J_x} y,$ $\tau_y = \frac{Q \left(\frac{h^2}{4} - y^2 \right)}{A h^2 - J_x},$ $\tau_y = \frac{Q S_x^{\text{ажср.}}}{b J_x}$	

б) учбурчакли кесимларда энг катта урунма күчланиш нейтрал ўқдан $\frac{h}{6}$ масофадан ўтувчи чизик устида жойлашган нуқталарда бўлиб, унинг қиймати

$$\tau_{\max} = \frac{3}{2} \frac{Q_{\max}}{0,5bh} \quad (v)$$

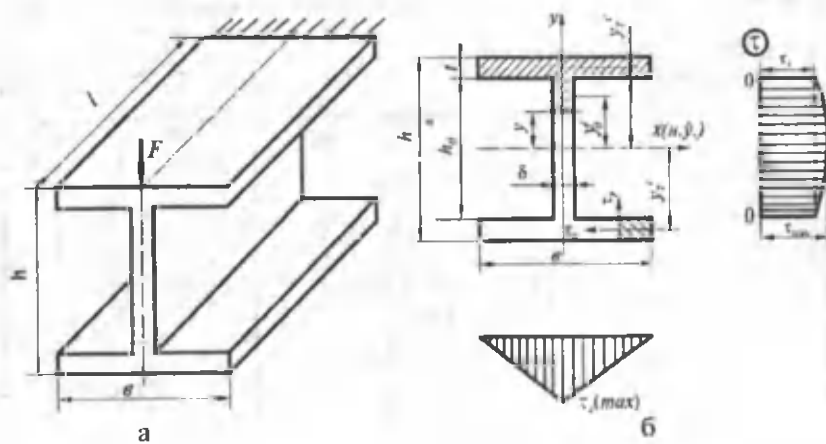
га тенг.

Холоса

Тўсинларнинг соф эгилиши ва кўндаланг эгилишига оид масалаларнинг уч томонини таҳлил қилиш натижасида келиб чиққан баъзи муҳим формулаларни 8.1-жадвалга ёзамиз.

8.4-§. Юпқа деворли профилли тўсянлар учун урунма күчланишларнинг эпюраларини қуриш. Эгилиш маркази.

Аввал бир учи қистириб маҳкамланган, иккинчи учига эса F куч кўйилган қўштавр кесимили консол-тўсин учун урунма күчланишлар эпюрасини қуришни кўриб чиқамиз (VIII.10-шакл, а).



VIII.10-шакл

Күштаврли кесимнинг ўзига хос томони шундаки, кўндаланг куч Q нинг асосий қисмини унинг вертикал девори қабул қилиб, токасига эса жуда кам (буни эътиборга олмаса ҳам бўлади) қисми тўғри келади.

Журавский формуласидан фойдаланиб, кесимнинг деворидан олинган ихтиёрий нуқтанинг урунма кучланишини аниқлашга ўтамиш (VIII.10-шакл, б). Мазкур нуқта орқали нейтрал ўқча параллел чизик ўтказиб, ундан юқорида жойлашган бўлакча (штрихланган кесим)нинг статик моментини

$$S_x^{axp} = A_m y_m^c + A_o y_o^c \quad (a)$$

кўринишда ёзиб оламиш.

Бунда A_m ва A_o лар тегишлича токча ва деворнинг (штрихланган кесим)нинг юзалари бўлиб, улар қўйидагига тенг:

$$A_m = \sigma t; \quad A_o = \delta \left(\frac{h_o}{2} - y \right)$$

Нейтрал ўқдан штрихланган кесимларнинг оғирлик марказларигача бўлган масофаларни ҳисоблаймиз:

$$y_m^c = \frac{1}{2} \cdot (h_o + t); \quad y_o^c = \frac{1}{2} \left(\frac{h_o}{2} + y \right)$$

$$\text{Демак, } S_x^{axp} = \frac{\sigma t}{2} \left(h_o + t \right) + \frac{\delta}{2} \left(\frac{h_o^2}{4} - y^2 \right) \quad (b)$$

Журавский формуласидан фойдаланиб урунма кучланишини аниқлаймиз:

$$\tau_y = \frac{Q}{2\delta J_z} \left[\sigma t (h_o + t) + \delta \left(\frac{h_o^2}{4} - y^2 \right) \right] \quad (\text{VIII.16})$$

Бундан чиқди, урунма кучланиш вертикал девор чегараси $0 \leq y \leq 0,5h_o$ да параболик қонуният билан ўзгарар экан. Бу кучланиш девордан токчага ўтётган n -и кесимда

$$\tau_{n-n} = \frac{Q \cdot t(h_o + t)}{2\delta J_x} \quad (\text{VIII.17})$$

га, нейтрал қатламда эса

$$\tau_{\max} = \frac{Q}{2\delta J_x} \left[st \cdot (h_o + t) + \frac{\delta h_o^2}{4} \right] \quad (\text{VIII.18})$$

га тенгдир.

Құштаври кесим токчасидаги урунма күчланишнинг тақсимлаш қонуниятини аниқлашда ундаги ҳар бир нүктада иккита τ_y ва τ_x урунма күчлар пайдо бўлишини унутмаслик лозим.

Масалан, Журавский формуласи ёрдамида τ_y топилса, кесим эни бирданига ўзгарган жойда урунма күчланиш эпюрасида сакраш бўлади (эпюранинг бу қисми чизмада интичка чизик билан кўрсатилган). Лекин, τ_y ни аниқлаш учун (VIII.16) формулани ишлатиб бўлмайди, чунки текширишлардан маълумки, Журавский формуласи фақатгина кесим баландлиги энига қараганда етарлича катта бўлгандагина тўғри натижা беради.

Қолаверса τ_y ни аниқлашни деярли зарурияти йўқ, чунки унинг қиймати жуда кичик бўлиб, тўсиннинг мустаҳкамлигига таъсир кўрсатмайди.

Энди токчанинг эни бўйича ўзгарувчи урунма күчланиш τ_x ни аниқлашга ўтамиш.

Токча қалинлиги бўйлаб урунма күчланишлар текис тақсимланган деб тахмин қилиб, статик моментни аниқлаймиз:

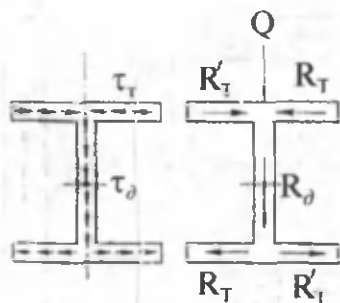
$$S_x^{axp} = \frac{t}{2} (h_o + t) \cdot x \quad (\text{в})$$

Демак, урунма күчланиш токчанинг эни бўйлаб чизиқли қонуниятга биноан тақсимланар экан:

$$\tau_x = \frac{Q \cdot t(h_o + t) \cdot x}{2J_x} \quad (131) \text{ в}$$

Шуни алоҳида таъкидлаш муҳимки, қўштаври кесим иккита симметрия ўқига эга бўлганлиги ҳамда куч текислиги уларнинг бири билан устма-уст тушганлиги туфайли токчаларда

пайдо бўлувчи урунма куч (R_m , R'_m) лар ўзаро мувозанатлашади ва ниҳоят текширилаётган тўсинин фақат эгилишгагина қаршилик қўрсатади (VIII.11-шакл, а, б).



VIII.11-шакл

Аммо, нейтрал ўққа тик бўлган марказий бош ўқ оу симметрия ўқи бўлмаса, кесимнинг токчаларида ҳосил бўлувчи урунма кучланиш тўсиннинг кучланиш ҳолатига катта таъсир кўрсатиб, ҳатто оддий деформация мураккаб деформацияга айланishi ҳам мумкин (VIII.12-шакл, а).

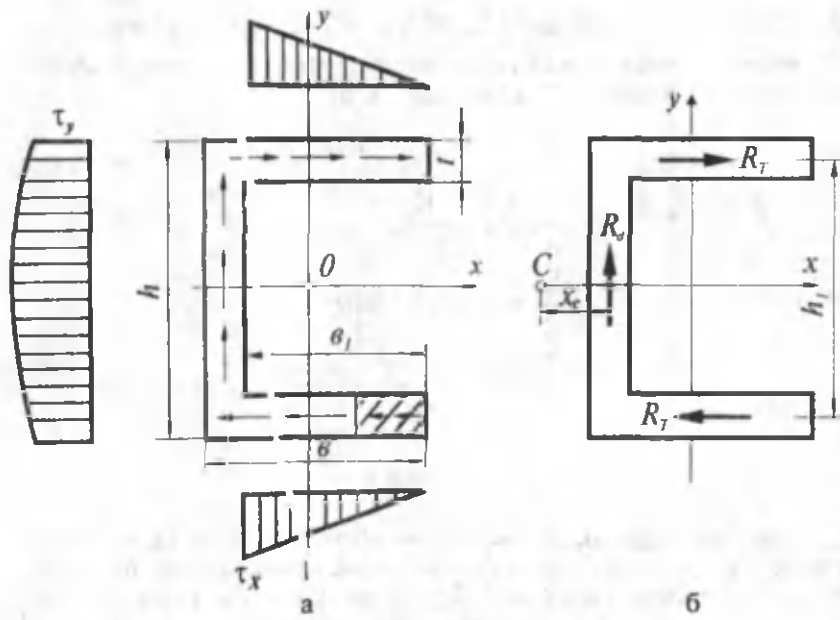
Швеллернинг оғирлик марказидан ўтувчи F куч вертикал деворда τ_y , горзонтал токчаларда эса τ_x урунма кучланишларни пайдо қиласи. Кўштаврли кесим учун баён эгилган услуб асосида швеллер кесим учун ҳам урунма кучланиш эпюраларини осонгина қуриш мумкин (VIII.12-шакл, б).

Вертикал девордаги урунма кучланишлар таъсиридан йиғиндиси R_a га тенг бўлган силжитувчи куч пайдо бўлади. Агар токчалардаги τ_y урунма кучлашларни ҳисобга олмасак, қуйидаги тахминий тенгликни ёзиш мумкин:

$$R_a \approx Q_y$$

Токчадаги натижавий силжитувчи куч R_m ни топиш учун урунма кучланишлар эпюраси юзасини токча қалинлигига кўпайтириш кифоя:

$$R_m = \frac{\tau_x^{(\max)} \cdot b_1}{2} \cdot t$$



VIII.12-шакл

Бунда $\tau_x^{(\text{max})}$ токчадаги энг катты урунма күчланиш бўлиб, тубандагича аниқланади:

$$\tau_x^{(\text{max})} = \frac{Q_y \cdot S_x^{\text{exp}} (\text{max})}{t \cdot J_z}$$

бу ерда $S_x^{\text{exp}} (\text{max}) = b_1 \cdot t \cdot \frac{h_1}{2}$

Шундай қилиб,

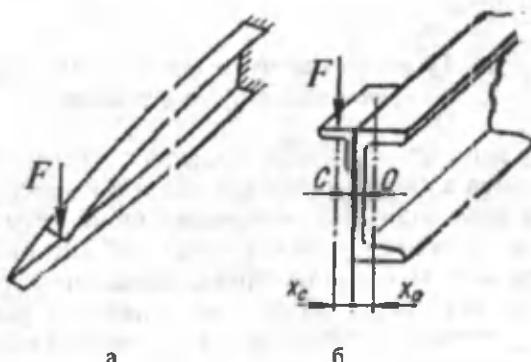
$$R_m = \frac{Q_y}{4J_z} \cdot b_1^2 h_1 \cdot t \quad (\text{VIII.19})$$

Пастки ва юқориги токчалардаги силжитувчи күчлар моменти қўйидагига тенг бўлган жуфт кўч ҳосил қиласди:

$$M_1 = R_m \cdot h_1 = \frac{Q_y}{4J_z} \cdot b_1^2 \cdot h_1^2 t \quad (\text{VIII.20})$$

VIII.12-шакл, б дан күриниб турибеки, деңгөр ва токчалардаги урунма (силжитувчи) кучлар швеллер кесимини ўз оғирлик маркази атрофика соат мили ҳаракати йүналишида буришга интилади.

Натижада кесимда яна ички зўриқиш-буровчи момент пайдо бўлиб, тўсин бир вағтнинг ўзида эгилиши за буралиши мумкин (VIII.13-шакл, а).



VIII.13-шакл.

Швеллер девори ва гокчаларидаги урунма кучларни бош вектор ва бош моментга келтириш мумкин. Бош моментнинг қиймати кучлар келтириладиган нуқтанинг ҳолатига боғлиқ бўлади. Шундай A нуқта ни танлаш мумкин бўлсинки, мазкур нуқтага нисбатан бош момент доимо нолга тенг бўлсин. Одатда, бундай нуқта эгилиш маркази деб аталади.

Урунма кучлар моментини нолга тенглаб қўйидагини ҳосил қиласиз (VIII.13-шакл, б) :

$$\sum M_{Ai} = 0, \quad M_1 - Q_y x_c = 0.$$

Бундан

$$x_c = \frac{M_1}{Q_y}$$

(VIII.20) ифодани сътиборга олиб, вертикал девор ўқидан эгилиш марказигача бўлган масофани топамиз:

$$x_c = \frac{b_1^2 h^2 t}{4J_x} \quad (\text{VIII.21})$$

Амалда ізбелдер кесимли түсінларнинг буралишига йүл күймаслик мақсадида махсус мослама воситасыда ташқи күч кесимнинг оғирилік марказига әмас, балки әгилиш марказига күйилади, шу жиҳатдан олганда x_c ни аниқлаш мүхим ажамиятта этадир.

8.5-§. Түсінларнинг мустақамлигини нормал күчланишлар бүйіча текшириш

Агар түсіннинг ихтиёрий күндаланг кесимларида ҳосил бўлувчи нормал күчланишнинг энг катта қиймати унинг материалди учун жоиз нормал күчланишдан ошиб кетмаса, у ҳолда түсіннинг мустақамлиги таъминланган деб ҳисобланади.

Чўзилиш ва сиқилишга бир хилда қаршилик кўрсатувчи материаллардан ясалған ва кесим шакли нейтрал ўқса нисбатан симметрик бўлган түсінларнинг мустақамлик шарти кўйидагича ёзилади:

$$\sigma_{\max} = \frac{M_{\max}}{W_x} \leq \sigma_{adm} \quad (\text{VIII.22})$$

бунда M_{\max} -түсіннинг хавфли кесимдаги эгувчи момент;

σ_{adm} -түсін материали учун жеиз күчланиш.

Түсіннинг мустақамлик шарти қўйидаги уч хил масалани ҳал қилишга имкон беради:

a) мустақамликка текшириш:

Агар күндаланг кесим ўлчамлари олдиндан берилган түсінга кўйилған ташқи күчларнинг миқдори маълум бўлса, у ҳолда хавфли кесимдаги нормал күчланиш σ_{\max} аниқланиб, уни түсін материали учун жоиз күчланиш σ_{adm} билан солиштириб кўриш мумкин:

$$\sigma_{\max} \leq \sigma_{adm} \quad (\text{a})$$

Бу күчланишлар орасидаги фарқ 5 фоиздан ошмаслиги көрек, акс ҳолда түсиннинг мустаҳкамлиги ёки материалнинг тегалиши таъминланмай қолади.

б) мустаҳкам кесим юза танлаш.

Агар тусинга қўйилган ташқи кучларнинг миқдори ва унинг материали маълум бўлса, у ҳолда түсин кундаланг кесимининг хавфсиз ўлчамларини топиб, мустаҳкам кесим юза танлаш мўмкин. Бунинг учун кесимнинг муайян шаклига кўра қаршилик моментининг геометрик ифодаси тузилди ва у

$$W_x \geq \frac{M_{\max}}{\sigma_{adm}} \quad (6)$$

формуладан аниқланган қаршилик моменти билан тенглаштирилади ҳамда ундан керакли ўлчамлар аниқланади.

Борди-ю, түсин прокат пўлатдан ясалган бўлса, (6) формуладан топилган W_x нинг қийматига кўра түсиннинг кундаланг кесим ўлчамлари сортаментдан танланади (қўштавр, швейлер ва бошқалар).

в) түсин кўтара оладиган энг катта кучни топиш.

Агар түсиннинг кўндаланг кесим ўлчамлари ва унинг материали олдиндан маълум бўлса, у ҳолда түсин кўтара оладиган ташқи кучнинг энг катта қийматини аниқлаш мумкин. Бунинг учун

$$M_{\max} \leq \sigma_{adm} \cdot W_x \quad (b)$$

формуладан хавфли кесимдаги эгувчи моментни аниқлаб, уни түсинга қўйилган ташқи кучлар билан боғлаш етарли; ҳосил қилинган ифодадан түсинга қўзилиши мумкин бўлган ташқи кучлар топилади.

Шуни таъкидлаб ўтиш муҳимки, агар түсин чўзилиш ва сиқилишга турлича қаршилик кўрсатувчи материал (масалан, мўрт материал)лардан ясалган бўлса ҳамда кесим шакли нейтрал ўққа нисбатан носимметрик бўлса, у ҳолда мустаҳкамлик шартини чўзилувчи ва сиқилувчи кесимлар учун алоҳида алоҳида тузиш зарур:

$$\sigma_{\max}^+ = \frac{M_{\max}}{W_x^+} \leq \sigma_{adm}^+, \quad \sigma_{\max}^- = \frac{M_{\max}}{W_x^-} \leq \sigma_{adm}^- \quad (7)$$

бунда σ_{\max}^+ - чўзилишдаги энг катта нормал кучланиш;

σ_{\max} - сиқилишдаги энг катта нормал күчланиш.

Охирги формулалардаги көлтирилгандык қаршилик моментлари

$$W_x^+ = \frac{J_x}{y_{\max}}; \quad W_x^- = \frac{J_x}{y'_{\max}} \quad (d)$$

га тенг.

8.6-§. Тұсинларнинг мустақамлигини урунма күчланишлар бүйіча текшириш

Тұсинларнинг урунма күчланишга пухта қаршилик күрсатишини таъминлаш үчүн унинг кесимларида пайдо бўлувчи максимал урунма күчланиш τ_{\max} нинг мазкур тұсин материалы учун жоиз урунма күчланишдан ошиб кетишига йўл қўймаслик керак:

$$\tau_{\max} = \frac{Q_{\max} S_{x(\max)}^{axp}}{b J_x} \leq \tau_{adm} \quad (VIII.23)$$

бунда $S_{x(\max)}^{axp}$ -кўндаланг кесимнинг нейтрал ўқдан бир

томонда жойлашган юзанинг мазкур ўққа нисбатан статик моменти;

τ_{adm} -тұсин материалы учун жоиз күчланиш (пўлатдан ясалган тұсинлар учун $\tau_{adm} \approx 0,6 \cdot \sigma_{adm}$.

Баъзи материаллар, хусусан ёғоч материаллари силжиш (урунма күчланиш)га заиф қаршилик күрсатади. Аниқроғи, ёғочдан ясалган тұсинларнинг нейтрал қаватидаги толалари урунма күчланишларга чидаш бера олмасдан нейтрал қават текислиги бўйича ёрилиб кетади. Шу сабабли, бундай тұсинларнинг мустақамлигини албатта, урунма күчланишларга нисбатан текшириб кўриш лозим.

8.7-§. Тұсинларнинг мустақамлигини бош күчланишлар асосида текшириш

Кўндаланг эгилишта қаршилик күрсатувчи тұсинларнинг иhtiёрий кесимларидаги нормал ва урунма күчланишларнинг эпюраларини таҳлил қилиб, хавфли нуқталар ҳақида қуйидаги муроҳазаларни айтиш мумкин (VIII.14 -шакл, а):

а) нормал күчланишлари энг катта қийматга эришган нүқталар хавфли нүқталар деб ҳисобланади. Бундай нүқталар кесим юзанинг энг чекка толаларида жойлашган бўлади (VIII.14-шакл, б); уларнинг атрофидан ажратиб олинган элемент 1 чизиқли күчланиш ҳолатида бўлиб, унинг мустаҳкамлик шарти

$$\sigma_{\max} = \frac{M_{\max}}{W_x} \leq \sigma_{adm} \quad (VIII.24)$$

кўрининиша ёзилади.

б) урунма күчланишлари энг катта қийматга эга бўлган нүқталар хавфли нүқталар деб ҳисобланади. бундай нүқталар нейтрал қатламда жойлашади (VIII.14-шакл, в); уларнинг атрофидан ажратиб олинган элемент 2 соғ силжиш ҳолатида бўлади ва мустаҳкамлик шарти қўйидагича ифодаланади:

$$\tau_{\max} = \frac{\tau_{x(\max)}^{exp}}{bJ_x} \leq \tau_{adm} \quad (VIII.25)$$

в) нормал ва урунма күчланишлари (гарчи улар энг катта қийматларга эришмаса ҳам) бирданига етарли даражада катта қийматга эга бўлган нүқталар хавфли нүқталар деб ҳисобланади. Бундай нүқталар нейтрал қатламдан бирорта у масофада жойлашган бўлиб, уларнинг атрофидан ажратиб олинган элемент 4 текис күчланиш ҳолатида бўлади. Бундай элементларнинг мустаҳкамлигини текшириш учун текис күчланиш ҳолатининг умумий назариясига таяниб, аввало бош күчланишларни топиш зарур; сўнгра мустаҳкамлик назарияларидан бири ёрдамида мустаҳкамлик шарти ёзилади. Масалан, мустаҳкамликнинг III назариясига мувофиқ:

$$\sigma_1 - \sigma_2 \leq \sigma_{adm} \quad (a)$$

Маълумки, текис күчланиш ҳолати учун бош күчланишлар

$$\sigma_{1,2} = 0.5(\sigma_x + \sigma_y) \pm 0.5\sqrt{(\sigma_x - \sigma_y)^2 + 4\tau_{xy}^2},$$

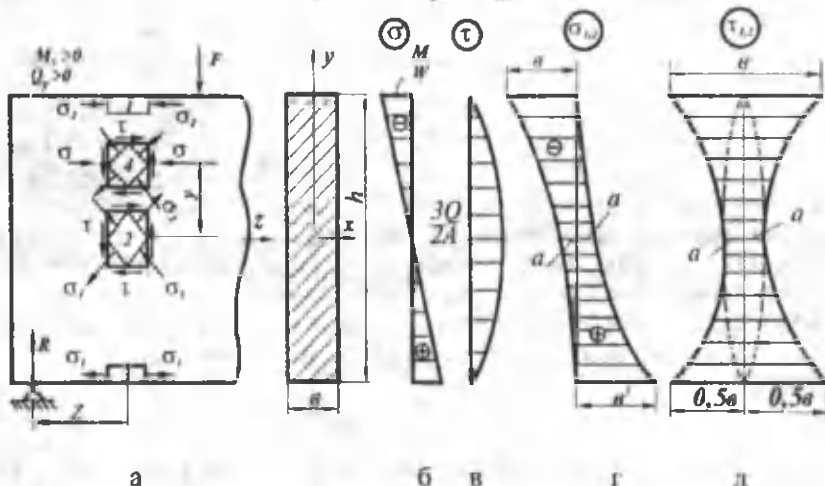
экстремал урунма күчланишлар эса

$$\tau_{1,2} = \pm 0.5\sqrt{(\sigma_x - \sigma_y)^2 + 4\tau_{xy}^2}$$

формулалар ёрдамида аниқланади.

Бош юзаларнинг йўналишлари эса қўйидагича топилади:

$$\operatorname{tg} \alpha_{1,2} = \frac{\tau_{xy}}{\sigma_y - \sigma_{1,2}}$$



VIII.14-шакл.

Биз тешираётган ҳол учун $\sigma_x = \sigma$, $\tau_{xy} = -\tau_{yx} = \tau$ га тенг; бундан ташқари, түсіннинг ўқига тик йұналишдаги σ_y нормал күчланишлар нолга тенг бўлади, чунки деформация вақтида түсіннинг бўйлама толалари бир-бирларига босим кўрсатмайди. Шу сабабли юқоридаги формуулалар анча содлашади:

$$\sigma_{1,2} = 0,5\sigma \pm 0,5\sqrt{\sigma^2 + 4\tau^2} \quad (б)$$

$$\tau_{1,2} = \pm 0,5\sqrt{\sigma^2 + 4\tau^2} \quad (в)$$

$$\operatorname{tg} \alpha_{1,2} = -\frac{\tau}{\sigma_{1,2}} \quad (г)$$

Бу формулалар таркибидаги σ ва τ ларнинг қиймати мос равиша Навье ва Журавский формулаларидан топилади.

(б) муносабатни назарда тутиб, (а) дан қуидагига эга бўламиш:

$$\sqrt{\sigma^2 + 4\tau^2} \leq \sigma_{adm} \quad (d)$$

Худди шу тарзда, мустаҳкамликнинг IV назариясидан

$$\sqrt{\sigma^2 + 3\tau^2} \leq \sigma_{adm} \quad (e)$$

ифодани ҳосил қиласмиш.

Тўсиннинг мустаҳкамлигини исталган мустаҳкамлик назарияси ёрдамида текширмайлик, бари-бир муайян кесимларнинг қайси нуқталарида σ ва τ нинг иккаласи ҳам бирданига етарли даражада катта қийматтага эришади, деган саволга дуч келамиш. Текширишлардан маълумки, қуидаги икки шарт бажарилган тақдирдагина σ ва τ лар бирданига етарли даражада катта қийматтага эга бўлар экан:

1. Эгувчи момент ва қўндаланг кучлар бирданига ўзларининг энг катта ёки унга яқинроқ қийматларига эришувчи кесимларида.

Умумий ҳолда, M ва Q ларнинг бирданига максимал қийматтага эришган кесимларини учратиш қийин. Аммо баъзи ҳолларда, хусусан консолнинг қистириб маҳкамланган кесимларида оғир юқ қуийлган нуқта таянчга яқин ўрнатилган ҳоллардагина M ва Q лар бирданига энг катта қийматтага эришади.

2. Қўндаланг кесим тўсатдан ўзгарган жойларда.

Масалан, қўштаврли ёки ичи ғовак тўғри тўртбурчакли кесимларда τ нейтрал ўқдан четта томон жуда секин камаяди. Кесимнинг девори билан токкаси қўшилган жойда σ ва τ ларнинг қийматлари етарли даражада катта бўлади.

Шуни таъкидлаб ўтиш зарурки, тўғри тўртбурчакли ва доиравий кесимларда бирданига σ ва τ лар энг катта қийматтага эга бўладиган нуқталар учрамайди.

Энди (б), (в) ва (г) формулаларга таяниб, битта қўндаланг кесим юзасида, аммо турлича баландликларда ётувчи нуқта атрофидан олинган элементларнинг кучланганлик ҳолатини текширамиз.

$$1 \text{ нуқтада} \quad (\sigma = -\frac{\dot{M}_x}{W_x}, \quad \tau = 0)$$

$$\sigma_x = -0,5 \left(-\frac{M_x}{W_x} \right) + 0,5 \sqrt{\left(-\frac{M_x}{W_x} \right)^2} = 0$$

$$\sigma_z = -0,5 \left(-\frac{M_z}{W_z} \right) - 0,5 \sqrt{\left(-\frac{M_z}{W_z} \right)^2} = \sigma$$

$$\tau_{1,2} = \pm 0,5 \sigma, \quad \alpha_1 = 90^\circ, \quad \alpha_2 = 0^\circ$$

(чизиқли күчланиш ҳолати).

2 нүктада $(\sigma = 0, \quad \tau = \frac{3}{2} \cdot \frac{Q}{A})$

$$\sigma_1 = \tau_1, \quad \sigma_2 = \tau_1,$$

$$\gamma_1 = 135^\circ, \quad \gamma_2 = 45^\circ$$

(соғ салжыши ҳолати).

3 нүктада $(\sigma = \frac{M_z}{W_z}, \quad \tau = 0)$

$$\sigma_1 = -\sigma, \quad \sigma_2 = 0, \quad \tau_{1,2} = \pm \sigma,$$

$$\gamma_1 = 0^\circ, \quad \gamma_2 = 90^\circ$$

(чизиқли күчланиш ҳолати)

VIII.14-шакл, гана дарда тегишлича бош күчланишлар ва экстремал күчланишлар эпюрасининг умумий кўриниши тасвирланган; бу эпюраларнинг ўзига хос томони шундаки, уларнинг нейтрал ўқидаги ординатлари бир хилдир.

8.8-§. Тўсин кесимларининг рационал шакллари

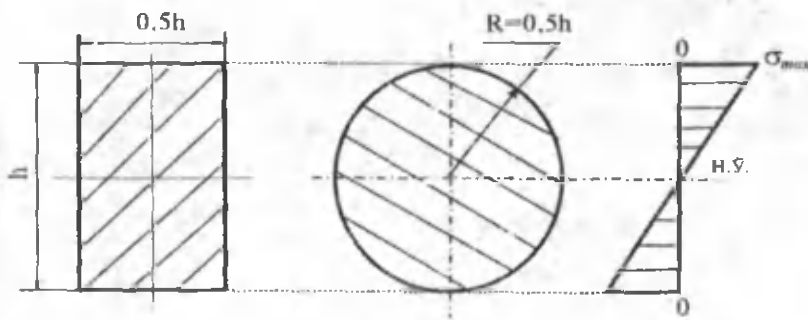
Тўсинларнинг кўндаланг кесим шакли рационал деб ҳисобланади, қачонки у бир вақтнинг ўзида мустаҳкамлик ва иқтисодий (тайёрлаш жараёнида кам материаллар талаб қилиши) шартларни қаноатлантируса; ўз-ўзидан равшанки, иқтисодий талабга жавоб берувчи тўсинларнинг оғирликлари ҳам камаяди.

Одатда, кесимларнинг рационал шакллари қуйидаги коэффицент билан баҳоланади:

$$\eta = \sqrt[3]{\frac{A^3}{W^2}} \quad (\text{VIII.26})$$

Бу ерда, η - ўлчамсиз миқдор бўлиб, кесим шаклининг рационал коэффиценти деб аталади; бу коэффицент қанча кичик бўлса, танланган кесим энг рационал деб ҳисобланади.

Қандай кўринишдаги кесим рационал бўлишини аниқлаш учун, бир хил баландликдаги кесимлар ўзаро солиширилади. Масалан, кесим юзаси A га тенг бўлган тўғри тўртбурчакли ва доиравий шаклларни қараб чиқайлик (VIII.15-шакл).



VIII.15-шакл

Тўғри тўртбурчакли кесим учун:

$$W = \frac{0.5h \cdot h^2}{6} = \frac{h^3}{12}; \quad A = 0.5h^2; \quad \eta = \sqrt[3]{18}$$

Доиравий кесим учун:

$$W = \frac{\pi d^3}{32} = \frac{\pi h^3}{32}; \quad A = \frac{\pi d^2}{4} = \frac{\pi h^2}{4}; \quad \eta = \sqrt[3]{48}$$

Бундан чиқди, тўғри тўртбурчакли кесим доиравий кесимга нисбатан бирмунча рационал бўлар экан. Шу ўринда, мазкур тўғри тўртбурчакли кесимдан янада рационалроқ фойдаланиш мумкинми? - деган савол туғилиши табиий.

Қолаверса, нормал кучланишнинг кесим юза баландлиги бўйича тақсимланиш қонуниятини таҳлил қўлиб, тўсин ясаш учун материаллар керагидан ҳам ортиқча сарфланган, яъни нейтрал қатлам атрофида нормал кучланиш кичик бўлишига

қарамасдан, у ерда материал тежалмаган, деган холосага келиш мүмкін.

Материаллардан тежамлироқ фойдаланиш мақсадида кесим юзани ұзгартырмасдан уни иложи борича юқори ва пастки چеккаларға яқын жойлашган элементларға суриш кифоя (VIII.16-шакл, а); бу фикрни инерция моментининг

$$J_x = \int_A y^2 \cdot dA \quad (4)$$

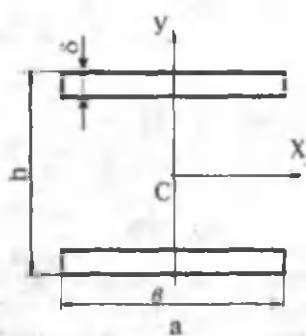
күринишдаги формуласи ҳам тасдиқлады: **кесим юзани «ташқын этган заррачалар»** үзоклашған сари айни баландлықда инерция моменти ҳам, қаршилик ҳам көтталашиб, η камая боради.

VIII.16-шаклда көлтирилған кесим учун:

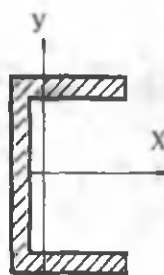
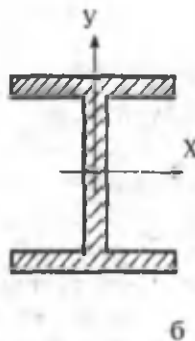
$$J_x = J_o + A \cdot \left(\frac{h}{2}\right)^2 \approx A \cdot \frac{h^2}{4},$$

чунки $J_o = \frac{\pi \delta^3}{12} = A \cdot \frac{\delta^2}{24} \approx 0$:

$$W_x = \frac{J_x}{\frac{h}{2}} = A \cdot \frac{h}{2}; \quad \eta = \sqrt[3]{\frac{A^3}{\left(\frac{Ah}{2}\right)^2}} = 3/2.$$



VIII.16-шакл



Аммо, VIII.16-шакл, а да тасвирланған кесимдән мұхандислик амалиётіда фойдаланиб бўлмайди. Ўз-ўзидан равшанки, бундай ҳолларда түсін бир бутун ҳолда эгилишга

қаршилик күрсата олмайды. Шу сабали, кесимнинг юқори ва пастки қисмларини қандайдир дөвөр билан туташтириш зарур.

Бундай фикр-мулоҳазалар юритиш натижасида күштавр, швеллер каби стандарт профилли кесимлар «пайдо бўлган» дейишимизга асос бўлади (VIII.16-шакл, б). Демак, күштавр, швеллер сингари стандарт профилли кесимларнинг рационаллиги VIII.16-шакл, а да тасвирланган, «идеал ҳолат»даги кесимга ҳар ҳолда анча яқин экан.

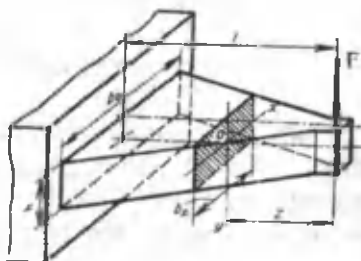
8.9-§. Тенг қаршилик күрсатувчи түсинлар

Түсинлар мустаҳкамлилкка ҳисобланадиганда кесим юзаси энг кўп кучланган, яъни эгувчи момент максимал қийматга эришган кесим бўйича танланади.

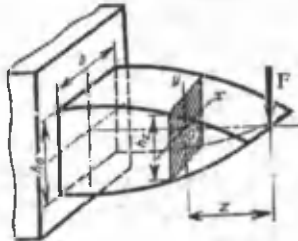
Эгувчи момент қийматлари кичик бўлган бошқа кесимларда кўндаланг кесим юза ўлчамлари камайтирилади. Натижада кесим юзаси ўзгарувчан тўсин пайдо бўлади.

Барча кесим юзаларидаги энг катта нормал кучланишлари жоиз кучланишга тенг бўлган тўсин тенг қаршилик күрсатувчи тўсин деб айтилади. Бундай тўсинлар учун узунлик бўйича кесим юза ўлчамларининг рационал ўзгариш қонуниятини билиш муҳимdir.

Айтайлик, кўндаланг кесим юзаси тўғри тўртбурчакли, баландлиги ўзгармас ($h = const$) тўсиннинг учига тўпланган куч қўйилган бўлсин (VIII.17-шакл).



VIII.17-шакл



VIII.18-шакл

F кучдан z масофада жойлашган кесимдаги эгувчи момент:
 $M = -Fz$

Таянч кесимда эса энг катта эгувчи момент пайдо бўлади:

$$M = -F\ell$$

Юқорида таъриф берганимиздек, тенг қаршилик кўрсатувчи тўсинларнинг мустаҳкамлик шарти

$$\sigma_{\max} = \frac{|M|}{W} \leq \sigma_{adm}$$

кўринишида ифодаланади.

Бундан

$$W \geq \frac{|M|}{\sigma_{adm}}$$

Кўдаланг кесими тўғри тўртбурчакли тўсин учун қаршилик моменти

$$W = \frac{bh^3}{6}$$

эканлиги олдиндан маълум.

Охирги иккала ифодаларни ўзаро тенишаб, тўсиннинг эни чизиқди қонуният бўйича ўзгаришига ишонч ҳосил қиласиз:

$$\frac{bh^3}{6} = \frac{Fz}{\sigma_{adm}}$$

ёки

$$b = \frac{6Fz}{h\sigma_{adm}} = k_1 z \quad (\text{VIII.27})$$

Бунда

$$k_1 = \frac{6F}{h\sigma_{adm}} \quad (\text{VIII.28})$$

Энди кўндаланг кесим юзасининг эни ўзгармас ($b = const$), баландлиги эса ўзгарувчан бўлган тенг қаршилик кўрсатувчи тўсинни таҳдил қиласиз (VIII.18-шакл).

Юқоридаги тенглиқдан қўйидаги муносабат келиб чиқади:

$$h = \sqrt{6 \frac{Fz}{b\sigma_{adm}}} = k_2 \sqrt{z} \quad (\text{VIII.29})$$

Бунда

$$k_2 = \sqrt{6 \frac{F}{b \sigma_{adm}}} \quad (\text{VIII.30})$$

Демак, күндаланг кесим юзасининг баландлиги түсин узуялтиги бўйлаб парабола қонунияти бўйича ўзгарар экан.

Тенг қаршилик кўрсатувчи түсинларни тайёрлаш жараёни кўп меҳнат сарфлашни талаб қилганлиги сабабли, амалда унинг ўрнига «гўёки» тенг қаршиликли түсинга ўхшайдиган айрим пўлат листлардан тузилган рессоралар ишлатилади.

8.10-§. Эгилишда деформациянинг потенциал энергияси

Эгилган түсинларнинг кесимларида тўпланувчи деформациянинг потенциал энергиясини аниқлашда солиштирма потенциал энергия формуласидан фойдаланиш мъзкулроқ.

Түсиннинг кўндаланг кесимидағи ихтиёрий нуқта атрофидан олинган элемент умумий ҳолда, текис кучланиш ҳолатида бўлади; шу сабабли (IV.25) формула

$$a = \frac{1}{2E} (\sigma_1^2 + \sigma_2^2 - 2\mu\sigma_1\sigma_2) \quad (\text{a})$$

кўринишни эгаллайди.

8.7-§ даги (б) формулани кўзда тутиб охирги ифодани қуидагича ёзамиш:

$$a = \frac{1}{2E} \left\{ 2 \left(\frac{\sigma}{2} \right)^2 + 2 \left[\left(\frac{\sigma}{2} \right)^2 + \tau^2 \right] - 2\mu \left[\left(\frac{\sigma}{2} \right)^2 - \left(\frac{\sigma}{2} \right)^2 - \tau^2 \right] \right\}. \quad (6)$$

Тегишли соддалаштиришдан кейин

$$a = \frac{\sigma^2}{2E} + \frac{\tau^2}{2} \cdot \frac{2(1+\mu)}{E} \quad \text{ёки} \quad a = \frac{\sigma^2}{2E} + \frac{\tau^2}{2G} \quad (\text{VIII.31})$$

кўринишдаги ифодага эга бўламиш.

Навье ва Журавский формулаларига таяниб, охирги ифодани қуидагича ёзамиш:

$$a = \frac{M^2}{2EJ_z} y^2 + \frac{Q^2 (S_x^{app})^2}{2GJ_x^2 h^2} \quad (\text{VIII.32})$$

Түсіннинг dz узунлікдаги қисміда тұпланған потенциал энергияни анықтаймиз:

$$dU = a \, dV \quad \text{ёки} \quad dU = a \, dA \, dz$$

Бу ифодани түсіннинг бутун ҳажми бүйіча интегралаб (йиғиб), потенциал энергияни ҳисоблаймиз (кейинчалик $S_x = S_x^{app}$ деб зәтироф этилади):

$$U = \iiint \left(\frac{M^2}{2EJ_x^2} \cdot y^2 + \frac{Q^2 \cdot S_x^2}{2GJ_x^2 \cdot b^2} \right) dV \quad (\text{VIII.33})$$

Элементлар ҳажмні

$$dV = dA \, dz$$

Күпайтма күренишда ёзіб, охирғи ифодани қуйидагиша үзгартырамиз:

$$U = \int_{(I)} dx \int_{(A)} \frac{M^2 \cdot y^2}{2EJ_x^2} \, dA + \int_{(I)} dx \int_{(A)} \frac{Q^2 \cdot S_x^2}{2GJ_x^2 \cdot b^2} \, dA \quad (\text{a})$$

M, J_x, Q, E, G ларнинг текширилаётгап кесимда үзгартаслигини назарда тутиб

$$U = \int_{(I)} \frac{M^2 dz}{2EJ_x^2} \int_{(A)} y^2 dA + \int_{(I)} \frac{Q^2 dz}{2GJ_x^2} \cdot \int_{(A)} \frac{S_x^2}{b^2} dA \quad (\text{b})$$

Күренишдеги ифодага эта бўламиз.

Бу ерда $\int_{(A)} y^2 dA = J_x$ га teng; agar

$$\eta = \frac{A}{J_x^2} \cdot \int_{(A)} \frac{S_x^2}{b^2} dA \quad (\text{d})$$

белгилашни киритсак, түсіннинг l узунлікдаги қисміда тұпланған потенциал энергия қуйидагича бўлади:

$$U = \int_{(I)} \frac{M^2}{2EJ_x} dz + \int_{(I)} \eta \frac{Q^2}{2G \cdot A} dz \quad (\text{VIII.30})$$

Бу ерда η - урунма күчланишларнинг кесим юза бүйіча истекис тақсимланишини ҳисобга олувчи ўлчамсиз миқдор; у кўндаланг кесимнинг шаклига боғлиқ бўлиб, тўғри

түртбурчакли кесим учун $\eta = 1,2$ га, доиравий кесим учун эса $\eta = \frac{10}{9}$ га тенг ва ҳакозо.

Үзгармас кесимли түсінлар учун деформациянинг потенциал энергияси қуидагича бўлади:

а) кўндаланг эгилишда

$$U = \frac{1}{2EJ_x} \int_M^2 dz + \frac{\eta}{2GA} \int_Q^2 dz \quad (\text{VIII.34})$$

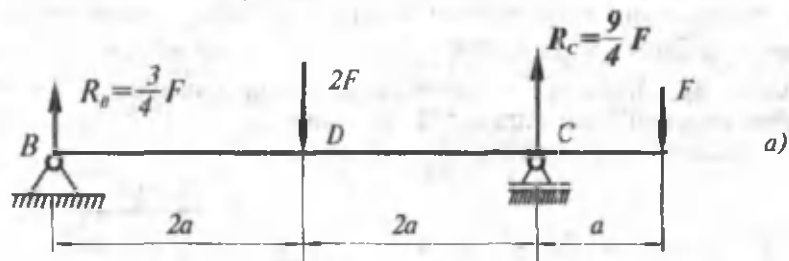
б) соф эгилишда

$$U = \frac{1}{2EJ_x} \int_M^2 dz \quad (\text{VIII.35})$$

27-масала. Узунлиги $l=5a$ бўлган қуштвар кесимли түсіннинг сортамент жадвалидаги номери 24 (ГОСТ 8239-72) бўлиб, тўпланган кучлар билан юклантан (VIII.19-шакл, а).

Нормал кучланиш $\sigma = 120 \text{ MPa}$ дан ошмаслиги учун F кучнинг энг кагта қиймати қанча бўлади?

Ҳисоблашда $a = 0,9 \text{ м}$ га тенг деб олинсин.



VIII.19-шакл

Ечиш

№24 профил учун $W_z = 289 \text{ cm}^3$; түснининг мустаҳкамлик шартидан

$$M_{\max} = \sigma_{\max} \cdot W_z = 120 \cdot 10^6 \cdot 289 \cdot 10^{-6} = 34680 \text{ H} \cdot \text{m} = 34,68 \text{ kH} \cdot \text{m} \quad (\text{a})$$

бўлади.

Эгувчи момент эпюрасидан куриниб турибдики (VIII.19-шакл, б), түснининг D кесими хавфли кесим бўлиб, унга энг катта эгувчи момент

$$M_{\max} = 1,5 Fa \quad (\text{б})$$

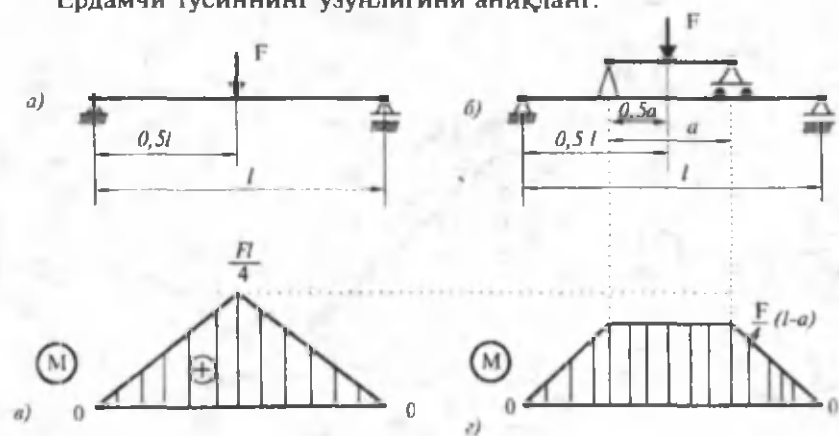
мос келади.

(а) ва (б) ифодаларни солиштириб кучнинг энг катта қийматини аниқлаймиз:

$$1,5 Fa = 34,68 \text{ kH}, \quad F = 25,69 \text{ kH}.$$

28-масала. Асосий түснининг ўртасига шундай F куч кўйилганки, унинг таъсирида хавфли кесимда вужудга келадиган энг катта нормал кучланиш түсин материали учун жоиз нормал кучланиш σ_{adm} дан 20% ошиб кетади (VIII.20-шакл, а). Ортиқча кучланишни йўқотиш мақсадида ёрдамчи түсниндан фойдаланилган (VIII.20-шакл, б).

Ёрдамчи түснининг узунлигини аниқланг.



VIII.20-шакл

Ечиш

Иккала ҳол учун ҳам эгувчи момент эпюраларини қуриб, хавфли кесимлардаги энг катта эгувчи моментларини аниқтаймиз.

1-ҳол: ёрдамчи түсин бўлмаганда (VIII.20-шакл, в):

$$M_{\max} = \frac{Fl}{4}$$

2-ҳол: ёрдамчи түсин бўлганда (VIII.20-шакл, г):

$$M_{\max} = \frac{Fl}{4} - \frac{Fa}{4}$$

Ортиқча кучланишни йўқотиш учун $\frac{Fl}{4}$ ни 20фоизга камайтириш кифоя:

$$0,2 \cdot \frac{Fl}{4} - \frac{Fa}{4} = 0,$$

бундан $a=0,2l$ га тенг эканлиги келиб чиқади.

29-масала. VIII.21-шакл, а да тасвиirlанган түсингининг кўндаланг кесими $b \times h$ ўлчами тўғри тўртбурчакдан ибрат бўлиб, у ёточ (қарагай)дан ясалган.

Түсингининг узунлиги $l = 3 \text{ м}$, унга қўйилган куч эса $F = 15 \text{ kH}$, жоиз кучланиш $\sigma_{adm} = 10 \text{ MPa}$ га тенг.

Кўндаланг кесими доиравий брусадан, яъни худди шундай ўлчамдаги түсин арралаш учун бруснинг минимал диаметри қанча бўлиши керак?

$\frac{b}{h}$ муносабатнинг қандай қийматида түсингининг қаршилик моменти энг катта бўлади?

Ечиш

Таянч реакцияларини аниқлаб, эгувчи момент эпюрасини қурамиз (VIII.21-шакл, б). Хавфли кесимда $M_{\max} = 15 \text{ kH} \cdot \text{м}$ таъсир этаётганлиги учун қаршилик моменти

$$W_z = \frac{M_{\max}}{\sigma_{adm}} = \frac{15 \cdot 10^3}{10 \cdot 10^6} = 15 \cdot 10^{-4} \text{ m}^3.$$

бұлади.

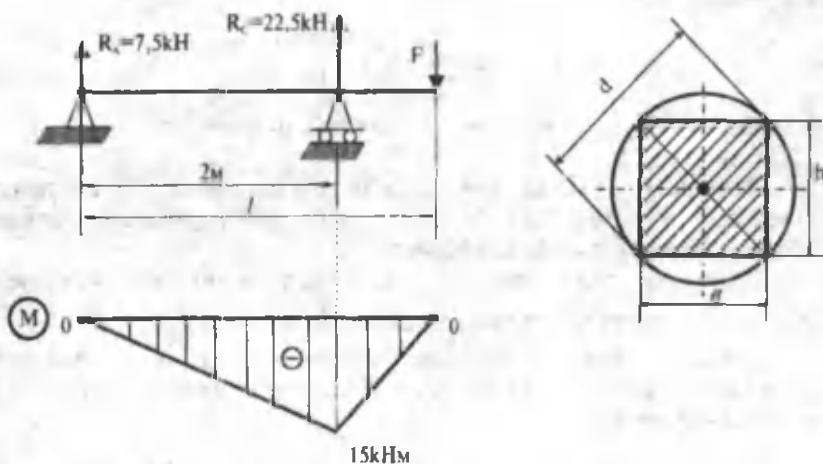
Иккінчи томондан, күндаланг кесимнинг қаршилик моментини кесим юза үлчамлари орқали қуийдегіча ёзиш мүмкін:

$$W_z = \frac{bh^2}{6} = \frac{b(d^2 - b^2)}{6}$$

Қаршилик моменти эң катта қийматта зерттеуде үшін

$$\frac{dW_z}{db} = \frac{1}{6}(d^2 - 3b^2) = 0$$

бөлиши керак.



VIII.21-шабл.

Бундан

$$b = \frac{d}{\sqrt{3}}, \quad h = \sqrt{\frac{2}{3}} \cdot d, \quad \frac{b}{h} = \frac{\sqrt{2}}{2}$$

зеканлиғи келиб чиқади.

Демак, қаршилик моментининг энг катта қиймати
 $W_{\max} = \frac{d^3}{9\sqrt{3}}$ га тенг экан.

Охирги ифодани $15 \cdot 10^{-4} \text{ м}^3$ га тенглаб, түсіннинг диаметрini аниқтаймиз: $d = 28,6 \cdot 10^{-2} \text{ м}$.

Назорат саволлари ва топшириқтар

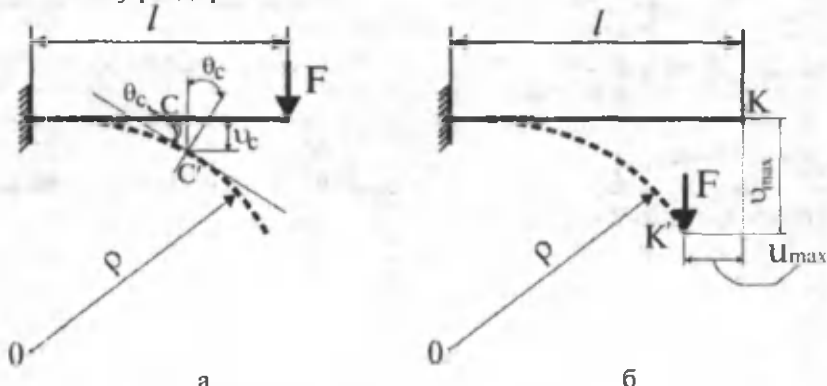
1. Эгилишда ички күч омилларидан қайсилари пайдо бўлади?
2. Соф эгилиш ва кўндаланг эгилиш нима?
3. Нейтрал қатлам ва нейтрал ўқ нима?
4. Соф эгилишда нормал кучланиш формуласини ёзинг.
5. Кўндаланг эгилишда нормал кучланиш қандай формула ёрдамида аниқланади?
6. Нормал кучланиш бўйича тўсинларнинг мустаҳкамлик шарти қандай кўринишга эга бўлади?
7. Урунма кучланиш бўйича тўсинларнинг мустаҳкамлик шарти қандай кўринишга эга бўлади?
8. Тўсинларнинг мустаҳкамлигини бош кучланишлар асосида текшириш тартибини изоҳланг.
9. Кесим шаклининг рационал көзфиценти нималарга боелик?
10. Солиширма потенциал энергия формуласини ёзинг ва унинг маънитини тушунтиринг.

ІХ БОБ. ТҮСИНЛАРНИНГ ЭГИЛИШДАГИ КҮЧИШЛАРИНИ АНИҚЛАШ

9.1-§. Умумий мұлоқазалар

Биз шу вақтгача түсінларни күчланиш (нормал, урунма ва бош күчланиш)лар бүйічі мустаҳкамлікка текшириш масалалари билан шуғулландик. Энди эса түсінларни бикрликка текширишнинг ўзига хос муаммолари ҳақида фикр-мұлоқазалар юритамыз.

Түсінларни бикрликка қисоблаш жараёнларыда уларнинг ташқы күчлар таъсири натижасыда олган деформацияларини билиш мүхимдір.



ІХ.1-шакл.

Түсінларнинг деформацияларини исталған күндаланг кесимларнинг вазиятларини тавсифлай оладиган қыйидаги иккита күчишлардан иборат деб қараш мүмкін (ІХ.1-шакл, а):

- исталған нұқталарнинг салқилиги-чизиқли күчи;
- исталған күндаланг кесимларнинг айланыш бурчаклари-бурчаклы күчи.

Түсіннинг күндаланг кесими оғирлік марказининг түсін ўзига тік (перпендикуляр) йұналишдаги күчиши унинг мазкур

кесимдаги салқилиги дейилади ва v_z ёки f_{\max} ҳарфлари билан белгиланади.

Тұсын узунлиғи бүйіча олинган иктиерий күндалант кесимнинг даслабки (деформацияланмаган) вазиятта нисбатан текис қолған ҳолда нейтрал үқ атрофида маълум бурчакка оғишига мазкур кесимнинг айланиш бурчаги дейилади ва θ ҳарфи билан белгиланади.

Деформацияланган тұсыннинг барча күндалант кесим оғирлик марказларининг геометрик үрніга әзілған үқ ёки эластик чизик дейилади; эластик чизик текис әзіз чизик бўлиб, у куч текислигига ётади.

Тұсынларнинг деформацияси ёки бикрлигини таҳлилий үрганиш масаласи асосан эластик чизиқнинг $v=v(z)$ кўринишдаги тенгламасини аниқлаштирилади.

Тұсынларни бикрликка ҳисоблаш учун аввало, жоиз салқилик

$$v_{adm} = \frac{l}{m} \quad (a)$$

ни аниқлаш зарур.

Бунда m -лойиҳалаш мөъёrlарига мувофиқ 300 дан 1000 гача бўлған оралиқдаги ўзгармас сон ҳисобланади; ўта муҳим иншоотлар, хусусан темир йўл кўприкларини лойиҳалашда $m=1000$ танланади.

Муҳандислик амалиётида фойдаланиладиган жуда кўп тұсынларда горизонтал кўчиш u_{max} вертикаль кўчиш v_{max} га нисбатан етарлича кичик эканлиги тасдиқланган (IX.1-шакл, б). Бу холоса тұсынларни лойиҳалаш-ҳисоблаш жараёнларида горизонтал кўчишни эътиборга олмаса ҳам бўлади ёки бошқача айтганда, барча нұқталар фақат вертикаль йўналишда кўчади, деган муҳим чекланиш киритишга имкон беради.

Эгилишдаги деформацияларни аниқлашнинг бир қанча усуllари мавжуд; биз бу бобда фақат куйидаги усуllар билан қисқача танишиб чиқамиз, холос:

- әзілған үқнинг тақрибий дифференциал тенгламасини бөвосита интеграллаш усули;
- бошлангич параметрлар усули ёки универсал формула;
- Мор усули;
- Верешагин усули.

9.2-§. Эгилган ўқнинг дифференциал тенгламаси

Эгилган ўқнинг дифференциал тенгламасини келтириб чиқаришда қуйидаги чекланишларга таянамиз:

- салқилик тўсин узулилгига нисбатан жуда кичик деб фараз қилинади; бу эса $\frac{d\psi_t}{dz} = \operatorname{tg}\theta \sim \theta$ муносабатдан фойдаланишга имкон беради: деформация вақтида бирор кесимдаги салқиликдан абсцисса ўқи бўйича олинган биринчи тартибли ҳосила мазкур кесимнинг айланиш бурчагига тенгдир;
- тўсиннинг кесими деформациядан кейин ҳам текислигича қолади (Бернулли гипотезаси);
- кўндаланг кучлардан ҳосил бўлувчи силжиш деформациялари эътиборга олинмайди, деб фараз қилинади; бу тахмин кўндаланг кесим текислиги тўсин эгилгандан кейин ҳам эластик чизиққа тиклигича қолади, дейишга асос бўлади.

Маълумки, эластик чизиқнинг эгрилиги $\frac{1}{\rho}$ этувчи моментга тўғри, бикрликка эса тескари мутаносиб боғланишда эди (8.2-§ га қаранг):

$$\frac{1}{\rho} = -\frac{M(z)}{EJ_x} \quad (a)$$

Тенгламадаги манфий ишора тўсиннинг юқори толалари чўзилаётганлигини кўрсатади.

Олий математикадан маълумки, текис эгри чизиқ устида ётuvchi va координатлари v, z бўлган ихтиёрий нуқтадаги эгрилик қуйидагига тенг бўлади:

$$\frac{1}{\rho} = \pm \frac{\frac{d^2v}{dz^2}}{\left[1 + \left(\frac{dv}{dz}\right)^2\right]^{\frac{3}{2}}} \quad (b)$$

Энди (a) ва (b) ифодаларни тенглаштирамиз:

$$\pm \frac{\frac{d^2v}{dz^2}}{\left[1 + \left(\frac{dv}{dz} \right)^2 \right]^{\frac{3}{2}}} = -\frac{M(z)}{EI_x} \quad (\text{IX.1})$$

Бунга эластик чизиқнинг аниқ дифференциал тенгламаси дейилади; бу тенгламани интеграллаш анча мураккаб, чунки маҳражда чизиқли бўлмаган $\left(\frac{dv}{dz} \right)^2$ ҳад иштирок этмоқда.

Бу қийинчиликлардан қутилиш мақсадида юқорида қайд этилган чекланишларга мурожаат қиласиз.

Амалиётда қўлланиладиган жуда кўп тўсинларнинг максимал салқилиги билан узунлиги ўртасидаги муносабат $v_{\max} = \left(\frac{1}{1000} + \frac{1}{3000} \right) l$ эканлиги, биринчидан эластик чизиқнинг деформацияланмаган ўқдан кам фарқ қилишини, қолаверса, маҳраждаги $\left(\frac{dv}{dz} \right)^2 \approx \theta^2$ нинг бирга нисбатан жуда кичик бўлишини тасдиқлайди.

Шу сабабли

$$\pm \frac{d^2v}{dz^2} = -\frac{M(z)}{EI_x} \quad (\text{IX.2})$$

тенгламага эга бўламиш.

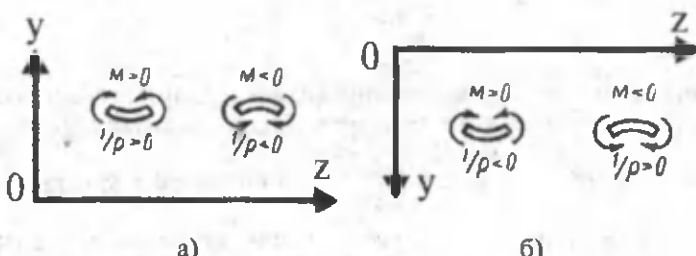
Бунга эгилган ўқнинг тақрибий дифференциал тенгламаси дейилади.

Энди (а) ифоданинг ишораларини танлаш ҳақида фикрмуроҳазалар юритамиш.

Этубчи момент $M(z)$ нинг ишораси координата ўқларининг йўналишига боғлиқ эмас; лекин эластик чизиқнинг зетрилиги $\frac{1}{\rho}$ ва иккинчи тартибли ҳосила $\frac{d^2v}{dz^2}$ нинг ишоралари ўзаро мос тушиб, улар координата ўқларнинг йўналишига боғлиқдир (IX.2-шакл, а, б).

Бундан холоса шуки, (а) ифодага қатъий бир ишора бериш учун у ўқи доимо юқорига йўналтирилади ҳамда ифоданинг

ишораси эгувчи момент $M(z)$ учун илгари қабул қилинган ишоралар қоидасига мувофиқ олинади.



IX.2-шакл

Демек, охирги тенгламани

$$\frac{d^2v}{dz^2} = \pm \frac{M(z)}{EJ_x} \quad (\text{IX.3})$$

куриниша ёзиш мумкин.

9.3-§. Эластик чизиқнинг тақрибий дифференциал тенгламасини интеграллаш. Чегаравий шартлар

Салқилик ва айланиш бурчакларининг аналитик ифодасини олиш учун (IX.3) дифференциал тенгламани кетма-кет интеграллаш кифоя.

(IX.3) тенгламанинг ўнг томони фақат z га боғлиқ маълум функция бўлганлиги сабабли, у оддий дифференциал тенгламадир. Уни бир марта интеграллаб, айланиш бурчагининг тенгламасини ҳосил қиласиз:

$$\theta(z) = \frac{dv}{dz} = \pm \int \frac{M(z)}{EJ} dz + C \quad (\text{IX.4})$$

Иккинчи марта интеграллаб эса эгилган тўсин ўқининг тенгламасини оламиз:

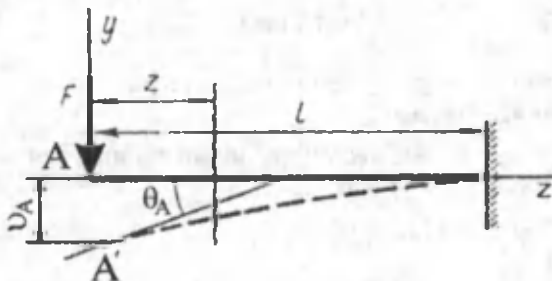
$$v(z) = \int \left[\pm \int \frac{M(z)}{EJ} dz + C \right] dz + D \quad (\text{IX.5})$$

(IX.4) ва (IX.5) ифодалар таркибидаги C ва D интеграл ўзгармаслари түсіннинг таянчларга мақкамланиш усулиға боғлиқ бўлган чегаравий шартлардан топилади.

Икки ёки ундан ортиқ оралиқларга эга бўлган түсінлар учун эса құшимча чегаравий шартлар тузиш лозим; чегаравий шартлар оралиқлар учун умумий кесимда эластик чизиқнинг узлуксиз ва силлиқ бўлиш шартидан фойдаланиб тузилади.

Масаланинг чегаравий шартлари ҳақида бир мунча кенгроқ тушунча олиш мақсадида қуйидаги учта мисолни таҳдил қўлиб чиқамиз.

1-мисол. Чап учиға F куч қўйилған консол учун чегаравий шарт ёзилсин (IX.3-шакл).



IX.3-шакл

Ечиш. Консол битта оралиқдан иборат бўлганлиги боис 2 та интеграл ўзгармаслари пайдо бўлади; бу ўзгармас сонларни аниқлаш учун эса албатта, иккита чегаравий шарт зарур.

Консолнинг қистириб мақкамланган кесимининг салқилиғи ва айланыш бурчаги нолга tengligидан қуйидаги чегаравий шартларга эга бўламиз:

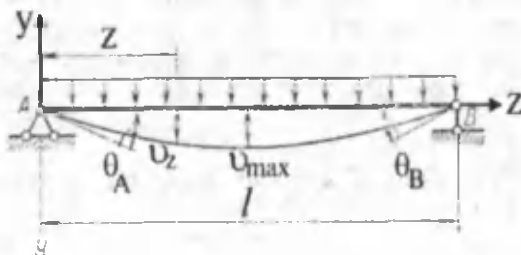
$$\begin{array}{lll} z = l & \text{бўлганда} & \theta(l) = 0; \\ z = l & \text{бўлганда} & v(l) = 0. \end{array}$$

2-мисол. IX.4-шаклда тавирланган оддий түсін учун чегаравий шартлар тузилсин.

Түсін биттә оралиқдан иборат, шунинг учун иккита интеграл узгармаслари пайдо бўлади.

Түсиннинг таянчларга тирадан учларидаги салқилиги нолга teng; бундан қўйидаги чегаравий шартларни ёзиш имконияти келиб чиқади:

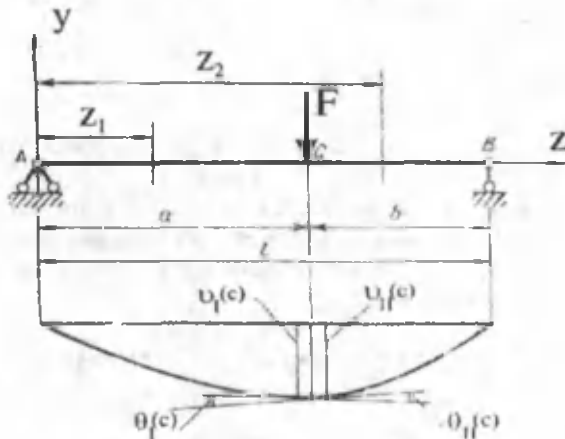
$$\begin{array}{ll} z = 0 & \text{бўлганда} \\ z = l & \text{бўлганда} \end{array} \quad \begin{array}{l} v(0) = 0; \\ v(l) = 0. \end{array}$$



IX.4-шакл

Бу чегаравий шартлар иккита интеграл ўзгармасларини аниқлаш учун етарлидир.

З-мисол. F куч билан юкландыган оддий түсін учун чегаравий шартлар ёзилсин (IX.5-шакл).



IX.5-шакл

Түсін иккі оралиқдан иборат бўлганлиги сабабли тўртта интеграл ўзгармаслари пайдо бўлади. Албатта, тўртта ўзгармас сонни аниқлаш учун тўртта чегаравий шарт зарур.

Тўсиннинг таянчларга тираган кесимларида салқилик нолга тенглигидан қўйидаги иккита чегаравий шарт келиб чиқади:

$$\begin{array}{lll} z_1 = 0 & \text{бўлганда} & v_1(0) = 0; \\ z_2 = l & \text{бўлганда} & v_2(l) = 0. \end{array}$$

Колган иккита қўшимча шартларни оралиқларнинг С кесимда қўшилиш шартидан ёки, бошқача қилиб айтганда, эластик чизикнинг бир оралиқдан қўшни иккинчи оралиқка ўтишда узлусиз ва силлиқ бўлиши шартидан фойдаланиб тузамиз:

$$\begin{array}{lll} z_1 = z_2 = a & \text{бўлганда} & v_1(a) = v_2(a); \\ z_1 = z_2 = a & \text{бўлганда} & \theta_1(a) = \theta_2(a). \end{array}$$

Шундай қилиб, тўртта чегаравий шартдан тўртта алгебраик тенглама ҳосил бўлади, улар биргаликда ечиликдан тўртта интеграл ўзгармаслари топилади.

30-масала. Узунлиги l , бикрлиги ўзгармас ($EJ_x = const$) бўлган консол эркин учининг салқилиги ва айланиш бурчаги қўйидаги уч ҳол учун аниқлансин (IX.6-шакл):

- ўнг учига F юк қўйилган;
- ўнг учига M_e жуфт куч қўйилган;
- текис тараалган Q юк қўйилган.

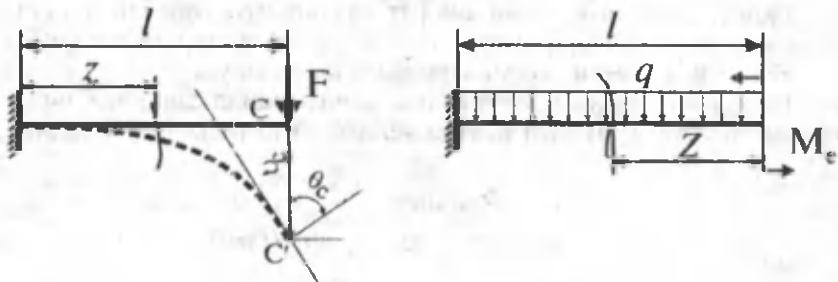
Ечиш

Масалани биринчи ҳол учун ечамиз (IX.6-шакл, а).

Таянч кесимни координаталар боши сифатида танлаб, у ўқини юқорига ва абсциссалар ўқини эса ўнг томонга йўналтирамиз. Танланган координаталарга кўра эластик чизикнинг тақрибий дифференциал тенгламаси

$$EJ_x v''_z = \pm M_z$$

кўринишни эгаллайди.



IX.6-шакл.

Координаталар бошидан ихтиёрий z масофадаги кесим учун этувчи моментнинг ифодасини тузамиз:

$$M_z = -F(l - z)$$

У ҳолда юқоридаги тенглама:

$$EJ_x v' = -F(l - z)$$

Бу тенгламани икки марта кетма-кет интеграллаймиз:

$$EJ_x v'_z = EI_x \theta_z = -F(lz - \frac{z^2}{2}) + C \quad (a)$$

$$EJ_x v_z = -F(l \frac{z^2}{2} - \frac{z^3}{6}) + Cz + D \quad (b)$$

Интеграл ўзгармасларини аниқлаш учун чегаравий шарттардан фойдаланамиз:

$$z = 0 \text{ бўлганда} \quad \theta(l) = 0$$

$$z = 0 \text{ бўлганда} \quad v(l) = 0$$

Бу шартларни (а) ва (б) тенгламаларга кўйиб, $C=0$ ва $D=0$ эканлигига ишонч ҳосил қиласиз.

Шундай қилиб, айланиш бурчаги ва салқилик тенгламаси кўйидагича бўлар экан:

$$\theta_z = -\frac{Flz}{2EJ_x} (2 - \frac{z}{l})$$

$$v_z = -\frac{Flz^2}{6EJ_x} (3 - \frac{z}{l})$$

Охирги тенгламаларга $z=l$ ни қўйиб, сўралган кесимнинг айланиш бурчаги ва салқилигини топамиз:

$$\theta_c = -\frac{Fl^2}{2EJ_x}; \quad v_c = f_c = -\frac{Fl^3}{6EJ_x}$$

Бу ифодаларнинг биринчисидаги манфий ишора С кесимнинг соат мили ҳаракатланадиган томонга айланишини, иккинчисидаги манфий ишора эса салқиликнинг пастга қараб йўналганлигини кўрсатади.

Иккинчи ҳолатни қараймиз (IX.6-шакл, б).

Юқоридаги ишларни яна такрорлаб, қўйидаги кўринишдаги айланиш бурчаги ва салқилик тенгламаларига эга бўламиз (ўқувчига масалани мустақил ечиш тавсия этилади):

$$\theta_z = \frac{1}{EJ_x} (M_e z - q \frac{z^3}{6})$$

$$v_z = \frac{1}{EJ_x} (M_e \frac{z^2}{2} - q \frac{z^4}{24})$$

Бу тенгламалардан консол эркин учидаги кесимнинг айланиш бурчаги ва салқилигини осонгина аниқлаш мумкин.

Қўйидаги хусусий ҳолларни кўриб чиқамиз:

- консолга фақат жуфт куч қўйилган бўлсин, яъни $q = 0$, $M_e \neq 0$ га тенг; у ҳолда

$$\theta_c = \frac{M_e l}{EJ_x}, \quad v_c = f_c = \frac{M_e l^2}{2EJ_x}$$

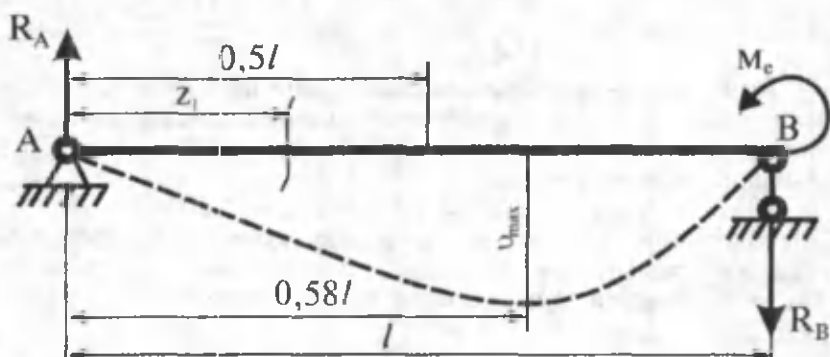
- консолга фақат текис тараған куч таъсир этаётган бўлсин, яъни $M_e = 0$, $q \neq 0$ га тенг; у ҳолда

$$\theta_c = -\frac{ql^3}{6EJ_x}; \quad v_c = f_c = -\frac{ql^4}{24EJ_x}$$

31-масала. Оддий тўсиннинг ўнг таянчига жуфт куч қўйилган (IX.7-шакл); тўсин ўзгармас бикрликка эга бўлиб, узунлиги l га тенг.

Тўсиннинг энг катта салқилиги топилсин ва у таянчлар ўртасидаги кесимнинг салқилиги билан солиширилсин.

Масала эластик чизиқнинг тақрибий дифференциал тенгламасини бевосита интеграллаш үсули ёрдамида ечилсин.



IX.7-шакл.

Ечиш

Дастлаб таянч реакцияларини аниқлаймиз:

$$R_A = R_B = \frac{M_e}{l}$$

Үнд таянчдан ихтиёрий z масофада жойлашган кесимдаги этувчи момент $M(z) = \frac{M_e}{l} \cdot z$ га тенг. У ҳолда:

$$EJ_x v''_z = \frac{M_e}{l} z$$

Охирги тентламани кетма-кет интегралаймиз:

$$EJ_x \theta_z = \frac{M_e}{l} \cdot \frac{z^2}{2} + C \quad (a)$$

$$EJ_x v_z = \frac{M_e}{l} \cdot \frac{z^3}{6} + Cz + D \quad (b)$$

Түсіннинг таянчларга тирадан кесимларида салқиликнинг нолға тенглігі қуйидаги чекаравий шартларни беради:

$$z = 0 \quad \text{бұлғанда} \qquad \theta_{z=0} = 0,$$

$$z = l \quad \text{бүлгандан} \quad \theta_{z=l} = 0.$$

Булардан $D=0$ ва $C = -\frac{M_e l}{6}$ эканлыги келиб чиқади.

Ниҳоят, айланиш бурчаги ва салқилик учун қыйидаги тенгламаларга зәғ бўламиз:

$$\theta_z = \frac{M_e z^2}{2IEJ_x} - \frac{M_e l}{6EJ_x}, \quad (\text{c})$$

$$v_z = \frac{1}{EJ_x} \cdot \frac{M_e z^3}{6l} - \frac{M_e l}{6EJ_x} \cdot z \quad (\text{d})$$

(д) тенгламага $z = 0,5l$ ни қўйиб, таянчлар орасидаги кесимнинг салқилигини топамиз:

$$v_D = v_{z=0,5l} = -\frac{M_e l^2}{16EJ_x}$$

(с) тенгламани нолга тенглаб, салқилиги энг катта бўлган кесимнинг абсциссани z_0 ни аниқлаймиз:

$$\frac{M_e z_0^2}{2IEJ_x} - \frac{M_e l}{6EJ_x} = 0 \quad \text{бундан,} \quad z_0 \approx 0,577l.$$

Максимал салқиликни ҳисоблаймиз:

$$f_{\max} = \frac{1}{EJ_x} \cdot \frac{M_e (0,577l)^3}{6l} - \frac{M_e l}{6EJ_x} \cdot 0,577l = -\frac{M_e l^2}{15,57 EJ_x}$$

Демак, v_D максимал салқилиқдан 2,76% га фарқ қиласкан.

32-масала. Узунлиги $3l$, бикрлиги ўзгармас бўлган оддий тўсинга тўплланган куч қўйилган (IX.8-шакл).

Ана шу тўсин учун айланиш бурчаги ва салқилик тенгламаларини, максимал салқиликни ҳамда таянч кесимларининг айланиш бурчакларини аниқланг.

Масалани счиш учун эгилган ўқнинг тақрибий дифференциал тенгламасини бевосита интеграллаш усули тавсия этилади.

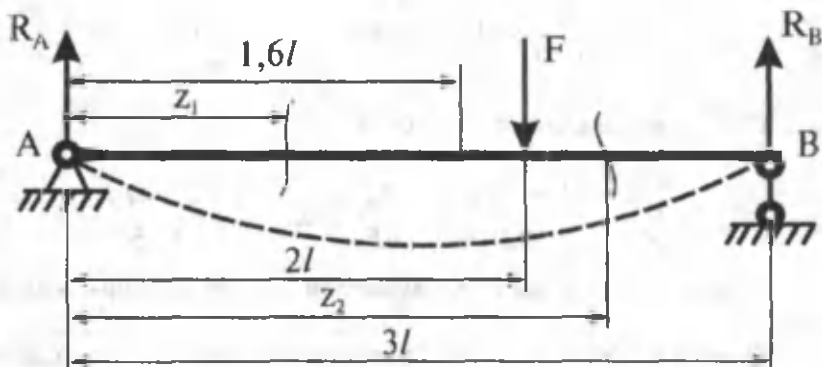
Ечиш

Аввал түсіннинг таянч реакцияларини топамыз:

$$R_A = \frac{F}{3}, \quad R_B = \frac{2F}{3}$$

F юк түсінни иккита оралиққа ажраттандырылғанда сабабли ҳар бир оралиқ учун құйидаги ифодаларни түзиш зарур:

I оралиқ ($0 \leq z_1 \leq 2l$)	II оралиқ ($2l \leq z_2 \leq 3l$)
$M(z_1) = \frac{F}{3} \cdot z_1$	$M(z_2) = \frac{F}{3} \cdot z_2 - F(z_2 - 2l)$
$EJ_x v''_{z_1} = \frac{F}{3} \cdot z_1$	$EJ_x v''_{z_2} = \frac{F}{3} \cdot z_2 - F(z_2 - 2l)$
$EJ_x \theta_{z_1} = \frac{F}{3} \cdot \frac{z_1^2}{2} + C_1$	$EJ_x \theta_{z_2} = \frac{F}{3} \cdot \frac{z_2^2}{2} - F \frac{(z_2 - 2l)^2}{2} + C_2$
$EJ_x v_{z_1} = \frac{F}{3} \cdot \frac{z_1^3}{6} + C_1 z_1 + D_1$	$EJ_x v_{z_2} = \frac{F}{3} \cdot \frac{z_2^3}{6} - F \frac{(z_2 - 2l)^3}{6} + C_2 z_2 + D_2$



IX.8-шакл

Юқори тенгламалар таркибидеги C_1, D_1, C_2, D_2 ихтиёрий узгармасларни анықлаш учун құйидаги түрттә четаравий шарттардан фойдаланамыз:

- $z_1 = 0$ да $v_{z_1} = 0$ бўлади,
бундан $D_1 = 0$ келиб чиқади.
 - $z_2 = 3l$ да $v_{z_2} = 0$
ёки $\frac{F}{3} \cdot \frac{(3l)^3}{6} - F \frac{l^3}{6} + C_2 \cdot 3l + D_2 = 0$ бўлади;
 - $z_1 = z_2 = 2l$ да $\theta_{z_1} = \theta_{z_2}$,
ёки $\frac{F}{3} \cdot \frac{(2l)^2}{2} + C_1 = \frac{F}{3} \cdot \frac{(2l)^3}{6} + C_2$ бўлади.
Бундан, $C_1 = C_2$ келиб чиқади.
 - $z_1 = z_2 = 2l$ да $v_{z_1} = v_{z_2}$
ёки $\frac{F}{3} \cdot \frac{(2l)^3}{6} + C_1 \cdot 2l + D_1 = \frac{F}{3} \cdot \frac{(2l)^3}{6} + C_2 \cdot 2l + D_2 = 0$ бўлади.
Бундан $D_1 = D_2$ эканлиги келиб чиқади.
Шундай қилиб, $D_1 = D_2 = 0$
- $$C_1 = C_2 = -\frac{4Fl^2}{9}.$$

Айланиш бурчаги ва салқилик учун қуйидаги тенгламаларга эга бўламиз:

I оралиқ	II оралиқ
$\theta_{z_1} = \frac{1}{EJ_z} \left(\frac{Fz_1^2}{6} - \frac{4Fl^2}{9} \right) = \frac{F}{6EJ_z} \left(z_1^2 - \frac{8l^3}{3} \right)$	$\theta_{z_2} = \frac{F}{6EJ_z} \left[z_2^2 - 3(z_2 - 2l)^2 - \frac{8l^3}{3} \right]$
$v_{z_1} = \frac{F}{18EJ_z} (z_1^3 - 8l^2 \cdot z_1)$	$v_{z_2} = \frac{F}{18EJ_z} \left[z_2^3 - 3(z_2 - 2l)^3 - 8l^2 \cdot z_2 \right]$

Энди салқиликнинг энг катта қиймати f_{max} ни аниқлашга ўтамиз. Одатда, салқилиги f_{max} бўлган кесимда айланиш бурчаги нолга teng бўлади; текширилаётган тўсинда бундай кесим $0 \leq z_1 \leq 2l$ оралиқда ётиши табиий. Шунинг учун:

$$\frac{dv_{z_1}}{dz_1} = \frac{F}{6EJ_z} \left(z_1^2 - \frac{8l^3}{3} \right) = 0, \quad \text{бундан} \quad z_1 = 1,633l \text{ га teng.}$$

$$\text{Демак, } f_{\max} = \frac{F}{18EJ_x} [(1,633l)^3 - 8l^2 \cdot 1,633l] = -0,4838 \frac{Fl^3}{EJ_x}$$

Тентгламаларга тегишилича $z_1 = 0$ ва $z_2 = 3l$ ни қўйиб, таянч кесимларидаги айланиш бурчакларини топамиз:

$$\theta_B = -\frac{4Fl^2}{9EJ_x}; \quad \theta_c = \frac{5Fl^2}{9EJ_x}$$

9.4-§. Бошланғич параметрлар усули

Бундан олдинги параграфда кўриб чиқилган усулнинг асосий камчилиги қўйидагилардан иборат:

- ҳар бир оралиқ учун эгувчи моментнинг ифодасини ёзиш ва (IX.3) тенгламани кетма-кет интеграллаш зарур;
- интеграл ўзгармаслари сонига қараб чегаравий шартлар тузиш керак (борди-ю, тўсинлар п та оралиқдан иборат бўлса, чегаравий шартлар асосида тузилган $2n$ алгебраик тенгламани интеграл ўзгармасларига нисбатан ечиш лозим).

Гарчи бу ишлар математик нұктай назардан қараганда қиинчлик туғдирмасада, кўп меҳнат талаб қиласди. Шу боис, А. Н. Крылов, Н. П. Пузыревский, П. Г. Куликовский, Н. К. Снитко, Н. И. Безухов, А. А. Уманский ва бошқалар таклиф этган ва юқоридаги камчиликлардан холи бўлган бошланғич параметрлар усулидан фойдаланиш мақсадга мувофиқ.

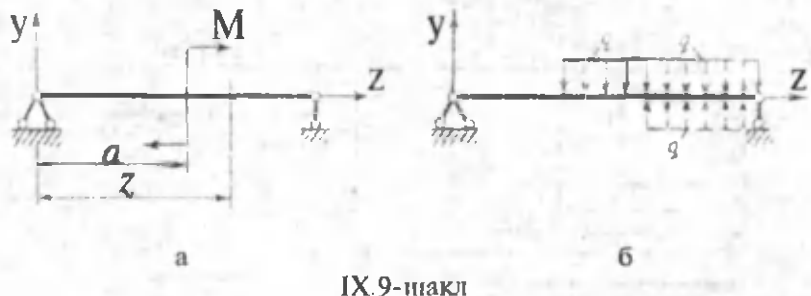
Бу усул қўйидаги асосий қоидаларга таянади:

- координата боши тўсиннинг чап учидан танланади ва у ҳамма оралиқлар учун умумий ҳисобланади;
- қирқимдан чап томонда жойлашган ташқи кучлардан эгувчи момент ифодаси тузилади;
- $(z-a)^n$ кўринишдаги кўпхадларни интеграллашда қавсларни очмаслик лозим:

$$\int (z-a)^n dz = \frac{(z-a)^{n+1}}{n+1} + C \quad (a)$$

- тўсинга қўйилган жуфт кучлардан эгувчи момент ифодасини тузётганда уни $(z-a)^0=1$ биномга кўпайтириш тавсия

- қилинади; бунда a_i -координата бошидан жуфт күчлар күйилган кесимгача бўлган масофа (IX.9-шакл, а);
- агар текис ёйилган юк ($q = \text{const}$) тўсиннинг охирги учига етмаган бўлса, у «сунъий» равишда давом эттирилади (IX.9-шакл, б). Аммо тўсиннинг мувозанатини бузмаслик учун интенсивлиги q га тенг ва унга тескари йўналишдаги юк тегишли масофага кўйилади; бу юк (IX.9-шакл, б) да ингичка чизиқ билан тасвиранган.



IX.9-шакл

Юқорида айтилган шартлар асосида ихтиёрий ташқи күчлар билан юкланган n та оралиқдан иборат тўсиннинг кўриб чиқамиз (IX.10-шакл, а).

Чизмадан кўриниб турибдики, ёйилган күч

$$q(z) = q_c + k(z-c) \quad (6)$$

қонуният бўйича таъсир этмоқда.

Бунда $k = tg\beta = \frac{q_d - q_c}{d - c}$ - оғма чизиқнинг бурчак

коэффиценти;

(б) дан $q'(z) = k$ эканлиги келиб чиқади..

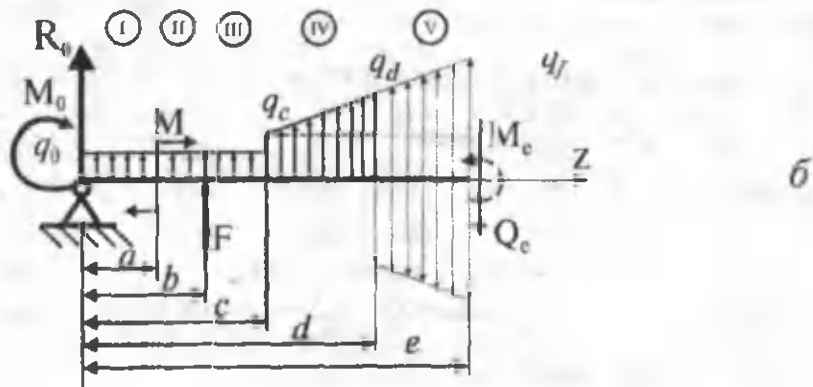
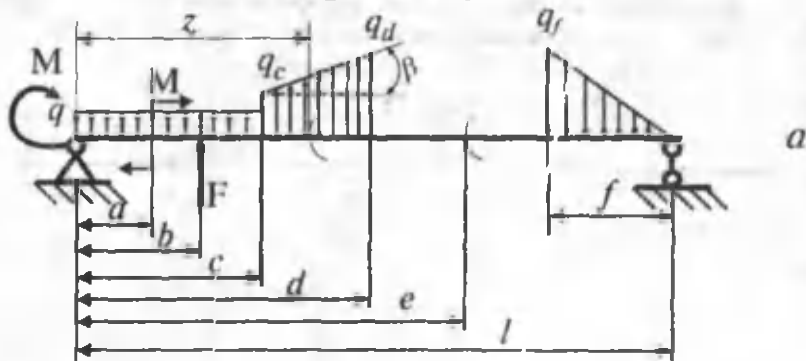
Кесиш усулидан фойдаланиб тўсиннинг ихтиёрий икки қўшни оралиғи, масалан IV ва V оралиқлари учун этувчи моментнинг ифодасини тузамиз (IX.10-шакл, б):

IV оралиқ

$$\begin{aligned} M(z) &= M_0 + Q_0 z + q_0 z^2 + M(z-a)^0 + F(z-b) + q_c \frac{(z-c)^2}{2} + \frac{1}{2}(q_z - q_c)(z-c) \frac{(z-c)}{3} = \\ &= M_0 + Q_0 z + q_0 \frac{z^2}{2} + M(z-a)^0 + F(z-b) + q_c \frac{(z-c)^2}{2} + q'(z) \frac{(z-c)^3}{6} \end{aligned}$$

V оралық

$$M(z) = M_0 + Q_0 z + q_0 \frac{z^2}{2} + M(z-a)^0 + F(z-b) + q_c \frac{(z-c)}{2} + q'(z) \frac{(z-c)^3}{6} - \\ - q_d \frac{(z-d)^2}{2} - q''(z) \frac{(z-d)^3}{6};$$



IX.10-шакл.

Буларни навбат билан эгилган үқнинг тақрибий дифференциал тенглемаси

$$EJv_z = M(z)$$

га қўйиб, уни кетма-кет икки марта интеграллаймиз:

IV оралиқ

$$EJ\theta_z = M_0 z + Q_0 \frac{z^2}{2} + q_0 \frac{z^3}{6} \Big|_I + M(z-a) + F \frac{(z-b)^2}{2} + q_c \frac{(z-c)^3}{6} + q'(z) \frac{(z-c)^4}{24} + C_4 \\ EJu_z = M_0 \frac{z^2}{2} + Q_0 \frac{z^3}{6} + q_0 \frac{z^4}{24} \Big|_I + M \frac{(z-a)^2}{2} + F \frac{(z-b)^3}{6} + q_c \frac{(z-c)^4}{24} + q'(z) \frac{(z-c)^5}{120} + \\ + C_4 z + D_4$$

V оралиқ

$$EJ\theta_z = M_0 z + Q_0 \frac{z^2}{2} + q_0 \frac{z^3}{6} \Big|_I + M(z-a) + F \frac{(z-b)^2}{2} + q_c \frac{(z-c)^3}{6} + q'(z) \frac{(z-c)^4}{24} - \\ - q_d \frac{(z-d)^3}{6} - q'(z) \frac{(z-d)^4}{24} + C_5$$

$$EJu_z = M_0 \frac{z^2}{2} + Q_0 \frac{z^3}{6} + q_0 \frac{z^4}{24} \Big|_I + M \frac{(z-a)^2}{2} + F \frac{(z-b)^3}{6} + q_c \frac{(z-c)^4}{24} + q'(z) \frac{(z-c)^5}{120} - \\ - q_d \frac{(z-d)^4}{24} - q'(z) \frac{(z-d)^5}{120} + C_5 z + D_5$$

C ва D интеграл ўзгармасларини IV ва V оралиқтар қўшилган кесимда эластик чизиқнинг узлуксиз ва силлиқ бўлиши шартидан фойдаланиб топамиз.

Аникроғи, $z = d$ бўлганда, яъни IV ва V оралиқларнинг қўшилган жойида:

$$\theta_4 = \theta_5 \quad \text{ва} \quad u_4 = v_5$$

Бундан $C_4 = C_5$ ва $D_4 = D_5$ эканлиги келиб чиқади.

Худди шу тартибда $n-1$ ва n оралиқлар учун

$$C_{n-1} = C_n \quad \text{ва} \quad D_{n-1} = D_n$$

ларга эга бўламиз.

Шундай қилиб, n та оралиқдан иборат тўсин учун:

$$C_1 = C_2 = \dots = C_n = C_{n+1} = C \\ D_1 = D_2 = \dots = D_{n-1} = D_n = D_{n+1} = D.$$

Демак, бундан шундай мұхим холоса келиб чиқады: түснің қанча оралиқлардан иборат бўлишидан қатъий назар, интеграл ўзгармаслари сони иккитадан ошмас экан.

Бу холоса интеграл ўзгармасларини түсніннинг ихтиёрий оралиғидан аниқлашга имкон беради; табиийки, кўчишларни аниқлашга оид масалалар ечаётганда C ва D ларни түсніннинг I оралиғидан аниқлаш анча қуалайлик туғдиради.

Шу боис:

$$\begin{aligned} z = 0 \text{ бўлганда} & \quad EI\theta_0 = C, \\ z = 0 \text{ бўлганда} & \quad EI\nu_0 = D. \end{aligned}$$

C ва D ларнинг топилган қийматларини V оралиқ учун ёзилган ифодаларга келтириб қўямыз (бу ифодалар умумий ҳолда ёзилган бўлиб, уларди түсніннинг z оралиғига амалда бир нечта жуфт куч, тўпланган куч ва ёйилган кучлар тизими таъсири кўрсатиши ҳам мумкинлиги зыйтиборга олинган):

$$\left. \begin{aligned} EI\theta_0 &= EI\theta_0 + M_0 \frac{z^2}{2} + Q_0 \frac{z^3}{3} + q_0 \frac{z^4}{4} \Big|_I + \sum M \frac{(z-a)^2}{2} + \sum F \frac{(z-b)^3}{3} + \sum q_c \frac{(z-c)^4}{4} + \\ &+ \sum q'(z) \frac{(z-c)^4}{4} - \sum q_d \frac{(z-d)^3}{3} - \sum q'(z) \frac{(z-d)^4}{4} \\ EI\nu_0 &= EI\nu_0 + EI\theta_0 z + M_0 \frac{z^3}{2} + Q_0 \frac{z^4}{3} + q_0 \frac{z^5}{4} \Big|_I + \sum M \frac{(z-\omega)^2}{2} + \sum F \frac{(z-b)^3}{3} + \\ &+ \sum q_c \frac{(z-c)^4}{4} + \sum q'(z) \frac{(z-c)^5}{5} - \sum q_d \frac{(z-d)^3}{4} - \sum q'(z) \frac{(z-d)^5}{5} \end{aligned} \right\} \quad (IX.6)$$

(IX.6) формулатарга эластик чизиқнинг универсал формулатари деб аталади.

(IX.6) формулатининг биринчиси ёрдамида түсніннинг ихтиёрий кесимларидаги айланиш бурчаклари, иккинчиси ёрдамида эса салқилиги топилади.

Бу ерда θ_0 -координата бошидаги кесимнинг айланиш бурчаги;

ν_0 -координата бошидаги салқилик.

a, b, c -координата бошидан мос равишда жуфт куч, тўпланган куч ва ёйилган кучларгача бўлган масофалар.

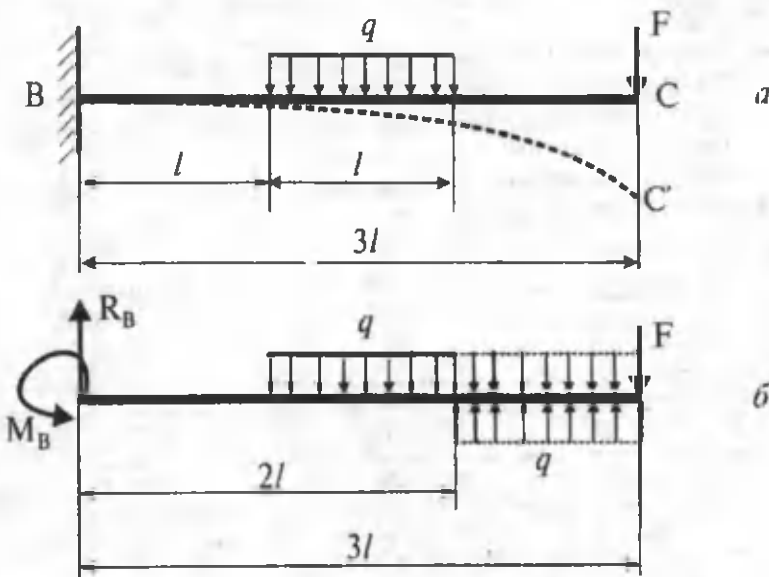
Одатда, универсал формулалар таркибидаги түсіннинг I оралиғига тегишли бүлгап M_0, Q_0, q_0, θ_0 ва v_0 параметрлар бошланғич параметрлар деб аталади.

Координата бошидаги иккита θ_0 ва v_0 бошланғич параметрлар масаланың чегаравий шартлари ёрдамида топилади

Агар түсинга қўйилган ёйилган кучлар бир текисда тақсимланса, у ҳолда универсал формулалар бирмунча содда-роқ, кўринишни эгаллади:

$$EJ\ddot{\theta}_i = EJ\dot{\theta}_0 + M_0 \frac{z^2}{1} + Q_0 \frac{z^3}{2} + q_0 \frac{z^4}{3} \Big|_I + \sum M \frac{(z-a)^2}{1} + \sum F \frac{(z-b)^3}{2} + \sum g \frac{(z-c)^4}{3} \quad \left. \right\} \quad (IX7)$$

$$EJ\ddot{\theta}_b = EJ\dot{\theta}_b + EJ\theta_0 z + M_0 \frac{z^2}{2} + Q_0 \frac{z^3}{3} + q_0 \frac{z^4}{4} \Big|_I + \sum M \frac{(z-a)^2}{2} + \sum F \frac{(z-b)^3}{3} + \sum g \frac{(z-c)^4}{4}$$



IX.11-шакл.

33-масала. Узунлиги $3l$ ва бикрлиги ўзгармас ($EJ_r = \text{const}$) бўлган консол тўпланган куч ва текис тараалган кучлар билан юкланган (IX.11-шакл, а).

Универсал формулалар ёрдамида консол эркин учининг салқилиги ва айланиш бурчаги аниқлансин.

Ечиш

1) дастлаб таянчларда пайдо бўлувчи реакция кучларини аниқлаймиз:

$$\sum M_{B_i} = 0, \quad -M_B + q \cdot l(l + 0,5l) + F \cdot 3l = 0$$

$$\sum Y_i = 0, \quad R_B - ql - F = 0 ,$$

Булардан: $R_B = 3ql$ ва $M_B = 7,5ql^2$

2) консолни учта оралиққа ажратамиз. Кейин эса 9.4-§ да айтиб ўтилган биринчи ва бешинчи қоидаларга асосланиб (IX.11-шакл, б):

- координаталар бошини чап таянч устига қўямиз;
- III оралиқни сунъий равишда текис тараалган кучлар билан юклаймиз ва уларни мувозанатлайдиган кучларни ҳам киритамиз.

3) ҳар бир оралиқнинг бошланиши учун қуйидаги ифодаларни тушиб чиқамиз:

I оралиқ	II оралиқ	III оралиқ
$\nu_0 = 0$		
$\theta_0 = 0$		
$M_0 = -7,5ql^2$	$M_{II} = 0$	$M_{III} = 0$
$Q_0 = 3ql$	$F_{II} = 0$	$F_{III} = 0$
$q_0 = 0$	$q_{II} = -q$	$q_{III} = q$
	$c_{II} = l$	$c_{III} = 2l$

Бу қоидаларни (IX.7) формулаларга қўйиб, тегишлича айланиш бурчаги ва салқиликнинг тенгламаларини умумий ҳолда қўйидагича ёзил оламиз:

$$\theta_z = \frac{1}{EI_z} \left(-7,5qI^2 \cdot z + 3qI \frac{z^2}{2} \right) \Big|_{z=0}^l + \frac{1}{EI_x} \left[-q \frac{(z-l)^3}{6} \right] \Big|_{z>l}^l + \frac{1}{EI_x} \left[q \frac{(z-2l)^3}{6} \right] \Big|_{z>2l}^{'''}$$
 (a)

$$v_z = \frac{1}{EI_x} \left(-7,5qI^2 \cdot \frac{z^2}{2} + 3qI \frac{z^3}{6} \right) \Big|_{z=0}^l + \frac{1}{EI_x} \left[-q \frac{(z-l)^4}{24} \right] \Big|_{z>l}^l + \frac{1}{EI_x} \left[q \frac{(z-2l)^4}{24} \right] \Big|_{z>2l}^{''''}$$
 (6)

Сўралган кесимнинг айланиш бурчаги ва салқилигини топиш учун охирги ифодаларга $z = 3l$ ни қўйиб, қўйидагиларни ҳосил қиласиз:

$$\begin{aligned} \theta_e = \theta_{z=3l} &= \frac{1}{EI_z} \left[-7,5qI^2 \cdot 3l + 3qI \frac{(3l)^2}{2} \right] + \frac{1}{EI_x} \left[-q \frac{(2l)^3}{6} \right] + \\ &+ \frac{1}{EI_x} \left(q \frac{l^4}{6} \right) = -10,17 \frac{ql^3}{EI_x} \end{aligned}$$

$$\begin{aligned} v_e = v_{z=3l} &= \frac{1}{EI_x} \left[-7,5qI^2 \cdot \frac{(3l)^2}{2} + 3qI \frac{(3l)^3}{6} \right] + \frac{1}{EI_x} \left[-q \frac{(2l)^4}{24} \right] + \\ &+ \frac{1}{EI_x} \left[q \frac{l^4}{24} \right] = -20,875 \frac{ql^4}{EI_x} \end{aligned}$$

Изоҳ: борди-ю, сўралган кесим II оралиқда ётса, (a) ва (b) ифодалардаги охирги ҳад эътиборга олинмайди.

9.5-§. Мор усули ёрдамида кўчишларни аниқлаш

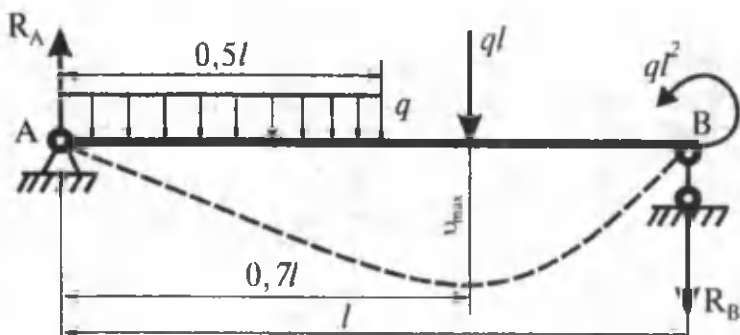
Олдинги параграфларда тўсинларнинг кўчишлари (салқилиги ва айланиш бурчаклари) ни аниқлаш усуллари кўриб ўтилган эди.

Энди эса фақат тўсинлардаги эмас, балки рама ва эгри бруслардаги кўчишларни аниқлашда кенг қўлланиладиган универсал усул — Мор усули билан танишиб чиқамиз.

Мор усули назарий механикадан бизга маълум бўлган мумкин бўлган кўчишлар тамойилига асосланган.

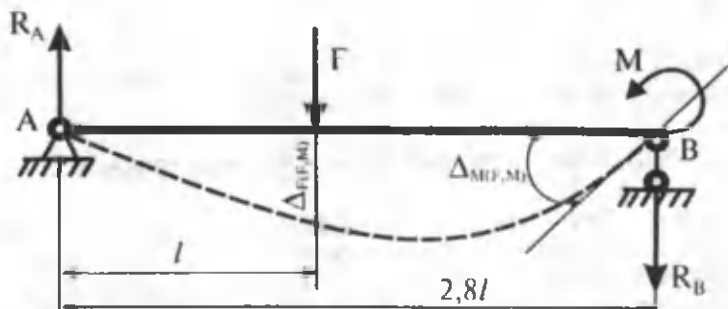
Бу усулдан фойдаланиш куляйроқ бўлсин учун аввало, умумлашган куч, умумлашган кўчиш ҳамда кўчишларнинг индекслари тўғрисида фикрлашиб оламиз.

Битта куч омили билан ифодаланувчи жуфт куч (момент), тўпланган ва ёйилган юклардан иборат кучлар гурӯхига умумлашган кучлар дейилади. Масалан, F тўпланган куч, m_1 ва m_2 моментлар биргина ёйилган куч интенсивиги q орқали ифодаланганлиги учун улар умумлашган куч ҳисобланади (IX.12-шакл).



IX.12-шакл.

Ҳар бир умумлашган кучга ўзига тегишли умумлашган кўчиш мос келади: тўпланган куч чизиқли кўчишни, жуфт куч эса кесим айланиш бурчагини ҳосил қиласди (IX.13-шакл, а,б).



IX.13-шакл.

Демак, умумлашган күчиш эластик тизимнинг деформацияланиш ҳолатини түлиқ тавсифлай олар экан.

Түплантган куч ўзи күзғатган чизиқли күчиш билан, жуфт куч-момент эса кесим айланиш бурчаги билан биргаликда маълум иш бажаради:

- стерженни чўзиш учун сарфланган иш

$$A = F \cdot \Delta l_F \quad (e)$$

- тўсинни эгиш учун сарфланган иш

$$A = m \cdot \Delta \theta \quad (6)$$

бунда F, m -умумлашган кучлар;

$\Delta l_F, \Delta \theta$ -умумлашган күчишлар.

Бирор кесимнинг ташқи куч ёки кучлар гурухи таъсиридан олган күчишлари Δ (грекча катта делъта), бирлик кучлар таъсиридан олган күчишлари эса δ (кичик делъта) ҳарфлари билан белгиланади.

Бундан ташқари, ҳар бир күчиш иккита индекс билан белгиланади: биринчи индекс күчиши топилаётган кесимни ҳамда күчиши йўналишини, иккинчи индекс эса бу күчишини юзага келтирувчи сабабни билдиради.

Демак, Δ_m белги m -чи кесимнинг m "кучи" йўналишидаги иш "куч" дан ҳосил бўлган күчишини билдиради.

Энди асосий масалага қайтамиз.

Агар мувозанатда турган эластик жисмнинг нуқталарига деформациялар пайдо бўладиган даражада чексиз кичик күчишлар берилса, жисмда ички кучлар пайдо бўлиб, улар маълум иш бажаради.

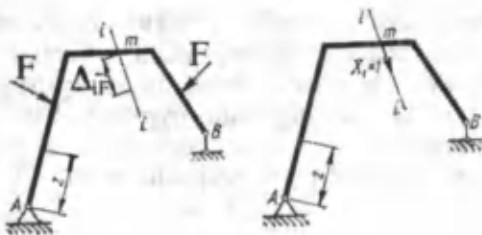
Бунда мумкин бўлган күчишлар тамойили тенгламаси қуидагича ёзилади:

$$\sum \delta A^{(e)} + \sum \delta W^{(i)} = 0 \quad (IX.8)$$

Бу ерда, $\delta A^{(e)}$ -ташқи кучларнинг мумкин бўлган күчишда бажарган элементар иши;

$\delta W^{(i)}$ -ички кучларнинг мумкин бўлган күчишда бажарган элементар иши.

Ихтиёрий ташқи кучлар билан юклангандар бруснинг $\bar{X}_i = 1$ бирлик куч йўналишидаги күчишини аниқлаш таълаб қилинсин (IX.14-шакл, а,б).



IX.14-шакл.

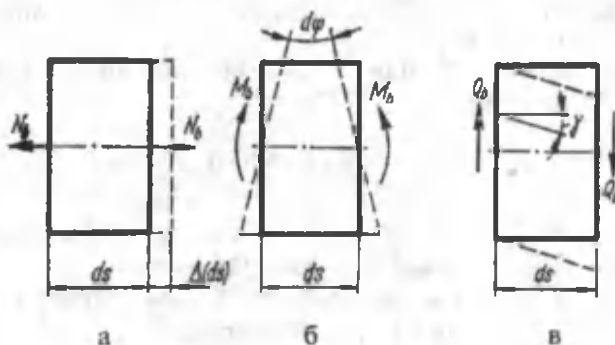
Мумкин бўлган кўчиш сифатида бруснинг ds узунликдаги кичик элементининг деформация натижасида юзага келган чекли, лекин кичик кўчишини оламиз.

I ҳолатда ds элемент N_F , Q_F , M_F ички кучлар, II ҳолатда эса \bar{N}_i , \bar{Q}_i , \bar{M}_i ички кучлар таъсирида бўлади.

Шу сабабли ds элементнинг умумий деформациясини учта ташкил этувчи: чўзилиш ёки сиқилиш Δds_F , ҳар бир толанинг силжиши γ_F ва кесимнинг айланиш бурчагини эса $d\phi_F$ кўринишида тасаввур қилиш мумкин (IX.15-шакл, а, б, в).

Текширилаётган иккита ҳол учун мумкин бўлган кўчишлар тамсайили тенгламаси

$$1 \cdot \Delta_{21} + dW_{21}^{(i)} = 0 \quad (\text{IX.9})$$



IX.15-шакл.

Бунда $dW_{21}^{(i)}$ - бирлик күч ($\bar{X}_i = 1$) таъсиридан битта ds элементнинг деформацияси туфайли пайдо бўладиган Δds_F чизиқли ва $d\phi_F$ бурчакли кўчишларда ҳамда γ_F силжишда тегишилича \bar{N}_i , \bar{Q}_i , \bar{M}_i ички кучларнинг бажарган элементар иши.

II ҳолатда $\bar{X}_i = 1$ күч таъсиридан ds элементда пайдо бўладиган \bar{N}_i , \bar{Q}_i , \bar{M}_i ички кучлар *I* ҳолатдаги ds элементга нисбатан ташқи кучлар ҳисобланади; шу сабабли ички кучларнинг мумкин бўлган кўчишда бажарган иши қўйидагига тенг бўлади:

$$dW_{21}^{(i)} = - \left[\bar{N}_i \cdot \Delta ds_F + \bar{M}_i d\phi_F + \int_A \gamma_F ds \cdot \bar{\tau} dA \right] \quad (\text{в})$$

Бу ифодани (IX.9)га кўйиб, Δ_{21} кўчишни аниқлаймиз:

$$d\Delta_{21} = \bar{N}_1 \cdot \Delta ds_F + \bar{M}_1 \cdot d\phi_F + ds \int_A \gamma_F \bar{\tau} dA \quad (\text{г})$$

бунда $\Delta ds_F = \frac{N_F \cdot ds}{EA}$,

$$d\phi_F = \frac{M_F ds}{EJ},$$

$$\gamma_F = \frac{1}{G} \cdot \tau_F = \frac{1}{G} \cdot \frac{Q_F S_x^{\text{ажр}}}{b_y J_x},$$

$$\tau = \frac{Q_1 S_x^{\text{ажр}}}{b_y J_x}$$

эканлигини эътиборга олиб, уларни (г) ифодага қўямиз:

$$d\Delta_{21} = \frac{N_F \cdot N_1}{EA} ds + \frac{M_F \cdot M_1}{EJ} \cdot ds + ds \int_A \frac{1}{G} \cdot \frac{Q_F S_x^{\text{ажр}}}{b_y J_x} \cdot \frac{Q_1 S_x^{\text{ажр}}}{b_y J_x} \cdot dA$$

Бу ифоданинг охирги ҳадини алоҳида ҳисоблаймиз:

$$\int_A \frac{1}{G} \cdot \frac{Q_F S_x^{\text{ажер}}}{b_y J_z} \cdot \frac{\bar{Q}_i S_i^{\text{ажер}}}{b_y J_z} \cdot dA = \frac{Q_F \bar{Q}_i}{G} \int_A \left(\frac{S_x^{\text{ажер}}}{b_y J_z} \right)^2 dA = \frac{Q_F \cdot \bar{Q}_i}{GA} \cdot A \int_A \left(\frac{S_x^{\text{ажер}}}{b_y J_z} \right)^2 dA$$

Агар $\eta = A \int_A \left(\frac{S_x^{\text{ажер}}}{b_y J_z} \right)^2 dA$

белгилашни киритсак, у ҳолда қүйидагига эга бўламиз:

$$d\Delta_{21} = \frac{N_F \bar{N}_i}{EA} ds + \bar{\eta} \frac{Q_F \bar{Q}_i}{GA} ds + \frac{M_F \bar{M}_i}{EJ} ds \quad (\text{д})$$

Охирги ифодани бирмунча умумий ҳолда ёзамиз, чунки бу кўчиш факат битта кичик ds элементнинг деформацияси туфайли содир бўлади.

Бруsnинг битта бўлаги тўла деформацияланиши натижасида пайдо бўлувчи кўчишни аниқлаш учун охирги ифодани мазкур узунлик бўйича интеграллаш кифоя:

$$\Delta = \Delta_{21} = \int_S \frac{N_F \bar{N}_i}{EA} ds + \int_S \bar{\eta} \frac{Q_F \bar{Q}_i}{GA} ds + \int_S \frac{M_F \bar{M}_i}{EJ} ds \quad (\text{IX.10})$$

Бир неча оралиқдан иборат бўлган бруsn учун (IX.10) формула

$$\Delta = \sum_{i=1}^n \int_S \frac{N_F \bar{N}_i}{EA} ds + \sum_{i=1}^n \int_S \bar{\eta} \frac{Q_F \bar{Q}_i}{GA} ds + \sum_{i=1}^n \int_S \frac{M_F \bar{M}_i}{EJ} ds \quad (\text{IX.11})$$

кўринишда ёзилади.

Бунда n - оралиқлар сони.

(IX.10) ва (IX.11) ифодаларга Мор формуласи ёки Мор интегрални деб аталади.

Бунда N_F, Q_F, M_F - ташқи кучлар билан юкланган (асосий ҳолат) бруsnинг ихтиёрий кесимидағи ички зўриқишиларнинг ифодаси;

$\bar{N}_i, \bar{Q}_i, \bar{M}_i$ - бирлик кучлар билан юкланган (ёрдамчи ҳолат) бруsnинг ихтиёрий кесимидағи ички зўриқишиларнинг ифодаси;

EA, GA, EJ - бруsnинг тегишлича чўзилиш (сиқилиш), силжиш ва эгилишдаги бикрликлари.

Хусусий ҳоллар. Мор интегралы ёрдамида түсін, рама ва аркаладағи күчишларни аниқлаётгандың күпинча бүйлама деформация да силянш деформацияларының таъсирини эътиборга олмаслик ҳам мүмкін; бундай ҳолаттарда Мор интегралы

$$\Delta = \sum_{i=1}^n \int_{(S)} \frac{M_F \bar{M}_i}{EJ} ds \quad (\text{IX.12})$$

күринишида ифодаланади.

Тұғри стерженлардан тузилған фермалар асосан چүзилиш ёки сиқишлишга қаршилик күрсатғанлықтардың сабабы, уларның ҳисоблашда Мор интегралынинг

$$\Delta = \sum_{i=1}^n \int_{(S)} \frac{N_F \bar{N}_i}{EA} ds \quad (\text{IX.13})$$

жадидан фойдаланиш кифоя.

Мор усулида күчишлар қуидаги тартибда аниқланади:

1. Эластик деформацияланувчи брус (түсін, стержен, рама, арка) оралиқтарға ажратылған, таянч реакциялары топилади.

2. Бруснинг ёрдамчи ҳолаты қурилған, у күчиши аниқланадын кесимге қараб бирлік күч билан юкленади:

- чизиқли күчишни аниқлашда кесимге бирлік түпленған күч қўйилади;
- бурчакли күчишни аниқлашда кесимге бирлік жуфт күч (момент) қўйилади.

3. Бруснинг ҳар бир оралиғи учун кесиш усулинини қўллаб N_F, Q_F, M_F (асосий ҳолат бўйича) ҳамда $\bar{N}_i, \bar{Q}_i, \bar{M}_i$ (ёрдамчи ҳолат бўйича) ларнинг аналитик ифодаси тузилади.

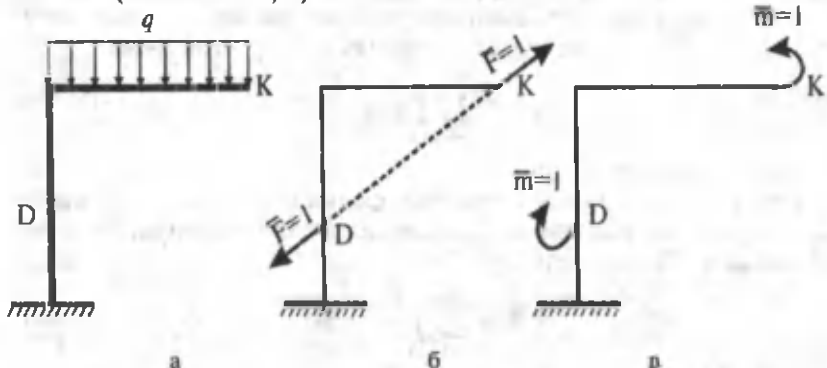
4. Бруснинг барча оралиғи бўйича Мор интегралы ҳисобланади.

Эслатма: агар аниқланған күчиш Δ мусбат ишорали бўлса, унда күчишнинг ҳақиқий йўналиши бирлік күч йўналишига мос келади; аксинча, манфий ишорали күчиш кесимнинг ҳақиқий күчиши бирлік күч йўналишига мос келмаслигини кўрсатади.

Баъзан конструкция қисмларини ҳисоблашда ундағы айрим кесимларнинг бир-бирларига нисбатан күчишларини Мор усулида аниқлашга тұғри келади.

Масалан, рамадаги K ва D кесимларнинг ўзаро яқынлашиши ёки узоклашишини ҳамда бу иккала кесимлар-

нинг бир-бirlарига нисбатан айланишини аниқлаш талаб этилсин (IX.16-шакл, а).



IX.16-шакл.

Бундай ҳолларда иккала кесимга ҳам бир вақтнинг ўзида бирлик күчлар кўйиб, ҳар бир оралиқдаги ички зўриқиши \bar{N}_i , \bar{Q}_i , \bar{M}_i ларнинг ифодасини тузиш зарур (IX.16-шакл, б, в). Ҳисоблашнинг қолган қисми юқоридаги тартибда олиб борилади.

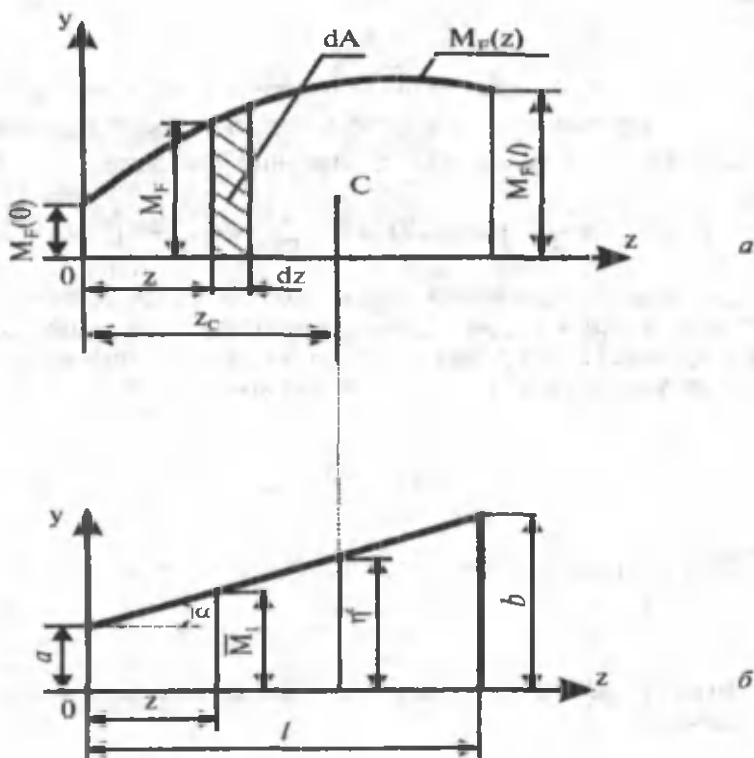
9.6-§. Мор интегралини Верешагин усулида ҳисоблаш

Эластик брус (тўсин ёки рама) ларнинг оралиқлари сони кўп бўлган ҳолларда Мор интеграли ёрдамида кўчишларни аниқлаш бирмунча қийинчликлар туғдиради. Чунки, ҳар бир оралиқ учун ички зўриқишиларнинг аналитик ифодасини тузиб, сўнгра уларни тегишли оралиқларда интеграллаш керак.

1925 йилда Москва темир йўл муҳандислари олийгоҳининг талабаси А.Н.Верешагин графо-аналитик усул ёрдамида Мор интегралини ҳисоблашни таклиф этган. Базъзан бу усул эпюраларни ўзаро кўпайтириш усули ҳам деб юритилади.

Одатда, бирлик күчлар тўплланган ёки жуфт күчлар бўлганилиги сабабли, улардан курилган эгувчи момент эпюраси доимо тўғри чизиқ билан чегараланади; ташки күчлардан курилган M_F эпюралар эса, умумий ҳолда эгри чизиқ қонунияти бўйича ўзгаради.

Айтайлык, бикрлиги ℓ оралиқда үзгармас бүлгап бруснинг ташқи ва бирлик күчлардан қурилған эпюралари берилған бўлсин (IX.17-шакл, а).



IX.17-шакл

Текширилаётган ҳол учун (IX.12) формула

$$\Delta = \frac{1}{EJ} \int_{(t)} M_F \bar{M}_1 dz \quad (a)$$

кўринишда ёзилади.

$M_F dz$ кўпайтма M_F эпюрасидаги штрихланган элементар юзачага тахминан тенг:

$$M_F \cdot dz \approx dA \quad (6)$$

\bar{M}_i миқдорни эса бирлик күч зрюрасидан топамиз (IX.17-шакл, 6):

$$\bar{M}_i = a + k \cdot z \quad (8)$$

Бунда $k = tg\alpha$ -оғма чизиқнинг бурчак коэффиценти.

(б) ва (в) ларни назарда тутиб ҳамда интеграл чегараларини ℓ дан A га ўзгартириб, Мор интегралини қўйидагича ёзамиш:

$$\Delta = \frac{1}{EJ} \int_A (a + k \cdot z) \cdot dA = \frac{a}{EJ} \int_A dA + \frac{k}{EJ} \int_A z \cdot dA \quad (9)$$

Биринчи интеграл ташқи кучдан қурилган эгувчи момент зрюасининг юзаси A га teng; иккинчи интеграл эса шу юздан бруслнинг бўйлама ўқига тик ва координата бошидан ўтувчи вертикал oy ўққа нисбатан олинган статик моментдан иборат:

$$\int_A z dA = S_y$$

Статик момент S_y ни яна қўйидагича ёзиш мумкин:

$$S_y = z_c \cdot A$$

Бунда z_c - M_F зрюаси оғирлик марказининг абсциссаси.
Демак,

$$\Delta = \frac{A}{EJ} (a + k \cdot z_c)$$

Геометрик нуқтаи назардан қавс ичидаги ифодани

$$\eta^c = a + k \cdot z_c$$

кўринишда ёзиш мумкин. У ҳолда кўчиш формуласи қўйидагича бўлади:

$$\Delta = \frac{A \cdot \eta^c}{EJ} \quad (IX.14)$$

(IX.14) формула Верешагин формуласи деб аталади.

Демак, Верешагин усулида күчишни аниглаш учун ташқи кучдан қурилган эпюра юзаси A ни мазкур юза оғирлик марказига түғри келувчи бирлик куч эпюрасининг ординатаси η^e га кўпайтириб, олинган натижани бруссинг бикрлиги EJ га бўлиш кифоя экан.

Агар эластик брус i та оралиқдан иборат бўлса, Верешагин формуласи қуидагича бўлади:

$$\Delta = \frac{1}{EJ} \sum_{i=1}^n A_i \cdot \eta_i^e \quad (\text{IX.15})$$

Бикрлиги поғонали равишда ўзгарувчи i та оралиқли эластик бруслар учун Верешагин формуласи

$$\Delta = \sum_{i=1}^n \frac{A_i \eta_i^e}{EJ_i} \quad (\text{IX.16})$$

кўринишни эгаллайди.

Шуни таъкидлаб ўтиш лозимки, ўзгарувчан кесимли брусларнинг кўчишларини Верешагин усулида аниқлаб бўлмайди; бундай ҳолларда Мор интегралидан фойдаланиш маъқул. Бундан ташқари, η^e ординаталарни факат тўри чизиқ билан чегараланган эгувчи момент эпюраларидан олишни унугмаслик керак.

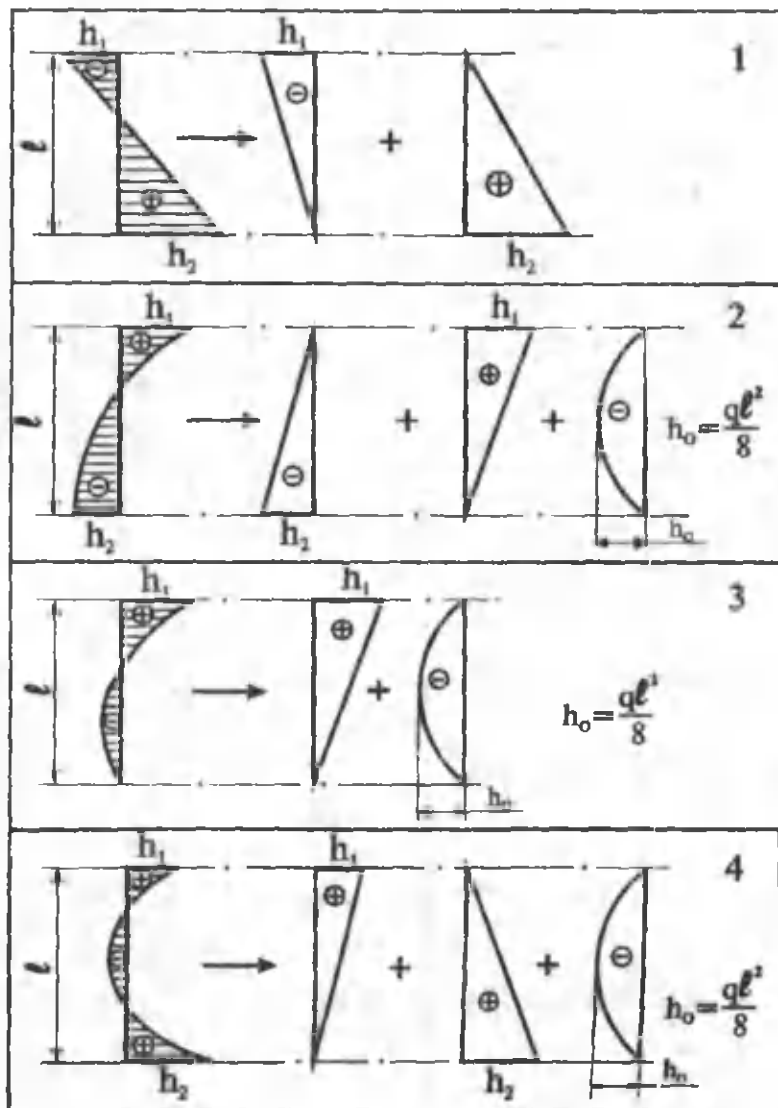
Агар ташқи ва бирлик кучлардан қурилган эгувчи момент эпюралари бруссинг бўйлама ўқидан бир томонда ётса, $A_i \cdot \eta_i^e$ кўпайтма мусбат, аксинча, турли томонларда ётса манфий ишорали ҳисобланади.

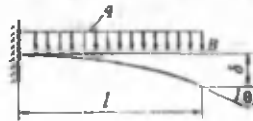
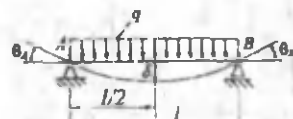
Верешагин усулида кўчишларни аниқлаёттанды турли хил геометрик шаклларнинг юзалари ва оғирлик марказ координаталарини ҳисоблашга тўғри келади. Шу жиҳатдан олганда 9.1-жадвалда келтирилган маълумотларни билиш мுҳимдир.

Бундан ташқари, бу усулдан фойдаланиш қулагай бўлиши учун эгувчи моментларнинг мураккаб эпюралари 9.2-жадвалда кўрсатилган тартибида ташкил этувчиларга ажратилади.

9.3-жадвалда турли хил кўринишларда юкланган тўсинларнинг ўзига хос кесимларидаги кўчишларини аниқлаш формулалари келтирилган.

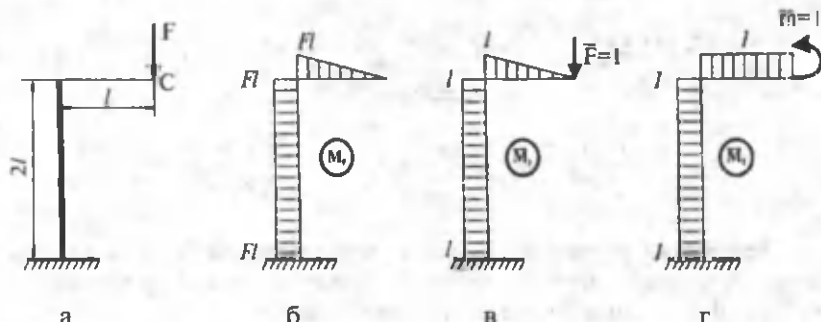
Этудын момент шығарсанынг күринчи	Эторманың юласи	Оңтүстүк маркзы координаталари	
		Z_1	Z_2
	lh	$l/2$	$l/2$
	$lh/2$	$2l/3$	$l/3$
	$lh/3$	$3l/4$	$l/4$
	$lh/3$	$5l/8$	$3l/8$
	$lh/3$	$l/2$	$l/2$



Түсінніктік тәсілдер	Салынғыш, мм	Айланыш бұрчагы, радиан
	$\delta = \frac{Ml^2}{2EJ_x}$	$\theta_B = \frac{Ml}{EJ_x}$
	$\delta = \frac{Fl^3}{3EJ_x}$	$\theta_B = \frac{Fl^2}{2EJ_x}$
	$\delta = \frac{ql^4}{8EJ_x}$	$\theta_B = \frac{ql^3}{6EJ_x}$
	$\delta = \frac{Fl^3}{48EJ_x}$	$\theta_A = \theta_B = \frac{Fl^2}{16EJ_x}$
	$\delta = \frac{5ql^4}{384EJ_x}$	$\theta_A = \theta_B = \frac{ql^3}{24EJ_x}$

34-масала. Ярим раманинг эркин учиға F күч таъсир этмоқда (IX.18-шакл, а); устуннинг эгилишдаги бикрлиғи рителникига нисбатан 2 марта катта.

Күч қўйилган кесимнинг вертикал кўчиши ва айланиш бурчагини Мор ва Верешагин усусларида аниқланг ва натижаларни солиштиринг.



IX.18-шакл

Ечиш

Мор усули. Ташқи күч F , вертикал йўналган бирлик күч $\bar{F}_1=1$, жуфт бирлик момент $\bar{m}_1=1$ лардан ригел ва устунларда ҳосил бўлувчи эгувчи моментларнинг аналитик ифодаларини тузамиз.

Оралиқ	Ташқи күч	Бирлик вертикал күч	Бирлик жуфт күч
Ригель $(0 \leq z_1 \leq l)$	$M_F^I = -Fz_1$	$\bar{M}_1^I = -\bar{F}z_1 = -z_1$	$\bar{M}_2^I = -\bar{m} = -1$
Устун $(0 \leq z_2 \leq 2l)$	$M_F^{II} = -Fl$	$\bar{M}_1^{II} = -\bar{F}l = -l$	$\bar{M}_2^{II} = -\bar{m} = -1$

Жадвалдаги ифодаларни (IX.12) формулага қўйиб, навбат билан вертикал кўчиш ва айланиш бурчакларини ҳисоблаймиз:

$$v_c = \int_0^l \frac{M_F' \bar{M}_1'}{EJ} dz_1 + \int_0^{2l} \frac{M_F'' \bar{M}_1''}{2EJ} dz_2 = \int_0^l \frac{(-Fz_1)(-z_1)}{EJ} dz_1 + \\ + \int_0^{2l} \frac{(-Fl)(-l)}{2EJ} dz_2 = \frac{F}{EJ} \int_0^l z_1^2 dz_1 + \frac{Fl^2}{2EJ} \int_0^{2l} dz_2 = \frac{4}{3} \cdot \frac{Fl^3}{EJ}$$

$$\theta_c = \int_0^l \frac{M_F' \bar{M}_2'}{EJ} dz_1 + \int_0^{2l} \frac{M_F'' \bar{M}_2''}{2EJ} dz_2 = \int_0^l \frac{(-Fz_1)(-1)}{EJ} dz_1 + \\ + \int_0^{2l} \frac{(-Fl)(-1)}{2EJ} dz_2 = \frac{F}{EJ} \int_0^l z_1 dz_1 + \frac{Fl}{2EJ} \int_0^{2l} dz_2 = \frac{3}{2} \cdot \frac{Fl^2}{EJ}$$

Верешагин усули. Ярим рама учун ташқи ва бирлик күчлардан қурилған әгувчи момент эпюраларидан фойдаланиб, (IX.16) формулани қуидагича ёзиб оламиз:

салқилик

$$v_c = v_c(M_F, \bar{M}_1) = \frac{1}{EJ} \cdot \frac{1}{2} Fl \cdot l \cdot \frac{2l}{3} + \frac{1}{2EJ} \cdot Fl \cdot 2l \cdot l = \frac{4}{3} \frac{Fl^3}{EJ}$$

айланыш бурчаги

$$\theta_c = \theta_c(M_F, \bar{M}_2) = \frac{1}{EJ} \cdot \frac{1}{2} Fl \cdot l \cdot 1 + \frac{1}{2EJ} \cdot Fl \cdot 2l \cdot 1 = \frac{3}{2} \frac{Fl^2}{EJ}$$

Шундай қилиб, иккала усулда ҳам бир хил натижалар олинди.

9.7-§. Статик аниқмас түсініларни ҳисоблаш

Битта текисликда жойлашған ихтиёрий ташқи күчларни қабул қила олувчи түсінни қаттық жисм сингари құзғала олмайдиган қилиб маңкамлаш учун боғланиш бүлиши шарт (қистириб маңкамланған таянч учта, құзғалмас шарнирли таянч ва құзғалувчи шарнирли таянч эса битта боғланишга эга); бу учта боғланишлар мутлақ зарур ҳисобланыб, улардаги реакция күчлари статиканың мувозанат тентгламалари ёрдамида топилади. Агар мутлақ боғланишларнинг бирортаси олиб ташланса

түсін геометрик ўзгарувчи тизим — механизмга айланади, яғни түсін деформацияланмаса ҳам унинг барча нұқталари күчиш олади.

Амалда түсінлардан самаралироқ фойдаланиш, яғни уларнинг бикрлигини ошириб, әгелишга мойыллигини камайтириш мақсадыда таянчлар сонини оширишга тұғри келади. Аммо құшимча таянчларнинг ўрнатилиши натижасыда боғланишлар сони ортиб, статик аниқ түсін статик аниқмас түсінгә айланади.

Бошқача айттанды, мутлақ зарур боғланишлар ҳамда "ортиқча" боғланишлар ёрдамида мақкамлантан түсін статик аниқмас түсін дейилади.

Шуни таъкидлаш мұхимки, "ортиқча" боғланишлар сүзини "керап әмас" боғланишлар деб әмас, балки "керагидан ҳам ортиқча" боғланишлар деб түшүнмоқ керак, чунки улар түсінлардан амалда янада унумлироқ фойдаланышта имконият яратади.

Ортиқча номағым (боғланиш)лар сони статик аниқмаслик даражасини билдиради; түсінларнинг статик аниқмаслик даражаси S қуйидагича аниқланади:

$$S = n - 3 \quad (a)$$

бунда n - таянчларда ҳосил бўлувчи боғланишлар сони.

Статик аниқмас түсінларни ҳисоблашда кўпинча деформацияларни солиштириш ва энергетик усуслар ишлатилади.

a) деформацияларни солиштириш усули.

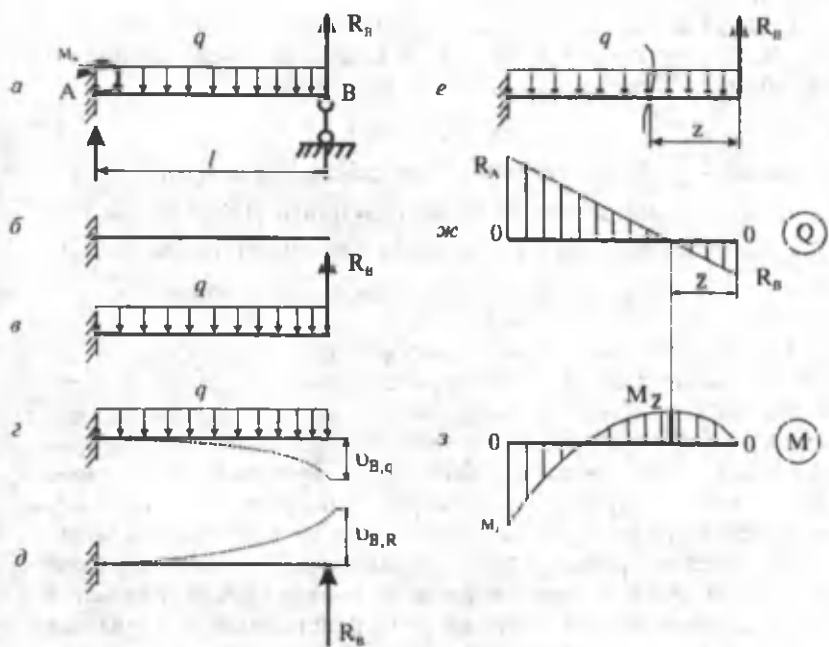
Бу усулда масаланинг осон ёки қийин ечилиши кўп жиҳатдан асосий тизим танлашга боғлиқдир. Ортиқча боғланишларнинг йўқотилишига қараб битта статик аниқмас түсін учун бир қанча варианктарда асосий тизимлар танланishi мумкин. Аммо асосий тизим қайси вариантда танланмасин, унинг статик аниқ ва геометрик ўзгармаслигини таъминлаш зарур, акс ҳолда юқорида таъкидлаганимиздек, берилган түсін механизмга айланаб қолади.

Асосий тизимлар ташқи кучлар ва ортиқча боғланишлар билан юкланиб, берилган тизим (түсін)ларга teng кучли (эквивалент) тизимлар ҳосил қилинади.

9.4-жадвалда статик аниқмаслик даражаси турлича бўлган статик аниқмас түсінлар учун асосий ва тент кучли тизимлар танлаш варианtlари келтирилган.

Бошланғич тизим (түсін)	Σ	Ортиқча боғланиш	Асосий тизимлар	Тенг күчли тизимлар
	1	R_B M_A 	 	
	1	R_B R_C 	 	
	2	R_A, R_B 		
	2	R_B, M_C 		

Деформацияларни солишириш усули билан IX.19-шакл, ада тасвиirlанган статик аниқмас түсін учун ички зўриқишиларнинг эпюраларини қурамиз ва унинг энг катта салқилигини аниқлаймиз.



IX.19-шакл

Дастраб түсіннинг статик аниқмаслик даражаси аниқланади:

$$S = n - 3 = 4 - 3 = 1$$

Демак, түсін бир марта статик аниқмас экан.

Масала қуйидаги умумий режа асосида ечилади:

1. Түсіннинг мувозанати текширилади:

$$\left. \begin{array}{l} \sum_1^3 M_{Ai} = 0, \quad -M_A - R_B \cdot \ell + q\ell \frac{\ell}{2} = 0 \\ \sum_1^3 M_{Bi} = 0, \quad -M_A - R_A \cdot \ell + q\ell \frac{\ell}{2} = 0 \end{array} \right\} \quad (6)$$

Иккита тенгламада учта: R_A , R_B , M_A номаълумлар бор; тўсин битта ортиқча боғланишга эга.

2. Ортиқча боғланиш олиб ташланиб бирор вариантда асосий тизим (IX.19-шакл, б), кейин эса тенг кучли тизим (IX.19-шакл, в) танланади.

Ҳақиқатан ҳам тўсининг деформацияланиш шартига кўра ортиқча боғланиш R_B қўйилган В кесим вертикал йўналишда кўчмайди. Бу шартни қўйидагича ёзиш мумкин:

$$U_B = U_{B,q} + U_{B,R_B} \quad (b)$$

Бунда $U_{B,q}$ -текис тараалган q юк таъсирида асосий тизимнинг В кесимидағи салқилиги (IX.19-шакл, г);

U_{B,R_B} -ортиқча боғланиш R_B таъсиридан пайдо бўлган асосий тизимнинг В кесимидағи салқилик (IX.19-шакл, д).

Охирги тенглама қўшимча деформация тенгламаси деб аталиб деформацияларни солиштириш усулининг моҳиятини тавсифлайди: *асосий тизим ташқи юклар ва ортиқча боғланишлар таъсиридан худди берилган статик аниқмас тўсиндек деформацияланиши учун ортиқча боғланиши йўқотилган кесимнинг ташқи юк ва ортиқча боғланиш таъсиридан ҳосил бўлган кўчишлари ўзаро тенг*, лекин йўналишлари тексари бўлиши шарт.

(в) тенглама таркибидаги кўчишларни олдинги параграфларда кўриб ўтилган барча усуллар ёрдамида аниқлаш мумкин.

7-жадвал, б даги маълумотлардан фойдаланиб В кесимнинг ўйилган куч ва R_B таъсиридан ҳосил бўлган кўчишларини топамиз:

$$U_{B,q} = -\frac{q\ell^4}{8EJ_x};$$

$$U_{B,R_B} = \frac{R_B \cdot \ell^3}{3EJ_x}$$

Буларни кўзда тутиб, қўшимча деформация тенгламаси (в) дан

$$R_B = \frac{3}{8} q\ell$$

эканлигини аниқлаймиз.

3. Синтез. R_B аниқланганча, мувозанат тенгламаларидан А таънчдаги реакциялар осонгина топилади:

$$M_A = 0,5q\ell^2 - \frac{3}{8}q\ell = \frac{1}{8}q\ell^2;$$

$$R_A = \frac{1}{\ell}(0,5q\ell^2 + \frac{1}{8}q\ell^2) = \frac{5}{8}q\ell;$$

Түсіннинг қолған ҳисоблаш ишлари статик аниқ түсінларники сингари давом эттирилади.

Кесиш усулини құллаб В таянчдан z масофада ётган бирор кесим учун ички зўриқишиларнинг тенгламаларини тузамиз (IX.19-шакл, е):

$$Q(z) = -\frac{3}{8}q\ell + qz = q(z - \frac{3}{8}\ell);$$

$$M(z) = \frac{3}{8}q\ell \cdot z - 0,5qz^2$$

Кўндалант куч нолга тенг бўлган кесимдаги эгувчи моментни аниқлаймиз:

$$\frac{dM}{dz} = \frac{3}{8}q\ell - qz = 0$$

бундан $z = z_0 = \frac{3}{8}\ell = 0,375\ell$

Демак, $M_{\max} = \frac{3}{8}q\ell(\frac{3}{8}\ell) - 0,5q(\frac{3}{8}\ell)^2 = \frac{9}{128}q\ell^2$.

IX.19-шакл, ж, з ларда кўндаланг ва эгувчи моментларнинг эпюралари тасвирланган.

Универсал формула ёрдамида салқилик тенгламасини ёзамиз:

$$EJ_z \cdot u_z = -M_A \frac{z}{2} + R_A \frac{z^3}{6} - q \frac{z^4}{24} = -\frac{q\ell^2}{8} \cdot \frac{z^2}{2} + \frac{5}{8}q\ell \cdot \frac{z^3}{6} - \frac{qz^4}{24}$$

Максимал салқиликнинг вазиятини аниқлаш учун $\frac{du_z}{dz} = \theta_z$ ифодани нолга тенглаймиз:

$$EJ_z \theta_z = -\frac{q\ell^2}{8} \cdot z + \frac{5}{16}q\ell \cdot z^2 - \frac{qz^3}{6} = 0$$

$$\text{ёки } z\left(\frac{z^2}{3} - \frac{5\ell}{8}\ell \cdot z + \frac{\ell^2}{4}\right) = 0$$

$$\text{Бундан } z_1 = 0, \quad z_2 = \frac{20,54}{16}\ell \geq \ell, \quad z_3 = \frac{9,46}{16}\ell \leq \ell$$

эканлиги келиб чиқади.

$$\text{Демак, } z = \frac{9,46}{16}\ell = 0,579\ell \text{ бўлганда } v_{\max} = -\frac{q\ell^4}{185EJ_x}.$$

б) энергетик усул.

Бу усулда IX.19-шакл, а да тасвирланган статик аниқмас тўсиннинг В таянчидаги реакция — ортиқча боғланиши аниқлаш билан чегараланамиз, холос.

1.7-§ да баён этилган умумий режа асосида масалани ечамиз:

1. Масалани статик томондан таҳлил қилиш (бу олдинги усулда батафсил баён этилган).

2. Қўшимча тенглама тузиш. Бунинг учун номаълум боғланишларни ўз ичига олган деформация потенциал энергиясининг ифодаси тузилади.

(VIII.29) формулага қўра, текширилаётган тўсин учун деформациянинг потенциал энергияси қуйидагича бўлади:

$$u = \frac{1}{2EJ_x} \int_0^L M_z^2 dz + \frac{1}{2EJ_x} \int_0^L \left(R_B \cdot z - \frac{qz^3}{2} \right)^2 dz = \\ = \frac{1}{2EJ_x} \left(\frac{R_B^2 \ell^3}{3} - \frac{R_B \cdot q\ell^4}{4} - \frac{q^2 \ell^5}{20} \right) \quad (\Gamma)$$

Деформация потенциал энергиясининг минималлик шартидан фойдаланиб қўшимча тенглама тузамиз:

$$\frac{\partial u}{\partial R_B} = \frac{1}{3} R_B \ell^3 - \frac{q\ell^4}{4} = 0 \quad (\Delta)$$

3. Синтез. Ҳосил қилинган қўшимча тенгламани мувозанат тенгламалари билан биргаликда ечамиз, натижада

$$R_B = \frac{3}{8} q\ell, \quad M_A = \frac{1}{8} q\ell^2, \quad R_A = \frac{5}{8} q\ell \quad \text{эканлиги келиб чиқади.}$$

Демак, иккала усулда ҳам бир хил натижалар олишга эришдик.

Назорат саволлари ва топшириқтар

1. Эгилишдаги күчишларни изоҳланг.
2. Эгилишдаги чизиқли ва бурчақли күчишлар қандай усуллар ёрдамида аниқланади?
3. Эгилган ўқнинг дифференциал тенгламасини ёзинг ва уни умумий ҳолда интегралланг.
4. Бошланғич параметрлар усулини іқұллашда қайси қоидаларга таяниш лозим?
5. Универсал формулани ёзинг ва уни тушунтириңг.
6. Мор интегралы қандай күриништа зә?
7. Верешагин формуласини ёзинг ва уни тушунтириңг.
8. Бир неча күринишларда статик аниқмас түсінлар чизинг ва уларнинг ҳар бири учун статик аниқмаслик даражасини топпинг.
9. Бир неча күринишларда статик аниқмас түсінлар чизинг ҳамда уларнинг ҳар бири учун асосий ва тенг күчли тизимлар танланг.
10. Статик аниқмас түсінлар қандай усуллар ёрдамида хисобланади?

Х БОБ. МУРАККАБ ҚАРШИЛИК

10.1-§. Асосий түшүнчалар

Биз олдинги бобларда конструкция қисмларининг марказий чүзилиш ёки сиқилиш, силжиш, буралиш, соф ва күндаланг эгилиш каби оддий деформацияларини ўргандик.

Одатда, оддий деформациялар содир бўлиши учун текширилаётган жисмларнинг исталган күндаланг кесим юзаларида ички зўриқишилардан фақатгина биттаси таъсир кўрсатиши керак. Масалан, агар стерженларнинг исталган күндаланг кесим юзалари фақат бўйлама кучлар таъсирида бўлса, у ҳолда марказий чүзилиш ёки сиқилиш деформацияси содир бўлади. Борди-ю, стерженнинг барча күндаланг кесим юза текисликларига мазкур текисликларда ётувчи жуфт кучлар таъсир кўрсатса, буралиш деформацияси юзага келади.

Гарчи күндаланг эгилишга қаршилик кўрсатувчи тўсинларнинг кесимларида ички зўриқишилардан иккитаси – күндаланг куч ва эгувчи момент мавжуд бўлса-да, күндаланг эгилишини ҳам оддий деформация тарзида ўрганиб чиққанимизни алоҳида таъкидлашимиз ўринлидир. Чунки хавфли кесимда пайдо бўлувчи энг катта нормал кучланиш σ_m^{\max} мазкур кесимдаги энг катта урунма кучланиш t_0^{\max} дан етарлича катта бўлиб, тўсин кўпинча эгувчи момент бўйича мустаҳкамликка ҳисобланади.

Аммо, амалда конструкция қисмлари бир вақтнинг ўзида икки ёки ундан ортиқ оддий деформацияларга дучор бўлиши табиий. Масалан, ҳаракатдаги автотранспорт воситаларининг валлари бир вақтнинг ўзида буралиши ҳамда эгилиши мумкин. Чунки бундай ҳолларда уларнинг исталган күндаланг кесимларига ички зўриқишилардан фақат буровчи ва эгувчи моментлар таъсир кўрсатали. Кўприк ёхуд кран фермалари таркибидаги стерженларнинг чўзилиш ёки сиқилиш билан биргаликда эгилишга ҳам қаршилик кўрсатиши, албатта уларнинг барча ке-

симлари бўйлама куч ва эгувчи моментлар таъсирида эканлигидан далолат беради.

Иншоот, машина ва механизм қисмларининг барча кўндаланг кесим юзаларига таъсир кўрсатувчи икки ёки ундан ортиқ ички зўриқишилар натижасида вужудга келадиган деформациялар мураккаб деформация ёки мураккаб қаршилик дейилади.

Мураккаб деформацияга учрайдиган бикр конструкция ва унинг тузилмалари кўндаланг кесимларидаги барча нуқталарда умумий ҳолда учта нормал (σ_{N_x} , σ_{M_x} , σ_{M_y}) ва учта урунма (τ_{Q_x} , τ_{Q_y} , τ_T) кучланишлар пайдо бўлади.

Бу бобда конструкция тузилмаларининг амалда энг кўп учрайдиган мураккаб деформациялари ўрганилади.

I. Чўзилиш (сиқилиш) ва эгилишнинг биргаликдаги таъсири

Бундай кўринишдаги мураккаб деформация пайтида бруслар кесимида барча нуқталарда кесим юза нормали бўйича таъсир кўрсатувчи σ_{N_x} , σ_{M_x} , σ_{M_y} нормал кучланишлар пайдо бўлиб, улар алгебраик равища қўшилади:

$$\sigma = \sigma_{N_x} + \sigma_{M_x} + \sigma_{M_y}, \quad (a)$$

Брусларниң ҳисоб тенгламаси эса

$$\sigma_{\max} = \sigma_{N(z)} + \sigma_{M(x)} + \sigma_{M(y)} \leq \sigma_{adm} \quad (X.1)$$

кўринишда ёзилади.

Бунда σ_{adm} -жоиз нормал кучланиш.

II. Силжиш ва буралишнинг биргаликдаги таъсири

Силжиш ва буралиш биргаликда таъсир этган кесимлардаги нуқталарда τ_{Q_x} , τ_{Q_y} , τ_T урунма кучланишлар ҳосил бўлиб, улар геометрик равища қўшилади

$$\bar{\tau} = \bar{\tau}_{Q(x)} + \bar{\tau}_{Q(y)} + \bar{\tau}_{T(z)} \quad (b)$$

Ҳамда ҳисоб тенгламаси қуйидагича ёзилади:

$$\tau_{\max} \leq \tau_{adm} \quad (X.2)$$

Бунда τ_{adm} -жоиз урунма кучланиш.

III. Эгилиш ва буралишнинг биргаликдаги таъсири

Эгилиш ва буралишга қаршилик кўрсатувчи брусларнинг кесимларида барча нуқталарда бир вақтнинг ўзида нормал ва урунма кучланишлар юзага келади:

$$\sigma = \sigma_{M_x} + \sigma_{M_y} \quad (\text{в})$$

$$\bar{\tau} = \bar{\tau}_{Q(x)} + \bar{\tau}_{Q(y)} + \bar{\tau}_{T(z)} \quad (\text{г})$$

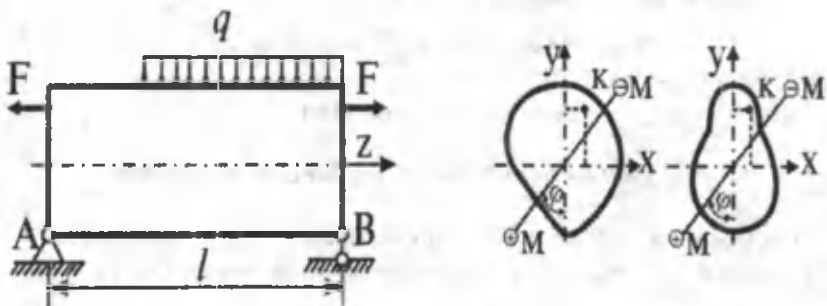
Хисоб тенгламасини ёзишда эса мустаҳкамлик назарияларидан бири ишлатилади.

Энди юқорида баён этилган мураккаб деформацияларнинг ҳар бири учун кучланишларни аниқлаш масаласини алоҳида кўриб чиқамиз.

10.2-§. Эгилиш ва чўзилиш (сиқилиш)

Айтайлик, эгилиш ва чўзилишга биргаликда қаршилик кўрсатаётган брусларнинг ихтиёрий кесимида эгувчи момент ва бўйлама куч таъсир этаётган бўлсин (X.1-шакл).

Натижавий эгувчи момент текислигининг изи ил чизиқ ох ўқи билан ϕ бурчак ҳосил қилган ва бўйлама куч қутб нуқтаси деб аталувчи $K(x,y)$ нуқтага қўйилган, деб фараз қилинади.



X.1-шакл

a) масаланинг статик томони

Текширилаётган ҳол учун (I.1) мувозанат тенгламалари кўйидагича бўлади (1.4-§ га қаранг):

$$\left. \begin{array}{l} \int_A \sigma_z dA - N_z = 0 \\ \int_A \sigma_z dA \cdot x - M_y = 0 \\ \int_A \sigma_z \cdot dA \cdot y - M_x = 0 \end{array} \right\} \quad (a)$$

Бу ерда,

$$\left. \begin{array}{l} M_x = M \cos \varphi + N_z y_F \\ M_y = M \sin \varphi + N_z x_F \end{array} \right\} \quad (6)$$

x_F, y_F - қутб нүктаси бўлган K нүктанинг координаталари;
 φ - куч текислиги изи пп нинг абцисса ўқи билан
 ташкил қилган бурчаги.

б) масаланинг геометрик томони

Бернулли гипотезасига асосан нисбий деформацияни

$$\varepsilon_z = a_0 + b_0 x + c_0 y \quad (X.3)$$

кўринишда ёзиб оламиз.

Бунда, a_0, b_0, c_0 - ўзгармас сонлар.

в) масаланинг физик томони

Маълумки, эластиклик чегарасида кучланиш нисбий деформациянинг чизиқли функцияси ҳисобланади; буни умумий ҳолда қўйидагича ифодалаш мумкин:

$$\sigma_z = E \varepsilon_z \quad (v)$$

ёки

$$\sigma_z = a + b x + c y \quad (X.4)$$

Бунда $a = Ea_0, b = Eb_0, c = Ec_0$ - ўзгармас сонлар;
 x, y - кучланиши топиладиган нүктанинг координаталари.

г) синтез

(Х.4) ни мувозанат тенгламаларига қўйиб, ўзгармас a, b, c ларга нисбатан учта тенглама ҳосил қиласиз:

$$\left. \begin{array}{l} \int_{(A)} (a + bx + cy) dA - N_z = 0 \\ \int_{(A)} (a + bx + cy) x dA - M_y = 0 \\ \int_{(A)} (a + bx + cy) y dA - M_x = 0 \end{array} \right\} \quad (\text{г})$$

Бундан:

$$a = \frac{N_z}{A}; \quad b = \frac{M_y J_x - M_x D_{xy}}{J_y J_x - D_{xy}^2}; \quad c = \frac{M_x J_y - M_y D_{xy}}{J_x J_y - D_{xy}^2} \quad (\text{д})$$

Шундай қилиб, эгилиш ва чўзилишнинг биргаликдаги таъсири эътиборга олинганда нормал кучланиш қўйидагича то-пилади:

$$\sigma_z = \frac{N_z}{A} + \frac{M_y J_x - M_x D_{xy}}{J_y J_x - D_{xy}^2} x + \frac{M_x J_y - M_y D_{xy}}{J_x J_y - D_{xy}^2} y \quad (\text{ж})$$

Нейтрал ўқнинг тенгламасини ёзиш учун нормал кучла-нишнинг ифодасини нолга тенглаш кифоя:

$$\sigma_z = \frac{N_z}{A} + \frac{M_y J_x - M_x D_{xy}}{J_y J_x - D_{xy}^2} x + \frac{M_x J_y - M_y D_{xy}}{J_x J_y - D_{xy}^2} y = 0 \quad (\text{е})$$

ёки, бундан:

$$y = - \frac{N_z}{A} \frac{\left(J_x J_y - D_{xy}^2 \right)}{M_x J_y - M_y D_{xy}} - \frac{\left(M_y J_x - M_x D_{xy} \right)}{M_x J_y - M_y D_{xy}} x \quad (\text{ж.6})$$

(Х.6) га нейтрал ўқ тенгламаси дейилади.

Айтайлик, ох ёки оу лардан бири кесимнинг бош ўқлари бўлсин. У ҳолда чўзилиш (сиқилиш) ва эгилишнинг биргаликдаги таъсири учун натижавий нормал кучланиш формуласи

$$\sigma_z = \frac{N_z}{A} + \frac{M_y}{J_y}x + \frac{M_x}{J_x}y \quad (X.7)$$

күринишида, нейтрал ўқ тенгламаси эса

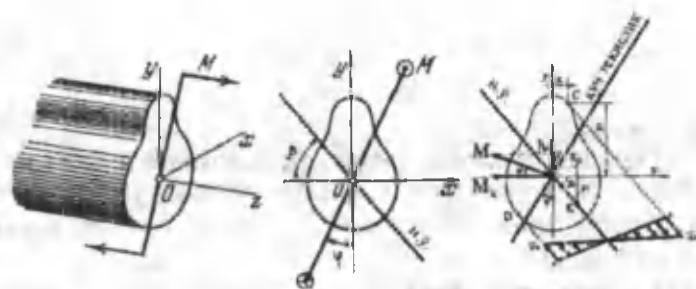
$$y = -\frac{N_z}{A} \cdot \frac{J_x}{M_x} - \frac{M_y J_x}{M_x J_y} x \quad (X.8)$$

күринишида ифодаланади.

Бу ерда M_x ва M_y лар (б) формуладан топилади.

Хусусий ҳоллар

1. Айтайлык, $N_z = F = 0$ бўлсин. У ҳолда брус (тўсин) ўз ўқига тик йўналган ва бош текисликлардан бирининг ҳам устидаги ётмаган натижавий эгувчи момент таъсиридан эгилади (Х.2-шакл).



Х.2-шакл

Одатда, тўсиннинг бу ҳолдаги эгилиши қийшиқ эгилиш деб аталади; қийшиқ эгилишда натижавий эгувчи момент текислиги билан эгилиш текислиги устма-уст тушмайди (Х.2-шакл).

(Х.7) формуладан фойдаланиб, қийшиқ эгилишда натижавий нормал кучланишини аниқлаймиз:

$$\sigma_z = \frac{M_y}{J_y}x + \frac{M_x}{J_x}y \quad (X.9)$$

Охирги ифода қийшиқ эгилишни кесимнинг марказий бош инерция ўқларига нисбатан олинган эгувчи моментлар таъсирдан ҳосил бўлган иккита тўғри эгилишлар йиғиндисидан иборат эканлигини тасдиқлади. Демак, қийшиқ эгилиш бош инерция текисликларида содир бўлган иккита тўғри эгилишлар йиғиндисидан иборат экан.

(Х.9) формула бўйича кесимнинг исталган нуқтасидаги нормал кучланиш топилади. Шуни таъкидлаш муҳимки, (Х.9) формуладан фойдаланилаётганда кучланиши топиладиган нуқтанинг координаталари ишорасини, албатта эътиборга олиш зарур:

$$\sigma_z = \pm \frac{M_y}{J_y} x \pm \frac{M_x}{J_x} y \quad (\text{X.10})$$

Текширилаётган ҳолда $M_x = M \cos \varphi$, $M_y = M \sin \varphi$ эканлигини эътиборга олиб, охирги ифодани нолга tengлаб, уни

$$y = -\frac{J_x}{J_y} \operatorname{tg} \varphi \cdot x \quad (\text{X.11})$$

кўринишда ёзib оламиз.

(Х.11) қийшиқ эгилишда нейтрал ўқ тенгламаси дейилади.

Нейтрал ўқ координата бошидан ўтувчи тўғри чизикдан иборат бўлиб, унинг вазиятини β бурчак орқали аниқлаш мумкин (Х.2-шакл).

(Х.11) формулани нейтрал ўқ устида ётувчи бирорта $K(x_0, y_0)$ нуқта учун ёзамиш:

$$y_0 = -\frac{J_x}{J_y} \operatorname{tg} \varphi \cdot x_0$$

$$\text{бундан } -\frac{y_0}{x_0} = \frac{J_x}{J_y} \operatorname{tg} \varphi \quad \text{еки } \operatorname{tg} \beta = \frac{J_x}{J_y} \operatorname{tg} \varphi \quad (\text{X.12})$$

эканлиги келиб чиқади.

(Х.12) формула ёрдамида нейтрал ўқнинг ҳолати аниқланади. Бу формула қийшиқ эгилишда нейтрал ўқнинг на-тижавий эгувчи момент текислигининг изига тик эмаслигини тасдиқлади.

Квадрат, доиравий, халқа каби кесимли түсінлар қишиқ әғилишга қаршилик күрсатмайды, чунки уларда $J_x = J_y$, ва ниҳоят $\beta = \phi$ бұлиб, әғилиш фақат күч текислігіда содир бўлади.

Нейтрал ўққа параллел ҳолда кесим контурига урунма ўтказиб, кесим юзада нормал кучланиш эпюрасини қурамиз.

Эпюрадан кўриниб турибдикি, нейтрал ўқдан энг узоқда жойлашган C ва D нуқталарда тегишлича энг катта σ_C чўзувчи ва σ_D сиқувчи кучланишлар пайдо бўлади. Бу кучланишлар бўйича қишиқ әғилишга қаршилик күрсатувчи түсінлар мустаҳкамликка текширилади.

Материални чўзилиш ва сиқилишга турлича қаршилик күрсатувчи ҳамда кўндаланг кесими нейтрал ўққа нисбатан симметрик бўлмаган түсінлар учун мустаҳкамлик шарти қўйидагича ёзилади:

$$\sigma_C = \frac{M_y}{J_y} x_c + \frac{M_x}{J_x} y_c \leq \sigma_{adm} \quad (X.13)$$

$$\sigma_D = \frac{M_y}{J_y} x_d + \frac{M_x}{J_x} y_d \leq \sigma_{adm} \quad (X.14)$$

Агар түсин материалы чўзилиш ва сиқилишга бир хил қаршилик күрсатса, у ҳолда мустаҳкамлик шарти бу кучланишларнинг энг каттаси бўйича бажарилади.

Мўрт материалли түсінларни мустаҳкамликка текширишда (X.14) шартдан фойдаланиш лозим.

Маълумки, тўғри тўртбурчак, қўштавр каби кесимларнинг бурчак учларидаги нуқталар координаталарининг модули максимал қийматга эришиб, бу нуқталарда абсолют қиймат жиҳатидан энг катта кучланишлар пайдо бўлади. Шу сабабли тўғри тўртбурчак, қўштавр каби кесимли түсінларнинг мустаҳкамлик шарти қўйидагича ёзилади:

$$\sigma_{max} = \frac{M_y}{W_y} + \frac{M_x}{W_x} \leq \sigma_{adm} \quad (X.15)$$

Бу ерда, W_x ва W_y -кесимнинг қаршилик моментлари.
Охирги шартдан:

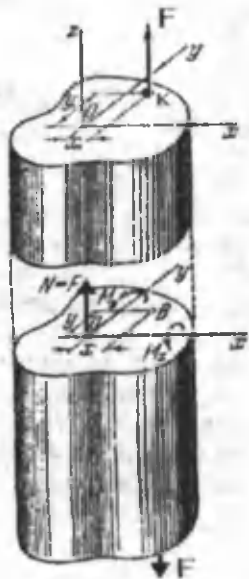
$$W_x \geq \frac{M_x + k_0 M_y}{\sigma_{adm}} \quad (X.16)$$

бу ерда, $k_0 = \frac{W_y}{W_x}$ - ўлчамсиз миқдор.

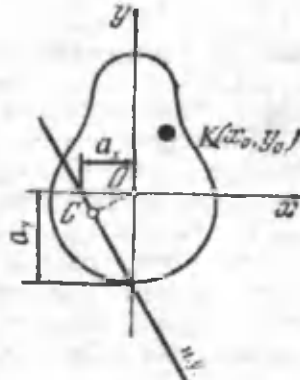
(X.16) ифода ёрдамида кесим юза ўлчамлари таңланади.

Тұғри түртбұрчакли кесим учун $k_0 = h/b$ га тенг;
құштаурынан кесим учун эса унинг қиймати $k_0 = 8,5 \div 10$ чега-
рада олинади.

2. Фараз қылайлық, $M = 0$, $N_z = F$ бўлсин. Бу ҳолда
 $M_x = Fy_F$, $M = Fx_F$ бўлиб, брус марказлашмаган чўзилиш
ёки сиқилишга қаршилик кўрсатади.



X.3-шакл.



X.4-шакл.

Марказлашмаган чўзилишга қаршилик кўрсатувчи бруслар учун (Х.7) формула қўйидагида ёзилади (Х.3-шакл):

$$\sigma_z = \frac{F}{A} \left(1 + \frac{x_F}{I_y} x + \frac{y_F}{I_x} y \right) \quad (X.17)$$

Энди $i_x = \sqrt{\frac{J_x}{A}}$, $i_y = \sqrt{\frac{J_y}{A}}$ белгилашларни киритиб, нейтрал ўқ тенгламасини

$$\left(1 + \frac{x_F}{i_y^2} x + \frac{y_F}{i_x^2} y \right) = 0 \quad (X.18)$$

кўринишда ёзиб оламиз, чунки $F/A \neq 0$ бўлади.

Бу ерда, i_x, i_y -инерция радиуслари деб юритилади.

(Х.17) формула ёрдамида марказлашмаган чўзилиш ёки сиқилишга қаршилик кўрсатувчи бруслинг ихтиёрий кўндаланг кесимларida ётuvчи нуқталарда пайдо бўлувчи нормал кучланишлар топилади.

Энди нейтрал ўқнинг ҳолатини аниқлашга ўтамиз.

(Х.18) тенгламани қўйидагида ёзиб оламиз:

$$\left(\frac{x}{\frac{i_y^2}{x_F}} \right)^2 + \left(\frac{y}{\frac{i_x^2}{y_F}} \right)^2 = 1 \quad (X.19)$$

Бу тенгламадан кўриниб турибдикি, нейтрал ўқ кесимнинг оғирлик марказидан ўтмасдан, бош инерция ўқларидан қўйидаги кесмаларни ажратган ҳолда ўтар экан (Х.4-шакл):

$$a_x = -\frac{i_y^2}{x_F}, \quad a_y = -\frac{i_x^2}{y_F} \quad (X.20)$$

Демак, нейтрал ўқнинг ҳолати қучнинг миқдорига боғлиқ бўлмасдан, балки куч қўйилган нуқтанинг ҳолатигагина боғлиқ экан.

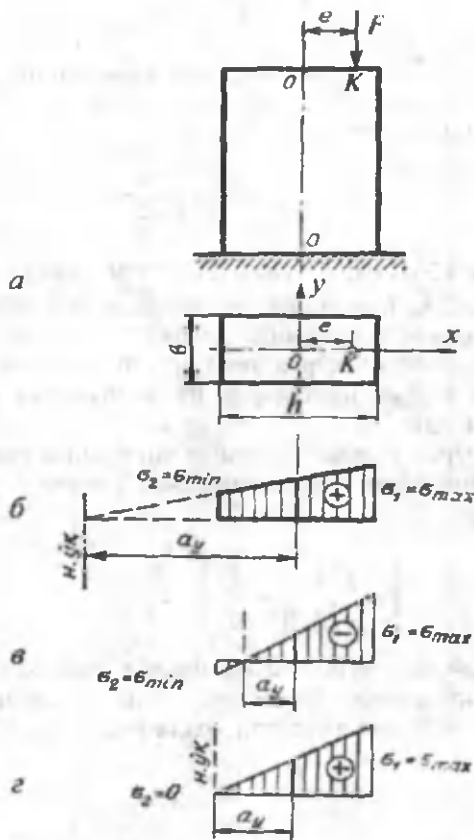
Аналитик геометриядан маълумки, координата бошидан бирорта

$$ax + by + c = 0$$

кўринишдаги тўғри чизиқчача бўлган энг қисқа масофа

$$OC = \frac{c}{\sqrt{a^2 + b^2}}$$

га тенг.



X.5-шакл

Текширилаёттган ҳол учун:

$$OC = \frac{1}{\sqrt{\frac{x_F^2}{i_y^4} + \frac{y_F^2}{i_x^4}}} \quad (X.21)$$

Охирги ифода ҳам нейтрал ўқнинг ҳолатини аниқлайди: күтб нуқтаси кесим оғирлик марказига яқинлашган сари нейтрал ўқ ундан узоқлаша боради, аксинча нейтрал ўқ яқинлашади.

Бундан чиқди, кучнинг қўйилиш нуқтасига қараб (айтайлик, брус сиқувчи куч таъсирида бўлсин), қўйидаги холосаларга келиш мумкин (Х.5-шакл, а):

- нейтрал ўқ кесим юзани кесиб ўтади (Х.5-шакл, б); бундай ҳолда кесимда икки хил ишорали кучланиш пайдо бўлади;
- нейтрал ўқ кесимга тегиб ўтади (Х.5-шакл, в); кесимда бир хил ишорали кучланиш пайдо бўлади;
- нейтрал ўқ кесимнинг ташқарисидан ўтади (Х.5-шакл, г); кесимда бир хил ишорали кучланиш ҳосил бўлади.

Чўзилишга заиф қаршилик кўрсатувчи чўян, бетон, гишт каби мўрт материаллардан ясалган брус (масалан, устун) ни лойиҳалаётганда унинг кўндаланг кесим юзида фақат сиқувчи кучланиш ҳосил бўлишини таъминлаш мақсадга мувофиқдир. Шу жиҳатдан олганда нейтрал ўқ устуннинг кесим юзасини кесиб ўтмаслиги шарт ёки бошқача айтганда, кутб нуқтасининг кесим оғирлик марказидан узоқлашиб кетишига йўл қўймаслик керак.

Марказлашмаган чўзилиш ёки сиқилишга қаршилик кўрсатувчи брусларнинг кесим оғирлик маркази атрофида шундай ёпиқ соҳа мавжуд эканки, агар куч шу соҳанинг ичкарисига ёки унинг контурига қўйилса, кесимда фақат бир хил ишорали кучланиш пайдо бўлади. Бу ёпиқ соҳа кесим ядроси дейилади.

Шундай қилиб, мўрт материаллардан ясалган бруслар учун кесим ядросининг шакли ва ўлчамларини билиш мухимдир.

Томонлари b ва h бўлган тўғри тўртбурчакли кесим учун кесим ядросини қуришни кўриб чиқамиз (Х.6-шакл).

а) кучни $A_1(0, y_F)$ нуқтага кўяйликки, нейтрал ўқ кесимнинг пастки асосига тегиб ўтсан, яъни $\overline{OC} = 0,5h$ бўлсин.

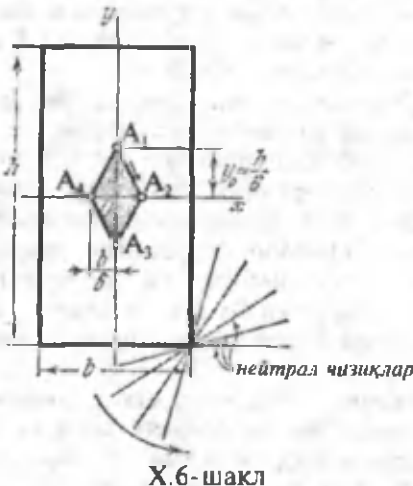
Агар

$$A = bh, \quad J_x = \frac{bh^3}{12}, \quad i_x^2 = \frac{J_x}{A} = \frac{h^2}{12}$$

ларни эътиборга олсак, у ҳолда (Х.21) формуладан $y_F = \frac{h}{6}$ эканлиги келиб чиқади.

б) күчни $A_2(x_F, 0)$ нүктеге күчирамиз; қутб нүктесини шундай танлайлики, нейтрал үқе кесимнинг чап томонига тегиб үтсиз. Бу ҳолда $\overline{OC} = 0,5 b$ га тенг бўлади.

$i_y^2 = \frac{b^2}{12}$ ни назарда тутиб, (X.21) формуладан $x_F = \frac{b}{6}$ ни ҳосил қиласиз.



X.6-шакл

в) шу тариқа нейтрал үқни кесим контурига урунма ҳолда унинг атрофида айлантириб, күчни $A_3(0, -y_F)$ ва $A_4(-x_F, 0)$ нүкталарга навбат билан кўйиб чиқамиз ҳамда қутб нүктасининг ҳолатларини аниқлаймиз:

$$y_F = \frac{h}{6}, \quad x_F = \frac{b}{6}.$$

Кесим ядросини қуриш учун қутб нүкталари туташтирилади. Натижада диагоналлари $\frac{b}{3}$ ва $\frac{h}{3}$ га тенг бўлган $A_1A_2A_3A_4$ ромб шаклидаги кесим ядроси ҳосил бўлади.

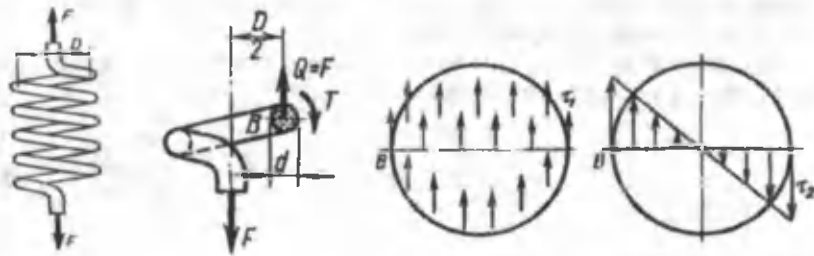
Чўзилиш ва сиқилишга турлича қаршилик қўрсатувчи брусларни мустаҳкамликка текшириш учун нейтрал үқдан энг узоқда жойлашган $C(x_C, y_C)$ ва $D(-x_D, -y_D)$ нүкталардаги кучланишларни топиш кифоя:

$$\sigma_C = \frac{F}{A} \left(1 + \frac{x_F x_C}{i_y^2} + \frac{y_F y_C}{i_x^2} \right) \leq \sigma_{adm}^+ \quad (X.22)$$

$$\sigma_D = \frac{F}{A} \left(1 - \frac{x_F x_D}{i_y^2} - \frac{y_F y_D}{i_x^2} \right) \leq \sigma_{adm}^- \quad (X.22)$$

10.3-§. Силжиш ва буралишнинг биргаликдаги таъсири

Чўзувчи ёки сикувчи кучлар билан юклантган кичик қадамли винтсимон пружиналарни мустаҳкамликка ҳисоблаш мисолида силжиш ва буралишнинг биргаликдаги таъсирини кўриб чиқамиз (Х.7-шакл, а).



Х.7-шакл

Замонавий машина, дасттоҳ ва ўлчов асбобларининг энг асосий деталларидан бири ҳисобланган винтсимон пружиналарнинг эластиклик хоссаларидан кўйидаги мақсадларда фойдаланилади:

- муфта ва тормозларда тортувчи ёки сикувчи кучларни вужудга келтиришда;
- энергияларни маълум муддатгача тўплаш пайтида (соят-созликда, зарбли механизмларда);
- зарбли силкинишларни сўндириш мақсадларида (рессора, амортизатор ва шу кабиларда);
- кулачокли механизм клапанларини автоматик равишда қайтариш мақсадларида ва ҳакозо.

Винтсимон пружиналар күндаланг кесими доиравий бўлган стержен - симлардан ясалади. Чўзилган (сиқилган) винтсимон пружиналарнинг симлари бир вақтнинг ўзида силжиш, буралиш ва эгилиш каби оддий деформацияларга қаршилик кўрсатишлари тажрибаларда тасдиқланган. Аммо кичик қадамли винтсимон пружина ўрамларининг қиялик бурчаклари кичик бўлганлиги туфайли, кўпинча симларнинг эгилиши ётиборга олинмайди.

Кесиш усулини қўллаб пружина симининг күндаланг кесимларидаги ички зўриқишиларини аниқлаймиз (Х.7-шакл, б).

Айтайлик, пружинанинг ўртача радиуси R , ўрамлар сони n , сими күндаланг кесимининг радиуси r ва материали учун силжишдаги эластиклик модули G бўлсин.

Пружинадан ажратилган қисмнинг мувозанатини таъминлаш учун биринчидан, пружина ўқига параллел ва юқорига йўналган $Q=F$ күндаланг кучни қирқилган күндаланг кесим марказига, иккинчидан эса кесим текислигига $T=FR$ буровчи моментни таъсир эттириш лозим.

Кўндаланг куч Q кесим юзани юқори томонга силжитишига интилади ва кесимда текис тарафган

$$\tau_Q = \frac{Q}{A} = \frac{F}{\pi r^2} \quad (a)$$

урунма кучланишни ҳосил қиласи (Х.7-шакл, в).

Буровчи момент T эса пружина симини бурашга интилади; натижада кесимда чизиқли қонуният бўйича ўзгарувчи τ_T урунма кучланишни пайдо қиласи; τ_T кучланиш кесимнинг четки нуқталарида энг катта қийматга эришади:

$$\tau_T^{(\max)} = \frac{T}{W_p} = \frac{2FR}{\pi r^3} \quad (b)$$

Кучланиш эпюраларидан кўриниб турибдики, кесим контурида жойлашган В нуқта хавфли нуқта ҳисобланади. Чунки ундали урунма кучланишлар бир хил йўналишга эга.

Энг катта урунма кучланишни топиб, ҳисоб тенгламасини

$$\tau_{\max} = \tau_Q + \tau_T^{\max} \leq \tau_{adm}$$

еки

$$\tau_{\max} = \frac{2FR}{\pi r^3} + \frac{F}{\pi r^2} = \frac{2FR}{\pi r^3} \left(1 + \frac{r}{2R} \right) \leq \tau_{adm} \quad (\text{X.24})$$

күринишларда ёзамиз.

Күпинча қавс ичидаги иккинчи құшилувчи ҳад $\frac{r}{2R}$ бирга нисбатан етарлича кичик бўлганлиги сабабли уни ташлаб юбориб, фақат буралишдаги кучланиш эътиборга олинади. Натижада ҳисоб тенгламаси бирмунча соддалашади:

$$\tau_{\max} \cong \frac{2FR}{\pi r^3} \leq \tau_{adm} \quad (\text{X.25})$$

Лойиҳаланаётган пружиналарнинг мустаҳкамлигини текшириш билан бир қаторда уларнинг чўкиши (узунлигининг ўзгариши)ни ҳам олдиндан билиш муҳимdir.

Пружинанинг чўкиши δ ни аниқлашда энергиянинг сақланиш қонунидан фойдаланамиз:

$$W = U \quad (\text{в})$$

бунда W -ташқи кучнинг бажарган иши;

U -буралишдаги деформациянинг потенциал энергияси.

Ташқи куч F нинг δ кўчишда бажарган иши

$$W = \frac{F\delta}{2} \quad (\text{г})$$

га тенг.

Энди буралишда деформациянинг потенциал энергиясини аниқлашга ўтамиз (VII.27 формулага қаранг):

$$U = \frac{1}{2} \frac{T^2 l}{GJ_\rho} = \frac{(FR)^2 l}{2GJ_\rho} \quad (\text{д})$$

бунда $l = 2\pi R n$ -пружина симининг тўла узунлиги.

Энергиянинг сақланиш қонунига асосан:

$$\frac{F\delta}{2} = \frac{(FR)^2 2\pi R n}{2GJ_\rho}$$

буңдан

$$\delta = \frac{2\pi FR^3 n}{GJ_\rho} \quad \text{ёки} \quad \delta = 8 \frac{FD^3 n}{Gd^4} \quad (\text{X.26})$$

(X.26) формула ёрдамида пружинанинг чўкиши аниқланади.

10.4-§. Буралиш ва эгилишнинг биргаликдаги таъсири

Амалда брусларнинг буралиши кўпинча эгилиш билан биргаликда содир бўлади. Машиналарнинг буралишга қаршилик кўрсатувчи қисмлари, шунингдек, турли валларнинг ишлатилиш жараёнида бунга ишонч ҳосил қилиш мумкин. Ҳатто трансмиссион валларга бевосита кўндаланг кучлар қўйилмаган бўлса-да, хусусий оғирлиги, ўрнатилган тишли гидрирак ва шкивларнинг оғирлиги, тасмали узатмалардаги таранглик кучлари, айланиш натижасида пайдо бўладиган марказдан қочма инерция кучлари ва шу каби омиллар таъсиридан улар буралиш билан бир вақтда, шубҳасиз, эгилади.

Кучлар таъсирининг ўзаро халал бермаслик тамойилидан фойдаланиб доиравий кесимли валнинг буралиш ва эгилишдан ҳосил бўлган кучланишларини аниқлаймиз (Х.8-шакл).

Ички зўриқшларнинг эпюраларини куриб, валнинг қистириб маъжамланган кесими хавфли кесим эканлигига ишонч ҳосил қиласиз.

Маълумки, тўсинлар эгилганда кесимда нормал ва урунма кучланишлар юзага келади.

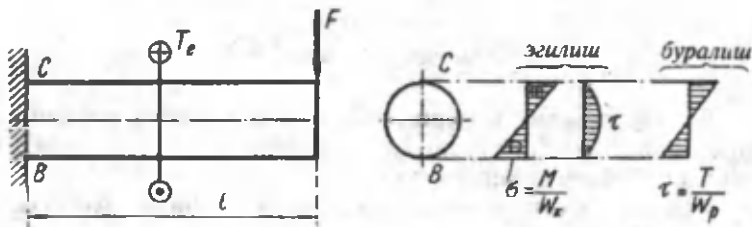
Нормал кучланишнинг энг катта қиймати

$$\sigma = \sigma_3 = \frac{M}{W_x} \quad (\text{a})$$

кесимдаги четки толаларда, урунма кучланишнинг энг катта қиймати

$$\tau = \tau_3 = \frac{4Q}{3A} \quad (\text{b})$$

эса нейтрал қатламда пайдо бўлади.



X.8-шакл

Вал буралганда кесимнинг чекка нуқталарида энг катта қийматга эришувчи урунма кучланишлар ҳосил бўлади:

$$\tau = \tau_{\text{бұр.}} = \frac{T}{W_p} = \frac{T}{2W_x} \quad (8)$$

Юқорида кўриб ўтганимиздек, кўпинча кўндаланг куч вужудга келтирган урунма кучланиш τ_3 эътиборга олинмайди, балки тўсиннинг эгилиши фақат М таъсиридан содир бўлади.

Бундан чиқди, хавфли кесимдаги С ва В нуқталар энг катта кучланишларга эта. Аникроғи, С нуқта атрофидан олинган элементнинг кўндаланг кесимига энг катта чўзувчи нормал кучланиш $\sigma = \frac{M}{W_x}$ ва энг катта урунма кучланиш $\tau = \frac{T}{2W_x}$ таъсир кўрсатади; элементнинг бўйлама кесими эса урунма кучланишларнинг жуфтлик қонунига кўра фақат урунма кучланиш $\tau = \frac{T}{2W_x}$ таъсирида бўлади.

Демак, элемент текис кучланиш ҳолатида бўлар экан. Бундай элементларнинг бош кучланишлари қуйидагича топилади:

$$\sigma_{1,3} = \sigma_{\max/\min} = 0,5\sigma_3 \pm 0,5\sqrt{\sigma_3^2 + \tau_6^2} \quad (\text{г})$$

Валлар пластик материаллардан ясалғанлығи туфайли уларнинг мустаҳкамлиги учинчи ва түртінчы мустаҳкамлик назариялари бүйіча текширилади.

Учинчи мустаҳкамлик назарияси бүйіча мустаҳкамлик шарты қуидаги:

$$\sigma_{red} = \sigma_1 - \sigma_3 \leq \sigma_{adm}$$

Бу ифодага σ_1 ва σ_3 ларнинг қийматларини назарда тутиб, мустаҳкамлик шартидан

$$\sigma_{red} = \sqrt{\sigma_3^2 + 4\tau_6^2} \leq \sigma_{adm}$$

ёки

$$\sigma_{red} = \frac{\sqrt{M^2 + T^2}}{W_x} \leq \sigma_{adm} \quad (\text{X.27})$$

күринишлардаги ҳисоб тенгламаларига әга бўламиз.

Валнинг диаметрини танлашда

$$W_x \geq \frac{\sqrt{M^2 + T^2}}{\sigma_{adm}} \quad (\text{X.28})$$

формуладан фойдаланиш кифоя.

Бунда $W_x = \frac{\pi d^3}{32}$ - қаршилик моменти.

Текис күчланиш ҳолати учун түртінчы мустаҳкамлик назарияси бүйіча мустаҳкамлик шарты қуидаги күринишга әга:

$$\sigma_{red} = \sqrt{\sigma_1^2 + \sigma_3^2 - \sigma_1\sigma_3} \leq \sigma_{adm}$$

Юқорида бажарилған ишларни тақрорлаб, ҳисоб тенгламасини ҳосил қиласиз:

$$\sigma_{red} = \frac{\sqrt{M^2 + 0,75T^2}}{W_x} \leq \sigma_{adm} \quad (\text{X.29})$$

Бундан валнинг диаметрини танлаш мумкин:

$$W_x = \frac{\sqrt{M^2 + 0,75T^2}}{\sigma_{adm}} \quad (\text{X.30})$$

35-масала. Қийшиқ әгилишга қаршилик күрсатаётган ёғоч консол учун (Х.9-шакл, а):

- күндаланг кесим үлчамлари b ва h лар топилсан;
- кесимнинг томонлари бўйича нормал кучланиш эпюралари қурилсан;
- нейтрал ўқнинг ҳолати аниқлансан;
- консол эркин учининг тўлиқ салқлиги аниқлансан.

Қуйидагилар маълум: $F = 12kH$, $\alpha = 15^\circ$, $l = 0,85 \text{ м}$, $\frac{h}{b} = 1,5$,
 $\sigma_{adm} = 8 \text{ MPa}$, $E = 1 \cdot 10^4 \text{ MPa}$.

Ечиш

а) F кучни ташкил этувчиларга ажратиб, хавфли кесимдаги эгувчи моментларни аниқлаймиз:

$$M_x(\max) = Fl \cos \alpha = 12 \cdot 0,85 \cdot 0,9659 = 9,8524 \text{ кНм}$$

$$M_y(\max) = Fl \sin \alpha = 12 \cdot 0,85 \cdot 0,2588 = 2,6399 \text{ кНм}$$

$$k_0 = \frac{W_x}{W_y} = \frac{h}{b} = 1,5$$

Эканлигини назарда тутиб, қаршилик моментини ҳисоблаймиз:

$$W_x = \frac{(9,8524 + 1,5 \cdot 2,6399) \cdot 10^3}{8 \cdot 10^6} = 1726,54 \cdot 10^{-6} \text{ м}^3.$$

Бундан ташқари, қаршилик моментини яна қуйидагича ёзиш ҳам мумкин:

$$W_x = \frac{bh^2}{6} = \frac{3b^3}{8}$$

Буларни ўзаро тентглаштиrsак

$$b = \sqrt[3]{\frac{8 \cdot 1726,54 \cdot 10^{-6}}{3}} = 0,1664 \text{ м} \quad \text{ва} \quad h = 1,5b = 0,2496 \text{ м}$$

Эканлиги келиб чиқади;

б) хавфли кесимнинг исталган нуқтасидаги нормал кучланишни аниқлаймиз:

$$\sigma_z = \frac{M_y(\max)}{J_y} \cdot x + \frac{M_x(\max)}{J_x} \cdot y$$

бундан,

$$J_x = \frac{bh^3}{12} = \frac{0,1664(0,249)^3}{12} = 2,1563 \cdot 10^{-5} \text{ м}^4$$

$$J_y = \frac{bh^3}{12} = \frac{0,2496(0,1664)^3}{12} = 9,5835 \cdot 10^{-5} \text{ м}^4$$

$$\sigma_z = \frac{2,6399 \cdot 10^3}{9,5835 \cdot 10^{-5}} \cdot x + \frac{9,8524 \cdot 10^3}{2,1563 \cdot 10^{-5}} \cdot y = 0,27546 \cdot 10^8 x + 0,45691 \cdot 10^8 y \frac{\text{Н}}{\text{м}^2}$$

Кесим юзада жойлашган ўзига хос нүқталардаги кучланишларни ҳисоблаймиз (Х.9-шакл, б).

$$\sigma_{1,3} = \pm 0,27546 \cdot 10^8 \cdot \frac{0,1664}{2} \pm 0,4596 \cdot \frac{0,2496}{2} \cdot 10^8 = \\ = \pm (2,2918 \pm 5,7022) \cdot 10^6 \frac{\text{Н}}{\text{м}^2} = \pm 7,994 \text{ МПа}$$

$$\sigma_{2,4} = \pm 0,27546 \cdot 10^8 \cdot \frac{0,1664}{2} \pm 0,4596 \cdot \frac{0,2496}{2} \cdot 10^8 =$$

$$= (+2,2918 \pm 5,7022) \cdot 10^6 \frac{\text{Н}}{\text{м}^2} = \pm 3,4104 \cdot 10^6 \frac{\text{Н}}{\text{м}^2} = \pm 3,4104 \text{ МПа}$$

в) (Х.12) формуладан фойдаланиб нейтрал ўқнинг ҳолатини аниқлаймиз:

$$\operatorname{tg}\varphi = \frac{21,563 \cdot 10^{-5}}{9,5835 \cdot 10^{-5}} \cdot \operatorname{tg}15^\circ \approx 0,6029 = \operatorname{tg}31^\circ 08'$$

г) куч қўйилган кесимнинг горизонтал ва вертикал салқиликларни ҳисоблаймиз:

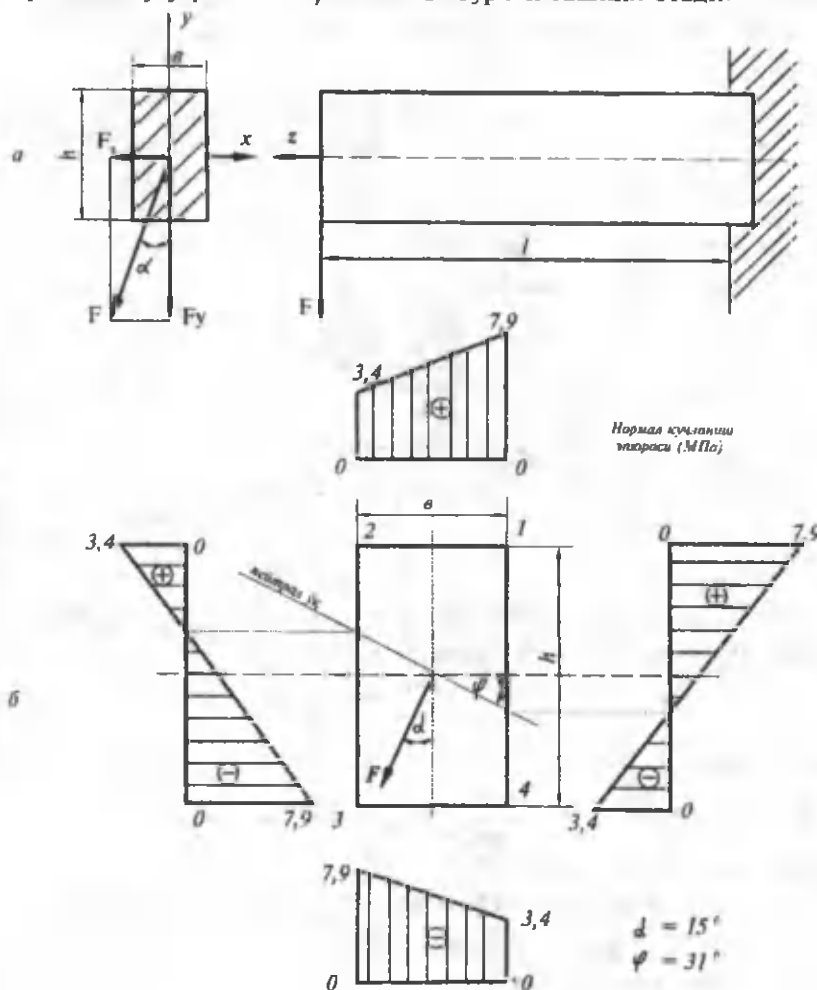
$$f_x = \frac{F_x l^3}{3EI_y} = \frac{F \sin \alpha l^3}{3EI_y} = \frac{12 \cdot 0,2588 \cdot (0,85)^3 \cdot 10^3}{3 \cdot 10^{10} \cdot 9,5835 \cdot 10^{-5}} = 6,634 \cdot 10^{-4} \text{ м} = 0,0663 \text{ см};$$

$$f_y = \frac{F_y l^3}{3EI_x} = \frac{F \cos \alpha l^3}{3EI_x} = \frac{12 \cdot 0,9659 \cdot (0,85)^3 \cdot 10^3}{3 \cdot 10^{10} \cdot 21,563 \cdot 10^{-5}} = 11,004 \cdot 10^{-4} \text{ м} = 0,11 \text{ см}$$

тўлиқ салқилик:

$$f = \sqrt{f_x^2 + f_y^2} = 1,2849 \cdot 10^{-3} \text{ м} = 0,1285 \text{ см}$$

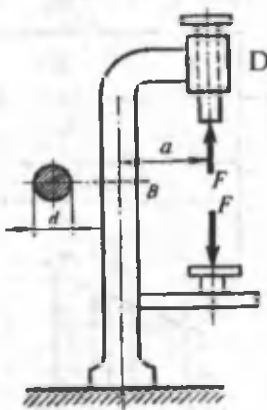
Тұлиқ салқылышкүйнің йұналиши нейтрал үққа тик бўлиб, вертикаль Oy ўқи билан $\varphi = 31^{\circ}08'$ бурчак ташкил этади.



Х.9-шакл

36-масала. Деталларни төшиш пайтида дастгохнинг шпиндельи D га шу шпиндел учи бўйлаб F куч таъсир қиласи (Х.10-шакл). Доиравий кесимли чўян устуннинг диаметри аниқлансин.

Чўян учун чўзилишда жоиз кучланиш $\sigma'_{adm} = 40 \text{ MPa}$ га тенг. Ҳисоблашларда $F = 10 \text{kN}$ ва $a = 0,4$ деб олинсин.



Х.10-шакл.

Ечиш

Устун марказий бўлмаган чўзилишга қаршилик кўрсатади. (Х.22) формулага кўра мустаҳкамлик шарти:

$$\sigma = \frac{N}{A} + \frac{M_{\max}}{W_x} \leq \sigma'_{adm}$$

Бу ифодада:

$$N = F = 10 \text{ kH}, \quad A = \frac{\pi d^2}{4}, \quad M_{\max} = Fa = 4 \text{ kNm}, \quad W_x = \frac{\pi d^3}{32}$$

Буларни эътиборга олиб

$$\frac{4 \cdot 10 \cdot 10^3}{\pi d^2} + \frac{32 \cdot 4 \cdot 10^3}{\pi d^3} \leq 40 \cdot 10^6 \text{ (H/m}^2\text{)}$$

муносабатни ҳосил қиласи.

Танлаш йўли билан устуннинг диаметри топилади:

$$d = 10,1 \cdot 10^{-2} \text{ m} = 10,1 \text{ см.}$$

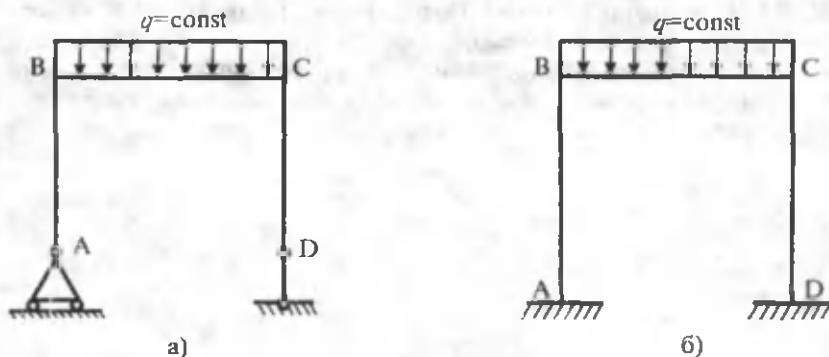
Назорат саволлари ва топшириқлар

1. Мураккаб деформация ёки мураккаб қаршилик деганда нимани тушунасиз?
2. Қайси ҳолдаги эгилиш қийшиқ эгилиш дейилади?
3. Қийшиқ эгилишида нормал кучланиш қандай аниқланади?
4. Қийшиқ эгилишдаги нейтрал ўқ тенгламасини ёзинг ва уни тушунтириңг.
5. Марказлашмаган чўзилиш ёки сиқилиш нима?
6. Марказлашмаган чўзилиш ёки сиқилишда нормал кучланиш қандай аниқланади?
7. Марказлашмаган чўзилиш ёки сиқилишдаги нейтрал ўқ тенгламасини ёзинг ва уни тушунтириңг.
8. Кесим ядроси нима? Тўғри тўртбурчакли кесим учун кесим ядроси қандай қурилади?
9. Силжиш ва бурилишнинг ҳамда бурилиш ва эгилишнинг биргаликдаги таъсирларини алоҳида мисоллар ёрдамида тушунтириңг.

ХІ БОБ. СТАТИК АНИҚМАС РАМАЛАРНИ КУЧ УСУЛИДА ҲИСОБЛАШ

11.1-\$. Асосий түшүнчалар

Бир қанча түғри брусларнинг ўзаро бикр қилиб туташтирилишидан ҳосил бўлган эластик тизим рама дейилади (ХІ.1-шакл).



ХІ.1-шакл

Рамани ташкил этувчи горизонтал ВС брус **ригел**, вертикал АВ ва DC бруслар эса **устунлар** деб аталади.

Ригел ва устунлар B, C түгунларда шундай бикр қилиб туташтирилганки, рама деформацияланганда ҳам тугунга туташган элементлар бир-бирларига нисбатан бурила олмайди.

Ригел ва устунлар тугунларда түғри бурчак ҳосил қилган бўлса, бу түғри бурчак деформациядан кейин ҳам ўзгармасдан қолади.

Биз бу бобда фақат текис рамаларни ҳисоблаш билан чегараланамиз, холос. Текис рамаларда ригел ва устунларнинг ўқлари, уларга қўйилган ташқи юклар ҳамда таянчлардаги реакция кучлари доимо битта текисликда ётади.

Таянчларида пайдо бўлувчи реакция кучлари ҳамда барча кўндаланг кесимларидаги ички зўриқишик кучлари фақат стати-

канинг мувозанат тенгламалари ёрдамида аниқданмайдыган рама-та статик аниқмас рамалар (XI.1-шакл. б).

Барча статик аниқмас рамалар "ортиқча" боғланишлар соңига тенг бўлган статик аниқмаслик даражаси билан тавсифланади.

Уч хил статик аниқмаслик мавжуд: ташқи, ички ва аралаш.

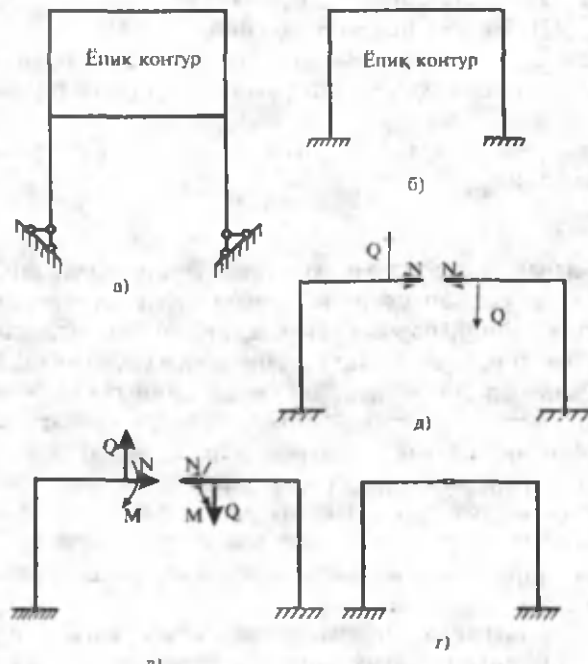
Ташқи статик аниқмаслик ортиқча таянч боғланишлари сони билан тавсифланаб, қуйидагича ҳисобланади:

$$S_t = C_R \cdot 3 \quad (\text{XI.1})$$

Бунда C_R – рамадаги таянч боғланишлари сони.

Ички статик аниқмаслик рамадаги ёпиқ контурлар сони билан тавсифланади.

Бир қанча этги ёки тўғри бруслар бир-бирлари билан бикр боғланиб ёпиқ занжир ҳосил қилса, улар ёпиқ контур дейилади (XI.2-шакл, а).



XI.2-шакл.

Шарнирсиз рама ҳам контур деб ҳисобланади, чунки у пастдан ер билан чегараланган (XI.2-шакл, б).

Ҳар бир шарнирсиз ёпиқ контур текисликда учта N, Q ва M ички боғланишларни ҳосил қиласи. Аниқроғи, ҳар бир шарнирсиз ёпиқ контурнинг ички статик аниқмаслик даражаси учга тенгдир (XI.2-шакл, в).

Агар ёпиқ контурнинг тугулларига ёки брусларидан бирига шарнир киритилса (XI.2-шакл, г), бу нүктадаги кесимнинг айланышини чеклайдиган боғланиш йўқолиб, унинг ички статик аниқмаслик даражаси биттага қамаяди (XI.2-шакл, д). Иккита бруслни туташтирувчи бундай шарнирлар оддий шарнирлар деб юритилади.

Шундай қилиб, ички статик аниқмаслик даражаси

$$S_u = 3 \cdot K \cdot W \quad (XI.2)$$

формуладан топилади.

Бунда K -ёпиқ контурлар сони;

W -оддий шарнирлар сони.

Арадаш статик аниқмаслик бир пайтда ортиқча таянч боғланишлари сони ҳамда ёпиқ контурлар сони билан тавсифланади.

Арадаш ёки тўлиқ статик аниқмаслик даражаси S қўйидагига тенг:

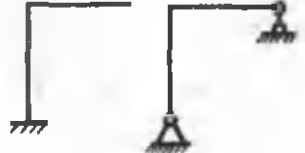
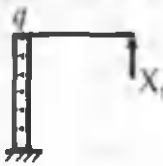
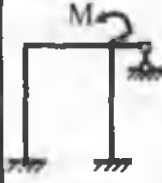
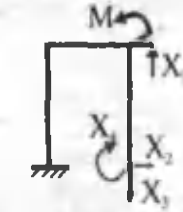
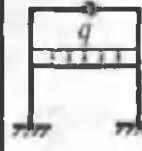
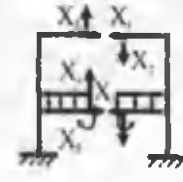
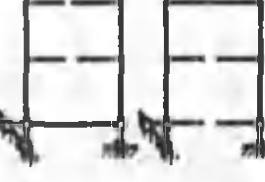
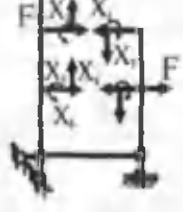
$$S = S_t + S_u \quad (XI.3)$$

11.1-жадвалнинг иккинчи устунида бъзи рамаларнинг статик аниқмаслик даражаларини топиш мисол сифатида келтирилган.

Шундай қилиб, барча статик аниқмас рамалар таянч реакциялари ва ички зўриқишишлардан иборат ортиқча боғланиш (номаъум)ларга эга бўлади; ягар улардан ортиқча боғланишлар олиб ташланса, геометрик ўзгармас (ташқи кучлар таъсиридан қўзғалмайдиган) статик аниқ рамалар ҳосил бўлади. Борди-ю, агар статик аниқ рамалардан ҳам бирорта боғланиш йўқотилса, у ҳолда геометрик ўзгарувчи тизим-механизм пайдо бўлади. Шу сабабли статик аниқмас рамалардан ортиқча беғланишларни йўқотаётганда механизм ҳосил бўлишига йўл қўймаслик керак.

Рамадаги ортиқча боғланишларни олиб ташлаш йўли билан ҳосил қилинадиган статик аниқ ва геометрик ўзгармас тизим асосий тизим дейилади.

11.1-жадвал

Берилген түзим (Рамалар)	S_i	Асосий тиесиілар	Тенг күчли тизим
	$S_1=1$		
	$S_1=2$		
	$S_1=4$		
	$S_1=3$ $S_H=2$ $S=5$		
	$S_H=6$		

Шуни эслатиб ўтиш муҳимки, берилган статик аниқмас ра- ма учун турли хил кўринишларда асосий тизим танлаш мум- кин; аммо масалани ечишни осонлаштириш учун мумкин қадар улардан оддийрогини танлаш мақсадга мувофиқдир.

Рамага қўйилган ташқи кучлар ва ортиқча боғланишлар билан юклатилган асосий тизимга тенг кучли (эквивалент) тизим дейилади.

Берилган статик аниқмас тизим (рама)га қараб асосий ва тенг кучли тизимлар танланиши мисол тариқасида 11.1-жадвалда келтирилган.

11.2-§. Куч усулининг каноник тенгламалари

Тенг кучли тизимда кўрсатилган ортиқча боғланишларни аниқлашнинг бир қанча усуллари мавжуд бўлиб, улардан энг кўп қўлланиладигани куч усулидир. Бу усулда статиканинг мувозанат тенгламаларига қўшимча равишда кўчиш (деформация) тенгламалари, яъни куч усулининг каноник (ихчам, стандарт) тенгламалари тузилади.

Икки марта статик аниқмас рама учун каноник тенгламалар системасини келтириб чиқамиз (XI.3-шакл, а).

Олдинги параграфларда баён этилган тартибда асосий ва тенг кучли тизим танлаймиз (XI.3-шакл, а, в).

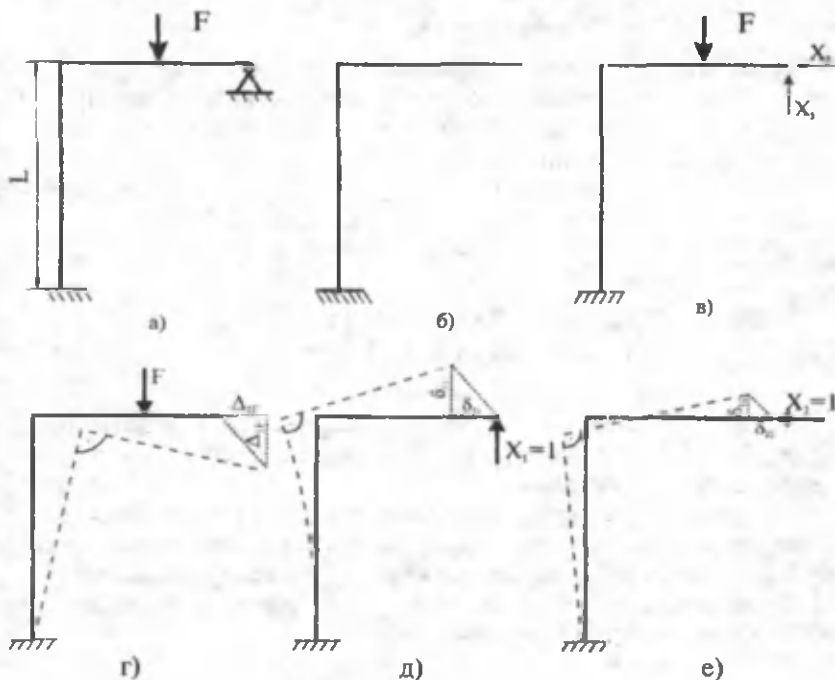
Текширилаётган рама иккита: X_1 ва X_2 ортиқча боғланишларга эга. X_1 , X_2 боғланишларни шундай танлаш керакки, берилган тизим билан тенг кучли тизимнинг деформацияси бир хил бўлсин. Берилган тизимнинг В уни қўзгалмас шарнирли таянчга тираданлиги сабабли горизонтал ва вертикал йўналишлардаги кўчишлар нолга тенг бўлади. Худди шу шарт тенг кучли тизим учун ҳам бажарилиши шарт.

Текширилаётган ҳол учун ортиқча боғланишлар қўйилган В кесимнинг тегишлича вертикал ва горизонтал йўналишлардаги кўчишларининг нолга тенг бўлиш шартлари қўйидагича ёзилади:

$$\left. \begin{array}{l} \Delta_{1(X_1, X_2, F)} = 0 \\ \Delta_{2(X_1, X_2, F)} = 0 \end{array} \right\} \quad (a)$$

Бунда $\Delta_{1(X_1, X_2, F)}$ - В кесимнинг вертикал кўчиши (X_1 куч йўналишидаги X_1 , X_2 ва F кучлардан ҳосил бўлган кўчиш);

$\Delta_{2(X_1, X_2, F)}$ - В кесимнинг горизонтал кўчиши (X_2 куч йўналишидаги X_1 , X_2 ва F кучлардан ҳосил бўлган кўчиш).



XI.3-шакл.

Кучлар таъсирининг ўзаро ҳалал бермаслик тамойилига асосан охирги тенгламалар тизимини қўйидагича ёзамиш:

$$\left. \begin{array}{l} \Delta_{1X_1} + \Delta_{1X_2} + \Delta_{1F} = 0 \\ \Delta_{2X_1} + \Delta_{2X_2} + \Delta_{2F} = 0 \end{array} \right\} \quad (6)$$

Бунда Δ_{1F} , Δ_{2F} -ташқи кучдан ҳосил булган кўчишлар (XI.3-шакл, г).

Ҳар бир кўчишнинг эластиклик чегарасида шу кўчишни юзага келтирувчи кучга боғлиқ эканлигидан

$$\Delta_{iX_k} = \delta_{ik} X_k \quad (v)$$

ифода келиб чиқади.

Охирги ифодани берилгандай рама учун тадбиқ этамиз:

$$\left. \begin{array}{l} \Delta_{1X_1} = \delta_{11} X_1; \quad \Delta_{1X_2} = \delta_{12} X_2 \\ \Delta_{2X_1} = \delta_{21} X_1; \quad \Delta_{2X_2} = \delta_{22} X_2 \end{array} \right\} \quad (r)$$

Бу ерда, δ_{11} , δ_{12} -асосий тизимнинг В таянчидаги $X_1=1$ ва $X_2=1$ күчлардан ҳосил бўлган вертикал йўналишдаги бирлик кўчишлар (XI.3-шакл, d , e);

δ_{22} , δ_{21} - асосий тизимнинг В таянчидаги $X_1=1$ ва $X_2=1$ күчлардан ҳосил бўлган горизонтал йўналишдаги бирлик кўчишлар.

(г) ни эътиборга олиб, (б) ни қуйидагида ёзамиш:

$$\left. \begin{array}{l} \delta_{11}X_1 + \delta_{12}X_2 + \Delta_{1F} = 0 \\ \delta_{21}X_1 + \delta_{22}X_2 + \Delta_{2F} = 0 \end{array} \right\} \quad (\text{XI.4})$$

Бу тенгламалар куч усулининг каноник тенгламалари дейи-
лади. Уларнинг сони эластик тизимнинг статик аниқмаслик
даражасига тенг бўлади.

Бу усулни күч усули дейилишга сабаб шуки, каноник тенгламаларда номаттумлар сифатида ортикча боғланишлардаги күчлар - таянч реакциялари ва ички зўпнқишилар олинади.

и марта статик аниқмас рама учун каноник тенгламалар ти-
зими қуидаги күринишда бўлади:

$$\begin{aligned} \delta_{11}X_1 + \delta_{12}X_2 + \dots + \delta_{1n}X_n + \Delta_{1F} &= 0 \\ \delta_{21}X_1 + \delta_{22}X_2 + \dots + \delta_{2n}X_n + \Delta_{2F} &= 0 \\ &\vdots \\ \delta_{(n-1)1}X_1 + \delta_{(n-1)2}X_2 + \dots + \delta_{(n-1)n}X_n + \Delta_{(n-1)F} &= 0 \\ \delta_{n1}X_1 + \delta_{n2}X_2 + \dots + \delta_{nn}X_n + \Delta_{nF} &= 0 \end{aligned} \quad (\text{XI.5})$$

Бунда δ_{ij} -бирлик күчлардан ҳосил бўлган кўчишлар;

$\delta_{ik} = \delta_{ki}$ - бирлик күчлардан ҳосил булган ёрдамчи күчишлар*;

Δ_{if} - ташқи күчлардан ҳосил бүлган күчишлар.

(XI.5) каноник тенгламалар тизими таркибидаги күчишлар
Мор интегралидан

$$\left. \begin{aligned} \delta_{ii} &= \sum_{(i)} \int \frac{\bar{M}_i^2}{EJ_x} dz \\ \delta_{ik} &= \sum_{(i)} \int \frac{\bar{M}_i \bar{M}_k}{EJ_x} dz \\ \Delta_{if} &= \sum_{(i)} \int \frac{\bar{M}_i M_f}{EJ_x} dz \end{aligned} \right\} \quad (\text{XI.6})$$

ёки Верешагин формуласидан

$$\left. \begin{aligned} \delta_{ii} &= \sum \frac{A_i \eta_i^c}{EJ_x} \\ \delta_{ik} &= \sum \frac{A_i \eta_k^c}{EJ_x} \\ \Delta_{if} &= \sum \frac{A_{fi} \eta_i^c}{EJ_x} \end{aligned} \right\} \quad (\text{XI.7})$$

топилади.

Бунда \bar{M}_i , \bar{M}_k ва M_f - тенг күчли тизимда $X_i = 1$, $X_k = 1$ бирлик күчлар ва ташқи юклар таъсиридан иктиёрий кундаланған кесимларда ҳосил бүлган эгувчи моментларнинг ифодаси;

A_i ва A_{fi} - бирлик күчлардан ва ташқи юқдан қурилған эгувчи момент эпюрасининг юзаси; η_i^c , η_k^c - шу юзанинг оғирилік марказыға тұра келған ординаталар.

(XI.5) таркибидаги бириңчи тенглама тенг күши тизимга күйилған ортиқча номағым X_i йұналишида ташқи юқдан ва барча номағымлардан ҳосил бүлған күчишлар йигиндисининг нолға тен-

* Бу тенглік Максвелл теоремасы (күчишларнинг ўзаро бөглиқиғи ҳақидағы теорема)дан келип чиқади.

лигини ифодалайды; иккинчи тенглама X_2 , учинчisi эса X_3 ва ҳақоза номаълум күчлар йўналишидаги кўчишларнинг нолга тенглигни ифодалайди.

11.3-§. Статик аниқмас рамаларни куч усулида ҳисоблаш режаси

Ҳисоблаш қўйидаги режа асосида олиб борилади:

- рамаларнинг статик аниқмаслик даражаси топилади;
- асосий ва тенг кучли (эквивалент) тизимлар танланади;
- каноник тенглама ёки тенгламалар тизими тузилади;
- бирлик күчлардан ва ташқи юклардан ҳосил бўлган кўчишлар аниқланади;
- номаълум боғланиш күчларига нисбатан каноник тенглама ёки тенгламалар тизими ечилади;
- эгувчи момент, кўндаланг куч ва бўйлама күчларнинг тугалланган эпюралари курилади;
- тугалланган эпюраларнинг қанчалик даражада тўғри курилганлиги статик ва деформацион текширилади.

37-масала. Рама учун эгувчи моментнинг эпюрасини қуриш талаб этилади (XI.4-шакл, а).

Стерженлар бикрлиги ўзгармас деб ҳисоблансин.

Ечиш

Бу рама бир марта статик аниқмасдир: $S=C_R-3=1$ номаълум реакция күчлари сони 4 та, тузишими мумкин бўлган статика тенгламалари сони эса 3 та.

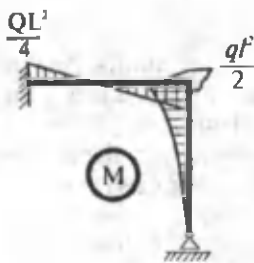
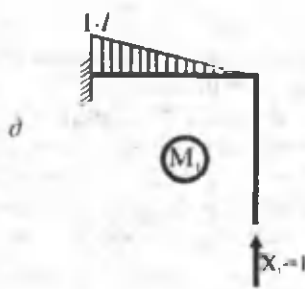
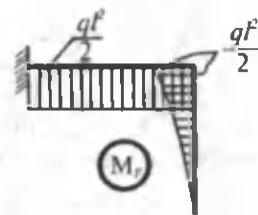
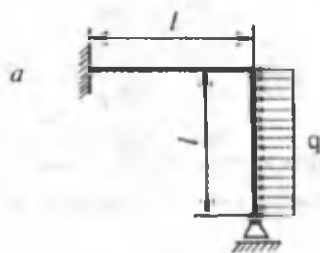
Демак, бу масала учун қўйидаги кўринишга эга бўлган битта каноник тенглама тузилар экан:

$$\delta_{11} X_1 + \Delta_{1F} = 0 \quad (a)$$

Асосий тизим сифатида XI.4-шакл, б ни қабул қиласиз.

Тенг кучли тизим сифатида эса XI.4-шакл, в ни қабул қиласиз.

Ташқи күчлардан ҳосил бўлган эгувчи моментнинг эпюрасини қурамиз (XI.4-шакл, г).



XI.4-шакл.

Бирлик $X_1 = 1$ га тенг булган күчдан ҳосил бўлган эгувчи момент эпюрасини қурамиз (XI.4-шакл, d).

Кўчишларни аниқлаш учун Верешагин усулини қўллаймиз.

δ_{11} кўчишни аниқлаш учун \bar{M}_1 эпюраси юзасини шу юза ординатасига кўпайтирамиз:

$$\delta_{11} = \frac{1}{EI_z} \left[\frac{1}{2} \cdot l \cdot l \cdot \frac{2}{3} l \right] = \frac{l^3}{3EI_z} \quad (6)$$

Δ_{1F} күчишни аниқлаш учун M_F эпюра юзасини \bar{M}_1 эпюра-сидан олинган оғирлик марказига тұғри келган ординатага күпайтирамиз:

$$\Delta_{1F} = -\frac{1}{EI_z} \left[\frac{ql^2}{2} \cdot l \cdot \frac{l}{2} \right] = -\frac{ql^4}{4EI_z}; \quad (v)$$

Энди (б) ва (в) ларни эътиборга олиб, (а) ифодани қуйидагича ёзамиш:

$$\frac{l^3}{3EI_z} \cdot X_1 - \frac{ql^4}{4EI_z} = 0$$

Бундан $X_1 = \frac{3}{4}ql$ эканлиги келиб чиқади.

X_1 реакция кучининг мусбат ишорали эканлиги, унинг хақиқиit йұналиши шаклдагига мос келишини билдиради.

Топилған X_1 реакция кучининг қийматиниң тенг күчли ти-зимга қойиб берилған рама учун M_z эгувчи момент эпюрасини курамиз (ХI.4-шакл, ж).

Аниқланған X₁ реакция кучи қийматининг тұғрилигини текшириш учун Верешагин усулини құллаб, M_z эпюраси юза-сини \bar{M}_1 эпюра ординатасига күпайтириб, Δ₁ ни аниқладаймиз.

Агарда Δ₁=0 бўлса, у ҳолда X₁ нинг қиймати тұғри топилған деб ҳисобланади.

$$\Delta_1 = \frac{1}{EI_z} \left[\left(\frac{ql^2}{4} \cdot \frac{1}{2} \cdot l \right) \left(\frac{ql^2}{2} \right) - \left(\frac{ql^2}{2} \cdot \frac{1}{2} \cdot l \right) \left(\frac{ql^2}{4} \right) \right] = 0$$

Демак, X₁ нинг қиймати тұғри аниқланған.

38-масала. XI.5-шакл, а да тасвиirlанган рэма учун туталланган эгувчи момент, кесувчи ва бўйлама куч эпюралари қурилсин.

Ригель ва устуннинг ўлчамлари, бикрликлари шаклда кўрсатилган:

$$a = l, \quad b = 2l, \quad EJ = \text{const}, \quad F = ql.$$

Ечиш

Масалани куч усулида ечамиш.

1. Дастрлаб берилган раманинг статик аниқмаслик даражасини аниқлаймиз:

$$S = n - 3 = 5 - 3 = 2$$

Демак, рамани ҳисоблаш учун статиканинг мувозанат тенгламаларидан ташқари яна иккита қўшимча деформация тенгламасини тузиш зарур экан.

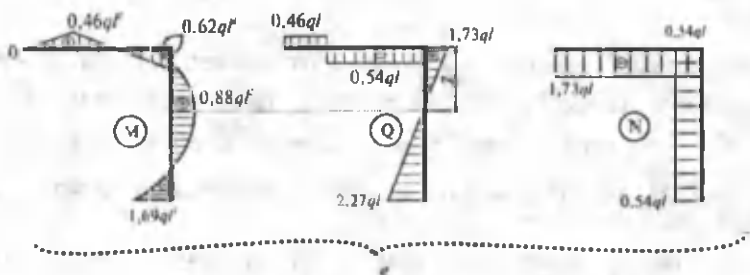
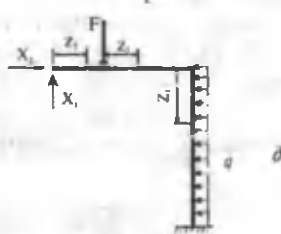
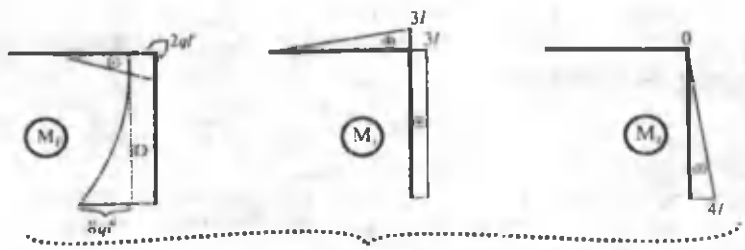
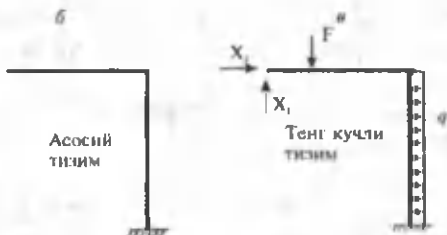
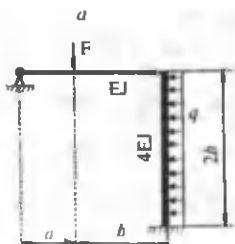
2. Рамани қўзғалмас шарнирли таянчдан озод қилиб, асосий тизим танлаймиз (XI.5-шакл, б), кейин уни ташқи кучлар ҳамда номаълум реакция кучлари X_1 ва X_2 лар билан юклаб, тент кучли - эквивалент тизимларни тузамиз (XI.5-шакл, в).

3. Тент кучли тизим учун каноник тенгламалар тизими кўйидагича ёзилади:

$$\left. \begin{array}{l} \delta_{11} X_1 + \delta_{12} X_2 + \Delta_{1F} = 0 \\ \delta_{21} X_1 + \delta_{22} X_2 + \Delta_{2F} = 0 \end{array} \right\}$$

Асосий тизимни алоҳида-алоҳида ташқи куч ҳамда номаълум X_1 ва X_2 реакция кучлари ўрнига қўйилган $\bar{X}_1 = 1$ ва $\bar{X}_2 = 1$ бирлик кучлар билан юклаймиз; кейин эса улар учун M_F , M_1 ва M_2 эгувчи момент эпюраларини қурамиз (XI.5-шакл, г).

Асосий тизим битта таянчга эга бўлганлиги учун унинг реакция кучлари аниқланмайди.



XI.5-шакл.

$$\delta_{11} = (\bar{M}_1, \bar{M}_1) = \frac{1}{EJ} \cdot \frac{3l \cdot 3l}{2} \cdot \frac{2}{3} \cdot 3l + \frac{1}{4EJ} \cdot 3l \cdot 2b \cdot 3l = \frac{18l^3}{EJ}$$

$$\delta_{22} = (\bar{M}_2, \bar{M}_2) = \frac{1}{4EJ} \cdot \frac{1}{2} \cdot 4l \cdot 2b \cdot \frac{2}{3} \cdot 4l = \frac{16l^3}{3EJ}$$

$$\delta_{12} = \delta_{21} = (\bar{M}_1, \bar{M}_2) = \frac{1}{EJ} \cdot \frac{1}{2} \cdot 4l \cdot 2b \cdot 3l = \frac{6l^3}{EJ}$$

$$\Delta_{1F} = (\bar{M}_1, M_F) = \frac{1}{EJ} \cdot \frac{1}{2} \cdot (-2ql^2) \cdot \frac{7l}{3} + \frac{1}{4EJ} \left[(-2ql^2) \cdot 2b \cdot 3l + \frac{1}{3} (-8ql^2) \cdot 2b \cdot 3l \right] = -\frac{56}{3} \cdot \frac{ql^4}{EJ}$$

$$\Delta_{2F} = (\bar{M}_2, M_F) = \frac{1}{4EJ} \left[(-2ql^2) \cdot 2b \cdot \frac{1}{2} \cdot 4l + (-8ql^2) \cdot 2b \cdot \frac{1}{3} \cdot \frac{3}{4} \cdot 4l \right] = -\frac{12ql^4}{EJ}$$

$$\begin{cases} \frac{18l^3}{EJ} \cdot X_1 + \frac{6l^3}{EJ} \cdot X_2 - \frac{56}{3} \cdot \frac{ql^4}{EJ} = 0 \\ \frac{6l^3}{EJ} \cdot X_1 + \frac{16l^3}{3EJ} \cdot X_2 - \frac{12ql^4}{EJ} = 0 \end{cases} \quad \begin{array}{c} \times \frac{3EJ}{l^3} \\ \times \frac{3EJ}{l^3} \end{array}$$

$$\text{бундан} \quad X_1 = 0,46ql, \quad X_2 = 1,73ql.$$

4. Эгувчи момент, кесувчи күч ва бўйламз кучларнинг тугалланган эпюораларини қуриш.

Кесиш усулидан фойдаланиб қуидаги ифодаларни ёзамиш (XI.5-шакл, д).

1-оралик: $0 \leq z_1 \leq a$

$$N_{z_1} = -X_2 = -1,73ql$$

$$Q_{z_1} = -X_1 = 0,46ql$$

$$M_{z_1} = X_1 \cdot z_1; \quad M_{z_1=0} = 0; \quad M_{z_1=a} = X_1 a = 0,46ql^2.$$

2- оралик: $0 \leq z_2 \leq b$

$$N_{z_2} = -X_2 = -1,73ql$$

$$Q_{z_2} = X_1 - F = -0,54ql$$

$$M_{z_3} = X_1(a + z_2) - F \cdot z_2; \\ (M_{z_3=0} = 0,46ql^2; \quad M_{z_2=b} = 0,62ql^2)$$

3- оралиқ: $0 \leq z_3 \leq 2b$

$$N_{z_2} = X_1 - F = -0,54ql; \\ Q_{z_3} = X_2 - qz_3; \quad (Q_{x_3=0} = 1,73ql; \quad Q_{z_3=2b} = -2,27ql) \\ M_{z_3} = X_1(a + b) - F \cdot b + X_2 \cdot z_3 - q \frac{z_3^2}{2}; \\ (M_{z_3=0} = -0,62ql^2; \quad M_{z_3=1,73a} = 0,88ql^2; \quad M_{z_3=2b} = -1,69ql^2)$$

агар $Q_{z_3} = 0$ бүлганды $z_3 = \frac{X_2}{q} = 1,73a$ эканлиги келиб чиқади.

Хосил қилинган қийматлар асосида M , Q ва N ларнинг тұгallанған эпюраларини құрамиз (XI.5-шакыл, е).

5. Эпюраларни деформациян текшириш.

Бүнинг учун тугалланған M эпюрасини \bar{M}_1 ва \bar{M}_2 эпюраларға күпайтирамиз:

$$\sum \frac{M_i M_j}{EJ} = 0 \quad \text{әки} \\ \delta(M, \bar{M}_1) = \sum \frac{A_i \eta_i^C}{EJ} = \frac{1}{EJ} \left[\frac{0,46ql^2 l}{2} \cdot \frac{2}{3} l - \frac{0,62ql^2 \cdot 2l}{2} \cdot (1 + \frac{2}{3}) l + \frac{0,46ql^2 \cdot 2l}{2} \cdot (1 + \frac{1}{3}) l \right] + \\ + \frac{1}{4EJ} \left[-\frac{1,69ql^2 \cdot 4l}{2} \cdot 3l - \frac{0,62ql^2 \cdot 4l}{2} \cdot 3l + 2ql^2 \cdot 4l \cdot 3l \right] = \frac{0,26ql^4}{EJ}$$

Бу қиймат $\Delta_{1F} = -\frac{56}{3} \cdot \frac{ql^4}{EJ}$ нинг атиги 1,4 фоизини ташкил эт-
ганлиги боис, уни нолга тең деб қабул қилиш мүмкін.

$$\delta(M, \bar{M}_2) = \frac{1}{4EJ} (A_3 \eta_3^C + A_3 \eta_3^C + A_3 \eta_3^C) = \\ = \frac{1}{4EJ} \left[-\frac{1,69ql^2}{2} \cdot 4l \cdot \frac{2}{3} \cdot 4l - \frac{0,62ql^2 \cdot 4l}{2} \cdot \frac{1}{3} \cdot 4l + \frac{2}{3} \cdot 2ql^2 \cdot 4l \cdot \frac{1}{2} \cdot 4l \right] = 0$$

Назорат саволлари ва топшириқлар

1. Статик аниқмас конструкциялар деб нимага айтилади?
2. Статик аниқмас конструкцияларни ҳисоблашда қандай усуллар ишлатилади?
 3. Куч усулининг моҳиятини тушунтиринг.
 4. Статик аниқмаслик даражасини топиш формуласини ёзинг ва уни тушунтиринг.
 5. Статик аниқмас тизимлар қандай хусусиятларга эга?
 6. Куч усулининг каноник тенгламалари таркибидаги ҳадлар қандай аниқланади?
 7. Каноник тенглама коэффициентларини аниқлаш кетма-кетлигини кўрсатинг.
 8. Куч усулида ҳисобланган тизим қандай текширилади?

XII БОБ. МОР ИНТЕГРАЛИНИ МАТРИЦА УСУЛИДА ҲИСОБЛАШ

12.1-§. Мор интегралини матрица усулида ҳисоблаш

(IX.12) формулага таяниб (9.5-§ га қаранг), бикрлиги ўзгарувчан булган эластик тизимлар учун Мор интегралини қуийидатича ёзиш мумкин:

$$\Delta_{KF} = \int_a^b \frac{M_i \cdot M_F}{E \cdot J} dz \quad (a)$$

Бунда $M=M_i$ -бирлик юкнинг эгувчи моменти;

$M = M_F$ -ташқи юкнинг эгувчи моменти;

$EJ=EJ_x(z)$ -эгилишдаги бикрлик.

Электрон ҳисоблаш машинаси ёрдамида интеграл белгиси остидаги $\frac{M_i M_F}{EJ} = f(z)$ узлуксиз функцияни ҳисоблаш учун тақрибий усуллардан фойдаланиш зарур.

Маълумки, $\int_a^b f(z) dz$ аниқ интегрални ҳисоблаш геометрик

нуқтаи назардан қараганда, абссициса ўқи z , $z=a$ ва $z=b$ тўғри чизиқлар ҳамда $f=(z)$ функция билан чегараланган эгри чизиқли трапециянинг юзасини ҳисоблашга келтирилади (XII.1-шакл).

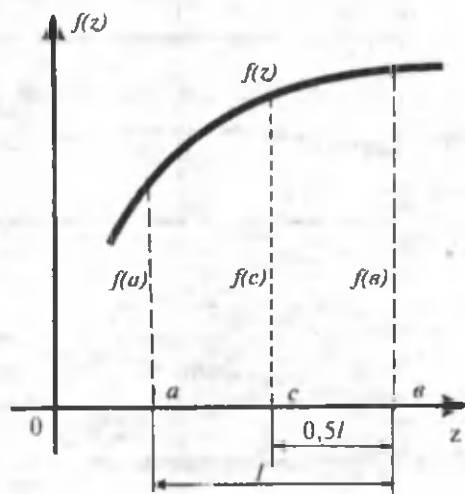
Симпсон формуласи ёрдамида бу юза

$$\int_a^b f(z) dz \approx \frac{l}{6} [f(a) + 4f(c) + f(b)] \quad (XII.1)$$

кўринишда ифодаланади.

Айтайлик, умумий ҳолда $\frac{M_i M_F}{EJ}$ функция текширилаётган оралиқда учинчи тартибли эгри чизиқ билан чегараланган

бўлсин (ХII.2-шакл, а). Унда $\frac{1}{J}$ функциянинг графиги ҳамда бирлик ва ташқи юклардан қурилган эпюралар ҳам тегишлича ХII.2-шакл, б. в. г ларда тасвиirlангандек бўлади.



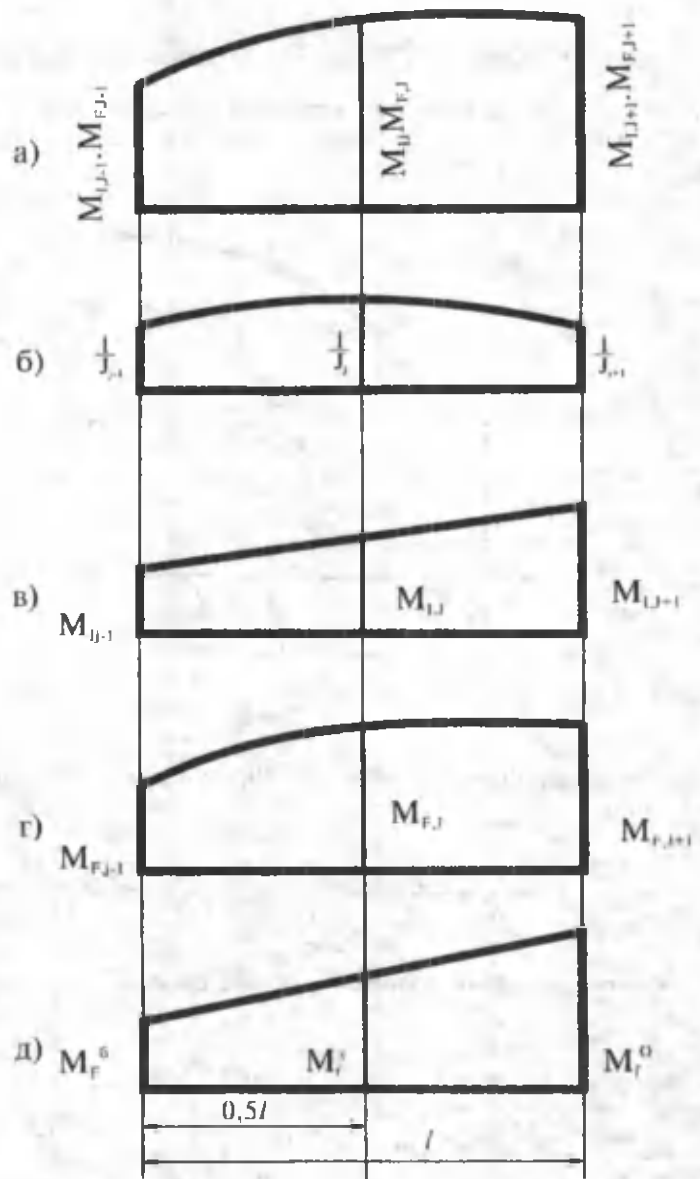
ХII.1-шакл

Симпсон формуласини қўллаб, қўйидаги ифодани ҳосил қиласиз:

$$\Delta_{KF} = \int_a^b \frac{\overline{MM}}{EJ} dz = \frac{l_i}{6} \left(\frac{M_{i,j-1} \cdot M_{F,j-1}}{EJ_{j-1}} + 4 \frac{M_{i,j} \cdot M_{F,j}}{EJ_j} + \frac{M_{i,j+1} \cdot M_{F,j+1}}{EJ_{j+1}} \right) \quad (6)$$

Охирги ифодани матрица шаклида ёзамиш:

$$\Delta_{KF} = [M_{i,j-1} \cdot M_{i,j} \cdot M_{i,j+1}] \frac{l_i}{6EI_0} \begin{bmatrix} a_{j-1} & 0 & 0 \\ 0 & 4a_j & 0 \\ 0 & 0 & a_{j+1} \end{bmatrix} \begin{bmatrix} M_{F,j-1} \\ M_{F,j} \\ M_{F,j+1} \end{bmatrix} = M_i^T B_l M_F \quad (8)$$



XII.2- шакл

Бунда $a_j = \frac{J_0}{J_j}$ -нисбий мөйиллик коэффиценти;

J_0 -үзгармас миқдор.

Шундай қилиб, Мор интегралининг матрица шакли куйидагича бўлади:

$$\Delta_{KF} = \bar{M}_i^T \cdot B_i \cdot M_F \quad (\text{XII.2})$$

Бунда $\bar{M}_i^T = [M_i^\delta \ M_i^y \ M_i^o]$ - бирлик моментлар (оралиқ бошидаги M_i^δ , ўртасидаги M_i^y ва охиридаги M_i^o) матрицасининг сатри ёки транспонирланувчи устун;

$$B_i = \frac{l_i}{6EJ_0} \begin{bmatrix} a_{j-1} & 0 & 0 \\ 0 & 4a_j & 0 \\ 0 & 0 & a_{j+1} \end{bmatrix} \quad \text{-мойиллик матрицаси;}$$

$$M_F = \begin{vmatrix} M_F^\delta \\ M_F^y \\ M_F^o \end{vmatrix} \quad \text{-ташқи юклар (оралиқ бошидаги } M_F^\delta, \text{ ўртасидаги } M_F^y \text{ ва охиридаги } M_F^o \text{) матрицасининг устуни.}$$

Агар текширилаётган оралиқда ташқи юклардан қурилган эгувчи момент эпюраси M_F чизиқли ўзгарса (ХII.2-шакл, д), у ҳолда оралиқ ўртасидаги эгувчи момент

$$M_F^y = 0,5(M_F^\delta + M_F^o) \quad (\text{д})$$

кўринишда бўлади.

Шу сабабли (б) формула бирмунча соддалашади:

$$\begin{aligned} \Delta_{KF} &= \frac{l_i}{6} \left(\frac{M_i^\delta M_F^\delta}{EJ^\delta} + 4 \frac{(M_i^\delta + M_i^o)}{2EJ^y} \cdot \frac{(M_F^\delta + M_F^o)}{2} + \frac{M_i^o \cdot M_F^o}{EJ^o} \right) = \\ &= \frac{l_i}{6} \left[\left(\frac{1}{EJ^\delta} + \frac{1}{EJ^y} \right) M_i^\delta M_F^\delta + \frac{M_i^\delta M_F^\delta}{EJ^y} + \frac{M_i^o M_F^o}{EJ^y} + M_i^o M_F^o \left(\frac{1}{EJ^y} + \frac{1}{EJ^o} \right) \right] \end{aligned}$$

ёки матрица шаклида:

$$\Delta_{KF} = \left| M_i^{\delta} \cdot M_i^0 \right| \cdot \frac{l_i}{6EJ_0} \begin{bmatrix} a^{\delta} + a^y & a^y \\ a^y & a^0 + a^y \end{bmatrix} \cdot \begin{bmatrix} M_F^{\delta} \\ M_F^0 \end{bmatrix} = \bar{M}_i^T B_i M_p \quad (\text{XII.3})$$

Бунда

$$\left. \begin{aligned} \bar{M}_i^T &= \begin{vmatrix} M_i^{\delta} & M_i^0 \end{vmatrix} \\ B_i &= \frac{l_i}{6EJ_0} \begin{vmatrix} (a^{\delta} + a^y) & a^y \\ a^y & (a^0 + a^y) \end{vmatrix} \\ M_F &= \begin{vmatrix} M_F^{\delta} \\ M_F^0 \end{vmatrix} \end{aligned} \right\} \quad (\text{XII.4})$$

$a^{\delta} = \frac{J_o}{J^{\delta}}$; $a^y = \frac{J_o}{J^y}$, $a^0 = \frac{J_o}{J^0}$ - нисбий майиллик коэффиценти.

Агар бикрлик $EJ=\text{const}$ бўлса майиллик матриаси қуидагида бўлади:

- M_F эпюраси эгри чизиқ билан чегараланган ҳолда

$$B_i = \frac{l_i}{6EJ_i} \begin{vmatrix} 1 & 0 & 0 \\ 0 & 4 & 0 \\ 0 & 0 & 1 \end{vmatrix}$$

- M_F эпюраси тўғри чизиқ билан чегараланган ҳолда

$$B_i = \frac{l_i}{6EJ_i} \begin{vmatrix} 2 & 1 \\ 1 & 2 \end{vmatrix}$$

Агар текширилаётган эластик тизим i та оралиқдан иборат бўлса, юқоридаги матрикалар қуидагида ёзилади:

- а) M_F эпюраси эгри чизиқ билан чегараланганда

$$\overline{M} = \overline{M'} = \begin{vmatrix} M_1^{\delta} M_1^y M_1^0 & \dots & M_i^{\delta} M_i^y M_i^0 & \dots & M_n^{\delta} M_n^y M_n^0 \\ I\text{-оралиқ} & & i\text{-оралиқ} & & n\text{-оралиқ} \\ B_1 & 0 & \dots & 0 & \dots & 0 & 0 \\ 0 & B_2 & \dots & 0 & \dots & 0 & 0 \\ 0 & \cdot & \dots & \cdot & \dots & 0 & 0 \\ 0 & \cdot & \dots & \cdot & \dots & 0 & 0 \\ 0 & 0 & \dots & B_i & \dots & 0 & 0 \\ 0 & 0 & \dots & 0 & \dots & 0 & 0 \\ 0 & 0 & \dots & 0 & \dots & B_{n-1} & 0 \\ 0 & 0 & \dots & 0 & \dots & 0 & B_n \end{vmatrix}$$

$$M_F = \left| \begin{array}{c} M_{1F}^{\delta} \\ M_{1F}^y \\ M_{1F}^0 \\ \vdots \\ M_{iF}^{\delta} \\ M_{iF}^y \\ M_{iF}^0 \\ \vdots \\ M_{nF}^{\delta} \\ M_{nF}^y \\ M_{nF}^0 \end{array} \right| \quad \left\{ \begin{array}{l} I\text{-оралиқ} \\ i\text{-оралиқ} \\ n\text{-оралиқ} \end{array} \right.$$

б) M_F эпюраси түгри чизиқ билан чегараланғанда

$$\overline{M}_i^T = \left[\begin{array}{c} \overline{M}_i^T \cdot \overline{M}_i^0 \cdots \overline{M}_i^6 \cdot \overline{M}_i^0 \cdots \overline{M}_n^6 \cdot \overline{M}_n^0 \\ \hline I\text{-оралиқ} \quad i\text{-оралиқ} \quad n\text{-оралиқ} \end{array} \right]$$

$$B = \left[\begin{array}{cccccc} B_1 & 0 & \dots & 0 & \dots & 0 & 0 \\ 0 & B_2 & \dots & 0 & \dots & 0 & 0 \\ 0 & \vdots & \dots & \vdots & \dots & 0 & 0 \\ 0 & \vdots & \dots & \vdots & \dots & 0 & 0 \\ 0 & 0 & \dots & B_i & \dots & 0 & 0 \\ 0 & 0 & \dots & 0 & \dots & 0 & 0 \\ 0 & 0 & \dots & 0 & \dots & B_{n-1} & 0 \\ 0 & 0 & \dots & 0 & \dots & 0 & B_n \end{array} \right]$$

$$M_F = \left[\begin{array}{c} M_{1F}^6 \\ M_{1F}^y \\ \vdots \\ M_{iF}^6 \\ M_{iF}^0 \\ \vdots \\ M_{nF}^6 \\ M_{nF}^0 \end{array} \right] \left. \begin{array}{l} \\ \\ \\ i - \text{оралиқ} \\ \\ \\ \\ \end{array} \right\} \left. \begin{array}{l} \\ \\ \\ n - \text{оралиқ} \\ \\ \\ \end{array} \right\}$$

12.2-§. Статик аниқмас тизимларни матрицалар ёрдамида күч усули билан ҳисоблаш

Статик аниқмас тизимларни ҳисоблашнинг күч усули XI бобда батафсил баён этилган эди. Күч усули ёрдамида масалалар ечаётганда статик аниқмаслик даражасини топиш, асосий ва тенг кучли тизимлар танлаш ҳамда қуйидаги кўринишдаги каноник тенгламалар тизимини тузиш зарурлиги айтилган эди:

$$\left. \begin{array}{l} \delta_{11}X_1 + \delta_{12}X_2 + \dots + \delta_{1n}X_n + \Delta_{1F} = 0 \\ \delta_{21}X_1 + \delta_{22}X_2 + \dots + \delta_{2n}X_n + \Delta_{2F} = 0 \\ \dots \\ \dots \\ \delta_{(n-1)1}X_1 + \delta_{(n-1)2}X_2 + \dots + \sigma_{(n-1)n}X_n + \Delta_{(n-1)F} = 0 \\ \delta_{n1}X_1 + \sigma_{n2}X_2 + \dots + \delta_{nn}X_n + \Delta_{nF} = 0 \end{array} \right\} \quad (\text{XII.5})$$

Энди каноник тенгламалар тизимини ечишнинг матрица-лар усули билан танишиб чиқамиз.

(XII.5) тенгламалар тизимининг матрица шаклида ёзилиши қуйидаги кўринишга эга:

$$\delta_l \cdot \bar{X} + \bar{A}_P = 0 \quad (\text{XII.6})$$

Бунда

$$\delta_l = \begin{vmatrix} \delta_{11} & \delta_{12} & \dots & \delta_{1n} \\ \delta_{21} & \delta_{22} & \dots & \delta_{2n} \\ \dots & \dots & \dots & \dots \\ \dots & \dots & \dots & \dots \\ \delta_{n1} & \delta_{n2} & \dots & \delta_{nn} \end{vmatrix}$$

- номаълумлар олдидаги коэффициентлар матрицаси ёки бирлик кучлардан ҳосил бўлган кўчишлар матрицаси;

$$\bar{X} = \begin{vmatrix} X_1 \\ X_2 \\ \vdots \\ X_{n-1} \\ X_n \end{vmatrix}$$

- номаълумлар матрикаси (вектор);

$$\bar{\Delta}_F = \begin{vmatrix} \Delta_{1F} \\ \Delta_{2F} \\ \vdots \\ \Delta_{(n-1)F} \\ \Delta_{nF} \end{vmatrix}$$

- озод ҳадлар матрикаси (вектор) ёки ташқи юклардан ҳосил бўлган кўчишлар матрикаси.

δ_1 ва $\bar{\Delta}_F$ матрикаларни аниқлашда қўйидаги формулалар иштатилади:

$$\delta_1 = \bar{M} B \bar{M}^T = \mu \bar{M}^T \quad (\text{XII.7})$$

$$\bar{\Delta}_F = \bar{M} B M = \mu M \quad (\text{XII.8})$$

бунда M -бирлик моменгларнинг сатр матрикаси;

\bar{M}^T - \bar{M} га транспонирланган матрица;

M -ташқи юкларнинг устун матрикаси;

B -мойиллик матрикаси.

(XII.7) нинг иккала томонини δ_1 га тескари бўлган δ_1^{-1} матрицага кўпайтирамиз:

$$\delta_1^{-1} \delta_1 \bar{X} = -\delta_1^{-1} \bar{\Delta}_F$$

Тескари матрикалар хоссасига кўра

$$\delta_1^{-1} \delta_1 = E$$

Бунда E -бирлик матрица.

Шу сабабли

$$\bar{X} = \left\| \bar{X}_j \right\| = -\delta_1^{-1} \cdot \bar{\Delta}_F \quad (\text{XII.9})$$

Демак, ортиқча боғланишларни топиш учун бирлик күчлардан ҳосил бўлган кўчишлар матрицасига тескари матрица ва ташқи юклардан ҳосил бўлган кўчишлар матрицасини ҳисоблаш зарур экан.

Юқоридаги ифодаларни назарда тутиб, охирги формулани қўйидагича ёзамиш:

$$\bar{X} = -(\mu M^T)^{-1} \cdot \mu M \quad (\text{XII.10})$$

Эгувчи моментнинг тугалланган эпюрасини қуриш учун ташқи юклар таъсири остида тизимда ҳосил бўлган зўриқишиларни топиш лозим:

$$M_{ym} = M + \sum_{j=0}^n \bar{M}_j \bar{X}_j$$

ёки

$$M_{ym} = M + \bar{M} (-\mu \cdot \bar{M}^T)^{-1} \cdot \mu M \quad (\text{XII.11})$$

Бу формулаларда биринчи ҳад асосий тизимда ташқи юклардан ҳосил бўлган зўриқишиларни, иккинчи ҳад эса ортиқча боғланишлардан ҳосил бўлган зўриқишиларни ифодалайди.

Ташқи юклардан ҳосил бўлган кўчишларни топамиш:

$$\Delta = \bar{M} \cdot B \cdot M_{ym}$$

ёки

$$\Delta = \mu / M + \bar{M} (-\mu \cdot \bar{M}^T)^{-1} \cdot \mu \cdot M \quad (\text{XII.12})$$

Бу катталиқ эгувчи моментнинг тугалланган эпюраси қанчалик аниқ қурилганлигини текширишда муҳим рол ўйнайди; агар $\Delta=0$ бўлса, ҳисоблаш ишлари тўғри бажарилган деб ҳисобланади.

Назорат саволлари ва топшириклар

1. Мор интегралининг матрица шаклини ёзинг ва қисқача тушунтиринг.
2. Каноник тенгламалар тизимини ечишнинг матрица усулини изоҳланг.

XII БОБ. СИҚИЛГАН СТЕРЖЕНЛАРНИНГ УСТУВОРЛИГИ (Бўйлама эгилиш)

13.1-§. Асосий тушунчалар

Назарий механикадан маълумки, мутлақ қаттиқ жисмларнинг мувозанат ҳолатлари уч хил бўлади: турғун, фарқсиз ва турғунмас.

Масалан, ботиқ сирт ичидаги шарча (золдир)нинг мувозанати устувор бўлади, чунки шарча жойидан бир оз қўзғатилиб, қўйиб юборилгач, яна ўзининг дастлабки мувозанат ҳолатига қайтиб келади (XIII.1-шакл, а).

Горизонтал текислиқда ётган шарча фарқсиз мувозанат ҳолатда бўлади (XIII.1-шакл, б); мувозанат ҳолатдан чиқарилган шарча ташқи куч таъсири тўхтатилгач, ўзининг дастлабки ҳолатига қайтмасдан янги мувозанат ҳолатни эгаллайди.

Ниҳоят, қавариқ сирт устида турган шарча ноустувор мувозанат ҳолатда бўлади (XIII.1-шакл, в); мувозанатдан чиқарилган шарча куч таъсири тўхтатилгандан кейин олдинги ҳолатига қайтмайди.

Шунга ўхшаш мисолларни деформацияланувчи қаттиқ жисмларда, хусусан сиқилган стерженларнинг мувозанатини ўрганиш жараёнида ҳам учратиш мумкин.

Юқорида текширилган мисоллардан қўриниб турибдики, мутлақ қаттиқ жисмларнинг устуворлиги уларга қўйилган ташқи кучларга боғлиқ эмас. Масалан, шарчанинг оғирлиги унинг устуворлигига «гўёки» таъсир кўрсатмайди. Аммо деформацияланувчи қаттиқ жисмларнинг устуворлиги уларга таъсир этувчи кучнинг қиймати, йўналиши, қўйилиш жойи, таъсир этиш тури, жисмларнинг материали каби бир қанча омилларга узвий боғлиқдир.

Фараз қиласлилик, қўзғалувчан ва қўзғалмас шарнирли таянчлар ёрдамида маҳкамланган тўғри чизиқли узун ва ингичка стерженнинг юқори учига статик равишда аста-секин ошиб борувчи сиқувчи куч қўйилган бўлсин (XIII.2-шакл).

Агар етарли даражада кичик сиқувчи күч таъсиридаги стерженни ғирорта күндаланг күч билан ён томондан туртиб юборсак, күчлар таъсири тұхтатилғач, стержен бир оз тебраниб үзининг дастлабки тұғри чизиқли ҳолатига қайтади (XIII.2-шакл, а). Стерженning бу қолати устувор мувозанат дейилади.

Сиқувчи күчни секин-аста ошира бориб, унинг шундай қийматини топиш мүмкінки, бу қиймагда күндаланг ғұналишлаги туртқидан кейин ташқи таъсир тұхтатилғач, стержен тұғри чизиқли мувозанат ҳолатига қайтмасдан, эгилганича қолади (XIII.2-шакл, б).

Мутлақ қаттық жисм – шарчанинг мувозанат ҳолатлари



XIII.1-шакл

Деформацияланувчи қаттық жисм – стерженнинг мувозанат ҳолатлари



XIII.2-шакл

Борди-ю, стержен түғрилаб қўйилса, у ўзининг дастлабки түғри чизиқли мувозанат ҳолатини эгаллади. Стерженнинг бу ҳолати **фарқсиз** мувозанат дейилади; бу ҳолатга түғри келувчи сиқувчи кучнинг қиймати эса критик қиймат ёки **критик куч** деб айтилади ҳамда F_{kp} , ҳарфи билан белгиланади.

Критик кучдан каттороқ куч билан сиқилган стержен табиийки, куч таъсири тўхтатилгач, у дастлабки түғри чизиқли ҳолатига тўлиқ қайтмайди, балки эгилиб, устуворлигини йўқотади (ХIII.2-шакл, в). Стерженнинг бу ҳолати **ноустувор мувозанат** дейилади.

Шундай қилиб, критик куч фарқсиз мувозанат ҳолатига тегиши шундай куч эканки, агар унинг қиймати «салгина» камайтирилса стержен устувор, аксинча оширилса, у ноустувор мувозанат ҳолатни эгаллади.

Тўғри чизиқли узун ва ингичка сиқилган стерженлар устуворлигининг йўқолиши ҳодисаси **бўйлама эгилиш** деб аталади.

Конструкция қисмларининг бўйлама эгилиши хавфли бўлганилиги сабабли унга йўл қўйиб бўлмайди. Масалан, сиқувчи куч F_{kp} дан салгина оширилгандаёқ эгилиш жуда тез ўсиб (салқилик билан сиқувчи куч орасида чизиқли боғланиш мавжуд) стержен тўсатдан смирилиши ҳам мумкин.

Шу жиҳатдан қарагандা, сиқилган стерженларнинг хавфхатарсиз ишлашини таъминловчи сиқувчи кучнинг ҳақиқий қиймати F ни критик куч F_{kp} дан кичик қилиб олиш мақсадга мувофиқдир:

$$F = \frac{F_{kp}}{n^s} \quad (\text{ХIII.1})$$

Бунда n^s -устуворликнинг ҳисоблаб аниқланадиган ёки ҳақиқий эҳтиёт коэффициенти^{*}.

Устуворликнинг талаб этиладиган ёки зарурий эҳтиёт коэффициенти маҳсус жадваллардан олинади. Масалан, машинасозлик конструкцияларининг пўлат материаллардан ясалган қисмларини ҳисоблашда $n_{adm}^s = 4 + 5$ оралиқда, қурилиш конст-

* s – индекси инглиз тилидаги stabilité (устуворлик) сўзидан олинган

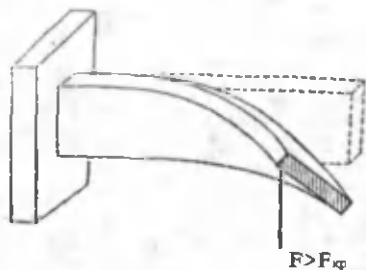
рукцияларининг қисмларини ҳисоблашда эса n_{adm}^s қўйидагича олинади:

$$n_{adm}^s = 1,8 \div 3 \quad (\text{пўлат учун})$$

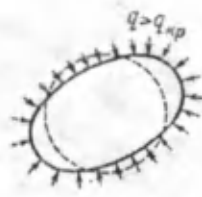
$$n_{adm}^s = 2,8 \div 3,2 \quad (\text{ёғоч учун})$$

$$n_{adm}^s = 5 \div 5,5 \quad (\text{чўян учун})$$

Устуворликнинг йўқолиши ҳодисаси фақат сиқилиган стерженларгагина хос бўлмасдан, балки конструкцияларнинг бошқа хилдаги элементларида ҳам жуда кўп учрайди. Масалан, текис эгилишга қаршилик кўрсатувчи тўғри тўртбурчак кесимили, юпқа деворли консол куч критик қийматдан оширилганда устуворлигини йўқотиб эгилиш ва буралишга биргаликда қаршилик кўрсатади (ХIII.3-шакл, а); радиал йўналишда сиқилишга қаршилик кўрсатувчи юпқа халқа $q > q_{kp}$ куч таъсирида шаклини ўзгартириб, сиқилиш билан эгилишга биргаликда қаршилик кўрсатади ва устуворлигини йўқотади (ХIII.3-шакл, б).



а)



б)

XIII.3-шакл

Бу мисоллар устуворлик йўқолганда конструкция қисмларининг деформацияланиш ҳолати ҳам сифат жиҳатидан ўзгариб кетишини, яъни оддий деформациянинг мураккаб деформацияга айланишини тўлиқ тасдиқлайди.

Юқоридаги мулоҳазалардан келиб чиқиб шуни айтиш мумкини, устуворликка оид масалаларни ечишда критик куч ва критик кучланишларни аниқлаш мұхим аҳамиятга эга.

13.2-§. Критик кучни топишининг Эйлер формуласи

Эйлер формуласини келтириб чиқариш учун бикрлиги ўзгармас, учлари шарнирли маҳкамланган призматик стержендан фойдаланамиз (ХІІІ.4-шакл, а).

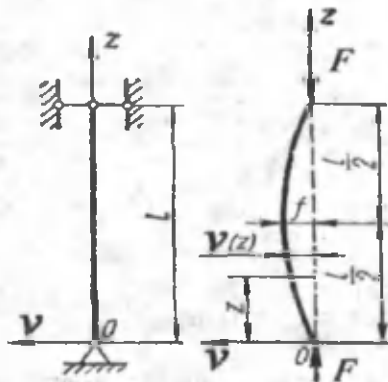
Стерженни миқдор жиҳатидан тенг, аммо йўналишлари қарама-қарши бўлган иккита сиқувчи куч билан юклаймиз (ХІІІ.4-шакл, б).

Сиқувчи куч $F = F_{kp}$ бўлганда, стержен эгри чизиқни мувозанат ҳолатига ўтади (ХІІІ.4-шакл, б).

Стерженнинг деформациясини жуда кичик деб фараз қилиб, эластик чизиқнинг тақрибий дифференциал тенгламасини куйидагича ёзамиз:

$$EJ_z v''_z = \pm M_z \quad (a)$$

Бу ерда $EJ_z = EJ_{min}$ га тенг, чунки устуворликнинг йўқолиши бикрлиги кичик текисликда содир бўлади.



ХІІІ.4-шакл

Исталган кесимдаги этувчи момент $M_z = -F_{kp} v_z$ га тенг; бу ерда минус ишора этриликтин камайишини кўрсатади.

Этувчи моментнинг ифодасини (а) га қўиб, қуйидагига эга бўламиз:

$$EJ_{\min} v''_z = -F_{kp} v_z \quad \text{ёки} \quad v''_z + k^2 v_z = 0 \quad (6)$$

Бунда $\kappa^2 = \frac{F}{EJ_{\min}}$ (в)

Хосил қилинган бир жинсли дифференциал тенгламанинг умумий интегралы

$$v_z = A \cos kz + B \sin kz \quad (г)$$

күринишга эга.

Ихтиёрий A ва B интеграл ўзгармасларини қўйидаги чегаравий шартлардан фойдаланиб топамиз:

$z = 0$ бўлганда, салқилик $v_z = 0$ бўлади;

$z = \ell$ бўлганда, салқилик $v_z = 0$ бўлади.

Биринчи чегаравий шартдан $A=0$ эканлиги келиб чиқади; шу сабабли

$$v_z = B \sin kz \quad (д)$$

күринишда ёзилади.

Иккинчи чегаравий шартдан

$$B \sin kz = 0$$

тенгламани хосил қиласмиш.

Математик нуқтаи назардан қараганда бу тенгламада $B=0$ ёки $\sin kz = 0$ бўлиши керак.

Аммо B нолга тенг бўлиши мумкин эмас, чунки бу шартнинг бажарилиши стерженнинг ўқи тўғри чизиқлигича қолади деган маънони англатади: табиийки, бу масаланинг шартига зид.

Бундан чиқди, $\sin kz = 0$ бўлади.

Бу тенгламадан $k\ell = n\pi$ ($n = 0, 1, 2, \dots$) ёки $k = \frac{n\pi}{\ell}$ эканлиги

келиб чиқади.

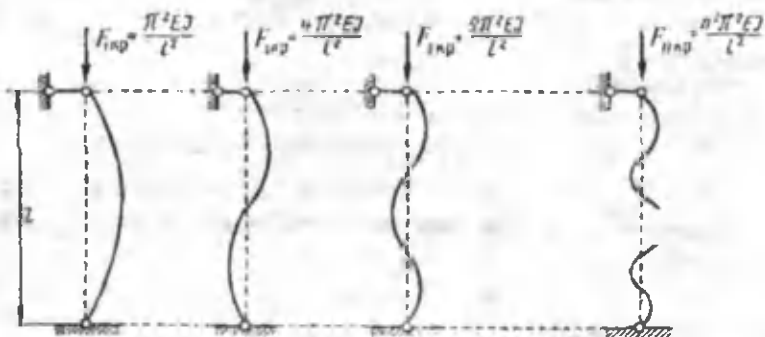
Охирги ифодани иккала томонини квадратга оширгандан сўнг уни (в) ифода билан тенглаштирамиз:

$$\frac{F_{kp}}{EJ_{\min}} = \frac{n^2 \pi^2}{\ell^2}$$

Бундан изланётган критик кучнинг формуласи келиб чиқади:

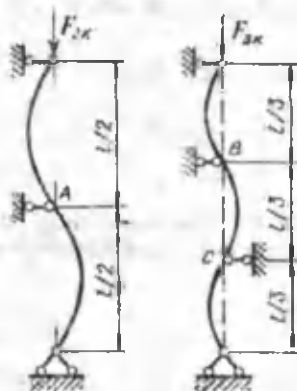
$$F_{kp} = \frac{n^2 \pi^2 E J_{min}}{\ell^2} \quad (\text{XIII.2})$$

Шундай қилиб, критик күчнинг битта эмас, балки бир неча қийматларига эга бўлдик. Ҳар бир критик күчга тегишли мувозанат ҳолати мавжуд (XIII.5-шакл).



XIII.5-шакл

Шуни таъкидлаш муҳимки, эгилишнинг фақат биринчи шаклига мос келувчи мувозанат устувор бўлади (бу ҳолатда $n=1$ га тенг). Қолган барча кўринишдаги мувозанат эса токи B , С кесимларга кўшимча таянч қўйилмагунча ноустувор бўлади (XIII.6-шакл).



XIII.6-шакл

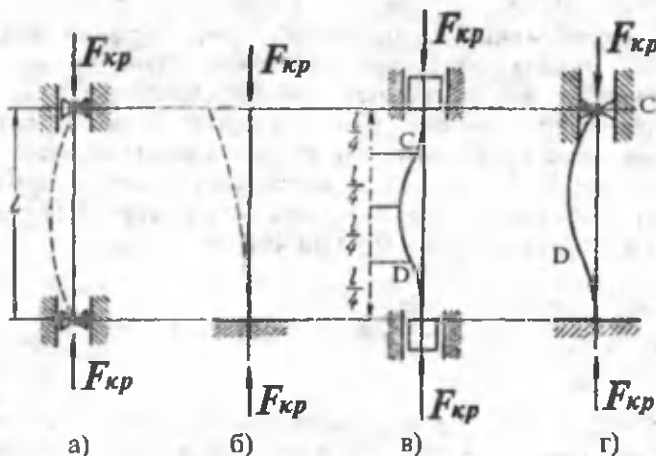
Критик күчнинг энг кичик қийматини аниқлаш амалий жиҳатдан муҳим аҳамиятга эга:

$$F_{kp} = \frac{\pi^2 EI_{min}}{\ell^2} \quad (\text{XIII.3})$$

Бу формулани 1744 йилда Петербург Фанлар Академиясигининг аъзоси Леонард Эйлер биринчи бўлиб тақлиф этганлиги сабабли уни Эйлер формуласи, бу формула бўйича топилган кучни эса Эйлер кучи деб аталади.

13.3-§. Стержен учлари маҳкамланиш усусларининг критик кучга таъсири

Стержен учларининг қандай усулда таянчга ўрнатилганлиги ёки маҳкамланганлигига қараб критик күчнинг катталиги сезиларли даражада ўзгаради: ошади ёки камаяди. Буни ойдинлаштириш мақсадида учлари таянчга турлича бириктирилган стерженилар учун критик күчни аниқлаймиз (XIII.7-шакл).



XIII.7-шакл

- а) стерженнинг учлари вертикал йўналишда эркин ҳаракатлана олувчи ползунга шарнир воситасида XIII.7-шакл, а да тасвирлангандек маҳкамланган (асосий ҳол).

Биринчи усул бүйіч таянчларга мақкамланған стерженлар учун критик күч

$$F_{1kp} = \frac{\pi^2 E J_{\min}}{\ell^2} \quad (a)$$

формуладан топылади.

б) стерженнинг фақат пастки учи қистирилған ҳолда таянчга тирадан (ХIII.7-шакл, б).

Стерженнинг ўқ чизигини чизмада күрсатылғандек, давом эттириб қуйидаги холосага келиш мүмкін: бир учи таянчга қистириб тирадан, иккінчи учи эса мұтлоқа әркін турған стержен узунлиғи $2l$ га тенг бўлган ва асосий усул бүйіч мақкамланған стержен каби шароитда қаршилик күрсатади.

Бундан чиқди, иккінчи усул бүйіч мақкамланған стержен учун критик күчни топишда (ХIII.3) формуладаги l ни $2l$ га алмаштириш кифоя:

$$F_{2kp} = \frac{\pi^2 E J_{\min}}{(2\ell)^2} = \frac{\pi^2 E J_{\min}}{4\ell^2} \quad \text{ёки} \quad F_{2kp} = \frac{1}{4} F_{1kp} \quad (b)$$

в) стержен иккі учи билан қистириб тирадан ёки стерженнинг иккала учи ҳам вертикаль йұналишда әркін ҳаракатланувчи ползунга бириктирилған (ХIII.7-шакл, в).

Стерженнинг эластик чизиги иккита: C ва D бурилиш нүкталарига эта бўлган учта бўлакчадан иборат; узунлиги $0,5l$ га тенг бўлган CD бўлакча «гёёки» асосий усул бүйіч мақкамланған стержен каби шароитда қаршилик күрсатади. Шу сабабли (ХIII.3) даги l нинг ўрнига $0,5l$ ни қўйиш лозим:

$$F_{3kp} = \frac{\pi^2 E J_{\min}}{(0,5l)^2} = \frac{4\pi^2 E J_{\min}}{l^2} \quad \text{ёки} \quad F_{3kp} = 4 F_{1kp} \quad (b)$$

г) стерженнинг бир учи қистириб тирадан, иккінчи учи эса қўзғалувчан шарнирли таянчга ёки вертикаль йұналишда әркін ҳаракатланувчи ползунга шарнир воситасида мақкамланған (ХIII.7-шакл, г).

Эластик чизиқда битта буралиш нүктаси мавжуд бўлиб, у иккі бўлакдан иборат; стерженнинг $CD \approx 0,7\ell$ қисми асосий усул бүйіч мақкамланған стержен сингари шароитда қаршилик күрсатади.

Текширилаётган ҳол учун критик күч

$$F_{4kp} = \frac{\pi^2 EI_{\min}}{(0,7\ell)^2} \quad \text{ёки} \quad F_{4kp} \equiv 2F_{1kp}. \quad (\text{r})$$

күринишларда ифодаланади.

Шундай қилиб, юқорида баён этилган барча ҳоллар учун критик күч аниқланадиган формулаларни

$$F_{kp} = \frac{\pi^2 EI_{\min}}{\ell_{\text{кел}}^2} \quad (\text{XIII.4})$$

күриниша умумлаштириш мүмкін.

Бунда $\ell_{\text{кел}} = \mu \cdot \ell$ -стерженнинг көлтирилган узунлиги;

μ -узунликни көлтириш коэффициенти бўлиб, у стержен учларининг таянчларга маҳкамланишига боғлиқ (13.1-жадвал).

13.1- жадвал

Стержен учларининг маҳкамланиш усуллари	Узунликни көлтириш коэффициенти қиймати
XIII.7-шакл, а бўйича	1
XIII.7-шакл, б бўйича	2
XIII.7-шакл, в бўйича	0,5
XIII.7-шакл, г бўйича	0,7

(XIII.4) формуласи биринчи бўлиб 1892 йилда Петербург Йўллар институтининг профессори Ф.С. Ясинский тақлиф этган.

13.4-§. Критик кучланиш. Эйлер формуласининг тадбиқ этилиш чегараси

Эйлер формуласи бўйича критик күч топилгач, критик кучланишини қўйидагида ёзиш мүмкін:

$$\sigma_{kp} = \frac{F_{kp}}{A}, \quad \text{ёки} \quad \sigma_{kp} = \frac{\pi^2 EI_{\min}}{(\mu\ell)^2 \cdot A} = \frac{\pi^2 E}{\left(\frac{\mu\ell}{i_{\min}}\right)^2}$$

$$\sigma_{kp} = \frac{\pi^2 E}{\left(\frac{\mu\ell}{i_{\min}}\right)^2}. \quad (\text{XIII.5})$$

бунда A -стерженнинг кўндаланг кесим юзаси.

i_{\min} -кўндаланг кесимиning энг кичик инерция радиуси.

Охирги формуланинг маҳражидаги миқдорни λ ҳарфи билан белгилаймиз:

$$\lambda = \frac{\mu \ell}{i_{\min}} \quad (\text{XIII.6})$$

бу ерда λ -стерженнинг эгилувчанлиги бўлиб, ўлчамсиз миқдордир.

Охирги ифодани зътиборга олиб, критик кучланишни қўйидагича ёзамиз:

$$\sigma_{kp.} = \frac{\pi^2 E}{\lambda^2} \quad (\text{XIII.7})$$

Эйлер формуласини ҳамма вақт ҳам тадбиқ этиб бўлмайди, чунки у Гук қонуни кучга эга бўлган чегарада келтириб чиқарилган эди. Бошқача айтганда, стерженнинг эгилган ўқини аниқлашда Гук қонуни асосида чиқарилган дифференциал тенглама ишлатилган эди. Бундан чиқди, Эйлер формуласидан фақат мутаносиблик чегарасидагина фойдаланиш мумкин, яъни уни ишлатишида

$$\sigma_{kp.} \leq \sigma_{mum} \quad \text{ёки} \quad \frac{\pi^2 E}{\lambda^2} \leq \sigma_{mum} \quad (\text{XIII.8})$$

шартни бузмаслик керак.

Бунда σ_{mum} -стержен материалининг мутаносиблик чегараси бўлиб, унинг қиймати баъзи материаллар учун 13.2-жадвалда берилган.

13.2-жадвал

№	Материалларнинг номланиши	σ_{mum}	λ	a	b	c
		MPa	-	MPa	MPa	MPa
1	Пўлат: Ст 2, Ст 3 Ст 5 Ст 40	20 24	100	310	1,14	-
				464	3,26	-
		90	90	321	1,16	-
2	Таркибда кремний миқдори оширил- ган пўлат		100	589	3,82	-
3	Чўян	18	80	776	12	0,53
4	Егоч (қарағай)	8	110	29,3	0,19	-

Эйлер формуласини тадбиқ этилиш чегарасини аниқлаш мақсадида (ХIII.8) шартдан λ ни ушбу күринишида ёзиг оламиз:

$$\lambda \geq \pi \sqrt{\frac{E}{\sigma_{\text{мум}}}} \quad (\text{ХIII.9})$$

Юқоридаги жадвалда эгилувчанликнинг чегаравий қиймати келтирилган.

Демак, Ст 3 навли пўлатдан ясалган стерженлар учун Эйлер формуласини эгилувчанлик 100 дан катта бўлгандагина тадбиқ этиш мумкин, холос.

Борди-ю, текширилаётган стерженнинг эгилувчанлиги жадвалда берилган қийматлардан кичик бўлса, Ф.С.Ясинский томонидан таклиф этилган қуйидаги эмпирик (тажрибалар натижасига асосланган) формула ишлатилади:

$$\sigma_{kp} = a - b \cdot \lambda \quad (\text{ХIII.10})$$

ёки чўян учун

$$\sigma_{kp} = a - b \cdot \lambda + c \lambda^2 \quad (\text{ХIII.11})$$

бунда a, b, c -материалларнинг хоссасига боғлиқ бўлган ўзгармаслар бўлиб, улар тажрибалардан аниқланади (13.2-жадвал).

ХIII.8-шаклда Ст 3 навли пўлат материалидан ясалган стержен учун критик кучнинг эгилувчанликка боғлиқлик графики тасвиirlанган. Графикнинг $\lambda = 0 + 40$ оралигига критик кучланишнинг қиймати ўзгармас бўлиб, $\sigma_{kp} = \sigma_{ac}$ га teng.

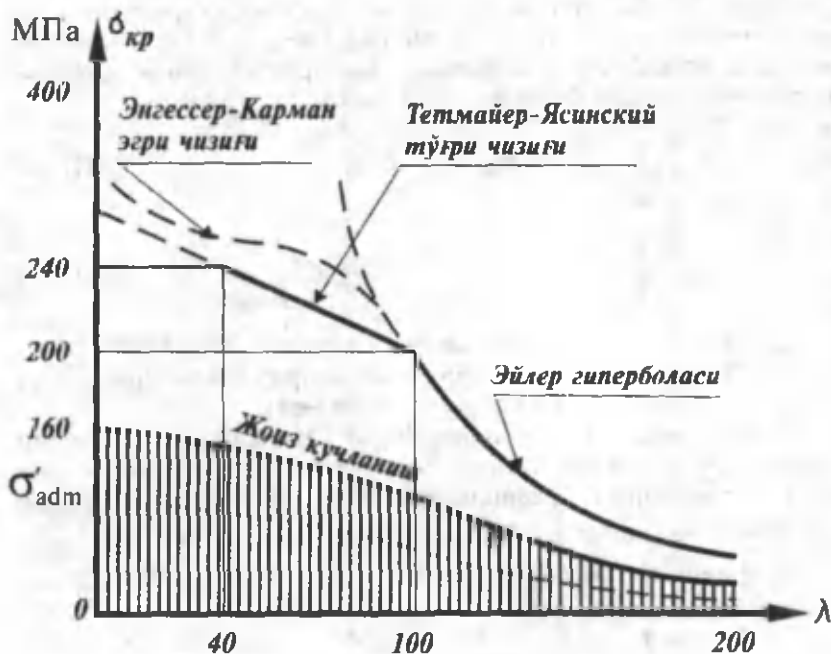
Графикнинг $\lambda = 40+100$ оралиги (ХIII.10) формула ёрдамида курилган.

Графикнинг $\lambda > 100$ қисми гипербола кўринишида бўлиб, (ХIII.7) формула асосида чизилган.

Шундай қилиб, бўйлама эгилишга ҳисобланадиган стерженларни учта: бикр, бикрлиги ўртача ва эгилувчан стерженлар гурӯхига ажратиш мумкин:

$$\sigma_{kp} = \begin{cases} \sigma_{kp} = const, & 0 \leq \lambda \leq 40 \text{ (бикр стежен);} \\ a - b\lambda, & 0 \leq \lambda \leq 100 \text{ (үртата бикрликдаги стерженлар);} \\ \frac{\pi^2 E}{\lambda^2}, & \lambda > 100 \text{ (эгилуучан стерженлар)} \end{cases}$$

Тажриба натижалари ва Эйлер формуласига таяниб, бошқа материаллар учун ҳам $\sigma_{kp} = f(\lambda)$ бөлгөнеш графигини қуиши мүмкін.



XIII.8-шакл.

13.5-§. Сиқилган стерженларни амалда ҳисоблаш усули

(XIII.4) формула ёрдамида сиқилган стерженларни устуворликка ҳисоблаш анча нокулай, чунки критик кучнинг ҳар бир формуласи учун ўзига тегишли эгилувчанликнинг алоҳида ўзгариш оралиғи мавжуд. Айтилган камчиликкни бартараф этиш учун учта формулани стерженнинг исталган эгилувчанлиги учун яроқли бўлган битта формула билан алмаштириш мақсадга мувофиқдир; бунга эришишнинг йўли (XIII.4) ифода бўйича аниқланувчи критик кучланишдан бўйлама эгилиш (устуворлик) даги жоиз кучланишга ўтишдан иборат.

Юқорида айтиб ўтилганидек, F_{kp} емирувчи, хавфли куч ҳисобланади. Шу сабабли стерженнинг устуворлиги ва мустаҳкамлигини таъминлай оладиган сиқувчи кучнинг жоиз қиймати ёки бошқача айтганда, жоиз критик куч F_{adm}^s критик куч F_{kp} дан n_{adm}^s марта кичик бўлиши лозим:

$$F_{adm}^s = \frac{F_{kp}}{n_{adm}^s} \quad (\text{XIII.12})$$

Бу ифоданинг иккала томонини А марта камайтириб, устуворлик учун берилган жоиз критик кучланиш σ_{adm}^s ҳам критик кучланиш σ_{kp} нинг n_s қисмини ташкил этишини кўрамиз:

$$\sigma_{adm}^s = \frac{\sigma_{kp}}{n_{adm}^s} \quad (\text{XIII.13})$$

Олдинги параграфда берилган $\sigma_{kp} = f(\lambda)$ графикдан фойдаланиб, критик кучланишнинг ҳар бир қийматини n марта камайтириб, σ_{adm}^s нинг эгилувчанликка боғлиқлик трафигини кўрамиз (бу график ингичка чизиқ билан кўрсатилган).

Устуворлик учун берилган жоиз кучланиш σ_{adm}^s билан мустаҳкамлик учун берилган асосий (оддий сиқилишдаги) жоиз кучланиш $\sigma_{adm} = \frac{\sigma_u}{n}$ ни ўзаро таққослаб,

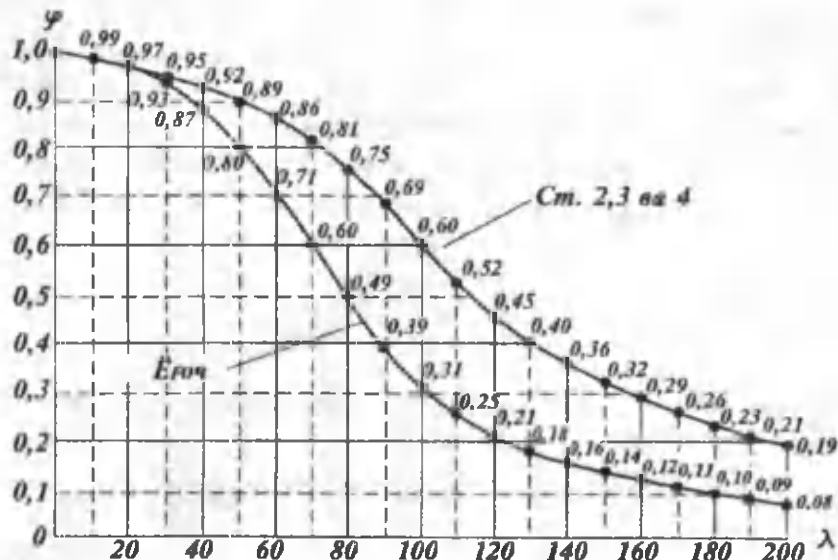
$$\sigma_{adm}^s < \sigma_{adm}$$

эканлигига ишонч ҳосил қиласыз.

Охирги ифоданың ўнг томонини $\varphi < 1$ мүкдорга күпайтириб, тенгсизлик белгисидан тенглик белгисига ўтилади ва қуйидаги мұхим формула ҳосил қилинади:

$$\sigma_{adm}^s = \varphi \cdot \sigma_{adm} \quad (\text{XIII.14})$$

Бунда φ - мустақамлыйк учун берилған асосий жоиз кучлашины камайтириш (бүйлама этилиш) коэффициенті.



XIII.9-шакл.

(III.15) (3.3-§ га қаранг) ва (XIII.13) формулаларни зерттеборға олиб, φ ни қуйидагыча ёзамиш:

$$\varphi = \frac{\sigma_{kp.}}{\sigma_{adm}^s} \cdot \frac{n_{adm}}{\sigma_{o.u.}}$$

еки

$$\varphi = \frac{\pi^2 E}{\sigma_u} \cdot \frac{n_{adm}}{n_{adm}^s} \cdot \frac{1}{\lambda^2} \quad (\text{XIII.15})$$

Демак, φ стержен материалы ва унинг эгилувчанлигига боғлиқ экан; турли материаллар учун φ нинг қийматини XIII.9-шаклда келтирилган графикдан олиш мумкин.

Күйидаги иккита шарт бажарилган ҳолда сиқилган стерженлар ташки қиқувчи кучта етарли даражада қаршилик қўрсата олади:

- устуворлик шарти

$$\sigma^s = \frac{F^s}{A} \leq \sigma_{adm}^s \quad (\text{XIII.16})$$

- мустаҳкамлик шарти

$$\sigma = \frac{F}{A} \leq \sigma_{adm} \quad (\text{XIII.17})$$

Шуни эслатиб ўтиш муҳимки, стерженинни устуворликка ҳисоблашда кесимнинг тўлиқ юзаси олинади, яъни $A = A_{br}$ қабул қилинади.

Мустаҳкамликни ҳисоблашда эса парчин михлар учун тешиклар ва турли хил ўйиқлар очиш натижасида заифлаштирилган ҳақиқий кесим юза $A = A_{net}$ ишлатилади.

(XIII.14) ифодани эътиборга олсак, сиқилган стерженларнинг устуворлик шарти

$$\frac{F^s}{\varphi \cdot A_{br}} \leq \sigma_{adm} \quad (\text{XIII.18})$$

кўринишни эгаллайди; кўпинча, (XIII.18) ифода устуворликдаги ҳисоб тенгламаси ҳам деб юритилади.

Ҳисоб тенгламасидан жоиз критик кучни аниқлаймиз:

$$F_{adm}^s = A_{br} \cdot \varphi \cdot \sigma_{adm} \quad (\text{XIII.19})$$

Ўз-ўзидан равшанки, агар устуворликнинг ҳақиқий эҳтиёт коэффициенти зарурий эҳтиёт коэффициентидан кичик бўлмаса, сиқилган стерженларнинг устуворлиги таъминланган бўлади:

$$n^s \geq n_{adm}^s \quad (\text{XIII.20})$$

Бу тенгсизлик ҳам устуворлик шартини ифодалайди.

(XIII.1) ва (XIII.9) формулаларни назарда тутиб, (XIII.20) ни бирмунча ўзгартириб ёзамиш:

$$\frac{F_{kp}}{F} \geq \frac{F_{kp}}{F_{adm}^s} \quad \text{ёки} \quad F \leq F_{adm}^s \quad (\text{XIII.21})$$

Охирги тенгизликтининг иккала томонини A_{br} марта камайтириб, устуворлик шартини күчланишлар орқали ифодалаймиз:

$$\sigma \leq \sigma_{adm}^s \quad (XIII.22)$$

Бунда $\sigma = \frac{F}{A_{br}}$ -сикувчи күчланишнинг ҳақиқий қиймати.

Устуворликка ҳисоблаш икки усулда олиб борилади.

1. Текширув ҳисоби (жоиз критик кучни топиш).

Кўндаланг кесимнинг геометрик тавсифномаси ва стержен учларининг таянчларга маҳкамланиш усулига қараб, унинг эгилувчанлиги λ аниқланади; сўнгра стержен материалы учун λ бўйича 13.3-жадвалдан бўйлама эгилиш коэффициенти φ топилади.

13.3-жадвал

Эгилувчанлик	Бўйлама эгилаш коэффициенти φ		Эгилувчанлик	Бўйлама эгилаш коэффициенти φ	
	Ст.3 ва Ст.4	Ст.5		Ст.3 ва Ст.4	Ст.5
0	1,00	1,00	120	0,45	0,37
10	0,99	0,98	130	0,40	0,32
20	0,97	0,96	140	0,36	0,28
30	0,95	0,93	150	0,32	0,25
40	0,92	0,89	160	0,29	0,23
50	0,89	0,85	170	0,26	0,21
60	0,86	0,80	180	0,23	0,19
70	0,81	0,74	190	0,21	0,17
80	0,75	0,67	200	0,19	0,15
90	0,69	0,59	210	0,17	0,14
100	0,60	0,50	220	0,16	0,13
110	0,52	0,43			

Ниҳоят, жоиз критик куч

$$F_{adm}^s = A \cdot \varphi \cdot \sigma_{adm} \quad (XIII.23)$$

ёки жоиз критик күчланиш

$$\sigma_{adm}^s = \varphi \cdot \sigma_{adm}$$
 (XIII.24)

лар топилиб, тегишлича $F \leq F_{adm}^s$ ёки $\sigma \leq \sigma_{adm}^s$ шартлар текшириб күрилади. Борди-ю, бу шартлар бажарилмаса, текширилаётган стержен ноустивор мувозанат ҳолатида деб ҳукм юритилади.

2. Лойиҳа ҳисоби (устуворликни таъминлай оладиган кесим юза танлаш).

Устуворликдаги ҳисоб тенгламаси (XIII.18) дан күриниб турибиди, унинг таркибида иккита номаълум бор: бўйлама эгилиш коэффициенти φ ва аниқланини зарур бўлган A_b , кесим юза. Шунинг учун лойиҳа ҳисобида кетма-кет яқинлашиш усулини кўллаб, қўйидаги ишларни навбат билан бажариш тавсия этилади:

а) бўйлама эгилиш коэффициентининг бошланғич қиймати $\varphi_1=0,5 \div 0,6$ оралиғида танланади;

б) кесим юза аниқланади:

$$A_i = \frac{F}{\varphi_i \cdot \sigma_{adm}}$$

бунда $i = 1, 2, 3, \dots$ -кетма-кет яқинлашишдаги қадамлар сони;

в) ҳосил қилинган A бўйича кесим юза ўлчамлари (соргатментлар учун эса зарурий маълумотлар олинади) аниқланғач, эгилувчанлик

$$\lambda_i = \frac{\mu \cdot l}{l_{max}}$$

ҳисобланади;

г) топилган t , учун стержен материалига қараб бўйлама эгилиш коэффициентининг ҳақиқий қиймати φ_i аниқланади.

Агар φ_i ва φ_{i+1} лар орасида катта фарқ мавжуд бўлса, σ_x кучланиш ҳам асосий жоиз кучланишдан катта фарқ қиласи.

Одатда, кучланишлар орасидаги фарқ 5% дан ошмаслиги лозим. Борди-ю, бу шарт бажарилмаса

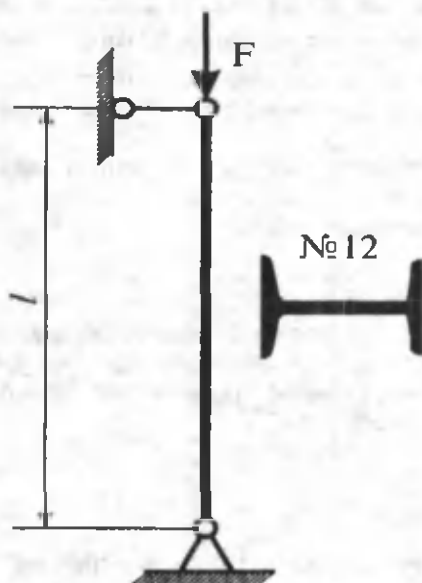
$$\varphi_{i+1} = 0,5(\varphi_i + \varphi'_{i+1})$$

бўйича янги «уриниш» қилиб, φ'_{i+1} ни аниқламагунча ҳисоблашни давом эттириш керак;

д) жоиз критик күч ёки күчланишлар топилгач, тегишилича (ХІІІ.16) ёки (ХІІІ.17) шартлар текшириб күрилади.

39-масала. Узунлиги $l=1,85\text{m}$ бўлган стерженга таъсир этувчи сикувчи кучнинг жоиз қиймати аниқлансан (ХІІІ.10-шакл). Стержен Ст 3 навли пўлатдан ясалган бўлиб, кўндаланг кесим профили №12 қўштаврдан иборат.

Ҳисоблашда $E = 2,1 \cdot 10^5 \text{ MPa}$, $n_{adm}^s = 3$ га тенг деб олинсин.



ХІІІ.10-шакл.

Ечиш

Дастлаб Эйлер формуласини қўллаш ҳақидаги масалани ҳал қилиш зарур. Бунинг учун стерженнинг эгилувчанлигини ҳисоблаймиз:

$$\lambda = \frac{\mu l}{i_{min}} = \frac{1 \cdot 1,85}{1,38 \cdot 10^{-2}} = 134,06.$$

Бу ерда, инерция радиуси i_{min} нинг қиймати сортамент жадвалидан олинди.

Демак, $\lambda > \lambda_{req} = 100$ бўлгани учун Эйлер формуласи бўйича критик куч аниқланади:

$$F_{kp} = \frac{\pi^2 E J_{min}}{(\mu \ell)^2} = \frac{(3,14)^2 \cdot 2,1 \cdot 10^5 \cdot 10^6 \cdot 27,9 \cdot 10^{-4}}{(1 \cdot 1,85)^2} = 168,958 \cdot 10^3 \text{ kH} = 168,958 \text{ kH},$$

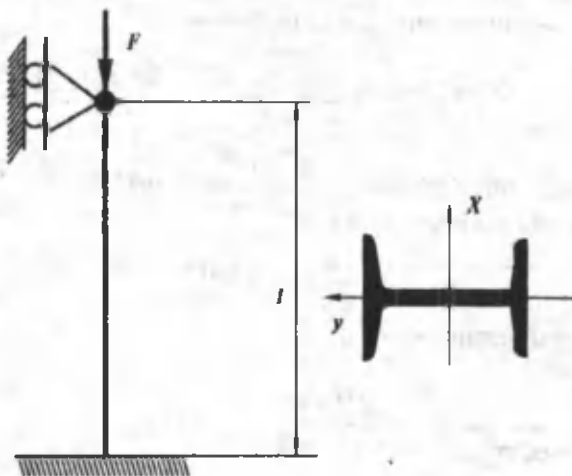
бу ерда, $J_{min} = 27,9 \text{ cm}^4$ бўлиб, сортамент жадвалидан олинди.

(XIII.12) формуладан сиқувчи кучнинг жоиз қиймети ҳисобланади:

$$F_{adm} = \frac{F_{kp}}{n'_{adm}} = \frac{168,958}{3} = 56,319 \text{ kH}$$

40-масала. XIII.11-шаклда кўрсатилган устун учун сортамент жадвалидан қўштаврли кесим юза танлансин.

Устуннинг узунлиги $l=2,6 \text{ m}$, унга қўйилган сиқувчи куч $F=210 \text{ kH}$, материали Ст 4 навли пўлат, сиқилишдаги жоиз кучланиш $\sigma_{adm} = 160 \text{ MPa}$.



XIII.11-шакл.

Ечиш

Устуворликни таъминлай оладиган кесим юза танлаш учун кетма-кет яқинлашиш усулидан фойдаланамиз.

Биринчи гадда $\varphi_1 = 0,5$ деб қабул қиласиз ва (ХIII.18) ҳисоб тенгламасидан зарурый кўдаланг кесим юзани аниқлаймиз:

$$A_1 = \frac{F}{\varphi_1 \cdot \sigma_{adm}} = \frac{210 \cdot 10^3}{0,5 \cdot 160 \cdot 10^6} = 26,25 \cdot 10^{-4} m^2$$

Сортамент жадвалидан тартиб раками 20 бўлган қўштаврни танлаимиз: бу қўштаврнинг юзаси $A_1' = 26,8 \cdot 10^{-4} m^2$, минимал инершия радиуси эса $i_{min} = 2,07 \cdot 10^{-2} m$ га тенг.

Уступнинг эгилувчанлигини ҳисоблаймиз:

$$\lambda_1 = \frac{\mu I}{i_{min}} = \frac{0,7 \cdot 2,6}{2,07 \cdot 10^{-2}} = 87,92$$

Эгилувчанликнинг бу қийматга мос келувчи φ ни аниқлаш учун жадвалга мурожаат қиласиз. $\lambda = 80$ ва $\lambda = 90$ орасидаги қийматларни чизикли интерполяциялаймиз:

$$\varphi_1' = \varphi_{\lambda=87,92} = \varphi_{\lambda=80} - \frac{(\varphi_{\lambda=90} - \varphi_{\lambda=80})}{10} (87,92 - 80) = 0,75 - \frac{(0,75 - 0,69)}{10} \cdot 7,92 = 0,7025$$

φ_1 ва φ_1' лар орасидаги фарқ анча катта, шу сабабли ҳисоблашни яна такрорлаймиз:

$$\varphi_2 = \frac{\varphi_1 + \varphi_1'}{2} = 0,6013.$$

Янги кесим юзани топамиз:

$$A_2 = \frac{F}{\varphi_2 \sigma_{adm}} = \frac{210 \cdot 10^3}{0,6013 \cdot 160 \cdot 10^6} = 21,83 \cdot 10^{-4} m^2.$$

Бу кесим юзага профили 18 бўлган қўштавр тўғри келади.

Устуннинг эгилувчанлигини аниқлаймиз:

$$\lambda_2 = \frac{\mu l}{l_{\min}} = \frac{0,7 \cdot 2,6}{1,88 \cdot 10^{-2}} = 96,81.$$

Чизиқли интерполяциялаб $\varphi'_2 = 0,6287$ ни ҳосил қиласиз, шу коэффициент билан кесимда пайдо бўладиган ҳақиқий кучлашини аниқлаймиз ва уни σ_{adm} билан тақъослаймиз:

$$\sigma_* = \frac{F}{\varphi'_2 A_{2j}} = \frac{210 \cdot 10^3}{0,6287 \cdot 23,4 \cdot 10^{-4}} = 142,74 \cdot 10^6 \text{ H/m}^2 = 142,74 \text{ MPa} < 160 \text{ MPa}$$

$$\text{Устун } \delta_* = \frac{|142,74 - 160|}{160} \cdot 100\% = 10,78\% \text{ га юкламмаган.}$$

Бу фарқ 5% дан сезиларли даражада катта бўлганлиги учун ҳисоблашни яна давом эттирамиз:

$$\varphi_3 = \frac{0,6013 + 0,6287}{2} = 0,615$$

Бу коэффициент бўйича устуннинг кесим юзасини ҳисоблаймиз:

$$A_3 = \frac{F}{\varphi_3 \sigma_{adm}} = \frac{210 \cdot 10^3}{0,615 \cdot 160 \cdot 10^6} = 21,34 \cdot 10^{-4} \text{ m}^2$$

Сортамент жадвалидан яна 18-чи номерли қўштаврни олишга тўғри келади. Бошқача айтганда устун 10,78% га юкламмаган бўлишига қарамасдан, ҳисоблашни тўхтатишга мажбурмиз.

Ниҳоят, устуннинг кесими учун профил номери 18 бўлган қўштаврни танлаймиз.

Назорат саволлар ва топшириқлар

1. Устуворликнинг йўқолиш белгиларини тушунтиринг.
2. Критик куч деб нимага айтилади?
3. Критик кучни аниқлашнинг Эйлер формуласини ёзинг.

Ушбу формуладан критик куч нимага боғлиқ эканлигини кўрсатинг.

4. Критик кучланиш қандай аниқланади?
5. Стерженнинг эгилувчанлиги нимани ифодалайди ва у нималарга боғлиқ?
6. Икки учи шарнирлар орқали маҳкамланган стерженнинг келтирилган узунлик коэффициенти нимага тенг?
7. Ф.С.Ясинский формуласини ёзинг ва уни мазмунини тушунтиринг.
8. Сиқилган стерженларнинг устуворлик шартини ёзинг. Бу формулага стерженнинг қандай кесим юзаси қўйилади?
9. Устуворликдаги ҳисоб тенгламасини ёзинг.
10. Устуворликкә оид масалаларни ҳисоблаш кетма-кетлигини изоҳланг.
11. Бўйлама эгилиш коэффициенти нималарга боғлиқ?

XIV БОБ. ЗАРБАЛИ ВА ЎЗГАРУВЧАН ЮКЛАРДА МУСТАҲКАМЛИК

14.1-§. Зарбали ва ўзгарувчан юклар ҳақида умумий мулоҳазалар

Олдинги бобларда фақат статик юклар таъсиридаги конструкция қисмларининг мустаҳкамлиги, бикрлиги ва устуворлигига оид ҳисоблаш ишлари билан шуғулландик. Статик юклар иншоот ва машина қисмларига шу қадар секин қўйиладики, уларда ҳосил бўладиган ҳаракат тезланиши жуда кичик бўлиб, лойиҳалаш пайтида улар эътиборга олинмайди.

Маълумки, зарбий (динамик) ёки вақт мобайнида даврий ўзгарувчан юклар таъсирида ишлайдиган ҳаракитдаги иншоот, машина ва механизмлар тобора кунайиб, муҳаандислик амалиётида улардан ҳам кенг кўламда фойдаланилмоқда. Шу боис зарбали ва ўзгарувчан юкларнинг конструкциялар ёки улар қисмларига таъсир этиш жараёнини муфассал ўрганиш ҳамда уларни лойиҳалаш пайтида эътиборга олиш муҳим аҳамиятта зга.

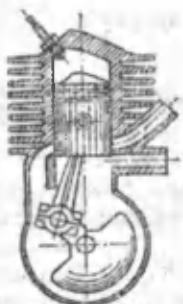
Жуда ҳам қисқа вақт ичидаги қўйилган ва тезлиги бир лаҳзада нолга тенглашувчи юк **зарбали юк** дейилади.

Одатда, зарба ҳодисаси бир жисмнинг иккинчи жисмга тўқнашуви туфайли содир бўлади. Зарб берувчи жисмнинг тезлиги жуда қисқа муддат давомида нолга интилиб, зарбланувчи жисмнинг деформация ва кучланиши эса энг катта қийматга эришади. Зарбланувчи жисмда аста-секин сўнувчи тебраниш ҳосил бўлганидан кейин унда мувозанат қарор топади: *зарбланувчи жисмнинг деформацияси ва кучланишининг қийматлари зарбали юк мазкур жисмга статик равишда қўйилганда ҳосил бўладиган деформация ва кучланишларнинг миқдорига етгунча камаяди*.

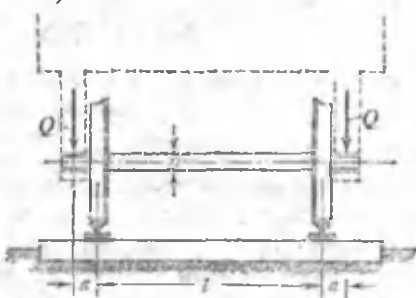
Юкларнинг зарбий таъсирини деталларга болғалаб ишлов бериш пайтлари, кўпприк қуришда устун-қозиқ қоқиши ишлари, турли хил портлатиш ишлари ва шу каби жараёнларда учратиш мумкин.

Кўпгина машина ва иншоотлар ёки уларнинг қисмлари вақт мобайнида миқдори ва йўналишини ўзгартириб турадиган

кучланишлар ҳосил қилувчи ўзгарувчан юклар таъсири остида ишлайди. Бунга мисол тариқасида ички ёнув двигатели шатуни ва тирсакли валининг (XIV.1-шакл), темир йўл ёки автотранспорт воситаларининг рессора, пружина, ўқ ва фиддиракларининг ҳамда рельсларнинг ишлаши жараёнларини келтириш мумкин (XIV.2-шакл).



XIV.1-шакл.



XIV.2-шакл.

Шу жиҳатдан олганда ўзгарувчан юклар таъсирида ишловчи конструкция қисмларининг мустаҳкамлигини таҳдилий баҳолаш масаласи ҳам материаллар қаршилигига алоҳида ўринни эгаллайди.

14.2-ғ. Зарбали юклар таъсиридан ҳосил бўладиган кучланишлар

Умуман олганда, машина ва иншоот қисмларини зарбали юклар таъсирига ҳисоблаш масаласи уларни статик юклар таъсирига ҳисоблашга нисбатан анча қийин бўлиб, муҳандислик амалиётида ҳалигача тўлиқ ҳал этилмаган муаммолардан бири ҳисобланади. Бу қийинчиликлар шу билан тушиунириладики, биринчидан, зарбали юклардан ҳосил бўладиган ички зўриқиш, кучланиш ва деформацияларни аниқлаш усуллари анча мураккаб, иккинчидан эса зарбий жараёнларда тажриба-синов йўллари билан материалларнинг меҳаник хусусиятларини аниқлаш усуллари мукаммал ҳал этилмаган.

Материаллар қаршилигига қуйидаги чекланишлар асосида оддий масалалар ўрганилади:

- зарбий кучланишлар мутаносиблик чегарасидан ошмайды, балки бутун зарб жараёнида материал тұлық Гүк қонунига бүйсунади деб фараз қилинади;
- зарб берувчи жисем нозластик хусусиятга эга деб фараз қилинади; бу чекланиш зарб берувчи ва зарбланувчи жисемлар бутун зарб жараёнида бир-бирларидан ажралмайдылар, деб фараз қилишига имкон беради;
- зарбланувчи жисем бүйлаб деформациялар «бир зумда» тарқалади деб қаралади;
- зарб берувчи жисемнинг кинетик энергияси зарблануечи жисем деформациясининг потенциал энергиясига тұлық айланади деб фараз қилинади.

Одатда, зарбалы юкларнинг таъсири амалда динамик коэффициент ёрдамида бағоланади:

$$k_d = \frac{\lambda_d}{\lambda_{st}} \quad (a)$$

Бу ерда, λ_{st} -юк статик равищда қўйилганда ҳосил бўладиган кўчиш;

λ_d -динамик (зарбалы) юк таъсиридан пайдо бўлган кўчиш.

Худди шу тарзда зарбалы кучлардан ҳосил бўладиган деформация (кучланиш)ларни тегишлича статик деформация (кучланиш)лар орқали ифодалаши мумкин:

$$\Delta l_d = k_d \Delta l_{st} \quad (b)$$

$$\sigma_d = k_d \sigma_{st} \quad (v)$$

Юқоридаги формулалардан кўриниб турибдики, зарба ҳодисасини ўрганишда k_d ни аниқлаш мухим ахамиятта эга экан.

Динамик коэффициентни аниқлаш учун XIV.3-шакл, а да тасвирланган тизимдан фойдаланамиз.

Маълумки, G кучи тизимга статик равища қўйилса, бикрлиги с бўлган пружинанинг кўчиши

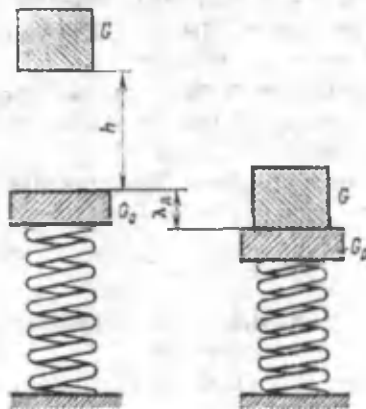
$$\lambda_{st} = \frac{G}{c} \quad (r)$$

га, зарб натижасида эса

$$\lambda_d = \frac{F_d}{c} \quad (d)$$

төңг бўлади.

Юк h баландлиқдан тушишда $\vartheta_0 = \sqrt{2gh}$ бошланғич тезликка эга бўлади. Юқорида иккинчи чекланишда айтиб ўтганимиздек, иккала жисм гёёки битта бўлиб ϑ_1 тезлик билан пружинани сиқади (XIV.3-шакл. б).



XIV.3-шакл

Ҳаракат миқдорининг ўзгариши ҳақидаги теоремага кўра:

$$\frac{G}{g} \vartheta_0 = \left(\frac{G}{g} + \frac{G_0}{g} \right) \vartheta_1 \quad (e)$$

бундан

$$\vartheta_1 = \frac{G}{G_0 + G} \cdot \vartheta_0$$

Энди кинетик энергияни ҳисоблаймиз:

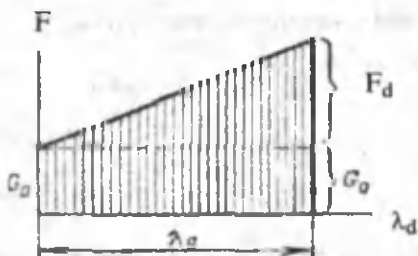
$$T = \frac{G_0 + G}{g} \cdot \frac{\vartheta_1^2}{2} = \frac{G^2}{2g(G_0 + G)} \vartheta_0^2 \quad (\text{XIV.1})$$

Иккала жисмнинг оғирлик кучи λ_d йўлда

$$A_1 = (G + G_0)\lambda_d \quad (\text{XIV.2})$$

иш бажаради.

Пружинага дастлаб G_0 , зарб натижасида эса $G_0 + F_d$ куч таъсир қилади; кучнинг ўзгариш графиги XIV.4-шаклда келтирилган.



XIV.4-шакл.

Диаграмманинг юзига миқдор жиҳатидан тенг бўлган A_2 иш манфий бўлади, чунки у ҳаракатга тескари йўналган:

$$A_2 = -\left(G_0\lambda_d + \frac{F_d\lambda_d}{2} \right) \quad (\text{XIV.3})$$

Бундан чиқди, бажарилган иш-деформациянинг потенциал энергияси қўйидагига тенг бўлади:

$$U = (G + G_0)\lambda_d - G_0\lambda_d - \frac{F_d\lambda_d}{2} = G\lambda_d - \frac{F_d\lambda_d}{2} \quad (\text{XIV.4})$$

Тўртингчи чекланишга таяниб, энергиянинг сақланиши қонунини ёзамиш:

$$\frac{G^2}{2g(G_0 + G)}\theta^2 = G\lambda_d - \frac{F_d\lambda_d}{2}$$

(г) ва (д) ифодаларни эътиборга олсак, λ_d га нисбатан квадрат тенгламага эга бўламиш:

$$\lambda_d^2 - 2\lambda_s\lambda_d - 2h - \frac{\lambda_s}{1 + \frac{G_0}{G}} = 0 \quad (\text{XIV.5})$$

Охирги тенгламани ечиб, динамик күчишни аниқтайды:

$$\lambda_d = \lambda_{st} \left(1 \pm \sqrt{1 + \frac{2h}{\lambda_{st}} \cdot \frac{1}{1 + \frac{G_0}{G}}} \right)$$

Агар $\lambda_d > \lambda_{st}$ эканлигини назарда тутсак, у үолда:

$$\lambda_d = \lambda_{st} \left(1 \pm \sqrt{1 + \frac{2h}{\lambda_{st}} \cdot \frac{1}{1 + \frac{G_0}{G}}} \right) = \lambda_{st} k_d \quad (\text{XIV.6})$$

Бу ерда зарбали юк учун динамик коэффициент қыйидагига тенг:

$$k_d = \left(1 \pm \sqrt{1 + \frac{2h}{\lambda_{st}} \cdot \frac{1}{1 + \frac{G_0}{G}}} \right),$$

еки

$$k_d = \left(1 \pm \sqrt{1 + \frac{g^2}{g \lambda_{st}} \cdot \frac{1}{1 + \frac{G_0}{G}}} \right) \quad (\text{XIV.7})$$

Динамик коэффициент аниқланғач, (в) формуладан зарбали юк таъсиридан пайдо бўлган кучланишни топиш мумкин:

$$\sigma_d = \sigma_{st} \left(1 \pm \sqrt{1 + \frac{2h}{\lambda_{st}} \cdot \frac{1}{1 + \frac{G_0}{G}}} \right) \quad (\text{XIV.8})$$

Зарба ҳодисаси мутаносиблик чегарасида рўй беради деб ҳисобласак, мустаҳкамлик шарти одатдаги кўринишда ёзилади:

$$\sigma_d (\max) = k_d \sigma_{st} \leq \sigma_{adu} \quad (\text{XIV.9})$$

бунда

$$\sigma_{adm} = \frac{\sigma_{0,q}}{n_{0,q}}$$

Шуни таъкидлаш муҳимки, зарба ҳодисасига учрайдиган конструкция қисмлари мустаҳкамликка ҳисоблангаётганда эҳтиёт коэффициенти $n_{0,q} = 2$ га тенг деб олинади.

Юкнинг тушиш баландлиги h статик кўчиш λ_u га нисбатан жуда катта бўлган ҳолларда радикал белгиси остидаги ва олди-даги 1 ни эътиборга олмаслик ҳам мумкин; у ҳолда динамик коэффициентни топишда инвалидиган қўйидаги тақрибий формула ҳосил бўлади:

$$k_d = \sqrt{\frac{2h}{\lambda_u} \cdot \frac{1}{1 + k \frac{Q_0}{G}}} \quad (\text{XIV.10})$$

Зарбланувчи жисмларнинг массасини ҳисобга олиш учун (XIV.7) формулалар таркибидаги G_0 нинг ўрнига зарб тушадиган кесимга келтирилган масса оғирлиги kQ_0 ни қўйиш лозим:

$$k_d = 1 \pm \sqrt{1 + \frac{2h}{\lambda_u} \cdot \frac{1}{1 + k \frac{G_0}{G}}} \quad (\text{XIV.11})$$

Бу ерда k - келтириш коэффициенти бўлиб, зарбланувчи жисмларнинг маҳкамланиш усулига ва зарб турларига (бўйлама ёки кўндаланг зарба) боғлиқ.

G - зарб берувчи жисмнинг оғирлиги.

Қўйидаги хусусий ҳолларни кўриб чиқамиз.

A. Бўйлама зарба. Айтайлик, массаси $\gamma A dz$ стерженнинг чексиз кичик бўлаги

$$\vartheta_z = \frac{\vartheta_{max}}{l} z \quad (\text{XIV.12})$$

тезликка эга бўлсин (IV.5-шакл). У ҳолда стерженнинг кинетик энергияси қўйидагича аниқланади:

$$T = \int_0^l \gamma A \frac{\vartheta_z^2}{2} dz = \frac{\gamma A \vartheta_{max}^2}{2 l^2} \int_0^l z^2 dz = \frac{\gamma A l}{3} \cdot \frac{\vartheta_{max}^2}{2}$$

Стерженнинг оғирлиги $Q_0 = \gamma A \ell g$ эканлиги маълум; шу боис:

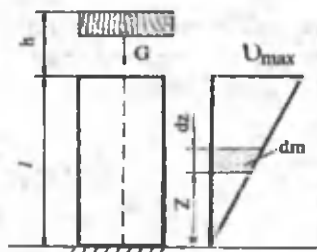
$$T = \frac{1}{3} \frac{Q_0}{g} \cdot \frac{\vartheta_{\max}^2}{2} \quad (\text{XIV.13})$$

Иккинчи томондан эса кинетик энергия

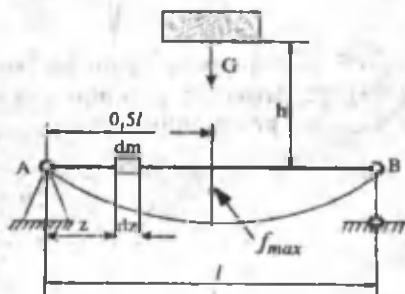
$$T = k \frac{Q_0}{g} \cdot \frac{\vartheta_{\max}^2}{2} \quad (\text{XIV.14})$$

га тенг.

Охирги ифодаларни ўзаро таққослаб, бўйлама зарбада келтириш коэффициенти $k = \frac{1}{3}$ эканлигига ишонч ҳосил қиласиз.



XIV.5-шакл.



XIV.6-шакл.

Б. Кўндаланг зарба. G юк статик равишда тўсинга қўйилганда қўзғалмас таянчдан z масофадаги кесимнинг салқилиги

$$v_z = \frac{f_{\max}}{l^3} (3l^2 z - 4z^3) \quad (\text{XIV.15})$$

ифодага тенг бўлади (XIV.6-шакл).

$$\text{Бунда } f_{\max} = \frac{Ql^3}{48EJ} - \text{энг катта салқилик.}$$

Салқилик тенгламасидан вақт бўйича бир марта ҳосила олиб, массаси $dm = \gamma Adz$ бўлган бўлакчанинг тезлигини аниқлаймиз:

$$g_z = \frac{d\omega_z}{dt} = \frac{d}{dt} \left(\frac{f_{\max}}{\ell^3} (3\ell^2 z - 4z^3) \right)$$

Зарб түсіннинг ўртасига тушади деб фараң қылсақ, мазкур кесимнинг теңлигі

$$\omega_{\max} = \frac{df_{\max}}{dt}$$

га тенг бўлади. У ҳолда теңлик

$$g_z = g_{\max} \cdot \frac{1}{\ell^3} (3\ell^2 z - 4z^3)$$

кўринишни згаллайди.

Түсіннинг Кўзғалмас таянчидан з масофада жойлашган dz элементнинг кинетик энергиясини ҳисоблаймиз:

$$dT = \frac{\gamma A dz}{g} \cdot \frac{g_z^2}{2} = \frac{\gamma A dz}{g} \cdot \frac{1}{2} \left[\frac{df_{\max}}{dt} \cdot \frac{1}{\ell^3} (3\ell^2 z - 4z^3)^2 \right]^2$$

Тизимнинг кинетик энергиясини ҳисоблаймиз:

$$T = 2 \int_0^{0.5\ell} \frac{\gamma A}{2g} \left(\frac{df_{\max}}{dt} \right)^2 \frac{1}{\ell^6} (3\ell^2 z - 4z^3)^2 dz = \frac{17}{35} \cdot \frac{\gamma A \ell}{g} \cdot \frac{g_{\max}^2}{2}$$

Бунда $\rho Al = Q_0$ бўлганлиги учун

$$T = \frac{17}{35} \cdot \frac{Q_0 g_{\max}^2}{2g} \quad (\text{XIV.16})$$

Түсіннинг келтирилган массасини зарб тушадиган жойга маҳкамланган деб, кинетик энергияни

$$T = \frac{m_{\text{кин}} g_{\max}^2}{2} = k \frac{Q_0}{g} \cdot \frac{g_{\max}^2}{2} \quad (\text{XIV.17})$$

кўринишида ифодалаймиз.

Кинетик энергия учун юқорида олинган иккита ифодани ўзаро таққослаб, кўндаланг зарбадаги келтириш коэффициенти $k = \frac{17}{35}$ га тенглигига ишонч ҳосил қиласиз.

Шундай қилиб, оддий түсіннинг ўртасига юқ келиб урилганда ҳосил бўладиган нормал кучланиш қўйидагича топилади:

$$\sigma_d = \sigma_{st} \left(1 + \sqrt{1 + \frac{2h}{v_s} \frac{1}{(1 + \frac{17Q_0}{35G})}} \right) \quad (\text{XIV.18})$$

Бунда G - зарб берувчи юкнинг оғирлиги;

Q_0 - түсниннинг оғирлиги;

h - юкнинг тушиш баландлиги;

v_s - юк статик равищада қўйилганда зарб тушадиган кесимнинг салқилиги;

σ_{st} - статик юк таъсиридан ҳосил бўлган энг катта нормал кучланиш.

14.3-§. Ўзгарувчан кучланишлар. Металларнинг чарчаши ҳақида қисқача муроҳазалар

Вагон ўқининг ишлаш жараёни мисолида ўзгарувчан кучланишларнинг замалда пайдо бўлиши ва конструкция қисмларига таъсири этишини кўриб чиқамиз (XIV.2-шакл). Чизмадан кўриниб турибдики, ўқ асосан эгилишга ишлайди: ўқнинг ℓ узунликдаги ўрта қисми соғ эгилишга, а узунликдаги четки қисмлари эса кўндаланг эгилишга каршилик кўрсатади.

Ўқлинг ихтиёрий кўндаланг кесимида жойлашган нуқтада кучланишнинг ўзгариш жараёнини кузатамиз. Масалан, нейтрал чизикдан у масофада жойлашган K нуқтадаги нормал кучланиш

$$\sigma_K = \frac{M_x}{J_x} y \quad (\text{a})$$

га тенг.

XIV.7-шакл, а дан $y=0,5D \sin\varphi$ эканлигини эътиборга олиб, нормал кучланишни

$$\sigma_K = \frac{M_x D}{2J_x} \sin\varphi \quad \text{ёки} \quad \sigma_K = \sigma_a \sin\varphi \quad (\text{б})$$

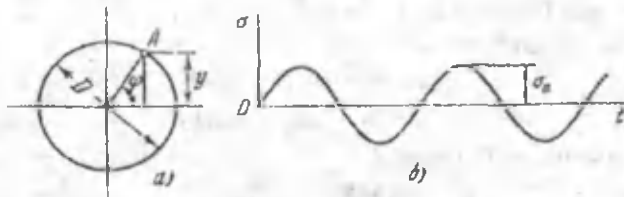
кўринишларда ёзиб оламиз.

Бунда $\sigma_a = \frac{M_x D}{2J_x}$ - кучланиш амплитудаси.

Буралыш бурчаги ϕ вақт бүйича айланиш бурчак тезлик ω га боғлиқ ҳолда $\phi = \omega t$ қонуният бүйича ўзгаради. Шу боис, нормал күчланиш

$$\sigma_K = \sigma_a \sin \omega t \quad (\text{XIV.18})$$

күренишдаги синусоидал қонуният бүйича ўзгаради (XIV.7-шакл, б).

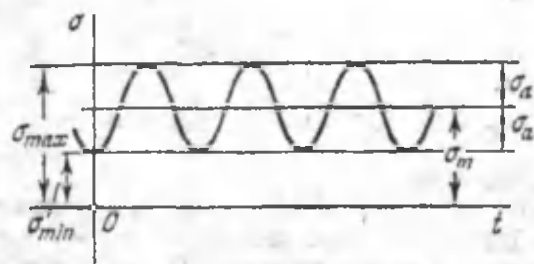


XIV.7-шакл

Агар ω бурчак тезлик билан айланадын вагон ўқига құшымча равишида ўзгармас бүйлама чөзувчи күч F_1 ҳам күйилса, у ҳолда K нүктадаги нормал күчланиш қуидагы аниқланади:

$$\sigma_K = \frac{4F_1}{\pi D^2} + \sigma_a \sin \omega t \quad (\text{XIV.19})$$

Бу ҳолатда ҳам күчланиш синусоидал қонуният бүйича ўзгаради, аммо синусоида абсцисса ўқидан $\sigma_m = \frac{4F_1}{\pi D^2}$ қадар юқорига суриласы (XIV.8-шакл).



XIV.8-шакл

Юқоридаги ифодалардан күриниб турибдики, кучланиш вақт үтиши билан даврий равищда ұзгарар экан: маълум T вақт үтиши билан кучланиш яна айнан бир хил қийматта әришади.

Кучланишларнинг σ_{\max} дан σ_{\min} гача камайиб, тагин янгидан σ_{\max} гача күтарилиши **кучланиш цикли** деб аталади.

Кучланиш цикли қуйидаги параметрлар билан тавсифланади:

а) циклнинг энг катта $\sigma_{\max}(\tau_{\max})$ ва энг кичик $\sigma_{\min}(\tau_{\min})$ кучланишлари (алгебраик қиймати бўйича);

б) циклнинг ўртача кучланиши:

$$\left. \begin{array}{l} \sigma_m = 0,5(\sigma_{\max} + \sigma_{\min}) \\ \tau_m = 0,5(\tau_{\max} + \tau_{\min}) \end{array} \right\}$$

в) циклнинг амплитудаси:

$$\left. \begin{array}{l} \sigma_a = 0,5(\sigma_{\max} - \sigma_{\min}) \\ \tau_a = 0,5(\tau_{\max} - \tau_{\min}) \end{array} \right\}$$

Изоҳ: циклнинг энг катта ва энг кичик кучланишлари алгебраик айрмасининг абсолют қиймати цикл кучланишининг қулочи (интервали) дейилади; бундан чиқди, цикл амплитудаси кучланишлар қулочининг ярмига teng экан.

г) циклнинг асимметрия коэффициенти:

$$R_\sigma = \frac{\sigma_{\min}}{\sigma_{\max}}, \quad R_\tau = \frac{\tau_{\min}}{\tau_{\max}}$$

Изоҳ: агар циклнинг асимметрия коэффициентлари бир хил бўлса, улар ўхшаш цикллар дейилади.

Кучланиш цикли асосан иккига ажралади (XIV.9-шакл):

а) симметрик цикл.

Бу циклда энг катта ва энг кичик кучланишлар абсолют қийматлари бўйича ўзаро teng бўлса-да, улар тескари ишорада бўлади; бу циклда:

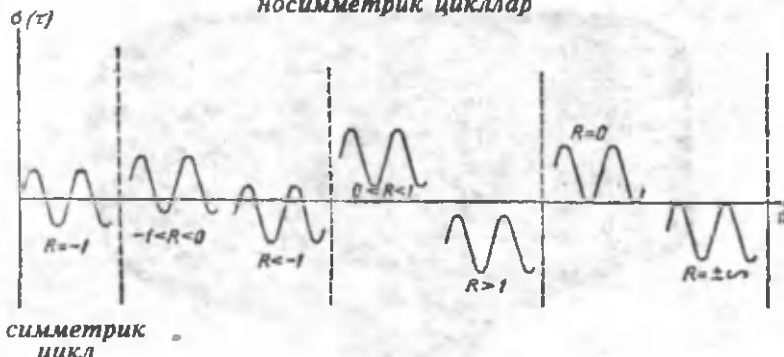
$$\begin{aligned} \sigma_m &= 0, \quad \sigma_a = \sigma_{\max} = -\sigma_{\min}, \quad R_\sigma = -1 \\ \text{ёки} \end{aligned}$$

$$\tau_m = 0, \quad \tau_a = \tau_{\max} = -\tau_{\min}, \quad R_\tau = -1$$

б) носимметрик цикл.

Бу циклда энг катта ва энг кичик кучланишлар абсолют қийматлари бўйича teng эмас; унда $\sigma_m \neq 0$, $\tau_m \neq 0$ бўлади. Одатда, носимметрик цикл ўзгарувчан ва ўзгармас ишорали ҳамда телки (нолдан бошланувчи) циклларга ажратилади.

носимметрик циклар



ХIV.9-шакл

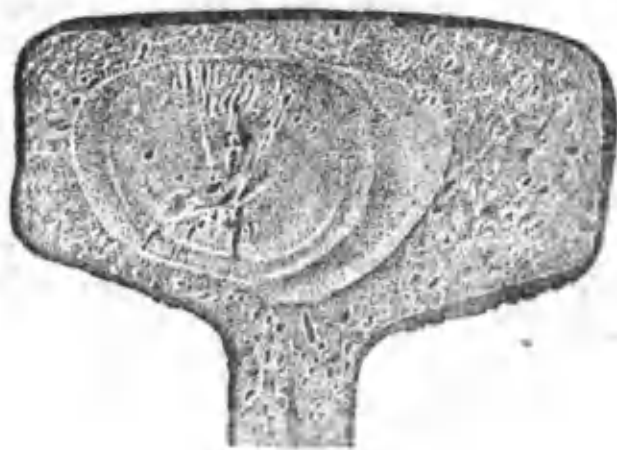
Энди металларнинг чарчаши (толиқиши) ҳақида қисқача мулоҳаза юритамиз.

Барча машина деталлари миқдори даврий равишда ўзгарувчан кучланишлар таъсирига дучор бўлганда, улар ҳатто мустаҳкамлик чегараси ёки оқувчанлик чегарасига етмаган кучланишлар таъсиридан ҳам емирилади. Бундай жараён яна шуниси билан тавсифланадики, деталлар пластик материаллардан тайёрлансанда, улар сезиларли қолдиқ деформацияларсиз емирилади. Емирилиш олдидан детал сиртида дарз (ёриқ) лар ҳосил бўлиб, улар тобора детал танасига сингиб чукурлаша боради ва емирилиш хавфи туғилади. Илгарилари бундай ҳолни детал «толиқди» ёки «чарчади» дейиларди.

Умуман олганда, ҳалигача емирилиш жараёнининг физик моҳияти мукаммал ҳал этилмаган. Аммо, тадқиқотчилар тажриба-синов усулларини такомиллаштириб мухим холосага келдилар: ўзгарувчан кучланишлар таъсиридан материалларнинг структураси ва механик хоссалари ўзгармаслиги аниқланди.

Ҳозирги пайтда толиқиши деганда, дарз пайдо бўлиш ва емирилишга олиб келадиган даврий ўзгарувчан кучланишлар таъсиридан материал шикастланишининг аста-секин тўпланиш жараёни тушунилади. Материалнинг толиқишига қарши туралоилиш хусусияти чидамлилик дейилади.

IV.10-шаклда рельснинг синган кесими тасвирланган, унда дарзнинг ривожланиш жараёни кесимнинг ички қисмидан бошланганлиги кўрсатилган.



XIV.10-шакл

14.4-§. Симметрик цикл учун толиқишиз эгрилиги

Даврий ўзгарувчан кучланишлар таъсирида ишлайдиган конструкция қисмларини мустаҳкамликка ҳисоблашада, аввало материалларнинг механик хоссаси - чидамлилик (толиқини) чегарасини билиш зарур.

Чидамлилик чегараси деб, циклар сони чекланмаган ҳолда куп бўлганида деталнинг толиқиши емирилишига сабаб бўлмайдиган цикл максимал кучланишининг энг катта қийматига айтилади.

Чидамлилик чегараси σ_R орқали белгиланади, бунда R - циклнинг асимметрия коэффициенти. Чидамлилик чегараси симметрик циклда σ_{-1} , одий чўзилиш ва сиқилишда σ_{+1} , тепки циклда эса σ_0 орқали белгиланади.

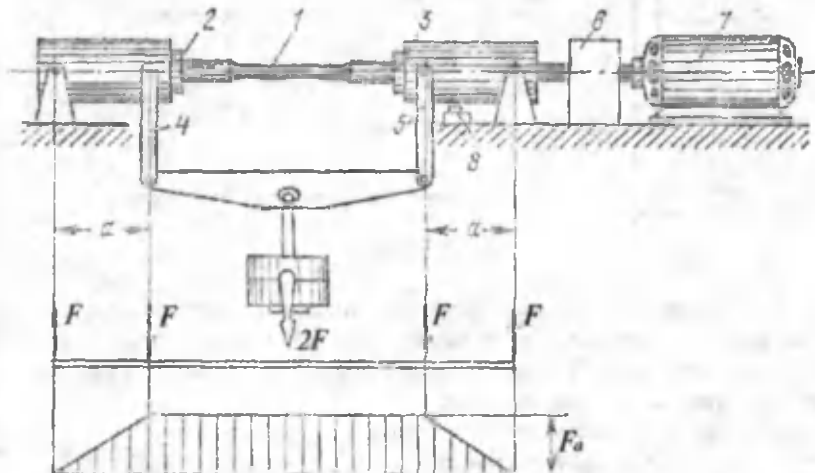
Махсус синов машиналарида тажрибалар ўтказиш йўли билан турли хил намуналарни толиқишига синаш орқали чидамлилик чегараси аниқланади.

XIV.11-шаклда σ_{-1} ни тажриба йўли билан аниқлашда ишлатиладиган синов машинасининг чизмаси келтирилган.

Синалаётган материалдан диаметри 7 ± 10 мм ли жилвирланган 6 ± 10 тача цилиндрик намуна тайёрланади. Конуссимон қисқич 2 ларга ўрнатилган намуна I қўзғалмас подшипник 3

лар воситасида оддий түсін ҳосил қиласы. Намунанинг соғ әгилиши моментлар эпюрасидан яққол күрініб турибди.

Намуна қисқичлар билан биргаликда электродвигател 5 воситасида айлантирилади. Намуна айланғанлығидан унга осилған юқ б нинг оғирлигі үзгармаса-да, үзгаруучан күчланишлар ҳосил бўлади. Айланышлар сонини айланышлар ҳисобчиси 4 «санайди». Намуна синганда электродвигател ва айланышлар ҳисобчиси ўз-ўзидан тўхтайди.

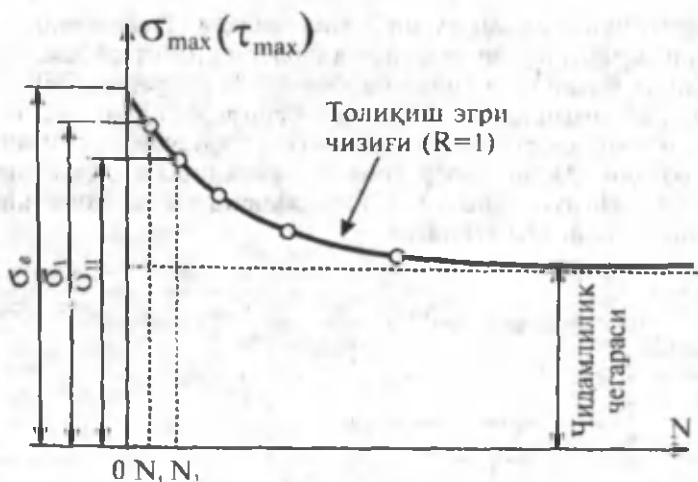


XIV.II-шакл.

Тажриба ўтказиш қуйидаги тартибда олиб борилади.

Биринчи намуна машинанинг қисқичларига ўрнатилиб, унга симметрик циклли күчланиш $\sigma_1 = \sigma_{max} = -\sigma_{min}$ таъсир эттирилади. Одатда, σ_1 нинг қиймати айни материалнинг мустаҳкамлик чегараси σ_a дан кичик қилиб олинади (XIV.12-шакл).

Цикллар сони N_1 га етгач (буни айланышлар ҳисобчиси санайди), намуна емирилади ҳамда машина ўз-ўзидан тўхтайди. Шундан сўнг иккинчи намунани олиб, уни $\sigma_{II} = \sigma_{max} = -\sigma_{min} < \sigma_1$ күчланиш билан юклаймиз. Иккинчи намунага таъсир этувчи күчланиш σ_1 дан кичик бўлганлиги сабабли, у кўп цикллардан кейин синиши табиий, яъни $N_{II} > N_1$.



XIV. 12-шакл

Шу тариқа намуналар кетма-кег синалиб, тажриба натижалари асосида чидамлилик зерниң чизиги деб аталувчи $\sigma_{max} = f(N)$ графиги қурилади (XIV.12-шакл). Одатда, бу зерниң чизиккә **Веллер** зерниң чизиги деб юритилади.

Бү ерда σ_{max} -циклинг максимал күчланиши;

N - наименование юридического лица

Графикдан чидамлилик чегараси σ_+ , этри чизиқнинг асимптотик равишда штрихланган түғри чизиқка яқинлашган жойидаги ординатаси одинарди.

Тажрибалар шуну тасдиқладыки, агар намуна 10^7 марта айланғандан сұнг емирилмаса, ундан күп айланишларда емирилмайди. Шунинг учун қора металл (пұлат, чүян ва шу каби) лардан ясалған намуналар синови 10^7 , рангли металл (мис, алюминий ва шу каби) лар учун эса 10^8 марта айланишдан сұнг тұхтатилади. Рангли металлар учун курилған чидамлилик зәрі чизиқлари асимптотага зәрбейттік болады, балки айланишлар сони ортиши билан зәрі чизиқ нолға тушади. Юқорида қайд қылған цикллар сони тұғрисида тасаввурға зәрбейттік болады. Мисолни өзгөйтіңдегі мисолни көрсөткөнде, оның күйидегі мисоли 3- 10^6 та циклни үтайды.

Пұлат материаллари устида үткәзилған тажрибалар натижасында қызылиш ва буралиш деформацияларининг чидамлилік

чегаралари билан эгилишнинг чидамлилик чегаралари орасида қуидаги тақрибий боғланишлар мавжудлиги аниқлашган:

$$\left. \begin{array}{l} \sigma_{-1}^0 = 0,7 \cdot \sigma_{-1} \\ \tau_{-1} = 0,58 \cdot \sigma_{-1} \end{array} \right\} \quad (a)$$

бунда σ_{-1} -эгилишдаги чидамлилик чегараси;

σ_{-1}^0 -чўзилиш ва сиқилишдаги чидамлилик чегараси;

τ_{-1} -буралишдаги чидамлилик чегара си.

Энди чидамлилик чегараларини мустаҳкамлик чегараси билан боғлайдиган эмпирик формулаларни келтирамиз:

$$\left. \begin{array}{l} \sigma_{-1} = 0,4 \sigma_B \\ \sigma_{-1}^0 = 0,28 \sigma_B \\ \tau_{-1} = 0,22 \sigma_B \end{array} \right\} \quad (b)$$

14.5-§. Симметрик бўлмагав цикл учун чегаравий амплитудалар диаграммаси

Носимметрик циклли кучланишига таъсиридаги конструкция қисмларининг чидамлилик чегарасини аниқлашда В.еер эгри чизигидан эмас, балки ундан бошқачароқ бўлган чегаравий амплитудалар диаграммасидан фойдаланиланиш мақсадга мувофиқдир (XIV.13-шакл).

Агар циклнинг чегара амплитудаси $\sigma_a = 0$ бўлса, у ҳолда емирилиш циклнинг ўртача кучланиши $\sigma_m = \sigma_B$ да содир бўлади.

Агар $\sigma_m = 0$ бўлса, емирилиш $\tau_a = \sigma_{-1}$ кучланишида содир бўлади.

Чегаравий амплитудалар диаграммасидаги исталган нуқталар учун чидамлилик чегараси

$$\sigma_R = C_{max}^u = \sigma_m^u + \sigma_a^u$$

га тенг.

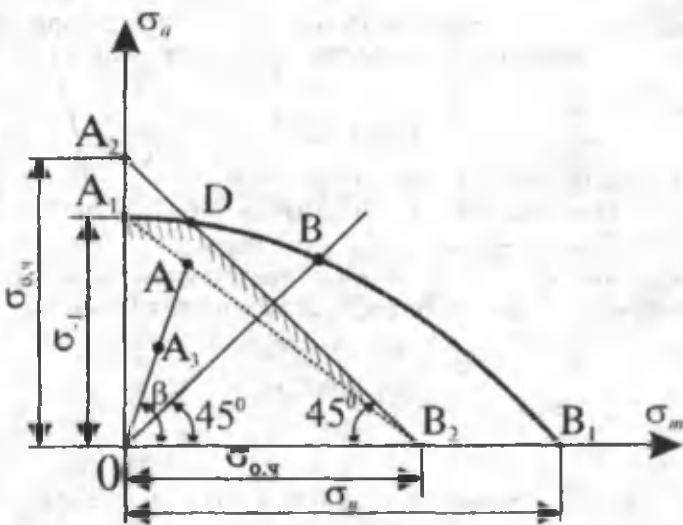
Диаграммадаги В нуқта тепки циклидаги чидамлилик чегарасига мос келади, чунки унда

$$\sigma_a^u = \sigma_m^u = 0,5\sigma_0$$

Пластик материаллар учун

$$\sigma_a^u + \sigma_m^u \leq \sigma_y$$

бўлганлиги сабабли, $\sigma_{max} = \sigma_a + \sigma_m = \sigma_y$ тенглама бўйича A_2B_2 тўғри чизигини чизиш мумкин.



XIV.13-шакл.

Шуни қайд қилиб ўтиш лозимки, чидамлилик чегараси аниқланаётган нүктә A_1DB_2 чизигининг ташқарисида ётса, у ҳолда дегал емирилишга учраган ёки пластик деформация зонасида ишлаётган бўлади.

Борди-ю, нүктә OA_1DB_2 соҳа ичидаги пайдо бўлса, у ҳолда дегал хавфсиз цикл билан ишилаётган бўлади.

14.6-§. Ўзгарувчан кучланишларда мустаҳкамликка ҳисоблаш

Ўзгармас кучланишларда бўлганидек, ўзгарувчан кучланишларда ҳам конструкция қисмларининг мустаҳкамлигини баҳолашда ҳақиқий эҳтиёт коэффициенти n ни жоиз эҳтиёт коэффициенти n_{adm} билан таққослаш лозим:

$$n \geq n_{adm}$$

Маълумки, ўзгармас кучланишлар таъсирида ишилаётган конструкция қисмлари учун n ни топишда чегаравий ҳолатни аниқлайдиган битта катталик – мустаҳкамлик чегараси ёки

оқиши чегарасини билиш етарли зди. Шунингдек, симметрик цикл билан ўзгарувчан кучланишларда ҳам чегаравий ҳолат фақат σ_{-1} билан ифодаланади. Аммо, симметрик бўлмаган циклни кучланишлар таъсиридаги конструкция қисмларининг чегаравий ҳолатини иккита σ_m ва σ_a катталиклар белгилайди. Шу жиҳатдан қараганда, носимметрик цикл учун и ни аниқлаш масаласи бирмунча мураккабдир.

Дастлаб, чегаравий амплитудалар диаграммасидан фойдаланиб силлиқ сиртли намуна учун ҳақиқий эҳтиёт коэффициентини аниқлашни кўриб чиқамиз. Ҳисоблашни осонлаштириш мақсадида Зодерберг таклиф қилганидек, диаграмманинг A_1B_2 тўғри чизиги билан чегараланган соҳасидан фойдаланамиз. A_1B_2 тўғри чизиги координата ўқларини σ_{-1} ва $\sigma_{a,4} = \sigma_y$ кесмаларга ажратади, шу сабабли унинг тенгламаси:

$$\frac{\sigma_{m4}}{\sigma_y} + \frac{\sigma_{a4}}{\sigma_{-1}} = 1 \quad (\text{XIV.20})$$

Бирор носимметрик цикл учун чидамлилик чегарасини аниқлашда координата бошидан $\operatorname{tg} \beta = \frac{\sigma_{aA}}{\sigma_{mB}}$ бурчак остида OA тўғри чизигини ўтказамиз.

Юқоридагиларни эътиборга олиб, ихтиёрий A нуқта учун

$$\sigma_{a4} = \sigma_{\max A} \frac{1 - R_\sigma}{2}; \quad \sigma_{m4} = \sigma_{\max A} \frac{1 + R_\sigma}{2} \quad (\text{XIV.21})$$

кўринишдаги ифодаларга эга бўламиш.

Буларни (XIV.20) га қўйиб, $\sigma_{\max A}$ ни топамиш:

$$\sigma_{\max A} = \frac{2\sigma_y \sigma_{-1}}{\sigma_y (1 - R_\sigma) + (1 + R_\sigma)} \quad (\text{XIV.22})$$

Ихтиёрий $A(\sigma_m, \sigma_a)$ нуқта учун мустаҳкамликнинг ҳақиқий эҳтиёт коэффициенти қўйидагича бўлади:

$$n_{\sigma} = \frac{\sigma_{\max A}}{\sigma_{\max}} = \frac{2\sigma_y \sigma_{-1}}{\sigma_{\max} \sigma_y \left[(1 - R_{\sigma}) + \frac{\sigma_{-1}}{\sigma} (1 + R_{\sigma}) \right]} = \\ = \frac{2\sigma_{-1}}{\sigma_{\max} \left(\frac{2\sigma_a}{\sigma_{\max}} + \frac{\sigma_{-1}}{\sigma_y} \cdot \frac{2\sigma_m}{\sigma_{\max}} \right)} = \frac{\sigma_{-1}}{\sigma_a + \phi_{\sigma} \sigma_m} \quad (XIV.23)$$

бунда $\phi_{\sigma} = \frac{\sigma_{-1}}{\sigma_y}$ - түгри чизиқнинг бурчак коэффициенти.

Худди шу тарзда урунма кучланишлар учун

$$n_{\tau} = \frac{\tau_{-1}}{\tau_a + \phi_{\tau} \tau_m} \quad (XIV.24)$$

ифодани ёзиш мумкин.

Текширишлардан маълумки, деталларнинг толиқиши мустаҳкамлиги уларнинг ўлчамлари, шакли ва сиртининг ҳолатига боғлиқдир. Булар тегиштича масшаб коэффициенти k_d , сиртқи сезгирилик коэффициенти k_F ва кучланишлар тўпланиши (концентрацияланиши) нинг самарали коэффициенти k_n лар орқали ҳисобга олинади.

Эслатма: материаллар қаршилиги лугатларида турли материаллар учун k_o , β ва k_{σ} ларнинг қийматлари берилган.

Юқоридаги коэффициентларни эътиборга олиб, эҳтиёт коэффициентни қўйидагича ёзамиш:

$$n_{\sigma} = \frac{\sigma_{-1}}{\frac{k_{\sigma}}{k_d k_F} \sigma_a + \phi_{\sigma} \sigma_m} \quad (XIV.25)$$

еки

$$n_{\tau} = \frac{\tau_{-1}}{\frac{k_{\sigma}}{k_d k_F} \tau_a + \phi_{\tau} \tau_m} \quad (XIV.26)$$

Симметрик цикл учун $\sigma_m = 0$, $\tau_m = 0$ бўлганлиги сабабли юқоридаги ифодалар бироз соддалашади:

$$n_{\sigma} = \frac{\sigma_{-1}}{\frac{k_{\sigma}}{k_d k_F} \sigma_a}; \quad n_{\tau} = \frac{\tau_{-1}}{\frac{k_{\sigma}}{k_d k_F} \tau_a} \quad (\text{XIV.27})$$

Мураккаб кучланиш ҳолатида, хусусан буралиш билан биргалиқда эгилиш ёки чўзилиш (сиқилиш) деформациялари ҳам содир бўлганда ҳақиқий эҳтиёт коэффициенти қуидагича топилади:

$$n = \frac{n_{\sigma} n_{\tau}}{\sqrt{n_{\sigma}^2 + n_{\tau}^2}} \quad (\text{XIV.28})$$

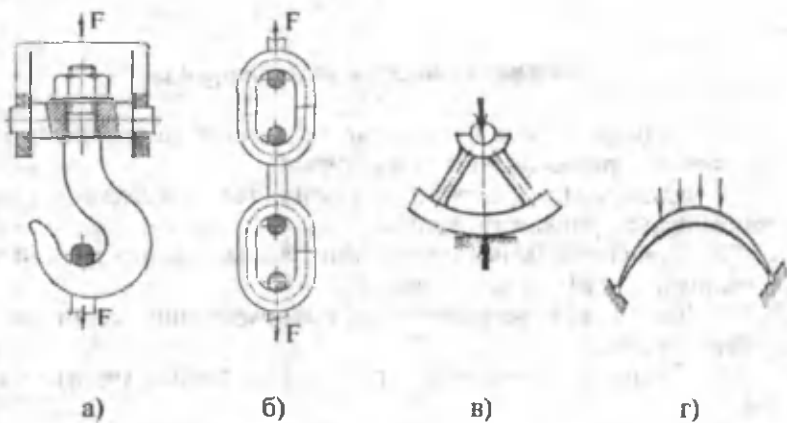
Назорат саволлари ва топшириқлар

1. Зарбали юкларга мисоллар келтиринг ва уларнинг ўзига хос томонларини қисчача тушунтиринг.
2. Юкларнинг зарбий таъсиридан амалда қандай мақсадларда фойдаланилади?
3. Зарбали кучланишларни аниқлаш мақсадида қандай чекланишларга йўл қўйиш мумкин?
4. Динамик коэффициентнинг формуласини ёзинг ва уни тушунтиринг.
5. Ўзгарувчан кучланишларни амалда қаерда учратиш мумкин?
6. Кучланиш цикли деганда нимани тушунасиз ва у қандай параметрлар билан тавсифланади?
7. Металларнинг «толикиши» ёки «чарчаши» деганда нималарни тушунасиз?
8. Материалларнинг чидамлилик хусусиятини изоҳланг; чидамлилик чегараси нима?
9. Велер эгри чизиги қандай ҳосил қилинади?
10. Конструкция қисмларининг ўзгарувчан кучланишларда мустаҳкамлигини баҳолайдиган коэффициент қандай аниқланади?

XV БОБ. ЭГРИ БРУСЛАР ҲИСОБИ

15.1-§. Үмумий муроҳазалар

Мұхандислик амалиётида түғри бруслар билан бир қаторда әгри бруслар ҳам көнг күләмдә ишлатилади. Юк күтариш краннининг илмоги, занжир халқалари, ғилдирак түғини, арка ва шу кабилар әгри бруслар мисол бўлади (XV.1-шакл).



XV.1-шакл

Биз фақат текис әгри брусларни - геометрик ўқи күндаланг кесим оғирлик марказидан ўтувчи әгри чизиқдан иборат бўлган брусларни мустаҳкамлилкка текшириш билан шуғулланамиз.

Әгри брусларни лойиҳалаш ва ҳисоблаш жараёнларида қуйидаги чекланишларга таяномиз:

- әгри брусларнинг күндаланг кесими энг камидан битта симметрия ўқига эга;
- әгри брусларнинг ўқи күндаланг кесим оғирлик марказидан ўтувчи текис әгри чизиқдан иборат бўлиб, унинг симметрия текислигига ётади;

- эгри брусларга қўйилган барча ташқи юклар унинг симметрия текислигига ётади;
- эгри бруслар ўзгармас ёки ўзгарувчан бикрликка эга; ҳатто унинг кўндаланг кесими ўқи бўйлаб шақлан ўзгариши ҳам мумкин (XV.1-шакл. а).

Эгри брусларнинг исталган кўндаланг кесими юзасидаги ички зўриқишилар учта ташкил этувчиларга: бўйлама куч N , кўндаланг куч Q ва эгувчи момент M га келтирилади (XV.2-шакл).



a)

б)

XV.2-шакл

Бир учи билан қистириб маҳкамланган, иккинчи учи эса $F = \text{const}$ куч қўйилган эгри бруслар учун кесиш усули ёрдамида ички зўриқишиларнинг аналитик ифодаларини тузамиз (XV.3-шакл, а):

$$\left. \begin{array}{l} N_\varphi = F \cdot \sin \varphi \\ Q_\varphi = F \cdot \cos \varphi \\ M_\varphi = FR \cdot \sin \varphi \end{array} \right\} \quad (\text{a})$$

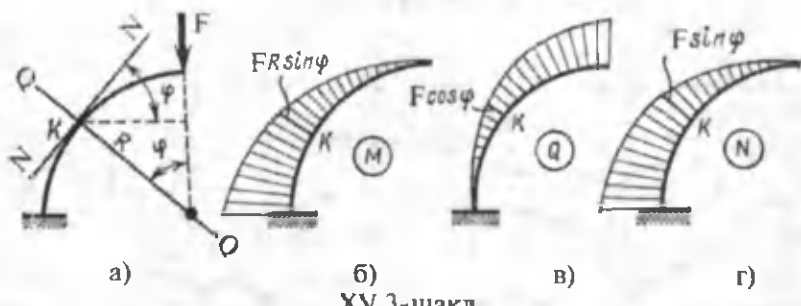
Бу ерда, $0 \leq \varphi \leq \frac{\pi}{2}$ бўлади.

Юқоридаги ифодалар ёрдамида аниқ масштаб билан ички зўриқиши: M_φ , Q_φ ва N_φ ларнинг эпюраларини осонгина қуриш мумкин (XV.3-шакл, б,в,г).

Эгри брусларни лойиҳалаш-ҳисоблаш жараёнларида жуда кўп йиллар давомида тўғри бруслар учун келтириб чиқарилган

$$\sigma_n = \frac{N}{A}, \quad \sigma_M = \frac{M_z}{J_z} y, \quad \tau_Q = \frac{QS^{\text{amp}}}{b J_z} \quad (6)$$

формулалар қўлланилган.



XV. З-шакл.

Аммо назарий ва амалий тадқиқотлар шуни тасдиқлады-
ки, күпинча $\sigma_M = \frac{M_s}{J_x}$ у формула бүйича ўтказилған ҳисоблаш

оқибатида ҳатто 50 фойзгача католикларга йўл қўйилар экан. Шу боис эгри брусларни, айниқса мустаҳкамликка ҳисоблаш жараёнларида эгувчи моментнинг таъсирини алоҳида эътиборга олиш, аниқроғи уларнинг соғ эгилишини муфассал ўрганиш зарур.

(б) ифоданинг биринчи ва учинчилари етарлича аниқ на-
тижалар беради.

15.2-§. Эгри брусларнинг соғ эгилиши

Агар эгри брус фақат жуфт күч таъсирида бўлса соғ эгилиш содир бўлади (XV.4-шакл, а).

Эгри бруснинг кўндаланг кесимларида пайдо бўлувчи нормал кучланишни аниқлашда қўйидаги чекланишларга асосланамиз:

- эгри брус эгилганда унинг деформациягача текис ва ўққа нисбатан тик бўлган кесим юзи деформациядан кейин ҳам текис ва ўққа тиклигича қолади;
 - эгри брус эгилганда унинг эгри чизиқли толалари бир-бирларига босим кўрсатмайди.

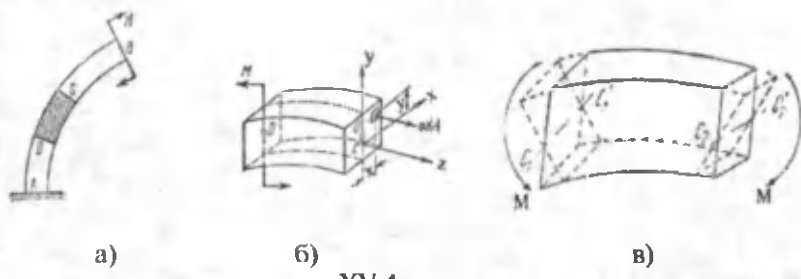
Масалани ҳар галгидек статик, геометрик ва физик нүқтәи назардан таҳдил қиласыз.

а) масаланың статик томони.

XV.4-шакл, б да келтирилган бўлакча учун қуидаги мувозанат тенгламаларини ёзамиз:

$$\left. \begin{array}{l} \int_A \sigma dA = 0 \\ \int_A \sigma y dA - M = 0 \\ \int_A \sigma x dA = 0 \end{array} \right\} \quad (a)$$

Изоҳ: (a) формуладаги учинчи интегралнинг нолга тенглиги кесим нозанинг уйғага нисбатан симметрик эканлигидан далолат беради.



a)

б)

в)

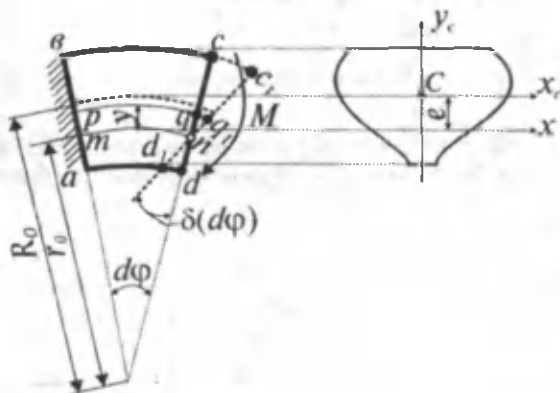
XV.4-шакл

б) геометрик томони.

Эгувчи момент таъсирида эгри брусадан ажратилган бўлакчанинг чап ва ўнг кесимлари тегишлича $C_1C'_1$ ва $D_1D'_1$ нейтрал ўқлар атрофида маълум бурчакка айланади* (деформациядан кейинги ҳолат XV.4-шакл, в да ингичка чизиқ билан тасвиранланган). Пировардиа нейтрал ўқдан юқорида жойлашган толалар чўзилиб, пасткилари сиқилади; нейтрал қатламустида ётган толаларнинг узунлиги эса ўзгармасдан қолади.

* шу параграфнинг охирида нейтрал ўқ кесим оғирлик марказидан утмаслиги исботланади.

Соф эгилишга қаршилик күрсатаётган бирорта эгри брусьдан бир-бирига чексиз яқин жойлашган иккита күндаланг кесим ёрдамида $abcd$ бўлакчани ажратамиз (XV.5-шакл); агар бўлакчанинг чап учини фикран маҳкамлаб, ўнг учига M эгувчи момент таъсири эттирилса, cd кесим нейтрал ўқ атрофида айланниб, c_1d_1 ҳолатни эгаллайди. Агар эгри брусьнинг ўқигача бўлған эгрилик радиусини r , нейтрал қатламгача бўлған эгрилик радиусини r_0 , $mn = ds$ га тегишили марказий бурчакни эса $d\phi$ билан белгиласак, у ҳолда $ds = r_0 d\phi$ бўлади.



XV.5-шакл

Нейтрал қатламдан у масофада жойлашган pq толанинг деформациягача бўлған узунлиги

$$pq = (r_0 + y) d\phi$$

га тенг бўлади; эгилиш натижасида бу тола qq_1 узунликка чузилади:

$$qq_1 = y \cdot \Delta(d\phi)$$

У ҳолда pq толанинг нисбий чўзилиши:

$$\varepsilon = \frac{qq_1}{pq} = \frac{y \cdot \Delta(d\phi)}{(r_0 + y)d\phi} \quad (6)$$

в) масаланинг физик томони.

(б) ифодани назарда тутиб, Гук қонуни ёзамиш:

$$\sigma = E\varepsilon$$

еки

$$\sigma = E \cdot \frac{\Delta(d\varphi)}{d\varphi} \cdot \frac{y}{(r_0 + y)} \quad (8)$$

жар бир күндалант кесим учун $E \cdot \frac{\Delta(d\varphi)}{d\varphi}$ ўзгармас миқдор ҳисобланади.

г) синтез.

(в) ни навбат билан мувозанат тенгламаларига келтириб қўямиз:

$$\left. \begin{array}{l} \int_{(A)} E \cdot \frac{\Delta(d\varphi)}{d\varphi} \cdot \frac{y}{(r_0 + y)} \cdot dA = 0 \\ \int_{(A)} E \cdot \frac{\Delta(d\varphi)}{d\varphi} \cdot \frac{y}{(r_0 + y)} \cdot ydA - M = 0 \end{array} \right\}$$

еки

$$\left. \begin{array}{l} E \cdot \frac{\Delta(d\varphi)}{d\varphi} \int_{(A)} \frac{y}{(r_0 + y)} dA = 0 \\ E \cdot \frac{\Delta(d\varphi)}{d\varphi} \int_{(A)} \frac{y^2}{(r_0 + y)} dA - M = 0 \end{array} \right\} \quad (9)$$

$E \cdot \frac{\Delta(d\varphi)}{d\varphi}$ кўпайтма нолдан фарқли. Бундан

$$\int_{(A)} \frac{y}{(r_0 + y)} dA = 0 \quad (\text{XV.1})$$

эканлиги келиб чиқади.

Охирги муносабат нейтрал қатламни топиш шарти ҳисобланади.

Иккинчи интегрални қўйидагича ўзгартирамиз:

$$\int_{(A)} \frac{y^2}{r_0 + y} dA = \int_{(A)} \frac{y^2 + r_0 y - r_0 y}{r_0 + y} dA = \int_{(A)} \frac{y(r_0 + y) - r_0 y}{r_0 + y} dA = \int_{(A)} ydA - r_0 \int_{(A)} \frac{y}{r_0 + y} dA$$

Бу ифоданинг биринчи ҳади нейтрал ўқга нисбатан олинган статик моментга, иккинчи ҳади эса (XV.1) формулага биноан нолга тенг:

$$\int_A \frac{y^2}{r_0 + y} dA = S_x \quad (\text{XV.2})$$

Шундай қилиб, мувозанат тенгламасининг иккинчиси қўйидаги қўринишни эгаллайди:

$$E \frac{d(d\phi)}{d\phi} \cdot S_x - M = 0 \quad (\text{XV.3})$$

Изоҳ: охирги ифодадан қўрамизки, $S_x \neq 0$; шунинг учун эгри брусларда нейтрал ўқ кесимнинг оғирлик марказидан ўтмайди.

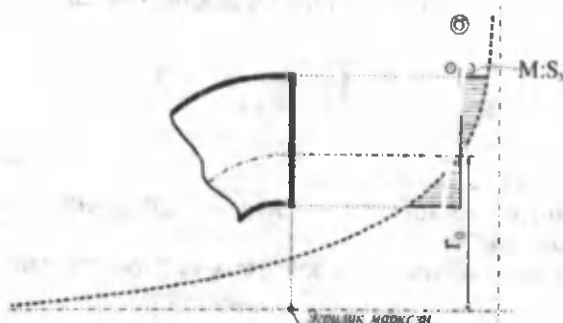
Юқоридаги ифодалардан қўйидаги муносабатни замиз:

$$E \cdot \frac{d(d\phi)}{d\phi} = \frac{M}{S_x}$$

Охирги ифодани (6) та қўйиб, нормал кучланини формуласини ҳосил қиласиз:

$$\sigma_M = \frac{M}{S_x} \cdot \frac{y}{r_0 + y} \quad (\text{XV.4})$$

Демак, эгри бруснинг кесимидағи нормал кучланиш эпюраси гиперболик қонуният бўйича ўзгарар экан (XV.6-шакл).



XV.6-шакл

Иiperболанинг асимптоталари ишкита түри чизиқдан иборат уларнинг биринчиси кесимга тик бўлиб, бруснинг эргилик маъказидан ўтади, иккинчиси эса эпюланнинг нул чизигига паралел бўлиб, ундан $\frac{M}{S_x}$ масофа узоқликда ўтади.

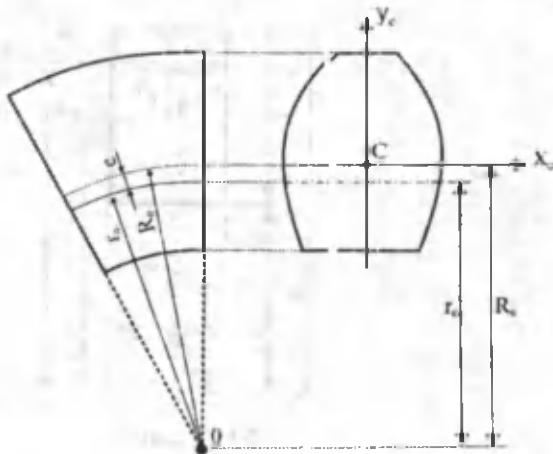
(XV.4) формуладан кўриниб тури ёдики, σ_m ни ҳисоблаш учун аввало, нейтрал ўқнинг ҳолатини, яъни r_0 ни аниқлаш зарур. Кейин эса кўндаланг кесим юзанинг нейтрал ўқка нисбатэн статик момент S_x ни топиш мумкин:

$$S_x = Ae = A(R_0 - r_c)$$

Бу ерда, e -кесим оғирлик марказидан нейтрал ўққача бўлган масофа;

R_0 -брус ўқининг эргилик радиуси.

Энди соғ эгилишда эгри бруснинг нейтрал ўқи ҳолатини аниқлашга ўтамиз.



XV.7-шакл

Нейтрал ўқнинг ҳолатини аниқлаш учун (XV.1) шартдан фойдаланамиз; ундаги у нинг ўрнига бошқа ўзгарувчи, яъни r ни киритамиз. Агар кўндаланг кесимдаги бирор dA юзачанинг эргилик марказидан ўтувчи ўққача бўлган масофасини r десак (XV.7-шакл), у ҳолда $y = r - r_0$ бўлади. Бу ни (XV.1) га қўямиз:

$$\int_{(A)} \frac{y}{r_0 + y} dA = \int_{(A)} \frac{r - r_0}{r} dA = \int_{(A)} dA - r_0 \int_{(A)} \frac{dA}{r} = \int_{(A)} A - r \int_{(A)} \frac{dA}{r} = 0$$

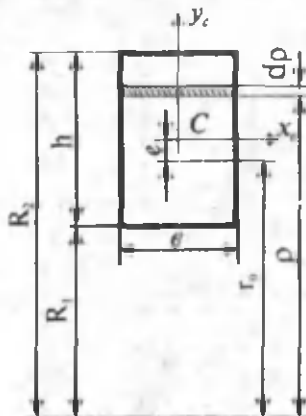
Натижада

$$r_0 = \frac{\bar{A}}{\int_{(A)} \frac{dA}{r}} \quad (\text{XV.5})$$

ифодага эга бўламиз.

(XV.5) формула ёрдамида турли хил шаклли кесимлар учун нейтрал ўқнинг ҳолатини аниқловчи радиусни топиш мумкин.

Хусусий ҳол. Фараз қиласлик, эгри бруснинг кесими тўғри тўртбурчакли бўлсин (XV.8-шакл).



XV.8-шакл.

Текшираётган ҳол учун $dA = \sigma d\rho$ га teng; шу сабабли

$$\int_A \frac{dA}{\rho} = \sigma \int_{R_1}^{R_2} \frac{d\rho}{\rho} = \sigma (\ln R_2 - \ln R_1) = \sigma \cdot \ln \frac{R_2}{R_1}$$

Демак, түғри түртбұрчаклы кесимлар учун нейтрал үқнинг ҳолати

$$r_0 = \frac{h}{\ln \frac{P_2}{P_1}} \quad (\text{XV.6})$$

формула ёрдамида анықланади.

Назорат саволлари ва топшириқтар

1. Амалда күп учрайдиган эгри брусларга мисоллар келти-
ринг ва уларнинг күндаланг кесимларида қандай ички зўриқишилар пайдо бўлишини тушунтиринг.
2. Эгри брусларни ҳисоблашдаги чекланишларни баён қилинг.
3. Эгри бруснинг күндаланг кесимида ҳосил бўладиган нормал кучланишлар қандай анықланади?
4. Эгри бруснинг соф эгилишини тушунтиринг.
5. Нейтрал үқнинг ҳолати қандай формула ёрдамида анықланади?

XVI БОБ. ЮПҚА ДЕВОРЛИ ИДИШЛАР ВА ҚАЛИН ДЕВОРЛИ ҚУВУРЛАР ҲИСОБИ

16.1-§. Ички босим таъсиридаги юпқа деворли идишлар

Түрли хил суюқлик, сиқылган газ ва сочилиувчан материалдар сақланадиган жисмлар идишлар деб аталауди.

Одатда, идиш деворларининг қалинлигини тенг иккига ажратувчи текислик ўрта текислик деб юритилади.

Деворларининг қалинлиги δ ўрта текислигининг энг кичик бош эгрилик радиуси ρ билан $\delta < 0,05\rho$ муносабатда бўлган идишлар юпқа деворли идишлар дейилади.

Кўпинча юпқа деворли идишлар қобиқлар ҳам деб юритилади.

Қобиқларниң деворларида фақат чўзувчи ёки сиқувчи кучланишлар пайдо бўлиб, улар эгилишга қаршилик кўрсатмайди деб фараз қилинади. Зотан бундай мулоҳазаларга таяниб цистерна, бак, буғ қозонлари, ички ёнув двигателининг цилиндрлари ва шу кабиларни мустаҳкамлик ва бикрликка ҳисоблаганда олинган натижалар ҳақиқатга жуда яқин туриши назарий ва амалий жиҳатдан исботланган.

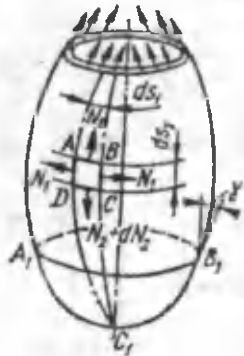
Мұхандислик амалиётидә цилиндрик, сферик ва конуссимон шакллардаги қобиқлар кўп ишлатилади.

Айланма сирт шаклидаги қобиқ (идиш) айланиш ўқига нисбатан симметрик равишда қўйилган ички босим ρ таъсирида бўлсин (XVI.1-шакл, а).

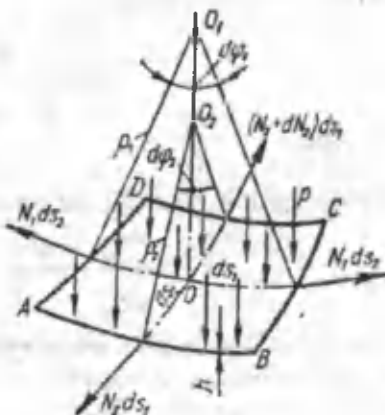
Идишни ҳисоблаш формуласини келтириб чиқариш талаб этилади.

Айтайлик, идиш деворининг қалинлиги δ , бўйлама кесимга тўғри келадиган эгрилик радиуси (меридиан бўйича) ρ_m , кўндаланг кесимга тўғри келадиган эгрилик радиуси (кенглик бўйича) эса ρ_θ бўлсин.

Идиш деворидан иккита меридионал ва иккита айланма текисликлар ёрдамида чексиз кичик *ABCD* элементни ажратиб оламиз (XVI.1-шакл, б).



a)



б)

XVI.1-шакл.

Ажратылған бұлакча текис күчланиш ҳолатида бўлади, чунки унга фақат σ_t айланма ($\sigma_t = \frac{N_1}{h}$) ва σ_m меридионал ($\sigma_m = \frac{N_2}{h}$) бош нормал күчланишлар таъсир қилади.

Элемент ёқларига $\sigma_m \delta ds_t$, ва $\sigma_t \delta ds_m$ күчлар, унинг ички сиртига эса тенг таъсир этувчиси $p \delta ds_t \delta ds_m$ га тенг бўлган күч таъсир кўрсатади.

Барча күчларни OO_1 нормал йўналишига проекциялаймиз:

$$2\sigma_m \delta ds_t \cdot \sin \frac{d\phi_m}{2} + 2\delta_t \delta ds_m \sin \frac{d\phi_t}{2} - p \delta ds_t \delta ds_m = 0 \quad (a)$$

Кичик бурчаклар учун

$$\sin \frac{d\phi_m}{2} \approx \frac{d\phi_m}{2}, \quad \sin \frac{d\phi_t}{2} \approx \frac{d\phi_t}{2}$$

эканлиги маълум. У ҳолда:

$$\sigma_m \cdot \frac{d\varphi_m}{ds_m} + \sigma_t \cdot \frac{d\varphi_t}{ds_t} = \frac{p}{\delta} \quad (6)$$

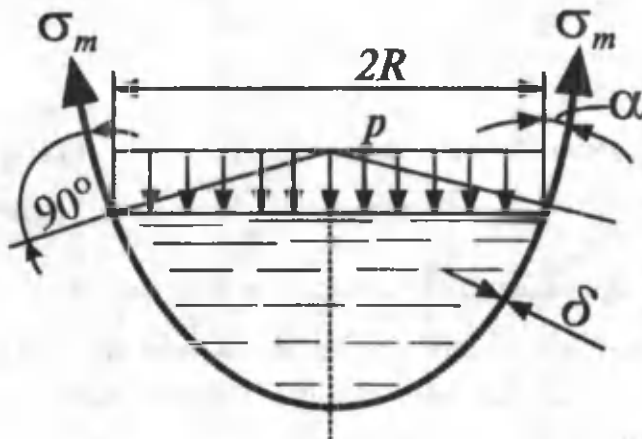
Чизмадан $\frac{d\varphi_m}{ds_m} = \frac{1}{\rho_m}$, $\frac{d\varphi_t}{ds_t} = \frac{1}{\rho_t}$,

муносабатларни ёзиб олиб, натижада қўйидагига эга бўламиш:

$$\frac{\sigma_m}{\rho_m} + \frac{\sigma_t}{\rho_t} = \frac{p}{\delta} \quad (\text{XVI.1})$$

(XVI.1) ифода Лаплас тенгламаси дейилади.

Лаплас тенгламаси таркибида иккита номаълум: σ_m ва σ_t кучланишлар бор; шу боис яна битта қўшимча тенглама тузиш зарур.



XVI.2-шакл.

Кучланишлардан бири, масалан σ_m ни аниқлаш учун идишнинг қирқиб олинган ҳажмига таъсир қилувчи барча кучларнинг вертикал ўқса нисбатан проекцияларининг йигиндиси тенгламасини тузиш кифоя (XVI.2-шакл):

$$\sum Y_i = 0, \quad c_m \cdot 2\pi R \cdot \delta \cos \alpha - p \cdot \pi R^2 - Q_u + Q_c = 0 \quad (\text{в})$$

бунда Q_u -идишдан ажратилган қисмнинг хусусий оғирлиги;

Qe -идишда сақланадиган суюқлик ёки сочилувчан жисмларнинг оғирлиги.

Охирги тенгламадан σ_m ни топамиз:

$$\sigma_m = \frac{pR}{2\delta \cos \alpha} + \frac{(Q_c + Q_s)}{2\pi R \delta \cos \alpha} \quad (\text{XVI.2})$$

Мустаҳкамликнинг тўртинчи назарияси бўйича мустаҳкамлик шартини ёзамиш:

$$\sigma_{\text{рак}}^{IV} = \sigma_m^2 + \sigma_t^2 - \sigma_m \sigma_t \leq \sigma_{adm} \quad (\text{XVII.3})$$

Хусусий ҳоллар

1. Текис тақсимланган ички газ босими $p=q$ таъсир қиладиган сферик идиш (XVI.3-шакл).

Идишнинг симметриклигидан куйидагиларни ёзиш мумкин:

$$\rho_m = \rho_C - R;$$

$$\sigma_m = \sigma_f = \sigma$$

Буларни эътиборга олсак, Лаплас тенгламаси

$$2\frac{\sigma}{R} = \frac{p}{\delta} \quad (\text{r})$$

күринишни эгаллайди; натижада бош нормал күчланишнинг ички босим p ва идиш радиуси R га тұғри, девор қалинлиги δ га Эса тескари мутаносиб боғланишда эканлыги келиб чиқады:

$$\sigma = \frac{pR}{2\delta} \quad (\text{XVI.4})$$

Мустаҳкамликнинг тўртинчи назариялари бўйича мустаҳкамлик шартини ёзамиш:

$$\sigma_{\text{per}}^{\text{IV}} = \frac{pR}{2\delta} \leq \sigma_{\text{adm}} \quad (\text{XVI.5})$$

2. Текис тақсимланган ички газ ёки бүг босими $p=q$ тағсирдаги цилиндрик қозон (XVI.4-шакт).

Қозоннинг цилиндрик қисмидаги күндаланг кесимга тұғыр келадиган эгрилик радиусы r_1 цилиндр радиусынан, бүйлама ке-

симга түгри келадиган эгрилик радиуси ρ_m эса чексизликка айланади:

$$\rho_i = R, \quad \rho_m = \infty$$

Лаплас тенгламасидан:

$$\sigma_i = \frac{pR}{\delta} \quad (\text{XVI.6})$$

Текширилаёттан ҳолда $Q=Q_0 \approx 0$, $\alpha=0$ деб ҳисоблаб, (XVI.5) формуладан меридионал күчланишни топамиз:

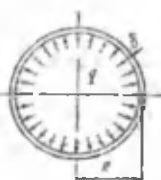
$$\sigma_m = \frac{pR}{2\delta} \quad \text{ёки} \quad \sigma_m = 0,5\sigma_i \quad (\text{XVI.7})$$



XVI.3-шакл.



XVI.4-шакл.



Бундан чиқди, цилиндрик идишларининг бўйлама кесимларидаги күчланишлар кўндаланг кесимларидаги күчланишлардан икки марта катта бўлар экан. Шунинг учун ҳам цилиндрик идишлардаги бўйлама парчин бирикма ёки пайванд чоклар кўндаланг кесимдагига нисбатан анча пухтароқ бўлиши шарт.

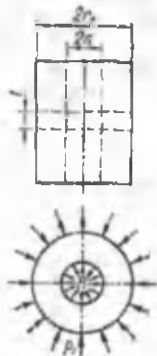
16.2-§. Қалин деворли қувурлар. Ламе масаласи

Ўз-ўзидан равшанки, XVI.5-шаклда тасвирланган қувур деворининг қалинлиги δ ва ўртача радиуси r_{ypr} мос равишда $\delta = r_2 - r_1$ ва $r_{ypr} = (r_2 - r_1)/2$ ифодалар ёрдамида аниқланади (бунда r_1 қувурнинг ички ва r_2 эса ташки радиуси).

Одатда, деворининг қалинлиги ўртача радиуси билан $\delta < 0$, Ir_{ypr} муносабатда бўлган қувурлар қалин деворли қувурлар дейилади.

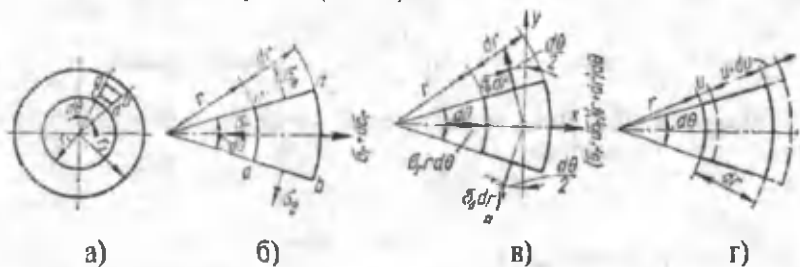
Қалин деворли қувурлар ҳисоби билан дастлаб 1852-1854 йилларда рус академиги А.И.Гадолин ва француз математиги Г.Ламелар шугулланганлар; хусусан, А.И.Гадолин ўт очувчи

қуролларнинг стволларини мустаҳкамлик ва бикрликка ҳисоблаган.



XVI.5-шакл.

Энди ички p_1 ва ташқи p_2 симметрик босимлар таъсиридаги қалин деворли «тубсиз», узун қувурларни ҳисоблаш масаласи билан танишиб чиқамиз (XVI.5).



XVI.6-шакл

Қувур симметрик юклантанлиги сабабли албатта, унинг деформацияси бўйлама ўқига нисбатан симметрик бўлиб, барча кўндаланг кесимлари учун бир хилдир. Шунинг учун қувурдан иккита кўндаланг кесим билан чегараланган, узунлиги бирга тенг бўлган халқа ажратиб, унинг кучланиш-деформацияланиш ҳолатларини таҳлил қилиш кифъя (XVI.6-шакл, а).

Ҳалқадан иккита радиал ва иккита цилиндрик кесимлар ёрдамида $abcd$ бўлакчани ажратиб оламиз (XVI.6-шакл, б); у ҳолда бўлакчанинг ён ёқларига σ_r (радиал) ва σ_θ (айланма ёки

тантенциал) кучланишлар таъсир кўрсатади. Ўз-ўзидан равшанки, бу кучланишлар бош кучланишлар бўлиб, улар умумий ҳолда $\sigma_r = f_1(p_1, p_2, r)$ ва $\sigma_\theta = f_2(p_1, p_2, r)$ кўринишидаги функциялар билан ифодаланади.

Одатдагидек, масаланинг статик, геометрик ва физик нуқтаи назардан таҳлил қиласиз.

a) масаланинг статик томони.

Ажратилган элемент учун кўйидаги мувозанат тенгламаларини тузамиз (XVI.6-шакл, в):

$$\left. \begin{array}{l} \sum_{i=1}^n R_i = 0 \\ \sum_{i=1}^n T_i = 0 \end{array} \right\} \quad (\text{a})$$

Аммо симметрик шартни иккинчи тенгламани айниятта келтиради. Шу сабабли биринчи тенглама кўйидагича ёзилади:

$$-\sigma_r r d\theta + (\sigma_r + d\sigma_r)(r + dr) d\theta - 2 \cdot \sigma_\theta dr \cdot \sin \frac{d\theta}{2} = 0 \quad (\text{б})$$

Кичик бурчаклар учун $\sin \frac{d\theta}{2} \approx \frac{d\theta}{2}$ дейиш мумкин.

Иккинчи тартибли чексиз кичик миқдорларни ташлаб, мувозанат тенгламасини

$$r \frac{d\sigma_r}{dr} + \sigma_r - \sigma_\theta = 0 \quad (\text{XVI.8})$$

кўринишида ёзив оламиз.

(XVI.8) тенгламада иккита номаълум кучланишлар бор. Шу туфайли қувурдаги кучланишларни топиш масаласи статик аниқмас ҳисобланниб, қўшимча тенглама тузишни тақоза этади.

b) масаланинг геометрик томони.

XVI.6-шакл, г дан фойдаланиб навбат билан радиал ва тантенциал йўналишлардаги нисбий деформацияларни аниқлаймиз:

$$\left. \begin{array}{l} \varepsilon_r = \frac{u + du - u}{dr} = \frac{du}{dr} \\ \varepsilon_\theta = \frac{(r + u)d\theta - rd\theta}{rd\theta} = \frac{u}{r} \end{array} \right\} \quad (\text{XVI.9})$$

бу ерда u - радиал кўчиш.

в) масаланинг физик томони.

Текис кучланиш ҳолати учун умумлашган Гук қонуни

$$\left. \begin{aligned} \varepsilon_r &= \frac{1}{E} (\sigma_r - \mu \sigma_\theta) \\ \varepsilon_\theta &= \frac{1}{E} (\sigma_\theta - \mu \sigma_r) \end{aligned} \right\} \quad (\text{B})$$

кўринишда ифодаланади.

Охирги ифодадан кучланишларни аниқлаймиз:

$$\left. \begin{aligned} \sigma_r &= \frac{E}{1-\mu^2} (\varepsilon_r + \mu \varepsilon_\theta) \\ \sigma_\theta &= \frac{E}{1-\mu^2} (\varepsilon_\theta + \mu \varepsilon_r) \end{aligned} \right\} \quad (\text{XVI.10})$$

г) синтез.

(XVI.9) ни эътиборга олиб, кучланишларни

$$\left. \begin{aligned} \sigma_r &= \frac{E}{1-\mu^2} \left(\frac{du}{dr} + \mu \frac{u}{r} \right) \\ \sigma_\theta &= \frac{E}{1-\mu^2} \left(\frac{u}{r} + \mu \frac{du}{dr} \right) \end{aligned} \right\} \quad (\text{XVI.11})$$

кўринишларда ёзиб оламиз.

Агар охирги ифодаларни мувозанат тенгламаси (XVI.8) га қўйисак, тегишли соддалаштиришдан сўнг радиал кўчишга нисбатан қўйидаги дифференциал тенглама ҳосил бўлади:

$$\frac{d^2 u}{dr^2} + \frac{1}{r} \cdot \frac{du}{dr} - \frac{u}{r^2} = 0 \quad (\text{XVI.12})$$

(XVI.12) ифода ўзгарувчан коэффициентли бир жинсли ва чизиқли дифференциал тенгламадир. Унинг ҳусусий интегралини қўйидагича излаймиз:

$$u = r^n \quad (\text{XVI.13})$$

бунда n -ҳозирча номаълум параметр.

(XVI.12) ни (XVI.13) га қўйиб, n ни аниқлаш учун қўйидаги характеристик тенгламага эга бўламиз:

$$n^2 - 1 = 0 \quad (\text{г})$$

Бу тенгламанинг ечимлари: $n_1 = 1$; $n_2 = -1$.

Буларни (XVI.13) га қўйиб, (XVI.12) нинг иккита хусусий интегрални топамиз:

$$u_1 = r; \quad u_2 = \frac{1}{r}.$$

Бундан чиқди, (XVI.12) нинг умумий интеграли

$$u = C_1 r + \frac{C_2}{r} \quad (\text{XVI.14})$$

кўринишида бўлар экан; бунда C_1 , C_2 –ихтиёрий ўзгармаслар.

Буни (XVI.11) га қўйиб, радиуси r бўлган цилиндрик сирт нуқталаридаги кучланишларни аниқлаймиз:

$$\begin{aligned} \sigma_r &= \frac{E}{1-\mu^2} \left[C_1(1+\mu) - C_2 \frac{(1-\mu)}{r^2} \right] \\ \sigma_\theta &= \frac{E}{1-\mu^2} \left[C_1(1+\mu) + C_2 \frac{(1-\mu)}{r^2} \right] \end{aligned} \quad (\text{XVI.15})$$

Ихтиёрий ўзгармас C_1 ва C_2 ларнинг қийматини қўйидаги чегаравий шартлардан топамиз:

$$r = r_1 \text{ булса } \sigma_r = -p_1 \text{ бўлади;}$$

$$r = r_2 \text{ бўлса } \sigma_r = -p_2 \text{ бўлади.}$$

Бу шартлардан қўйидаги иккита тенглама ҳосил бўлади:

$$\begin{aligned} -p_1 &= \frac{E}{1-\mu^2} \left[C_1(1+\mu) - C_2 \frac{(1-\mu)}{r_1^2} \right] \\ -p_2 &= \frac{E}{1-\mu^2} \left[C_1(1+\mu) + C_2 \frac{(1-\mu)}{r_2^2} \right] \end{aligned} \quad (\text{д})$$

Бу тенгламалардан C_1 ва C_2 ларни осонгина толиш мумкин:

$$C_1 = \frac{1-\mu}{E} \cdot \frac{r_1^2 p_1 - r_2^2 p_2}{r_2^2 - r_1^2}$$

$$C_2 = \frac{1 + \mu}{E} \cdot \frac{r_1^2 r_2^2 - (p_1 - p_2)}{r_2^2 - r_1^2}$$

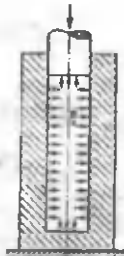
Буларни (XVI.14) ва (XVI.15) ларга құйсак, тегишлича радиал күчиш ҳамда радиал ва тангенциал күчләнешләрни аниқлайдыган Ламе формулалари келиб чиқады:

$$u = \frac{1 - \mu}{E} \cdot \frac{r_1^2 p_1 - r_2^2 p_2}{r_2^2 - r_1^2} \cdot r + \frac{1 + \mu}{E} \cdot \frac{r_1^2 r_2^2 (p_1 - p_2)}{r_2^2 - r_1^2} \cdot \frac{1}{r} \quad (\text{XVI.16})$$

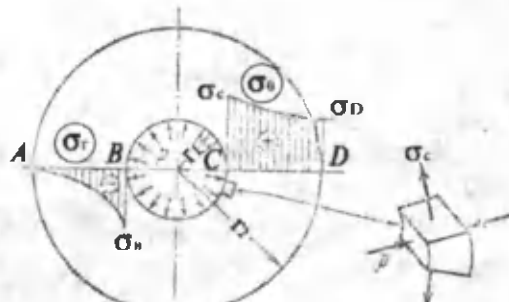
$$\left. \begin{aligned} \sigma_r &= \frac{r_1^2 p_1 - r_2^2 p_2}{r_2^2 - r_1^2} - \frac{r_1^2 r_2^2 (p_1 - p_2)}{r_2^2 - r_1^2} \cdot \frac{1}{r^2} \\ \sigma_\theta &= \frac{r_1^2 p_1 - r_2^2 p_2}{r_2^2 - r_1^2} + \frac{r_1^2 r_2^2 (p_1 - p_2)}{r_2^2 - r_1^2} \cdot \frac{1}{r^2} \end{aligned} \right\} \quad (\text{XVI.17})$$

Хусусий ҳоллар

- Айтайлык, қувур фақат ички босим таъсирида бўлсин, яъни $p_1 = p$, $p_2 = 0$ (XVI.7-шакл).



a)



б)

XVI.7-шакл

У ҳолда (XVI.17) формула бирмунча соддалашади:

$$\left. \begin{aligned} \sigma_r &= \frac{r_1^2}{r_2^2 - r_1^2} \left(1 - \frac{r_1^2}{r^2} \right) p \\ \sigma_\theta &= \frac{r_1^2}{r_2^2 - r_1^2} \left(1 + \frac{r_1^2}{r^2} \right) p \end{aligned} \right\} \quad (\text{XVI.18})$$

XVI.7-шакл, б да σ_r ва σ_θ кучланишларнинг эпюралари тасвирланган.

Бу эпюралардан кўриниб турибдики, σ_r сикувчи, σ_θ эса чўзувчи кучланишлар бўлар экан.

Кувурнинг ички сиртида тангенциал кучланиш энг катта қийматга

$$\sigma_\theta = \frac{r_2^2 + r_1^2}{r_2^2 - r_1^2} \cdot p, \quad (\text{XVI.19})$$

радиал кучланиш эса $\sigma_r = -p$ га эришади.

Кувурнинг ички сирти учун мустаҳкамлик шартини энг катга урунма кучланишлар назарияси бўйича ёзамиз:

$$\sigma_{\text{ши}} = (\sigma_\theta - \sigma_r)_{\text{max}} = \frac{r_2^2 + r_1^2}{r_2^2 - r_1^2} p - (-p)$$

еки

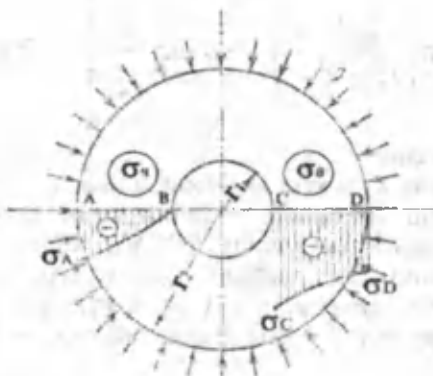
$$\sigma_{\text{ши}} = \frac{2r_2^2}{r_2^2 - r_1^2} p \quad (\text{XVI.20})$$

2. Кувур фақат ташқи босим таъсирида бўлсин, яъни $p_1 = 0$, $p_2 = -p$ (XVI.8-шакл).

Ендаи ҳолда ҳам Ламе формулалари ихчамлашади:

$$\left. \begin{aligned} \sigma_r &= -\frac{r_2^2}{r_2^2 - r_1^2} \left(1 - \frac{r_1^2}{r^2} \right) p \\ \sigma_\theta &= -\frac{r_2^2}{r_2^2 - r_1^2} \left(1 + \frac{r_1^2}{r^2} \right) p \end{aligned} \right\} \quad (\text{XVI.21})$$

σ_r ва σ_θ күчланишларининг эпюраларидан кўриниб турибдики, иккала күчланиш ҳам сиқувчи бўлиб, абсолют қиймати жиҳатидан $\sigma_\theta > \sigma_r$ экан.



XVI.8-шакл.

Мустаҳкамликнинг учинчи назариясига кўра:

$$\sigma_{\text{зин}} = \sigma_r - \sigma_\theta = 0 - \left(-\frac{2r_2^2}{r_2^2 - r_1^2} p \right)$$

еки

$$\sigma_{\text{зин}} = \frac{2r_2^2}{r_2^2 - r_1^2} p \quad (\text{XVI.22})$$

Иккала хусусий ҳолларни ҳам муфассал таҳлил қилиб, қўйидаги муҳим ҳуносаларга келиш мумкин:

- иккала ҳолда ҳам энг катта эквивалент күчланиш тенг;
- иккала ҳолда ҳам қувурнинг ички сиртида, мустаҳкамлик нуқтаси назаридан қарайдиган бўлсақ, энг ҳавфли нуқталар жойлашади. Бошқача айтадиган бўлсақ, оғэ күчланиш материалнинг оқувчанлик чегарасига етганда, қолдиқ деформациялар энг аввал қувурнинг ички сиртида ҳосил бўла бошлайди.

Ҳатто қувурнинг қалинлигини ошириш йўли билан ҳам унинг мустаҳкамлигини ҳоҳлаганча оширишга ёки қолдиқ деформацияларини камайтиришга эришиб бўлмас экан.

Масалан, фараз қилайлик қувурнинг қалинлиги чексиз катта миқдорга эга бўлсин. У ҳолда тенг кучли (эквивалент) кучланиш

$$\sigma_{\text{экв}} = \lim_{r_2 \rightarrow \infty} \left(\frac{2r_2^2}{r_2^2 - r_1^2} p \right) = 2p \lim_{r_2 \rightarrow \infty} \frac{1}{1 - \frac{r_1^2}{r_2^2}} = 2p \quad (\text{XVI.23})$$

кўринишни эгаллайди.

Охирги ифода жуда кенг маънони англатади: масалан, 1500 MPa босимни сақлаш мақсадида ишлатиладиган қувурни ясаш учун оқувчанлик чегараси энг камида 3000 MPa бўлган материални ишлатиш керак. Аммо айни пайтда бундай мустаҳкамликини таъминлай оладиган материалнинг ўзи йўқ! Шунинг учун ҳам юқори босимларга чидаш берадиган пухта қувурларни тайёрлашнинг бошқа йўлини ахтариш лозим.

Қувурларнинг пухталигини ошириш усуllibаридан бири ва амалда энг кўп ишлатиладигани ички босим остида ишлайдиган қўшма қувурлар ясаш усулидир.

16.3-§. Қалин деворли қўшма қувурлар ҳисоби

Айтайлик, механик хоссалари бир хил бўлган иккита қувурдан қўшма қувур ясаш талаб этилган бўлсин (XVI.9-шакл, а, б);

Бунда r_i - биринчи қувурнинг ички радиуси;

r_k - биринчи қувурнинг ташқи радиуси;

Δ - таранглик;

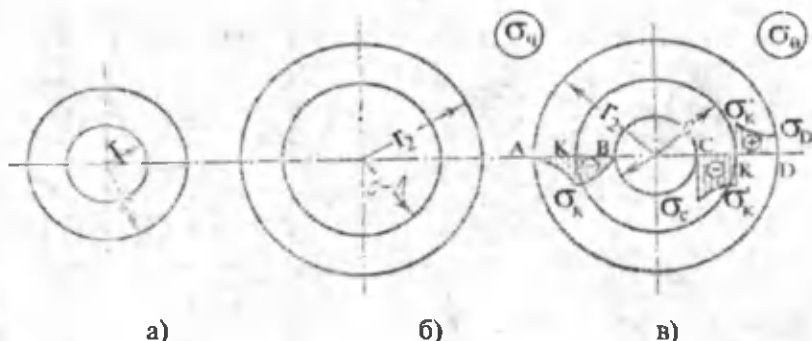
$r_k' = r_k - \Delta$ - иккинчи қунурнинг ички радиуси;

r_2 - иккинчи қувурнинг ташқи радиуси.

Қўшма қувур ясаш учун ташқи қувурни етарлича қиздириб, ички қувурга кийгизилади; кийгизилган ташқи қувур совигандан сўнг, у ички қувурни сиқиб қолади ва натижада иккала қунурлар орасида p_k босим пайдо бўлади (исботсиз келтирилган):

$$p_k = \frac{E \Delta}{2r_k^3} \cdot \frac{(r_k^2 - r_1^2)(r_2^2 - r_k^2)}{r_2^2 - r_1^2} \quad (\text{XVI.24})$$

Шундай қилиб, қувурларни бир-бирига кийгизиб құшма қувурлар ҳосил қилинса, ички қувур «ғёки» p_k ташқи босим таъсирида, ташқи қувур эса айнан шундай ички босим таъсирида бўлиб қолади.



XVI.9-шакл

XVI.9-шакл, в да құшма қувурлардаги бошлангич кучланишлар эпюралари күрсатилган.

Энди ҳосил қилинган құшма қувурни ички p босим билан юклаймиз (XVI.10-шакл, а); у ҳолда иккала қувур ҳам бир бутун ҳолда ишлайди.

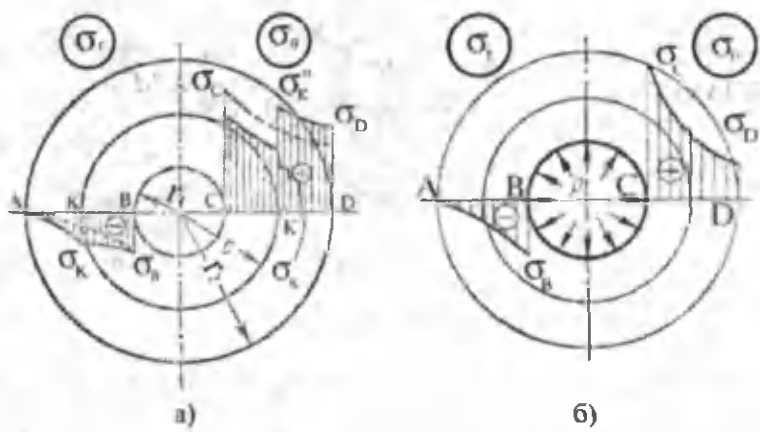
Құшма қувурдаги σ_r ва σ_θ кучланишлар (XVI.18) формуулалар ёрдамида аниқланади, бу кучланишлар таранглаш натижасыда ҳосил бўлган кучланишлар билан алгебраик қўшилади.

(XVI.18) формулалар ёрдамида $\sigma' = \sigma'(p, r)$ ва $\sigma'_\theta = \sigma'_\theta(p, r)$ кучланишлар аниқланади (бунда $r_1 \leq r \leq r_2$, σ' , σ'_θ кучланишлар (эпюралари ингичка чизиқда күрсатилган) тарантлаш даврида p_k таъсиридан ҳосил бўлган бошлангич кучланишлар билан алгебраик қўшилгач, натижавий кучланиш σ_r ва σ_θ лар камаяди (эпюралари қалин чизиқда күрсатилган). Эпюралардан кўрамизки, таранглаш даврида вужудга келган бошлангич кучланишлар таъсирида ички қувур юксизланади, ташқи қувур эса қўшимча юкланади (XVI.10-шакл, б).

Умуман олгаңда, натижавий күчланишларнинг камайиши құшма қувурларнинг эңг хәвфли нүкталаридағы эквивалент күчланишларнинг ҳам камайишиша олиб келади (исботсиз көлтирилған):

$$\sigma_{\text{экв}} = p \frac{r_1}{r_2 - r_1} \quad (\text{XVI.25})$$

Бу муносабатни биринчи бўлиб А.И. Гадолин таклиф этган.



XVI.10-шакъ.

(XVI.24) ва (XVI.25) ифодаларни ўзаро таққослаб, құшма қувурларда эквивалент күчланишларнинг сезиларли даражада камайишига ишонч ҳосил қилиш мүмкін.

Назорат саволлар ва топшириқлар

1. Қандай идишларга юпқа деворли идишлар дейилади?
2. Лаплас тенгламасини ёзib, унинг мағиятини айтинг.
3. Қалин деворли қувурларга таъриф беринг.
4. Ламе формулаларини ёзинг ва уларнинг мағиятини тушендириңг.
5. Мұхандислик амалиётида қандай усул ёрдамида қалин деворли қувурларнинг пухталигини ошириш мүмкін?
6. Гадолин формуласини ёзинг ва унинг маъносини тушендириңг.

XVII БОБ. БРУСЛАРНИ ЖОИЗ ЮКЛАР АСОСИДА ҲИСОБЛАШ

17.1-§. Материалларнинг пластиклик хусусиятларини зътиборга олиш. Чўзилиш диаграммасини шартли тасвирилаш

Олдинги бобларда фақат эластик деформацияларга қаршилик кўрсатувчи конструкция қисмларини ҳисоблаш билан шуғулландик. Аммо муҳандислик амалиётида кўнгина муаммоларни ҳал қилишда материалларнинг пластик (қолдик) деформацияларини ҳам ҳисобга олиш зарурити сезилади. Масалан, қолиплаш мосламалари ёки дастгоҳарида маҳсулот ёки деталларга ишлов бериш, металларга чўзид ишлов бериш, пружиналарни ўраш ва шу сингари турли хил технологик жараёнларни амалга оширишда материалларнинг пластиклик хусусиятларини билиш жуда муҳимдир.

Материаллар пластик деформацияланганда кучланиш билан деформация орасида чизиқли бўлмаган боғланиш пайдо бўлади. Одатда, бу боғланиш тажриба натижаларидан, хусусан кўпинча чўзилиш диаграммасидан аниқланади.

Материаллар ўзида тўла пластиклик хусусиятларини намоён қилганда конструкция қисмларини жоиз кучланишлар асосида эмас, балки анча такомиллашган усул – жоиз юклар асосида ҳисоблаш усулидан фойдаланиш мақсадга мувофиқдир.

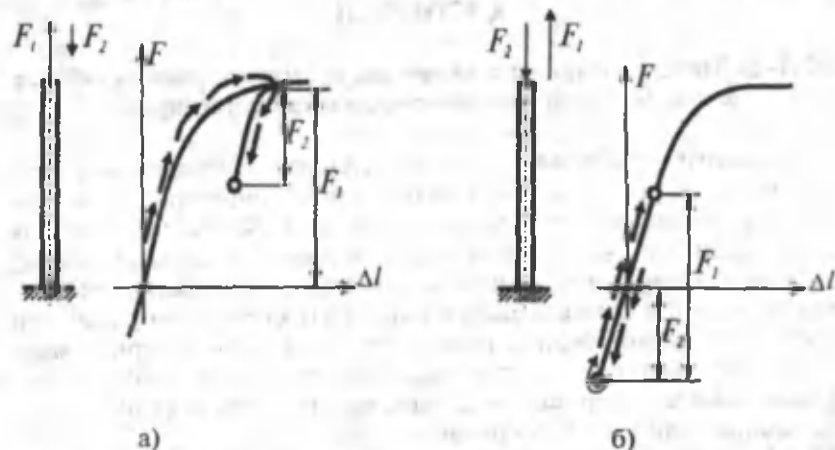
Жоиз юклар асосида ҳисоблаш усулининг афзаллиги шундаки, бу усул бўйича олиб борилган лойиҳалаш-ҳисоблаш натижалари материалларни анча тежашга имкон беради. Чунки бу усулда материалларнинг барча механик хоссалари ҳамда конструкция қисмларининг ишлайдиган шарт-шароитлари мумкин қадар ҳақиқатга яқинроқ ҳолда зътиборга олинади.

Жоиз юклар асосида ҳисоблаш усулининг ўзига хос хусусияти шундаки, бу усулда кучлар таъсирининг бир-бирларига халал бермаслик тамойилини қўллаб бўлмайди.

Буни қўйидаги мисолларнинг таҳлилидан ҳам яқзол кўриш мумкин:

1-жол. Айттайлик, стержен пластик деформация ҳосил бўлгунча F_1 куч билан чўзилгандан кейин F_2 куч таъсирида сиқилсин (XVII.1-шакл, а).

2-жол. Стержен дастлаб F_2 куч билан сиқилгач, F_1 куч таъсирида чўзилсин (XVII.1-шакл, б).



XVII.1-шакл.

Кўриниб турибдики, стерженда ҳосил бўладиган кучланиш ва деформациялар кучларнинг қандай тартибда қўйилишига боғлиқдир. Чунки стержен юкланганда ва юксизлантирилганда кучланиш билан деформация орасидаги боғланиш устма-уст тушмайди.

Жоиз кучлар асосида ҳисоблаш ўтказилганда аввало, чўзилиш диаграммасини шартли равицда тасвирлаб, нормал кучланиш ва нисбий деформациялар ўртасидаги $\sigma=f(\epsilon)$ муносабатни аналитик тарзда ёзib олиш лозим.

Кам углеродли пўлат материалларининг чўзилиш диаграммасини иккита тўғри чизиқдан иборат деб шартли равища тасвирлаш мумкин (XVII.2-шакл, а): кучланиш оқувчанлик чегарасига етгунга қадар материал $\sigma=E\epsilon$ кўринишидаги Гук қонунига бўйсунади, кейин эса унда $\sigma=\sigma_{0.4}$ ўзгармас кучланишда пластик деформация жадаллаша боради.

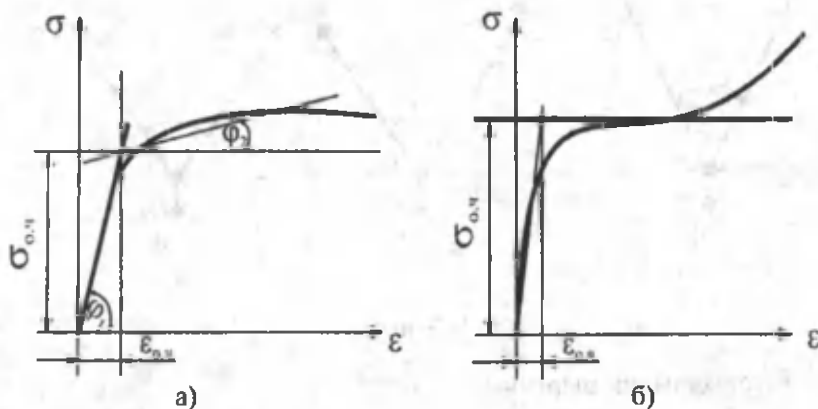
Кўпинча бу шартли диаграммани Прандтлянинг идеал эластик-пластик диаграммаси деб юритилади.

Легирланган пўлат материалининг чўзилиш диаграммасини ҳам иккита оғма тўғри чизиқ кўринишида шартли тасвирлаш мумкин (XVII.2-шакл, б):

$$\varepsilon \leq \varepsilon_{\sigma_{\text{u}}}, \quad \text{бўлганда} \quad \sigma = E\varepsilon$$

$$\varepsilon \geq \varepsilon_{\sigma_{\text{u}}}, \quad \text{бўлганда} \quad \sigma - \sigma_{\sigma_{\text{u}}} = E_k (\varepsilon - \varepsilon_{\sigma_{\text{u}}}).$$

Бу ерда, E ва E_k -тўғри чизиқларнинг бурчак коэффициентлари бўлиб, тажрибалардан олинади.



XVII.2-шакл.

17.2-§. Стерженларни жоиз юклар асосида ҳисоблаш

Айтайлик, статик аниқ (XVII.3-шакл) ва статик аниқмас (XVII.4-шакл) стерженлар тизими учун мустаҳкам кесим юза танлаш талаб этилган бўлсин.

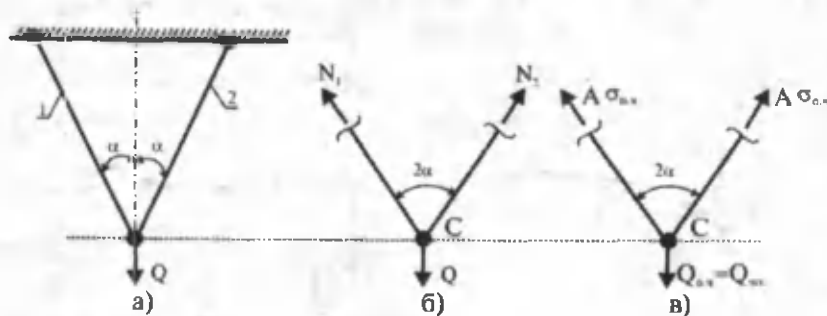
Стерженлар бир хил бикрликка эга бўлиб, улар кам углеродли юмшоқ пўлат материалидан ясалган; масалани очишда оқувчанлик чегараси $\sigma_{\sigma_{\text{u}}}$, мустаҳкамликдаги эҳтиёт коэффициенти n , осилган юкнинг оғирлиги Q ва бурчак α лар маълум деб ҳисоблансин.

Дастлаб статик аниқ тизимни икки усулда – жоиз кучланишлар ва жоиз юклар асосида ҳисоблаб, олинган натижаларни ўзаро таққослаймиз:

а) жоиз күчланишлар асосида ҳисоблаш. Айтайлык, стержендер эластиклик чегарасида Q юкка қаршиликтің күрсатаётгандығы бўлсин (XVII.3-шакл, а).

С тутуннинг мувозанатини текшириб, ички зўриқишлиарни топамиш (XVII.3-шакл, б):

$$N_1 = N_2 = \frac{Q}{2\cos\alpha} \quad (a)$$



XVII.3-шакл.

Мустаҳкамлик шартини

$$\sigma_{max} = \frac{N_{max}}{A} \leq \sigma_{adm}$$

ёки

$$\frac{Q}{2A\cos\alpha} \leq \frac{\sigma_{adu}}{n} \quad (6)$$

кўринишларда ёзиб, мустаҳкам кесим юзани аниқлаймиз:

$$A \geq \frac{Qn}{2\sigma_{adu} \cos\alpha} \quad (XVII.1)$$

б) жоиз юклар асосида ҳисоблаш.

Бу усулда мустаҳкамлик шарти қўйидаги кўринишга эга:

$$Q \leq Q_{adm} \quad \text{ёки} \quad Q \leq \frac{Q_{adu}}{n} \quad (b)$$

бу ерда Q -конструкция қисмларига қўйилган энг катта юкнинг қиймати;

$Q_{\text{адм}} = Q_{\text{юкнинг}}$ жоиз қиймати;

$Q_{\text{чег}} = Q_{\text{o.ч.}}$ -кесимда оқиши чегараси $\sigma_{o.\text{ч.}}$ га тенг бўлган кучланиш ҳосил қилувчи чегаравий (емирувчи) куч.

Стержен кесимларидағи кучланиш оқувчанлик чегарасига етгунча Q юкни секин-аста ошира борамиз (XVII.3-шакл, в).

С тутуннинг мувозанатини текширамиз:

$$Q_{o.\text{ч.}} = 2\sigma_{o.\text{ч.}} A \cos\alpha$$

Мустаҳкамлик шартини

$$Q \leq \frac{2A\sigma_{o.\text{ч.}} \cos\alpha}{n} \quad (\text{r})$$

кўринишда ёзиб, ундан кесим юзани танлаймиз:

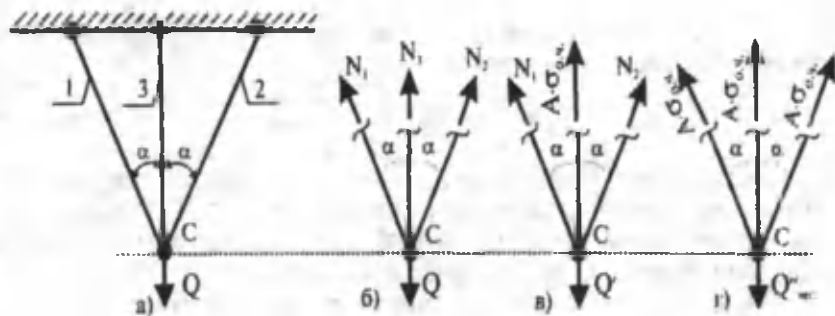
$$A \geq \frac{Q n}{2 \sigma_{o.\text{ч.}} \cos\alpha} \quad (\text{XVII.2})$$

Шундай қилиб, иккала усулда ҳам бир хил натижага эришдик.

Энди худди шу тарзда статик аниқмас тизимни ҳам таълил қиласиз (XVII.4-шакл. а):

а) жоиз кучланишлар асосида ҳисоблаш.

Фараз қилайлик. Q юк таъсирида стерженларнинг деформацияланиш жараёни эластиклик чегарасида содир бўлсин.



XVII.4-шакл

Стерженлардаги ички зўриқишлиар қўйидагига тенг булади (3.10-§ га қаранг):

$$N_1 = N_2 = \frac{Q \cos^2 \alpha}{1 + 2 \cos^3 \alpha}; \quad N_3 = \frac{Q}{1 + 2 \cos^3 \alpha} \quad (\text{XVII.3})$$

Бундан $N_{\max} = N_3$ эканлиги күриниб турибди.
Кесим юзани танлаймиз:

$$A \geq \frac{Q_n}{(1 + 2 \cos^3 \alpha) \sigma_{a_n}} \quad (\text{XVII.4})$$

б) жоиз юклар асосида ҳисоблаш.

Q юкни қиймати аста-секин орта боргандың уртадаги стерженде күчланиш четки стерженлардагы қараганда окувчанлик чегарасига олдинроқ эришади, чунки унга күпроқ юк тушади. Шу пайтдан бошлаб уртадаги стержень $N'_3 = \sigma_{a_n} A$ га тенг бўлган ички зўриқиши қабул қиласи (XVII.4-шакл, в).

Бутун тизимнинг деформацияланиш жараёни эса эластик-пластик босқичда бўлади. Бу ҳолга тўғри келган юк қуйидагича аниқланади:

$$N'_3 = \frac{Q}{1 + 2 \cos^3 \alpha}$$

$$\text{бундан} \quad Q' = \sigma_{a_n} A (1 + 2 \cos^3 \alpha) \quad (\text{XVII.5})$$

С тугуннинг мувозанатини текшириб, четки стерженлардаги ички зўриқиши топамиз:

$$N_1 = N_2 = \frac{Q' - \sigma_{a_n} A}{2 \cos \alpha} \quad (\text{XVII.6})$$

Энди четки стерженлардаги күчланишлар ҳам окувчанлик чегарасига етгунча, юкни яна ошира борамиз (XVII.4-шакл, г) ва ниҳоят чекли ҳолат бошланиб, кейинги деформацияланиш жараёни ўзгармас юк таъсирида содир бўлади.

Мувозанат тенгламасидан чекли (емирувчи) кучни

$$Q_{a_n} = Q' = \sigma_{a_n} \cdot A (1 + 2 \cos \alpha)$$

ва ниҳоят, мустаҳкамлик шартидан кесим юзани аниқлаймиз:

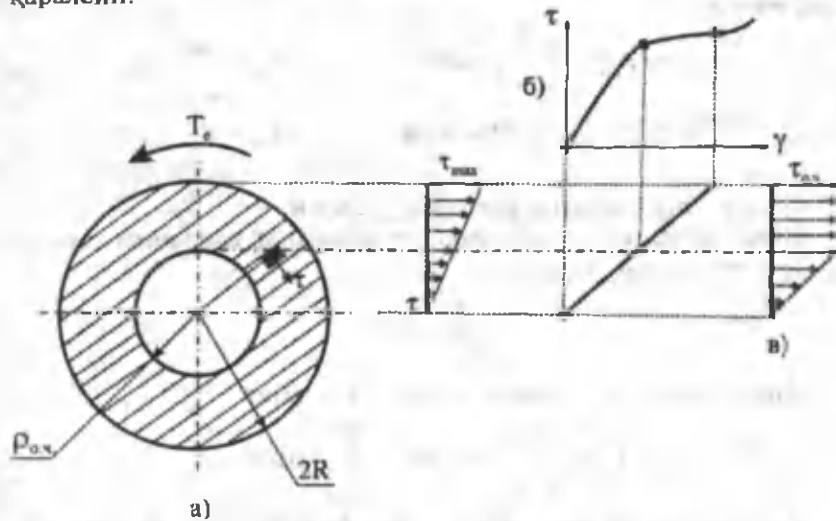
$$A \geq \frac{Q_n}{(1 + 2 \cos \alpha) \sigma_{a_n}} \quad (\text{XVII.7})$$

Бу қиймат одатдаги усулда олинган қийматдан анча кичик-дир. Башқа айттанда, жоиз юк бүйінча конструкция қисмларини ҳисоблаш материалларни анча тежашта имкон берар әкан.

17.3-§. Валларни жоиз юклар асосида ҳисоблаш

Пластик материалдан ясалған доиравий кесимли вал учун мустақам диаметр аниқлаш талаб этилсін (XVII.5-шакл, а).

Ҳисоблашда окувчанлик чегарасы $\tau_{a.u.}$, мустақамлықтаги өзгіттөрілген коэффициенти n ва буровчи момент T_e лар маълум деб қаралсın.



XVII.5-шакл

а) жоиз күчланишлар асосида ҳисоблаш.

Доиравий кесимли яхлит вални жоиз күчланиш асосида ҳисоблаб, мустақам диаметр учун қуйидаги ифодага эга бўламиз (7.2-§ га қаранг):

$$D \geq \sqrt[3]{\frac{16T_e}{\pi \tau_{adm}}} \quad (XVII.8)$$

б) жоиз юклар асосида ҳисоблаш.

Пластик материаллардан ясалган валнинг буралиш диаграммаси иккита түгри чизиқ кўринишида шартли равишда тасвиirlанади (XVII.5-шакл, б).

Шуни таъкидлаш мұхимки, урунма кучланиш оқувчанлик чегарасига етгандан сўнг буровчи моментни тобора орттирасак ҳам валнинг четки толаларидаги урунма кучланишларнинг қиймати ошмайди, балки кучланишлар ички толалар бўйича «гўёки» қайта тақсимлана боради (XVII.5-шакл, в). Натижада чизмада кўрсатилганидек, вал бир вақтнинг ўзида эластик ва пластик деформацияларга қаршилик кўрсата бошлади.

Урунма кучланиш эпюрасидан қуйидаги боғланишларни ёзib оламиз:

$$\rho \leq \rho_{o.v} \quad \text{бўлганда} \quad \tau_p = \frac{\rho}{\rho_{o.v}} \cdot \tau_{o.v}$$

$$\rho \geq \rho_{o.v} \quad \text{бўлганда} \quad \tau_p = \tau_{o.v}$$

бу ерда $\rho_{o.v}$ -эластик ядронинг радиуси.

Ички ва ташқи моментларнинг мувозанат шартидан ташқи момент T_e ни аниклаймиз:

$$T_e = \int_A \tau_p \cdot \rho dA \quad (a)$$

Интеграллаш чегарасини иккига ажратамиз:

$$T_e = \int_0^{\rho_{o.v}} \frac{\rho^2}{\rho_{o.v}} \tau_{o.v} dA + \int_{\rho_{o.v}}^R \tau_{o.v} \rho dA$$

Кесим оғирлик марказидан ρ масофада жойлашган элементтар юзачани $dA = 2\pi \rho d\rho$ кўринишида ёзив, интегрални ҳисоблаймиз:

$$T_e = \frac{2}{3} \pi R^3 \left[1 - \frac{1}{4} \left(\frac{\rho_{o.v.}}{r} \right)^3 \right] \tau_{o.v.} \quad (XVII.9)$$

Кесимнинг эластик қисмидаги кучланиш ҳам оқувчанлик чегараси $\tau_{o.v.}$ га етганда, яъни $\rho_{o.v.} = 0$ бўлганда валнинг кучланганлик ҳолати чегаравий ҳолатга ўтиб, у юк қутара олмай қолади. Бу ҳолатдаги чегаравий (емирувчи) ташқи момент

$$T_{\text{чел}} = \frac{2}{3} \pi R^3 \tau_{\text{о.ч}} \quad (\text{XVII.10})$$

формуладан топилади.

Мустаҳкамликнинг эҳтиёт коэффициенти и бўлганда бурсвчи моментнинг жоиз қиймати қўйидагига тенг бўлади:

$$T_{\text{adm}} = \frac{2\pi R^3}{3n} \tau_{\text{o.v}} = \frac{\pi D^3 \tau_{\text{o.v}}}{12n} = \frac{\pi D^3}{12n} \tau_{\text{adm}} \quad (6)$$

Валнинг мустаҳкамлигини таъминлай оладиган диаметрни аниқлаш учун $T_e \leq T_{\text{adm}}$ кўринишдаги мустаҳкамлик шартидан фойдаланамиз:

$$D \geq \sqrt[3]{\frac{12 \cdot T_e}{\pi \cdot \tau_{\text{adm}}}} \quad (\text{XVII.11})$$

Олинган натижаларни ўзаро таққослаб, мустаҳкамликнинг эҳтиёт коэффициенти бир хил бўлганда валнинг жоиз юклар асосида ҳисобланган диаметри жоиз кучланиш асосида ҳисобланган диаметрининг $\sqrt[3]{\frac{12}{16}} \approx 0,91$ қисмини ташкил этишига ишонч ҳосил қиласиз.

Назорат саволлари ва топшириқлар

1. Жоиз кучланишлар деганда нимани тушунасиз?
2. Материалларнинг пластиклик хусусиятларини айтинг.
3. Прандтля диаграммасининг маҳиятини тушунтиринг.
4. Статик аникмас стерженларни жоиз юклар асосида ҳисоблаш тартибини баён этинг.
5. Доиравий кесимли яхлит вални жоиз юклар асосида ҳисоблашнинг ўзига хос томони нимадан иборат?
6. Брусларни жоиз юклар асосида ҳисоблашнинг афзаллиги нимадан иборат?

Асосий катталиклар

№	Номинация	Белгиланған		Үлгім бүрлек- лары (халқаро бүрлеклар тізимінде)
		Латин алфабоси	Грек алфабоси	
I. Асосий бирлектер				
1	Ұзунлік	<i>l</i> , <i>l</i>		м
2	Масса	<i>m</i>		кг
3	Вакт	<i>t</i>		с
II. Хасиеттің бирлектері				
Юза және қалып:				
1	Күнделінг кесім юза	<i>A</i>		<i>m</i> ²
	а) кесім юза зерттегі	<i>b</i>		м
	б) кесім юза баландлығы	<i>h</i>		м
	в) диаметр (ички, ташқи)	<i>d</i> , <i>D</i>		м
2	Күнделінг кесім юза (тұла)	<i>A_{ты}</i>		<i>m</i> ²
3	Заифлаштирилган күнделінг кесім юза	<i>A_{пн}</i>		<i>m</i> ²
4	Эзиліш юзасы	<i>A_{саш}</i>		<i>m</i> ²
5	Хажм	<i>V</i>		<i>m</i> ³
6	Солиштирыма оғырлік		<i>y</i>	<i>кг/m³</i>
Механик параметрлер:				
1	Рұл, масоғы	<i>s</i>		м
2	Тезлік	<i>v</i>		м/с
3	Тезланиш	<i>w</i>		м/с ²
4	Текис бурчак	<i>φ</i>		рад
5	Бурчак тезлік	<i>ω</i>		с ⁻¹
6	Бурчак тезланиш	<i>ε</i>		с ⁻²
7	Харакат мөндори	<i>K</i>		кг м/с
8	Күч импульси	<i>S</i>		Н с
9	Ташқи күчларнинг бажар- ған иши	<i>W_с</i>		Ж
10	Ички күчларнинг бажарған иши	<i>W_и</i>		Ж
11	Тұлицы энергия	<i>W₁</i>		Ж
12	Кинетик энергия	<i>E_к</i>		Ж
13	Потенциал энергия	<i>E_р</i>		Ж
14	Деформацияның потенци- ал энергиясы	<i>U</i>		Ж
15	Деформацияның солиш- тирыма потенциал энергиясы	<i>a</i>		Ж/м ³
16	Күвіт	<i>N</i>		Вт
17	Босым	<i>P</i>		Па
Күч:				
1	Күч (ташқи күч ёки ташқи юқ)	<i>F</i>		Н
2	Хусусий оғырлік күчи	<i>G_z</i>		Н
3	Критик күч	<i>F_{кр}</i>		Н

4	Таянч реакция күчләри ёки таянч реақциялары	R, H, M		H, H, Hm
5	Узуулук ёки юза бүйләб тараалган күч	q		H/m ёки H/m ²
6	Эгүвчи момент ёки жуфтүкүч	M _c		Hm
7	Буроючи момент ёки жуфтүкүч	T _c		Hm
Ички күч ёки зуралып:				
1	Күндәланг (кесувчи ски киркулчы) күч	Q _x , Q _y		H
2	Бүйләма күч	N _x		H
3	Эгүвчи момент	M _x , M _y		Hm
4	Буроючи момент	T		Hm
5	Натижавий эгүвчи момент	M _{int}		Hm
Текис кесимларниң геометрик тапсифомалари:				
1	Кесим юзанинг статик моментлари	S _x , S _y		m ³
2	Кесим юзанинг ўқли инерция моментлари	J _x , J _y		m ⁴
3	Кесим юзанинг құтб инерция моменти	J _p		m ⁴
4	Кесим юзанинг бөш инерция моментлари	J _{max} , J _{min}		m ⁴
5	Кесим юзанинг марказдан қочма инерция моменти	D _{xy}		m ⁴
6	Кесим юзанинг қаршилик моментлари	W _x , W _y		m ³
7	Кесим юзанинг құтб қаршилик моменти	W _p		m ³
8	Кесим юзанинг инерция радиуслари	i _x , i _y		m
Деформациялар күчишлар:				
1	Мутлақ (абсолют) деформация	$\Delta \ell$		m
2	Бүйләма ёки күндәланг нисбий деформация	еки ϵ^1		үлчамсиз
3	Нисбий қолданқ үзайыш	δ		үлчамсиз
4	Нисбий күндәланг қисқарыш	Ψ_x		үлчамсиз
5	Хажмий деформация	ϵ_y		үлчамсиз
6	Кесимнинг буралиш бурчалғы	ϕ		рад
7	Нисбий буралиш ва силжиди бурчаклары	θ ва γ		үлчамсиз
8	Салқылук ва эгиптиш «стрелласы	u ва f		m
9	x, y, z ўқы йүнәлишидаги күчишлар	u, v, w		m
Күчлөш:				
1	Нормал ва урунма күчләнүшлөр	σ ва t		H/m ²
2	Жоиз нормал ва урунма күчләнүшлөр	σ и t		H/m ²

3	Огма юзалардаги нормал ва урумни күчләнешләр	σ_a ва τ_{ad}	N/m^2
4	Тенг күчли (эквивалент) күчләнеш	σ_{red}	N/m^2
5	Критик күчләнеш	σ_{crit}	N/m^2
6	Статик ва динамик күчләнешләр (нормал)	σ_{st} ва σ_d	N/m^2
7	Хөрөрат күчләнеши	σ_{load}	N/m^2
8	Тұла күчләнеш	P_e	N/m^2
Материаллар шарттарындағы меканик тәсілдермендер:			
1	Мутаносиблик чегарасы	σ_{allow}	N/m^2
2	Эластиклык чегарасы	σ_e	N/m^2
3	Оқынчанлык чегарасы	σ_{min}	N/m^2
4	Мұстаҳкамлык чегарасы (вактли қаршишылк)	σ_u	N/m^2
5	Чөзилеш әки сиқиличидаты мұстаҳкамлык чегарасы	σ_{ul} әки σ_{uc}	N/m^2
Тұрақ көзәффиджент әки көттәлдікшар:			
1	Характер (хисоблаб толи-ладиган) әхтиёт көзәффидженти	n	Үлчамсиз
2	Жоиз этилган (зарурий, та-лаб этилдиган) әхтиёт көзәффидженти	n_{etab}	Үлчамсиз
3	Пуассон көзәффидженти	μ	Үлчамсиз
4	Материалларнинг чизиқлы көнтәйиш көзәффидженти	α	1/град
5	Эластиклык (силжиншадағи) модули	$E (G)$	N/m^2
6	Стерженнинг эгилувачаналығы	λ	Үлчамсиз
7	Бош үкларнинг ҳолатини анықтайдыгандык бүрчак	α_0	рад
8	Горизонтал, вертикаль на бүйләма (геометрик) үк	x, y на z	

АДАБИЕТЛАР

1. М.Т.Ўрзобоев Материаллар қаршилиги асосий курси. – Т.: «Ўқитувчи», қайта ишланган, 2-нашри. 1973 й. -510 б.
2. М.Т.Ўрзобоев Материаллар қаршилиги. Т.: «Ўқитувчи», II қисм, 1966 й. - 488 б.
3. С.А.Йўлдошбеков Материаллар қаршилиги. –Т.: «Ўқитувчи» – 1995 й. – 256 б.
4. К.М.Мансуров Материаллар қаршилиги курси. – Т.: «Ўқитувчи», тузатилган, тўлдирилган 2-нашри. 1983 й. -504 б.
5. А.Н.Набиев, Ж.Ш.Шосалимов, А.Н.Хусайнов «Техник механика». – Т.: «Шарқ» нашиёти, 2005 й. -256 б.
6. Н.Ж.Тўйчиев Материаллар қаршилиги. –Т.: 2003 й.
7. М.Эргашов Материаллар қаршилигидан ҳисоблашлойиҳалаш ишлари –Т.: «Молия», 2003 й. – 244 б.
8. А.В.Александров и др. Сопротивление материалов. –М.: Высшая школа, 2001 г. -560 с.
9. И.А.Биргер и др. Сопротивление материалов. – М.: «Наука», 1986 г. – 560 с.
10. И.А.Биргер и др. Сопротивление материалов. – М.: изд. МАИ 1994 г. – 576 с.
11. Н.М.Беляев «Сопротивление материалов». –М.: «Наука», 15-е издание, переработанная. 1976 г. – 607 с.
12. Г.С.Глушков и др. Курс сопротивления материалов. – М.: Высшая школа. – 1965 г. – 767 с.
13. А.В.Дарков и др. Сопротивление материалов. –М.: Высшая школа, 4-е издание, переработанное. 1975 г. –654 с.
14. Ф.В.Долинский и др. Краткий курс сопротивления материалов. – М.: «Высшая школа». 1988 г. – 432 с.
15. Б.В.Заславский Краткий курс сопротивления материалов. – М.: «Машиностроение», 1986 г. -272 с.
16. А.А.Ильюшин Пластичность. Упруго-пластические деформации, часть первая. –М.: Гос. издат. технико-теоретической литературы. 1948 г. – 376 с.
17. Г.М.Изкович Сопротивление материалов. -М.: «Высшая школа», -7-е изд., испр. 1986 г. – 352 с.

18. Г.С.Писаренко и др. Сопротивление материалов – К.: «Высшая школа», 5-е изд., перераб. и доп. 1986 г. – 775 с.
19. Г.С.Писаренко и др. Справочник по сопротивлению материалов. – К.: «Наукова думка», 1975 г. – 704 с.
20. Под редакцией проф. А.В.Даркова Строительная механика. –М.: «Высшая школа», изд. седьмое, перераб. и доп. 1976 г. – 600 с.
21. Под редакцией проф. Н.А.Костенко Сопротивление материалов. –М.: «Высшая школа», 2000 г. - 430 с.
22. Ю.Н.Работнов Механика деформируемого твердого тела. – М.: «Наука», Гл. ред. физ.-мат. лит., 2-е изд., испр. 1988 г. – 712 с.
23. А.Ф.Смирнов Материаллар қаршилиги. Т.: «Үқитувчи», кайта ишланган ва тұлдирилган З-нашридан доцент Э.В.Эргашев таржимасы. 1988 й. - 464 б.
24. П.А.Степин Сопротивление материалов. М.: «Высшая школа», 8-е изд. –1988 г. – 366 с.
25. А.Е.Саргсян Сопротивление материалов, теория упругости и пластичности. Основы теории с примерами расчетов. – М.: «Высшая школа», 2000 г. -286 с.
26. С.П.Тимошенко, Дж. Гере Механика материалов.– М.: Изд. «Мир», 1976 г. – 670 с.
27. Г.К.Татур Общий курс сопротивление материалов. – Минск: «Высшая школа», 1974 г. – 462 с.
28. И.Г.Терегулов Сопротивление материалов и основы теории упругости и пластичности. – М.: «Высшая школа». 1984 г. – 472 с.
29. В.И.Феодосьев Сопротивление материалов. М.: «Наука», седьмое изд., перераб. 1974 г. – 560 с.
30. В.И.Феодосьев Сопротивление материалов. –М.: Издательство МГТУ им. Н.Э.Баумана, 2003 г. – 592 с.

МУНДАРИЖА

Сүз боши.....

3

I БОБ. ҮМУМИЙ ТУШУНЧАЛАР

1.1-§.	Материаллар қаршилиги фанининг моҳияти ва мавзуи.....	5
1.2-§.	Ташқи күчлар ва деформациялар.....	11
1.3-§.	Хисоблаш чизмаси.....	14
1.4-§.	Ички күчлар.....	17
1.5-§.	Күчланишлар.....	21
1.6-§.	Асосий чекланишлар.....	22
1.7-§.	Материаллар қаршилиги фанидаги масалалар ва уларни ечиш тартиблари.....	23

II БОБ. ИЧКИ КҮЧЛАРНИНГ ЭПЮРАЛАРИ

2.1-§.	Эпюра қуриш қоидалари.....	27
2.2-§.	Бўйлама куч билан тараалган куч интенсивлиги орасидаги дифференциал ва интеграл муносабатлар.....	28
2.3-§.	Бўйлама күчларнинг эпюралари.....	29
2.4-§.	Буровчи момент билан тараалган момент интенсивлиги орасидаги дифференциал ва интеграл муносабатлар.....	32
2.5-§.	Буровчи моментларнинг эпюралари.....	33
2.6-§.	Тўсинлар ва уларнинг таянчлари.....	38
2.7-§.	Тўсин таянчларининг асосий хиллари.....	39
2.8-§.	Таянч реакцияларини аниқлаш.....	43
2.9-§.	Эгувчи момент, кесувчи куч ва ёйилган куч интенсивлиги орасидаги дифференциал ва интеграл муносабатлар.....	49

III БОБ. МАРКАЗИЙ ЧЎЗИЛИШ ёКИ СИҚИЛИШ

3.1-§.	Асосий муроҳазалар.....	67
3.2-§.	Материалларнинг асосий механик хоссаларини тажрибалар ёрдамида аниқлаш.....	73
3.3-§.	Жоиз күчланишлар.....	84

3.4-§.	Чўзилган ёки сиқилган стерженларнинг мустаҳкамлик шарти.	86
3.5-§.	Чўзилиш ёки сиқилишда деформациянинг потенциал энергияси.	87
3.6-§.	Деформация потенциал энергиясининг минималлиги ҳақидаги теорема.	89
3.7-§.	Кучишлар.	89
3.8-§.	Чўзилган ёки сиқилган стерженларнинг хусусий оғирликларини эътиборга олиш.	92
3.9-§.	Погонали стерженлар.	97
3.10-§.	Чўзилиш ва сиқилиш деформациясига оид статик аниқмас масалалар.	106

IV БОБ. КУЧЛАНИШЛАРНИНГ ТАҲЛИЛИ

4.1-§.	Нуқтадаги кучланишлар. Бош юзалар ва бош кучланишлар.	114
4.2-§.	Кучланиш ҳолатининг турлари.	115
4.3-§.	Қия кесимлардаги кучланишлар.	116
4.4-§.	Бош юзаларнинг ҳолати ва бош кучланишларни аниқлаш.	121
4.5-§.	Силжиш юзаларининг ҳолати ва экстремал урунма кучланишларни аниқлаш.	122
4.6-§.	Фазовий кучланиш ҳолати.	124
4.7-§.	Умумлашган Гук қонуни.	128
4.8-§.	Ҳажмий деформация.	130
4.9-§.	Деформациянинг солиштирма потенциал энергияси.	131
4.10-§.	Мустаҳкамлик назариялари.	133

V БОБ. СИЛЖИШ

5.1-§.	Соф силжиш.	143
5.2-§.	Силжишга ишловчи конструкция элементларининг ҳисоби.	147

VI БОБ. ТЕКИС ШАКЛЛАРНИНГ ГЕОМЕТРИК ТАВСИФЛАРИ

6.1-§.	Текис шаклларнинг геометрик тавсифлари....	155
6.2-§.	Текис шаклларнинг ўқса нибатан статик моментлари	156
6.3-§.	Текис шаклларнинг инерция моментлари....	157
6.4-§.	Энг оддий текис шаклларнинг инерция моментларини ҳисоблаш....	159

6.5-§.	Мураккаб текис шакларнинг инерция моментларини ҳисоблаш.....	162
6.6-§.	Координата ўқлари параллел кўчганда инерция моментларининг ўзгариши.....	164
6.7-§.	Ўқлар бурилганда инерция моментларининг ўзгариши.....	167
6.8-§.	Бош инерция ўқлари ва бош инерция моментлари.....	169
6.9-§.	Текис шакларнинг қаршилик моментлари....	171

VII БОБ. БУРАЛИШ

7.1-§.	Валнинг буралиши.....	177
7.2-§.	Валнинг буралишдаги мустаҳкамлик шарти.	186
7.3-§.	Буралишда деформациянинг потенциал энергияси	190
7.4-§.	Буралишдаги статик аниқмас масалалар.....	193

VIII БОБ. ТЕКИС ЭГИЛИШ. ЭГИЛИШДАГИ КУЧЛАНИШЛАРНИ АНИҚЛАШ

8.1-§.	Асосий тушунчалар.....	197
8.2-§.	Соф эгилиш. Нормал кучланишларни аниқлаш.....	199
8.3 -§.	Кўндалант эгилища урунма кучланишларни аниқлаши.....	206
8.4-§.	Юпқа деворли профилли тўсинлар учун урунма кучланишларнинг эпюраларини қуриш. Эгилиш маркази.....	214
8.5-§.	Тўсинларнинг мустаҳкамлигини нормал кучланишлар бўйича текшириш.....	220
8.6-§.	Тўсинларнинг мустаҳкамлигини урунма кучланишлар бўйича текшириш.....	222
8.7-§.	Тўсинларнинг мустаҳкамлигини бош кучланишлар асосида текшириш.....	222
8.8-§.	Тўсин кесимларининг рационал шаклари..	226
8.9-§.	Тенг қаршилик кўрсатувчи тўсинлар.....	229
8.10-§.	Эгилишда деформациянинг потенциал энергияси..	231

IX БОБ. ТЎСИНЛАРНИНГ ЭГИЛИШДАГИ КУЧИШЛАРИНИ АНИҚЛАШ

9.1-§.	Умумий мулоҳазалар.....	238
9.2-§.	Эгилган ўқнинг дифференциал тенгламаси.....	240

9.3-§.	Эластик чизикнинг тақрибий дифференциал тенгламасини интеграллаш. Чегаравий шартлар...	242
9.4-§.	Бошланғич параметрлар усули.....	252
9.5-§.	Мор усули ёрдамида күчишларни аниқлаш.....	259
9.6-§.	Мор интегралини Верешагин усулида хисоблаш.....	266
9.7-§.	Статик аниқмас тўсиниларни хисоблаш.....	274

X БОБ. МУРАККАБ ҚАРШИЛИК

10.1-§.	Асосий тушунчалар.....	282
10.2-§.	Эгилиш ва чўзилиш (сиқилиш).	284
10.3-§.	Сидкиш ва буралишнинг биргаликдаги таъсири..	295
10.4-§.	Буралиш ва эгилишнинг биргаликдаги таъсири....	298

XI БОБ. СТАТИК АНИҚМАС РАМАЛАРНИ КУЧ УСУЛИДА ХИСОБЛАШ

11.1-§.	Асосий тушунчалар.	306
11.2-§.	Куч усулининг каноник тенгламалари.....	310
11.3-§.	Статик аниқмас рамаларни куч усулида хисоблаш режаси.....	314

XII БОБ. МОР ИНТЕГРАЛИНИ МАТРИЦА УСУЛИДА ХИСОБЛАШ

12.1-§.	Мор интегралини матрица усулида хисоблаш.	322
12.2-§.	Статик аниқмас тизимларни матрицалар ёрдамида куч усули билан хисоблаш.....	329

XIII БОБ. СИҚИЛГАН СТЕРЖЕНЛАРНИНГ УСТУВОРЛИГИ (БЎЙЛАМА ЭГИЛИШ)

13.1-§.	Асосий тушунчалар.	332
13.2-§.	Критик кучни топишнинг Эйлер формуласи....	336
13.3-§.	Стержен учлари маҳкамланиш усулларининг критик кучга таъсири.	339
13.4-§.	Критик кучланиш. Эйлер формуласининг тад- биқ этилиш чегараси.	341
13.5-§.	Сиқилган стерженларни амалда хисоблаш усули	345

XIV БОБ. ЗАРБАЛИ ВА ЎЗГАРУВЧАН ЮКЛАРДА МУСТАҲКАМЛИК

14.1-§.	Зарбали ва ўзгарувчан юклар ҳақида умумий мулоҳазалар.....	355
14.2-§.	Зарбали юклар таъсиридан ҳосил бўладиган кучланишлар.....	356
14.3-§.	Ўзгарувчан кучланишлар. Металларнинг чарчаши ҳақида қисқача мулоҳазалар.....	364
14.4-§.	Симметрик цикл учун толиқиши эгрилити.....	368
14.5-§.	Симметрик бўлмаган цикл учун чегаравий амплитудалар диаграммаси.....	371
14.6-§.	Ўзгарувчан кучланишларда мустаҳкамликка ҳисоблаш.....	372

XV БОБ. ЭГРИ БРУСЛАР ҲИСОБИ

15.1-§.	Умумий мулоҳазалар.....	376
15.2-§.	Эгри брусларнинг соф эгилиши.....	378

XVI БОБ. ЮПҚА ДЕВОРЛИ ИДИШЛАР ВА ҚАЛИН ДЕВОРЛИ ҚУВУРЛАР ҲИСОБИ

16.1-§.	Ички босим таъсиридаги юпқа деворли идишлар.....	386
16.2-§.	Қалин деворли қувурлар. Ламе масаласи.....	390
16.3-§.	Қалин деворли қўшма қувурлар ҳисоби.....	398

XVII БОБ. БРУСЛАРНИ ЖОИЗ ЮКЛАР АСОСИДА ҲИСОБЛАШ

17.1-§.	Материалларнинг пластиклик хусусиятларини эътиборга олиш. Чўзилиш диаграммасини шартли тасвирлаш.....	401
17.2-§.	Стерженларни жоиз юклар асосида ҳисоблаш.....	403
17.3-§.	Валларни жоиз юклар асосида ҳисоблаш. Илова..... Адабиётлар.....	407 410 413

**НАБИЕВ АБДУМУТАЛ НАБИЕВИЧ,
ҲАСАНОВ САЙДАМИН МАГРУПОВИЧ**

МАТЕРИАЛЛАР ҚАРШИЛИГИ

Тошкент — «Fan va texnologiya» нашриёти — 2005

Мұхаррір

M. Тожибоева

Техник мұхаррір

A. Мойдінов

Мусағұха

M. Хайитова

Босишига рухсат этилди 24.10.2005 й. Бичими 60x84 1/₁₆.
«TimtsUZ» ҳарфида терилиб, оффсет усулида босилди. Босма
табоги 26.25 Нашриёт ҳисоб табоги 25.37. Адади 300.
Буюртма №140. Баҳоси шартнома асосида.

«Fan va texnologiya» нашриёти, 700000, Тошкент ш., Олмазор
құч., 171-үй. Шартнома №7-05.

Fan va texnologiyalar markazining bosmaxonasıda чоп этилди.
Тошкент ш. Олмазор құч., 171- үй.